

**Н.С. БИБУТОВ**

**МАТЕРИАЛЛАР  
ҚАРШИЛИГИ  
АСОСЛАРИ**

**ТОШКЕНТ – 2003**

9156559860

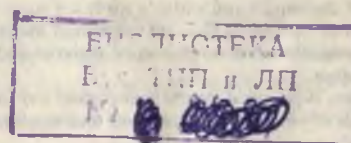
000  
000

10.01.2017.

Н.С. БИБУТОВ

# МАТЕРИАЛЛАР ҚАРШИЛИГИ АСОСЛАРИ

Узбекистон Республикаси Олий ва ўрта маҳсус таълим  
вазирлиги томонидан олий ўқув юртлари талабалари учун  
дарслик сифатида тавсия этилган



«Минҳож» нашриёти  
ТОШКЕНТ — 2003

30.121

Б 66

Тақризчилар: Бухоро озиқ-овқат ва енгил саноат технологияси институти доценти Д.Ш. Базарбаев; Тошкент Давлат Техника Университети доценти А. Ваҳобов.

Материаллар қаршииги конструкция элементларини мустаҳкамлика, бикрликка ва устуворлика мұхандисча қосылаш асосларини ташкил этиүни фан бўлиб, материалларни физик-механик хоссалари, чўзилиш ва сиқилиши, сижиши, буралиш. этилиши, мураккаб қаршилика на ёғри стерженларлаги кучланиши ва деформациялар ўрганилади.

Китобда материаллар қаршилигидаги масалаларни счиш услуги келтирилган. назарий матнни қисқартириш энзига сиплаётган масалаларнинг сони купайтирилди.

Дарслек қурилиш, транспорт ва машинасозлик мутахассислиги бўйича таълим олаётган бакалаврлар учун мулжалланган.

Наука о сопротивлении материалов является основой всех инженерных расчетов на прочность, жесткость, и устойчивость элементов конструкций.

В книге изучаются физико-механические свойства материалов, напряжения и деформации при растяжении, сдвиге, кручении, изгибе и при сложном сопротивлении прямых и кривых стержней.

Изучаются законы устойчивости элементов конструкций, а также поведение материалов при действии динамических и переменных нагрузок.

В книге рассматривается методика решения задач по сопротивлению материалов, удалось сократить теоретический материал и увеличить количество примеров решения задач.

Книга предназначена для очных и заочных бакалавров строительных, транспортных и машиностроительных специальностей.

Science about strength of materials is a basis of all engineer calculation for durability, hardness and stadingss of elements of constructions.

The book deals with physical and mechanical properties of the materials, strain and deformation on tension, displacement, bend and on complicated strength of straight and curved rod.

Laws of steadiness of the elements of constructions, and conduct of materials on the action of dynamical and variable loads are studied as well.

Method of solution of tasks on strength of materials is also considered in the book.

We managed to shorten theoretical material and increase the number of examples of tasks solution.

The book is intended for the bachelors of day time and extramural departments on the specialitis of construction, transport and machine-building.

ББК 30.121 я73

© Н. С. Бибутов. «Минҳож» нашристи, 2003 й.

## СҮЗ БОШИ

Халқнинг бой интеллектуал мероси ва умумбашарий қадриятлар асосида замонавий маданият, иқтисодиёт, фантехника ва технологияларнинг ютуқлари асосида кадрлар тайёрлананинг мукаммал тизимини шакллантириш Ўзбекистон тараққиётининг муҳим шаклидир, дейилган Кадрлар тайёрлаш миллий дастурида. Бу юксак вазифани амалга ошириш учун ёшларни ҳар томонлама баркамол қилиб тарбиялаш, жаҳон андозалари тарабига мос равиша билимли мутахассислар тайёрлаши мақсадга мувофиқдир.

Ўзбекистон Республикаси Вазирлар Маҳкамасининг 1998 йил 24 февралдаги "Академик лицейлар ва касб-хунар коллежларини ташкил этиш ва уларнинг фаолиятини бошқариш тўғрисида"ти 77-сонли Қарорида Бухоро озиқ-овқат ва енгил саноат технологияси институти касб-хунар коллежлари учун малакали муҳандис-педагог кадрлар тайёрлаш бўйича таянч олий таълим муассасаси қилиб белгиланиши билан бир қаторда Ўзбекистон Давлат стандартига мос замонавий дарсликлар тузиш, ўқиш ва ўқитиш ишларида янгина ёндашув бўлиши зарурлиги ҳам белгилаб берилди.

"Материаллар қаршилиги асослари" тўплами қурилиш, қишлоқ хўжалигини механизациялаш, машинасозлик йўналишларида бажаравлар тайёрлайдиган олий ўқув юртларининг тарабалари учун дарслик сифатида ёзилган.

"Материаллар қаршилиги асослари" дарслигига маърузаларни мустаҳкамлаш учун ҳар бир бобдан кейин масалаларнинг счими келтирилган. Дарсликни ёзишида ўзбек ва рус тилларидаги мавжуд адабиётлардан [1, 2, 3, 4, 5, 6, 7] фойдаланилди.

Ушбу дарсликни ёзишда ўзларининг қимматли маслаҳатларини берган Бухоро озиқ-овқат ва енгил саноат технологияси институти "Механика" кафедрасининг мудири профессор М.М. Муродовга ва Тошкент Давлат Техника Университети "Назарий механика ва машина деталлари" кафедрасининг мудири техника фанлари доктори Ш. Шообидовга муаллиф ўз миннатдорчилигини билдиради. Талабалар таълим олаётган мутахассислигига боғлиқ ҳолда айрим мавзулар ёки боблар қисқартирилган ҳажмда ўрганилиши мумкин.

## К И Р И Ш

Хозирги замон машинасозлик саноати мураккаб ҳараскат қилувчи, катта қувватли, тезюорар ҳамда юқори сифатли, енгил конструкцияли машина ва механизмларни яратмоқда.

Машина ва иншоотни лойиҳалашда асосий эътибор унинг барча қисмлари ташқи куч ва бошқа факторлар (ҳарорат, юқори босим, катта деформация тезлиги ва ҳ.к.) таъсирида ўз шаклини ва хусусиятини, яъни мустаҳкамлигини таъминлашга қаратилиши зарур.

Мустаҳкамликни таъминлашда машина ёки иншоот қисмининг материали ва кесимини танлаш асосий роль ўйнайди. Қўпинча мустаҳкамликни ошириш учун элементнинг оғирлиги катталаштирилади. Бу ҳолатда ортиқча материал сарфланади ҳамда тежамкорлик жиҳатдан нокулайдир. Машина ёки иншоот қисмларини ишлаш жараёнига кўра мустаҳкамлик турлича бўлиши мумкин. Масалан, кўп ҳолларда мустаҳкамлик — реал шароитда — узоқ муддатда элементнинг геометрик ўлчами ёки шаклини ўзгартираслигини таъминлашга қаратилса, айрим ҳолларда катта куч таъсирида элементларнинг шаклини бир ҳолатдан иккинчи ҳолатга ва яна қайтиб бошланғич ҳолатга ўтишини таъминлашга қаратилади. Масалан, машиналарнинг рессорлари, пружиналар ва ҳ.к.

Машина ва иншоот қисмлари айрим ҳолатларда мустаҳкамлигини йўқотиш натижасида эмас, балки шаклини ўзгартириши натижасида емирилиши мумкин. Масалан, ингичка ва узун стержень сиқувчи куч таъсирида ўз шаклини ўзгартиради, яъни стержень тўғри чизиқли ҳолатини йўқотади. Агар куч аста-секин ўсиб борса, сиқувчи кучни қайсидир қийматида стерженning шакли эгри чизиқ-

лигича қолади ёки стержень емирилади. Умуман, сиқувчи күч таъсирида стержень шаклини ўзгартириш жараёни — стержень устуверлигининг йўқотилиши, дейилади. Демак, стерженлар устуверлигини йўқотиши натижасида ҳам емирилиши мумкин экан.

Иншоот ва машина қисмларининг шакли ёки геометрик ўлчами ўзгармаслигини (мустаҳкамлигини ҳисобга олиб) таъминлаш учун унинг бикрлигини ошириш керак. Бикрлик — деформацияланишга мойил эмас, деган маънени билдириб, материалнинг физик-механик хоссасига боғлиқдир.

**Демак, материаллар қаршилиги машина ва иншоот қисмларининг мустаҳкамлигини, устуверлигини ва бикрлигини ҳисоблаш усулларини ўргатувчи фандир.**

Материаллар қаршилиги мустаҳкамлик, устуверлик ва бикрликни элементларнинг деформациясига боғлаб ўрганади. Бу масалалар билан қаттиқ жисмлар механикаси фанининг эластиклик назарияси, пластиклик назарияси, қурилиш механикаси ва ҳ.к. сингари соҳалари ҳам шугулланади. Материаллар қаршилиги бошқа фанлардан ўзининг амалийлиги билан фарқ қиласи, яъни конструкция қисми ташқи кучга бардош берадими-йўқми, мустаҳкамлиги етарлимни, бикрлик даражаси қанчалигини фақат назарияда эмас, балки амалиётда, тажрибада синаб кўради. Материаллар қаршилигининг ҳисоблаш ва амалий усуллари математика, физика, кимё, назарий механика, материалшунослик ва шу сингари бир қанча фанларнинг тараққиёти билан боғлиқ равишда жадал ривожланмоқда.

## **МАТЕРИАЛЛАР ҚАРШИЛИГИ ФАНИНИНГ РИВОЖЛANIШИ ТАРИХИ ТЎҒРИСИДА ҚИСҚАЧА МАЪЛУМОТ**

Материаллар қаршилиги фанининг тарихий тараққиётида асосий ўринлардан бирини итальян олими Г. Галилей (1564—1642) эгаллайди. У дастлаб стерженларнинг қаршилик кўрсата олишини баҳолаш аналитик равишда ҳисобланиши зарурлигини кўрсатди. Материаллар қаршилиги

тұғрисидаги биринчи китобни ҳам Галилей 1638 йилда нашр эттирган.

Күпгина оддий күринишдаги дәстайлар ва механизmlар, қурилиш иншоотлари Үрта Осиё олимлари томонидан яратылған. Айниқса буюк олим Абдул Аббос Ахмад ибн Мұхаммад Қасир ал-Фарғоний (788 йилда туғилған) томонидан яратылған механик календарь, бурчакларни ўлчаш ва бошқа асбоблар; Абу Али ал-Хусайн ибн Абдуллоҳ ибн Синонинг (980—1087) «Ақл мезони» асарыда механикадаги оддий системалар, яғни ричаглар, блоклар, пігоналардан тузилған механизмларнинг ишилаш принциплари баён қилинған; Абу Юсуф ал-Хоразмий (Х аср)нинг «Илмларнинг калити», Исмоил ал-Жазоирнинг (XII—XIII аср) «Мұхандислик механикасини билиш» китoblари эътиборга сазовордир.

Р. Гук (1635—1703) чұзувчи күч билан узайыш орасидаги пропорционал боғланишни 1676 йилда аниклади. Бу боғланиш Гук қонуны деб аталади.

Швейцарияда туғилған рус олими Л. Эйлер (1707—1783) устуворлық ва эластиклик назариялари ривожига ўз ҳиссасини құшди.

Француз олими Ш. Кулон (1736—1806) эластик жисмларни текшириш, балкаларнинг әгилиши, колонналарнинг сиқилиши, буралиш, буралишдаги тебранишлар бўйича иш олиб борди.

Француз олими Л. Навье (1785—1836) эластиклик назарияси ҳамда биринчи бўлиб статик аниқмас масалалар, бўйлама ва кўндаланг әгилиш бўйича ҳисобларга оид тажриба ишларини олиб борган.

Француз олими Ж. Понселе (1788—1867) материалларни текшириш, динамик кучлар учун چўзилиш диаграммасини, ўзгарувчан кучлар учун материалларнинг емрилиш даражасини аниклади.

Инглиз олими Т. Юнг (1773—1829) эластиклик модули, марказлашмаган چўзилиш-сиқилиш ва зарб таъсири масалалари устида иш олиб борган.

Француз инженери Барре Де сен-Венан (1797—1886) эса биринчи бўлиб инженерлик масалаларини ҳал этиш-

да эластиклик назариясининг аҳамиятини күрсатди ва эгри брусларга оид тажрибалар олиб борди.

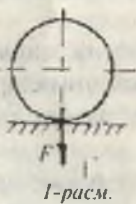
Материаллар қаршилиги бўйича рус тилида ёзилган биринчи дарслек 1774 йилда **С. Котельников** томонидан яратилди.

Материаллар қаршилигини ривожлантиришда **Д. Журавский** (1821—1891), **Ф. Ясинский** (1856—1899), **Н. Беляев** (1890—1944) ларининг ҳам ҳиссаси каттадир.

«Материаллар қаршилиги» фанидан ўзбек тилида биринчи дарслек 1973 йилда **М.Т. Ўрозбоев** томонидан чоп этилди.

Кейинги йилларда материаллар қаршилиги соҳасида йирик тадқиқот ва тажрибалар олиб бораётган олимлар сафига А.А. Илюшин, Э.И. Григорюк, В. Федосьев, В. Болотин, В. Писаренко, В. Кацурин, Х. Рахмагулин, М. Ўрозбоев, К. Мансуров, С. Йўлдошев ва бошқаларни киритиш мумкин.

## КУЧ ВА КУЧ ТУРЛАРИ



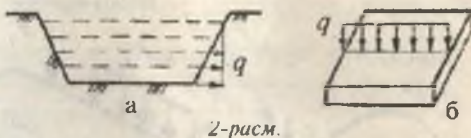
1-расм.

Иншоот ва машина қисмларига таъсир қилувчи кучлар ёки қўйилган юклар ташқи куч бўлади. Ташқи кучлар актив ва реактив кучларга бўлинади. **Актив кучлар** — юк, леб юритилади. Ташқи куч элементларга қўйилиши жиҳатидан тўпланма ёки тақсимланган кучларга бўлинади. Агар юкнинг қўйилиш ўлчамлар конструкция элементи ўлчамларидан жуда кичик бўлса — бундай куч тўпланма куч деб юритилади. Масалан: вагон гидрагининг рельсга босими (1-расм). Тўпланма куч Ньютон ( $N$ ); килонютон ( $kN$ ) ва тонналарда ( $t$ ) ўлчанади.

Агар юк конструкция қисмининг юзаси ёки узунлиги бўйлаб таъсир қилса, бундай куч тақсимланган куч дейилади.

Бундай кучлар тенг тақсимланган ёки тенг тақсимланмаган кучларга бўлинади. Масалан: элемент узунлиги бўйлаб хусусий оғирлигининг ўзгариши тенг тақсимланмаган кучга мисол бўлади (2-а расм). Тақсимланган куч

узунлик бўйича таъсири  
килса  $\frac{H}{M}; \frac{kH}{M}$  ларда, юза  
бўйлаб тарқалса



2-расм.

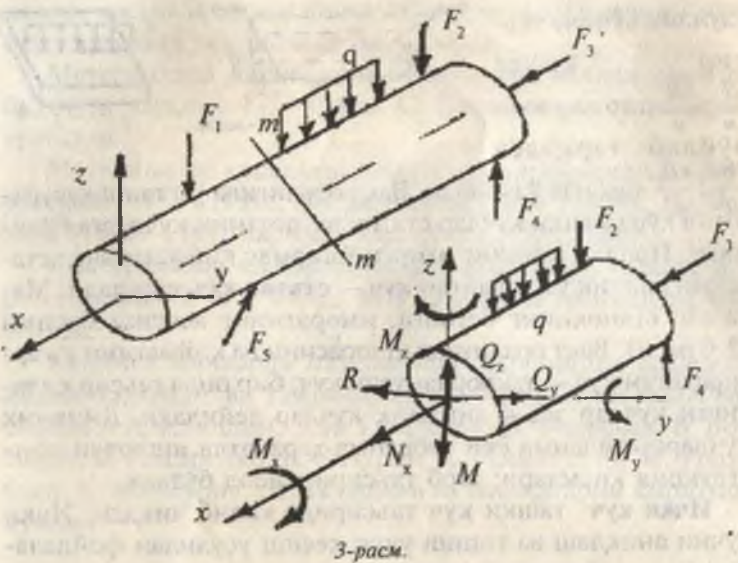
$\frac{H}{M}; \frac{kH}{M}$  тарзида ўлчанади. Вақт оралиғила ўзгариш хусусига кўра ташқи кучлар статик ва динамик кучларга бўлиниади. Нолдан ўзининг охирги ўзгармас қийматигача астасекин силлиқ ўзгарадиган куч — статик куч дейилади. Масалан: станокнинг бетонга, иморатнинг асосига босими (2-б расм). Вақт оралиғида ишорасини ва қийматини ўзгартирадиган куч — такрорланувчи куч; бир онда таъсири қиласидиган кучлар эса — динамик кучлар дейилади. Динамик кучларга айланма ёки тебранма ҳаракатда ишловчи конструкция қисмлари; зарб таъсири мисол бўлади.

**Ички куч** ташқи куч таъсирида келиб чиқади. Ички кучни аниқлаш ва топиш учун кесиш усулидан фойдаланамиз.

**КЕСИШ УСУЛИ.** Қаттиқ жисмнинг мустаҳкамлиги унлаги заррачаларнинг ўзаро тортишиш кучлари билан ифодаланади. Жисмга ташқаридан таъсири курсагилса, заррачаларнинг ўзаро тортишиш кучлари (таъсиirlари) интенсивлашади (ўзгаради). Ташқи куч таъсирида заррачалар ўзаро таъсирининг интенсивлашишига ички куч дейилади.

Ички кучлар ташқи кучга ва материалнинг физик-механик хоссаларига боғлиқ бўлади. Конструкция қисмларининг мустаҳкамлигини таъминлашда ички куч катта роль ўйнайди.

Берилган ташқи кучлар таъсирида мувозанатда бўлган бруснинг (3-расм) ихтиёрий танланган кесим юзасидаги ички кучларни аниқлаш учун уни шу кесим юзасидан  $m - m$  текислиги билан кесиб  $B$  ва  $V$  бўлакларга ажратамиз ва  $V$  қисмини ташлаб юборамиз. Натижада, бруснинг  $V$  қисмida ташлаб юборилган  $B$  бўлакнинг таъсири йўқотилди. Демак, бруснинг  $V$  қисмida мувозанат ҳолати бузилди. Ажратилган  $V$  қисм мувозанатини таъминлаш учун унинг кесилган юзасига  $B$  қисм таъсирини бош куч вектори  $\bar{R}$



3-расм.

ва бош момент вектори  $\bar{M}$  күринишида көлтирилиши лозим. Бош күч вектори ва бош момент В қысм учун ички күч ҳисобланади.  $\bar{R}$  ва  $\bar{M}$  лар XYZ ўқладарыда учта ташкил этувчиларга булинishi мумкин —  $N_x$ ;  $Q_y$ ;  $Q_z$ ;  $M_x$ ;  $M_y$ ;  $M_z$ .

$N$  — бүйлама күч, бруснинг бүйлама ўқи бүйлаб йўналган.  $N_x$  таъсирида брус чўзилади ёки сиқилади.  $Q_y$ ,  $Q_z$  бруснинг бүйлама ўқига перпендикуляр жойлашганилиги учун кўндаланг ёки кесувчи (силжитувчи) күч дейилади.  $M_x$  — буровчи момент бруснинг кўндаланг кесимида ҳосил бўлади.  $M_x$  таъсирида брус буралиш деформациясига учрайди.  $M_y$  ва  $M_z$  моментлари таъсирида брус эгилади.

$N_x$ ,  $Q_y$ ,  $Q_z$ ,  $M_x$ ,  $M_y$ ,  $M_z$  — ички күч факторлари дейилади. Ички күч омилларини топиш учун бруснинг ажратилган қисмидаги барча кучлардан мувозанат шартлари тузилади:

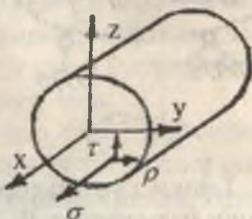
$$\begin{aligned} \Sigma X &= 0 & \Sigma M_x &= 0 \\ \Sigma Y &= 0 & \Sigma M_y &= 0 \\ \Sigma Z &= 0 & \Sigma M_z &= 0 \end{aligned} \quad (1)$$

## КУЧЛАНИШ

Ички кучнинг қиймати ва йўналиши брусланганг кесимининг турли нуқталарида ҳар хил бўлиши мумкин. Кесимнинг маълум нуқтасидаги ёки кесим юзаси бўйлаб ички куч қийматининг тарқалиш қонуниятини аниқлаш учун кучланиш тушунчасини киритамиз:

К — нуқта жойлашган элементар юзанинг тўлиқ кучланиши  $P$  шу нуқтага қўйилган ички куч  $dR$  нинг элементар юза  $dA$ га нисбатига тенгдир:

$$P = \lim_{dA \rightarrow 0} \frac{dR}{dA} \quad (2)$$



4-расм.

Кучланишнинг ўлчов бирлиги Па (Паскаль).

1 ньютон кучнинг  $1\text{m}^2$  юзага нисбати кучланиш бўлиб, 1 Па га тенгдир.

Тўлиқ кучланиш  $P$  ни кўндаланг кесимнинг юзаси бўйлаб иккита тенг тузувчиларга ажратамиз. Кўндаланг кесимнинг нормали бўйлаб йўналган кучланишни нормал кучланиш ( $\sigma$ ) деб қабул қиласиз; кўндаланг кесим юзасига уринма ҳолатда йўналган кучланишни уринма кучланиш ( $\tau$ ) деб қабул қиласиз (4-расм). Тўлиқ кучланиш  $P$  билан  $\sigma$  ва  $\tau$  орасидаги боғланиш қўйидагича ифодаланади:

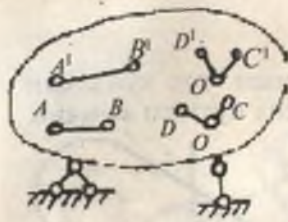
$$P = \sqrt{\sigma^2 + \tau^2} \quad (3)$$

## ДЕФОРМАЦИЯ ВА КЎЧИШ

Ташқи куч таъсирида жисм ўз шакли ёки геометрик ўлчамини ўзгартирса, бундай ҳолат деформация дейилади.

Шакл ўзгариши натижасида (5-расм) А ва В нуқталар орасидаги масофа  $\Delta S$  га, ОДС бурчак эса О'Д'С' бурчакка ўзгаради.

$\Delta S$  масофа — А ва В нуқталар оралигининг бир тўғри чизик текислигида ортиши ёки камайиши юз берганлиги



5-расм.

учун чизиқли күчиш деб юритилади. О нүкта атрофида С ва Д нүкталарнинг ўзаро яқинлашиши ёки узоқлашиши бурчакли күчиш дейилади. Чизиқли ва бурчакли күчишларнинг бир нүкта атрофидаги комбинацияси шу нүктанинг деформацияланган ҳолатини аниқлайди.

Ташқи күч таъсирида АВ оралиқнинг деформацияланиши натижасида ВС оралиқ күчади (6-расм), ВС оралиқ

деформацияланмайди. Демак, деформация күчиш эмас. Деформациялар оддий ва мураккаб турларга булинади. Оддий деформациялар: чўзилиш ва сиқилиш; силжин; буралиш; эгилиш.

**Мураккаб деформациялар:** қийшиқ эгилиш; марказлашмаган чўзилиш ва сиқилиш; буралишнинг эгилиш билан биргаликдаги таъсири ва ҳ.к.

6-расм.

**Эластик ва қолдиқ деформациялар** мавжуд.

Ташқи күч таъсири йўқотилгандан кейин бошланғич ўлчамлари ёки шакли тикланган стержень деформацияси — эластик, акс ҳолда қолдиқ деформация бўлади.

### МАТЕРИАЛЛАР ҚАРШИЛИГИДА ҚАБУЛ ҚИЛИНГАН ГЕПОТЕЗАЛАР

Конструкция элементларини мустаҳкамликка, устуворликка ва бикрликка ҳисоблашни оддийлаштириш ва соддалаштириш учун материаллар қаршилигида айrim гепотезалар қабул қилинган:

1. Конструкция материали бир жинсли ва ғоваксиз, яъни унинг хоссаси элементнинг шакли ва ўлчамларига боғлиқ эмас деб қаралади.

2. Конструкция материали изотроп, яъни унинг хоссаси барча йўналишида бир хил деб қабул қилинади. Бу чек-

ланиш анизотроп материалларда ишлатилмайды. Масалан, ёғоч.

3. Конструкция материали эластиклик хоссасига эга деб қаралади, яъни ташқи куч таъсири йўқотилганда элемент ўзининг бошлангич шакли ва ўлчамларини қайта тиклади. Эластик жисм деформацияси фақат кучга боғлиқ бўлиб, кучларнинг қўйилиш тартибига боғлиқ эмас.

4. Конструкция материалининг ҳар бир нуқтасидаги деформация шу нуқтадаги кучланишга тўғри пропорционал деб қаралади. Бу гепотеза Гук қонуни дейилади. Бунда кучланиш пропорционаллик чегарасидан катта бўлмаслиги керак.

5. Конструкциянинг деформацияси унинг геометрик ўлчамларига нисбатан кичик миқдор деб қаралади. Бу гепотезадан айрим статик аниқмас масалаларни ечишда фойдаланилади.

6. Конструкцияга қўйилган юклар системасининг таъсири алоҳида юклар таъсиrlарининг йигиндисига тенг деб қабул қилинади.

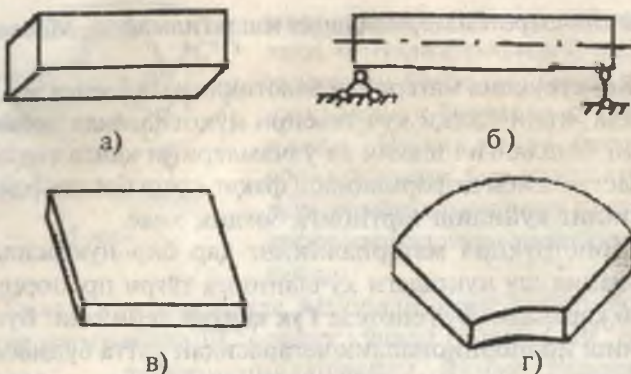
7. Юк қўйилишигача текис бўлган брусларнинг кесими юк таъсиридан кейин ҳам текислигича қолади. Бу гепотеза **Бернуlli гепотезаси** дейилади.

## КОНСТРУКЦИЯ ЭЛЕМЕНТЛАРИ

Амалиётда турли конструкция элементлари брус ёки қобиқ куринишига келтирилади.

**Брус** деб, иккита геометрик ўлчами (эни ва қалинлиги) узунлигидан анча кичик бўлган элементга айтилади. Ингичка брус — **стержень** дейилади.

Иккита ва ундан ортиқ таянчларга таянган брусларга балка дейилади. Ўзаро шарнирлар воситасида ёки бикр боғланишда бўлган стерженлар системаси **ферма** дейилади. **Пластишка** деб — қалинлиги қолган ўлчамларидан анча кичик бўлган элементга айтилади. Эгри пластишка қобиқ дейилади.

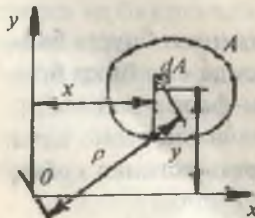


7-расм. а) брусь; б) балка; в) пластинка; г) қобиқ.

Юқорида таърифлари келтирилган конструкция элементлари қурилиш, машинасозлик, транспорт ва ҳ.к. саноатларда учрайди. Масалан, кўпприкларнинг асослари, свай, стропила, томларни бекитувчи плиталар, вал ва ўқлар, транспорт воситасининг рамаси, цилиндр, труба ва ҳ.к.

## I. БОБ ТЕКИС КЕСИМ ЮЗАЛАРИНИНГ ГЕОМЕТРИК ТАВСИФЛАРИ

Кесим юзаси — оддий геометрик тавсифга эга бўлиб, элементар  $dA$  юзалар йигиндисига тенгdir, яъни:  $A = \int_0^A dA$



8-расм.

Эгилиш, буралиш ва мураккаб деформацияланиш ҳолатларида конструкция қисмларининг мустаҳкамлиги ва бикрлиги, айнан уларнинг кесим юзаларига эмас, балки мураккаб геометрик тавсифларига (статик момент, инерция момент, қаршилик момент ва инерция радиуси) боғлиқ бўлади.

## 1.1. СТАТИК МОМЕНТ ВА ИНЕРЦИЯ МОМЕНТЛАРИ

**Статик момент**, деб элементар юза  $dA$  билан тегишли ўқ орасидаги масофа күпайтмасининг аниқ интегралига айтилади:

$$S_x = \int_A y \cdot dA; S_y = \int_A x \cdot dA \quad (1.1)$$

Статик момент узунлик ўлчовининг учинчи даражаси билан ўлчанади. Турли ўқларга нисбатан статик моментларни қўшиб бўлмайди. Таъланган кесимнинг  $X$  ва  $Y$  ўқларига нисбатан статик моментлари мусбат ва манфий бўлиши мумкин.

$X$  ва  $Y$  ўқларга параллел ўтказилган, элементар  $dA$  юзадан  $x_1 = x - b$  ва  $y_1 = y - a$  масофада жойлашган  $X_1$  ва  $Y_1$  ўқларга нисбатан статик моментни топамиз:

$$S_{y1} = \int_A x_1 dA = \int_A (x - b) dA = \int_A x dA - b \int_A dA = S_y - bA$$

ва

$$S_{x1} = \int_A y_1 dA = \int_A (y - a) dA = \int_A y dA - a \int_A dA = S_x - a \cdot A$$

Статик моментлари нолга тенг бўлган ҳолатга тўғри келувчи  $X_1$  ва  $Y_1$  ўқларининг координаталарини топамиз:

$$S_{y1} = S_y - x_c A = 0;$$

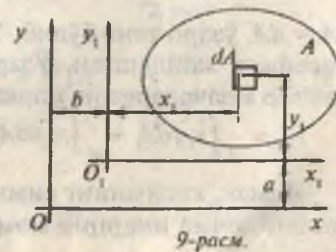
$$S_{x1} = S_x - y_c A = 0$$

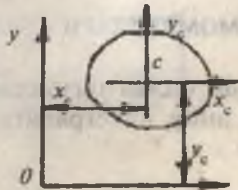
Бу ердан:

$$X_c = \frac{S_y}{A}; \quad Y_c = \frac{S_x}{A} \quad (1.2)$$

С нуқта кесимнинг оғирлик маркази дейилади. Оғирлик марказидан ўтувчи  $X_0$ ;  $Y_0$  ўқлар марказий ўқлар дейилади.

Ҳар қандай оғирлик марказидан ўтувчи ўқларга нисбатан кесимнинг статик моменти нолга тенг.





10-расм.

Агар, элементар юза  $dA$  ни ундан ўққача бўлган масофанинг квадратига кўпайтириб интегралласак, ўқларга нисбатан инерция моменти деб аталадиган геометрик катталликини топамиз (8-расм):

$$I_x = \int y^2 dA \text{ ва } I_y = \int x^2 dA \quad (1.3)$$

Марказдан қочма инерция моменти элементар юза  $dA$  билан иккала ўқ орасидаги масофа кўпайтгалирининг интегралига тенг:

$$I_{xy} = \int xy dA \quad (1.4)$$

Кутб инерция моменти:

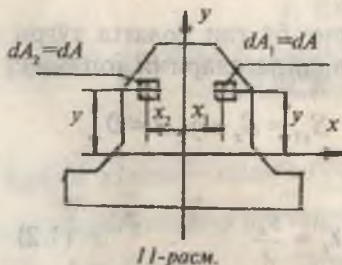
$$I_p = \int \rho^2 dA \quad (1.5)$$

Инерция моментлари узунлик ўлчовининг тўртинчи даражаси билан ўлчанади. Кутб инерция моменти ўқларга нисбатан инерция моментларининг йигиндисига тенг:

$$I_p = \int (y^2 + x^2) dA = I_x + I_y \quad (1.6)$$

$I_x$ ;  $I_y$  ва  $I_p$  лар ҳамиша мусбатdir.

Марказдан қочма инерция моменти мусбат ёки манфий бўлиши мумкин. Битта ёки иккита ўқи симметрик бўлган кесимнинг марказдан қочма инерция моментини топамиз (11-расм).



11-расм.

$dA = dA_1 + dA_2$  ўзаро тенг бўлиб, У ўқидан  $x_1 = -x_1$  ва  $x$  ўқидан У масофада жойлашган. Ўзаро симметрик жойлашган элементар юзачаларнинг марказдан қочма инерция моменти:

$$I_{xy} = \int x_1 y dA_1 + \int x_2 y dA_2 = - \int x_2 y dA + \int x_2 y dA = 0$$

Демак, кесимнинг симметрия ўқларига нисбатан марказдан қочма инерция моменти нолга тенг экан.

## 1.2. ПАРАЛЛЕЛ ЎҚЛАРГА НИСБАТАН ИНЕРЦИЯ МОМЕНТЛАРИ

Танланган кесим юзаси ХОУ координата системасида жойлашган. ОУ ва ОХ ўқларига параллел янги  $O_1Y_1$  ва  $O_1X_1$  ўқларини оламиз. Элементар юзанинг  $X_1O_1Y_1$  координата системасидаги координаталари  $x_1 = x + b$ ,  $y_1 = y + a$ . Янги ўқларга нисбатан кесимнинг инерция моментларини ёзалимиз:

$$\begin{aligned} I_{x1} &= \int_A y_1^2 \cdot dA = \int_A (y + a)^2 dA \\ I_{y1} &= \int_A x_1^2 \cdot dA = \int_A (x + b)^2 dA \end{aligned} \quad (1.7)$$

$$I_{x1y1} = \int_A x_1 y_1 \cdot dA = \int_A (x + b)(y + a) dA$$

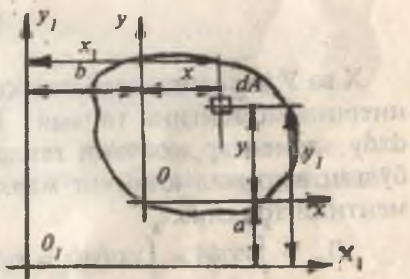
Қавсларни очиб чиқиб ҳосил бўлган тенгламани интегралласак, куйидаги формулалар ҳосил бўлади:

$$\begin{aligned} I_{x1} &= I_x + 2aS_x + a^2 A & I_{y1} &= I_y + 2bS_y + b^2 A \\ I_{x1y1} &= I_{xy} + aS_y + bS_x + abA \end{aligned} \quad (1.8)$$

$S_y$  ва  $S_x$  кесим юзасининг У ва X ўқларига нисбатан статик моментлари. Агар У ва X ўқлари кесим юзасининг оғирлик марказидан ўтса, яъни марказий ўқлар бўлса:  $S_y = 0$  ва  $S_x = 0$ .

У ҳолда:

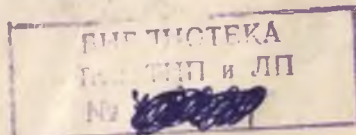
$$\begin{aligned} I_{x1} &= I_x + a^2 A \\ I_{y1} &= I_y + b^2 A \\ I_{x1y1} &= I_{xy} + abA \end{aligned} \quad (1.9)$$



Кутб инерция моменти:

12-расм.

$$I_{\rho1} = I_\rho + (a^2 + b^2)A \quad (1.10)$$



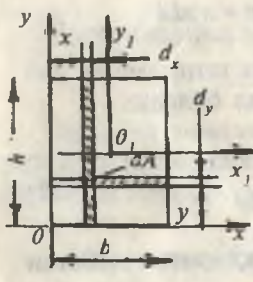
### 1.3. ОДДИЙ КЕСИМ ЮЗАЛАРИНИНГ ГЕОМЕТРИК ТАВСИФЛАРИ

Түртбұрчак (13-расм) кесим юзасининг асосидан үтган X үқига нисбатан инерция моментини топамиз. Бунинг учун түртбұрчак кесим юзасидан элементар юзачани аж-ратамиз:

$$dA = \sigma dy$$

$$\text{У ҳолда: } I_x = \int_A y^2 dA = \int_A y^2 \sigma dy = \sigma \frac{y^3}{3} \Big|_0^h = \frac{\sigma h^3}{3}$$

хосил бұлади.



13-расм.

Тұғри түртбұрчакнинг марказий үкі X<sub>1</sub>га нисбатан инерция моментини параллел үқларға нисбатан инерция моменти формулаларидан фойдаланиб топамиз:

$$I_{x1} = I_x + a^2 A = \frac{\sigma h^3}{3} - \left(\frac{h}{2}\right)^2 \sigma h = \frac{\sigma h^3}{12}$$

Кесимнинг У үқига нисбатан инерция моменти:

$$I_y = \frac{\sigma h^3}{3} \quad \text{ва} \quad I_{y1} = \frac{\sigma h^3}{12}$$

X ва Y үқларига нисбатан кесимнинг марказдан қочма инерция моментини топамиз. Бунинг учун кесимда  $dA = dx dy$  элементар юзачани танлаймиз. Ылчамлари  $h$  ва  $dx$  бұлған вертикаль юзанинг марказдан қочма инерция моментини топамиз:

$$dI_{xy} = \int_0^h y x dA = \int_0^h y x dy dx = x dx \int_0^h y dy = x dx \cdot 0,5h^2$$

Энди  $dI_{xy}$  ифоданы  $0 \leq x \leq a$  оралиқда интеграллаймиз:

$$I_{xy} = \int_0^a 0,5h^2 x dx = 0,5h^2 \int_0^a x dx = 0,25h^2 a^2 \quad \text{әки кесимнинг марказдан қочма инерция моменти: } I_{xy} = \frac{\sigma h}{4} \cdot A$$

Учбуручак (14-расм) нинг статик моментини аниқлаш.

Учбуручакнинг  $X_1$  ўқидан  $Y_1$  масофада жойлашган  $A_0$  юзасининг статик моментини ёзамиш:

$$S_{x1}^0 = A_0 \cdot y_0$$

$$\text{Бу ерда: } A_0 = \frac{1}{2} \sigma_y \left( \frac{2h}{3} - y_1 \right) \text{ ва } y_0 = y_1 + \frac{1}{3} \left( \frac{2h}{3} - y_1 \right)$$

$$\text{Холда: } S_{x1} = \frac{1}{2} \sigma_y \left( \frac{2h}{3} - y_1 \right) \cdot \frac{2}{3} \left( \frac{h}{3} + y_1 \right) = \frac{\sigma_y}{3} \left( \frac{2h}{3} - y_1 \right) \left( \frac{h}{3} + y_1 \right)$$

$$\text{Еки: } S_x = \frac{\sigma_y}{27} (2h^2 + 3hy_1 - 9y_1^2)$$

Инерция моментини аниқлаш.

Асосидан ўтган  $X$  ўқига ғисбатан инерция моментини топиш учун учбуручакнинг кесим юзасидан  $dA = b \cdot dy$  элементар юзачани танлаймиз.

$$\text{Ерда: } \sigma_y = \sigma \left( 1 - \frac{y}{h} \right)$$

Элементар юзачанинг эни.

$$\text{У холда: } I_x = \int_A y^2 dA = \int_0^h y^2 \sigma \left( 1 - \frac{y}{h} \right) dy = \frac{\sigma h^3}{12}$$

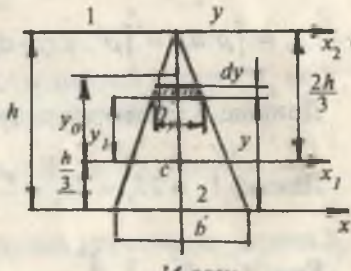
Учбуручакнинг марказий ўқига нисбатан инерция моменти:

$$I_{x1} = I_x + a^2 A = \frac{\sigma h^3}{12} - \left( \frac{h}{3} \right)^2 \frac{\sigma h}{2} = \frac{\sigma h^3}{36} \text{ ва } X_2 \text{ ўқига нисбатан}$$

инерция моменти:  $\sigma_y = -\sigma y / h; dA = \sigma_y dy = -\frac{\sigma y}{h} dy$

$$I_{x2} = \int_A y^2 dA = \int_h^0 y^2 \left( \frac{\sigma y}{h} \right) dy = \frac{\sigma h^3}{4}$$

$$\text{Еки: } I_{x2} = \frac{\sigma h^3}{4}$$



14-расм.

Топилган инерция моменти формулаларидан күриниб турибдикى, кесим ўқдан қанча узоқлашса, инерция моменти катталашар экан. Учбурчакнинг  $\text{У}$  ўқига нисбатан инерция моменти:

$$I_y = \int_A x^2 dA = \int_A x^2 \sigma_x dx = \int_0^{\frac{b}{2}} x^2 \cdot 2 \frac{h}{b} \left( \frac{b}{2} - x \right) dx = \frac{hb^3}{48}$$

Доиралык кесим (15-расм). Кесимнинг оғирлик марказидан ўтувчи ихтиёрий ўққа нисбатан инерция моментини топиш учун аввал доиралдан ажратилган ҳалқа күринишидаги  $dA = 2\pi\rho \cdot d\rho$  элементар юзанинг кесим марказига нисбатан қутб инерция моментини топамиз:

$$I_\rho = \int_A \rho^2 dA = \int_0^R \rho^2 \cdot 2\pi\rho \cdot d\rho = \frac{2\pi \cdot \rho^4}{4} \Big|_0^R = \frac{\pi \cdot R^4}{2} = \frac{\pi \cdot D^4}{32}$$

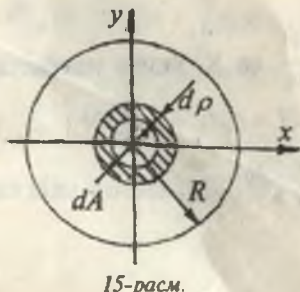
Доиралык кесим учун:  $I_x = I_y$  ва  $I_\rho = I_y + I_x$

$$\text{Демак, } I_\rho = 2I_x = 2I_y = \frac{\pi \cdot D^4}{32}$$

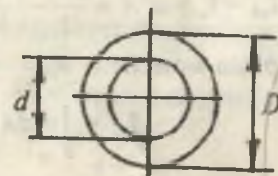
$$\text{Еки: } I_x = I_y = \frac{\pi \cdot D^4}{64}$$

Ҳалқасимон кесимнинг инерция моменти ташқы ва ички доиралар инерция моментларининг айрмасига тенг (16-расм):

$$I_y = I_x = \frac{\pi \cdot D^4}{64} - \frac{\pi \cdot d^4}{64} = \frac{\pi \cdot D^4}{64} \left[ 1 - \left( \frac{d}{D} \right)^4 \right]$$



15-расм.



16-расм.

Кутб инерция моменти:

$$I_p = \frac{\pi \cdot D^4}{32} \left[ 1 - \left( \frac{d}{D} \right)^4 \right]$$

#### 1.4. ОДДИЙ КЕСИМ ЮЗАЛАРИНИНГ ҚАРШИЛИК МОМЕНТЛАРИ

Кесим юзаларининг қаршилик моментларини топиш учун:

$$W_x = \frac{l_x}{y_{\max}}; \quad W_y = \frac{l_y}{x_{\max}} \text{ ва} \quad W_p = \frac{l_p}{\rho_{\max}}$$

формулалардан фойдаланамиз.

Тұғри түртбұрчак кесимнинг марказий үқлари  $X_1$  ва  $Y_1$  га нисбатан қаршилик моментини топамиз:

$$W_{x_1} = \frac{eh^3}{12} \cdot \frac{2}{h} = \frac{eh^2}{6} \text{ ва} \quad W_{y_1} = \frac{eh^3}{12} \cdot \frac{2}{e} = \frac{eh^2}{6}$$

Учбұрчак. Учбұрчакнинг оғирлик марказидан үтувчи  $X_1$  үқи кесим юзасининг 1 ва 2 нүкталаридан  $\frac{2h}{3}$  үшін  $\frac{h}{3}$  масо-фада жойлашган. Шунинг учун учбұрчакнинг  $X_1$  марказий үқидан энг узоқда жойлашган 1 ва 2 нүкталаригача бүлгап масофаси:

$$y_1 = \frac{2h}{3} \text{ ва} \quad y_2 = \frac{h}{3} \text{ га тенг.} \quad W_{x_1}^I = \frac{eh^3}{36} \cdot \frac{3}{2h} = \frac{eh^2}{24};$$

$$W_{x_1}^{II} = \frac{eh^3}{36} \cdot \frac{3}{h} = \frac{eh^2}{12}; \quad W_y = \frac{eh^3}{48} \cdot \frac{2}{e} = \frac{eh^2}{24}$$

$$\text{Доиравий кесим: } W_x = W_y = \frac{l_x}{y_{\max}} = \frac{64}{\frac{D}{2}} = \frac{\pi \cdot D^4}{32}$$

$$\text{Кутб қаршилик моменти: } W_p = \frac{\frac{\pi \cdot D^4}{32}}{\frac{D}{2}} = \frac{\pi \cdot D^3}{16}$$

Халқасимон кесим:

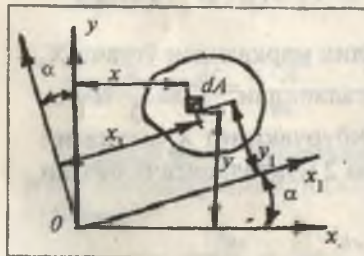
$$W_x = W_y = \frac{\pi \cdot D^4}{64 \cdot \frac{D}{2}} \left[ 1 - \left( \frac{d}{D} \right)^4 \right] = \frac{\pi \cdot D^3}{32} \left[ 1 - \left( \frac{d}{D} \right)^4 \right]$$

Күтб қаршилик моменти:  $W_p = \frac{\pi \cdot D^3}{16} \left[ 1 - \left( \frac{d}{D} \right)^4 \right]$

### 1.5. КООРДИНАТА ЎҚЛАРИНИ АЙЛАНТИРГАНДА ИНЕРЦИЯ МОМЕНТЛАРИ

ХОУ координата ўқларининг О нүкта атрофида айланниши натижасида янги X<sub>1</sub>OY<sub>1</sub> ҳолатга ўтади. dA элементар юзанинг X<sub>1</sub>OY<sub>1</sub> координата системасидаги координаталари:

$$x_1 = x \cos \alpha + y \sin \alpha; \quad y_1 = y \cos \alpha - x \sin \alpha$$



17-расм.

Танланган кесимнинг янги ўқларга нисбатан инерция моментларини топамиз.

OX<sub>1</sub> ўқига нисбатан инерция моменти:

$$\begin{aligned} I_{x1} &= \int_A y_1^2 dA = \\ &= \int_A (y \cos \alpha - x \sin \alpha)^2 dA \end{aligned}$$

Интеграл остидаги қавсни очиб, ҳосил бўлган тенгламани интеграллаймиз:

$$I_{x1} = I_x \cos^2 \alpha + I_y \sin^2 \alpha - I_{xy} \sin 2\alpha \quad (1.11)$$

OY<sub>1</sub> ўқига нисбатан инерция моменти:

$$I_{y1} = \int_A x_1^2 dA = \int_A (x \cos \alpha + y \sin \alpha)^2 dA \text{ ёки}$$

$$I_{y1} = I_x \cos^2 \alpha + I_y \sin^2 \alpha + I_{xy} \sin 2\alpha \quad (1.12)$$

Марказдан қочма инерция моменти:

$$I_{x_1y_1} = \int_A x_1 y_1 dA = \int_A (x \cos \alpha + y \sin \alpha)(y \cos \alpha - x \sin \alpha) dA$$

ёки  $I_{x_1y_1} = \frac{I_x - I_y}{2} \cdot \sin 2\alpha + I_{xy} \cos 2\alpha \quad (1.13)$

Юқоридаги формулалардан күриниб турибдики, ихтиёрий үққа нисбатан инерция моменти  $\alpha$  бурчакка бөлиләк экан.

Координата үқларини айлантириш давомида оғиш бурчагининг  $\alpha = \alpha_0$  қийматини топиш мүмкінки, бунда  $I_{x_1y_1} = 0$  ва қолған инерция моментлари экстремал қийматга эришади.

$I_{x_1y_1} = I_{x_0y_0} = 0$  ёки  $I_{x_0y_0} = 0$  ҳолатта тұғри келувчи координата үқига бош инерция үқи дейилади (18-расм). Бош инерция үқининг йұналиши:  $\operatorname{tg} 2\alpha_0 = -\frac{2I_{xy}}{I_x - I_y} \quad (1.14)$

Олинган формула  $\alpha$  бурчак учун  $\alpha'_0$  ва  $\alpha''_0 = \alpha'_0 + 90^\circ$  иккита қийматни беради.  $\alpha'_0$  ва  $\alpha''_0$  бурчаклар остида үза-ро перпендикуляр иккита үқ чизилади, уларга нисбатан инерция моментлари экстремал қийматларга эришади.

Бош инерция үқларига нисбатан кесимнинг инерция моментларыга бош инерция моментлари дейилади:

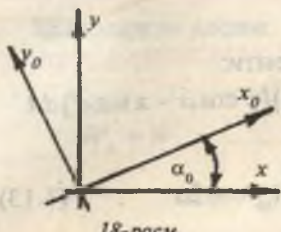
$$I_{x_1} = I_{x_0} = I_x \cos^2 \alpha_0 + I_y \sin^2 \alpha_0$$

$$I_{y_1} = I_{y_0} = I_y \cos^2 \alpha_0 + I_x \sin^2 \alpha_0; I_{x_1y_1} = \frac{I_x - I_y}{2} \sin 2\alpha \quad (1.15)$$

Бу бош инерция моментларидан биттаси максимал, иккінчісі эса минимал қийматта эришади:

$$I_{\min}^{\max} = \frac{1}{2} \left[ (I_x + I_y) \pm \sqrt{(I_x - I_y)^2 + 4 \cdot I_{xy}^2} \right] \quad (1.16)$$

Айрим шаклларда оғирлик марказидан үтувчи үқларга нисбатан марказдан қочма инерция моменти нолга teng:



18-расм.

$I_{xy} = 0$ . Шунинг учун бу ўқлар марказий бош инерция ўқлари дейилади.

Масалан, құштавр, швеллер, доиравий ёки түғри түртбурчаклы кесимлар.

Прокатли бурчаклар учун марказдан қочма инерция моментини топамиз:

$$\text{а) Тенг томонли бурчак: } I_{xy} = \frac{I_{x_0} - I_{y_0}}{2} \sin 2\alpha_0 \quad (\text{а})$$

Бу ерда:  $I_{x_0}; I_{y_0}$  — бурчак кесимининг марказий бош инерция моментлари:

$$\alpha_0 = \frac{\pi}{4}, \text{ демек, } \sin 2\alpha_0 = 1.$$

$$\text{б) Тенг томонли бүлмаган бурчак: } I_{xy} = \frac{I_y - I_x}{2} \operatorname{tg} 2\alpha_0 \quad (\text{б})$$

Бу ерда:  $I_x; I_y$  — бурчак кесимининг марказий X ва Y ўқларига нисбатан инерция моментлари;

$\alpha_0$  — марказий бош инерция ўқларини X ва Y ўқларига нисбатан оғишган бурчаги.

Тенг томонли бурчак учун (б) формулани татбиқ этиб бүлмайды, чунки тенг томонли бурчакларда ( $I_x = I_y$ )  $I_x - I_y = 0$  ва

$$\operatorname{tg} 2\alpha_0 = \operatorname{tg} 2 \frac{\pi}{4} = \infty$$

(а) ва (б) формулалар кесимнинг координата ўқларини айлантирганда ҳосил бүлган марказдан қочма инерция моментидан келиб чиқади:  $I_{x_0 y_0} = I_{xy} \cos 2\alpha_0 + \frac{I_x - I_y}{2} \sin 2\alpha_0 \quad (\text{в})$

Бу ерда:  $X_0$  ва  $Y_0$  кесимнинг X ва Y ўқларини соат стрелкасининг ҳаракат йұналишига тескари айлантирганда ҳосил бүлган ўқлар. Бунда  $\alpha_0$  бурчак мусбатдир.

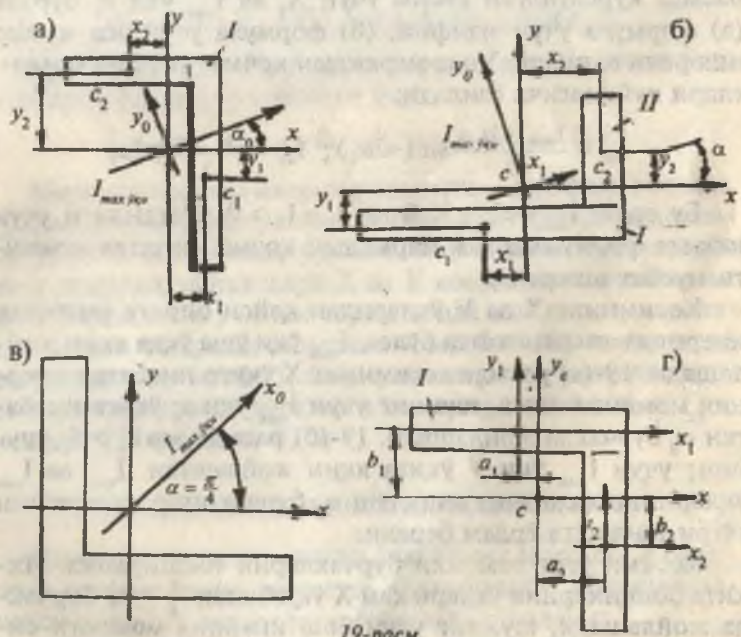
Демек, X ва Y ўқларнинг тескари томонга, яғни соат стрелкасининг ҳаракат йұналиши бүйіча айлантирганда (в) формулани қуидагыча ёзишимиз мүмкін экан:

$$I_{xy} = I_{x_0 y_0} \cos 2\alpha_0 + \frac{I_{x_0} - I_{y_0}}{2} \sin 2\alpha_0 \quad (\text{г})$$

Бу ерда:  $\alpha_0$  бурчак манфий бўлиши керак.

Агар  $X_0$  ва  $Y_0$  бош инерция ўқлари бўлса, марказдан қочма инерция моменти  $I_{xoy_0} = 0$ . У ҳолда (в) формуладан (б) формулани ҳосил қиласиз: (г) формуладан эса (а) формулани.  $\alpha_0$  бурчак тенг томонсиз бурчак учун  $\frac{\pi}{4}$  қийматдан кичик; тенг томонли бурчак учун  $\frac{\pi}{4}$  га тенг. Кесимнинг берилиш схемасига, яъни ХОУ координатасига жойлашишига кўра,  $\alpha_0$  бурчак биринчи ҳолатда  $I_{\min}$  ўқи бўлса, иккинчи ҳолатда  $I_{\max}$  ўқи бўлиши мумкин (19-расм).

19 а-расмда кўрсатилган тенг томонсиз бурчак учун  $X_0$  ўқи  $I_{\max}$  ўқи бўлади; (а) формула учун  $\alpha_0$  бурчакни минус ишораси билан оламиз, чунки X ва Y ўқлари  $X_0$  ва  $Y_0$  ўқларига нисбатан соат стрелкасининг йўналиши бўйича айлантирилганда ҳосил бўлади.



19-расм.

У ҳолда (а) формула қўйидагича ёзилади:

$$I_{xy} = \frac{I_{\max} - I_{\min}}{2} \sin(-2\alpha_0)$$

**C<sub>1</sub>** нуқтанинг координаталари  
 $(+x_1; -y_1)$                                     $(-x_1; -y_1)$

**C<sub>2</sub>** нуқтанинг координаталари  
 $(-x_2; +y_2)$ ;                                    $(+x_2; +y_2)$

Шу бурчакни (б) формула учун мусбат ишорали оламиз, чунки  $X_0$  ва  $Y_0$  ўқлари  $X$  ва  $Y$  ўқларига нисбатан соат стрелкасининг ҳаракат йўналишига тескари айлантирилади. (б) формула қўйидагича ёзилади:  $I_{xy} = \frac{I_y - I_x}{2} \operatorname{tg} 2\alpha_0$ . Бу ерда:  $I_y < I_x$  бўлганлиги учун  $I_{xy}$  манфий ишорали. 19-(б) расмда кўрсатилган кесим учун  $X_0$  ва  $I_{\min}$  ўқи  $\alpha_0$  бурчак (а) формула учун манфий, (б) формула учун эса мусбат ишорали олинади. Унда марказдан қочма инерция моментлари қўйидагича ёзилади:

$$I_{xy} = \frac{I_{\min} - I_{\max}}{2} \sin(-2\alpha_0); \quad I_{xy} = \frac{I_y - I_x}{2} \operatorname{tg} 2\alpha_0$$

Бу ерда:  $I_{\min} - I_{\max} < 0$  ва  $I_y - I_x > 0$  бўлганлиги учун иккита формулада ҳам марказдан қочма инерция моменти мусбат ишорали.

Кесимнинг  $X$  ва  $Y$  ўқларидан қайси бирига нисбатан инерция моменти катта бўлса,  $I_{\max}$  ўқи ўша ўқса яқин жойлашади. 19-(а) расмда кесимнинг  $X$  ўқига нисбатан инерция моменти катта, шунинг учун  $I_{\max}$  ўқи  $x_0$  ўқига нисбатан  $\alpha_0$  бурчакда жойлашади. 19-(б) расмда эса  $I_y > I_x$ , шунинг учун  $I_{\max}$  ўқи  $Y$  ўқига яқин жойлашган.  $I_{\max}$  ва  $I_{\min}$  ўқларнинг ҳолатини аниқлаш  $\alpha_0$  бурчакнинг ишорасини тўғри танлашга ёрдам беради.

Кесими тент томонли бурчакларни текширамиз. Иккита бош инерция ўқлари ҳам  $X$  ўқи билан  $\frac{\pi}{4} = \alpha_0$  бурчакда жойлашади, шунинг учун бош инерция моменти сифатида  $I_{\max}$  ёки  $I_{\min}$  ни қабул қилиш мумкин.

Агар  $I_{x_0} = I_{\max}$  қабул қилинса, бурчак  $\alpha$  манфий ишорали ( $X$  ўқи  $X_0$  га нисбатан соат стрелкасининг йўналиши

бүйича айланади);  $I_{xy} = I_{\min}$  қабул қилинса, бурчак  $\alpha_0$  мусбат ишорали (үқларнинг айланиши соат стрелкасининг йўналишига тескари). Унда (а) формула қўйидагича ёзилади:

$$\text{Биринчи ҳол: } (I_{xy} = I_{\max}) I_{xy} = \frac{I_{\max} - I_y}{2} \sin 2\left(-\frac{\pi}{4}\right)$$

Иккинчи ҳол:

$$(I_{xy} = I_{\min}) I_{xy} = \frac{I_{\min} - I_{\max}}{2} \sin 2\frac{\pi}{4} = \frac{I_{\min} - I_{\max}}{2}$$

Иккала ҳолда ҳам  $Y_{xy}$  манфий ишорали. Юқоридаги формулаларнинг тўғри эканлигини текшириш мумкин. Бунинг учун тенг томонли бурчакни 1 ва 2 элементларга ажратамиз. Ҳар бир элементнинг ўз марказий ўқлари ( $X_1 Y_1 C_1$  ва  $X_2 Y_2 C_2$ ) параллел ўқларга нисбатан инерция моментлари формуласидан фойдаланиб кесимнинг марказдан қочма инерция моментини топамиз:

$$I_{xy} = I_{xy}^I + I_{xy}^{II} = I_{x1y1}^I - a_1 b_1 A_1 + I_{x2y2}^I - a_2 b_2 A_2$$

$X_1$  ва  $Y_1$ ;  $X_2$  ва  $Y_2$  ўқлари бурчак супачаларини бош марказий ўқлари бўлганлиги учун:

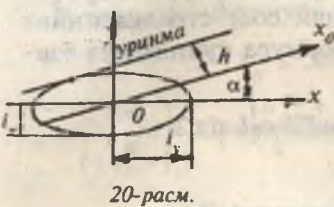
$$I_{x1y1} = 0; \quad I_{x2y2} = 0; \quad I_{xy} = -(a_1 b_1 A_1 + a_2 b_2 A_2)$$

Марказдан қочма инерция моменти — манфий. Умуман,  $I_{xy}$  моментининг ишорасини танлаш учун қўйидаги қоидани ўринли деб топсак бўлади: агар бурчак супачаларининг оғирлик марказлари  $X$  ва  $Y$  координата системасининг биринчи ва учинчи чоракларида жойлашса, марказдан қочма инерция моменти — мусбат (бу чоракларда координаталар мусбат); агар супачаларнинг оғирлик марказлари иккинчи ва тўртинчи чоракларда жойлашса,  $I_{xy}$  — манфий (19-расм, а, б, в, г).

### 1.6. ИНЕРЦИЯ ЭЛЛИПСИ ҲАҚИДА ТУШУНЧА

Инерция эллипси асосан шаклнинг инерция моментини график усулда топишда кўлланилади. Инерция эллипси инерция радиуслари ёрдамида тузилади:

$$i_x = \sqrt{\frac{I_x}{A}} \quad \text{ва} \quad i_y = \sqrt{\frac{I_y}{A}} \quad (1.17)$$



20-расм.

$i_x$  ва  $i_y$  инерция радиуслари тегишли  $XOY$  координата ўқларига жойлаштирилди (20-расм).

Координатата бошидан  $\alpha_0$  бурчак остида бош инерция ўқи —  $X_0$  ни ўтказамиз.  $OX_0$  ўқига параллел қилиб эллипсга ўтказилган уринма билан  $OX_0$  ўқи орасидаги масофа —  $h$  ни топамиз:

$$h^2 = i_x^2 \cos^2 \alpha_0 + i_y^2 \sin^2 \alpha_0 \quad (1.18)$$

$h$  масофани линейкада ўлчаб ҳам топиш мумкин. Шаклнинг инерция моменти қуидаги тенгликдан топилади:

$$I_{x0} = h^2 A \quad (1.19)$$

Демак,  $h$  масофа инерция радиусига тенг экан.

### Савол ва топшириқлар

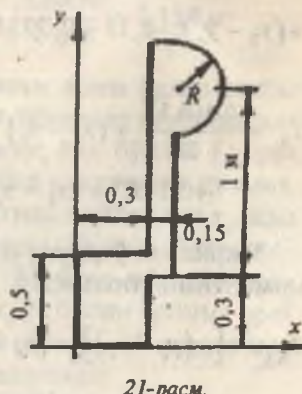
1. Статик момент деб нимага айтилади?
2. Инерция моменти деб нимага айтилади?
3. Инерция моментларининг турларини айтинг.
4. Мураккаб шаклли кесим юзасининг оғирлик марказининг координаталарини аниқлаш формуласини ёзинг.
5. Кесим юзанинг параллел ўқларга нисбатан инерция моменти.
6. Координата ўқларини айлантирганда кесим инерция моментининг ўзгариши.
7. Бош инерция ўқлари деб қандай ўқларга айтилади?
8. Бош инерция моментлари деб қандай моментларга айтилади?
9. Бош инерция моментларини аниқланг.
10. Инерция радиуси нима?
11. Тўғри тўртбурчак шаклли кесим юзанинг инерция моментларини аниқланг.
12. Учбурчаксимон кесим юзанинг инерция моментларини аниқланг.
13. Кесим юзанинг қаршилик моменти нима?

## Мураккаб шаклларнинг инерция моментларини ҳисоблаш

**1-масала.** Берилган кесим юзаси учун инерция моментларни аниқланг. Амалий ҳисоблар учун мураккаб шаклни оддий шаклларга бўламиз (21-расм). Ҳисоблаш мураккаб шаклнинг ихтиёрий ўқлар системасида оғирлик марказини топишдан бошланади:

$$x_c = \frac{A_1 x_1 + A_2 x_2 + A_3 x_3}{A_1 + A_2 + A_3}$$

$$y_c = \frac{A_1 y_1 + A_2 y_2 + A_3 y_3}{A_1 + A_2 + A_3}$$



21-расм.

Бу ерда (22-расм):

$$A_1 = 0,3 \cdot 0,5 = 0,15 \text{ м}^2; \quad A_2 = 1,2 \cdot 0,15 = 0,18 \text{ м}^2$$

$$A_3 = \frac{\pi R^2}{2} = \frac{3,14(0,2)^2}{2} = 0,0628 \text{ м}^2$$

$$\sum A = A_1 + A_2 + A_3 = 0,3928 \text{ м}^2$$

$$x_1 = \frac{0,3}{2} = 0,15 \text{ м}; \quad y_1 = \frac{0,5}{2} = 0,25 \text{ м}$$

$$x_2 = 0,3 + \frac{0,15}{2} = 0,375 \text{ м}; \quad y_2 = \frac{1+R}{2} + 0,3 = 0,9 \text{ м}$$

$$x_3 = 0,3 + 0,15 + \frac{4R}{3\pi} = 0,535 \text{ м}; \quad y_3 = 0,3 + 1 = 1,3 \text{ м}$$

У ҳолда:

$$x_c = 31,467 \text{ см} = 0,31467 \text{ м}; \quad y_c = 71,474 \text{ см} = 0,71474 \text{ м}$$

Параллел ўқларга нисбатан инерция моментлари формуласидан фойдаланиб кесимнинг  $X_c$  ва  $Y_c$  ўқларга нисбатан инерция моментларини топамиз (22-расм):

$$I_{x_c} = \frac{0,3(0,5)^3}{12} + (y_c - y_1)^2 \cdot 0,3 \cdot 0,5 + \frac{0,15(1,2)^3}{12} + \\ + (y_2 - y_c)^2 \cdot 0,18 + 0,393R^4 + (y_3 - y_c)^2 + \frac{3,14R^2}{2} = 0,085455 \text{ m}^4$$

$$I_{y_c} = \frac{0,5(0,3)^2}{12} + (x_c - x_1)^2 \cdot 0,15 + \frac{1,2(0,15)^3}{12} + (x_2 - x_c)^2 \cdot 0,18 + \\ + 0,11R^4 + (x_3 - x_c)^2 \cdot 0,0628 = 0,01246 \text{ m}^4$$

Марказий ўқларга нисбатан марказдан қочма инерция моментини топамиз:

$$I_{x_c y_c} = [-(y_c - y_1)][-(x_c - x_1)] \cdot 0,15 + (y_2 - y_c)(x_2 - x_c) \cdot 0,18 + \\ + (y_3 - y_c)(x_3 - x_c) \cdot 0,0628 = 0,02154 \text{ m}^4$$

Бош инерция моментларини топамиз:

$$I_{\max} = \frac{I_{xc} + I_{yc}}{2} \pm \frac{1}{2} \sqrt{(I_{xc} - I_{yc})^2 + 4 \cdot I_{x_c y_c}^2} = \frac{0,08545 + 0,01246}{2} \pm \\ \pm \frac{1}{2} \sqrt{(0,08545 - 0,01246)^2 + 4 \cdot (0,02154)^2}$$

$$I_{\max} = 0,0934 \text{ m}^4; \quad I_{\min} = 0,006575 \text{ m}^4$$

$$I_{xc} + I_{yc} = I_{\max} + I_{\min}; \quad 0,0854 + 0,01246 = 0,0934 + 0,006575$$

Бош инерция ўқларининг оғишган бурчагини топамиз:

$$\operatorname{tg} 2\alpha_0 = -\frac{2I_{x_c y_c}}{I_{xc} - I_{yc}} = -\frac{2 \cdot 0,02154}{0,08545 - 0,01246} = -0,59 \text{ rad}$$

$$2\alpha_0 = -30^\circ \text{ ёки } \alpha_0 = -15^\circ$$

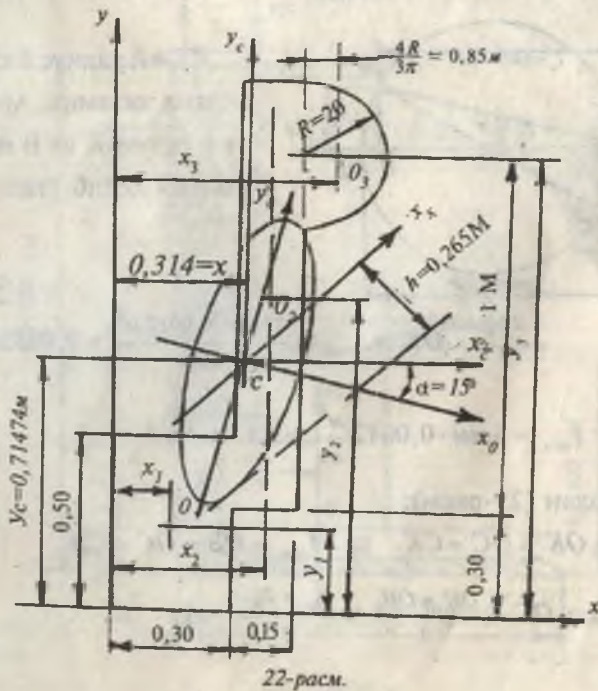
$I_{xc} > I_{yc}$  бўлганлиги учун  $x_c$  ўққа нисбатан инерция моменти максимал қийматга эришади.  $\alpha_0$  бурчаги манфий ишорали бўлгани учун қийматини  $x_c$  ўқидан соат стрелкасининг ҳаракат йўналиши бўйлаб жойлаштирамиз.  $\alpha_0$

бұрчак бош инерция үқінінг ҳолатини белгилайди. Инерция радиусларини топамыз:

$$i_{\max} = \sqrt{\frac{0,09133}{0,3928}} = 0,48 \text{ м}; \quad i_{\min} = \sqrt{\frac{0,00657}{0,3928}} = 0,129 \text{ м}$$

Шаклнинг инерция радиусларини ярим үқлар сифатыда қабул қилиб,  $x_0 s y_0$  координата үқларыда инерция эллипсини қурамыз (22-расм). Бунда  $s x_0$  үқи бүйлаб  $i_{\min}$  радиусини,  $s y_0$  үқи бүйлаб  $i_{\max}$  инерция радиусини құяды. Эллипсдан горизонтта  $45^\circ$  бұрчак остида жойлашған  $x_a$  үққа нисбатан инерция моментини топамыз. Бу үқ  $x_0$  үққа нисбатан  $60^\circ$  бұрчак остида йўналған. Бу үққа параллел рациональда эллипсга уринма ўтказамыз.  $x_0$  үқ билан уринма орнасады  $h = 0,265$  м масофани ўлчаб оламыз. Инерция моменти график усулда күйидагыча топилады:

$$I_k = h^2 A = (0,265)^2 \cdot 0,3928 = 0,0276 \text{ м}^4$$



Ушбу инерция моментини аналитик усулда топамиз:

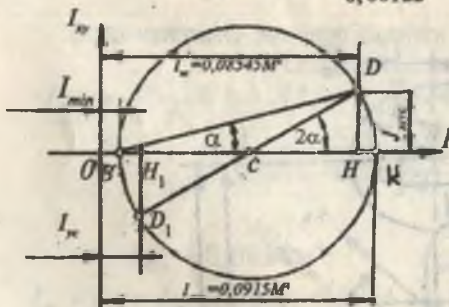
$$I_k = I_{\max} \cdot \cos^2 \alpha + I_{\min} \cdot \sin^2 \alpha = 0,091339 \cos^2 60^\circ + \\ + 0,006575 \cdot \sin^2 60^\circ = 0,0277 \text{ m}^4$$

Бош инерция моментларини график усулда топамиз (23-расм), бунинг учун кесимнинг  $x_c$  ва  $y_c$  ўқларига нисбатан инерция моментлари  $I_{x_c} = 0,08545 \text{ m}^4$ ;

$I_{y_c} = 0,01246 \text{ m}^4$  ва марказдан қочма инерция моменти  $I_{x_{yc}} = 0,02154 \text{ m}^4$  дан фойдаланамиз. IOI<sub>xy</sub> координата системасини тантаймиз.  $I_{x_c}$ ;  $I_{y_c}$  ва  $I_{x_{yc}}$  инерция моментларини масштабда IO ва I<sub>xy</sub>O ўқларida жойлаштирамиз. Масштаб: 1 мм = 0,00122 м<sup>4</sup>, у ҳолда:

$$I_{x_c} = OH = \frac{0,08545}{0,00122} = 70 \text{ мм}; \quad I_{y_c} = OH_1 = \frac{0,01246}{0,00122} = 10,2 \text{ мм}$$

$$I_{x_{yc}} = HD = \frac{0,02154}{0,00122} = 17,6 \text{ мм}$$



$CD=R$  радиус билан айланада чизамиз. Айланада I ўқини K ва B нүкталарда кесиб ўтади.

$$23\text{-расм. } OK = I_{\max} = \frac{75 \text{ мм} \cdot 0,0012 \text{ м}^4}{1 \text{ мм}} = 0,0195 \text{ м}^4$$

$$OB = I_{\min} = 5 \text{ мм} \cdot 0,0012 \frac{\text{м}^4}{\text{мм}} = 6,1 \cdot 10^{-3} \text{ м}^4$$

Схемадан (23-расм):

$$I_{\max} = OK = OC + CK \quad \text{ва} \quad I_{\min} = OB = OC - CB$$

$$\text{Бу ерда: } OC = \frac{OH + OH_1}{2} = \frac{I_{x_c} + I_{y_c}}{2} \quad \text{ва}$$

$$CK = CB = CD = R = \sqrt{(CH)^2 + (DH)^2}$$

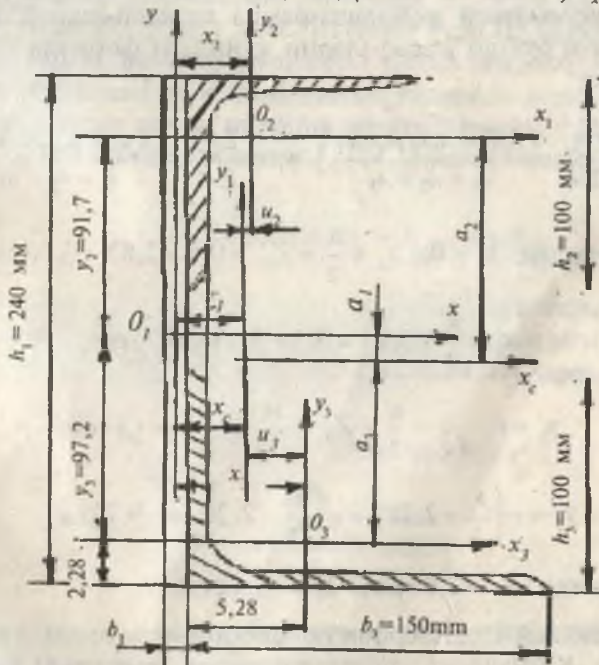
$$CH = \frac{HH_1}{2} = \frac{OH - OH_1}{2} = \frac{I_{x_c} - I_{y_c}}{2}; \quad DH = I_{x_c y_c}$$

$$\text{У ҳолда: } I_{\max} = \frac{I_{x_c} + I_{y_c}}{2} \pm \sqrt{\left(\frac{I_{x_c} - I_{y_c}}{2}\right)^2 + I_{x_c y_c}^2}$$

**2-масала.** 24-расмда күрсатылған кесим учун бош инерция моментлари топилсін. Берилған кесим үлчамлары 240x10 (мм) бүлгін түғри түртбұрчак; 100x100x10мм томонли ва 160x100x10 мм тенг томонсиз бурчаклардан ташкыл топған.

Берилған элементларнинг геометрик тавсифларини ёзамиз:

1. Түғри түртбұрчак:  $A_t = h_t b_t = 24 \cdot 1 = 24 \text{ cm}^2$ ,  $I_{x_1 y_1} = 0$



24-расм.

$$I_{x_1} = \frac{A_1 h_1^3}{12} = \frac{1 \cdot (24)^3}{12} = 1152 \text{ cm}^4, \quad I_{y_1} = \frac{h_1^3 h_1}{12} = \frac{24 \cdot 1^3}{12} = 2 \text{ cm}^4$$

2. 100x100x10 мм ўлчамли тенг томонли бурчак:

$$A_2 = 19,2 \text{ cm}^4; \quad I_x = I_y = 179 \text{ cm}^4; \quad Z_0^y = 2,83 \text{ cm}$$

$$I_{x_0} = 284 \text{ cm}^4; \quad I_{y_0} = 74,1 \text{ cm}^4$$

3. 160x100x10 мм ўлчамли тенг томонсиз бурчак:

$$A_3 = 25,3 \text{ cm}^4; \quad I_x = 667 \text{ cm}^4; \quad I_y = 204 \text{ cm}^4$$

$$y_0 = 5,23 \text{ cm}; \quad x_0 = 2,28 \text{ cm}; \quad \operatorname{tg} \alpha = 0,390 \text{ rad}$$

$$I_{\min} = I_{y_0} = 121 \text{ cm}^4$$

**Ечиш.** Кесимнинг оғирлик марказини топамиз.

Берилган кесимни ихтиёрий танланган ХОУ координатасига жойлаштирамиз ва кесимдан X ва Y ўқларгача бўлган масофаларни қуидаги формула билан топамиз:

$$x_c = \frac{\sum S_x}{\sum A} = \frac{A_1 x_1 + A_2 x_2 + A_3 x_3}{A_1 + A_2 + A_3}, \quad y_c = \frac{\sum S_y}{\sum A} = \frac{A_1 y_1 + A_2 y_2 + A_3 y_3}{A_1 + A_2 + A_3}$$

$$\text{Схемадан: } x_1 = 0; \quad x_2 = \frac{h_1}{2} + Z_0^y = 0,5 + 2,83 = 3,33 \text{ cm}$$

$$x_3 = \frac{h_1}{2} + 5,23 = 0,5 + 5,23 = 5,73 \text{ cm}$$

$$y_1 = 0; \quad y_2 = \frac{h_1}{2} - Z_0^y = \frac{24}{2} - 2,83 = 9,17 \text{ cm}$$

$$y_3 = -\left(\frac{h_1}{2} - 2,28\right) = -\left(\frac{24}{2} - 2,28\right) = -9,72 \text{ cm}$$

У ҳолда:  $X_c = 3,05 \text{ cm}$ ;  $Y_c = -1,02 \text{ cm}$

Марказий бош инерция ўқларининг йўналишини аниқлаймиз. Кесимнинг топилган оғирлик маркази О нуқтадан X<sub>c</sub> ва Y<sub>c</sub> ўқларини ўтказамиз. Параллел ўқларга нис-

батан инерция моментлари формулаларидан фойдаланиб кесимнинг  $X_c$  ва  $Y_c$  ўқларга нисбатан ва марказдан қочма инерция моментларини топамиз. Ҳисоблаш формулаларини ва натижаларини қўйидаги жадвалга киритамиз (1-жадвал). Схемадан (24-расм):

$$\begin{aligned}a_1 &= -y_c = -1,02 \text{ см} \\a_2 &= y_2 + y = 9,17 + 1,02 = 10,19 \text{ см} \\a_3 &= -(y_3 - y_c) = -(9,72 - 1,02) = -8,7 \text{ см} \\U_1 &= -x_c = -3,05 \text{ см} \\U_2 &= x_2 - x_c = 3,33 - 3,05 = 0,28 \text{ см} \\U_3 &= x_3 - x_c = 5,73 - 3,05 = 2,68 \text{ см}\end{aligned}$$

Жадвални тўлдиришда бурчакларнинг марказдан қочма инерция моментларини топишга тұғри келади. Бурчакларнинг оғирлик марказларидан утuvчи  $x_2$ ;  $y_2$ ;  $x_3$  ва  $y_3$  ўқлар бош инерция ўқлари эмас. Шунинг учун бу ўқларга нисбатан бурчакларнинг марказдан қочма инерция моментлари нолга teng эмас. Координата ўқларини айлантирганда марказдан қочма инерция моментларининг ўзгариши формуласидан фойдаланиб  $I_{x_1y_1}$ ;  $I_{x_3y_3}$  ларни топамиз, яъни:

$$I_{x_1y_1} = \frac{I_{x_0} - I_{y_0}}{2} \sin 2\alpha_0 + I_{x_0y_0} \cdot \cos 2\alpha_0$$

Бу ерда:  $I_{x_0} = 284 \text{ см}^4$  ва  $I_{y_0} = 74,1 \text{ см}^4$  бурчакнинг бош инерция моментлари;  $\alpha = 45^\circ$  — ўқлар орасидаги бурчак  $x_0$  ва  $y_0$  бош инерция ўқларига нисбатан инерция моменти:

$$I_{x_1y_1} = \frac{284 - 74,1}{2} (-1) = -104,95 \text{ см}^4$$

$$I_{x_3y_3} = \frac{I_{x_0} - I_{y_0}}{2} \cdot \sin 2\alpha$$

Бу ерда:  $I_{y_0} = 121 \text{ см}^4$ ;  $\operatorname{tg} \alpha = 0,39$  ёки  $\alpha = 21^\circ 30'$   
 $I_{x_0} = I_{\max}$  инерция моментини  $I_{\max} + I_{\min} = I_x + I_y$  формуладан топамиз:  $I_{\max} = I_x + I_y - I_{\min}$ , демак:

T/p	Эле- мент- ар- ний кесим роли- ри	Координата- лар, см	Инерция моменттары, см <sup>4</sup>							I <sub>xz</sub>		
			A, см <sup>2</sup>	a	u	I <sub>x</sub>	a <sup>2</sup> A	I <sub>y</sub>	HA	I <sub>xz</sub>	I <sub>xy</sub>	auA
1	24	-1,02	-3,05	1152	24,96	1176,96	2	223,26	225,26	0	50,2	50,2
2	19,2	10,19	0,28	179	1993,6	2172,6	179	1,5	180,5	-104,95	54,78	-50,2
3	25,3	-8,7	2,68	204	1915	2118	667	181,7	848,7	-214,49	-590	-804,4
				1535	3393,6	5467,6	848	406,5	1254,5	-319,4	-485	-804,4

$$I_{x_0y_0} = \frac{I_x + I_y - 2 \cdot I_{y_0}}{2} \cdot \sin 2\alpha =$$

$$= \frac{204 + 667 - 2 \cdot 121}{2} \cdot \sin 2(-21^\circ 30') = -214,49 \text{ см}^4$$

Тенг томонсиз бурчакнинг марказдан қочма инерция моментини куйидагича ҳам топиш мумкин:

$$I_{x_0y_0} = \frac{I_x - I_y}{2} \sin 2\alpha_0 + I_{x_0y_0} \cdot \cos \alpha = 0$$

Бу ерда:

$$I_{x_0y_0} = -\frac{I_x - I_y}{2} \operatorname{tg} 2\alpha = -\frac{667 - 204}{2} \operatorname{tg} 2(21^\circ 30') = -215,8 \text{ см}^4$$

Бош инерция ўқларининг йўналиши:

$$\operatorname{tg} 2\alpha_0 = -\frac{2 \cdot I_{x_0y_c}}{I_{x_c} - I_{y_c}} = -\frac{2(-804,4)}{5467,6 - 1254,5} = 0,381 \text{ ёки } \alpha = 10^\circ 30'$$

Бош инерция моментларини топамиш:

$$I_{\max \min} = \frac{1}{2} \left[ (5467,6 + 1254,5) \pm \sqrt{(5467,6 - 1254,5)^2 + 4(804,4)^2} \right] =$$

$$= 0,5(6721 \pm 4509)$$

Бу ерда:  $I_{\max} = 5615 \text{ см}^4$  ва  $I_{\min} = 1106 \text{ см}^4$

Текшириш:  $I_{\max} + I_{\min} = I_{x_c} + I_{y_c}$  ёки

$$5615 + 1106 = 5466 + 1254,5 \quad 6721 = 6722 \text{ см}$$

**З-масала.** Иккита 20-номерли швеллер, иккита  $100 \times 100 \times 10$  мм тенг томонли бурчак ва 20-номерли қўштаврдан ташкил топган кесимнинг оғирлик маркази; оғирлик марказидан ўтувчи  $x_c$  ва  $y_c$  ўқларига нисбатан инерция моментларини; бош инерция ўқларининг йўналишини ва бош инерция моментларини топинг.

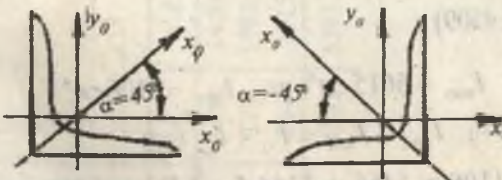
**Ечиш.** Масалани ечиш учун кесимни ташкил қилган элементларнинг геометрик тавсифларини ёзамиш (2-жадвал).

Элемент-нинг номи	Баландлиги $h$ , см	Эни $b$ , см	Кесим юзаси $A$ , см $^2$	Инерция моменти $I_x$	Оғирлик маркази $I_y$
Швеллер	$h_{ш} = 20$	$b_{ш} = 7,6$	$A_{ш} = 23,4$	1520	113
Тенг томонли бурчак	$h_b = 10$	$b_b = 10$	$A_b = 19,2$	179	179
Құштавр	$H_k = 20$	$b_k = 10$	$A_k = 26,8$	1840	115

Тенг томонли бурчакнинг  $X_0$  ва  $Y_0$  үқларга нисбатан инерция моментлари  $I_{x_0} = 284 \text{ см}^4$  ва  $I_{y_0} = 74,1 \text{ см}^4$  ёрдамда марказдан қочма инерция моментини топамыз: чунки, учинчи ва түртінчи элементларда  $X_0$  үкі тенг томонли бурчакнинг  $X_3$  ва  $X_4$  үқларини, тегишлилича манфий ва мусбат томонларыда жойлашган.

$$I_{xy}^{III} = \frac{I_{x_0} - I_{y_0}}{2} \cdot \sin 2\alpha_0 = \frac{284 - 74,1}{2} \cdot 1 = 104,95 \text{ см}^4$$

$$I_{xy}^{IV} = -104,95 \text{ см}^4$$



$\alpha$  бурчак абсциссага нисбатан соат стрелкасининг йұналишига қарама-қарши томонға жойластирилса, ишораси мусбат, акс ҳолда манфий бўлади.

Кесимни М: 1:1 ёки М 1:2 масштабда чизамиз (25-расм). Ҳар бир элементнинг оғирлик марказларини белгилаймиз:  $O_1$  ва  $O_2$  нүқталар 20-номерли швеллернинг оғирлик марказлари;  $O_3$  ва  $O_4$  нүқталар тенг томонли бурчакнинг оғирлик марказлари;  $O_5$  нүқта 20 номерли құштаврнинг

оғирлик маркази. Элементларнинг оғирлик марказларидан  $x_1, o_1, y_1$ ;  $x_2, o_2, y_2$ ;  $x_3, o_3, y_3$ ;  $x_4, o_4, y_4$  ва  $x_5, o_5, y_5$  ўқларини ўтказамиз. Кесимни ихтиёрий таңланган координата ўқига жойлаштирамиз. Унда  $x$  ўқи  $x_1$  ва  $x_2$  ўқларининг устига, у ўқи эса  $y_5$  ўқининг устига тушади.  $x$  ўқи билан  $x_1; x_2; x_3; x_4$  ва  $x_5$  ўқлари ва у билан  $y_1; y_2; y_3; y_4$  ва  $y_5$  ўқлари орасидаги масофаларни белгилаймиз (25-расм):

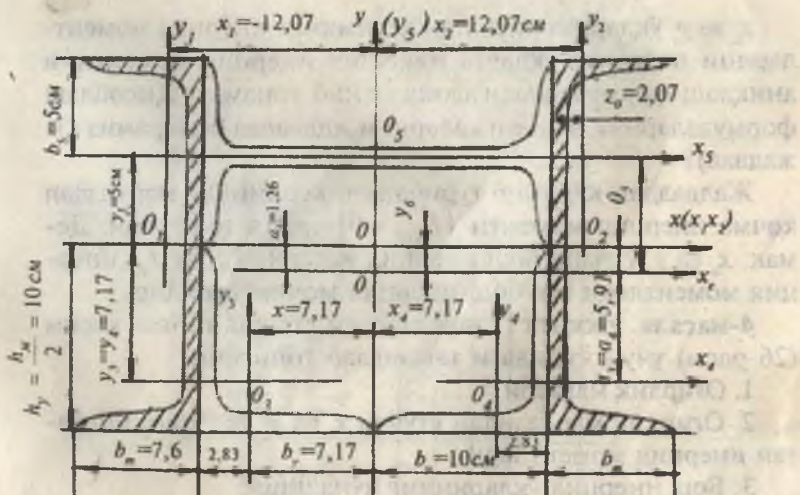
$$x_1 = -\left(\frac{h_k}{2} + z_o^w\right) = -\left(\frac{20}{2} + 2,07\right) = -12,07 \text{ см}; \quad x_2 = 12,07 \text{ см}$$

Чунки:

$$OO_1 = OO_2; \quad x_3 = -\left(\frac{h_k}{2} - z_o^w\right) = -\left(\frac{20}{2} - 2,83\right) = -7,17 \text{ см},$$

$x_4 = 7,17 \text{ см}$ ;  $OO_3 = OO_4$ ,  $x_5 = 0$ ;  $y$  ва  $y_5$  ўқлари устма-уст түшгандыкта  $y_1 = y_2 = 0$ ;  $O$ ,  $O_1$  ва  $O_2$  нүкталари битта ўқ устида, яъни устма-уст түшгандыкта  $x$ ,  $x_1$  ва  $x_2$  ўқларидан жойлашган:

$$y_3 = y_4 = -\left(\frac{h_k}{2} - z_o^w\right) = -\left(\frac{20}{2} - 2,83\right) = -7,17 \text{ см}$$



25-расм.

$$y_5 = \frac{h_w}{2} = \frac{b_k}{2} = 0,5(20 - 10) = 5 \text{ см}.$$

Кесимнинг оғирлик марказининг координаталарини топамиз:

$$x_c = \frac{A_w x_1 + A_w x_2 + A_b x_3 + A_b x_4 + A_k \cdot x_5}{2A_w + 2A_b + A_k} = 0$$

Чунки кесим ўқига нисбатан симметрик:

$$y_c = \frac{A_w y_1 + A_w y_2 + A_b y_3 + A_b y_4 + A_k \cdot y_5}{2A_w + 2A_b + A_k} =$$

$$= \frac{-2 \cdot 19,2 \cdot 7,17 + 26,8 \cdot 5}{2 \cdot 23,4 + 2 \cdot 19,2 + 26,8} = -1,26 \text{ см}$$

$x_c = 0$  ва  $y_c = -1,26$  см координаталар билан кесимнинг оғирлик маркази — С нүктани топамиз ва  $x_c$  сүйнүннен координата ўқларини чизамиз.  $x_c$  ўқи билан  $x_1; x_2; x_3; x_4$  ва  $x_5$  ўқлари орасидаги масофаларни топамиз:  $a_1 = a_2 = y_c = 1,26$  см

$$a_3 = a_4 = -(y_3 - y_c) = -(7,17 - 1,26) = -5,91 \text{ см}$$

$$a_5 = y_5 + y_c = 5 + 1,26 = 6,26 \text{ см}$$

$x_c$  ва  $y_c$  ўқларига нисбатан кесимнинг инерция моментларини параллел ўқларга нисбатан инерция моментини аниқлаш формуласидан фойдаланиб топамиз. Ҳисоблаш формулаларини ва натижаларини жадвалда бажарамиз (Задача).

Жадвалдан кўриниб турибдики, кесимнинг марказдан қочма инерция моменти ( $I_{x_c y_c} = 0$ ) нолга тенг экан. Демак,  $x_c$  ва  $y_c$  ўқлари бош инерция ўқлари,  $I_{x_c}$  ва  $I_{y_c}$  инерция моментлари эса бош инерция моментларидир.

**4-масала.** Иккита 12 швellerдан ташкил топган кесим (26-расм) учун қўйидаги тавсифлар топилсан:

1. Оғирлик маркази.
2. Оғирлик марказидан ўтувчи  $x_c$  ва  $y_c$  ўқларига нисбатан инерция моментлари.
3. Бош инерция ўқларининг йўналиши.
4. Бош инерция моментлари.

Кесим-элемент №	Элемент-тарнинг кесим-юзлари A, см <sup>2</sup>	Юзларнинг инерция моменниари, см <sup>4</sup>		Марказдан кўчма инерция моменни							
		I <sub>xz</sub> = I <sub>x</sub> + a <sup>2</sup> A	I <sub>xz</sub> = I <sub>y</sub> + x <sup>2</sup> A	I <sub>x</sub>	I <sub>y</sub>	I <sub>xz</sub> = I <sub>y</sub> + αxA					
1.	23,4	1,26	-12,07	1520	37,15	1557,15	113	3409	3522	0	-355,9
2.	23,4	1,26	12,07	1520	37,15	1557,15	113	3409	3522	0	355,9
3.	19,2	-5,91	-7,17	179	670,6	849,6	179	987	1166	104,95	813,6
4.	19,2	-5,91	7,17	179	670,6	849,6	179	987	1166	-104,95	-813,6
5.	26,8	6,26	0	115	1050,2	1165,2	1840	0	1840	0	0
Жами:		3513	2465,7	5978,7	2424	8792	11216	0	0	0	0

5. Кесимни 1:2 масштабда чизиб, ҳамма ўқлари ва ўлчамлари кўрсатилсан.

Ечиш. Кесимни масштабда чизиб оламиз, ҳар бир кесимнинг оғирлик марказидан  $x_1o_1y_1$  ва  $x_2o_2y_2$  ўқларини ўтказмиз. Кесимларни 1 ва 2 рақамлар билан белгилаб оламиз ва тавсифларни ёзиб оламиз:

$$\begin{aligned} h &= 12 \text{ см}; & b &= 52 \text{ см}; \\ A &= 13,3 \text{ см}^2; & I &= 304 \text{ см}^4; \\ I_x &= 31,2 \text{ см}^4; & Z_o &= 1,54 \text{ см}. \end{aligned}$$

Кесимни ихтиёрий хоу координата ўқига жойлаштириб,  $x_c$  ва  $y_c$  оғирлик маркази координаталарини топамиз:

$$x_c = \frac{A_1 x_1 + A_2 x_2}{A_1 + A_2}; \quad y_c = \frac{A_1 y_1 + A_2 y_2}{A_1 + A_2}$$

$$\text{Чизмадан } x_1 = \frac{h}{2} = \frac{12}{2} = 6 \text{ см}; \quad x_2 = h - z_o = 12 - 1,54 = 10,46 \text{ см};$$

$$y_1 = h + z_o = 12 + 1,54 = 13,54 \text{ см}; \quad y_2 = \frac{h}{2} = \frac{12}{2} = 6 \text{ см} \text{ ни ҳосил қиласиз, } x = 8,23 \text{ см} \text{ ва } y = 9,77 \text{ см} \text{ ни топамиз.}$$

Чизма (26-расм) да О нуқтадан  $x = 8,23$  см ва  $y = 9,77$  см масштабда ўлчаб қўйиб С нуқтани — кесимнинг оғирлик марказини топамиз. Агар  $x_c$  ва  $y_c$  тўғри топилган бўлса, С нуқта  $O_1$  ва  $O_2$  нуқталардан ўтказилган чизиқ устида жойлашади.

Шаклларнинг марказий ўқлари  $x_1o_1y_1$ ;  $x_2o_2y_2$ ;  $x_c$  ва  $y_c$  ўқлари орасидаги масофаларни топамиз (26-расм):

$$a_1 = -(x_c - x_1) = -(8,23 - 6) = -2,23 \text{ см}$$

$$a_2 = x_2 - x_c = 10,46 - 8,23 = 2,23 \text{ см}$$

$$b_1 = y_1 - y_c = 13,54 - 9,77 = 3,77 \text{ см}$$

$$b_2 = -(y_c - y_2) = -(9,77 - 6) = -3,77 \text{ см}$$

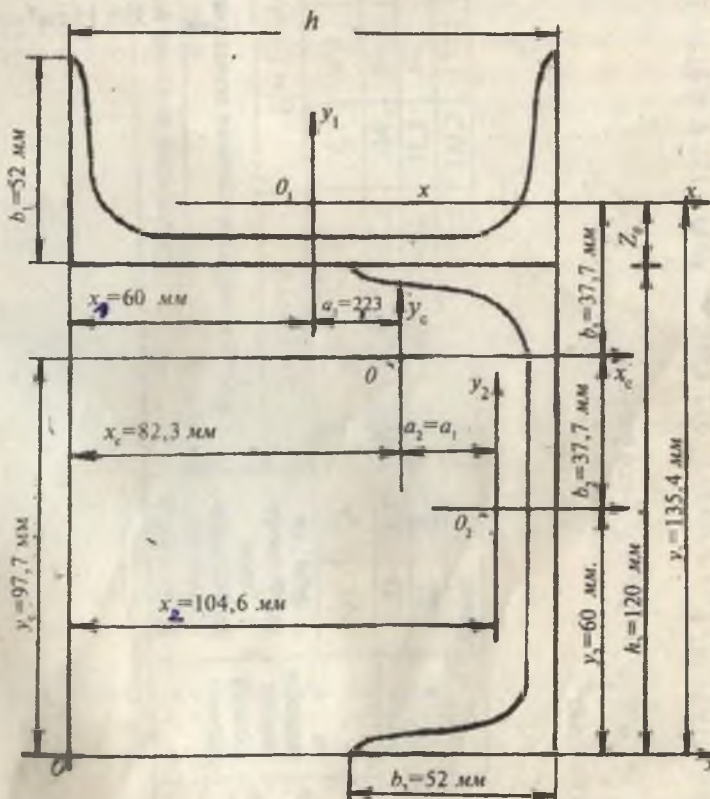
$x$  ва  $y$  ўқларига нисбатан кесимнинг инерция моментларини параллел ўқларга нисбатан инерция моментини аниқлаш формуласидағи фойдаланиб топамиз.

Ҳисоблашни 4-жадвал бўйича бажариш қулай.  $x_1o_1y_1$  ва  $x_2o_2y_2$  ўқлари 1 ва 2-элементларнинг марказий ва бош

инерция ўқлари ҳисобланади. Шунинг учун 1 ва 2-элементларни марказий ўқларига нисбатан марказдан қочма инерция моментлари нолга тенг бўлади.

Кесимнинг марказий ўқларидан биттаси ёки иккитаси симметрия ўқи бўлса, бу ўқлар бош инерция ўқларидир. Масалан, тенг томонли бурчакни марказий ўқлари симметрия ўқи эмас. Шунинг учун бу ўқлар бош инерция ўқлари деб ҳисобланмайди. Агар чизмадаги иккита элементдан биттаси юқорида айтилган бурчак элементи бўлса, марказдан қочма инерция моменти қуидагича топилади:

$$I_{xy} = \frac{J_{x_0(\max)} - J_{y_0(\min)}}{2} \sin 2\alpha = \frac{J_{x_0} - J_{y_0}}{-2} \quad (\alpha = 45^\circ)$$



26-расм.

Кесим бош инерция үқларининг йўналишини топа-  
миз:

$$Ig 2\alpha_0 = - \frac{2 \cdot 223,6}{467,4 - 713,2} = 1,819 \text{ rad}$$

Бу ерда:  $2\alpha = 61^\circ$ ;  $\alpha_0 = 30^\circ 30'$

Бош инерция моментларини аниqlаймиз:

$$I_{\max} = \frac{1}{2} \left[ (713,2 + 467,4) \pm \sqrt{(713,2 - 467,4)^2 + 4(223,6)^2} \right] =$$

$$= 0,5(1180,6 \pm 510,3) \text{ cm}^4$$

$$I_{\max} = 845,45 \text{ cm}^4$$

$$I_{\min} = 335,15 \text{ cm}^4$$

4-жадвал

Кесим элемент- лари- нинг №	Элемент- ларнинг кесим юзалари $A, \text{ см}^2$	Юзаларнинг инерция моментлари, $\text{cm}^4$									
		Юзаларнинг инерция моментлари, $\text{cm}^4$								Марказдан қочма инерция моменти	
		Үқларга нисбатан инерция моментлари				$I_x = I_y + b^2 A$				$I_{x_c} = I_y + a^2 A$	
		$a$	$b$	$I_x$	$b^2 A$	$I_{x_c}$	$I_y$	$a^2 A$	$I_{y_c}$	$I_x$	$abA$
1	13,3	-2,23	3,77	31,2	189	220,2	304	66,1	370,1	0	-111,8
2	13,3	2,23	-3,77	304	189	493	31,2	66,1	97,3	0	-111,8
		Жами:		335,2	378	713,2	335,2	132,2	467,4	0	-223,6
											223,6

Текшириш:

$$I_{x_0 y_0} = \frac{I_{x_c} - I_{y_c}}{2} \sin 2\alpha_0 + I_{x_c y_c} \cos 2\alpha_0 = 0$$

$$I_{x_0 y_0} = \frac{713,2 - 467,4}{2} \sin 2(30^\circ 30') - 223,6 \cos 2(30^\circ 30') = 122,9 \cdot 0,875 - 223,6 \cdot 0,484 = 0,7 \text{ cm}^4$$

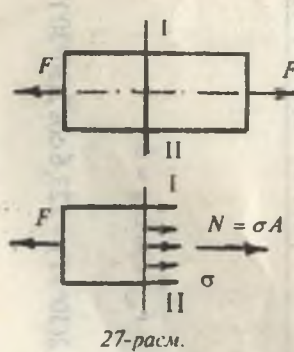
## П Б О Б

### ЧҮЗИЛИШ ВА СИҚИЛИШ

Чүзилиш ва сиқилиш машина элементларида ва конструкция қисмларида күп учрайдиган ҳолдир. Масалан, занжирлар, трослар, фабрика-заводларнинг трубалари, бино томини ушлаб турувчи колонкалар ва ҳ.к.лар чүзилиш ёки сиқилиш деформациясига учрайди. Иншоот ёки конструкция қисмлари маҳкамланиш турига ёки юқ ва ташқи кучларнинг таъсири қилиш тавсифига қараб марказий ёки марказлашмаган чүзилиш ёки сиқилишда бўлади.

Марказий чүзилиш ёки сиқилиш деб, бир-бирига тенг ва ўқи бўйлаб қарама-қарши томонларга йўналган кучлар таъсиридаги стерженнинг деформациясига айтилади (28-расм).

#### 2.1. БЎЙЛАМА КУЧ. КУЧЛANIШ ВА ДЕФОРМАЦИЯ



Марказий чүзилиш ва сиқилишда стерженнинг кўндаланг кесимида фақат бир хил ички куч омили — бўйлама куч  $N$  ҳосил бўлади. Бўйлама куч кесиш усули орқали топилади.  $N$  кучи кесимдан йўналган бўлса чўзувчи бўйлама куч деб қабул қилинади ва мусбат ишорали бўлади. Агар  $N$  кучи кесимга қараб йўналган бўлса сиқувчи бўйлама куч бўлади ва ишораси манфий олинади.

Кесиш усулидан фойдаланиб  $N$  кучни топишда, унинг йўналиши номаълум бўлса, мусбат ишорани олиш мақсадга мувофиқдир. Стерженъ бир қанча ташқи кучлар таъсирида бўлса, стерженнинг узунлиги бўйлаб ички кучларнинг графигини чизиш керак. Стерженъ ўқи бўйлаб  $N$  кучининг ўзгариш графигига бўйлама куч эпюраси дейилади.  $N$  кучни топиш учун мувозанат тенгламаларидан фойдаланимиз. Бўйлама куч  $N$  стержень кўндаланг кесимининг

чексиз кичик юзасига ( $dA$ ) таъсир этувчи  $\sigma dA$  ички кучларнинг тенг таъсир этувчиси ҳисобланади:

$$N = \int_A \sigma \cdot dA \quad (2.1)$$

Тажриба шуни кўрсатадики, марказий чўзилиш ёки сиқилишда стерженнинг кўндаланг кесимлари бошлангич ҳолатига нисбатан параллел кўчади, яъни деформацияга-ча текис бўлган кесимлар деформациядан кейин ҳам текислигича қолади. Шунинг учун стержень кесим юзасинг ҳар бир нуқтасига қўйилган кучланиш бир хил бўла-ди, яъни:  $\sigma = \text{const}$

Демак, (2.1) формулани қўйидагича ёзиш мумкин экан:

$$N = \sigma \cdot A \quad \text{ва} \quad \sigma = \frac{N}{A} \quad (2.2)$$

Бу ерда:  $\sigma$  — стержень кесим юзасининг нормал кучланиши;  $A$  — стерженнинг кўндаланг кесим юзаси,  $m^2$ .

Чўзилиш ва сиқилишга ишлайдиган деталларнинг мустаҳкамлигини ҳисоблашда нормал кучланиш —  $\sigma$  нинг қайси қиймати хавфли эмас, деган савол туғилади. Албатта, бу кучланиш детални емирилиш ёки уни нокулай шароитда ишлаш ҳолатига тўғри келувчи хавфли кучланиш —  $\sigma_0$  дан кичик бўлиши керак. Конструкция қисмларининг хавфсиз ҳолатини таъминловчи кучланишга рухсат этилган кучланиш дейилади. Бу кучланишни  $[\sigma]$  орқали ифодалаймиз.  $[\sigma]$ нинг қиймати тажрибалар орқали топилади.

Демак, конструкция қисмida ҳосил бўлган энг катта нормал кучланиш  $\sigma = \sigma_{\max}$ , шу конструкция материали учун танланган рухсат этилган кучланишдан катта бўлмаса, конструкциянинг мустаҳкамлиги таъминланган бўла-ди, яъни:

$$\sigma_{\max} = \frac{N_{\max}}{A} \leq [\sigma] \quad (2.3)$$

(2.3) формула чўзилиш ёки сиқилишдаги мустаҳкамлик шарт дейилади.  $[\sigma]$  нинг қиймати хавфли нормал кучланишнинг бир қисмига тенг деб қабул қилинади:

$$[\sigma] = \frac{\sigma_0}{n} \quad (2.4)$$

Бу ерда:  $\sigma_0$  — материалнинг мустаҳкамлик чегараси;  $\mu$  — эҳтиётлик коэффициенти.

Эластик жисмлар деформацияси тажрибалар асосида кузатилганда таъсир қилувчи нормал қулланишлар нисбий деформацияга тўғри пропорционал эканлигини аниqlаш мумкин:

$$\sigma = E \cdot \varepsilon \quad (2.5)$$

Бу шарт Гук қонуни дейилади. (2.5) формуладаги  $\varepsilon$  — нисбий узайиш. Нисбий узайиш бруснинг абсолют узайиши —  $\Delta l$  нинг бошлангич узунлиги нисбатига тенгdir:

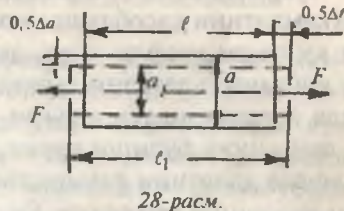
$$\varepsilon = \frac{\Delta l}{l} \quad (2.6)$$

Кўндаланг деформациянинг нисбий миқдори:

$$\varepsilon' = \frac{\Delta a}{a} \quad (2.7)$$

Агар (2.5) формулаага (2.2) ва (2.6) ларни келтириб қўйсан, Гук қонунинг бошқа кўринишини топамиз:

$$\Delta l = \frac{N\ell}{EA} \quad (2.8)$$



Е катталиги пропорционаллик коэффициенти бўлиб, у эластиклик модули дейилади.  $E$  — физик константа, тажриба асосида топилади,  $\text{Н}/\text{м}^2$ ;  $\text{kН}/\text{м}^2$  ларда ўлчанади.  $E$  материалнинг турига қараб ўзгаради ва унинг физик-механик хоссасига боғлиқ бўлади.  $EA$  бруснинг чўзилиш ёки сиқилишлаги бикрлиги дейилади.

Чўзилиш ва сиқилишдаги кўндаланг нисбий деформация  $\varepsilon'$  нинг бўйлама нисбий деформация —  $\varepsilon$  га нисбати ўзгармас сон бўлиб, у Пуассон коэффициенти дейилади:

$$\mu = \frac{\varepsilon'}{\varepsilon} \quad (2.9)$$

Пуассон коэффициенти —  $\mu$  ҳам  $E$  га үхшаб материалнинг хоссасини аниқловчи катталиkdir.  $\mu$  нинг қиймати 0 дан 0,5 оралиқда материалнинг турига қараб үзгәради.

1-жадвал

Материал	Эластик-лик модули $E$ , мПа	Пуассон коэффициенти $\mu$	Рұксат этилган күчланиш мПа	Ҳароратдан чизиқли кенгайиш коэффициенти $\alpha^{\circ}\text{C}^{-1}$	Солиши-тирма оғирлик $p$ , Н/м <sup>3</sup>
Пұлат	$2 \rightarrow 10^5$	0,30	160	$125 \rightarrow 10^{-7}$	78
Чүян	$1,2 \rightarrow 10^5$	0,25	130	$104 \rightarrow 10^{-7}$	75
Мис	$1 \rightarrow 10^5$	0,32	60	$165 \rightarrow 10^{-7}$	83
Бронза	$1 \rightarrow 10^5$	0,35	90	$170 \rightarrow 10^{-7}$	82
Шиша	$0,56 \rightarrow 10^5$	0,25			

## 2.2. ҲАРОРАТ ТАЪСИРИДА КҮЧЛАНИШ ВА ДЕФОРМАЦИЯ

Техникада күпгина конструкция қисмлари ҳарорат таъсирида ишлайди (газ трубина, реактив двигатель қисмлари). Ҳарорат таъсирида ҳосил бўлган ички бўйлама куч  $N$  материалнинг эластиклик модули  $E$ , қиздирилиш ҳарорати  $t^{\circ}$  таъсиридаги чизиқли кенгайиш коэффициенти  $\alpha$  ва стерженнинг қўндаланг кесим юзаси  $A$  га боғлиқ бўлади, яъни:

$$N = \alpha \cdot \Delta t \cdot E \cdot A \quad (2.10)$$

$$\text{Ҳароратли күчланиш: } \sigma_t = \frac{N}{A} = \alpha \cdot \Delta t \cdot E$$

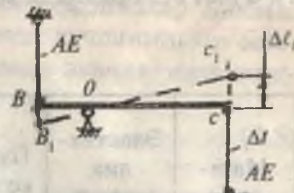
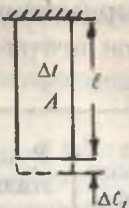
Текис қиздирилган бир жинсли стерженнинг абсолют узайиши қуйидаги формула билан топилади:

$$\Delta \ell_t = \alpha \cdot \Delta t \cdot \ell \quad (2.11)$$

(2.6) формуладан стерженнинг нисбий узайишини топиш мумкин:

$$\varepsilon = \alpha \cdot \Delta t \quad (2.12)$$

Агар стерженга ташқи чўзувчи куч  $F$  ҳам таъсир қиласа, (2.11) ва (2.12) формулаларни қўйидагича ёзиш мумкин:

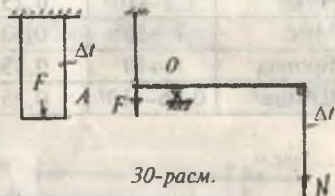


29-расм.

$$\Delta\ell = \alpha \cdot \Delta t \cdot \ell + \frac{N\ell}{EA} \quad (2.13)$$

$$\text{ва } \varepsilon = \alpha \cdot \Delta t + \frac{\sigma}{E}$$

Ташқи куч  $F$  ва ҳарорат таъсиридаги деформациялар мустақил кўринишга эга ва у стерженнинг умумий деформациясини ташкил қиласи.



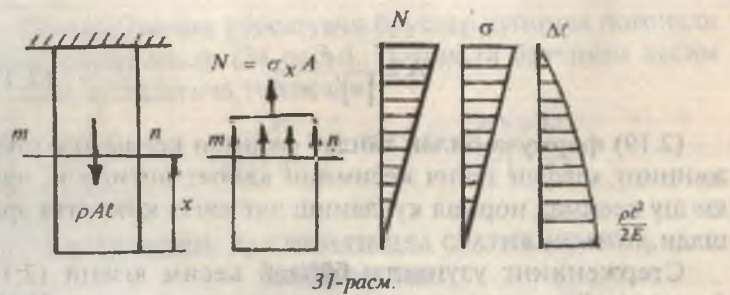
30-расм.

### 2.3. ХУСУСИЙ ОФИРЛИК ТАЪСИРИДАГИ СТЕРЖЕННИНГ ЧЎЗИЛИШ ЁКИ СИҚИЛИШИНИ ҲИСОБЛАШ

Узунлиги  $\ell$  га teng бўлган стержень хусусий оғирлик таъсирида узаяди. Стерженнинг пастки учидан  $X$  масофада жойлашган  $m - n$  кесимининг ички кучи ва кучланишини аниқлаймиз. Бунинг учун кесиш усулидан фойдаланамиз. Стерженни икки қисмга ажратиб, пастки бўлагини олиб қоламиз. Стерженнинг ажратиб олинган пастки қисми узининг хусусий оғирлиги  $\rho Ax$  ва стерженнинг ташлаб юборилган қисмининг пастки қисмга қўйилган таъсири  $\sigma_x$  остида бўлади. Агар  $\sigma_x$  стерженнинг  $m - n$  кесимида тенг тарқалган бўлса,  $N = \sigma_x A = \rho \cdot Ax$  ва  $\sigma_x = \rho \cdot x$  ҳосил бўлади.

Демак, хусусий оғирлик таъсирини ҳисобга олганда нормал кучланиш — материалнинг солиштирма оғирлиги  $\rho$  ва стерженинг узунлиги  $\ell$  га боғлиқ бўлади. Нормал кучланиш  $X = \ell$  кесимда, яъни таянч кесимда энг катта қийматга эришади:

$$\sigma_{\max} = \rho \cdot \ell \quad (2.15)$$



Стерженнинг хавфли кесими учун мустаҳкамлик шарти күйидагида ёзилади:

$$\sigma_{\max} = \rho \cdot \ell \leq [\sigma] \quad (2.16)$$

Агар, стерженнинг пастки учиға  $F$  күч қўйилган бўлса, мустаҳкамлик шартиning кўриниши ўзгаради (32-расм):

$$\sigma_{\max} = \frac{F}{A} + \rho \cdot \ell \leq [\sigma] \quad (2.17)$$

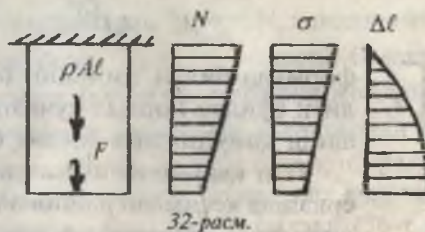
(2.16) ва (2.17) формуалардан фойдаланиб стерженнинг мустаҳкамлигини таъминлайдиган критик узунлик:

$$\ell_k = \frac{[\sigma]}{\rho}; \quad \ell_k = \frac{[\sigma] A - F}{\rho A}$$

Бруснинг хусусий оғирлик таъсирида узайишини топиш учун Гук қонунидан фойдаланамиз (31-расм):

$$\Delta\ell = \int_x^{\ell} \frac{N dx}{EA} = \int_x^{\ell} \frac{\rho \cdot A \cdot x \cdot dx}{EA} = \frac{\rho}{2E} (\ell^2 - x^2) \quad (2.18)$$

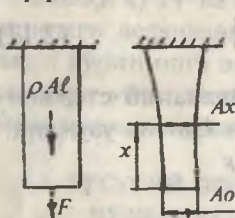
ва кесим юзасини аниқлаш мумкин:



$$A \geq \frac{F}{[\sigma] - \rho \cdot \ell} \quad (2.19)$$

(2.19) формула билан танлаб олинган кесим юза стерженниң хавфли таянч кесимини қаоатлантиради, чунки шу кесимда нормал күчлаништың катта қийматта эришади.

Стерженнинг узунлиги бўйлаб кесим юзани (2.19) формула ёрдамида танлаш мумкин эмас, чунки  $X = 0$ ;  $\sigma = 0$  ва  $X = \ell$  бўлса,  $\sigma = \sigma_{\max}$  га асосан, нормал күчланиш стерженнинг узунлиги бўйлаб барча кесимларда тўғри чизикди қонуният билан ўзгарувчандир. Бу ҳолат стерженнинг узунлиги бўйлаб барча кесимлар нормал күчланиши билан бир хил юкланмаганигини ва ортиқча материал сарфланганигини билдиради.



33-расм.

Стерженнинг узунлиги бўйлаб кесими шундай танлаш керакки, унинг барча кесим юзалирида  $\sigma$  бир хил қийматга эга бўлсин. Бундай стерженилар тенг қаршилик кўрсатувчи бруслар дейилади.

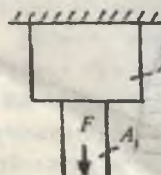
Агар, стержень ташқи  $F$  куч билан ҳам юкланган бўлса (32-расм):

$$\Delta l = \int_x^{\ell} \frac{(F + \rho Ax)dx}{EA} = \frac{N(\ell - x)}{EA} + \frac{\rho}{2E} (\ell^2 - x^2) \quad (2.20)$$

ҳосил бўлади.

Тенг қаршилик кўрсатувчи брусларнинг қўндаланг кесим юзаси

$$A_x = A_0 \ell^{\frac{\rho}{[\sigma]}} \quad (2.21)$$



34-расм.

формула билан топилиб, брусларнинг узунлиги бўйлаб нормал күчланишнинг тарқалиш қонуниятига боғлиқ бўлади.

Тенг қаршилик кўрсатувчи бруслар тайёрлашда кесимдан рационал фойдаланганилиги учун ортиқча материал сарфланмайди.

ди. Тенг қаршилик күрсатувчи бруслар күпинча поғонали қилиб тайёрланади (34-расм). Поғонали бруснинг кесим юзлари қуидагича топилади:

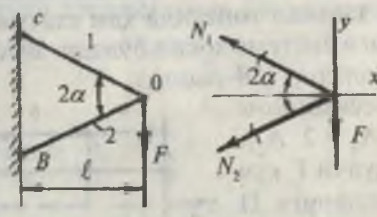
$$A_1 = \frac{F}{[\sigma] - \rho \cdot \ell_1} \quad \text{ва} \quad A_2 = \frac{F + \rho A_1 \ell_1}{[\sigma] - \rho \ell_2}$$

#### 2.4. ЧҮЗИЛИШ ВА СИҚИЛИШДА СТАТИК НОАНИҚ СИСТЕМАЛАР

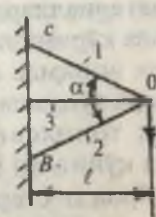
Амалиётда учрайдиган конструкция қисмларининг күлчилиги күндаланг кесимда ҳосил бўладиган ички чўзувчи ёки сиқувчи бўйлама кучлари ва кучланишларини кесиш усулидан фойдаланиб, системанинг ажратилган бўлагини мувозанат шартини тузиш билан топиш мумкин.

Масалан, С ва В кесимлари таянчга таянган ва О кесимида  $F$  куч билан юкланган стерженлар системасининг ички бўйлама кучларини топайлик (35-расм).

Системанинг мувозанат шартини таъминловчи иккита тенглама тузамиш:



35-расм.



36-расм.

$$\Sigma x = -N_1 \cos \alpha - N_2 \cos \alpha = 0 \quad (2.22)$$

$$\Sigma y = N_1 \sin \alpha - N_2 \sin \alpha - F = 0 \quad (2.23)$$

(2.22) ни тенгламадан  $N_1 = -N_2$  тенгликни (2.23) шартга келтириб қўйсанк,  $N_2 = \frac{-F}{2 \sin \alpha}$  ҳосил бўлади.

Агар системага яна битта стержень жойлаштиrsак, ундаги ички кучларни мувозанат шартлардан фойдаланиб топиб бўлмайди, чунки ажратилган қисмдаги ички кучларнинг сони шу қисмнинг мувозанат ҳолатини таъминловчи тенгламалар сонидан кўп бўлади (36-расм):

$$\sum x = -N_1 \cos \alpha - N_3 - N_2 \cos \alpha = 0 \quad (2.24)$$

$$\sum y = N_1 \sin \alpha - N_2 \sin \alpha - F = 0 \quad (2.25)$$

(2.24) ва (2.25) тенгламаларда уңта  $N_1$ ,  $N_2$  ва  $N_3$ , номаълум кучлар бўлиб, бу кучларни юқорида тузилган шартлар ёрдамида топиб бўлмайди.  $N_1$ ,  $N_2$  ва  $N_3$  ларни топиш ноаниқликка келиб қолади. Бундай системалар статик ноаниқдир.

(2.24) ва (2.25) тенгламалардан номаълум  $N$  ички кучларни топиш учун қўшимча тенгламалар тузилиши керак. Қўшимча тенгламалар — системанинг деформациясини ифодалайдиган геометрик боғланишлар — деформация тенгламалари мувозанат тенгламалари билан биргаликда ечилади ва номаълум ички кучлар топилади.

Икки томони бикр маҳкамланган ва  $F$  куч билан юқланган стержень ҳам статик аниқмас масаладир, чунки  $R_A$  ва  $R_B$  таянч реакциялари битта мувозанат шартидан топилиши мумкин эмас (37-расм):  $\sum y = 0; R_A + R_B = F$

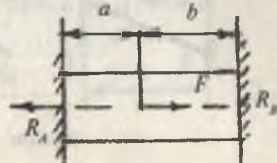
Демак, бу системани ечиш учун қўшимча деформация тенгламасидан фойдаланиш керак. Конструкция элементи ҳар хил материаллардан ташкил топганда ҳам статик ноаниқ масала кўрининишидаги система ҳосил бўлади. Бу стержен статик аниқмас масаладир (38-расм).

Стержен кўндаланг кесимининг ўлчамлари топилсан (  $A_n = 2 A_b$  ). Стерженга қўйилган сикувчи  $F$  куч пўлат ва бронза стерженларига  $P$  детали орқали таъсир қиласди.  $F$  кучнинг ҳар қайси стерженга таъсири ни топиш учун битта тенглама тузиш мумкин:  $F_b + F_n = F$  (а)

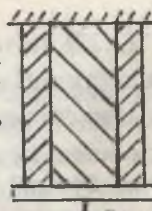
Бу тенгламада иккита номаълум куч бор.

$F_b$  ва  $F_n$  кучларни топиш учун қўшимча деформация тенгламасини тузамиз. Ташки сикувчи куч таъсирида ҳар иккала стержень ҳам бир хил масофага сиқиляди. Гук қонунига асосан:

$$\Delta \ell = \frac{F_b \ell}{E_b A_b} = \frac{F_n \ell}{E_n A_n} \quad (6)$$



37-расм.



38-расм.

Бу ерда:  $F_n = F_6 \frac{E_n A_n}{E_6 A_6}$  ни (а) тенгламага келтириб күйсак:

$$F_6 \left(1 + \frac{E_n A_n}{E_6 A_6}\right) = F \text{ келиб чиқади.}$$

$$\text{У ҳолда: } F_6 = \frac{F}{1 + \frac{E_n A_n}{E_6 A_6}} \text{ ва } F_n = \frac{F}{1 + \frac{E_6 A_6}{E_n A_n}}$$

Хар қайси материалдаги күчланиш:

$$\sigma_6 = \frac{F_6}{A_6} \text{ ва } \sigma_n = \frac{F_n}{A_n}$$

У ҳолда (б) тенгламадан:  $\frac{\sigma_n}{\sigma_6} = \frac{E_n}{E_6}$ , агар  $E_n = 2 \cdot 10^5 \text{ мПа}$  ва  $E_6 = 1 \cdot 10^5$  бўлса,  $\sigma_n = 2\sigma_6$  ҳосил бўлади, яъни пўлатдаги күчланиш бронзадаги күчланишдан икки баробар катта экан. Лекин бронза учун рухсат этилган күчланиш пўлат учун рухсат этилган күчланишдан уч баробар кичик. Шунинг учун стерженнинг ўлчамлари бронза учун танланishi керак:  $\sigma_6 = \frac{F}{A_6 \left(1 + \frac{E_n A_n}{E_6 A_6}\right)} \leq [\sigma]_6$

$$\text{Бу ерда: } A_6 \geq \frac{5[\sigma]_6}{F}$$

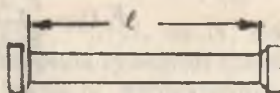
## 2.5. МАТЕРИАЛЛАРНИ ЧЎЗИЛИШ ВА СИҚИЛИШГА СИНАШ

Конструкция қисмларини чўзилиш ва сиқилишга мустаҳкамлигини, бикрлигини ҳисоблашда рухсат этилган күчланиш  $[\sigma]$ , эластиклик модули  $E$  ва Пуассон коэффициенти  $\mu$ , материалнинг эластиклик ва пластиклик хоссаларини ҳисобга олиш керак бўлади. Юқорида келтирилган материалларнинг механик ва пластиклик хоссалари конструкция қисмларининг ишлаш шароитларига, уларни тайёрлаш технологиясига боғлиқ бўлади. Турли шароитларда (юқори ва паст ҳароратда, ҳар хил деформация

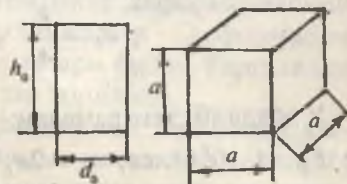
тезлигиди, механик ва термик ишлов беришда...) материалларнинг хоссаларини ўрганиш, чўзилиш ва сиқилишга синашнинг асосий мақсадидир.

Чўзилиш ва сиқилишга синаш маҳсус машиналар билан жиҳозланган лабораторияларда ўтказилади. Синашда қатнашадиган намунанинг шакли ва геометрик ўлчами стандартлаштирилган бўлиши керак:

Чўзилишда синаладиган намунанинг асосий ҳусусияти, унинг кучайтирилган ушлагич қисмидан  $d_0$  диаметрига деформациянинг силлиқ ўтишидир. Сиқилишга синаладиган намуналар цилиндрик (металл) ва кубик (ёғоч, бетон) шаклида тайёрланади.



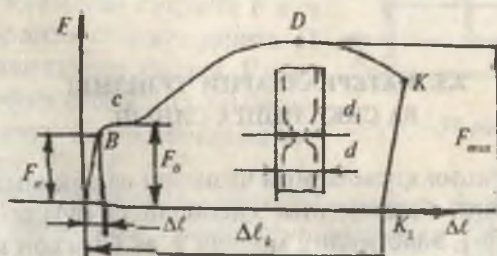
39-расм.



40-расм.

### 2.5.1. ЮМШОҚ ПЎЛАТНИНГ ЧЎЗИЛИШ ДИАГРАММАСИ

Чўзилишга синашда куч билан намунанинг узайиши орасидаги боғланиш машинадан диаграмма (41-расм) кўрикишида олинади.



41-расм.

Диаграмманинг тавсифли нуқталари қуйидагича номланади:

ОВ чизиқ пропорционаллик чегараси дейилади. ОВ чегарада материал Гук қонунига бўйсунади, чунки намунанинг узайиши ( $\Delta\ell$ ) чўзувчи кучга пропорционал ўзгарида. Бу қонуният В нуқтагача сақланади:

$$\Delta\ell = \frac{F\ell_0}{EA_0}$$

Гук қонуни бўйсунмайдиган ҳолат бошланишига тўғри келувчи кучланиш  $\sigma_n$  — материалнинг пропорционаллик чегараси дейилади. В нуқтадан сезилар-сезилмас баландроқда жойлашган  $B_0$  нуқта материалнинг эластиклик чегараси дейилади. Нисбатан камроқ (0,001...0,003) % қолдиқ деформация ҳосил қиласидиган кучланиш  $\sigma$ , эластиклик чегараси дейилади. Агар, ОВ оралиқда синовни тўхтатиб, намунадан кучни олсак, намунанинг узайиши йўқолади (сунади). Сунувчан деформация — эластик деформация, дейилади.

Чўзувчи кучни орттириб борсак, силлиқ қилиб тайёрланган намунанинг юзида стерженнинг симметрия ўқига нисбатан  $45^\circ$  бурчакда жойлашган чизиқлар ҳосил бўлади. Намунанинг юзи хиралашади ва унинг узайиши учун кучнинг орттирилиши талаб қилинмайди. Материал оқади.

Ўзгармас кучда намуна деформациясининг ўсиши — материалнинг оқувчанлик чегараси, дейилади. Материалнинг оқишига сабаб бўлувчи кучланиш  $\sigma_0$  га оқувчанлик чегараси дейилади. Д нуқтагача намунанинг  $\ell_0$  узунлиги чўзилади (деформацияланади). Д нуқтада намуна энг катта кучни қабул қиласи ва унинг бутун узунлиги узайишдан тўхтаб, маълум бир бўлаги узаяди. Маҳаллий узайиш ҳосил бўлади. Намунанинг маҳаллий узайишида қатнашган кўндаланг кесими қисқаради (диаметр кичиклашади), ингичка бўйин ҳосил бўлади. Қисқарган кесимни узиш учун кам куч сарф қилинади ва намуна ингичка бўйиндан К нуқтада узилади.

Энг катта куч  $F_{max}$  таъсирида ҳосил бўлган кучланиш материални мустаҳкамлик чегараси ёки вақтинчалик қаршилик дейилади:

$$\sigma_n = \frac{F_n}{A_0}; \quad \sigma_s = \frac{F_s}{A_0}; \quad \sigma_{ok} = \frac{F_{ok}}{A_0}; \quad \sigma_{max} = \frac{F_{max}}{A_0} \quad (2.26)$$

(2.26) формулада топилган  $\sigma_n, \sigma_s, \sigma_{ok}$  ва  $\sigma_{max}$  кучланишлар материалнинг механик хоссаларини ташкил қилалиди.  $OK_1 = \Delta\ell_k$  — намунанинг узилишидаги қолдиқ деформацияси.  $K_1 U$  — намунанинг узилишидан кейин сўнган деформацияси (41-расм).

$$\text{Намунанинг нисбий узайиши: } \delta = \frac{\Delta\ell_k}{\ell_0} \cdot 100 \% \quad (2.27)$$

Кўндаланг кесимнинг нисбий қисқариши:

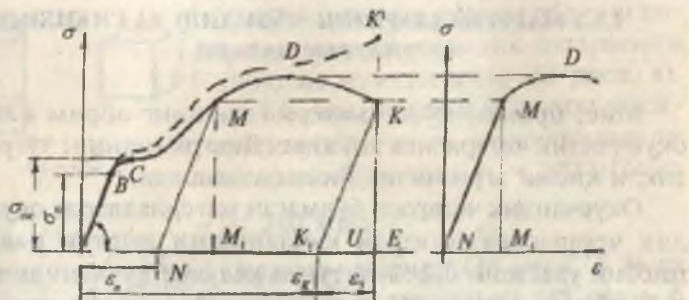
$\psi = \frac{A_0 - A_1}{A_0} \cdot 100\%$  намуна материалининг пластиклик хоссасини белгилайди. Масалан, агар  $\delta > 5\%$  бўлса, материал пластик ва  $\delta < 5\%$  бўлса, материал мўрт бўлади. Пластик материаллар учун  $\psi$  катта бўлади. Ст.2 маркали пўлат учун  $\psi = 55\dots65\%$ ,  $\delta = 28\dots33\%$ .

Материалнинг емирилмасдан катта деформация ҳосил қила олиш қобилияти пластиклик дейилади. Пластиклининг ўлчови — нисбий узайишдир. Мўртлик — материалнинг пластиклик хоссасига тескаридир.

### $\sigma - \varepsilon$ координатасида чўзилиш диаграммаси.

Бунинг учун  $F$  кучни  $A_0$  га ва  $\Delta\ell$  ни намуна узунлигига бўламиз (42-расм).  $\sigma - \varepsilon$  координатадаги чўзилиш диаграммасини шартли диаграмма деб қабул қилсак ҳам бўлаверади. Чунки намунанинг чўзилишдаги турли ҳолатига тўғри келувчи кучланишларини ( $\sigma; \sigma_s; \sigma_{max}$ ) топишда чўзувчи куч —  $F$  ни намунанинг бошланғич кесим юзаси —  $A_0$  га бўлдик.

Агар намунанинг узайишида кўндалант ўлчамнинг қисқаришини ҳисобга олсак, (2.26) формула орқали топилган кучланишлар ҳақиқий кучланишлардан фарқли бўлиб чиқади. Ҳақиқий кучланишлар ёрдамида қурилган чўзилиш диаграммасининг ординатаси  $\sigma - \varepsilon$  координатасида ОВСМДК чизиқ билан чегараланган чўзилиш диаграммасининг ординатасидан баланддир (42-расм, пункттир чизик).



42-расм.

$\sigma - \epsilon$  диаграммадан  $\operatorname{tg}\alpha = \frac{\sigma}{\epsilon} = E$  ни ҳосил қилиш мүмкін. Материалнинг эластиклик модули  $E$  диаграмманинг түғри чизиқтагы қисмиден абсциссага нисбатан оғишган бурчагининг тангенсига теңгидір.

**Пухталаниш.** Намунанинг чүзилишини  $M$  нүктада тұхтатсак, диаграмма  $OB$  чизиққа параллел  $MN$  чизиқ билан орқага қайтади. Намунада  $\varepsilon_N$  қолдик деформация ҳосил бўлади. Агар намунага қайта  $F$  кучни юкласак, чүзилиш диаграммаси, намунанинг узайиши  $N$  нүктадан бошланади ва  $NM$  чизиқ устидан давом этади. Диаграмманинг қолган қисми  $MK$  чизиги билан устма-уст тушади. Демек, намуна қайта юкланганда олдинги қолдик деформация  $\varepsilon_N$  ҳисобга олинмас экан. Такрорий (қайта) юклашда (чўзишда) материалнинг қолдик деформациясиз катта кучни қабул қилиш қобилияти яхшиланди.

Бу ҳолат  $MN$  чизиқда яққол кўринади.  $MN$  чизиқ такрорий юлашдаги пропорционаллик чегараси бўлиб, материалнинг эластиклик хоссасини аниқлайди. Пластик деформация таъсирида материал эластиклик хоссасининг яхшиланиши пухталаниш дейилади.

Пухталаниш техникада кўп учрайдиган технологик жараёндир. Масалан, ремен, занжир, трассларни совуқ ҳолатида бошланғич чўзилиши, пресслаш, валикларда про-катка қилиш ва ҳ.к.

$$\sigma_n = \frac{F_n}{A_0}; \quad \sigma_s = \frac{F_y}{A_0}; \quad \sigma_{ok} = \frac{F_{ok}}{A_0}; \quad \sigma_{max} = \frac{F_{max}}{A_0} \quad (2.26)$$

(2.26) формулада топилган  $\sigma_n, \sigma_s, \sigma_{ok}$  ва  $\sigma_{max}$  кучланишлар материалнинг механик хоссаларини ташкил қилади.  $O\bar{K}_1 = \Delta \ell_e$  намунанинг узилишидаги қолдиқ деформацияси.  $K_1 U$  — намунанинг узилишидан кейин сұнган деформацияси (41-расм).

Намунанинг нисбий узайиши:  $\delta = \frac{\Delta \ell_e}{\ell_0} \cdot 100\%$  (2.27)

Күндаланг кесимнинг нисбий қисқариши:

$$\psi = \frac{A_0 - A_1}{A_0} \cdot 100\% \text{ намуна материалининг пластиклик}$$

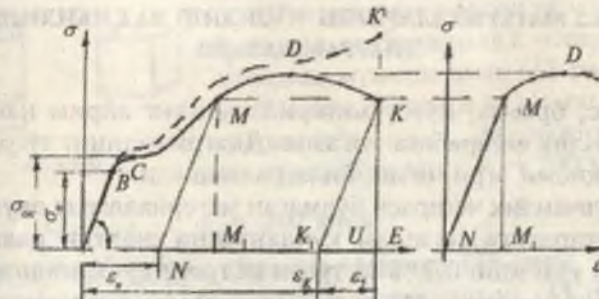
хоссасини белтилайди. Масалан, агар  $\delta > 5\%$  бўлса, материал пластик ва  $\delta < 5\%$  бўлса, материал мурт бўлади. Пластик материаллар учун  $\psi$  катта бўлади. Ст.2 маркали пўлат учун  $\psi = 55\ldots 65\%$ ,  $\delta = 28\ldots 33\%$ .

Материалнинг емирилмасдан катта деформация ҳосил қила олиш қобилияти пластиклик дейилади. Пластиклининг ўлчови — нисбий узайишидир. Муртлик — материалнинг пластиклик хоссасига тескаридир.

### $\sigma - \varepsilon$ координатасида чўзилиш диаграммаси.

Бунинг учун  $F$  кучни  $A_0$  га ва  $\Delta \ell$  ни намуна узунлигига бўламиз (42-расм).  $\sigma - \varepsilon$  координатадаги чўзилиш диаграммасини шартли диаграмма деб қабул қилсан ҳам бўлаверади. Чунки намунанинг чўзилишдаги турли ҳолатига тўғри келувчи кучланишларини ( $\sigma; \sigma_n; \sigma_{max}$ ) топишда чўзувчи куч —  $F$  ни намунанинг бошланғич кесим юзаси —  $A_0$  га бўлдик.

Агар намунанинг узайишида кўндаланг ўлчамнинг қисқаришини ҳисобга олсак, (2.26) формула орқали топилган кучланишлар ҳақиқий кучланишлардан фарқли бўлиб чиқади. Ҳақиқий кучланишлар ёрдамида қурилган чўзилиш диаграммасининг ординатаси  $\sigma - \varepsilon$  координатасида ОВСМДК чизик билан чегараланган чўзилиш диаграммасининг ординатасидан баланддир (42-расм, пунктир чизик).



42-расм.

$\sigma - \varepsilon$  диаграммадан  $\operatorname{tg} \alpha = \frac{\sigma}{\varepsilon} = E$  ни ҳосил қилиш мүмкін. Материалнинг эластиклик модули  $E$  диаграмманинг тұғри чизиқли қисмінің абсциссаса нисбатан оғиштан бурчагининг тангенсига теңгидір.

**Пухталаниш.** Намунанинг чүзилишини  $M$  нүктада тұхтатсак, диаграмма  $OB$  чизиққа параллел  $MN$  чизиқ билан орқага қайтади. Намунада  $\varepsilon_N$  қолдиқ деформация ҳосил бұлады. Агар намунаға қайта  $F$  күчни юкласақ, чүзилиш диаграммаси, намунанинг узайиши  $N$  нүктадан бошланади ва  $NM$  чизиқ устидан давом этади. Диаграмманинг қолган қисми  $MK$  чизиги билан устма-уст тушади. Демек, намуна қайта юкланғанда олдинги қолдиқ деформация  $\varepsilon_N$  ҳисобға олинмас экан. Такрорий (қайта) юклашда (чүзишда) материалнинг қолдиқ деформациясыз катта күчни қабул қилиш қобиляти яхшиланды.

Бу ҳолат  $MN$  чизиқда яққол күринади.  $MN$  чизиқ такрорий юклашдаги пропорционаллук чегараси бўлиб, материалнинг эластиклик хоссасини аниқлайды. Пластик деформация таъсирида материал эластиклик хоссасининг яхшиланиши пухталаниш дейилади.

Пухталаниш техникада күп учрайдиган технологик жараёндир. Масалан, ремен, занжир, троссларни совук ҳолатида бошланғич чүзилиши, пресслаш, валикларда про-катка қилиш ва ҳ.к.

## 2.5.2. МАТЕРИАЛЛАРНИҢ ЧҮЗИЛИШ ВА СИҚИЛИШ ДИАГРАММАЛАРИ

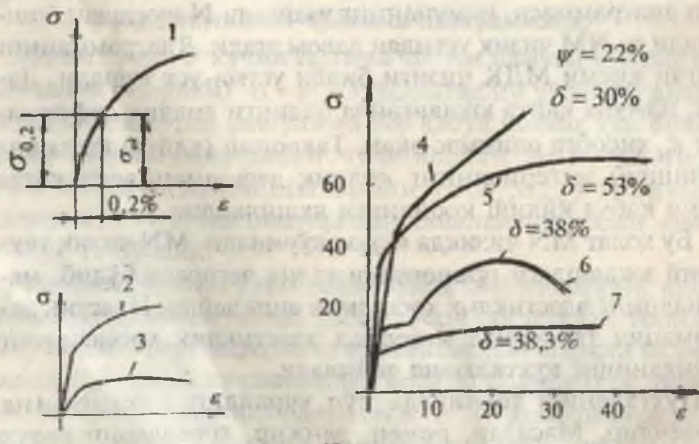
Мис, бронза, пұлат материалларнинг айрим навлари оқувчанлик чегарасыга зәға эмас. Диаграмманиң түгри чизиқли қисми зәғи чизиқ билан алмашади.

Оқувчанлик чегарасы бұлмаган материалларда оқувчанлик чегарасыга тегишли күчланишни шартлы равишида нисбий узайиши 0,2 % га түгри келувчи күчланишта тенг деб қабул қилинади (43-расм). Бундай материалларда пропорционаллик чегара сифатыда намунаниң умумий деформациясынин 0,002 % га тегишли күчланиш қиймати қабул қилинади. Диаграмманиң шу қисми түгри чизиқ билан алмаштирилади ва Гук қонуни ишлатилади.

Пластик ва мұрт материалларни сиқилиштегі синаш учун намуналар тайёрланады (44-расм).

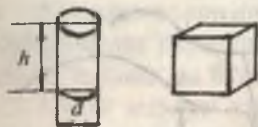
Ёғоч: 35×35×35; бетон: 100×100×100; керамика: 10×10×10 мм.

Юмшоқ пұлат сиқилишда ҳам чүзилиштегі каби катта қолдик деформация ҳосил қилиш хусусиятига зәға. Сиқилиш диаграммасы факат үсүвчан бұлади.



43-расм.

1—дюралюмин; 2— юқори сифатты легирланған пұлат; 3— алюмин  
ва пұлат; 5— никелли пұлат; 6— құйма пұлат; 7— бронза.

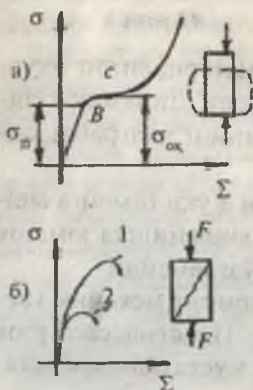


44-расм.

Шунинг учун юмшоқ пұлатни сиқилишида мустаҳкамлық чегарасини анықлаш мүмкін емес (45-расм, а).

Юмшоқ пұлатни чўзилиш ва сиқилишдаги  $\sigma_n, \sigma_{ok}$  кучланишлари тахминан бир хил:  $\sigma_n = 200$  мПа ва

$$\sigma_{ok} = 240 \text{ мПа.}$$



45-расм.

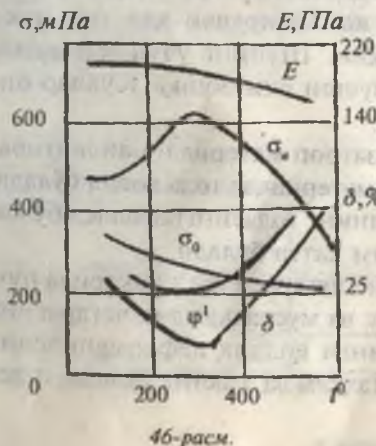
Чўянда чўзилиш (45-расм, б 1) ва сиқилиш диаграммалари (45-расм, б 2) бир хил эмас. Чунки чўян чузувчи кучга кам қаршилик курсатиб, жуда кичик қолдик деформация ҳосил қилиб емирилади.

Чўянни чўзилишда узилиш буйни сезилмайди, сиқилишда эса намуна  $F$  куч чизигига  $45^\circ$  бурчак остида емирилади. Умуман, материалнинг хоссалари синов ишларини ўтказиш шароитига, материалларнинг олиниш технологиясига, термик ва механик

ишлиов бериш усулига, ҳарорат ва ташқи куч қўйилиш тавсифига боғлиқ.

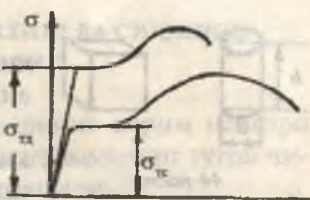
Масалан, ҳарорат  $30^\circ$  С га қадар кўтарилиганда юмшоқ

пұлатнинг мұртлиги намоён бўлади, эластик модули  $E$  тахминан ўзгармайди, оқувчаник чегараси кичрайди, мустаҳкамлигига ортади. Ҳарорат  $35\dots40^\circ$  га қадар кўтарилиганда юмшоқ пұлатнинг хоссаси ноаниқликка яқинлашади. Унинг механик хусусиятлари ёмонлашади, пластиклик тикланади (46-расм). Бу ҳолат фақат юмшоқ пұлатга хосдир.



46-расм.

Легирланган пұлат ва рангли металларда ұарорат күтарилиши билан  $\sigma_{\text{нк}}$  ва  $\sigma_a$  бир хил камайиб борса, дәреже ошиб боради. Юкланиш тезлиги ортиши билан пластик материалнинг хоссалари мұрт материал хоссасига яқынлашади (47-расм, 1—статик күч, 2—динамик күч).



47-расм.

Σ

Юкланиш тезлиги ортиши билан материалнинг окувчанлик ва мустақаммалық чегаралари ортади. Динамик чүзилишнинг диаграммаси статик чүзилишнинг диаграммасидан баланд жойлашади.

Динамик чүзилишнинг диаграммаси  $\sigma$  ўқи томонға сильжиган ҳолатда жойлашади. Динамик юкланишда юмшоқ пұлатнинг эластик модули таҳминан үзгармайды.

Пластмасса ва органик материалларнинг механик хоссалари деформация тезлигига боғлиқ. Пластмассага узоқ муддат күч таъсир қилиб тұрса, уннинг мустақаммалық чегараси камаяди.

Конструкция элементлари тайёрланадиган конструкцион пұлат күйма, қолинлаш, прокатлаш, судраб чүзиш усуллари билан олинади. Түрли хил усуллар билан олинған бир хил таркибли пұлатнинг механик хоссалари ҳар хил бұлади. Күйма усул билан олинған пұлатда конструкциянинг мустақаммалыгини камайтирувчи ҳар хил ички нұқсон ҳосил булиши мүмкін. Шунинг учун материалларни рентгенли, ультратовушли ёки бошқа усуллар билан текшириб күриш керак.

Прокатлаш пұлатни анизатроп материалга айланыради. Прокатлаш йұналишида материалда тола ҳосил бұлади. Агар деталнинг ўқи материалнинг толасига параллел бұлса, материалнинг мустақаммалығы катта бұлади.

Материалнинг окувчанлик чегарасидан ташқарыда пухталаниши уннинг окувчанлик ва мустақаммалық чегарасини ортиради, узилишдан кейинги қолдиқ деформациясини камайтиради. Материал мустақам вә эластик бұлади, пластиклигі камаяди.

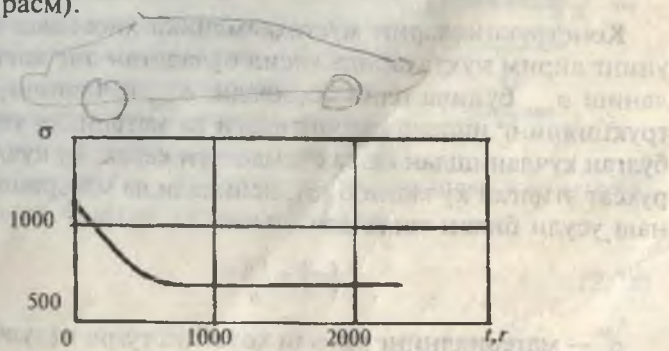
Материалларнинг механик ва пластик хоссаларини ўзгартириш учун уларга термик ишлов берилади: юмшатиш, тоблаш ва бўшатиш.

Пўлат маълум ҳароратгача қиздирилиб уштаб турилади, сўнгра аста-секин совитилади. Юмшатиш натижасида пўлатнинг мустаҳкамлик тавсифи камаяди, пластиклик хусусияти ортади. Натижада, унинг бошланғич ички кучланиши йўқотилади, қирқиб ишлаш осонлашади.

Тобланган пўлатда мустаҳкамлик ортади, пластиклик эса камаяди. Бўшатилган пўлатда пластиклик ортади, мустаҳкамлик хусусиятлари камаяди.

Юқори ҳароратда материал хоссасининг ўзгаришида сурилиш аҳамиятлидир. Юқори ҳароратда ўзгармас кучланиш таъсирида вақт ўтиши билан деформациянинг ўсишига сурилиш дейилади. Қурғошин, латунъ, бронза, алюминий ва бошқа рангли металларда сурилиш кичик ҳароратда ҳам содир бўлиши мумкин. Ҳарорат қанча катта бўлса, сурилиш шунча тез ҳосил бўлади.

Айрим ҳолларда жуда катта вақт оралиғида кучланиши пропорционаллик чегарасидан кичик бўлган материалнинг юқори ҳароратда деформациянинг тез ўсиши —емирилишига сабаб бўлиши мумкин. Сурилиш натижасида пластик деформациянинг ўсиши кучланишнинг деталь кесимида қайта тақсимланиши ёки камайишига олиб келади. Пластиклик деформациясининг ўсиши натижасида кучланишнинг камайиши релаксация ҳодисаси, дейилади (48-расм).

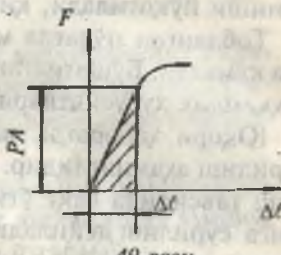


48-расм.

### 2.5.3. ЧҮЗИЛШІП ВА СИҚИЛИШДА ПОТЕНЦИАЛ ЭНЕРГИЯ

Намунани чүзишда ёки сиқишида машина иш бажаради. Бу иш миқдор жиҳатдан материалда түпланган потенциал ( $T$ ) ва кинетик ( $K$ ) энергиялар йиғиндисидан иборат бўлади, яъни:  $A_{иш} = T + K$ .

Намунага кўйилган ташқи куч статик куч бўлганлиги учун кинетик энергия нолга тенг. Демак, ташқи  $A_{иш} = T$  кучнинг бажарган иши намуна-нинг деформацияси натижасида материалда түпланган потенциал энергияга тенг экан. Иккинчи томондан, пропорционаллик чегарасида тўлиқ иш диаграммада штрихланган учбурчакнинг юзаси билан топилади (49-расм):



49-расм.

$$A_{иш} = \frac{F\Delta l}{2} = \frac{F^2 l}{2EA_0} \quad \text{ёки} \quad T = \frac{F^2 l}{2EA_0}$$

Деформациянинг солиштирма потенциал энергияси:

$$U = \frac{T}{V_0} = \frac{T}{A_0 \epsilon} = \frac{F^2}{2EA_0^2} = \frac{\sigma^2}{2E} = \frac{\sigma \epsilon}{2}$$

### 2.6. РУХСАТ ЭТИЛГАН КУЧЛАНИШНИ ТАНЛАШ

Конструкцияларни мустаҳкамликка ҳисоблаш асосан унинг айрим нуқталарида ҳосил бўладиган энг катта кучланиш  $\sigma_{max}$  бўйича олиб борилади.  $\sigma_{max}$  кучланиш, конструкциянинг ишлаш шароитидаги ва материали учун хос бўлган кучланишдан катта бўлмаслиги керак. Бу кучланиш, рухсат этилган кучланиш [ $\sigma$ ], дейилади ва материални синаш усули билан топилади, яъни:

$$[\sigma] = \frac{\sigma_0}{n}$$

$\sigma_0$  — материалнинг хавфли ҳолатига тўғри келувчи кучланиш.

Пластик материал учун  $\sigma_0 = \sigma_{ok}$  ва мұрт материал учун  $\sigma_0 = \sigma_c$ , деб қабул қилинади.

$\sigma$  — оқувчанлик чегарасидаги күчланиш;

$\sigma$  — мустақамлиқ чегарасидаги күчланиш;

$n$  — әхтиётлик коэффициенти.

Оқувчанлик чегарасида пластик материалда қолдик деформация ҳосил бўлса, мұрт материаллар мустақамлиқ чегарасида смирилади.

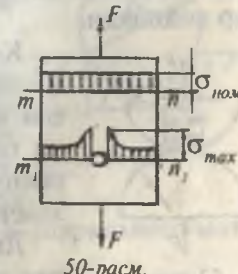
Пластик материаллар учун:  $n = 1,2 \dots 1,8$ ; бетон учун:  $n = 3$ , тош учун:  $n = 10$ ; чуян учун:  $n = 2,5 \dots 3$  га тенг.

Умуман әхтиётлик коэффициентини танлашда машиналинг аҳамияти ва ишлаш муддатига эътибор берилади. Масалан, қурилиш соҳасида  $n = 2 \dots 5$  ва авиация техникасида  $n = 1,5 \dots 2$ .

## 2.7. КҮЧЛАНИШЛАР КОНЦЕНТРАЦИЯСИ

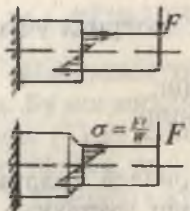
Турли нотекисликлар, тешиклар ва канавкалар ҳисобига кўндаланг кесимнинг (зайфлашиши) ўзгариши күчланишининг нотекис тақсимланишига, күчланишлар концентрациясининг ҳосил бўлишига олиб келади (50-расм).

F куч таъсирида чўзилаётган стерженнинг  $m$  —  $n$  кесимида меъерий күчланиш тенг тарқалади.  $m$ ,  $n$ , кесимида тешик ёнида күчланиш тўплами ҳосил бўлади. Күчланишининг бундай тўпланиши маҳаллий күчланиш ёки күчланишлар концентрацияси дейилади. Маҳаллий күчланишни келтириб чиқарган нотекисликларнинг турига күчланишлар концентратори дейилади. Максимал күчланиш  $\sigma_{nom}$ ни (50-расм) күчланиш  $\sigma_{nom}$ га нисбати күчланишлар концентрациясининг коэффициенти дейилади.



$$\alpha = \frac{\sigma_n}{\sigma_{nom}} \quad (2.28)$$

$$\sigma_{nom} = \frac{F}{A_0} \quad (2.29)$$



51-расм.

$\alpha_s$  нинг қиймати нотекисликнинг шакли ва ўлчамига боғлиқ ва эксперимент орқали топилади.

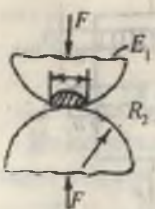
$A_0$  — стерженнинг заифлашмаган кўндаланг кесими юзаси.

Мурт материалларда лак қопламасини ёки сеткасини ҳосил қилиш усули билан маҳаллий кучланиш аниқланиши мумкин. Айрим ҳолларда кесими ўзгарувчан стерженларда  $\alpha_s$  нинг қиймати материалнинг мустаҳкамлик чегарасини аниқлаш билан топилади:

$$\alpha_s = \frac{\sigma_m}{\sigma}$$

## 2.8. КОНТАКТ КУЧЛАНИШЛАР ҲАҚИДА ТУШУНЧА

Подшипниклар, тишли узатмалар, кўприкларнинг таянч қисмларидағи шар ва цилиндрик фидирларнинг иш жараёнида контактли кучланишлар ҳосил бўлади. Демак, иккита ўзаро тегиб турадиган жисмни таъсирлашув юзасида пайдо бўладиган кучланишлар контактли кучланишлар дейилади.



52-расм.

Контактли кучланишларни кўпинча маҳаллий кучланишлар ҳам дейилади. Контактли кучланишларнинг ва деформацияларни тақсимланиш қонунияти ва аниқланишининг айрим усуллари, назарияси эластиклик назариясида келтирилган.

Диаметрлари  $d_1$  ва  $d_2$ , бўлган иккита эластик шар марказий куч билан сиқилганда уларнинг ўзаро тегиб турган жойларида радиуси:

$$a = 0,88 \sqrt{\frac{F}{2} \cdot \frac{\frac{1}{E_1} + \frac{1}{E_2}}{\frac{1}{d_1} + \frac{1}{d_2}}}$$

бўлган доира ҳосил бўлади.

Контакт майдончасидаги нормал күчланиш нотекис тақсимланади. Энг катта күчланиш контакт доирасининг марказида бўлиб, күчланишнинг ўртача қийматидан 1,5 марта каттадир:  $\sigma_{\max} = 1,5 \frac{F}{\pi d^2}$

Агар шарларнинг материаллари бир хил бўлса, яъни:  $E_1 = E_2$  бўлса:

$$\sigma_{\max} = 0,62 \cdot \sqrt[3]{FE^2 \left( \frac{d_1 + d_2}{d_1 d_2} \right)}$$

Контактли күчланишлар майдончасида ҳажмий күчланиш содир бўлади. Материал ҳар томонлама сиқилишига яқин шароитда ишлайди. Шунинг учун маҳаллий эзилиш учун ружсат этилган күчланиш оддий сиқилишдагига қараганда анча катта олинади. Контактли күчланишларни аниқлаш учун келтирилган формулалар контактдаги жисмларнинг шаклига ва ўлчамига боғлик.

## 2.9. ҚАТТИҚЛИК

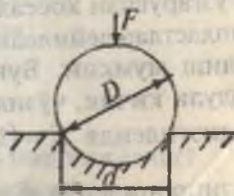
Сиртига механик тарзда киритилган деталга қаршилик кўрсата олиш қобилияти материалнинг қаттиқлиги дейилади.

Қаттиқлик ёрдамида материалнинг мустаҳкамлик чегарасини аниқлаш мумкин. Материалнинг қаттиқлигини аниқлаш учун унинг сиртига шарик маълум куч билан таъсир қилдирилади.

Д — шарикнинг диаметри, см;  $d$  — шарикнинг материал сиртидаги изи диаметри, см.

Агар,  $HB \geq 400 \text{ кг / мм}^2$  бўлса, материалнинг қаттиқлиги шарик ёрдамида топилмайди, чунки материалнинг деформацияси сезиларли бўлади. Бринель сони ва материалнинг мустаҳкамлик чегараси боғланишда: қаттиқлик Бринель сони:

$$HB = \frac{2F}{\pi D \left( D - \sqrt{D^2 - d^2} \right)} \quad \text{буйича топилади.}$$



53-расм.

Кам углеродли пўлат учун:  $\sigma = 0,36 \text{ НВ}$ .

$$\text{Кул ранг чўян учун: } \sigma_e = \frac{HB - 40}{6}$$

## 2.10. ЯНГИ МАТЕРИАЛЛАРНИНГ МЕХАНИК ТАВСИФЛАРИ

Кейинги йилларда пластмассалар, резиналар, елимлар, локлар ва бошқа синтетик материаллар техникада кенг қўлланиляпти. Бу турдаги барча материалларнинг асосини полимерлар ташкил этади. Қурилишда турли пластмассалар ишлатилмоқда. Пластмассаларни қолиплаш ҳарорати 20° дан (эпоксидопласт, эфириопласт) 250 — 350°C гача (полипропилен, фторопласт) этади. Пластмассаларнинг эластиклик модули катта бўлиб, чўзилувчанлиги кичикдир. Масалан:

фенопласт  $E = (3...25) \cdot 10^3 \text{ мН/м}^2$ ;  $\delta = (0,1...1,5)\%$ ;

эпоксидопласт  $E = (3...4) \cdot 10^3 \text{ мН/м}^2$ ;  $\delta = (2,5...8)\%$ .

Қотиш жараёнида ўзгармайдиган хоссаларга эга бўлган пластмассалар реактопластлар дейилади. Қотиш жараёнида ўзгарувчан хоссаларга эга бўлган пластмассалар — термопластлар дейилади. Уларни қайта қиздирив, яна қолинга солиш мумкин. Бундай пластмассаларнинг эластиклик модули кичик, чўзилувчанлиги каттадир. Масалан:

полиэтиленда  $E = (1,5...2,5) \cdot 10^3 \text{ мН/м}^2$ ;  $\delta = 150...600)\%$ ;

полипропиленда  $E = (9...12) \cdot 10^3 \text{ мН/м}^2$ ;  $\delta = (500...700)\%$ .

Баъзи пластмассаларнинг мустаҳкамлик чегаралари Ст.3 пўлатнигига қараганда юқори, пластиклик тавсифлари унча катта эмас, узилишдаги қолдиқ деформацияси  $\delta = (1...2)\%$ . Пластмассаларнинг солиштирма оғирлиги ( $\rho = 1,3...1,9 \text{ кг/см}^3$ ) пўлатнигига нисбатан 3—4 марта, дюралюминийнигига қараганда тахминан 1,5 марта кичик. Шунинг учун конструкция оғирлигини камайтиришда бу материалдан фойдаланиш мумкин.

Техникада резина катта аҳамиятга эга. Резинанинг юмшоқ, ўртача қаттиқ, қаттиқ, иссиққа ва ёғ таъсирига чидамли, протектор каби турлари мавжуд. Резинанинг элас-

тиклик модули ва Пуассон коэффициенти ўзгарувчандир. Масалан,  $E = (0,4...8)$  мН/м<sup>2</sup>;  $\mu = 0,11 - 0,45$ , соф каучук учун:  $\mu = 0,5$ , протектор резина учун:  $E = (8,5...11)$  мН/м<sup>2</sup>;  $\delta = 40...45\%$ , эбонит учун:  $E = 40...70$  мН/м<sup>2</sup>;  $\delta = 0,8...1,2\%$ .

### САВОЛ ВА ТОПШИРИҚЛАР

1. Марказий чўзилиш ёки сиқилиш деб нимага айтилади?
1. Абсолют узайиш деб нимага айтилади?
3. Нисбий узайиш деб нимага айтилади?
4. Гук қонунини таърифлаб беринг.
5. Материалларнинг механик хоссаларини айтиб беринг.
6. Материалларнинг пластиклик хоссаларини айтиб беринг.
7. Юмшоқ пўлатнинг чўзилиш диаграммасини чизиб беринг.
8. Юмшоқ пўлатнинг сиқилиш диаграммасини чизиб беринг.
9. Пропорционаллик чегара деб нимага айтилади?
10. Оқувчанлик чегара деб нимага айтилади?
11. Мустаҳкамлик чегара деб нимага айтилади?
12. Эластиклик чегара деб нимага айтилади?
13. Муртлик деб нимага айтилади?
14. Пластиклик нима?
15. Рухсат этилган кучланиш нима?
16. Чўзилиш ва сиқилишда мустаҳкамлик шартини ёзинг?
17. Статик ноаниқ масала деб нимага айтилади?
18. Пухталаниш нима?

### МАСАЛАЛАР

**1-масала.** Пўлатдан тайёрланган погонали бруслари  $F_1 = 30$  кН,  $F_2 = 30$  кН,  $F_3 = 50$  кН ташқи кучлар билан юкланган. Погонали бруслари учун ички бўйлама куч —  $N$ ; нормал кучланиш —  $\sigma$  ва абсолют узайиш —  $\Delta\ell$  эпюралари қурилсин.

**Ечиш.** Бутун системанинг мувозанат тенгламасидан номаълум реакция кучи — Вни топамиз:

$$\sum y = B + F_3 - F_2 - F_1 = 0 \quad \text{ёки} \quad B = 30 + 30 - 50 = 10 \text{кН}$$

Берилган масала статик аниқ ёки статик аниқмас система бўлишидан қатъи назар бўйлама кўчишни топиш таянч нуқтадан бошланиши керак, чунки бу нуқта жойлашган кесимнинг кўчиши ( $\Delta\ell_B = 0$ ) нолга тенгdir. Шунинг учун бўйлама куч —  $N$  ни топишни ҳам стерженнинг таянч нуқтасидан бошлаймиз.

Кесиш усулидан фойдаланиб брусли юқори поғонасидан фикран икки қисмга ажратамиз ва пастки қисмни ташлаб юборамиз. Ажратиб қолдирилган қисмнинг кесилган юзасига пастки ташлаб юборилган қисмнинг таъсирини алмаштирадиган  $N$  кучни кўямиз ва мувозанат тенгламасини тузамиз:

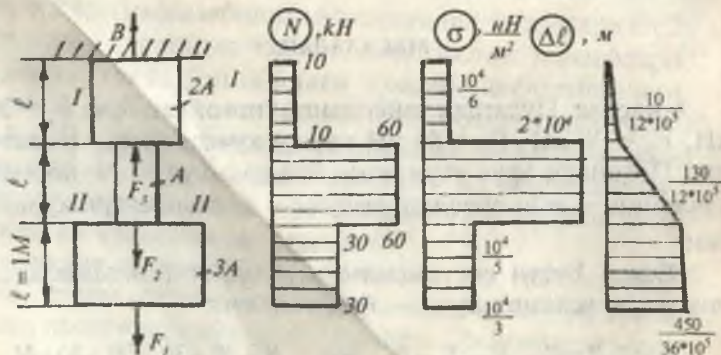
$$\Sigma y = B - N_1 = 0 \quad \text{ёки} \quad B = N_1 = 10 \text{ kH}$$

Текширилаётган поғонанинг узунлиги бўйлаб  $N$ , куч ўзгармас бўлиб, миқдор жиҳатдан реакция кучи —  $B$ га тенг. Нормал күчланишини топамиз:

$$\sigma_1 = \frac{N_1}{2A} = \frac{10}{2 \cdot 3 \cdot 10^{-3}} = \frac{10^4}{6}, \frac{\text{kH}}{\text{m}^2}$$

Бруслинг  $\ell$  узунлиги бўйлаб тўлиқ кўчишни топамиз:

$$\Delta\ell_1 = \int_0^{N_1 dy} \frac{N_1 dy}{E2A} = \frac{N_1 y_1}{E2A}$$



54-расм.

Агар,  $y_1 = 0$  бўлса,  $\Delta\ell_1 = 0$  ва  $y_1 = 1 \text{ м}$  бўлса,  $\Delta\ell_1 = \frac{10}{12 \cdot 10^5} \text{ м.}$

Демак, бруснинг юқори поғонасида бўйлама деформация тўғри чизиқли қонуният билан ўзгариб, нолдан  $\Delta\ell_1 = \frac{10}{12 \cdot 10^5}$  гача ортиб боради.

### II—II қирқим (ўрта поғона).

Ажратилган системанинг мувозанат тенгламасига асосан  $\sum y = 0$ .  $B + F_3 - N_2 = 0$  ва  $N_2 = 60 \text{ кН}$ ,

$$\text{нормал кучланиш: } \sigma_2 = \frac{N_2}{A} = \frac{60}{3 \cdot 10^{-3}} = 2 \cdot 10^4 \frac{\text{kH}}{\text{m}^2}$$

Брус ажратилган қисмининг тўлиқ узайишини топиш учун иккинчи оралиқ узайишига биринчи оралиқнинг тўлиқ узайишини қўшиб ёзамиш, яъни:

$$\Delta\ell_2 = \frac{10}{12 \cdot 10^5} + \frac{N_2 \cdot y_2}{EA}$$

Агар  $y_2 = 0$  бўлса,  $\Delta\ell_2 = \frac{10}{12 \cdot 10^5} \text{ м}$  ва  $y_2 = 1 \text{ м}$ ,  $\Delta\ell = \frac{65}{6 \cdot 10^5} \text{ м}$

### III — III қирқим (настки поғона).

Бўйлама куч —  $N_3$  ни топиш учун стерженнинг ажратилган қисмининг мувозанат тенгламасини тузамиш:

$$\sum y = B + F_3 - F_2 - N_3 = 0$$

Бу ерда:  $N_3 = 30 \text{ кН}$ .

Бўйлама куч ажратилган қисмга таъсир қилаётган кучларни алгебраик йиғиндисига тенг бўлади.

$$\text{Нормал кучланиш: } \sigma_3 = \frac{N_3}{3A} = \frac{30}{3 \cdot 3 \cdot 10^{-3}} = \frac{10^6}{3} \frac{\text{kH}}{\text{m}^2}$$

Бруснинг тўлиқ узайиши:

$$\Delta\ell_3 = \Delta\ell_2 + \frac{N_3 y_3}{E3A} \text{ бўлади.}$$

$y_3 = 0$  бўлса,  $\Delta\ell_3 = \frac{130}{12 \cdot 10^5} \text{ м}$  ва  $y_3 = \ell = 1 \text{ м. да } \Delta\ell_3 = \frac{450}{36 \cdot 10^5} \text{ м.}$

$N$ ,  $\sigma$  ва  $\Delta\ell$  эпюралари 54-расмда кўрсатилган.

$$\begin{aligned}\sum x = 0, N_2 = M + F_3 - \int_0^2 q_x dx = M + 3,5F - \int_0^2 q \frac{x dx}{2a} = \\ = M + 3,5F - F \frac{x^2}{4a^2}\end{aligned}$$

Нормал күчланиш:  $\sigma_2 = \frac{N_2}{A}$

$$x_2 = 1\text{ м} \quad N_2 = 42,5\text{ кН} \quad \sigma_2 = 21,25 \cdot 10^4 \frac{\text{kH}}{\text{m}^2}$$

$$x_2 = 2\text{ м} \quad N_2 = 35\text{ кН}; \quad \sigma_2 = 17,5 \cdot 10^4 \frac{\text{kH}}{\text{m}^2}$$

I погонадан II погонага ўтиш В нүктасида бўйлама кучни қиймати  $F_3 = 3,5F = 35\text{ кН}$  га фарқ қиласди. Шунинг учун В нүкта жойлашган кесимни N эпюрасида 35 кН га тенг сакраш бўлади. Брусли 2а узунлигининг тўлиқ узайишини топамиз.

$$\Delta\ell_2 = \Delta\ell_B + \int_0^M \frac{N_2 dx}{EA} = 2,291 \cdot 10^{-4} + \frac{Mx_2}{EA} + \frac{3,5Fx_2}{EA} - F \frac{x_2^3}{12a^2 EA}$$

$x_2 = 0, \Delta\ell_2 = 2,291 \cdot 10^{-4} \text{ м}, x_2 = 0,5\text{ м}, \Delta\ell = 7,9 \cdot 10^{-4} \text{ м},$   
 $x_2 = 1\text{ м}, \Delta\ell_2 = \Delta\ell_c = 13,3 \cdot 10^{-4} \text{ м}$  брус АС узунлигининг тўлиқ узайишидир.

**III – III қирқим (CD оралиқ).**  $0 \leq x_3 \leq 1\text{ м}$

Оралиқ узунлиги бўйича тақсимланган куч интенсивлигини тенг таъсир қилувчиси  $\frac{1}{2}q \cdot 2a = qa = \frac{F}{a} \cdot a = F$  га тенг.

Бруслинг ажратилган қисмининг мувозанат тентламаси қуйидагича ёзилади:  $\sum x = N_3 + F_2 + F - F_3 - M = 0$  ёки  $N_3 = 5\text{ кН}$

Нормал күчланиш:  $\sigma = 2,5 \cdot 10^4 \frac{\text{kH}}{\text{m}^2}$

Оралиқ узунлиги бўйлаб N, ва σ, тенг тарқалган, абсолют узайиш Δℓ, эса x, масофага пропорционал боғланишда бўлиб, тўгри чизиқли қонуният билан ўзгаради. Шунинг учун MD оралиқнинг узайиши:

$$\Delta \ell_D = \Delta \ell_c + \frac{N_3 l}{EA} = 13,3 \cdot 10^{-4} + \frac{5 \cdot 1}{2 \cdot 10^8 \cdot 2 \cdot 10^{-4}} = 14,55 \cdot 10^{-4} \text{ м}$$

**IV — IV қирқим.**  $0 \leq x_4 \leq 1 \text{ м}$

Бруснинг ажратилган қисмининг мувозанат шарти:

$$\sum x = N_4 + F_1 + \int_0^1 q_x dx + F_2 - F_3 - \frac{1}{2} q 2a - M = 0 \quad \text{ёки}$$

$$N_4 = -F - q \frac{x^2}{2a} - 3F + 3,5F + \frac{F}{a} \cdot a + F = 1,5F - F \frac{x_4^2}{2a^2}$$

Нормал кучланиш:  $\sigma_4 = \frac{N_4}{A}$  ва абсолют узайиши:

$$\begin{aligned} \Delta \ell_4 &= \Delta \ell_D + \int_0^1 \frac{N_4 dx}{EA} = 14,55 \cdot 10^{-4} + \int_0^1 \left( 1,5F - F \frac{x_4^2}{2a^2} \right) \frac{dx}{EA} = \\ &= 14,55 \cdot 10^{-4} + \frac{1,5Fx_4}{EA} - F \frac{x_4^3}{6a^2 EA} \end{aligned}$$

$$x_4 = 0 \quad N_4 = 15 \text{ кН}; \quad \sigma_4 = 7,5 \cdot 10^4 \frac{\text{кН}}{\text{м}^2}; \quad \Delta \ell_4 = 14,55 \cdot 10^{-4} \text{ м}$$

$$x_4 = 0,5 \text{ м} \quad N_4 = 13,875 \text{ кН}; \quad \sigma_4 = 6,937 \cdot 10^4 \frac{\text{кН}}{\text{м}^2};$$

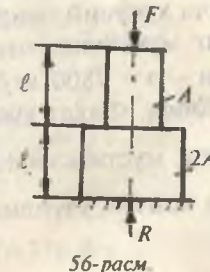
$$x_4 = 1 \text{ м} \quad N_4 = 10 \text{ кН}; \quad \sigma_4 = 5 \cdot 10^4 \frac{\text{кН}}{\text{м}^2}; \quad \Delta \ell_4 = 17,88 \cdot 10^{-4} \text{ м}$$

Бруснинг түлиқ узайиши:  $\Delta \ell = 17,88 \cdot 10^{-4} \text{ м}$  га тенг.

**З-масала.** F күч ва хусусий оғирлиги билан юқланган поғонали бруснинг түлиқ қисқариши топилсин. Брус материялининг ҳажмий оғирлиги —  $\rho$  ва эластиклик модули — E.

**Ечиш.** Брус ҳар бир поғонасининг хусусий оғирлиги  $\sigma_1 = \rho A \ell$  ва  $\sigma_2 = \rho 2A \ell$ .

F күч таъсиридан таянч кесимида В реакция күчи ҳосил бўлади.



Реакция кучини топамиз:  $\Sigma x = B - F - \rho A\ell - \rho 2A\ell = 0$   
 ёки  $B = F + 3\rho A\ell$

Брусни пастки погонасидаги ички бүйлама кучни кесиш усулидан фойдаланиб топамиз:  $0 \leq x_1 \leq \ell$

$$\Sigma x = N_1 + B - \rho 2Ax_1 = 0 \quad \text{ва} \quad N_1 = \rho 2A \cdot x_1 - F - 3\rho A\ell$$

Бруснинг ажратилган қисмининг деформациясини Гук қонуидан фойдаланиб топамиз:

$$\Delta\ell_1 = \int_0^{\ell} \frac{N_1 dx}{E2A} = \int_0^{\ell} \frac{(\rho 2Ax_1 - F - 3\rho A\ell) dx}{E2A} = \left[ \frac{\rho x_1^2}{2E} - \frac{(F + 3\rho A\ell)x_1}{E2A} \right]_0^{\ell}$$

Агар  $x_1 = 0$  бўлса,  $\Delta\ell_1 = \Delta\ell_B = 0$ , яъни таянч кесимида деформация нолга тенг:  $x_1 = \ell; \Delta\ell_1 = -\frac{F\ell}{E2A} - \frac{\rho\ell^2}{E}$

### II — II қирқим.

Бўйлама кучни топамиз:  $\Sigma x = N_2 + B - \rho 2A\ell - \rho Ax_2 = 0$

$$\text{Бу ерда: } N_2 = -F - \rho A\ell + \rho Ax_2$$

Ажратилган қисмнинг тўлиқ кучишини топамиз:

$$\begin{aligned} \Delta\ell_2 &= \Delta\ell_1 + \int_0^{\ell} \frac{N_2 dx}{EA} = \Delta\ell_1 + \int_0^{\ell} \frac{(-F - \rho A\ell + \rho Ax_2) dx}{EA} = \\ &= \Delta\ell_1 + \left[ \frac{\rho Ax_2^2}{2EA} - \frac{(F + \rho A\ell)x_2}{EA} \right]_0^{\ell} \end{aligned}$$

$$x_2 = 0, \Delta\ell_2 = \Delta\ell_1 \text{ ва } x_2 = \ell, \Delta\ell_2 = -\frac{3F\ell}{2EA} - \frac{3\rho \cdot \ell^2}{2E}$$

### 4-масала.

Вертикал осилган пўлатдан тайёрланган стержень қанча хусусий оғирликда емирилади. Пўлат материалининг мустаҳкамлик чегараси  $50 \text{ кг/мм}^2$ , хусусий оғирлиги —  $\rho = 7800 \text{ кг/м}^3$ .

Ечиш. Фақат хусусий оғирлиги билан юкланган стерженинг мустаҳкамлик шартини ёзамиз:  $\sigma_{\max} = \rho\ell \leq \sigma_B$ . Бу ерда критик узунлик:  $\ell_k = \frac{\sigma_B}{\rho} = \frac{50 \cdot 10^6}{7800} = 6410 \text{ м}$

### 5-масала.

Узунлиги 40 м бұлған погонали брус  $F = 100$  т күч ва хусусий оғирлигі билан юқланған. Погонали брус түртта бир хил узунликдаги оралиқдан иборат. Погонали брус материалининг солишиштірма оғирлигі  $2 \text{ t/m}^3$  ва рұхсат этил-  
ган күчланиш:  $[\sigma] = 80 \frac{\text{T}}{\text{m}^2}$

**Ечиш.** Погонали бруснинг юқори қисмининг кесим юзасини топамиз:

$$A_1 = \frac{F}{[\sigma] - \rho \ell_1} = \frac{100}{80 - 2 \cdot 10} = 1,67 \text{ m}^2$$

$A_2$  кесимга ташқи  $F$  күч ва юқори қисмнинг хусусий оғирлигі таъсир қиласы:

$$A_2 = \frac{F + \rho \ell_1 A_1}{[\sigma] - \rho \ell_2} = \frac{100 + 2 \cdot 1,67 \cdot 10}{80 - 2 \cdot 10} = 2,23 \text{ m}^2$$

Погонали бруснинг учинчи қисми —  $F$  күч, бириңчи ва иккінчи погоналарни хусусий оғирликлари таъсирида:

$$A_3 = \frac{A + \rho \ell (A_1 + A_2)}{[\sigma] - \rho \ell_3} = \frac{100 + 2 \cdot 10(1,67 + 2,23)}{80 - 2 \cdot 10} = 2,97 \text{ m}^2$$

Погонали бруснинг энг пастки қисми —  $F$  күч ва ундан юқори қисмларининг хусусий оғирликлари таъсирида бұлады:

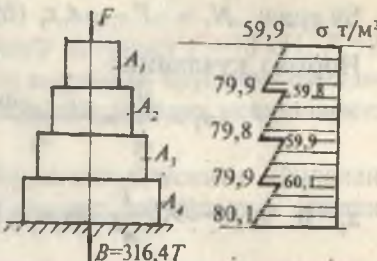
$$A_4 = \frac{F + \rho \ell (A_1 + A_2 + A_3)}{[\sigma] - \rho \ell_4} = \frac{100 + 2 \cdot 10(1,67 + 2,23 + 2,97)}{80 - 2 \cdot 10} = 3,95 \text{ m}^2$$

Погонали бруснинг таянч кучини топамиз:

$$\sum x = -F - \rho \cdot \ell (A_1 + A_2 + A_3 + A_4) + B = 0$$

Бу ерда:

$$B = 100 + 2 \cdot 10(1,67 + 2,23 + 2,97 + 3,95) = 316,4 \text{ t.}$$



57-расм.

Погонали бруснинг узунлиги бўйлаб кучланиш эпюрасини қуриш учун уни ҳар бир погонасидаги ички бўйлама кучларини кесиш усулидан фойдаланиб топамиз.

**I — I қирқим.**  $N_1$  қучни топиш учун бруснинг ажратиб олинган ( $A_1$  — кесим) қисмининг мувозанат тенгламаси ни тузамиз:

$$\sum x = -F - \rho A x_1 - N_1 = 0$$

Бу ерда:  $N_1 = -F - \rho A x_1$  (бўйлама куч — сиқувчи)

Нормал кучланиш:

$$\sigma_1 = \frac{N_1}{A_1} = \frac{-F - \rho A x_1}{A_1} = -\frac{F}{A_1} - \rho x_1$$

$$x_1 = 0, \quad \sigma_1 = -59,9 \frac{T}{m^2} \text{ ва } x_1 = 10 \text{ м} \quad \sigma_1 = -79,9 \frac{T}{m^2}$$

**II — II қирқим.**  $0 \leq x_2 \leq 10 \text{ м}$  оралиқдаги ( $A_2$  — кесим) брус сиқувчи куч  $F$  бруснинг юқори қисмининг хусусий оғирлиги ва бўйлама куч таъсирида бўлади. Бу ерда:

$$-F - \rho A_1 \ell - \rho A_2 x_2 - N_2 = 0; \quad N_2 = -133,4 - 4,46 x_2$$

$$\text{Нормал кучланиш: } \sigma_2 = \frac{N_2}{A_2} = -\frac{133,4 + 4,46 x_2}{2,23}$$

$$x_2 = 0 \quad \sigma_2 = -59,8 \frac{T}{m^2} \text{ ва } x_2 = 10 \text{ м} \quad \sigma_2 = -79,82 \frac{T}{m^2}$$

**III — III қирқим.**  $0 \leq x_3 \leq 10 \text{ м}$  ( $A_3$  — кесим)

Бўйлама куч  $N_3$  ни топамиз:  $N_3 = -F - \rho A_1 \ell - \rho A_2 \ell - \rho A_3 x_3$ , ёки  $N_3 = -178 - 5,94 x_3$

$$\text{Нормал кучланиш: } \sigma_3 = \frac{N_3}{A_3} = -\frac{178 + 5,94 x_3}{2,97}$$

$$x_3 = 0 \quad \sigma_3 = -59,93 \frac{T}{m^2}, \quad x_3 = 10 \text{ м} \quad \sigma_3 = -79,93 \frac{T}{m^2}$$

**IV — IV қирқим**  $0 \leq x_4 \leq 10 \text{ м}$  ( $A_4$  — кесим)

Бўйлама куч  $N_4 = -F - \rho A_1 \ell - \rho A_2 \ell - \rho A_3 \ell - \rho A_4 x_4$  ёки

$$N_4 = -237,4 - 7,9 x_4$$

$$\text{Нормал күчләниш: } \sigma_4 = \frac{N_4}{A_4} = -\frac{237,4 + 79x_4}{3,95}$$

$$x_4 = 0 \quad \sigma_4 = -60,1 \frac{kN}{m^2} \quad \text{ва} \quad x_4 = 10 \text{ м} \quad \sigma_4 = -80,1 \frac{kN}{m^2}$$

Погонали бруснинг ҳамма кесим юзаларида нормал күчләниш рухсат этилган күчләниш  $\sigma = 80 \frac{kN}{m^2}$  дан катта эмас.

**6-масала.** Хусусий оғирлиги ва ташқи  $F_1 = 10 \text{ kN}$ ;  $F_2 = 20 \text{ kN}$ ;  $F_3 = 0,5 \text{ kN}$  күчлар билан юкланган бруснинг бўйлами куч, нормал күчләниш ва абсолют узайиш эпюраларини куринг.

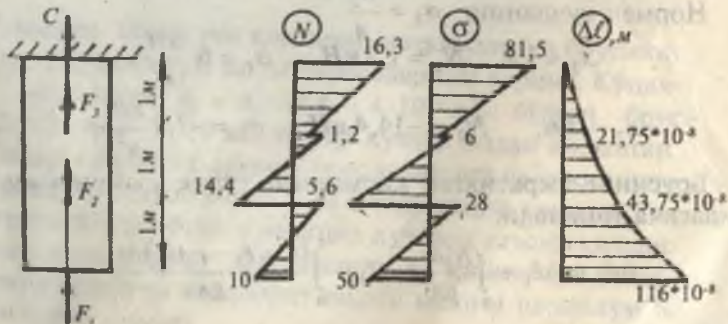
Пўлат материалдан тайёрланган бруснинг кўндаланг кесим юзаси  $0,2 \text{ m}^2$ , материалнинг солиширма оғирлиги:  $\rho = 78 \frac{kN}{m^3}$

**Ечиш:** Бруснинг мувозанат шартидан фойдаланиб реакция кучини топамиз:

$$\sum x = -c + F_1 + F_2 + F_3 - \rho A \cdot 3 = 0 \quad \text{ёки} \quad C = -16,3 \text{ kN}$$

Демак, реакция кучи тескари, яъни юқорига йўналар экан. Ташқи күчларнинг таъсири қилиш тавсифига кўра брусни учта оралиқقا бўлиб, ажратилган қисмларни узунлиги бўйлаб  $N$ ,  $\sigma$  ва  $\Delta l$  ларнинг тарқалиш қонуниятини ўрганамиз.

**I – I қирқим.** Бруснинг ажратилган қисмининг кесилган кўндаланг кесимига ташлаб юборилган қисмининг



58-расм.

оғирлигини ва ташқи күчларнинг таъсирини  $N_1$  куч сифатида келтириб қўямиз. Натижада бруслинг ажратиб олиб қолдирилган қисми реакция кучи  $C$ , узунлиги  $X_1$  бўлган қисмининг хусусий оғирлиги  $\rho Ax_1$  ва ички куч  $N_1$  таъсирида бўлар экан. Мувозанат шарт қуидагича ёзилади:

$$\sum x = 0; C - \rho Ax_1 - N_1 = 0 \text{ ёки } N_1 = C - \rho Ax_1$$

$$\text{Нормал күчланиш: } \sigma_1 = \frac{N_1}{A} = \frac{C}{A} - \rho \cdot x_1$$

$$x_1 - \text{узунликнинг узайиши: } \Delta\ell_1 = \int_0^{N_1} \frac{dx}{EA} = \int_0^{(C - \rho Ax_1)} \frac{dx}{EA}$$

$$\text{ёки } \Delta\ell_1 = \frac{Cx_1}{EA} - \frac{\rho \cdot x_1^2}{2E}$$

Юқоридаги тенгламаларга асосан  $0 \leq x_1 \leq 1 \text{ м}$  оралиқда  $N$  ва  $\sigma$  тўғри чизиқли ва  $\Delta\ell$  эгри чизиқ қонунияти билан ўзгаради.

$$x_1 = 0 \text{ бўлса } N_1 = 16,3 \text{ кН}; \sigma_1 = 81,5 \frac{\text{кН}}{\text{м}^2}; \Delta\ell_1 = 0$$

$$x_1 = 1 \text{ м} \quad N_1 = 0,7 \text{ кН} \quad \sigma_1 = 3,5 \frac{\text{кН}}{\text{м}^2} \quad \Delta\ell_1 = 21,25 \cdot 10^{-8} \text{ м}$$

**II — II қирқим.** Бруслинг қўзгалмас кесимидағи  $x_2$  ма-софада жойлашган 2—2 кесими учун бўйлама куч:

$$N_2 = c + F - \rho Ax_2$$

$$\text{Нормал күчланиш: } \sigma_2 = \frac{N_2}{A}$$

$$x_2 = 1 \text{ м} \quad N_2 = 1,2 \text{ кН} \quad \sigma_2 = 6 \frac{\text{кН}}{\text{м}^2}$$

$$x_2 = 2 \text{ м}; \quad N_2 = -14,4 \text{ кН} \quad \sigma_2 = -7,2 \frac{\text{кН}}{\text{м}^2}$$

Бруслинг ажратилган қисмининг тўлиқ узайиши қуидагича топилади:

$$\Delta\ell_2 = \Delta\ell_1 + \int_0^{N_2} \frac{dx}{EA} = \Delta\ell_1 + \int_0^{(C + F_2 - \rho Ax_2)} \frac{dx}{EA}$$

Ҳосил бўлган тенгламани интегралласак:

$$\Delta\ell_2 = \Delta\ell_1 + \frac{(C + F_3)x_2}{EA} - \frac{\rho \cdot x_2^2}{2E}$$

Бу ерда:

$$x_2 = 0 \text{ бўлса, } \Delta\ell_2 = 21,25 \cdot 10^{-8} \text{ м ва } x_2 = 1 \text{ м бўлса,}$$

$$\Delta\ell_2 = 43,75 \cdot 10^{-8} \text{ м}$$

**III — III қирқим.** Узунлиги  $x_3$  га тенг бўлган брусли мувозанат тенгламаси қўйидагича ёзилади:  $\sum x = 0$ .

$$N_3 = C + F_3 + F_2 - \rho A x_3$$

Нормал кучланиш:  $\sigma_3 = \frac{N_3}{A}$

Агар:  $x_3 = 2 \text{ м}$  бўлса,  $N_3 = 5,6 \text{ кН}$   $\sigma_3 = 28 \frac{\text{kH}}{\text{m}^2}$

$x_3 = 3 \text{ м}$  бўлса,  $N_3 = -10 \text{ кН}$   $\sigma_3 = -50 \frac{\text{kH}}{\text{m}^2}$

Бруслинг тўлиқ узайишини топамиз:

$$\Delta\ell_3 = \Delta\ell_2 + \int_0^{N_3 dx} \frac{dx}{EA} = \Delta\ell_2 + \int_0^{(C + F_3 + F_2 - \rho A x_3) dx} \frac{dx}{EA} =$$

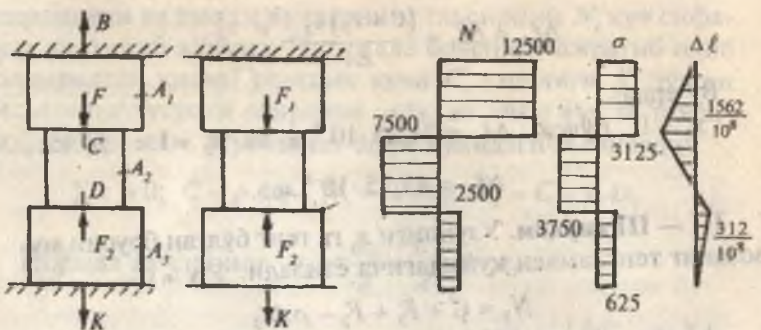
$$= 43,75 \cdot 10^{-8} + \frac{36,8 x_3}{EA} - \frac{\rho x_3^2}{2E}$$

$x_3 = 0 \quad \Delta\ell_3 = 43,75 \cdot 10^{-8} \text{ м ва}$

$x_3 = 1 \text{ м} \quad \Delta\ell_3 = 116,5 \cdot 10^{-8} \text{ м}$

**7-масала.** Икки учи қистириб маҳкамданган бруслинг узунлиги бўйлаб  $N$ ,  $\sigma$  ва  $\Delta\ell$  эпюраларини қуринг. Кўндаланг кесимлари  $A_1 = A_3 = 2A_2 = 4 \cdot 10^{-3} \text{ м}^2$  бўлган брус  $F_1 = 20 \text{ кН}$  ва  $F_2 = 10 \text{ кН}$  ташқи кучлар билан юкланган.

Ташқи кучлар таъсирида брус узайишга ва сиқилишга қаршилик қўрсатади ҳамда К ва В таянчларга таянади. Таъянч нуқталаридан бруслга реакция кучлари таъсир қиласади. Реакция кучларининг йўналишини ва қийматини аниқлаш учун тузилган мувозанат шарти иккита номаълум К ва В ни беради, яъни:



59-расм.

$$\Sigma x = B + K - F_1 + F_2 = 0$$

Системадаги номаълумлар сони статикани мувозанат тенгламаларидан ортиқча. Шунинг учун конструкция статик аниқмас масалаларга киради. Бундай масалалар құшымда деформация (деформацияни таққослаш) тенгламаларини тузиш усули билан ечилади. Деформацияни таққослаш тенгламасини тузиш ташқы күчлар таъсирида таянчлар оралиғи масофаси ўзгармасдан (бруснинг түлиқ деформацияси нолға тенг бўлади), фақат брусларни погоналари узунлиги ўзгариши, яъни системани ташқы күчлар таъсиридаги түлиқ узайишининг абсолют қиймати  $K$  реакция кучи таъсиридаги түлиқ қисқаришнинг абсолют микдорига тенглигига асослангандир.

Бу ерда:  $\Delta\ell_K = \Delta\ell_{F_1} - \Delta\ell_{F_2}$  ва

$$\Delta\ell_{F_1} = \frac{F_1 \cdot 1}{EA}; \quad \Delta\ell_{F_2} = \frac{F_2 \cdot 1}{EA_2} + \frac{F_2 \cdot 1}{EA_1}$$

$$\Delta\ell_K = K \left[ \frac{1}{EA_1} + \frac{1}{EA_2} + \frac{1}{EA_3} \right] = \frac{2K}{EA_2}$$

$$\text{Демак, } \frac{2K}{EA_2} = \frac{F_1 \cdot 1}{E2A} - F_2 \left( \frac{1+1}{EA_2} \right) \text{ ёки } K = -\frac{F_2}{4} = -2500 \text{ H}$$

Минус ишораси К реакция кучининг йўналиши нотўғри қабул қилинганини билдиради. Демак, К реакция кучи йўналишини тескарига йўналтирамиз ва кейинги тенгламаларда минус (-) ишорасини ҳисобга олмаймиз.

К таянч кучининг қийматини системанинг мувозанат тенгламасига келтириб қўйсак, яъни:  $-\frac{F_2}{4} + B - F_1 + F_2 = 0$

Бу ерда:  $B = 12,5 \text{ кН}$ .

Статик аниқмаслик йўқотилгандан кейин бруслари оралық поғоналарида  $N$ ;  $\sigma$  ва  $\Delta\ell$  ларнинг ўзгаришини топамиз ва эпюрасини қурамиз. Бунинг учун бруслари оралықларга була-миз. Қирқимлар чегаралари ташки кучлар қўйилган нуқтадардан ва бруслари кесим юзаси ўзгариши оралықларидан ўтган.

{ I – I қирқим. (КД – оралық)

Ажратилган брусланинг мувозанат тенгламасини тузамиз:

$$\sum y = N_1 - K = 0$$

Бу ерда:  $N_1 = K = 2500 \text{ Н}$  (чўзилиш).

Нормал кучланиш:  $\sigma_1 = \frac{N_1}{A_1} = \frac{2500}{2 \cdot 2 \cdot 10^{-3}} = 625 \cdot 10^3 \frac{\text{Н}}{\text{м}^2}$

II – II қирқим. (ДС – оралық)

Схемадан  $N_2 = K - F_2 = 2500 - 10000 = -7500 \text{ Н}$

$$\sigma_2 = \frac{N_2}{A_2} = -\frac{7500}{2 \cdot 10^{-3}} = -3750 \cdot 10^3 \frac{\text{Н}}{\text{м}^2}$$

III – III қирқим. (СВ – оралық) Брусланинг ажратилган қисми  $F_1$ ;  $F_2$ ;  $K$  ва  $N_3$  кучлари таъсирида. Мувозанат тенгламаси қўйидагича ёзилади:

$$\sum y = N_3 - F_1 + F_2 - K = 0 .$$

Бу ерда  $N_3 = 12500 \text{ Н}$

Нормал кучланиш:  $\sigma_3 = \frac{N_3}{A_3} = \frac{12500}{2 \cdot 2 \cdot 10^{-3}} = 3125 \cdot 10^3 \frac{\text{Н}}{\text{м}^2}$

Брусланинг тулиқ узайишини топиш учун оралықларнинг чегараларидаги  $N$  ўзгармас бўлганлиги учун  $\Delta\ell$  билан бўйлама куч орасидаги боғланиш тўғри чизиқли қонуният билан ўзгаради. К кесим қўзғалмас, демак,  $\Delta\ell_K = 0$ . Д нуқтанинг кўчиши КД оралықнинг узайишига тенгдир, яъни:

$$\Delta\ell_B = \frac{N_1 \cdot y_1}{EA_1}$$

$$y_1 = 0 \quad \Delta\ell_B = \Delta\ell_K = 0 \text{ ва}$$

$$y_1 = 1 \text{ м} \quad \Delta\ell_B = 312,5 \cdot 10^{-8} \text{ м}$$

С нүктанинг тұлиқ күчиши КД ва ДС масофаларнинг узайиши йиғиндисига тенгдир, яъни:

$$\Delta\ell_c = 312,5 \cdot 10^{-8} + \frac{N_2 \cdot y_2}{EA_2}$$

$$y_2 = 0 \quad \Delta\ell_c = \Delta\ell_B = 312,5 \cdot 10^{-8} \text{ м}$$

$$y_2 = 1 \text{ м} \quad \Delta\ell_c = -1562,5 \cdot 10^{-8} \text{ м}$$

В нүктанинг күчиши бруснинг КВ оралиғи тұлиқ узайишига тенгдир, яъни:

$$\Delta\ell_B = -1562,5 \cdot 10^{-8} + \frac{N_3 \cdot y_3}{EA_1}$$

$$y_3 = 0 \quad \Delta\ell_3 = -1562,5 \cdot 10^{-8} \text{ м}$$

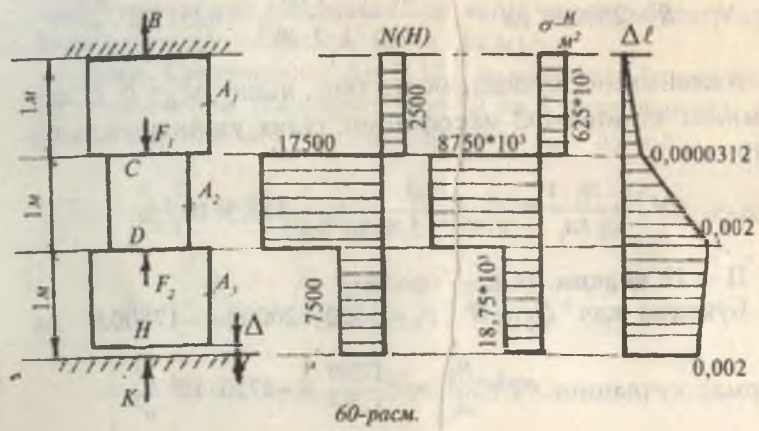
$$y_3 = 1 \text{ м} \quad \Delta\ell_B = -1562,5 \cdot 10^{-8} + \frac{12500 \cdot 1}{2 \cdot 10^{11} \cdot 2 \cdot 2 \cdot 10^{-3}} = 0$$

В нүкта жойлашған кесимнинг күчиши нолға тең, чунки бу кесим бикр маҳкамланған.

**8-масала.** Брус ташқи күчлар билан юқланғанligiga қадар пастки кесими K таянч нүктаси билан  $\Delta = 0,002$  м масофа ҳосил қылған. Бруснинг ДС оралиқ узунлиғи  $\Delta t = 20^\circ$  гача қыздырылған. Агар бруснинг ташқи күчлар ва ҳарорат таъсиридаги тұлиқ узайиши натижасида  $\Delta$  масофа ёпилиб, брус билан таянч орасида үзаро таъсир күчлари ҳосил бўлса, система статик аниқмас системага айланади;  $\Delta$  масофа ёпилмаса ёки ёпилиб брус билан таянч орасида үзаро таъсир күчлари ҳосил бўлмаса, система статик аниқ бўлиб қолади.

Берилған система қайси ҳолатга тұғри келишини аниқлаш учун "Н" кесимнинг тұлиқ узайишини топамиз:

$$\Delta_n = \Delta F_1 - \Delta F_2 + \Delta_t = \frac{F_1 \cdot 1}{EA_1} - \frac{F_2 \cdot 1}{EA_2} - \frac{F_2 \cdot 1}{EA_1} + \alpha \cdot \Delta t \cdot 1 = 0,002375 \text{ м}$$



Демак,  $\Delta_H > \Delta$  ёки  $0,002375 > 0,002$  м, натижада Н ва К кесимлар туташади ва К таянчда реактив күч ҳосил булиб, система статик ноаниқ бўлади. Масалани ечиш учун системанинг мувозанат тенгламасини тузамиш:

$$\sum y = K + B + F_2 - F_1 = 0 \text{ ёки } K + B = F_1 - F_2$$

Системанинг аниқмаслик даражасини очиш учун кўшимча деформация тенгламасини тузамиш:  $\Delta_H - \Delta \approx \Delta_A$

$$\Delta_K = K \frac{1}{EA_1} + \frac{K \cdot 1}{EA_2} + \frac{K \cdot 1}{EA_3}$$

Бруснинг К реакция кучи таъсиридан узайиши:

$$0,002375 = K \left( \frac{1}{EA_1} + \frac{1}{EA_2} + \frac{1}{EA_3} \right) + \Delta \text{ ёки}$$

$$K = \frac{(0,002375 - 0,002) \cdot 2 \cdot 10^{11} \cdot 2 \cdot 10^{-3}}{2} = 7500 H$$

$$B = F_1 - F_2 - K = 20000 - 10000 - 7500 = 2500 H$$

Брусни оралиқларга булиб,  $N$ ,  $\sigma$  ва  $\Delta\ell$  эпюраларни курамиз.

I – I қирқим. (ВС – оралиқ)

$$N_1 = B = 2500 \text{ H} \quad \text{ва} \quad \sigma_1 = \frac{N_1}{A_1} = \frac{2500}{2 \cdot 2 \cdot 10^{-3}} = 625 \cdot 10^3 \frac{\text{H}}{\text{м}^2}$$

В кесимнинг кўчиши нолга тенг, яъни:  $\Delta\ell_B = 0$ . С кесимнинг кўчиши ВС масофанинг тўлиқ узайишига тенг, яъни:

$$\Delta\ell_c = \frac{N_1 \cdot 1}{EA_1} = \frac{2500 \cdot 1}{2 \cdot 10^{11} \cdot 2 \cdot 2 \cdot 10^{-3}} = 312,5 \cdot 10^{-8} \text{ м}$$

### II — II қирқим. (СД — оралиқ)

Бўйлама куч  $N_2 = B - F_1 = 2500 - 20000 = -17500 \text{ H}$  ва

$$\text{нормал кучланиш } \sigma_2 = \frac{N_2}{A_2} = -\frac{17500}{2 \cdot 10^{-3}} = -8750 \cdot 10^3 \frac{\text{H}}{\text{м}^2}$$

ВД оралиқ масофасининг тўлиқ узайиши қўйидагича топилади:

$$\begin{aligned} \Delta\ell_B &= 312,5 \cdot 10^{-8} + \frac{N_2 \cdot 1}{EA_2} + \alpha \cdot \Delta t \cdot 1 = 312,5 \cdot 10^{-8} - \\ &- \frac{17500 \cdot 1}{2 \cdot 10^{11} \cdot 2 \cdot 10^{-3}} + 125 \cdot 10^{-7} \cdot 20 \cdot 1 = 0,00209375 \text{ м} \end{aligned}$$

### III—III қирқим. (ДН — оралиқ)

$N_3 = B - F_1 + F_2 = 2500 - 20000 + 10000 = -7500 \text{ H}$

$$\sigma_3 = \frac{N_3}{A_3} = -\frac{7500}{2 \cdot 2 \cdot 10^{-3}} = -1875 \cdot 10^3 \frac{\text{H}}{\text{м}^2}$$

Н кесимнинг кўчиши ёки бруснинг тўлиқ узайиши:

$$\begin{aligned} \Delta\ell_B &= 0,00209375 + \frac{N_3}{EA_3} = 0,00209375 - \\ &- \frac{7500 \cdot 1}{2 \cdot 10^{11} \cdot 2 \cdot 2 \cdot 10^{-3}} = 0,002 \text{ м} \end{aligned}$$

**9-масала.** Бруснинг пастдан биринчи ва иккинчи (8-масалада берилган қийматлардан фойдаланамиз) поғоналари орасида  $\Delta = 0,001 \text{ м}$  масофа бор.  $\Delta$  масофа ёпилгунга

қадар ташқи күч таъсирида бруснинг ҳар бир бўлаги алоҳида деформацияланади (61-а расм).

**Ечиш.** Системанинг  $\Delta = 1 \cdot 10^{-4}$  м масофаси ёпилиш ёки спилмаслигини текшириш учун Д ва К нуқталарнинг деформациясини  $\Delta$ га тенглаштирамиз:  $\Delta_K + \Delta_D = \Delta$ .

$$\Delta_K = \frac{F_1 \cdot 2}{E2A} - q \cdot 2 \left( \frac{2}{E2A} + \frac{2}{2EA} \right) + \alpha \cdot 2 \cdot \Delta t = \frac{F_1 - 4q}{EA} + 2 \cdot \alpha \cdot \Delta t$$

$$\Delta_D = -\frac{F_3 \cdot 2}{EA} - \frac{F_3 \cdot 2}{E2A} + \frac{F_2 \cdot 2}{E2A} + 2q \left( \frac{2}{2EA} + \frac{2}{E2A} \right) \text{ ёки}$$

$$\Delta_D = \frac{-3F_3 + F_2 + 4q}{EA}$$

$$\text{У ҳолда: } \frac{F_1 - 4q}{EA} + 2 \cdot \alpha \cdot \Delta t + \frac{F_2 - 3F_3 + 4q}{EA} = \Delta \text{ ёки}$$

$$F_1 - 4q + 2EA\alpha \cdot \Delta t + F_2 - 3F_3 + 4q = \Delta EA; 80 > \Delta EA$$

Демак, поғонали бруснинг пастки ва юқори қисмлари деформацияларининг йигиндиси поғоналар орасидаги  $\Delta$  дан катта экан. Д ва К нуқта гар орасидаги масофа ёпилади. Система статик иоаниқ системага айланади, С ва Н гаянчлардаги реакция кучлари системага қўйилган барча гашқи кучларга боғлиқ бўлади.

Системанинг мувозанат тенгламасини тузамиз (61-а расм):

$$\sum x = c + F_1 - 2q + F_3 - F_2 - 2q + H = 0$$

Тенгламадаги номаълум С ва Н реакция кучларини топтиш учун асосий системани танлаймиз. Асосий система — ёрилган системанинг К ва Д нуқталарига поғонали брусларнинг  $\Delta$  масофаси ёпилгандан кейин бир-бирларига ўзасю таъсиrlарини алмаштирувчи X кучини номаълум қиймати кўрсатилган схемаси дир (61-б расм). Асосий системанинг К ва Д нуқталари тиңг кўчишларини  $F_1, F_2, F_3, q, x$  кучлари ва  $\Delta t$  ҳарорати фарқи орқали ифодалаймиз:

$$\Delta_{DX} = -\frac{F_3 \cdot 2}{EA} - \frac{F_3 \cdot 2}{E2A} - x \left( \frac{2}{EA} + \frac{2}{E2A} \right) + \frac{F_2 \cdot 2}{E2A} + 2q \left( \frac{2}{E2A} + \frac{2}{E2A} \right)$$

$$\Delta_{KX} = \frac{F_1 2}{2EA} + \alpha \cdot \Delta t \cdot 2 - 2q \left( \frac{2}{2EA} + \frac{2}{2EA} \right) - x \left( \frac{2}{EA} + \frac{2}{2EA} \right)$$

К ва Д нүкталар күчилларининг йиғиндинсисини  $\Delta$  масоғага тенглаштирамиз:  $\Delta_{KX} + \Delta_{DX} = \Delta$  ёки

$$\frac{F_1 2}{2EA} + \alpha \cdot \Delta t \cdot 2 - 2q \left( \frac{2}{2EA} + \frac{2}{E2A} \right) - x \left( \frac{2}{EA} + \frac{2}{2EA} \right) - \frac{2F_3}{EA} - \frac{2F_3}{E2A} -$$

$$-x \left( \frac{2}{EA} + \frac{2}{E2A} \right) + \frac{2F_2}{E2A} + 2q \left( \frac{2}{E2A} + \frac{2}{E2A} \right) = \Delta$$

Бу ерда:

$$F_1 + 2EA \cdot \alpha \cdot \Delta t - 4q - 3x - 3F_3 - 3x + F_2 + 4q = \Delta EA$$

ёки

$$-6x + 40 - 120 + 80 + 2 \cdot 2 \cdot 10^8 \cdot 2 \cdot 10^{-4} \cdot 125 \cdot 10^{-7} \cdot 80 = \Delta EA$$

$$6x = 80 - \Delta EA \text{ ва } x = \frac{80 - 1 \cdot 10^{-4} \cdot 2 \cdot 10^8 \cdot 2 \cdot 10^{-4}}{6} = \frac{76}{6} \kappa H$$

Системанинг ҳар иккала қисмларининг мувозанат шартларидан фойдаланиб С ва Н реакция кучларини топамиз (61-б расм):

$$\sum x = 0; C + F_1 - 2q - x = 0 \text{ ёки } C = \frac{316}{6} \kappa H$$

$$\sum x = 0; H + x + F_3 - F_2 - 2q = 0 \text{ ёки}$$

$$H = -\frac{76}{6} - 40 + 80 + 80 = \frac{644}{6} \kappa H$$

Топилган реакция кучларининг түгри аниқланганлигини текширамиз:  $\sum x = C + F_1 - 2q + F_3 - F_2 - 2q + H = 0$  ёки

$$\frac{316}{6} + 40 - 80 + 40 - 80 - 80 + \frac{644}{6} = 0; 960 - 960 = 0.$$

Энди системани оралиқларга булиб, ҳар бир погонадаги ички бўйлама куч  $N$ , нормал кучланиш  $\sigma$ , бўйлама деформация  $\Delta\ell$ ларни топамиз.

**I—I қирқим.** (С — таянч погонаси)

$$\sum x = C + N_1 = 0 \text{ ёки } N_1 = -\frac{316}{6} \kappa H \text{ (сикувчи)}$$

$$\sigma_1 = \frac{N_1}{2A} = -\frac{316}{6 \cdot 2 \cdot 2 \cdot 10^{-4}} = -13,167 \cdot 10^4 \frac{\kappa H}{m^2}$$

$x_1$  оралиқдаги брус С реакция күчи ва  $\Delta t$  ҳароратлар фарқы таъсирида деформацияланади:  $\Delta \ell_1 = \frac{N_1 x_1}{E 2 A} + \alpha \cdot \Delta t \cdot x_1$

$$x_1 = 0 \quad \Delta \ell_1 = 0 \quad \text{ва} \quad x_1 = 2 \text{ м} \quad \text{бүлса}, \quad \Delta \ell_1 = 6,83 \cdot 10^{-4} \text{ м}$$

**II – II қирқим.** Ажратилған қисмнинг мувозанат шартидан:  $\sum x = c + N_2 + F_1 - qx_2 = 0$ ;

$$\text{бүйлама күч: } N_2 = -c - F_1 + qx_2$$

Нормал қучланиш:  $\sigma_2 = \frac{N_2}{A}$ ; бүйлама деформация:

$$\Delta \ell_2 = \Delta \ell_1 + \int_0^2 \frac{N_2 dx}{EA} = \Delta \ell_1 + \int_0^2 \frac{(-C - F_1 + qx_2) dx}{EA} =$$

$$\Delta \ell_1 - \frac{(c + F_1)x_2}{EA} + q \frac{x_2^2}{2EA};$$

$$x_2 = 0; \quad N_2 = -92,7 \kappa H; \quad \sigma_2 = -46,3 \cdot 10^4 \frac{\kappa H}{m^2}.$$

$$\Delta \ell_2 = 6,83 \cdot 10^{-4} \text{ м}$$

$$x_2 = 2 \text{ м}; \quad N_2 = -\frac{76}{6} \kappa H; \quad \sigma_2 = -6,3 \cdot 10^4 \frac{\kappa H}{m^2};$$

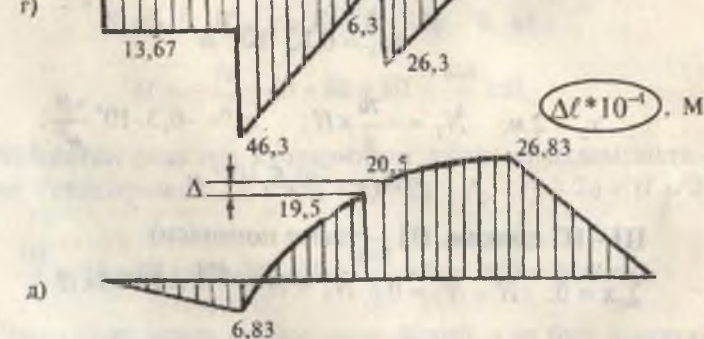
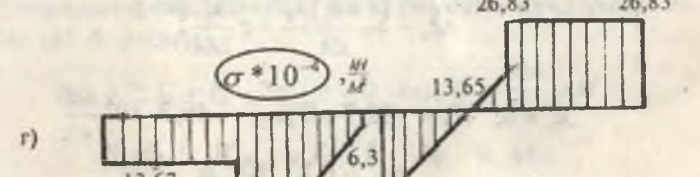
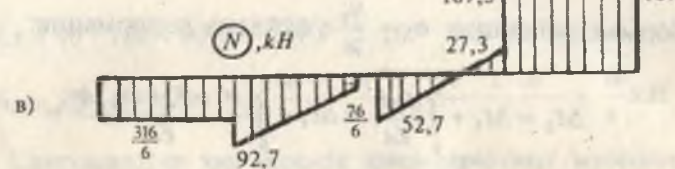
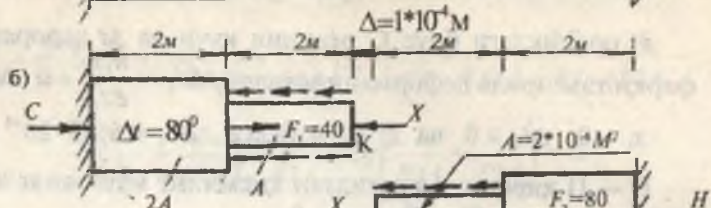
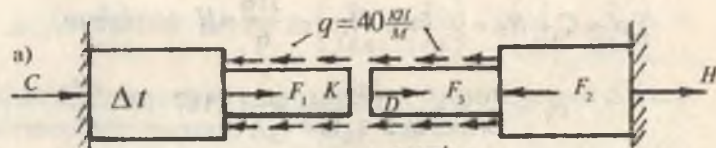
$$\Delta \ell_2 = -19,5 \cdot 10^{-4} \text{ м}$$

**III – III қирқим.** (Н – таяңч погонаси)

$$\sum x = 0; \quad H - N_3 = 0, \quad N_3 = H = \frac{644}{6} = 107,3 \kappa H$$

Нормал қучланиш:

$$\sigma_3 = \frac{N_3}{2A} = \frac{644}{6 \cdot 2 \cdot 2 \cdot 10^{-4}} = 26,83 \cdot 10^4 \frac{\kappa H}{m^2}$$



6J-расм.

Бўйлама деформация:  $\Delta\ell_3 = \frac{N_3 x_3}{E 2 A}$

$$\begin{array}{ll} x_3 = 0 & \text{бўлса, } \Delta\ell_3 = \Delta\ell_H = 0 \\ x_3 = 2 \text{ м} & \text{бўлса, } \Delta\ell_3 = 26,83 \cdot 10^{-4} \text{ м} \end{array}$$

**IV-IV қирқим.** Ички кучни топамиз:

$$\Sigma x = -N_4 - qx - F_2 + H = 0$$

Тенгламадан:

$$N_4 = H - F_2 - qx = 107,3 - 80 - qx = 27,3 - 40x$$

Нормал кучланиш:  $\sigma_4 = \frac{N_4}{A} = \frac{27,3 - 40x}{A}$

Бўйлама деформация:

$$\begin{aligned} \Delta\ell_4 &= \Delta\ell_3 + \int_0^2 \frac{N_4 dx}{EA} = \Delta\ell_3 + \int_0^2 \frac{(27,3 - 40x) dx}{EA} = \\ &= \Delta\ell_3 + \frac{27,3x}{EA} - 40 \frac{x^2}{2EA} \end{aligned}$$

$$x_4 = 0; N_4 = 27,3 \text{ кН}; \sigma_2 = 13,65 \cdot 10^4 \frac{\text{кН}}{\text{м}^2}$$

$$\Delta\ell_4 = 26,83 \cdot 10^{-4} \text{ м}$$

$$x_4 = 2 \text{ м} \quad N_4 = -52,7 \text{ кН}; \quad \sigma_4 = -26,3 \cdot 10^4 \frac{\text{кН}}{\text{м}^2}$$

$$\Delta\ell_4 = 20,5 \cdot 10^{-4} \text{ м}$$

Погонали бруснинг К ва Д нуқталари орасида  $\Delta = 1 \cdot 10^{-4} \text{ м}$  масофа бор. Погонали брус томонлари тўлик кўчишларининг фарқи  $\Delta$  га тенг бўлиши керак (61-б расм).

$$\Delta = \Delta\ell_4 - \Delta\ell_2 = (20,5 - 19,5) \cdot 10^{-4} = 1 \cdot 10^{-4} \text{ м}$$

**10-масала.** Пўлатдан тайёрланган стержень схемада (62-расм) кўрсатилганидек F куч билан юкланган. F кучнинг іайси ийматаida  $\delta_1$  ва  $\delta_2$  оралиқлар ёпилади?

$$E_n = 2 \cdot 10^3 \frac{\text{kH}}{\text{мм}^2}$$

**Ечиш.** С бұртықнинг ҳалқасимон таянчга таяниш ҳолатыға түғри келувчи  $F = F_1$  күчни аниқдаймиз. Бунинг учун стерженнинг юқори қисміні  $F = F_1$  күч таъсиридан абсолют узайишини  $\delta_1$  масофага тенглаштирамиз:

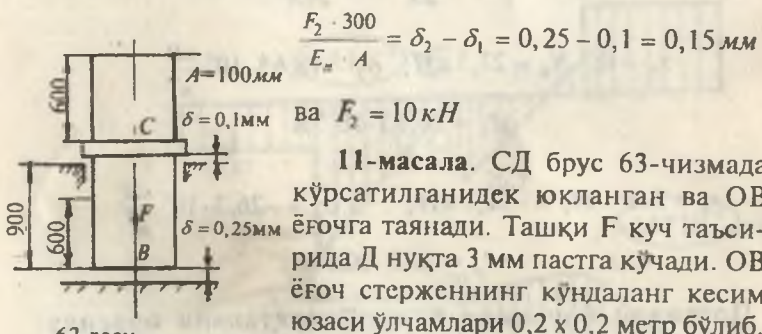
$$\Delta\ell_1 = \frac{F_1 l_1}{E_n \cdot A} = \delta_1$$

$$\text{Бу ерда: } F_1 = \frac{\delta_1 E_n A}{l_1} = \frac{0,1 \cdot 2 \cdot 10^3 \cdot 100}{600} = 3,33 \text{ kH}$$

$\delta_1$  масофа ёпилғандан кейин,  $F = F_2$  күч таъсирида стерженнинг (900 – 600 мм) узунлиги ортади. Унда стерженнинг учи пастки таянчга таяниши учун

$$\Delta\ell_2 = \delta_1 + \frac{F_2 \cdot 300}{E_n \cdot A} = \delta_2$$

масофани босиб үтади, яъни:

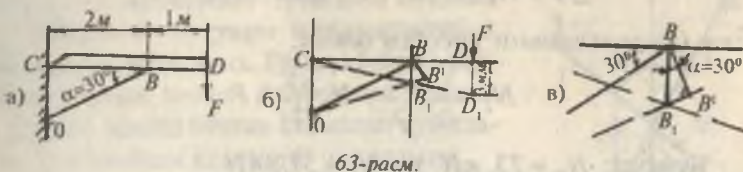


**11-масала.** СД брус 63-чизмада күрсатилғаныдек юкланған ва ОВ ёғочта таянади. Ташқи F күч таъсирида D нүкте 3 мм пастга күчади. ОВ ёғоч стерженнинг күндалаңг кесим юзаси ўлчамлари  $0,2 \times 0,2$  метр бўлиб, квадратdir. Ёғоч стерженнинг кесимидағи күчланиш ва F күчнинг қиймати топилсин.

**Ечиш.** ОВ ёғоч стерженнинг деформациясини топамиз:

$$\Delta DD_1 C \propto \Delta BB_1 C \text{ дан (63-б расм)} \quad \frac{DD_1}{DC} = \frac{BB_1}{BC} \text{ ёки}$$

$$BB_1 = \frac{DD_1}{DC} \cdot BC = 3 \cdot 10^{-3} \cdot \frac{2}{3} = 2 \cdot 10^{-3} \text{ м; } \Delta BB_1 B^1 \text{ дан (63-в расм)}$$



63-расм.

$$\frac{B_1 B^l}{BB_1} = \sin 30^\circ \text{ ёки } B_1 B^l = BB_1 \cdot \sin 30^\circ, \quad B_1 B^l = \frac{N \ell_{OB}}{EA}$$

Ёғоч стерженнинг узайишини ҳисобга олсак,

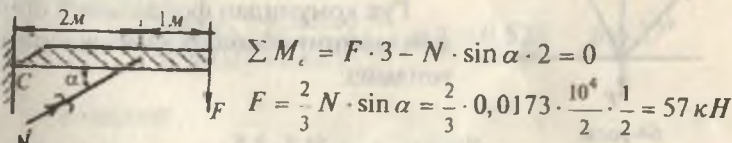
$$B_1 B^l = \Delta \ell = 2 \cdot 10^{-3} \cdot \frac{1}{2} = \frac{N \ell_{OB}}{EA} \text{ ёки } \frac{N \ell_{OB}}{EA} = 1 \cdot 10^{-3} \text{ м}$$

Тенгіламадан ички күч N ни топамиз:

$$N = \frac{1 \cdot 10^{-3} EA}{\ell_{OB}} = \frac{1 \cdot 10^{-3} \cdot 10^7 \cdot 0,2 \cdot 0,2}{\frac{2}{\cos 30^\circ}} = 0,0173 \cdot 10^4 \text{ кН}$$

$$\text{ОВ стержень сиқилади: } \sigma = \frac{N}{A} = -0,433 \cdot 10^4 \frac{\text{кН}}{\text{м}^2}$$

Системанинг мувозанат шартидан фойдаланиб ташқи F күчни топамиз:



### 12-масала.

Берилған стерженлар системасидаги С нүктанинг тұлық күчиши  $\Delta$  горизонтал  $\Delta_r$  ва вертикаль күчишлари  $\Delta_s$  топилсин. Узунліктер  $\ell_1 = 2,5 \text{ м}$  ва  $\ell_2 = 4 \text{ м}$  бўлган стерженларнинг мустаҳкамлиги бир хил, материалларининг эса биринчиси алюминий, иккинчиси пўлат.

**Ечиш.** Стерженлардаги ички күчларни кесиш үсулидан фойдаланиб кўрсатамиз:

$$\sum x = -N_1 \cos 45^\circ + N_2 \cos 60^\circ = 0$$

$$\text{Бу ерда: } N_1 = N_2 \frac{\cos 60^\circ}{\cos 45^\circ} = \frac{N_2}{\sqrt{2}} \quad (\text{a})$$

$$\sum y = N_1 \cos 45^\circ + N_2 \cos 30^\circ - F = 0$$

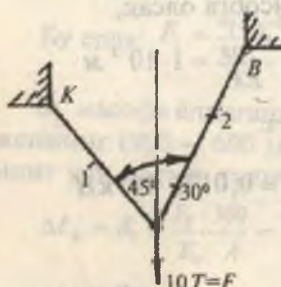
Еки (а) тенгламани ҳисобга олсак:

$$N_2 \cdot \frac{1}{\sqrt{2}} \cdot \frac{\sqrt{2}}{2} + N_2 \cdot \frac{\sqrt{3}}{2} = F$$

Бу ерда:  $N_2 = 73 \text{ кН}$  ва  $N_1 = 51,8 \text{ кН}$

Биринчи ва иккинчи стерженларнинг мустаҳкамлик шартларидан фойдаланиб кесим юзаларини аниқлаймиз:

$$\sigma^{I}_{\max} = \frac{N_1}{A_1} \leq [\sigma]$$



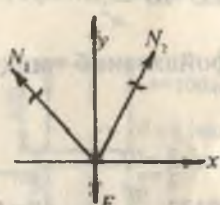
Бу ерда:

$$A_1 = \frac{N_1}{[\sigma]} = \frac{51,8}{150 \cdot 10^3} = 0,345 \cdot 10^{-3} \text{ м}^2$$

$$\sigma^{II}_{\max} = \frac{N_2}{A_2} \leq [\sigma]$$

Бу ерда:

$$A_2 = \frac{N_2}{[\sigma]} = \frac{73}{150 \cdot 10^3} = 0,487 \cdot 10^{-3} \text{ м}^2$$



Гук қонунидан фойдаланиб стерженларнинг абсолют узайишларини топамиз:

$$64-\text{расм.} \quad \Delta\ell_1 = \frac{N_1 \ell_1}{E_{st} \cdot A_1} = \frac{51,8 \cdot 2,5}{0,7 \cdot 10^8 \cdot 0,345 \cdot 10^{-3}} = 536,2 \cdot 10^{-5} \text{ м}$$

$$\Delta\ell_2 = \frac{N_2 \ell_2}{E_s \cdot A_2} = \frac{73 \cdot 4}{2 \cdot 10^8 \cdot 0,487 \cdot 10^{-3}} = 299,8 \cdot 10^{-5} \text{ м}$$

С нүктанинг түлиқ күчишини қыйидаги топамиз (65-расм). Стерженларнинг абсолют узайишлари  $\Delta\ell_1$  ва  $\Delta\ell_2$  ларни стерженларни ўқи бўйлаб ҳар хил масштабда жойлаштириб,  $C_1$  ва  $C_2$  нүкталарни ҳосил қиласиз.  $C_1$  ва  $C_2$  нүкталардан  $CC_1$  ва  $CC_2$  ларга перпендикуляр ўтказамиш.

Перпендикулярнинг тугашган нуқтаси  $C_1$ , билан  $C$  нуқтани бирлаштириб  $\Delta$  йўналишни топамиз. Тўлиқ кўчиш  $\Delta$  вертикаль чизиқ билан  $\beta$  бурчакни ташкил қиласиди. Ҳосил бўлган схемадан қўйида-ги тенгламани келтириб чиқарамиз:

$$\frac{\Delta\ell_1}{\cos(\alpha_1 - \beta)} = \frac{\Delta\ell_2}{\cos(\alpha_2 + \beta)}$$

Бу ерда:

$$\cos(\alpha_1 - \beta) = \cos\alpha_1 \cos\beta + \sin\alpha_1 \cdot \sin\beta$$

$$\cos(\alpha_2 + \beta) = \cos\alpha_2 \cos\beta - \sin\alpha_2 \cdot \sin\beta$$

$$\text{У ҳолда: } \frac{\Delta\ell_1}{\Delta\ell_2} = \frac{\cos 45^\circ \cos\beta + \sin 45^\circ \cdot \sin\beta}{\cos 30^\circ \cos\beta - \sin 30^\circ \cdot \sin\beta}$$

$$\frac{\Delta\ell_1}{\Delta\ell_2} = \frac{0,707 + 0,707 \frac{\sin\beta}{\cos\beta}}{0,866 - 0,5 \frac{\sin\beta}{\cos\beta}} = \frac{0,707 + 0,707 \cdot \operatorname{tg}\beta}{0,866 - 0,5 \operatorname{tg}\beta}$$

Бу ерда:

$$\operatorname{tg}\beta = \frac{0,866\Delta\ell_1 - 0,707\Delta\ell_2}{0,707\Delta\ell_2 + 0,5\Delta\ell_1}; \quad \operatorname{tg}\beta = 0,525; \quad \beta = 27^\circ$$

Схемадан:

$$\Delta = \frac{\Delta\ell_1}{\cos(\alpha_1 - \beta)} = \frac{536,2 \cdot 10^{-5}}{\cos(45 - 27)^\circ} = 563,8 \cdot 10^{-5} \text{ м}$$

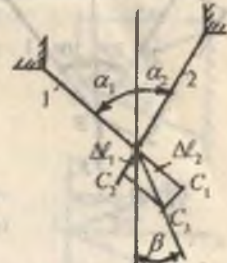
С нуқтанинг горизонтал текисликда кўчиши:

$$\Delta_z = \Delta \cdot \sin\beta = 563,8 \cdot 10^{-5} \cdot \sin 27^\circ = 255,7 \cdot 10^{-5} \text{ м}$$

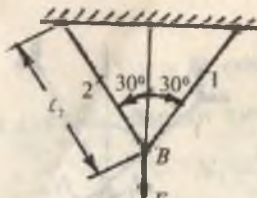
ва вертикаль кўчиши:

$$\Delta_b = \Delta \cdot \cos\beta = 563,8 \cdot 10^{-5} \cdot \cos 27^\circ = 501,8 \cdot 10^{-5} \text{ м}$$

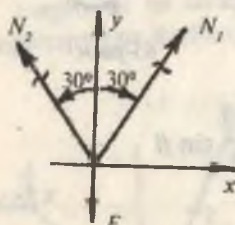
**13-масала.** Берилган стерженлар системасидаги  $B$  нуқтанинг тўлиқ кўчишини топинг. Берилган:



65-расм.



66 (a)-расм.



66 (b)-расм

$$\ell_1 = \ell_2 = 3 \text{ м}, \quad A_1 = A_2 = 1 \cdot 10^{-4} \text{ м}^2,$$

$$F = 10 \text{ кН}, \quad E = 1 \cdot 10^8 \frac{\text{кН}}{\text{м}^2}$$

**Ечиш.** Стерженлардаги ички күчларни топиш учун системанинг мұвозанат тенгламаларини тузамиз:

$$\sum x = N_1 \sin 30^\circ - N_2 \sin 30^\circ = 0$$

$$\text{Бу ерда: } N_1 = N_2$$

$$\sum y = N_1 \cos 30^\circ + N_2 \cos 30^\circ - F = 0$$

$N_1 = N_2$  тенгликни ҳисобға олсак,

$$N_1 = \frac{F}{2 \cdot \cos 30^\circ} = \frac{10}{2 \cdot 0,866} = 5,77 \text{ кН}$$

F күч таъсиридан стерженлар узады, В нүктә B<sub>1</sub> нүқтеге күчади.

Схемадаги  $\Delta BB_1B^1$  дан

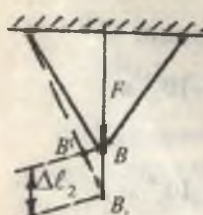
$$\frac{B_1B^1}{BB_1} = \cos 30^\circ \text{ ғана } BB_1 = -\frac{B_1B^1}{\cos 30^\circ}$$

$B_1B^1 = \Delta\ell_2$  — иккінчи стерженнинг абсолют узайишини Гук қонуны орқали ифодалаймиз:

$$\Delta\ell_2 = \frac{N_2 \cdot 3}{EA} = \frac{5,77 \cdot 3}{1 \cdot 10^8 \cdot 1 \cdot 10^{-4}} = 17,31 \cdot 10^{-4} \text{ м}$$

$$\text{У ҳолда: } BB_1 = \Delta = \frac{17,31 \cdot 10^{-4}}{0,866} \approx 20 \cdot 10^{-4} \text{ м}$$

#### 14-масала.



67-расм.

Берилган стерженлар системасыдағи С нүктесиндең түлиқ күчиши топилсин (68-расм).

Берилган:

$$E = 2 \cdot 10^8 \frac{\text{кН}}{\text{м}^2}$$

$$[\sigma]^{(1)} = 100 \text{ МПа}; [\sigma]^{(2)} = 160 \text{ МПа}$$

Биринчи стержень иккита N12 швеллердан, иккинчиси N24 құштаврдан ташкил топған.

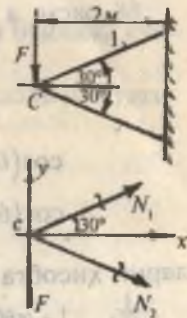
У ҳолда:

$$A_1 = 13,3 \cdot 10^{-4} \text{ м}^2; A_2 = 34,8 \cdot 10^{-4} \text{ м}^2$$

Ечиш. Системадаги ички күчлар ёрдамда стерженларга қойилиши мүмкін бўлган ташқи F күчни топамиз:

$$\sum x = N_1 \cos 30^\circ + N_2 \cos 30^\circ = 0 \quad (a)$$

$$\sum Y = -F + N_1 \sin 30^\circ - N_2 \sin 30^\circ = 0 \quad (b)$$



68-расм.

(а) тенгламадан  $N_1 = -N_2$  ни ҳисобга олсак,

$$N_1 = -\frac{F}{2 \cdot \sin 30^\circ} = -F$$

Биринчи стерженнинг мустаҳкамлик шартидан фойдаланиб F күчни топамиз:

$$\sigma' = \frac{N_1}{2A_1} \leq [\sigma] \quad \text{ва} \quad N_1 = F = 2 \cdot 13,3 \cdot 10^{-4} \cdot 160 \cdot 10^3 = 425 \text{ кН}$$

Иккинчи стерженнинг мустаҳкамлик шартига кўра F күчни топамиз:

$$\sigma'' = \frac{N_2}{A_2} \leq [\sigma]$$

$$\text{У ҳолда: } F = A_2 [\sigma]'' = 34,8 \cdot 10^{-4} \cdot 100 \cdot 10^3 = 348 \text{ кН}$$

Системага қойилиши мүмкін бўлган күч  $F = 348 \text{ кН}$  ни қабул қиласиз. Стерженларнинг узайишини топамиз:

$$\Delta \ell_1 = \frac{N_1 \ell_1}{E 2 A_1} = \frac{348 \cdot 2,31}{2 \cdot 10^8 \cdot 2 \cdot 13,3 \cdot 10^{-4}} = 15,11 \cdot 10^{-4} \text{ м}$$

$$\Delta \ell_2 = \frac{N_2 \ell_2}{E A_2} = \frac{348 \cdot 2,31}{2 \cdot 10^8 \cdot 34,8 \cdot 10^{-4}} = 11,55 \cdot 10^{-4} \text{ м}$$

С нуқтанинг тўлиқ кўчишини топиш учун қуйидаги схемани тузамиз (68-расм, а).

68-расм, а га асосланиб:

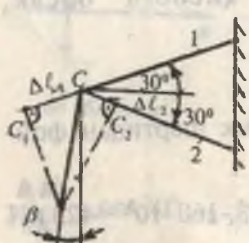
$$\Delta = \frac{\Delta\ell_1}{\cos(60^\circ - \beta)} = \frac{\Delta\ell_2}{\cos(60^\circ + \beta)}$$

$$\cos(60^\circ - \beta) = \cos 60^\circ \cos \beta + \sin 60^\circ \sin \beta$$

$$\cos(60^\circ + \beta) = \cos 60^\circ \cos \beta - \sin 60^\circ \sin \beta$$

ларни ҳисобга олиб, айрим ўзгаришлардан кейин

$$\frac{\Delta\ell_1}{\Delta\ell_2} = \frac{1 + \operatorname{tg} 60^\circ \operatorname{tg} \beta}{1 - \operatorname{tg} 60^\circ \operatorname{tg} \beta} \text{ ни ҳосил қиласиз.}$$



68-а расм.

$$\text{Бу ерда: } \frac{\Delta\ell_1}{\Delta\ell_2} = \frac{15,11 \cdot 10^{-4}}{11,55 \cdot 10^{-4}} = 1,3$$

$$\text{У ҳолда: } \operatorname{tg} \beta = \frac{0,3}{3,9836} = 0,0753 \quad \text{ва} \quad \beta = 4^\circ 30'$$

С нүктанинг түлиқ күчиши:

$$\Delta = \frac{\Delta\ell_1}{\cos(60^\circ - \beta)} = \frac{15,11 \cdot 10^{-4}}{\cos 55^\circ 30'} = 27 \cdot 10^{-4} \text{ м}$$

**15-масала.** Абсолют қаттық брус құзгалувчан шарнирли таянчга таяниш ёрдамида узунлиғи  $\ell = 1$  м пұлатдан тайёрланған, кесим юзаси  $A_1 = A_2 = A = 2 \cdot 10^{-4} \text{ м}^2$  бұлган 1 ва 2 стерженларга мақкамланған.

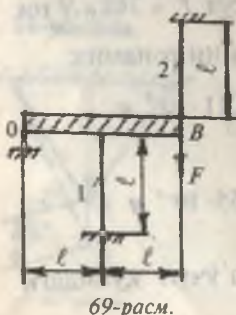
1) Системага қўйилиши мумкин бұлған рухсат этилган

$P_{\text{рж}}$  юкнинг стерженлардаги энг катта күчланишини

$$[\sigma] = 160 \text{ МПа} \text{ га}$$

тенглештириб топилсин.

2) Оқувчанлик чегарасида  $\sigma_{\text{ок}} = 240$  мПа дан фойдаланиб чекли юк  $F_{4\ell_k}$  то-пилсин. Ташқи  $F$  күч таъсирида ОВ брус О шарнир атрофида айланади. Натижада 1-стержень сиқилади, 2-стержень қузилади.



69-расм.

**Ечиш:** Кесиш усулидан фойдаланиб ички бүйлама күчларни аниқтаймиз (70-расм).

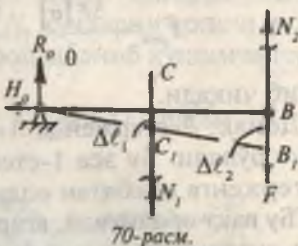
Системанинг мувозанат ҳолатини ифодаловчи статикканинг тенгламаларини тузамиз:

$$\sum x = H_o = 0 \quad (a)$$

$$\sum y = R_o + N_1 + N_2 = 0 \quad (b)$$

$$\sum M_o = -N_1 \cdot \ell - N_2 \cdot 2\ell + F \cdot 2\ell = 0 \quad (c)$$

(а), (б) ва (в) тенгламалардан маълумки, стерженлардаги номаълум ( $N_1$ ;  $N_2$ ) ички қучлари ва таянч кесимидағи реакция қучлари ( $R_o$  ва  $H_o$ ) статикканинг тенгламаларидан кўп экан. Демак, берилган система статик аниқ эмас.



70-расм.

Схемадаги номаълум  $R_o$  ва  $H_o$  реакция қучларини топиш масаланинг шартида кўрсатилмаган ва умуман  $R_o$  ва  $H_o$  реакциялар ички бүйлама қучлар ва стерженлардаги қучланишларга таъсири йўқ. Шунинг учун реакция қучларини топмаймиз.

Системанинг аниқмаслик даражаси:  $S = n - 1 = 2 - 1 = 1$

Бу срда:  $n$  — номаълум ( $N_1$  ва  $N_2$ ) қучлар сони;

1 — статикканинг тенгламалар сони.

Номаълум ички куч  $N_1$  ва  $N_2$  ларни топиш учун системанинг деформациясидан фойдаланиб қўшимча тенглама тузамиз.

ОВ бруслар тўғрилигича қолиб, F куч таъсирида О нуқта атрофида кичик бурчакка айланади. Натижада С ва В нуқталар F куч йўналишида кўчади ва 1- ва 2-стерженлар тегишлича  $\Delta l_1$  ва  $\Delta l_2$  масофага деформацияланади.  $\Delta l_1$  ва  $\Delta l_2$  ларни материалнинг пропорционаллик чегарасидан ортиб кетмайди, деб қаралади ва Гук формуласи билан ифодаланади.

Схемада:  $\frac{BB_1}{BO} = \frac{CC_1}{CO}$  ёки  $\frac{\Delta l_2}{2a} = \frac{\Delta l_1}{a}$ ;  $\Delta l_2 = 2\Delta l_1$ , агар

$\Delta l_1 = \frac{N_1 \ell}{EA}$  ва  $\Delta l_2 = \frac{N_2 \ell}{EA}$  бўлса,  $\frac{N_2 \ell}{EA} = 2 \frac{N_1 \ell}{EA}$  ёки  $N_2 = 2N_1$

келиб чиқади.  $N_2 = 2N_1$  тенгламани мувозанат тенгламаси билан биргалиқда ечиб:  $N_1 = \frac{F}{5}$  ва  $N_2 = \frac{2}{5}F$  ни топамиз.  $N_2 > N_1$  бұлғанлиги учун  $\sigma_2 > \sigma_1$ .

Иккінчи стерженниң мустақамлық шарти:

$$\sigma_2 = \frac{N_2}{A} \leq [\sigma] \text{ ёки } \frac{2F}{5A} \leq [\sigma] \text{ дан}$$

$$F_{\text{пк}} = \frac{5F[\sigma]}{2} = \frac{5 \cdot 2 \cdot 10^{-4} \cdot 160 \cdot 10^3}{2} = 80 \text{ кН}$$

келиб чиқади.

Демек, 2-стерженда 1-стерженга нисбатан күчланиш катта бұлади. Бу эса 1-стерженда оқувчанлик чегарасини 2-стержнга нисбатан олдиреноқ бошланишига олиб кела-ди. Бу вақт оралиғида, агар күчни күпайтырсак ҳам 1-стер-жен күчланиши үсмайды (капталашмайды) ва система Q ва  $N_1 = \sigma_{\text{ок}} \cdot A$  күч билан юқланған статик аниқ системага айланиб қолади. Күчни янада орттырысқа 2-стерженда ҳам оқувчанлик чегараси бошланади:  $N_2 = \sigma_{\text{ок}} \cdot A$

Энди  $N_1$  ва  $N_2$  күч ифодаларини мувозанат тенгламасига келтириб құйымыз:  $\sigma_{\text{ок}} \cdot A + 2 \cdot \sigma_{\text{ок}} \cdot A = F$  ёки

$$3\sigma_{\text{ок}} A = F$$

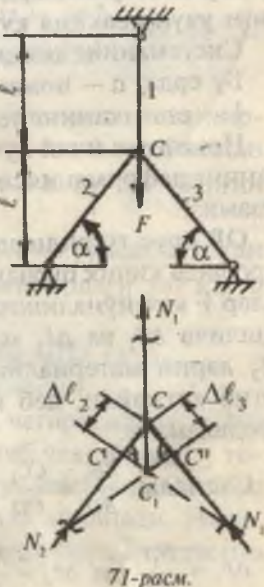
Бу ерда:

$$F = F_{\text{пк}} = 3 \cdot 240 \cdot 10^3 \cdot 2 \cdot 10^{-4} = 144 \text{ кН}$$

**16-масала.** Бир хил диаметрли пұлатдан тайёрланған стерженлар схемадағидек (71-расм)  $F = 20$  кН күч билан юқланған. Мустақамлық шартига күра стерженларнинг диаметрлари топилсін.

Берилған:  $\ell = 1 \text{ м}$ ,  $\alpha = 45^\circ$

$$E = 2 \cdot 10^8 \frac{\text{kН}}{\text{м}^2}; [\sigma] = 160 \text{ мПа}$$



**Ечиш.** F күч таъсирида 1-стержень узаяди; 2-3-стерженлар сиқилади. Текис системада жойлашган күчлар учун статиканинг иккита тенгламаси тұғри келади:

$$\sum x = -N_3 \cos \alpha + N_2 \cos \alpha = o(a)$$

$$\sum y = N_1 - F + N_2 \sin \alpha + N_3 \sin \alpha = 0 \quad (b)$$

Биринчи тенгламадан  $N_2 = N_3$ , ни иккінчи тенгламага келтириб қўйсак,  $N_1 + 2N_2 \sin \alpha = F$  (в) ҳосил бўлади.

Демак, система бир маротаба статик аниқмас экан, (в) тенгламадан номаълум  $N_1$  ва  $N_2$  күчларни топиш учун системанинг деформациясидан фойдаланиб қўшимча тенглама тузамиз.

Тўғри бурчакли учбуручак СС<sub>1</sub> С<sub>1</sub> дан (71-расм)

$$\Delta \ell_2 = \Delta \ell_1 \sin \alpha \quad (g)$$

$$\text{Бу ерда: } \Delta \ell_1 = \frac{N_1 \ell_1}{EA} \text{ ва } \Delta \ell_2 = \frac{N_2 \ell_2}{EA}; \ell_1 = \ell; \ell_2 = \frac{2\ell}{\sqrt{2}}.$$

У ҳолда (г) тенглик қўйидаги ҳолатга келади:

$$N_2 = N_1 \frac{\sqrt{2} \cdot \ell}{2\ell} = N_1 \frac{\sqrt{2}}{2} \quad (d)$$

системани деформациясидан ҳосил бўлган қўшимча тенглама бўлиб, уни (в) тенглама билан биргаликда ечиб,  $N_1$  ва  $N_2$  ларни топамиз:

$$N_2 = \frac{F}{3 \cdot \sin \alpha} = \frac{20}{3 \cdot \frac{\sqrt{2}}{2}} = \frac{40}{4,23} \kappa H \quad \text{ва}$$

$$N_1 = \frac{N_2}{\sin \alpha} = \frac{40}{4,23 \cdot \frac{\sqrt{2}}{2}} = \frac{80}{5,9643} \kappa H$$

Энг катта бўйлама күч ва күчланиш 1-стержендада ҳосил бўлади. Шу стержень учун мустаҳкамлик шартини тузамиз:

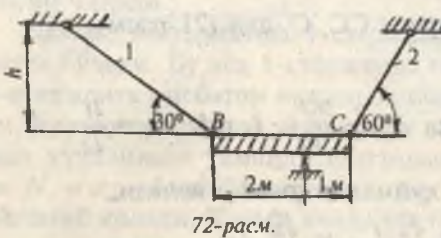
$$\sigma_1 = \frac{N_1}{A} \leq [\sigma] \text{ ёки } \sigma_1 = \frac{N_1 \cdot 4}{\pi \cdot d_1^2} \leq [\sigma]$$

Бу ерда:

$$d_1 = \sqrt{\frac{4N_1}{\pi[\sigma]}} = \sqrt{\frac{4 \cdot 80}{3,14 \cdot 160 \cdot 10^3 \cdot 5,96}} = 0,0103 \text{ м}$$

**17-масала.** Күндаланг кесим юзалари үзаро тенг бўлган ( $A_1 = A_2 = 40 \cdot 10^{-4} \text{ м}^2$ ) 1- ва 2-стерженлар (72-расм)  $\Delta t = 2^\circ$  га қиздирилган. Стерженлардаги кучланишлар топилсан.

**Ечиш.** Стерженларнинг қиздирилиши натижасида BC брусларни шарнир атрофида айланаб  $B_1$ ,  $C_1$  ҳолатга ўгади, 1-стержень  $N_1$  куч таъсирида сиқилади ва  $\Delta t$  ҳарорат таъсирида узаяди, деб қабул қилсак, 2-стержень сиқилади.



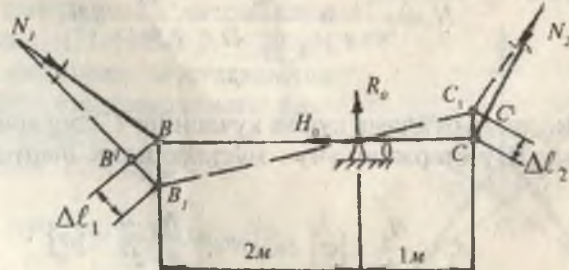
$R_0$  ва  $H_0$  реакцияларнинг таъсирини ҳисобга олмаслик учун системани мувозанат тенгламаси сифатида О шарнирга нисбатан моментлар тенгламасини тузамиз, яъни:

$$\sum M_0 = -2N_1 \cos 60^\circ + N_2 \cos 30^\circ = 0$$

ёки

$$N_2 = 2N_1 \frac{\cos 60^\circ}{\cos 30^\circ} = 1,1547 N_1 \quad (a)$$

(а) тенгламадан кўринишича, системадаги номаълумлар сони  $N_1$  ва  $N_2$  статиканинг мувозанат шартидан кўп экан. Масала статик ноаниқ.



Масалани ечиш учун құшимча деформация тенгламасынни тұзамиз. Схемадан (73-расм) күринишича, 1- ва 2-стерженларнинг деформациялари қойылады нисбатта болықтириледі:

$$BB_1 = 2CC_1 \quad \text{ёки} \quad \frac{\Delta\ell_1}{\cos 60^\circ} = 2 \frac{\Delta\ell_2}{\cos 30^\circ}$$

Бу ерда:  $\Delta\ell_1 = 1,1547\Delta\ell_2$  (б)

Стерженларнинг деформацияларини Гук қонуни билан ифодалаймиз:

$$\Delta\ell_1 = -\frac{N_1 h}{EA \sin 30^\circ} + \alpha \cdot \Delta t \frac{h}{\sin 30^\circ};$$

$$\Delta\ell_2 = -\left( \frac{N_2 h}{EA \sin 60^\circ} + \alpha \cdot \Delta t \frac{h}{\sin 60^\circ} \right)$$

У ҳолда (б) тенглама қойылады:

$$\frac{h}{\sin 30^\circ} \left( -\frac{N_1}{EA} + \alpha \cdot \Delta t \right) = 1,1547 \frac{h}{\sin 60^\circ} \left[ -\frac{N_2}{EA} - \alpha \cdot \Delta t \right]$$

ёки

$$-\frac{N_1}{EA} + \alpha \cdot \Delta t = 1,1547 \frac{\sin 30^\circ}{\sin 60^\circ} \left( -\frac{N_2}{EA} - \alpha \cdot \Delta t \right)$$

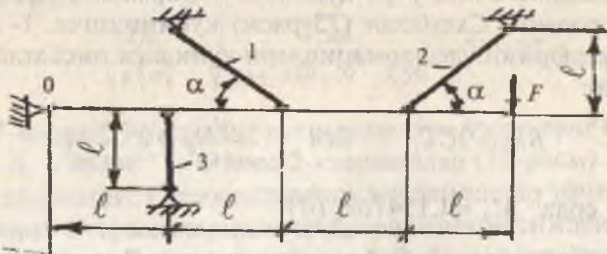
Бу ерда:  $-N_1 + 0,6667N_2 = EA(-0,667\alpha \cdot \Delta t - \alpha \cdot \Delta t)$

(а) тенгламани ҳисобға олсак,  $1,7698N_1 = 1,667\alpha EA \Delta t$  ҳосил бўлади, у ҳолда  $N_1 = 18834 \text{ кг}$  ва  $N_2 = 21747 \text{ кг}$

$$1\text{-стержендаги кучланиш: } \sigma_1 = \frac{N_1}{A_1} = \frac{18834}{40} = 470 \frac{\text{кг}}{\text{см}^2}$$

$$2\text{-стержендаги кучланиш: } \sigma_2 = \frac{N_2}{A_2} = \frac{21747}{40} = 543 \frac{\text{кг}}{\text{см}^2}$$

**18-масала.** ОД балка кесим юзалари  $A = 1 \cdot 10^{-3} \text{ м}^2$  бўлган пўлатдан тайёрланган стерженлар билан боғланган. Системага қўйилиши мумкин бўлган рухсат этилган куч [F] нинг стерженлардаги энг катта кучланишини  $[\sigma] = 160 \text{ МПа}$  га тенглаштириб топилсин.



74-расм.

Оқувчанлик чегарасидаги күчланишдан  $\sigma_{\text{ок}} = 240 \text{ мПа}$  фойдаланыб чекли юк  $F_{\text{тек}}$  топилсін:

$$\ell = 1 \text{ м}; \quad \alpha = 45^\circ; \quad E_1 = E_2 = E_3 = E$$

**Ечиш.** ОД балка F күч таъсирида О шарнир атрофига айланади, 1-ва 2-стерженларни құзилишга ва 3-стержень сиқилишга қаршилик күрсатади, деб қабул қиласыз. Стерженларнинг деформациядан кейинги ҳолати ва ҳисоблаш схемаси 75-расмда күрсатылған.

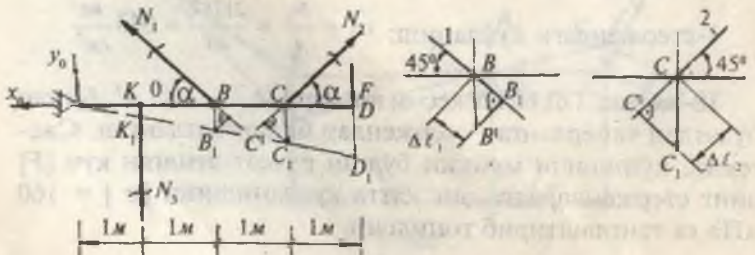
Системанинг мувозанат ҳолатини ифодаловчи статиканинг тенгламаларини тузамиз:

$$\sum x = 0; \quad x_0 - N_1 \cos \alpha + N_2 \cos \alpha = 0 \quad (a)$$

$$\sum y = 0; \quad y_0 + N_3 + N_1 \sin \alpha + N_2 \sin \alpha - F = 0 \quad (b)$$

$$\sum M_0 = 0; \quad 2N_1 \sin \alpha + 3N_2 \sin \alpha + N_3 - 4F = 0 \quad (c)$$

(a), (b) ва (c) тенгламалардан күренишича, стерженлардаги номаътум ( $N_1, N_2, N_3$ ) ички күчлари ва таянч кесимидағи реакция күчлари ( $x_0, y_0$ ) статиканинг тенглаларын түзеді.



75-расм.

малари сонидан күп экан. Демак, берилган система статик ноаник.

Системанинг аниқмаслик даражасини топамиз:

$$S = n - 3 = 5 - 3 - 2$$

Бу ерда:  $n$  — номаълум кучлар сони;

$3$  — статиканинг тенгламалар сони;

$S$  — системанинг аниқмаслик даражаси.

Система икки маротаба аниқмас. Масалани ечиш учун системанинг геометрик бояланишларидан фойдаланиб иккита құшимча деформация тенгламаларини тузамиз (75-расм).

Схемадан:  $\Delta BB_1O \approx \Delta KK_1O$  ва  $\Delta CC_1O \approx \Delta KK_1O$  дан

$$\frac{KK_1}{KO} = \frac{BB_1}{BO} \quad \text{ва} \quad \frac{KK_1}{KO} = \frac{CC_1}{CO} \quad \text{ҳосил қиласиз.}$$

$$\text{Бу ерда: } BB_1 = \frac{BB^1}{\cos \alpha} \quad \text{ва} \quad CC_1 = \frac{CC^1}{\cos \alpha}$$

Схемадан  $KK_1 = \Delta \ell_3$ ;  $BB^1 = \Delta \ell_1$  ва  $CC^1 = \Delta \ell_2$  ларни ҳисобга олсак, юқоридаги нисбатлар қуйидагича ёзилади:

$$\frac{\Delta \ell_1}{2 \cos \alpha} = \frac{\Delta \ell_3}{1} \quad \text{ва} \quad \frac{\Delta \ell_2}{3 \cos \alpha} = \frac{\Delta \ell_3}{1} \quad \text{ёки}$$

$$\Delta \ell_1 = 2 \Delta \ell_3 \cos \alpha \quad \text{ва} \quad \Delta \ell_2 = 3 \Delta \ell_3 \cos \alpha \quad (e)$$

(e) құшимча деформация тенгламаларини Гук қонуні орқали ички кучлар билан ифодалаймиз:

$$\frac{N_1 \ell_1}{E_1 A_1} = 2 \frac{N_3 \ell_3}{E_3 A_3} \cos \alpha \quad \text{ва} \quad \frac{N_2 \ell_2}{E_2 A_2} = 3 \frac{N_3 \ell_3}{E_3 A_3} \cos \alpha \quad (d)$$

Схемадан

$$E_1 = E_2 = E_3 = E; \quad \ell_3 = 1 \text{ м} \quad \text{ва} \quad \ell_1 = \ell_2 = \frac{1}{\cos \alpha} \quad \text{ларни}$$

ҳисобга олсак, айрим ўзgartиришлардан кейин (d) қуйидагича ёзилади:

$$N_1 = 2 N_3 \cos^2 \alpha = N_3 \quad (e)$$

$$N_2 = 3 N_3 \cos^2 \alpha = 1,5 N_3 \quad (ж)$$

(e) ва (ж) төнгламаларини (6) га келтириб құйымиз ва ички күчни топамиз:  $N_3 = 0,72F$ .

У ҳолда:  $N_1 = 0,72F$  ва  $N_2 = 1,08F$

Әнді ҳар қайси стерженнинг мустақамлик шартини Ѽзамиз:

$$\sigma_1 = \frac{N_1}{A_1} = \frac{0,72F}{A} \leq [\sigma]$$

$$\sigma_2 = \frac{N_2}{A_2} = \frac{1,08F}{A} \leq [\sigma]; \quad \sigma_3 = \frac{N_3}{A_3} = \frac{0,72F}{A} \leq [\sigma]$$

Мустақамлик шартига кўра энг катта нормал күчланиш 2-стерженда ҳосил бўлди. Системага қўйилиши мумкин бўлган күчнинг рухсат этилган қиймати:

$$[F] = \frac{A[\sigma]}{1,08} = \frac{1 \cdot 10^{-3} \cdot 160 \cdot 10^3}{1,08} = 148,1 \text{ kN}$$

Учта стерженда ҳам окувчанлик чегараси бошланиши учун  $N_1 = \sigma_{ok} A_1$ ;  $N_2 = \sigma_{ok} A_2$  ва  $N_3 = \sigma_{ok} A_3$  шартлар ба жарилиши керак. У пайтда (в) төнглама қуйидагича куринишга келтирилади:  $2\sigma_{ok} A \sin \alpha + 3\sigma_{ok} A \sin \alpha + \sigma_{ok} A = 4F$ .

Охирги төнгламадан окувчанлик чегарасига тўғри келувчи чекли юқ топилади:

$$F_{max} = \frac{\sigma_{ok} A (1 + s \cdot \sin \alpha)}{4} = \frac{240 \cdot 10^3 \cdot 1 \cdot 10^{-3} (1 + 5 \cdot 0,7)}{4} = 270 \text{ kN}$$

**19-масала.** Бикр брус, кўндаланг кесим юзлари  $A = 20 \cdot 10^{-4} \text{ m}^2$  бўлган учта стерженларга осилган. Ўрта стержень лойиҳа ўтчамидан  $\delta = 0,5 \text{ mm}$  калта тайёрланган. Конструкция йигилгандан кейин стерженлардаги күчланиш топилсин. Стерженларнинг материаллари бир хил.

**Ечиш.** Конструкциядаги  $\delta$  масофани йўқотиш учун 1-ва 3-стерженларни сиқиш, 2-стерженни чўзиш керак. Натижада учта стерженда ҳам ички бўйлама күчлар ҳосил бўлади. Ички күчларни топиш учун кесиш усулидан фойдаланамиз.

Конструкция ажратилган қисмининг мувозанат ҳолатини қаноатлантирувчи  $\sum M_0 = 0$  тенгламани тузамиш.

$$\sum M_0 = N_1 \cdot 1 - N_2 \cdot 2 + N_3 \cdot 3 = 0$$

Битта тенгламада учта  $N_1; N_2$  ва  $N_3$  маълум ички кучлар бор экан. Номаълумлар сони мувозанат тенгламалар сонидан иккита гўп.

Шуцинг учун танланган масала икки маротаба ноаниқ. Масаланинг аниқмаслик даражасини очиш учун иккита қўшимча деформация тенгламарини тузиш керак (76-расм).

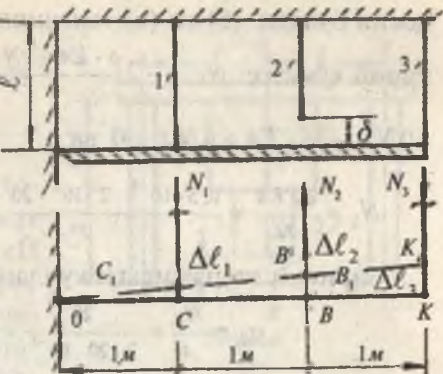
Конструкциянинг деформациясини ўрганамиз. 1- ва 3-стерженларнинг сиқилишда, биринчи стержень  $CC_1 = \Delta\ell_1 = \frac{N_1\ell}{EA}$  масофага, учинчи стержень  $KK_1 = \Delta\ell_3 = \frac{N_3\ell}{EA}$  масофага қисқаради. Натижада В нуқта  $B_1$  га кўчади. 2-стерженни брус билан туташтириш учун уни  $\Delta\ell_2 = \frac{N_2\ell}{EA}$  масофага узайтириш керак.

Конструкциядаги стерженларнинг деформацияси натижасида учбурчаклар ҳосил бўлади:

$$\Delta KK_1 O \infty \Delta BB_1 O \infty \Delta CC_1 O$$

$$\text{У ҳолда: } \frac{KK_1}{KO} = \frac{CC_1}{CO} \quad \text{ёки} \quad \frac{\Delta\ell_3}{3} = \frac{\Delta\ell_1}{1} \quad \text{ва} \quad \Delta\ell_3 = 3\Delta\ell_1$$

$$\text{Бу ерда: } \frac{N_3\ell}{EA} = 3 \frac{N_1\ell}{EA}; \quad N_3 = 3N_1 \quad (6)$$



76-расм.

$$\frac{BB_1}{BO} = \frac{CC_1}{CO} \quad \frac{\delta - \Delta\ell_2}{2} = \Delta\ell_1 \quad \text{ва} \quad \delta - \Delta\ell_2 = 2\Delta\ell_1$$

$$\text{Бу ерда: } \delta - \frac{N_2\ell}{EA} = 2 \frac{N_1\ell}{EA} \quad \text{ва} \quad N_2 = \frac{\delta EA - 2N_1\ell}{\ell} \quad (8)$$

хосил бўлади. (б) ва (в) тенгликларни (а) тенгламага келтириб қўямиз:  $N_1 \cdot 1 - 2 \frac{\delta \cdot EA - 2N_1\ell}{\ell} + 9N_1 = 0$ ;

$$10N_1\ell - 2\delta \cdot EA + 4N_1\ell = 0 \quad \text{ва}$$

$$N_1 = \frac{\delta \cdot EA}{7\ell} = \frac{0,5 \cdot 10^{-4} \cdot 2 \cdot 10^8 \cdot 20 \cdot 10^{-4}}{7} = \frac{20}{7} \kappa H$$

Биринчи стержендаги кучланиш:

$$\sigma_1 = \frac{N_1}{A} = \frac{20}{7 \cdot 20 \cdot 10^{-4}} = 0,143 \cdot 10^4 \frac{\kappa H}{m^2}$$

$$(в) тенгликтан  $N_2$  ни топамиз:  $N_2 = \frac{100}{7} \kappa H$$$

Иккинчи стержендаги кучланиш:

$$\sigma_2 = \frac{N_2}{A} = \frac{100}{7 \cdot 20 \cdot 10^{-4}} = 0,715 \cdot 10^4 \frac{\kappa H}{m^2}$$

$$(б) тенгликтан  $N_3$  ни топамиз:  $N_3 = \frac{60}{7} \kappa H$$$

$$\text{Кучланиш: } \sigma_3 = \frac{N_3}{A} = \frac{60}{7 \cdot 20 \cdot 10^{-4}} = 0,429 \cdot 10^4 \frac{\kappa H}{m^2}$$

**20-масала.** Погонали бруслар кесим юзаси А ва асоси қўзғалмас бўлган пўлатдан тайёрланган иккита стерженларга бикр маҳкамланган:

1) қўзғалмас таянч билан погонали бруслар орасидаги масофа  $\Delta = 1 \cdot 10^{-4} m$  куч қанча қийматида ёпилади;

2) урта стерженнинг пастки асосидаги реакция кучи В берилгандан куч Н орқали аниқлансин ва бўйлама куч N эпураси курилсин.

**Ечиш.** Биринчи саволга жавоб бериш учун погонали бруслари Н кучдан деформациясини  $\Delta$  масофага тенглаштирамиз (77-расм).

$$\Delta = \frac{HC}{4EA} + \frac{HC}{4EA} + \frac{HC}{2EA} + \frac{H2C}{EA} = \frac{3HC}{EA} \quad (a)$$

$$\Delta = \frac{3H}{2 \cdot 10^3 \cdot 2 \cdot 10^{-3}} \text{ ёки } H = \frac{40}{3} \text{ кН}$$

$$\text{Бу ерда: } E = 2 \cdot 10^8 \frac{\text{kH}}{\text{m}^2} \text{ ва}$$

$$A = 2 \cdot 10^{-3} \text{ м}^2$$

(а) тенглама асосида топилган  $H$  күч масаланинг шартыда берилган  $H = 50$  кН күчдан кичик. Демак, брус билан таянч оралығыдаги масофа ёпилади. Масофа ёпилишини аниқлаш учун берилген  $H = 50$  кН күч таъсирида (а) тенглама асосида топилған погонали бруснинг тұлиқ деформациясы  $\Delta_k$  ни  $\Delta = 1 \cdot 10^{-4}$  м билан таққослаймиз:

$$\Delta_k = \frac{3HC}{EA} = \frac{3 \cdot 50 \cdot 1}{2 \cdot 10^8 \cdot 2 \cdot 10^{-3}} = 3,75 \cdot 10^{-4} \text{ м} \quad \text{ёки } \Delta_k > \Delta$$

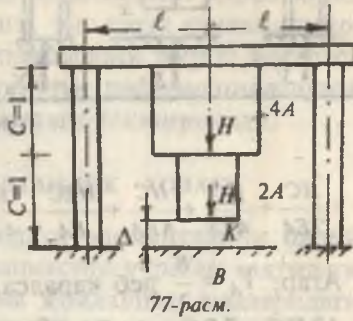
Демак,  $\Delta$  масофа ёпилади. Бруснинг К кесими В таянчы келиб таянади. Системани ҳысоблаш схемаси 78-расмда күрсатылған. Реакция күчлари  $Y_A$  ва В ларни системанинг мувозанат шартидан топамиз:

$$\sum Y = 2Y_A + B - 2H = 0 \quad (b)$$

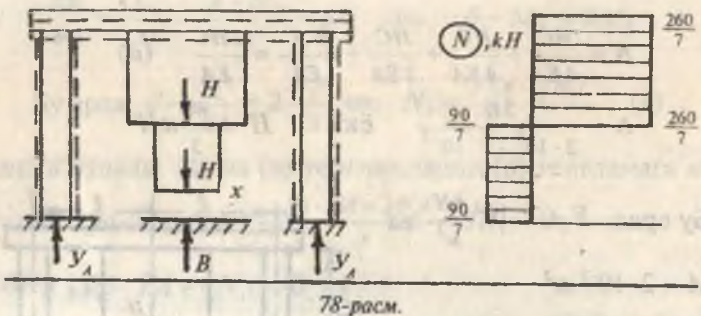
(б) тенгламадан күринишича, системада номаълум реакция күчлари статикани мувозанат тенгламасидан иккитага күп. Демак, система бир маротаба статик аниқмас экан.

Номаълум  $Y_A$  ва В реакция күчларини топиш учун (б) тенглама ёнига құшымча деформация тенгламасини тузишимиз керак.

Бунинг учун икки погонали брусни ва иккита четки стерженлардан биттасини берилген  $H$  күчдан деформациясини реакция күчлари таъсиридаги деформацияга тенглаштирамиз:



77-расм.



78-расм.

$$\frac{HC}{2EA} + \frac{HC}{4EA} + \frac{HC}{4EA} + \frac{H2C}{EA} - \frac{BC}{4EA} - \frac{BC}{E2A} - \frac{Y_A 2C}{EA} = \Delta \quad (6)$$

Агар,  $Y_A = \frac{B}{2}$  деб қаралса, (в) тенгламани

$$12HC - 7BC = 4\Delta EA \text{ күринишига келтирамиз.}$$

Бу ерда:

$$B = \frac{12HC - 4\Delta EA}{7C} = \frac{12 \cdot 50 \cdot 1 - 4 \cdot 10^{-4} \cdot 2 \cdot 10^8 \cdot 2 \cdot 10^{-3}}{7 \cdot 1} = \frac{440}{7} \text{ kN}$$

В реакция кучини (б) тенгламага келтириб,  $Y_A$  реакция кучини топамиз:

$$Y_A = \frac{2H - B}{2} = H - \frac{B}{2} = 50 - \frac{440}{2 \cdot 7} = \frac{130}{7} \text{ kN}$$

Погонали брусни оралиқтарга булиб, ички бүлдеме күч N ни топамиз:

$$1-1 \text{ қирқим. } \sum Y = N_1 - H + B = 0 \text{ ёки}$$

$$N_1 = H - B = 50 - \frac{440}{7} = -\frac{90}{7} \quad (\text{сиқувчи күч})$$

$$2-2 \text{ қирқим. } \sum Y = N_2 - 2H + B = 0$$

$$N_2 = 2H - B = 2 \cdot 50 - \frac{440}{7} = \frac{260}{7} \text{ kN} \quad (\text{чүзувчи күч})$$

## III БОБ

### КУЧЛАНГАНЛИК ҲОЛАТЛАРИ ВА МУСТАҲКАМЛИК НАЗАРИЯЛАРИ

Кучларнинг таъсир қилиш ҳолатларига қараб конструкция ёки иншоот қисмидаги энг катта кучланишларни ва улар пайдо бўладиган юзачаларни топиш масаласи мураккаброқ. Бу масалани ечиш учун деформацияланувчи жисм нуқтасидаги кучланиш ҳолати текширилади.

#### 3.1. ЧИЗИҚЛИ КУЧЛАНГАНЛИК ҲОЛАТИ

Чизиқли кучланганлик ҳолати элементларни оддий чўзилиш ва сиқилиш деформациясига учраган вақтидаги кўндаланг кесими юзасига қия жойлашган юзаларидаги кучланишларнинг тарқалиш қонуниятини ўрганади.

$F$  куч таъсирида чўзилаётган брусли  $m$ -е кўндаланг кесим юзасидаги кучланиш  $\sigma = \frac{F}{A}$  формула билан топилишини кўриб ўтган эдик. Энди брусли  $m$ -е кўндаланг кесим юзасига қия ҳисобланган  $m$ -н юзасидаги кучланишни аниқлайлик.

$m$ -н текисликнинг қиялиги брусни ўқи ва  $n_a$  нормали орасидаги ўткир бурчак  $\alpha$  билан аниқланади. Кесиш услуби орқали ажратиб

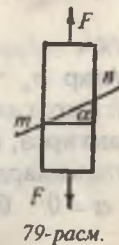
олинган кесими қия юзасида  $P_a$  кучланиш тенг тарқалади ва  $P_a = \frac{F}{A_0} = \frac{F}{A} \cos \alpha = \sigma_0 \cos \alpha$

формула билан топилади.  $P_a$  нинг қия текислик нормали ва  $m$ -н кесим текислигига проекциялаб.

$$\sigma_a = P_a \cos \alpha = \sigma_0 \cos^2 \alpha \quad (3.1)$$

$$\tau_a = P_a \sin \alpha = \frac{\sigma_0}{2} \sin 2\alpha \quad (3.2)$$

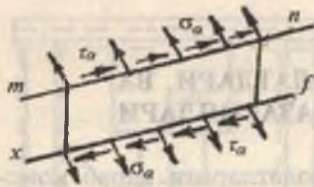
Қия текисликнинг нормал  $\sigma_a$  ва уринма  $\tau_a$  кучланишларни топамиз.



79-расм.

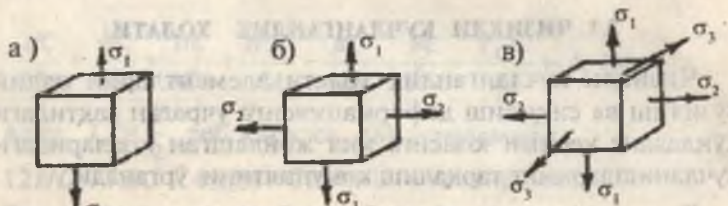


80-расм.



Бруснинг т-п қия текислигига параллел бўлган  $e - f$  чизик билан кесиб, бу қия юзада ҳам нормал ва уринма кучланишларнинг ҳосил бўлишини кўрамиз.

$\sigma_a$  нормал кучланиш таъсирида т-п ва  $e - f$  қия кесим юзалари орасидаги масофа узаяди;  $\tau_a$  уринма кучланиши таъсирида эса силжиш деформацияси ҳосил бўлади.



81-расм.

Агар  $\sigma_a$  чўзувчи бўлса, ишораси — мусбат;  $\tau_a$  бруснинг ажратилган қисмини соат стрелкаси йўналиши бўйлаб айлантирса, ишораси — мусбат деб қаралади. (3.1) ва (3.2) тенгламалардан:

$$\alpha = 0 \text{ бўлса, } \tau_a = 0 \text{ ва } \sigma_a = \sigma_0$$

$$\alpha = 45^\circ \text{ да } \tau_a = \frac{\sigma_0}{2} \text{ ва } \sigma_a = \frac{\sigma_0}{2}$$

$$\alpha = 90^\circ \text{ да } \tau_a = 0 \text{ ва } \sigma_a = 0$$

келиб чиқади.

Демак, 1) брус ўқига перпендикуляр ва параллел кесимларида  $\tau_a = 0$  бўлар экан. Щунинг учун бу юзалар бош юзалар дейилади; 2) брус ўқига параллел юзаларида  $\sigma_a = 0$ ;  $\tau_a = 0$  бўлади, яъни  $\sigma$  ва  $\tau$  ташки кучга боғлиқ бўлмайди.

Бош юзаларга қўйилган кучланишлар бош кучланишлар бўлади. Кучланганлик ҳолатларини  $\sigma_1; \sigma_2$  ва  $\sigma_3$  ларнинг қиймати нолдан фарқли бўлишига қараб аниқланиши мумкин (81-расм):

1) Агар, биш күчланишлардан биттаси нолдан фарқли, қолган иккитаси нолга тенг бўлса — чизиқли күчланганлик ҳолати (81-а расм) оддий чўзилишда:  $\sigma_1 = \sigma_0; \sigma_2 = \sigma_3 = 0$  ва сиқилишда  $\sigma_1 = \sigma_2 = 0; \sigma_3 = -\sigma_a$  бўлади.

2) Агар, иккита бош күчланишлар нолдан фарқли ва биттаси нолга тенг бўлса — текис күчланганлик ҳолати (81-б расм).

3) Агар, учта бош күчланишлар ҳам нолдан фарқли бўлса — ҳажмий күчланганлик ҳолати бўлади (81-в расм)

4)  $\sigma_1; \sigma_2; \sigma_3$  лар бош күчланишлар ва  $\sigma_1 > \sigma_2 > \sigma_3$  деб қабул қиласиз.

### 3.2. ТЕКИС КҮЧЛАНГАНЛИК ҲОЛАТИ

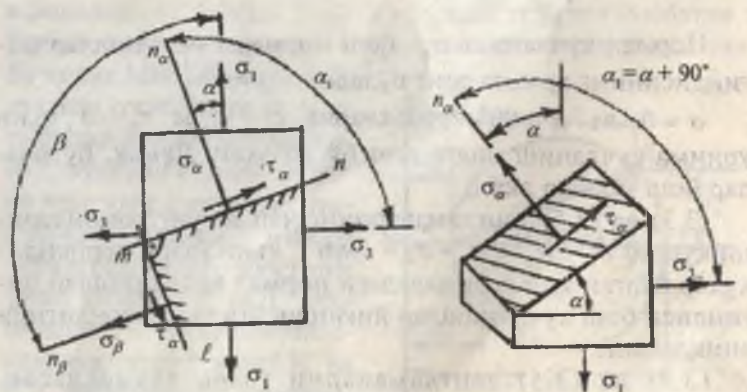
Текис күчланганлик ҳолати қия кесимдаги күчланиш (3.1) ва (3.2) формулаларга асосланиб топилади.

Бруснинг т-н қия кесимидағи нормал  $\sigma_a$  ва уринма  $\tau_a$  күчланишларини топамиш:

$$\sigma_a = \sigma_1 \cos^2 \alpha + \sigma_3 \cos^2 \alpha_1 = \sigma_1 \cos^2 \alpha + \sigma_3 \cos^2(\alpha + 90^\circ)$$

ёки

$$\sigma_a = \sigma_1 \cos^2 \alpha + \sigma_3 \sin^2 \alpha \quad (3.3)$$



82-расм.

$$\tau_{\alpha} = \frac{\sigma_1}{2} \sin 2\alpha + \frac{\sigma_3}{2} \sin 2\alpha_1 = \frac{\sigma_1}{2} \sin 2\alpha + \frac{\sigma_3}{2} \sin 2(\alpha + 90^\circ)$$

ёки  $\tau_{\alpha} = \frac{\sigma_1 - \sigma_3}{2} \sin 2\alpha$  (3.4)

Агар, т-н қия кесимиға перпендикуляр ҳолатдаги бруснинг иккинчи т-е қия кесимини танлаб олсак, бу қия кесимдаги  $\sigma_{\beta}$  ва  $\tau_{\beta}$  кучланишлари (3.3) ва (3.4) формулалар асосида топилади.

$$\sigma_{\beta} = \sigma_1 \cos^2 \beta + \sigma_3 \sin^2 \beta = \sigma_1 \cos^2(\alpha + 90^\circ) + \sigma_3 \sin^2(\alpha + 90^\circ)$$

ёки  $\sigma_{\beta} = \sigma_1 \sin^2 \alpha + \sigma_3 \cos^2 \alpha$  (3.5)

$$\tau_{\beta} = \frac{\sigma_1 - \sigma_3}{2} \sin 2\beta = \frac{\sigma_1 - \sigma_3}{2} \sin 2(\alpha + 90^\circ)$$

ёки  $\tau_{\beta} = -\frac{\sigma_1 - \sigma_3}{2} \sin 2\alpha$  (3.6)

(3.3), (3.4), (3.5) ва (3.6) формулалардан күриниб турибдики, қия кесимларининг нормал ва уринма кучланишлари  $\alpha$  бурчакнинг ўзгаришига боғлиқ экан. Қия кесимнинг оғиш бурчаги  $\alpha = 45^\circ$  да уринма кучланиш максимал қийматга эришади, яъни:

$$\tau_{\alpha} = \tau_{\max} = \frac{\sigma_1 - \sigma_3}{2} \quad (3.7)$$

Нормал кучланиш  $\sigma_{\alpha}$  бош нормал кучланишлар йиғиндисининг ярмига тенг бўлади:  $\sigma_{\alpha} = \frac{\sigma_1 + \sigma_3}{2}$

$\alpha = 0$  ва  $\alpha = 90^\circ$  бурчакларда  $\tau_{\alpha} = 0$  ва  $\tau_{\beta} = 0$ , яъни уринма кучланиш нолга тенг бўлар экан. Демак, бу юзалар бош юзалар экан.

(3.3) ва (3.5) тенгламаларнинг чап ва ўнг томонлари ни қўшиб  $\sigma_{\alpha} + \sigma_{\beta} = \sigma_1 + \sigma_3 = \text{const}$ , яъни ўзаро перпендикуляр бўлган қия кесимлардаги нормал кучланишлар йиғиндиси бош кучланишлар йиғиндисига тенг эканлигини аниқлаймиз.

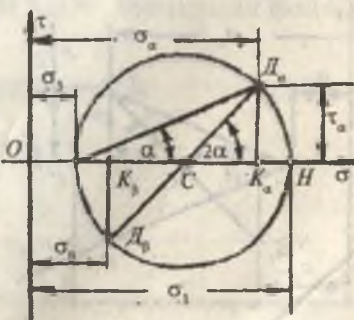
(3.4) ва (3.5) тенгламаларни ўзаро таққосласак,  $\tau_{\alpha} = -\tau_{\beta}$ , ўзаро перпендикуляр жойлашган қия кесимлар-

даги уринма кучланишлар бир-бирига тенг ва ишораси ҳар хил булишини күрамиз.  $\tau_a = -\tau_b$  уринма кучланишларнинг жуфтлик аломати дейилади.

### 3.3. КУЧЛАНИШЛАРНИ ГРАФИК УСУЛДА ТОПИШ

Берилган бош нормал кучланишлар орқали текис кучланганлик ҳолатидаги кубикни қия кесимидағи нормал  $\sigma_a$  ва уринма  $\tau_a$  кучланишларни Мор доирасини (кучланишлар доираси) қуриш билан график усулда ҳам топиш мүмкін. Бу усулни масалада күрамиз.  $\sigma_1$  ва  $\sigma_3$  бош нормал кучланишлар берилған бўлсин (83-расм, а). сот координата ўқларини танлаб,  $\sigma_1$  ва  $\sigma_3$  бош нормал кучланишларнинг қийматларини бир хил масштабда  $\sigma$ — ўқида  $OH = \sigma_1$  ва  $OB = \sigma_3$  масофада жойлаштирамиз.

У ҳолда Мор доирасининг маркази координата боши О нуқтадан  $OC = \frac{OH + OB}{2} = \frac{\sigma_1 + \sigma_3}{2}$  масофада жойлашади. Ҳосил бўлган С нуқтадан радиуси (83-расм, а)  $R = CH = CB = \frac{OH - OB}{2} = \frac{\sigma_1 - \sigma_3}{2}$  бўлган доира чизамиз. Қия кесимни  $\sigma_a$  — нормал ва  $\tau_a$  — уринма кучланишлари Мор доирасида жойлашиб, қия кесимни жойлашиши  $\alpha$  бурчагига боғлиқ равишда ўзгаради.  $\sigma_a$  ва  $\tau_a$  кучланишларни аниқлаш учун қия кесимнинг ҳолатини Мор доирасида ифодалаймиз. Бунинг учун В нуқтадан  $\sigma$  ўқига нисбатан  $\tau$  ўқини мусбат томонида  $\alpha$  бурчак остида чизиқ ўтказамиз. Бу чизиқ Мор доирасини  $D_a$  нуқтада кесиб ўтади.  $D_a$  нуқта билан доиранинг маркази С нуқтани бирлаштирувчи чизиқни доиранинг иккинчи қисми билан туташтириб  $D_b$  нуқтани ҳосил қиласиз.  $D_a$  ва  $D_b$  нуқталардан  $\sigma$  ўқига перпендикуляр чизиқ ўтказиб  $K_a$  ва  $K_b$  нуқталарни топамиз. Кучланишлар масштабига



83-расм, а.

асосан  $OK_a = \sigma$ ;  $K_a D_a = \tau$ ;  $OK = \sigma_\beta$  ва  $K_\beta D_\beta = \tau_\beta$  кучланишларини аниқлади.

$\sigma$ , ва  $\sigma$ , бош нормал кучланишлар чўзувчи бўлса, Мор доираси  $\sigma_1$  ўқининг мусбат томонида жойлашиди.

Хақиқатан ҳам  $\sigma_a = OK_a$  эканлигини исботлаймиз:

$$OK_a = OB + BC + CK$$

Лекин:

$$OB = \sigma_3; \quad CB = \frac{\sigma_1 - \sigma_3}{2}$$

$$\text{ва} \quad CK_a = CD_a \cos 2\alpha \quad (\text{бу ерда} \quad CB = CD_a)$$

У ҳолда:

$$\begin{aligned} OK_a &= \sigma_3 + \frac{\sigma_1 - \sigma_3}{2} + \frac{\sigma_1 - \sigma_3}{2} \cos 2\alpha = \sigma_3 + \frac{\sigma_1 - \sigma_3}{2} (1 + \cos 2\alpha) = \\ &= \sigma_3 + (\sigma_1 - \sigma_3) \frac{1}{2} \cdot 2 \cos^2 \alpha = \sigma_3 + \sigma_1 \cos^2 \alpha - \sigma_3 \cos^2 \alpha = \\ &= \sigma_1 \cos^2 \alpha + \sigma_3 (1 - \cos^2 \alpha); \quad \sigma_a = \sigma_1 \cos^2 \alpha + \sigma_3 \sin^2 \alpha \end{aligned}$$

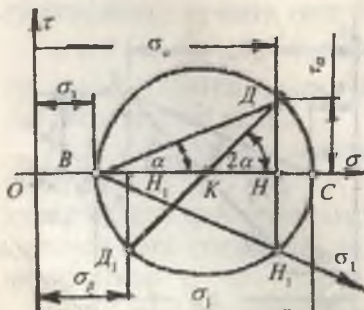
Мор доирасидаги учбурчак  $CD_a K_a$  дан:

$$\frac{D_a K_a}{CD_a} = \sin 2\alpha \quad \text{ёки} \quad D_a K_a = \tau_a = \frac{\sigma_1 - \sigma_3}{2} \sin 2\alpha.$$

Агар қия кесимнинг ҳолати ва ундаги  $\sigma_a; \sigma_\beta; \tau_a = -\tau_\beta$  кучланишлар берилган бўлса, кубикка таъсир қиласидаги

бош кучланишларни ва уларнинг йўналишини топиш мумкин. Бундай тескари масалани ҳам Мор доирасини қуриш (83-расм, б) усули билан ечилади. Бунинг учун  $\sigma; \sigma_\beta; \tau$  координата ўқларига маълум масштабда  $\sigma_a; \sigma_\beta$  ва  $\tau_a$  кучланишлар жойлаштирилади (83-расм, б).

Д ва  $D_1$  нуқталарни бирлаштириб кучланишлар дои-



83-расм, б.

расининг маркази К нуқтани топамиз. ДК ва Д<sub>1</sub>К радиуслар билан чизилган доира σ ўқини С ва В нуқталарда кесиб ўтади. Кучланишлар масштабида ОС = σ<sub>1</sub> ва ОВ = σ<sub>3</sub>. Мор доирасини қуришда қуидаги белгилашлардан фойдаландик:

$$\sigma_{\alpha} = OH; \sigma_{\beta} = OH_1; HD = \tau; H_1D_1 = \tau_{\beta}$$

83-б расмдаги чизмадан қуидаги масофаларни топамиз:

$$OC = OK + KC \text{ ва}$$

$$OB = OK - KB$$

Бу ерда:

$$OK = \frac{OH + OH_1}{2} = \frac{\sigma_{\alpha} + \sigma_{\beta}}{2} \text{ ва}$$

$$KC = KB = KD = \sqrt{(KH)^2 + (HD)^2} = \sqrt{\left(\frac{\sigma_{\alpha} - \sigma_{\beta}}{2}\right)^2 + \tau_{\alpha}^2}$$

Демак,

$$\begin{aligned} OC &= \sigma_1 = \frac{\sigma_{\alpha} + \sigma_{\beta}}{2} \pm \sqrt{\frac{(\sigma_{\alpha} - \sigma_{\beta})^2}{4} + \tau_{\alpha}^2} \\ OB &= \sigma_3 = \frac{1}{2} \left[ (\sigma_{\alpha} + \sigma_{\beta}) \pm \sqrt{(\sigma_{\alpha} - \sigma_{\beta})^2 + 4\tau_{\alpha}^2} \right] \end{aligned} \quad (3.8)$$

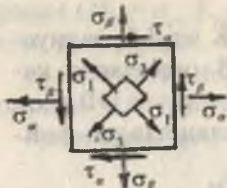
Бош нормал кучланиш σ<sub>1</sub>; σ<sub>3</sub> ларнинг йўналишлари ни топиш учун Мор доирасидаги КНН<sup>1</sup> бурчагидан фойдаланамиз:

$$\operatorname{tg} 2\alpha = \frac{HD}{KH}; \quad \operatorname{tg} 2\alpha = -\frac{2\tau_{\alpha}}{\sigma_{\alpha} - \sigma_{\beta}} \quad (3.9)$$

ёки бурчак ВНН<sup>1</sup> дан:

$$\operatorname{tg} \alpha = \frac{HD}{BH} = -\frac{\tau_{\alpha}}{\sigma_{\alpha} - \sigma_{\beta}}$$

α бурчак мусбат бўлса, уни абсцисса ўқидан соат стрелкасининг йўналишига қарама-қарши томонга жойлаштирилади; манфий бўлса, тескари йўналишда жойлаштирилади.

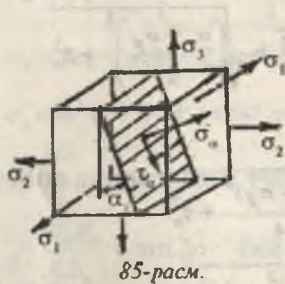


84-расм.

α бурчакнинг қийматига боғлик равишда  $\sigma_1$  ва  $\sigma_2$  бош нормал кучланишлар қўйилиши керак бўлган бош юзаларнинг ҳолатлари, оғиши бурчаклари топилади (84-расм).

### 3.4. ҲАЖМИЙ КУЧЛАНГАНЛИК ҲОЛАТИ

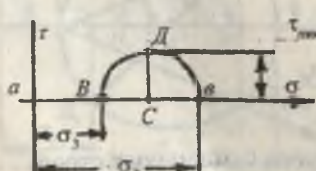
Ҳажмий кучланганликтаги ҳолатидаги элементнинг қия кесимидаги кучланишни топиш учун (85-расм) қия юзанинг бош кучланишларидан бирортасининг йўналишига параллел қилиб олинади, бу юзадаги нормал ва уринма кучланишлар қолган иккита бош кучланишга боғлиқ бўлиб қолади.



85-расм.

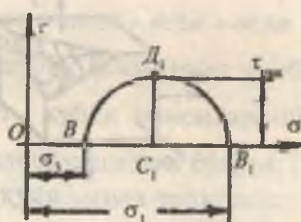
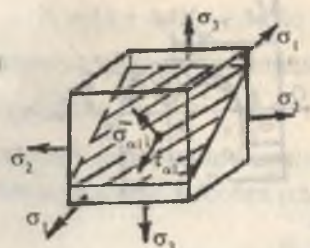
Масалан, қия кесимни  $\sigma_1$  бош нормал кучланишига параллел қилиб оламиз. Демак, штрихланган қия юзадаги  $\sigma_{\alpha 1}$  ва  $\tau_{\alpha 1}$  лар фақат  $\sigma_2$  ва  $\sigma_3$  бош нормал кучланишларга боғлиқ экан.  $\sigma_1$  бош нормал кучланиш таъсиридаги нормал ва уринма кучланишлар нолга teng бўлади.

Демак, ҳажмий кучланганликтаги ҳолатида бўлган кубикдан ажратилган қия текислик текис кучланганликтаги ҳолатида бўлар экан. Қия кесимидаги нормал кучланиш  $\sigma_{\alpha 1}$  ва уринма кучланиш  $\tau_{\alpha 1}$  ларни топиш учун Мор доирасидан фойдаланамиз. (86-расм) координата системасида  $\sigma_1$  ва  $\sigma_2$  бош нормал кучланишларни жойлаштирамиз ва кучланишлар доирасини курамиз.

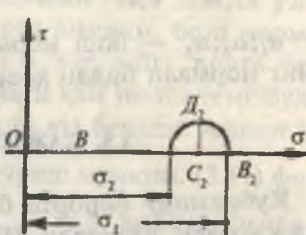
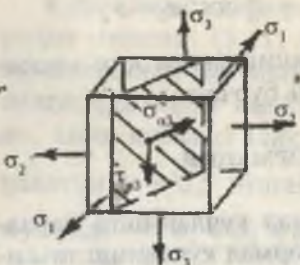


86-расм.

Биз қидираётган  $\sigma_{\alpha 1}$  ва  $\tau_{\alpha 1}$  кучланиш ВВ<sub>1</sub> нуқталар билан чегараланган доира ичидаги жойлашади. Уринма кучланишнинг максимал қиймати кучланишлар доирасининг радиусига teng бўлади, яъни:



87-расм.



88-расм.

$$\tau_{2 \max} = \frac{\sigma_2 - \sigma_3}{2}$$

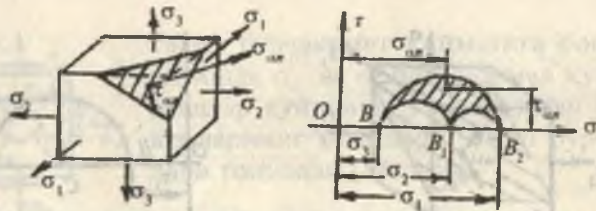
Шу усулда қия кесимни навбати билан  $\sigma_2$  ва  $\sigma_3$ , бosh нормал күчланишларга параллел қилиб оламиз ва нормал ва уринма күчланишларни топамиз.

Қия кесимдаги  $\sigma_{a2}$  ва  $\tau_{a2}$  күчланишлар фақат  $\sigma_1$  ва  $\sigma_3$ , бosh нормал күчланишларға боғлиқ. Энг катта уринма күчланиш:

$$\tau_{1 \max} = \frac{\sigma_1 - \sigma_3}{2}$$

Қия кесимнинг шундай ҳолатини танлаш мумкинки, бунда қия кесим ҳамма бosh нормал күчланишларнинг йұналишини кесиб үтади (89-расм).  $\sigma_{an}$  ва  $\tau_{an}$  күчланишлар Мор доираси билан чегараланған әгри чизиқли мураккаб юзада жойлашади ва қуйидаги формула билан топилади:

$$\sigma_a = \sigma_1 \cos^2 \alpha_1 + \sigma_2 \cos^2 \alpha_2 + \sigma_3 \cos^2 \alpha_3$$



89-расм.

$$\tau_\alpha = \sqrt{\sigma_1^2 \cos^2 \alpha_1 + \sigma_2^2 \cos^2 \alpha_2 + \sigma_3^2 \cos^2 \alpha_3 - \sigma_\alpha^2}$$

$\alpha_1; \alpha_2; \alpha_3$  — бош нормал күчланишларни қия кесимнинг нормали билан ҳосил қилган бурчаги.

### 3.5. ҲАЖМИЙ ДЕФОРМАЦИЯ

Кубикнинг бирорта бош нормал күчланишга параллел қирраси чўзилади. Шу бош нормал күчланиш таъсирида кубикнинг қолган қирралари сиқилади. Натижада, битта қирранинг деформацияси мураккаб бўлиб, бир йўналишда чўзилишдан ва иккита йўналишда сиқилишдан иборатдир.

Ҳажмий күчланганлик ҳолатида элементнинг деформацияси Гукнинг умумлашган қонуни буйича топилади:

$$\varepsilon_1 = \frac{1}{E} [\sigma_1 - \mu(\sigma_2 + \sigma_3)]$$

$$\varepsilon_2 = \frac{1}{E} [\sigma_2 - \mu(\sigma_1 + \sigma_3)] \quad (3.10)$$

$$\varepsilon_3 = \frac{1}{E} [\sigma_3 - \mu(\sigma_1 + \sigma_2)]$$

(3.10) формуладан чизиқли ва текис күчланганлик ҳолатларидаги элементларнинг деформациясини топишда фойдаланиш мумкин.

Бошлангич ҳажми  $V_0 = a \cdot b \cdot c$  бўлган кубикнинг деформациясидан кейинги ҳажми:

$$V_1 = (a + \Delta a)(b + \Delta b)(c + \Delta c) = abc + ab\Delta c + bc\Delta a + ac\Delta b$$

формула билан топилади. Унда кубик ҳажмининг нисбий ўзгариши  $\varepsilon_0 = \frac{V_1 - V_0}{V_0} = \varepsilon_1 + \varepsilon_2 + \varepsilon_3$  кубик томонларининг нисбий деформацияларининг йигиндисига тенг бўлади. Гук формуласини ҳисобга олсак,  $\varepsilon_0$  қўйидагича топилади:

$$\varepsilon_0 = \frac{1-2\mu}{E} (\sigma_1 + \sigma_2 + \sigma_3) \quad (3.11)$$

Кубикнинг деформацияда ҳажми ёки шакли ўзгариши мумкин. (3.11) формуладан аниқки, бош нормал кучланишлар йигиндиси ( $\sigma_1 + \sigma_2 + \sigma_3 = 0$ ) нолга тенг бўлса, ҳажмининг нисбий ўзгариши ҳам нолга тенг бўлади, яъни кубикда шакл ўзгариши юз беради. Айнан шу ҳолатни  $\mu = 0,5$  бўлганда ҳам куриш мумкин. (3.11) формуладан:  $\sigma_1 = \sigma_2 = \sigma_3 = \sigma_{yp}$  деб қабул қиласақ,  $\varepsilon_0 = \frac{1-2\mu}{E} \cdot 3\sigma_{yp}$  ҳосил бўлади.

Бу срда:  $\frac{E}{3(1-2\mu)} = K$  ўзгармас сон ҳажмий эластиклик модули дейилади. Унда  $\varepsilon_0 = \frac{\sigma_{yp}}{K}$  формула Гукнинг ҳажмий қонуни бўлади.

Гук ҳажмий қонунига асосан кубикнинг томонлариға қиймати ўртacha бош кучланишларга тенг кучланишлар билан таъсир қилинса, кубикда ҳажмий ўзгариш содир бўлар экан.

### 3.6. ДЕФОРМАЦИЯНИНГ ПОТЕНЦИАЛ ЭНЕРГИЯСИ

Ҳажмий кучланганлик ҳолатида деформациянинг тўлиқ потенциал энергияси қўйидагича топилади:

$$U = \frac{1}{2} (\sigma_1 \varepsilon_1 + \sigma_2 \varepsilon_2 + \sigma_3 \varepsilon_3) \quad \text{ёки}$$

$$U = U_x + U_w = \\ = \frac{1}{2E} [\sigma_1^2 + \sigma_2^2 + \sigma_3^2 - 2\mu \cdot (\sigma_1 \sigma_2 + \sigma_2 \sigma_3 + \sigma_3 \sigma_1)] \quad (3.12)$$

$U_x$  — кубик ҳажм ўзгаришидаги деформациянинг потенциал энергияси бўлиб, қуйидаги формула билан топилади:  $U_x = \frac{3}{2} \sigma_{yp} \cdot \varepsilon_{yp}$ .

Бу ерда:  $\varepsilon_{yp} = \frac{\sigma_{yp}}{K}$  ҳажмий эластиклик модули  $K = \frac{E}{3(1-2\mu)}$  ва  $\sigma_{yp} = \frac{K_1 + \sigma_2 + \sigma_3}{3}$  ларни ҳисобга олсак, ҳажмий ўзгаришидаги деформациянинг потенциал энергияси  $U_x = \frac{1-2\mu}{6E} (\sigma_1 + \sigma_2 + \sigma_3)^2$ .

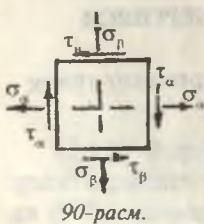
Шакл ўзгаришидаги деформациянинг потенциал энергиясини топиш учун (3.12) формуладан  $U_x$  ни топамиз.

$$\text{У ҳолда: } U_w = \frac{1+\mu}{3E} (\sigma_1^2 + \sigma_2^2 + \sigma_3^2 - \sigma_1\sigma_2 - \sigma_1\sigma_3 - \sigma_2\sigma_3)$$

**1-масала.** Кўндаланг кесим ўлчамлари  $0,2 \times 0,2 \times 0,2$  м бўлган кубикнинг емирилиш вақтидаги ташқи сиқувчи кучнинг таъсир қилиш чизигига  $45^\circ$  бурчак билан қия кесим юзасидаги нормал кучланиш  $\sigma_n = 40$  мПа эди. Кубик қанча сиқувчи куч таъсирида емирилади?

**Ечиш.** Кубик чизиқли кучланганлик ҳолатида бўлганлиги учун, унинг қия кесимидағи нормал кучланиш формуласи куйидагича ёзилади:  $\sigma_n = \sigma \cos^2 \alpha = \frac{F}{A} \cos^2 \alpha = 40$  мПа.

$$\text{Бу ерда: } F = \frac{40A}{\cos^2 \alpha} = \frac{40 \cdot 10^3 \cdot 0,2 \cdot 0,2}{(0,707)^2} = 3,2 \cdot 10^3 \text{ кН}$$



Берилган:

**2-масала.** Пўлатдан тайёрланган кубик текис кучланганлик ҳолатида ( $90^\circ$  расм):

1) бош кучланишлар ва бош юзалар йўналиши; 2) энг катта уринма бош кучланиш; 3) нисбий деформация ва ҳажмнинг нисбий ўзгариши; 4) тўлиқ потенциал энергия топилсан.

$$\sigma_a = 40 \text{ MPa}; \quad \sigma_b = 10 \text{ MPa}; \quad t_2 = 10 \text{ MPa}$$

Бош кучланишларни (3.8) формула ёрдамида топамиз:

$$\sigma_{1,3} = \frac{1}{2} [(40 + 10) \pm \sqrt{(40 - 10)^2 + 4(10)^2}] = \frac{1}{2} (50 \pm 36,05).$$

Бу ердан:

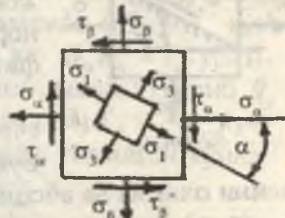
$$\sigma_1 = 43,025 \text{ MPa} \quad \text{ва}$$

$$\sigma_3 = 6,975 \text{ MPa}$$

Бош юзаларнинг жойлашии бурчагини (3.9) формуладан аниқ лаймиз:

$$\operatorname{tg} 2\alpha = -\frac{2 \cdot 10}{40 - 10} = -0,667 \text{ радиан.}$$

$$2\alpha = -34^\circ; \quad \alpha = -17^\circ$$



91-расм.

$\alpha$  — бурчак ишораси (-) минус бўлганлиги учун  $\sigma_1$  йўналишини  $\sigma_a$  текислигидан соат стрелкаси йўналиши бўйича жойлаштирилди. Энг катта уринма кучланиш:

$$\tau_{\max} = \frac{\sigma_1 - \sigma_3}{2} = \frac{43,025 - 6,975}{2} = 18,025 \text{ MPa}$$

Кубик томонларининг нисбий чўзилиши:

$$\varepsilon_1 = \frac{1}{2 \cdot 10^8} (43025 - 0,3 \cdot 6975) = 20,466 \cdot 10^{-5} \quad (\text{чўзилиш})$$

$$\varepsilon_2 = -\frac{0,3}{2 \cdot 10^8} (43025 + 6975) = -7,5 \cdot 10^{-5} \quad (\text{сиқилиш})$$

$$\varepsilon_3 = \frac{1}{2 \cdot 10^8} (6975 - 0,3 \cdot 43025) = -2,97 \cdot 10^{-5} \quad (\text{сиқилиш})$$

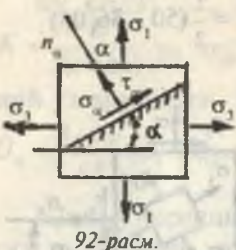
Хажмнинг нисбий ўзгариши:

$$\varepsilon_0 = (20,466 - 7,5 - 2,97) \cdot 10^{-5} = 10 \cdot 10^{-5}$$

Тулиқ потенциал энергияни (3.12) формуладан топамиз:

$$U = \frac{1}{2 \cdot 2 \cdot 10^8} [(43025)^2 + (6975)^2 - 2 \cdot 0,3 \cdot 43025 \cdot 6975]$$

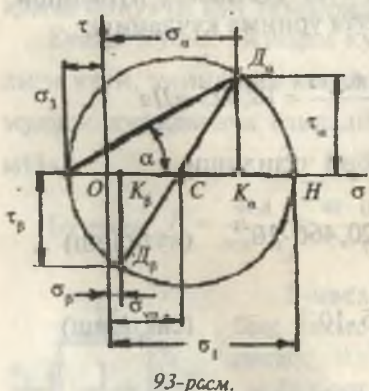
$$U = 24,95 \cdot 10^{-5} \text{ Дж}$$



**3-масала.** Берилган  $\sigma_1 = 50 \text{ MPa}$  ва  $\sigma_3 = -10 \text{ MPa}$  бош күчланишлари таъсиридаги  $\alpha = 30^\circ$  бурчак остида жойлашган қия юзанинг (92-расм) нормал ва уринма күчланишлари график усулда топилсун.

**Ечиш.** Масалани график усулда ечиш учун Мор доирасини кұрамиз. Бунинг учун ото координата системасини оламиз ва абсцисса ўқи бўйлаб бош күчланишлар ( $\sigma_1$  ва  $\sigma_3$ ) ни күчланишлар масштабида жойлаштирамиз (93-расм).  $\mu_\sigma = 1 \text{ мм} = 1 \text{ MPa}$ , яъни 1 мм масофада 1 мПа күчланиш жойлашган деб қабул қилдик.

Демак,  $OH = \sigma_1 = 50 \text{ MPa}$ ;  $OB = \sigma_3 = 10 \text{ MPa}$



$\sigma_1$  бош күчланиши чўзувчи булғанлиги учун абсцисса ўқининг координата боши О нуқтасидан (ўнг) мусбат томонига;  $\sigma_3$  сиқувчи күчланиш бўлғанлиги учун координата ўқини манфий томонига жойлаштирамиз. Натижада Н ва В нуқталар ҳосил булади. Қия текисликнинг нормал ва уринма күчланишлари Н ва В нуқталари оралигида топилғанлиги учун

күчланишлар доираси ҳам шу нуқталардан ўтади. Доира марказини қўйидагича топамиз:

$$OC = \frac{OB + OH}{2} = \frac{\sigma_1 - \sigma_3}{2} = \frac{50 - 10}{2} = 20 \text{ MPa}$$

Доиранинг радиуси:

$$CH = CB = \frac{HB}{2} = \frac{OH - OB}{2} = \frac{\sigma_1 + \sigma_3}{2} = \frac{50 + 10}{2} = 30 \text{ MPa}$$

С нүктадан  $CH = CB = R = 30 \text{ MPa}$  радиус билан айланы чизамиз. В нүктадан  $\alpha = 30^\circ$  бурчак остида қия кесими тасвирловчи чизиқ үтказиб  $D_a$  нүктаны топамиз.  $D_a$  нүктадан абсциссага перпендикуляр тушириб  $K_a$  нүктаны аниқлаймиз.  $\sigma_{\alpha}$  координата системасида  $OD_a = \sigma_{\alpha}$  қия текисликнинг нормал кучланишини ва  $D_a K_a = \tau_{\alpha}$  уринма кучланишни беради.  $CD_a$  чизигини давом эттириб  $D_b$  ва кейин  $K_b$  нүкталарни,  $OK_b = \sigma_{\beta}$  ва  $D_b K_b = -\tau_{\beta}$  кучланишларни топамиз. Мор доирасидан топилган кучланишларнинг түғрилигини текширамиз:

$$\sigma_{\alpha} = \sigma_1 \cos^2 \alpha + \sigma_3 \sin^2 \alpha = 50 \left( \frac{\sqrt{3}}{2} \right)^2 - 10 \left( \frac{1}{2} \right)^2 = 35 \text{ MPa}$$

$$\tau_{\alpha} = \frac{\sigma_1 - \sigma_3}{2} \sin 2\alpha = \frac{50 - (-10)}{2} = \sin 2 \cdot 30^\circ = 30 \frac{\sqrt{3}}{2} = 26 \text{ MPa}$$

$$\sigma_{\beta} = \sigma_1 \sin^2 \alpha + \sigma_3 \cos^2 \alpha = 50 \left( \frac{1}{2} \right)^2 - 10 \left( \frac{\sqrt{3}}{2} \right)^2 = 5 \text{ MPa}$$

### 3.7. МУСТАҲКАМЛИК НАЗАРИЯЛАРИ [4]

Турли конструкция ва машиналарни ҳисоблашда ёки лойиҳалашда уларнинг элементлари ва деталларида ҳосил бўладиган энг катта кучланиш рухсат этилган кучланишдан ошибб кетмаслиги таъминланиши лозим. Рухсат этилган кучланишни белгилаш учун материалнинг ташқи куч билан юкландан то емирилиш деформациясигача бўлган оралиқдаги хоссасини ўрганиш керак.

Бир ўқли чўзилиш ва сиқилиш, яъни чизиқли кучланиш ҳолатида үтказилган кўп тажрибаларнинг узоқ муддат тўпланган натижалари турли материаллар учун рухсат этилган кучланишлар ҳақида етарли даражада аниқлик билан фикр юритиш имконини беради.

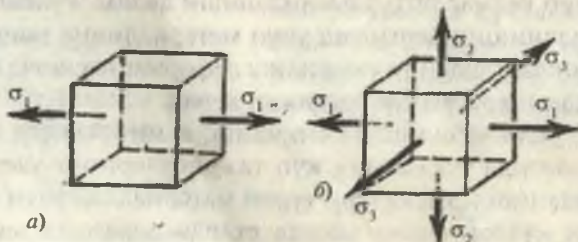
Текис ва җажмий күчланиш ҳолатларыда бундай фикр юритиб бўлмайди. Бунда деформациянинг ўсиши ва материалнинг емирилиши иккита ёки учта бош күчланишлар нинг таъсирида рўй беради, амалда учрайдиган бош күчланишлар сонининг нисбати ҳамда ишоралари чекланмаган даражада хилма-хил бўлиши мумкин. Шунинг учун хавфли ҳолатдаги чегаравий күчланишларни аниқлаш учун тажрибалар ўтказиш жуда қийин.

Мураккаб күчланиш ҳолатини тажриба йўли билан текшириш учун мўлжалланган ҳозирги мавжуд техника во-ситалари бош күчланишларнинг баъзи хусусий нисбатлари учунгина тажриба ўтказиш имконини беради.

Юқоридагиларга асосан оддий чўзилиш ва сиқилишда ўтказилган тажрибалар натижаларига асосланниб бирор материал исталган күчланиш ҳолатининг хавфлилик даражасини баҳолаш имконини берадиган ҳисоблаш усулини яратиш зарурлигини тақозо қиласди.

Бу масала мустаҳкамлик назариялари ёрдамида амалга оширилади. Бу назарияларнинг барчаси қуйидаги шартга асосланган: иккита күчланиш ҳолатига тегишли бош күчланишлар пропорционал равишда бир хил миқдорда оширилган, иккаласи бир вақтда чегаравий ҳолатга ўтса, бундай күчланиш ҳолатлари тенг күчланишли ва тенг хавфли ҳисобланади, иккала күчланиш ҳолати учун мустаҳкамлигининг эҳтиёт коэффициенти бир хил.

Тенг хавфли күчланиш ҳолатларидан бири сифатида тажриба йўли билан асосланган чизиқли чўзилиш (94-а расм) бошқаси сифатида хавфли ҳолатни аниқлаш керак бўлган күчланиш ҳолатни (94-б расм) олинади.



94-расм.

Бу иккала ўрганилаётган ҳол учун материалнинг емирилиш ёки чегаравий кучланиш ҳолатига ўтиш сабаби аниқ бўлсагина мумкин бўлади. Лекин материал емирилишининг ҳақиқий сабабини аниқлаш жуда қийин ва у охиригача ҳал қилинмаган масала ҳисобланади. Бу ҳол ягона мустаҳкамлик назариясини яратишга имкон бермайди, натижада ҳар бири ўзининг чегаравий кучланиш ҳолатининг пайдо бўлиш сабаби ҳақидаги гипотезасига эга бўлган кўп назариялар юзага келади. Бундай гипотезага асосан зарур ҳисоблаш шартлари ва ўрганилаётган кучланиш ҳолатининг бош кучланишларини чизиқли кучланишдаги бош кучланишлар билан боғловчи формулатлар тузилади.

• **Биринчи, иккинчи ва учинчи классик мустаҳкамлик назариялари.** [4] Энг қадимги назарияларда бўлмиш биринчи мустаҳкамлик назарияси чегаравий кучланиш ҳолати пайдо бўлишига энг катта нормал кучланиш сабаб бўлади деган гипотезага асосланади.

Қабул қилинган гипотезага кўра қўйидаги шарт бажарилиши керак:

$$\sigma_{\max} = \sigma_1 < \sigma_0 \quad (3.13)$$

Бу ерда:  $\sigma_1$  — текширилаётган кучланиш ҳолати учун бош кучланишлардан энг каттаси;  $\sigma_0$  — чизиқли чўзиш учун тажрибадан олинган чегаравий кучланиш.

Энг катта нормал кучланиш назариясининг бош камчилиги шундан иборатки, унда бошқа иккита кучланишлар  $\sigma_2$ ,  $\sigma_3$  ҳисобга олинмайди. Амалда эса бу кучланишлар материал мустаҳкамлигига катта таъсир кўрсатади. Масалан, ҳар томонлама (гидростатик) сиқилишда бўлган цемент кубик мустаҳкамлик чегарасидан бир неча марта катта бўлган кучланишга емирилмасдан чидаш бера олади. Бундай шароитда бошқа материаллар ҳам шундай чидамли бўлади.

Бу назария мўрт материалларни чўзишга синашда тасдиқланади. Мўрт материални чўзганда сезиларли пластик деформация ҳосил бўлмасдан, бир бўлаги қолган бўлагидан ажralади.

Ҳозирги пайтда биринчи назариядан фойдаланилмайди, у фақат тарихий аҳамиятга эга.

Иккинчи мустақамлик назарияси материалда чегаравий күчланиш ҳолати пайдо булишига энг катта өзүлиш сабаб бұлади деган гипотезага асосланған.

Бош деформациялар  $\varepsilon_1 > \varepsilon_2 > \varepsilon_3$  бұлғанида ҳажмий күчланиш ҳолати учун қабул қылинған гипотезага жавоб берувчи умумий шарт қуидагича ёзилади:

$$\varepsilon_{\max} = \varepsilon_1 < \varepsilon_0 \quad (3.14)$$

Бу ерда:  $\varepsilon_1$  — текширилаётган күчланиш ҳолати учун энг катта өзүлишнинг ҳисобий қыймати;  $\varepsilon_0$  — бир үқли өзүлиштегі синаш тажрибасыдан олинған нисбий өзүлишнинг чегаравий қыймати.

$\varepsilon_1$  ва  $\varepsilon_0$  ларни аниқлашда маълум Гук қонуни формуларадан фойдаланилади:

$$\varepsilon_1 = \frac{1}{E} [\sigma_1 - \mu(\sigma_2 + \sigma_3)] \text{ (a)} \quad \varepsilon_0 = \frac{\sigma_0}{E} \text{ (б)}$$

Бунда шартлы равишида (а) ва (б) боғланишлар чегаравий күчланиш ҳолати пайдо бўлгунча кучга эга бўлади ва материалнинг сезиларли пластик деформацияларсиз мурт емирилишига жавоб беради деб ҳисобланади, (а) ва (б) ифодаларни (3.14) шартга қўйиб қуидаги ифодани ҳосил қиласиз:  $\sigma_1 - \mu(\sigma_2 + \sigma_3) < \sigma_0$  (в).

(в) тенгизлилек чап қисми мусбат бўлгандағина кучга эга, бунда у энг катта өзүлиштегі мос келади, қабул қылинған гипотеза билан бир хил бўлади.

Иккинчи назариянинг биринчисидан афзаллиги шундаки, унда барча бош күчланишлар таъсири ҳисобга олилади.

Мурт материаллар(бетон, тош) нинг босим бериладиган тореңларига ёф ёки парафин сурғиб, оддий сиқилишда емирилишини бу назария ёрдамида тушунтириш мумкин. Материалда сиқувчи күчларга параллел дарзлар пайдо бўлади ва у емирилади. Бу намуна үқига перпендикуляр йуналишда материалнинг кенгайишига имкон берувчи чизикли деформацияларнинг ўсиши билан тушунтирилади.

Биринчи назария каби иккинчиси ҳам тажриба натижалари билан етарли даражада тасдиқланмайди, мурт ма-

териаллар учун күпроқ құл келади.

Учинчи мустақамлик назарияси чегаравий күчланиш ҳолати пайдо булишига Эң катта уринма күчланишлар сабаб бұлади деган гипотезага асосланади. Шунинг учун у Эң катта уринма күчланиш назарияси деб аталади.

Пластик деформациялар жараёнида силжиш ва унга мос келувчи уринма күчланишлар ҳам пайдо булиши тажриба асосида тасдиқланған, шунинг учун қабул қилинған гипотезаны сезиларлы пластик деформациялар билан болжаш мүмкін.

Ушбу назариянинг умумий шарти қойидаги күриништегі эта:

$$\tau_{\max} < \tau_0 \quad (3.15)$$

Бу ерда:  $\tau_{\max}$  – текширилаётган күчланиш ҳолати учун Эң катта уринма күчланишнинг чегаравий қыймати.

Маълумки, ҳажмий күчланишда  $\sigma_1 > \sigma_2 > \sigma_3$ , бұлгандың катта уринма күчланиш максимал ва минимал бош күчланишлардагы фарқнинг ярмиси қойидагича топилади:  $\tau = \max \frac{\sigma_1 - \sigma_3}{2}$  (а).

$\tau_0$  күчланиш қойидаги тенгликдан топилади:  $\tau_0 = \frac{\sigma_0}{2}$  (б)

Шундай қилиб (3.15) шартни қойидагича ёзиш мүмкін:  $\sigma_1 - \sigma_3 < \sigma_0$  (в).

Учинчи назариянинг асосий камчиліги шундан иборатки, ҳажмий күчланиш ҳолатида  $\sigma_2$  бош күчланишнинг тасьири ҳисобға олинмайды. Эң катта уринма күчланиш назарияси чўзилишга ҳам, сиқилишга ҳам бир хил қаршилиқ кўрсатадиган пластик материаллар билан үтказилған тажриба натижаларига мос келади. Бу назария уларнинг мустақамлигини баҳолашда жуда кенг қўлланилади.

**Мустақамликнинг энергетик назарияси.** Энергетик назария қойидаги тахминга асосланади: материалнинг чегаравий күчланиш ҳолати пайдо бўладиган пайтда тўпланағандиган деформация солиштирма потенциал энергиясининг микдори исталған мураккаб күчланиш ҳолатида ҳам, оддий чўзилишда ҳам бир хилдир.

Бу назариянинг яратилишида даставвал чегаравий кучланиш ҳолати пайдо бўлишига тўла солиштирма потенциал энергиясининг энг катта қиймати сабаб бўлади деган гипотеза асос қилиб олинган ва қуйидагича ёзилади:

$$U < U_0 \quad (3.16)$$

Бу ерда:  $U$  — тўла солиштирма энергия, у ҳажмий кучланиш ҳолати учун умумий ҳолда қуйидаги формуладан топилади:

$$U = \frac{1}{2E} [\sigma_1^2 + \sigma_2^2 + \sigma_3^2 - 2\mu(\sigma_1\sigma_2 + \sigma_1\sigma_3 + \sigma_2\sigma_3)] \quad (a)$$

$U_0$  энергиянинг чегаравий қиймати булиб, оддий чўзилишга ўтказилган тажрибадан топилади. Уни топиш формуласи (a) дан унинг ўнг томонини  $\sigma_2 = \sigma_3 = 0$  га тенглаб,  $\sigma_1$ , ўрнига чўзилишдаги чегаравий кучланиш қийматини, яъни  $\sigma_0$  ни қўйиб келтириб чиқарилади.

$$\text{Шундай қилиб, } U_0 = \frac{\sigma_0^2}{2E} \quad (b)$$

(a) ва (b) ларни ҳисобга олганда (2.16) шарт қуйидагича ёзилади:

$$\sqrt{[\sigma_1^2 + \sigma_2^2 + \sigma_3^2 - 2\mu(\sigma_1\sigma_2 + \sigma_1\sigma_3 + \sigma_2\sigma_3)]} < \sigma_0 \quad (b)$$

Лекин юқорида қайд қилинган гипотеза тажрибада тасдиқланмаган, шунинг учун унга асосланган назария амалда қулланилади.

Бу назария, масалан, ҳар томонлама бўладиган гидростатик босим билан ўтказилган тажрибада тасдиқланмаган, бунда юқорида айтиб ўтилганидек, емирилиш бўлмайди.

Шундай қилиб, ҳар томонлама сиқилиш натижасида ҳажм ўзгаришига мос келувчи энергия мустаҳкамликни белгиловчи критерия бўлмайди.

Таклиф қилинган янги энергетик назарияда чегаравий кучланиш ҳолати пайдо бўлишига барча солиштирма энергия эмас, балки қирраси бирга тент бўлган куб шаклиниң ўзгариши натижасида тўпланадиган солиштирма энергиянинг бир қисми сабаб бўлади деган гипотеза асос

қилиб олинади. Кўриниб турибдикি, янги энергетик назария фақат пластик деформацияларнинг ўсиши билан боғланади. Маълумки, пластик деформация жисмнинг шакл ўзгариши билан боғланади. Унинг ҳажм ўзгариши билан боғланмайди.

Ушбу назариядан фойдаланган риоя қилиниши керак бўлган шарт қуидаги тенгсизлик билан ифодаланади:

$$U_w < U_{sc} \quad (3.17)$$

Бу ерда:  $U_w$  — текширилаётган кучланиш ҳолатида куб шакл ўзгариши билан боғлиқ бўлган энергиянинг ҳисоб қиймати.

$U_{sc}$  — ушбу энергиянинг оддий чўзилишга ўтказилган тажриба натижасида олинган чегаравий қиймати.

Кучланишнинг умумий ҳоли учун шакл ўзгаришига кетадиган энергияни ҳисоблаш бирмунча қийинчилик туғдиради. Шунинг учун  $U_w$  қуидаги ифодадан топилади:

$$U = U_v + U_w \quad (3.18)$$

Унда:

$$U_w = U - U_v \quad (3.19)$$

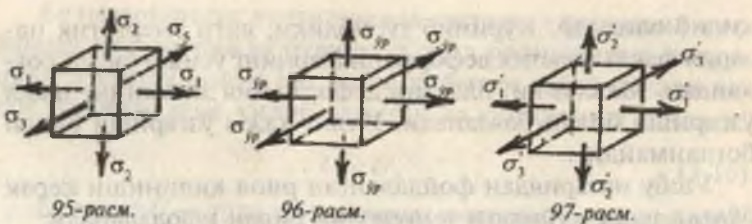
Бу ерда:  $U$  — тўла энергия;  $U_v$  — ҳажм ўзгаришига сарфланадиган энергия.

Ҳажмий кучланишнинг умумий ҳоли учун деформацияни иккига бўламиз: 1) ҳажм ўзгариши билан боғлиқ бўлган деформация; 2) шакл ўзгаришига мос келувчи деформация.

Бунинг учун берилган кучланиш ҳолатини (95-расм) кучланишлар билан аниқланадиган иккита кучланиш ҳолати (96, 97-расм) йигиндиси кўринишида тасаввур этамиз. Дейлик, улардан бири гидростатик чўзилишга (сиқилишга) мос келади, бунда кубнинг барча томонларига бир хил ўртача кучланиш таъсир этади:

$$\sigma_{sp} = \frac{\sigma_1 + \sigma_2 + \sigma_3}{3} \quad (r)$$

Бунда кубнинг барча қирралари бир хил қийматга ўзгарганлигидан куб шакли ўзгармайди, балки унинг ҳажмигина ўзгаради.



Иккинчи кучланиш ҳолатининг кучланишларини  $\sigma'_1, \sigma'_2, \sigma'_3$  лар орқали белгилаймиз. Улар қуйидаги тенгликлардан топилади:

$$\sigma'_1 = \sigma_1 - \sigma_{yp}; \quad \sigma'_2 = \sigma_2 - \sigma_{yp}; \quad \sigma'_3 = \sigma_3 - \sigma_{yp} \quad (d)$$

$\sigma_1, \sigma_2, \sigma_3$  кучланишларда ҳажмнинг ўзгариши нолга тенглигини исботлаш қийин эмас.

Ҳақиқатан ҳам (г) ни ҳисобга олган ҳолда (д) тенглиқдан бу кучланишларнинг қийматларини ҳажмий деформация формуласига қўйиб қуйидагини ҳосил қиласмиз:

$$\begin{aligned} & \frac{1-2\mu}{E} (\sigma'_1 + \sigma'_2 + \sigma'_3) = \\ & = \frac{1-2\mu}{E} \left( \sigma_1 + \sigma_2 + \sigma_3 - 3 \frac{\sigma_1 + \sigma_2 + \sigma_3}{3} \right) = 0 \end{aligned} \quad (e)$$

Шунинг учун  $\sigma_1, \sigma_2, \sigma_3$  кучланишлардан жисмнинг фақат шакли ўзгаради.

$U_v$  энергияни аниқлаш учун (а) формулага  $\sigma_1, \sigma_2, \sigma_3$ ,  $U_v$  кучланишлар ўрнига  $\sigma_{yp}$  ни қўямиз.

У ҳолда  $U_v = \frac{1-2\mu}{2E} \cdot 3\sigma_{yp}^2$  (ж) ҳосил бўлади. (ж) ифодага  $\sigma_{yp}$  ўрнига (г) тенглиқдан унинг қийматини қўйиб қуйидаги формулани ҳосил қиласмиз:  $U_v = \frac{1-2\mu}{6E} (\sigma_1 + \sigma_2 + \sigma_3)^2$  (з)

(а) ва (з) формулалардан  $U$  ва  $U_v$  ларнинг қийматларини (3.19)га қўйиб, баъзи ўзgartиришлардан сўнг қуйидагини топамиз:

$$U_w = \frac{1+\mu}{3E} [\sigma_1^2 + \sigma_2^2 + \sigma_3^2 - (\sigma_1\sigma_2 + \sigma_1\sigma_3 + \sigma_2\sigma_3)] \quad (3.20)$$

(3.20) формулани қуйидаги күринишга келтирамиз:

$$U_m = \frac{1+\mu}{6E} \left[ (\sigma_1 - \sigma_2)^2 + (\sigma_1 - \sigma_3)^2 + (\sigma_2 - \sigma_3)^2 \right] \quad (3.21)$$

Оддий чүзилиш учун  $\sigma_2 = \sigma_3 = 0$  бўлганда (3.21), формулага биноан қуйидагига эга бўламиз:

$$U_m = \frac{1+\mu}{6E} \cdot 2\sigma_1^2 \quad (3.22)$$

(3.21) ва (3.22) формулаларни ҳисобга олганда (3.17) шарт қуйидагича ёзилади:

$$\left[ (\sigma_1 - \sigma_2)^2 + (\sigma_1 - \sigma_3)^2 + (\sigma_2 - \sigma_3)^2 < 2\sigma_0^2 \right] \quad (и)$$

Бу ерда:  $\sigma_0$  — оддий чүзилишда тажрибада топилган че-гаравий кучланиш.

Ушбу назарияда  $\sigma_0$  — оқувчанлик чегараси  $\sigma_{ok}$  га тенг деб қабул қилинади.

(и) шартга жавоб берадиган ҳисоблаш формуласи қуйидагича ёзилади:

$$\sigma_{muc} = \sqrt{\frac{1}{2} \left[ (\sigma_1 - \sigma_2)^2 + (\sigma_1 - \sigma_3)^2 + (\sigma_2 - \sigma_3)^2 \right]} \leq R \quad (3.23)$$

Бу ерда:  $R$  — чүзилишдаги ҳисобий қаршилик.

Текис кучланиш ҳолатида (2.23) формуласидан бош кучланишларни  $\sigma_z, \sigma_y$  ва  $\tau_{xy}$  лар орқали ифодалаб қуйидагича ёзамиш:

$$\sigma_{muc} = \sqrt{\left( \frac{\sigma_z + \sigma_y}{2} \right)^2 + 3 \left( \frac{\sigma_z - \sigma_y}{2} \right)^2 + 3\tau_{xy}^2} \leq R \quad (3.24)$$

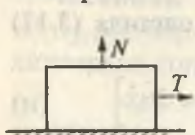
$\sigma_y = 0$  бўлган хусусий ҳол учун  $\sigma_z = \sigma$ ;  $\tau_{xy} = \tau$  десак, қуйидагига эга бўламиз:

$$\sigma_{muc} = \sqrt{\sigma^2 + 3\tau^2} \leq R \quad (3.25)$$

Учинчи назария каби энергетик назария ҳам пластик материаллар билан ўтказилган тажрибаларда яхши исботланади ва амалда кенг қўлланилади. Юқорида қайд қилинган назариялар материалда пластик деформациялар пайдо бўлиш шароитини белгиловчи критерияларни белги-

лаб беради. Шунинг учун бу назарияларға асосланған (3.15) ва (3.17) тенгсизликлар баъзан пластилик шартлари деб аталади.

**Мор мустаҳкамлик назарияси [4].** Барча материаллар ҳам чўзилиш ва сиқилиш деформациясига бир хил қаршилик кўрсатмаслигини Мор назарияси ҳисобга олади. Бу назария 1882 йилда тақлиф этилиб, 1900 йилда ривожлантирилган.



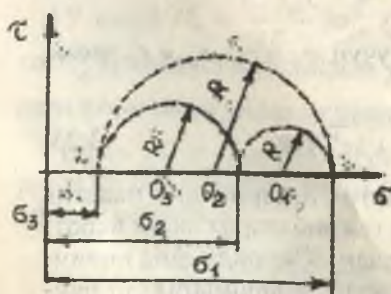
98-расм.

Ички ишқаланиш  $T = fN$  материалнинг эластиклик чегарасидан кейин силжиш натижасида содир бўлади. Демак, силжишга кўрсатилган қаршилик фақатгина уринма кучланиш каби нормал кучланишга ҳам боғлиқ бўлади.

Демак, уринма кучланишдан ҳосил бўлган қаршилик кучи жисмнинг сиқувчи нормал кучланиш мавжуд бўлган нуқталарида каттароқ бўлиб, чўзилиш мавжуд бўлган нуқталарида паст бўлдаи. Юқоридаги фикрлаш Мор назариясининг асосини ташкил этади. Уринма кучланишлар, биринчидан, материалнинг ўзаро боғланиши натижасида, иккинчидан эса, биринчи силжиш боғланишдаги емирилиш сабабига боғлиқ.

Юқоридаги холосаларга асосланиб, умуман, ҳажмий кучланганлик ҳолатини Мор доираси ёрдамида шундай кўрсатиш мумкин ( $\sigma_1; \sigma_2; \sigma_3$ ). Уринма кучланишлар эса штрихланган юзанинг бирорта нуқтасида ифода этилади. Яна шу нарса аниқки, материаллар сиқилиш деформациясига кўрсатадиган қаршилиги чўзилишдаги қийматидан каттароқ бўлади. Мор доирасига кўра мустаҳкам қаршилик кўрсатувчи соҳа қўйидагича бўлади.

Чўзилиш деформациясидан сиқилишига ўтганда қаршилик кўрсатувчи соҳа каталашади. Демак, Мор назариясига кўра мустаҳкам қаршилик кўрсатувчи соҳа-



99-расм.

ни белгилаш учун сиқилиш соҳасида  $R$  радиуси билан, чўзилиш соҳасида  $R$  радиуси билан айланалар ўтказиб, уларни умумий уринмалар билан тугаштирамиз, натижада АМКГД-НА мустаҳкам қаршилик кўрсатувчи соҳа ҳосил бўлади. Демак, Мор назарияси I, II, III мустаҳкамлик назарияларида гидек,  $\sigma, \varepsilon, \tau$  (бита) омилга боғлиқ бўлмасдан бир вақтда нормал ( $\sigma$ ) ва уринма ( $\tau$ ) кучланишлар таъсирини содир эта олади.

Мор мустаҳкамлик назариясига кўра шарт қуидагича бўлади.

$$\sigma_1 - v\sigma_3 = (1-v)\frac{\sigma}{2} + (1+v)\sqrt{\frac{\sigma^2}{4} + \tau^2} < \sigma_0^I$$

$$\sigma_3 - v\sigma_1 = (1-v)\frac{\sigma}{2} - (1+v)\sqrt{\frac{\sigma^2}{4} + \tau^2} < \sigma_0^{II}; \quad v = \frac{\sigma_0^I}{\sigma_0^{II}}$$

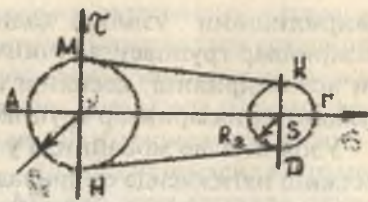
Бу ҳолда:  $\sigma_0^I$  — чўзилишдаги мустаҳкамлик чегараси;  
 $\sigma_0^{II}$  — сиқилишдаги мустаҳкамлик чегараси.

**Бирлашган мустаҳкамлик назарияси [4].** Ушбу назарияда материалнинг икки хил емирилиши бир-биридан фарқ қилинади: мўрт емирилиш — материалнинг узилиши билан содир бўлади, қовушқоқ емирилиш — кесилиш (силжиш) орқали рўй беради.

Узилиш содир бўладиган кучланишни  $\sigma$ , силжишда рўй берадиган емирилишга мос келувчи кучланишни  $\tau_{em}$  орқали белгилаймиз.

Чўян стерженнинг буралишдаги емирилиши мўрт емирилишга мисол бўла олади. Бунда узилиш бош чўзувчи кучланишлар майдончаси бўйлаб рўй беради. Пластик пўлатдан ясалган валнинг буралишдаги емирилиши қовушқоқ емирилишга мисол бўла олади.

Юқорида айтилганлар асосида биринчи ва иккинчи чегаравий кучланиш ҳолати назарияларини материалнинг



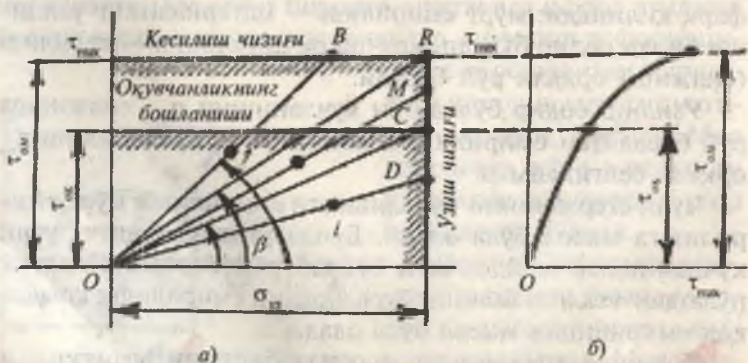
100-расм.

емирилишини узилиш ҳодисаси орқали тушунтирувчи назариялар группасига, учинчи ва энергетик назарияларни эса емирилиш, кесилиш (силжиш) йўли билан содир бўладиган назариялар группасига киритиш мумкин.

Узоқ йиллар мобайнида у ёки бу материал ё узилиш, ё силжиш натижасида емирилади деган тахмин ҳукмрон эди. Бирлашган мустаҳкамлик назариясига кўра бир хил материал узилиш йўли билан ҳам, кесилиш йўли билан ҳам емирилиши мумкин, бу унинг иш шароитига ва кучланиш ҳолатига боғлиқ. Шу гипотеза асосида иккинчи ва учинчи назариялар бирлаштирилади.

Иккита назарияни бундай бирлаштириш механик ҳолат диаграммаси деб аталадиган диаграмма ёрдамида ўрнатилётган материалнинг узилишга ҳам, қирқилишга ҳам мустаҳкамлигини текшириш ва мумкин бўлган емирилиш турини аниқлаш имконини беради.

График мазкур диаграмманинг асосий элементи ҳисобланади. Бу графикда  $\tau_{\max}$  ва  $\sigma_{\text{текн}}$  ўқлар системасида тўғри тўртбурчак қурилади, тўртбурчак эса ушбу материал мустаҳкам ҳолатларини чегаралаб туради (101-расм). Бу графикни куриш тажрибадан аниқланадиган  $\sigma_{\text{из}}$  ва  $\tau_{\text{см}}$  қийматлар ҳар бир материал учун ўзгармас булиб, кучланиш ҳолати турига боғлиқ эмас деган чекланишга асосланади. Бундан ташқари, мазкур графикда материал окувчанлик ҳолатининг бошланишига мос келувчи тўғри чизик ҳам



101-расм.

келтирилади. Бу түғри чизик ҳолати оқувчанлик чегараси  $\tau_{\text{ок}}$  билан белгиланади. У мустақамлик ҳолати соҳасини икки қисмга бўлади, чизиқдан пастда жойлашган қисми эластик деформацияларга, юқори қисми эса пластик деформацияларга тегишли бўлади. 101-б расмда тажриба на-тижалари асосида  $\tau_{\text{max}}$  ва  $\sigma_{\text{max}}$  ўқлар системасида қурилган эгри чизик кўрсатилган. Мазкур эгри чизиқда оқувчанлик чегарасига, яъни пластик деформациялар бошланшигига ва материалнинг емирилишига мос келувчи нуқталар қайд қилинади. Бу характеристикалардан 101-а расмда кўрсатилган графикни қуришда фойдаланилади. Бирор кучланиш ҳолатини текширишда  $\sigma_{\text{max}}$  ўқи бўйлаб энг катта чўзувчи кучланишнинг ҳисобий қиймати қўйилади, бу қиймат эса иккинчи назарияга кўра қўйидаги формуладан аниқланади:

$$\sigma_{\text{max}} = Es_1 = \sigma_1 - \mu(\sigma_2 + \sigma_3) \quad (a)$$

$\tau_{\text{max}}$  ўқи бўйлаб учинчи назарияга мувофиқ

$$\tau_{\text{max}} = \frac{\sigma_1 - \sigma_3}{2} \quad (b)$$

формула асосида аниқланадиган энг катта уринма кучланишнинг ҳисобий қиймати қўйилади. Шундай қилиб, ҳар бир кучланиш ҳолати графикда маълум  $m = \frac{\tau_{\text{max}}}{\sigma_{\text{max}}}$  координаталар нисбатига teng нуқта билан, 1,2 ёки 1 нуқталар билан тасвирланади (101-а расм). Мазкур нисбат  $m$  кучланиш ҳолатининг асосий характеристикаси ҳисобланади,  $m = \text{const}$  бўлганда кучланиш интенсивлигини ўзгартириб, координата ўқлари бошидан чикувчи ҳамда  $\sigma_{\text{max}}$  ўқига  $\alpha$  бурчак остида оғлан (бу бурчакнинг тангенси  $m$  га teng) нур оламиз. Бу нурни ўтказиша у пластик деформациялар соҳасига ўтганда ҳам, яъни материал емириладиган пайтгача тўғрилигича қолади, деган иккинчи чекланишга асосланилади.

### Савол ва топшириқлар

1. Кучланганлик ҳолатларининг турларини айтинг.
2. Чизиқли кучланганлик ҳолатида нормал кучланиш формуласини ёзинг.

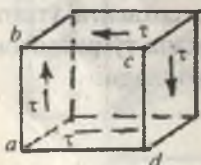
3. Чизиқли күчланғанлық ҳолатида уринма күчланиш формуласини ёзинг.
4. Уринма күчланишларнинг жуфтлик аломати нима?
5. Текис күчланғанлық ҳолатида нормал күчланиш формуласини ёзинг.
6. Текис күчланғанлық ҳолатида уринма күчланиш формуласини ёзинг.
7. Ҳажмий күчланғанлық ҳолатида Гук қонунини ёзинг.
8. Қачон кубикнинг ҳажм үзгариши содир бўлади?
9. Қачон кубикнинг шакл үзгариши содир бўлади?
10. Гук ҳажмий қонунини ёзинг.
11. Биринчи мустаҳкамлик назариясини таърифланг.
12. Иккинчи мустаҳкамлик назариясини таърифланг.
13. Учинчи мустаҳкамлик назариясини таърифланг.
14. Тўргинчи мустаҳкамлик назариясини таърифланг.

## IV БОБ СИЛЖИШ

Амалиётда болтли, парчин михли, пайвандли бирикмалар ва ҳ.к.лар силжиш деформациясига учрайди. Оддий чўзилиш ёки сиқилишда бўлган стерженнинг қия текислигига нормал ва уринма күчланишлар ҳосил бўлиб, бу күчланишлар таъсирида стерженда узайиш ёки силжиш содир бўлишини кўриб чиққан эдик. Силжиш деформациясини ўрганиш учун шундай юзаларни танлаш керакки, бу юзаларда нормал күчланишлар нолга teng бўлиб, фақат уринма күчланишлар таъсири қилсин.

Фақат уринма күчланишлар таъсирида бўлган элементнинг күчланғанлық ҳолатига соф силжиш дейилади.

Соф силжишга ишлаётган кубикнинг қирралари уринма күчланишлар таъсирида шу күчланишлар йўналиши буйича деформацияга учрайди.



102-расм.

#### 4.1. СОФ СИЛЖИШДА КУЧЛАНИШТА ВА ДЕФОРМАЦИЯ

Үзаро перпендикуляр  $ab$  ва  $bc$  қирраларга тенг ва қара-ма-қарши томонларга йұналған уринма күчланишлар таъсиридаги кубикни ўрганайлик (102-расм). Кубикнинг  $abcd$  фасад юзасида нормал ва уринма күчланишлар таъсири қилмасин. Үнда  $abcd$  юза бош юза булиб, бу юзадаги бош нормал күчланиш нолға тенг. Демак, кубикнинг учта үзаро перпендикуляр юзаларидан иккитаси күчланишлар таъсирида, битта фасад юзаси эса ҳар қандай күчланишлар таъсиридан озод экан. Шунинг учун кубикнинг күчләнғанлық қолатиға түғри келади.

Кубикнинг вертикал қиррасига  $\sigma_a = 0$ ;  $\tau_a = \tau$ ; горизонтал қиррасига  $\sigma_b = 0$  ва  $\tau_b = -\tau$  таъсири қилаётган күчланиш ёрдамида Мор доирасидан фойдаланиб  $abcd$  бош юзадан бошқа юзадаги бош күчланишларни топамиз.  $\sigma$ -т координата системасида  $O\bar{D}_1 = \tau_a = \tau$  күчланишини  $\tau$  ўқи бўйлаб юқорига ва  $O\bar{D}_2 = \tau_b = -\tau$  күчланишини  $\tau$  ўқи бўйлаб пастга жойлаштирамиз.

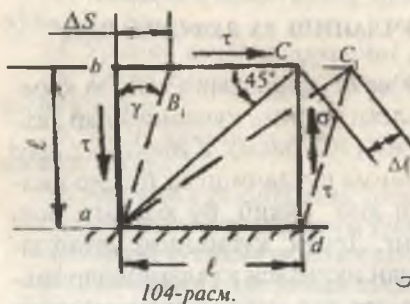
$D_1$  ва  $D_2$  нуқталар координата маркази О нуқтадан бир хил масофада жойлашганлиги учун Мор доирасининг радиуси  $O\bar{D}_a = \tau$  га тенг бўлади. Мор доираси абсцисса ўқини  $OB = \tau$  ва  $OC = -\tau$  масофаларда кесиб ўтади. Шунинг учун  $OB = \tau = \sigma_1$  ва  $OC = -\tau = \sigma_3$ ;  $\sigma_2 = 0$

Бош нормал күчланиш  $\sigma_1$  нинг йұналиши доирада  $C\bar{D}_1$  чизиқ билан кўрсатилган ва  $bc$  юзанинг нормали билан  $45^\circ$  бурчак остида жойлашган (103-расм). Кубикдан ажратилган элемент  $\sigma_1$ , таъсирида  $bd$  диагонал бўйлаб чўзилади;  $\sigma_3$  таъсирида эса  $ac$  диагонал бўйлаб сиқилади. Демак, соф силжиш үзаро тенг чўзувчи ва сиқувчи бош нормал күчланишларга эквивалент экан. Шунинг учун силжиш деформациясида материал чўзилиш ва сиқилишга ҳам учрайди (104-расм).

Силжишда деформацияни ўрганиш учун  $abcd$  қирралы кубикнинг  $ad$  қиррасини таянчга тираб қўямиз (104-расм).



103-расм.



Схемадан:

$$\operatorname{tg} \gamma = \gamma = \frac{\Delta S}{\ell} \quad (4.1)$$

ас диагоналнинг абсолют узайиши:

$$C_1 C_2 = \Delta \ell = \Delta S \cdot \cos 45^\circ$$

Нисбий узайиши:  $\varepsilon = \frac{\Delta \ell}{\ell} \sin 45^\circ$

$$\text{У ҳолда: } \varepsilon = \frac{\Delta S}{a} \cos 45^\circ \cdot \sin 45^\circ \text{ ёки } \varepsilon = \frac{\gamma}{2} \quad (4.2)$$

Диагоналнинг бош нормал кучланишлар  $\sigma_1 = \tau$  ва  $\sigma_3 = -\tau$  таъсиридаги нисбий узайиши қийидагича топилади:

$$\varepsilon = \varepsilon_1 = \frac{\sigma_1}{E} - \mu \frac{\sigma_3}{E} = \frac{\tau}{E} (1 + \mu) \quad (4.3)$$

(4.2) ва (4.3) тенгликларни ўзаро солиштириб:

$$\tau = \frac{E}{2(1 + \mu)} \cdot \gamma$$

формулани ҳосил қиласиз. Бу ерда:

$$G = \frac{E}{2(1 + \mu)} \quad (4.4)$$

силжиш модули деб қабул қилинса, формула

$$\tau = \gamma G \quad (4.5)$$

силжишда Гук қонунини ҳосил қиласи. Шундай қилиб, нисбий узайиш ва уринма кучланиш силжишда ўзаро про-

порционал бөгланишда бўлади. Кундаланг кесим юзаси А бўлган бруслар F силжитувчи куч таъсирида бўлсин (105-расм). Брусларнинг силжиши чизмада кўрсатилган. Агар, брусларни  $m$  — таъсилик билан кесиб, бир бўлагини ташлаб юборсанак, ажратиб қолдирилган қисмининг мувозанати бузилади. Брусларнинг ташлаб юборилган қисмининг ажратиб олинган бўлагига таъсирини  $\tau_{xy}$  куч интенсивлигиги билан белгилаймиз. Бу кучларнинг тент таъсир қилувчисини кундаланг куч  $Q_y$  билан алмаштирасак, брусларни ажратиб олинган бўлагининг мувозанат шарти кўйидагича ёзилади:

$$\sum Y = Q_y - F = 0 \quad \text{ёки} \quad Q_y = \tau_{xy} \cdot A = F$$

$$\tau_{xy} = \frac{F}{A}$$

Бу ердан силжишда уринма кучланиш формуласини ҳосил қиласмиз. Силжишда Гук қонуни элементнинг ўлчамлари билан ифодаланиши мумкин:

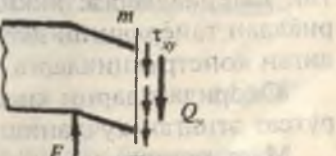
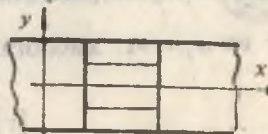
$$\Delta S = \frac{Q\ell}{GA} \quad (4.6)$$

Эластик силжишда кундаланг куч  $Q$  нинг бажарган иши қўйидаги формула билан топилади:

$$A_{int} = \frac{Q \cdot \Delta S}{2} = \frac{Q^2 \ell}{2GA} = \frac{\tau^2 A \ell}{2G} \quad (4.7)$$

Силжитувчи куч статик характеристика бўлса, бажарилган иш миқдор жиҳатдан силжиш деформациясининг потенциал энергиясига тенг бўлади:

$$A_{int} = U = \frac{Q^2 \ell}{2GA} \quad (4.8)$$



105-расм.

## 4.2. СОФ СИЛЖИШДА РУХСАТ ЭТИЛГАН КУЧЛАНИШ

Лаборатория шароитида соф силжишни ҳосил қилиш мураккаб бўлганлиги учун рухсат этилган кучланиши тури мустаҳкамлик назариялари асосида танлаймиз.

Биринчи мустаҳкамлик назарияси бўйича,  $\sigma_1 \leq [\sigma]$ , шартга кура,  $\sigma_1 = \tau$  бўлса, соф силжишда  $[\tau] = [\sigma]$ , ҳосил бўлади.

Иккинчи мустаҳкамлик назарияси:

$$\sigma_1 - \mu(\sigma_2 + \sigma_3) \leq [\sigma]$$

Бу ерда:  $\sigma_1 = \tau$  ва  $\sigma_3 = -\tau$ ;  $\sigma_2 = 0$

$$\text{У ҳолда: } \tau - \mu(-\tau) \leq [\sigma], \text{ ёки } \tau \leq \frac{\sigma}{1 + \mu}$$

$$\text{Бу ерда: } [\tau]'' = \frac{\sigma}{1 + \mu}$$

Учинчи мустаҳкамлик назарияси:  $\sigma_1 - \sigma_3 \leq [\sigma]$ . Агар  $\sigma_1 = \tau$  ва  $\sigma_3 = -\tau$  ҳисобга олинса,  $\tau + \tau \leq [\sigma]$  ёки

$$[\tau]''' = \frac{[\sigma]}{2}$$

Туртинчи назарияга асосан:

$$\sqrt[3]{(\tau - 0)^2 + (0 + \tau)^2 + (\tau + \tau)^2} = 3\sqrt{\tau} \leq [\sigma] \quad \text{ёки}$$

$$[\tau]''' = \frac{[\sigma]}{3}$$

Учинчи ва туртинчи назариялар бўйича ҳисоблаш пластик материалларга: иккинчи назария бўйича мўрт материалдан тайёрланган деталлар учун ва силжишга ишлайдиган конструкцияларга татбиқ этилади.

Юқоридагиларни ҳисобга олиб умумий ҳолда уринма рухсат этилган кучланиш қуйидагича қабул қилинади.

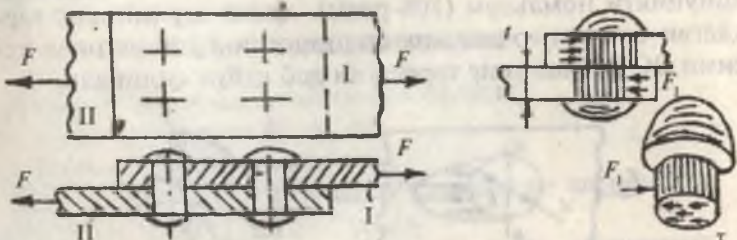
Мўрт материаллар учун:  $[\tau] = (0,8 \dots 1,0)[\sigma]$

Пластик материаллар учун:  $[\tau] = (0,5 \dots 0,6)[\sigma]$

### 4.3. ПАРЧИН МИХЛИ БИРИКМАЛарНИ ҲИСОБЛАГИ

Оддий парчин михли бирикмани ўрганайлик (106-расм).

Хар бир парчин михга ўзаро тенг ва қарама-қарши йўналган кучлар таъсир қиласди:  $F_1 = \frac{F}{n}$  кучлари парчин михни қирқишига ҳаракат қиласди. Қирқувчи куч  $F_1$  қирқиши юзаси  $A_{k1} = \pi d^2 / 4$  га параллел йўналади. Шунинг учун қирқилиш юзасида уринма кучланишлар ҳосил бўлади.  $\tau$  парчин михни қирқилиш юзасида тенг тарқалади.



106-расм.

У ҳолда:  $\tau = \frac{F_1}{\pi \cdot d^3} = \frac{4F}{n \cdot \pi \cdot d^3}$  қирқилишдаги уринма куч-  
ланиш формуласи ҳосил бўлади.

Парчин михни қирқилишга мустаҳкамлик шарти:

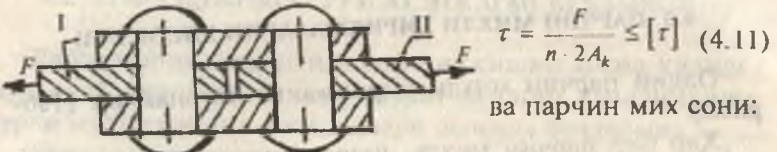
$$\tau = \frac{F}{nA_k} = \frac{4F}{n \cdot \pi \cdot d^3} \leq [\tau] \quad (4.9)$$

Парчин михни диаметри берилган бўлса, бирикмада-  
ги парчин михлар сони топилиши мумкин:

$$n \geq \frac{4F}{\pi \cdot d^3 [\tau]} \quad (4.10)$$

Агар I ва II элеменлар устқуйма орқали бириктирилса, бундай бирикма учма-уч бирикма дейилади.

Бу ҳолатда парчин мих икки қирқимли бўлади. Икки қирқимли парчин мих учун мустаҳкамлик шарти:



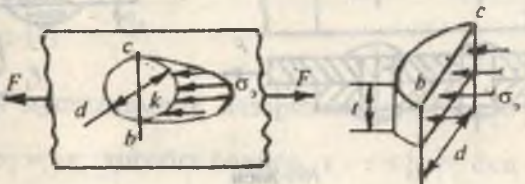
107-расм.

$$\tau = \frac{F}{n \cdot 2A_k} \leq [\tau] \quad (4.11)$$

ва парчин мих сони:

$$n \geq \frac{F}{2A_k \cdot [\tau]} \quad (4.12)$$

Уланувчи I ва II элементларни парчин михга босими таъсирида парчин мих ўрнининг деворида ярим цилиндрик юза бўйлаб эзилиш бўлади. Элементларнинг парчин михга ярим цилиндрик юза бўйлаб босимининг тарқалиш қонунияти номаълум (108-расм), лекин шу нотекис тарқалган босим парчин мих стерженининг диаметриал кесими BC бўйлаб тенг тарқалган деб қабул қилинади.



108-расм.

ВС диаметриал кесимда ҳосил бўлган эзилишдаги нормал кучланиш тахминан К нуқтадаги кучланишга тенг ва қуйидагича топилади:  $\sigma_s = \frac{F}{ntd}$  ва мустаҳкамлик шарти:

$$\sigma_s = \frac{F}{ntd} \leq [\sigma], \quad (4.13)$$

$[\sigma]_s = [2 \dots 2,5] \cdot [\sigma]$  – эзилишга рухсат этилган кучланиш.

(4.13) шартидан парчин михлар сони топилиши мумкин:

$$n \geq \frac{F}{dt [\sigma]}, \quad (4.14)$$

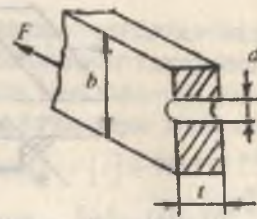
Уланувчи элементларда парчин мих ўрнининг (тешик) тайёрланиши уларнинг кўндаланг кесимини заифлашти-

ради. Натижада элементларни чўзи-  
лиш ва сиқилишга мустаҳкамлиги  
пасаяди.

Элементни заифлашмаган кеси-  
мининг эни  $b$  бўлса, чўзилиш ёки  
сиқилишга мустаҳкамлик шарти  
куйидагича ёзилади:

$$\sigma = \frac{F}{t(b - md)} \leq [\sigma] \quad (4.15)$$

$t$  — заифлашган кўндаланг кесимдаги парчин мих ўрни  
сони.



109-расм.

#### 4.4. ПАЙВАНД БИРИКМАЛАР

Пайванд бирикмалар икки хил булади:

1. Учма-ӯч пайванд бирикма.
2. Устма-уст пайванд бирикма.

Учма-ӯч пайванд бирикмалар уланадиган элементлар қалинлигига қараб ҳар хил бўлади.

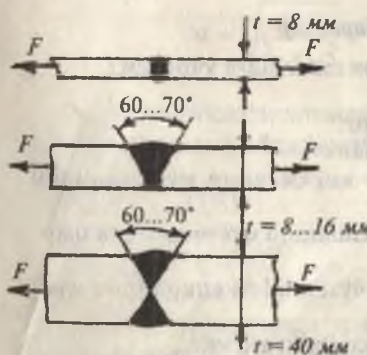
Учма-ӯч пайванд бирикма чўзилиш ёки сиқилишга ишлайди. Чокнинг мустаҳкамлиги кўйидагича ҳисобланади:

$$\sigma = \frac{F}{t \cdot \ell} \leq [\sigma]_{rc} \quad (4.16)$$

Бу ерда:

$[\sigma]_{rc} = (0,6...0,8)(\sigma)$  — чок ма-  
териали учун чўзилишга рух-  
сат этилган кучланиш;

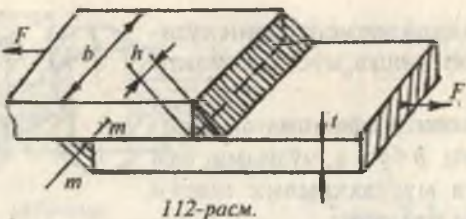
$[\sigma]_s = (0,75...0,9)(\sigma)$  — чок  
материали учун сиқилишга  
рухсат этилган кучланиш.  $\ell$  —  
чокнинг узунлиги.



110-расм.



111-расм



112-расм.

Устма-уст пайвандлашда чок валик шаклида бўлади (112-расм).

Валикли чок  $m - m$  кесим бўйича емирилиши мумкин, чунки бу текисликда уринма кучланиш энг катта қийматга эришади. Устма-уст пайвандлашда ташқи куч —  $F$  пастки ва юқори чокларга таъсир қилади.

$$\text{У ҳолда уринма кучланиш қўйидаги топилади: } \tau = \frac{F}{2A_n}$$

Бу ерда:  $A_n = h\ell = 0,7l \cdot \ell$  — чокнинг юзаси. Устма-уст пайвандлашда мустаҳкамлик шарти:

$$\tau = \frac{F}{1,4t \cdot \epsilon} \leq [\tau] \quad (4.17)$$

(4.17) формуладан пайвандланадиган деталнинг қалинлиги ( $t$ ) ёки пайванд бирикманинг узунлиги — ( $\ell$ ) аниқланиши мумкин.

$$t = \frac{F}{1,4\ell[\tau]}$$

### Савол ва топшириқлар

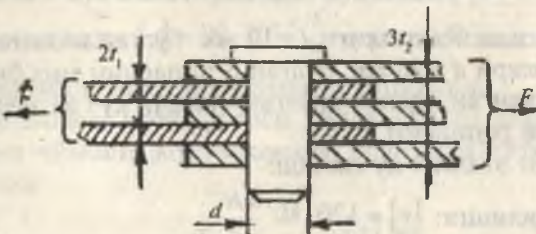
1. Қандай конструкция қисмлари силжишга учрайди?
2. Соф силжиш нима?
3. Силжишда Гук қонунини ёзинг.
4. Силжиш модули қандай каттали?
5. Парчин михли бирикманинг қирқилишга мустаҳкамлик шартини ёзинг.
6. Парчин михли бирикманинг эзилишга мустаҳкамлик шартини ёзинг.
7. Парчин михли бирикманинг чузилиш ва сиқилишга мустаҳкамлик шартини ёзинг.
8. Пайванд бирикмаларнинг турларини айтинг.
9. Устма-уст пайвандлашда чокни мустаҳкамлик шартини ёзинг.

**1-масала.** Болтли бирикмадаги пұлатдан тайёрланған валик орқали 480 кН күч узатилади. Валикнинг қирқилишга ва эзилишга мустақамлик шартидан фойдаланиб, унинг диаметрини ва уланувчи элементлари үлчамлари топилсин.

Рухсат этилган күчланиш: қирқилишга —  $[\tau] = 95 \cdot 10^3 \frac{\text{кН}}{\text{м}^2}$ ; эзилишга —  $[\sigma] = 95 \cdot 10^3 \frac{\text{кН}}{\text{м}^2}$  ва чўзилишга —  $[\sigma] = 160 \cdot 10^3 \frac{\text{кН}}{\text{м}^2}$

Ечиш. Болтли бирикмани мустақамлик шаргидан фойдаланиб валикнинг диаметрини топамиш:

$$t = \frac{F}{4A} \leq [\tau]$$



113-расм.

Бу ерда:  $A = \frac{\pi \cdot d^2}{4}$  — валикнинг битта қирқилиш юзаси, 4 — қирқилиш юзалари сони.

У ҳолда валикнинг диаметри:

$$d = \sqrt{\frac{4 \cdot F}{4 \cdot \pi [\tau]}} = \sqrt{\frac{480}{3,14 \cdot 95 \cdot 10^3}} = 40 \text{ mm}$$

$t_1$  қалинликдаги элементларнинг эзилишга мустақамлик шартидан фойдаланиб  $t_1$  қалинликни топамиш:

$$\sigma_s = \frac{F}{nd} \leq [\sigma],$$

Бу ерда:  $t_1 = \frac{F}{2d[\sigma]_s} = \frac{480}{2 \cdot 0,04 \cdot 250 \cdot 10^3} = 0,024 \text{ м}$ . Иккита бир хил  $t_1$  қалинликдаги ва эни бир хил бўлган элементларни чўзилишга мустақамлик шартидан фойдаланиб  $b$  ни топамиш:

$$\sigma = \frac{F}{2t_1(s - md)} \leq [\sigma], \text{ бу ерда: } m = 1$$

$$\text{У ҳолда: } b = \frac{F}{2t_1[\sigma]} + d = \frac{240}{160 \cdot 10^3 \cdot 0,024} + 0,04 = 0,1025 \text{ м}$$

Бирикмадаги қолган 3 та элементнинг қалинлиги —  $t_2$  ни топамиз:

$$\sigma = \frac{F}{3t_2(s - md)} \leq [\sigma]$$

Бу ерда:

$$t_2 = \frac{F}{3(b - d)[\sigma]} = \frac{480}{3(0,1025 - 0,04) \cdot 160 \cdot 10^3} = 0,016 \text{ м}$$

**2-масала.** Қалинлиги  $t = 10 \text{ мм}$  бўлган иккита элемент диаметрлари  $d = 20 \text{ мм}$  бўлган 6 та парчин мих билан устма-уст уланган. Рухсат этилган чўзувчи куч ва элементларнинг эни топилсан.

Рухсат этилган кучтаниш:

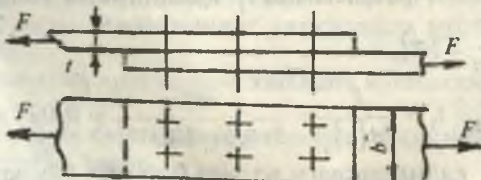
$$\text{қирқилишга: } [\tau] = 120 \cdot 10^3 \frac{\text{kH}}{\text{м}};$$

$$\text{эзилишга: } [\sigma] = 320 \cdot 10^3 \frac{\text{kH}}{\text{м}} \text{ ва}$$

$$\text{чўзилишга: } [\sigma] = 160 \cdot 10^3 \frac{\text{kH}}{\text{м}}$$

**Ечиш.** Қирқилишга мустаҳкамлик шартидан рухсат этилган куч:

$$[F] = \frac{n\pi \cdot d^2 [\tau]}{4} = \frac{6 \cdot 3,14 \cdot 4 \cdot 10^{-4} \cdot 120 \cdot 10^3}{4} = 226 \text{ kH}$$



114-расм.

Эзилишга мустақамлик шартидан рухсат этилган күч:  $[F] = n t d [\sigma] = 6 \cdot 0,01 \cdot 0,02 \cdot 320 \cdot 10^3 = 384 \text{ kN}$ . Рухсат этилган күчлардан бириңисини қабул қиласыз, чунки парчин михли бирикмани иккала мустақамлик шарти ҳам бажарилади. Уланувчи элементтарнинг энини топамиз.

$$b = \frac{F}{[\sigma] \cdot t} + m d = \frac{226}{160 \cdot 10^3 \cdot 0,01} + 2 \cdot 0,02 = 0,18 \text{ m}$$

**3-масала.** Кесимнинг ўлчамлари  $10 \times 80$  ва  $10 \times 100$  мм бўлган иккита листлар устма-уст пайвандланган. Пайванд бирикма  $F$  күч билан чўзилади. Чўзилишга  $[\sigma] = 160 \cdot 10^3 \frac{\text{kN}}{\text{м}^2}$  ва қирқилишга  $[\tau] = 90 \cdot 10^3 \frac{\text{kN}}{\text{м}^2}$  рухсат этилган кучланишлар ёрдамида чокнинг узунлиги топилсин.

Кўндаланг кесим юзаси кичик бўлган уланувчи элементни чўзишга мустақамлик шартидан чўзувчи кучни топамиз:

$$\sigma_{\max} = \frac{F}{b \cdot t} \leq [\sigma] \text{ ва}$$

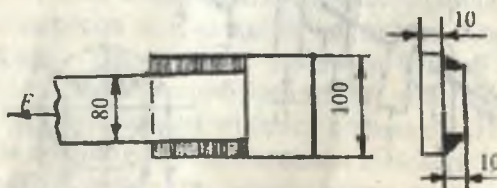
$$F = b \cdot t [\sigma] = 0,08 \cdot 0,01 \cdot 160 \cdot 10^3 = 128 \text{ kN}$$

Пайванд бирикманинг қирқилишга мустақамлик шартидан чокнинг узунлигини топамиз:

$$\ell_p = \frac{F}{1,4t[\tau]} = \frac{128}{1,4 \cdot 0,01 \cdot 90 \cdot 10^3} = 0,102 \text{ m}$$

Чокнинг тўлиқ узунлиги:

$$\ell = \ell_p + 5 \cdot 10^{-3} \cdot 2 = 0,112 \text{ m}$$



115-расм.

## В БОБ БУРАЛИШ

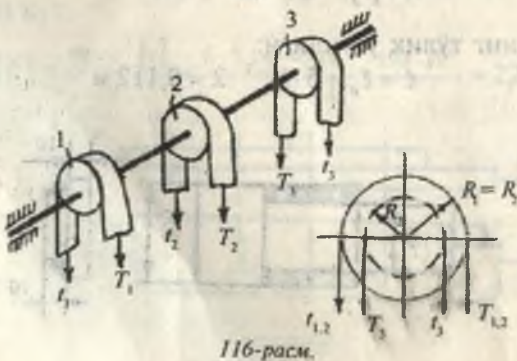
Стерженнинг бўйлама ўқига перпендикуляр текислиқда жуфт куч моменти таъсир қилса, буралиш деформацияси ҳосил бўлади.

Буралиш деформацияси турли вал ва ўқларнинг, фазовий конструкцияларнинг, элементларнинг ишлаш жараёнида учрайди. Буралиш, асосан, буровчи момент таъсирида келиб чиқади.

Буралиш деформациясининг тавсифи кўп жиҳатдан бураладиган конструкция кесим юзасининг шаклига боғлиқ. Техникада кўпинча кесим юзаси доиравий ёки ҳалқасимон бўлган элементлар учрайди.

### 5.1. БУРОВЧИ МОМЕНТ ҲАҚИДА ТУШУНЧА

Ременлар ўрнатилган шкивлар билан юклangan доиравий кесимли стерженнинг мувозанат ҳолатини текширамиз (116-расм). Шкивлар билан стерженнинг айланиши натижасида ременларда тортишиш кучлари ( $t_1$  ва  $T_1$ ;  $t_2$  ва  $T_2$ ;  $t_3$  ва  $T_3$ ) ҳосил бўлади. Етакловчи ременнинг тортишиш кучи  $T$  етакланувчи ременни тортишиш кучидан  $t$  икки баробар катта бўлади, яъни  $T=2t$ . Тортишиш кучларининг стержень кесимининг марказига нисбатан моментлари:  $M_1 = T_1 R_1 - t_1 R_1 = t_1 R_1$ ,  $M_2 = t_2 R_2$  ва  $M_3 = t_3 R_3$ , билан ифодаланган схема 117-расмда кўрсатилган.



$R_1$ ;  $R_2$  ва  $R_3$  — тегишли 1, 2 ва 3 шкивларнинг радиуслари.

$M_1$ ;  $M_2$  ва  $M_3$  — стерженга қўйилган ташқи моментлар.

Ихтиёрий кесимдаги буровчи моментни топиш учун стерженни шу кесимдан икки бўлакка қирқамиз ва ҳар бир бўлакка  $M_x = M_\delta$  буровчи моментларини қўямиз. Масалан, 117-расмда курсатилган ҳол учун (II—II кесим) чап қисмнинг мувозанат тенгламасидан қўйидаги ифодани топамиз:

$$\sum M_x = M_1 - M_\delta'' = 0 \quad \text{ёки } M_\delta'' = M_1$$

III—III кесимдаги буровчи моментни топамиз:

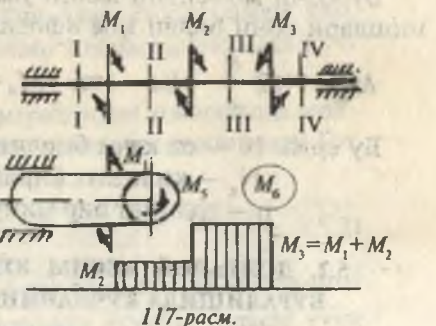
$$\sum M_x = M_1 + M_2 - M_\delta''' = 0 \quad \text{ёки } M_\delta''' = M_1 + M_2$$

IV—IV кесимдаги буровчи момент:

$$\sum M_x = M_1 + M_2 - M_3 - M_\delta^{IV} = 0$$

$$\text{ёки } M_\delta^{IV} = M_1 + M_2 - M_3$$

Демак, стержень кесим юзасида ҳосил бўладиган буровчи момент  $M_\delta$  кесилган кесим юзасига нисбатан бир томонда жойлашган ташқи моментларнинг алгебраик йиғиндишига тенг экан. Стерженнинг ажратиб олинган бўлагидаги ташқи момент, кесилган кесим юзасининг марказига нисбатан соат стрелкаси йўналиши бўйича ҳаракат қилса,  $M_\delta$  ишораси мусбат қабул қилинади. Юқоридаги ҳисобларга кўра стерженнинг узунлиги бўйлаб буровчи моментнинг қиймати ўзгариб боради.  $M_\delta$  нинг бу ўзгариш графикаси буровчи момент эпюраси дейилади. (117-расм). Буровчи моментнинг мусбат ишорали қиймати 0 — 0 чизиқнинг юқори томонига, манфийлари паст томонига қўйилади.



117-расм.

Буровчи моментни вални узатаётган қуввати ва айланышлари сони билан ҳам ифодалаш мүмкін:

$$M_s = 7162 \frac{N}{n} \text{ Нм} \quad \text{ёки} \quad M_s = 9736 \frac{N_k}{n} \text{ Нм} \quad (5.1)$$

Бу ерда:  $N$  — от күчи бирлигидаги қувват;

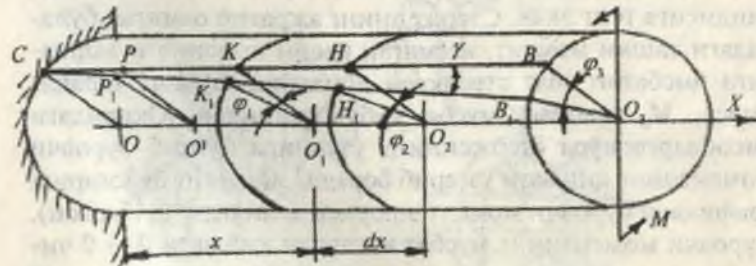
$N_k$  — киловатт бирлигидаги қувват;

$n$  — валнинг бир минутдаги айланышлари сони.

## 5.2. ДОИРАВИЙ КЕСИМ ЮЗАЛИ БРУСЛАРНИНГ БУРАЛИШИДА КУЧЛАНИШ ВА ДЕФОРМАЦИЯ

Бир учи қистириб маҳкамланган, эркін учига  $M$  - жуфтукчүч моменти қўйилган бруснинг буралишини кўриб чиқамиз. Буровчи момент таъсирида бруснинг сиртига ўтказилган СВ тўғри чизик, бруснинг бурилишида СВ, ҳолатини эгаллайди. СВ тўғри чизикдаги  $K$ ;  $H$  ва  $B$  нуқталар  $K_1$ ,  $H_1$  ва  $B_1$  ҳолатларга ўтади. Натижада бруснинг қистириб қўйилган кесимидан  $X$  масофадаги кесими  $\varphi_1$  бурчакка, кейинги кесими  $\varphi_2 = \varphi_1 + d\varphi$  бурчакка ва жуфтукчүч моменти қўйилган кесим  $\varphi_3 = \varphi_2 + d\varphi$  бурчакка буралади (118-расм).

Тажрибалар шуни кўрсатадики, брус буралганидан кейин кўндаланг кесим юзалари текислигича қолади, улар орасидаги масофа деярли ўзгармайди; исталган кесим юзасида ўтказилган радиус эгриланмайди. Бундай буралиш брус кўндаланг кесим юзаларининг бир-бирига нисбатан силжишлари натижаси деб қаралади. Бунинг натижасида брус кўндаланг кесим юзаларида фақат уринма



118-расм.

кучланиш пайдо (119-расм) бўлади. Бруснинг буралишида бўйлама толалар чўзилмайди ҳам, сиқилмайди ҳам. Шунинг учун бруснинг кўндаланг кесимида нормал кучланишлар пайдо бўлмайди.

Брус ихтиёрий кесимнинг марказидан  $\rho$  масофада жойлашган нуқталарнинг уринма кучланиши силжишдаги Гук қонунига асосан топилади (119-расм):

$$\tau_{\rho} = \gamma G \quad (5.2)$$

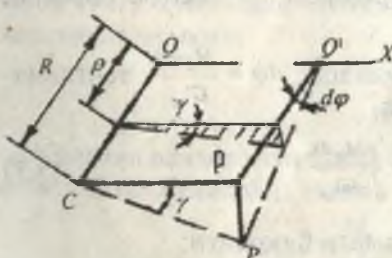
Бу ерда:  $\gamma = \frac{\rho \cdot d\phi}{dx}$  (119-расм) брус кесим юзасининг марказидан ихтиёрий ( $\rho$ ) масофада ётувчи толаси учун силжиш бурчаги булиб, брус сиртида ётувчи толанинг силжиш бурчаги  $\gamma = \frac{P_1}{PO} = \frac{Rd\phi}{dx}$  асосида топилади. Унда кесим юзасининг иккита нуқтаси учун:

$$\tau_{\rho} = G \rho \frac{d\phi}{dx} \quad (5.3)$$

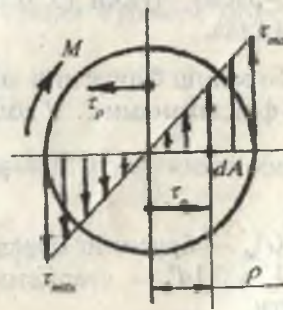
ва  $\tau_{max} = GR \frac{d\phi}{dx}$  уринма кучланиш формулалари ҳосил бўлади.

Демак, кесим юзасининг нуқталаридаги кучланишлар шу нуқталардан брус ўқигача бўлган масофага пропорционал ўзгарап экан. Ҳосил бўлган формуладан  $G \frac{d\phi}{dx} = const$  бўлса, кучланиш фақат  $\rho$  масофага боғлиқ бўлади.

Агар:  $\rho = 0$  бўлса,  $\tau_{\rho} = 0$  ва  $\rho = \rho_{max}$  бўлса,  $\tau = \tau_{max}$  бўлади.



119-расм.



120-расм.

Бу уринма кучланишларнинг бруслар ўқига нисбатан моменти миқдор жиҳатдан ( $M_\delta$ ) буровчи моментига тенгдир:

$$M_\delta = \int_A \tau_\rho dA \rho \quad (5.4)$$

(5.3) формуладаги  $\tau_\rho$  нинг қийматини (5.4) формулаага келтириб қўйсак:  $M_\delta = \int_A G\rho \frac{d\varphi}{dx} dA \cdot \rho = G \frac{d\varphi}{dx} \int_A \rho^2 dA$  ҳосил бўлади.

$I_\rho = \int \rho^2 dA$  — бруслар кесимининг кутб инерция моментини ҳисобга олсак:  $\frac{d\varphi}{dx} = \frac{M_\delta}{GI_\rho}$  келиб чиқади ва бу ифодани (5.3) формулаага қўйиб, буралишдаги уринма кучланишни топамиз:

$$\tau_\rho = \frac{M_\delta \rho}{I_\rho} \quad (5.5)$$

Бу ерда: агар  $\rho = 0$  бўлса,  $\tau = 0$  ва  $\rho = R$  бўлса,

$$\tau = \tau_{\max} = \frac{M_\delta \cdot R}{I_\rho} = \frac{M_\delta}{W_\rho} \quad (5.6)$$

Бу ерда  $W_\rho = \frac{\pi \cdot d^3}{16}$  — стержень кесимининг кутб қаршилик моменти уринма кучланиш стержень кесимининг диаметри бўйлаб тўғри чизиқли қонуният билан ўзгарилиши (120-расм), чунки (5.5) формулада  $\rho$  масофа биринчи даражада.

Буралиш бурчагини аниқлашда:  $d\varphi = \frac{M_\delta dx}{GI_\rho}$  тенгламадан фойдаланамиз. У ҳолда:

$$\varphi = \int_0^l \frac{M_\delta dx}{GI_\rho} \quad (5.7)$$

$GI_\rho$  — брусларнинг буралишдаги бикрлиги;

$I_\rho \approx 0,1d^4$  — стержень кесимининг кутб инерция моменти.

Формулани  $dx$  бўйича интеграллаб стерженнинг тўлиқ буралиш бурчагини топамиз:

$$\varphi = \frac{M_\delta \cdot \ell}{G I_p} \quad (5.8)$$

### 5.3. БУРАЛИЩДА МУСТАҲКАМЛИК ВА БИКРЛИК ШАРТЛАРИ

Юқоридаги формулалардан маълумки, стержень кесимининг марказидан энг узоқда жойлашган нуқталарида уринма кучланиш энг катта қийматга эришар экан, яъни:

$$\tau_{\max} = \frac{M_\delta}{W_\rho}$$

Агар,  $\tau_{\max}$  стерженниң материали учун рухсат этилган кучланишдан катта бўлмаса, стерженниң буралишдаги мустаҳкамлиги таъминланган бўлади:

$$\tau_{\max} = \frac{M_\delta}{W_\rho} \leq [\tau] \quad (5.9)$$

Бу ерда:  $[\tau] = (0,5...0,6)[\sigma]$ . (5.9) формула буралишдаги мустаҳкамлик шарти.

Агар стерженга таъсир қилувчи буровчи момент ва стерженниң материали маълум бўлса, унинг диаметрини (5.9) формула ёрдамида танлаш мумкин:

$$d \geq \sqrt[3]{\frac{16 M_\delta}{\pi [\tau]}} \quad (5.10)$$

Агар стерженниң диаметри ва материали берилган бўлса, унга қўйилиши мумкин бўлган буровчи момент топилиши мумкин:

$$M_\delta = \frac{\pi d^3}{16} [\tau]$$

Кўпгина валлар учун тўлиқ буралиш бурчагининг қиймати чеклаб қўйилади, яъни:

$$\varphi_{\max} = \frac{M_\delta \cdot \ell}{G I_p} \leq [\varphi] \quad (5.11)$$

Бу ерда:  $[\varphi] = 0,15 \dots 0,3^\circ$  буралиш бурчагининг рухсат этилган қиймати. (5.11) формула буралишдаги бикрлик шарти дейилади.

$I_\varphi = \frac{\pi d^4}{32} \approx 0,1d^4$  кутб инерция моментини ҳисобга олиб, бикрлик шартидан стерженниң диаметрини топишимиз мумкин:

$$d \geq \sqrt[4]{\frac{32M_s \ell}{\pi \cdot G [\varphi]}} \quad (5.12)$$

Агар валнинг диаметри  $d$  ва унинг бир минутдаги айланишлари сони ( $n$ ), вал материалининг рухсат этилган кучланиши ( $\tau$ ) берилган бўлса, узатилаётган қувват —  $N$  топилиши мумкин:

$$N = \frac{\pi \cdot n \cdot d^3 [\tau]}{155776} \text{ кВт} \quad \text{ва} \quad N = \frac{\pi \cdot n \cdot d^3 [\tau]}{114592} \text{ от кучи.}$$

#### 5.4. БУРАЛИЩДА СТАТИК АНИҚМАС МАСАЛА

Икки учи бикр маҳкамланган таянчга таянган доираий кесимли стерженниң буровчи моментини аниқлайлик (121-расм).

Берилган масалани ечиш учун стерженниң мувозанат тенгламасини тузамиз:  $\sum M_x = -M_s + M - M_c = 0$

Бу ерда  $M_s$  ва  $M_c$  таянч моментлари.

Берилган стерженниң битта мувозанат тенгламаси булиб, унда иккита номаълум моментлар қатнашялти. Демак, масала статик ноаниқ булиб, бундай масалалар қўшимча деформациялар тенгламалари ёрдамида ечилади. Қўшимча деформация тенгламасини тузиш учун асосий системани танлаймиз. Асосий системани тузишда битта таянч таъсирини шу таянчда ҳосил бўлган номаълум реактив момент билан алмаштирамиз. Берилган система-дагидек асосий системада ҳам ташлаб юборилган таянч кесимнинг буралиш бурчаги нолга teng бўлиши керак, яъни  $\varphi_c = 0$ , чунки ҳақиқий берилган системада бу кесим бикр (қўзғалмас) маҳкамланган. Кучларнинг таъсир

қилишида халал бермаслик тамойилига асосан  $\varphi_c = \varphi_{cm} - \varphi_{csc} = 0$  тенгламани ҳосил қиласиз:

Бу ерда:  $\varphi_{cm}$  — ташқи момент таъсирида С кесимнинг буралиш бурчаги;

$\varphi_{csc}$  — реактив момент  $M_c$  таъсирида С кесимнинг буралиш бурчаги.

(5.8) формулага асосан

$$\varphi_{cm} = \frac{M \cdot b}{G \cdot I_p}$$

ва  $\varphi_{csc} = \frac{M_c(a + b)}{G I_p}$  ни ҳисобга олсак, деформация тенгламасини қўйидагича ёзиш мумкин:

$$\frac{M \cdot b}{G I_p} - \frac{M_c(a + b)}{G I_p} = 0 \text{ ёки } M_c = M \frac{b}{a + b}$$

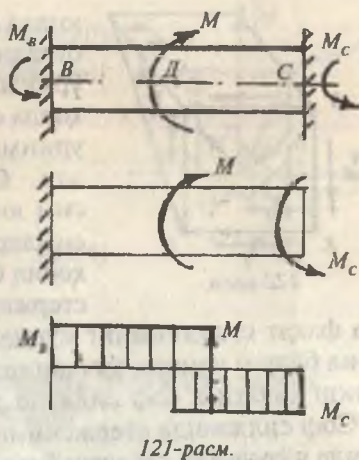
Энди мувозанат тенгламасидан  $M_B$  моментни топамиз:

$$M_B = M - M_c = M - M \frac{b}{a + b} = M \frac{a}{a + b}$$

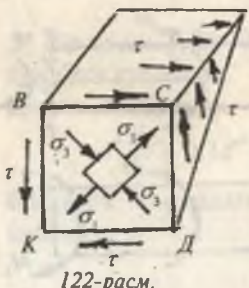
$M_B$  ва  $M_c$  топилгандан кейин буровчи момент эпюрасини қуриш мумкин.

## 5.5. БУРАЛИШДА КУЧЛАНИШ ҲОЛАТИНИНГ ТАҲЛИЛИ

Буралишда доиравий кесимли стерженнинг кўндаланг кесимида уринма кучланишлар ҳосил бўлади. Бу кучланишлар стержень кесим юзасининг марказида нолга тенг ва стерженнинг сиртида энг катта қийматга эга. Уринма кучланиш стержень материалининг ҳар бир нуқтасида шу нуқтадан ўтган радиусга перпендикуляр йўналади. Уринма кучланишларнинг жуфтлиқ аломатига кўра стерженнинг кўндаланг кесимига перпендикуляр бўлган бўйлама



121-расм.



юзада ҳам уринма күчланиш ҳосил бўлади. Кесимнинг радиуси бўйлаб уринма күчланиш бўлмайди. Акс ҳолда стерженнинг ён сиртида ҳам уринма күчланишлар ҳосил бўлар эди. Стерженнинг кўндаланг кесим юзаларида ҳам, бўйлама кесимларида ҳам нормал күчланиш ҳосил бўлмайди. Шундай қилиб, стержендан ажратилган элементар

юза фақат стерженнинг кўндаланг ва бўйлама юзаларида ҳосил бўлган уринма күчланишлар таъсирида. Бундай күчланиш ҳолатига соф силжиш дейилади (122-расм).

Соф силжишда стерженнинг бўйлама ўқига  $45^\circ$  бурчак остида чўзувчи ва сикувчи бош нормал күчланишлар ҳосил бўлади.

Стерженнинг барча нуқталарида бош күчланишларнинг экстремал қийматлари уринма күчланишларга teng бўлади, яъни:

$$\sigma_{\max} = -\sigma_{\min} = \tau_{\max} = -\tau_{\min} = \frac{M_e}{W_p} \quad (5.13)$$

Мўрт материаллар буралишда  $\sigma_1$  йўналишида смирилади. Умуман, стерженнинг марказига яқин жойлашган материали буралишда деярли қатнашмайди, чунки бу юзада жуда т кичик қийматга эга. Демак, бу юзадаги материалини ортиқча сарфланган деб қараш мумкин экан. Шунинг учун бу юзадаги материал олинса, стерженнинг кесим юзаси ҳалқасимон кесимга айланади. Агар, стерженнинг марказий кесимидағи материалини олиб, унинг оғирлигини 16% камайтирсак, ҳосил бўлган ҳалқасимон кесимнинг сиртидаги энг катта күчланиш 2,6 % ошар экан. Радиуси  $R = 350$  мм бўлган ҳалқасимон вал радиуси  $R = 300$  мм бўлган валдан 53,4 % га енгилдир.

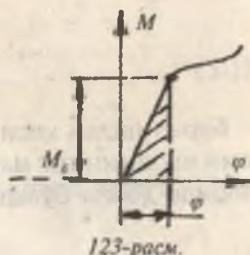
## 5.6. БУРАЛИШДА ПОТЕНЦИАЛ ЭНЕРГИЯ

Стерженнинг буралиши унинг материали эластиклик чегарасидан ошиб кетмайди, деб қаралади.

Унда буровчи моментнинг бажарған иши буралиш диаграммасининг юзига тенг бўлади:

$$A_{\text{им}} = U = \frac{M_{\delta} \cdot \varphi}{2} \text{ ёки}$$

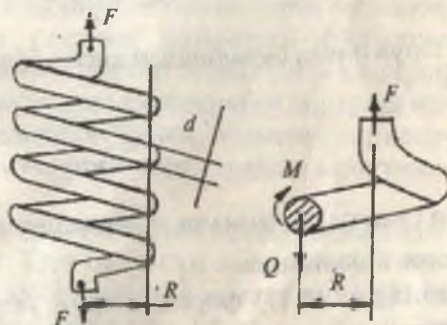
$$U = \frac{M_{\delta}^2 t}{2G I_p} \quad (5.14)$$



### 5.7. ВИНТСИМОН ЦИЛИНДРИК ПРУЖИНАЛАРНИ ҲИСОБЛАШ

Вагонларнинг рессорлари ўрнида, ички ёнувдвигатели ва ҳ.к. мөханизмларда винтсимон пружиналар ишлатилиади. Бу пружиналар чўзувчи ёки сиқувчи кучлар таъсирида бўлади. Пружинанинг деформацияси ташки кучни юмшатади ёки мувозанатлади. Пружинадаги ички кучларни аниқлаш учун уни кесиш усулидан фойдаланиб икки қисмга ажратамиз (124-расм). Пастки қисмини ташлаб юборамиз ва унинг юқори қисмга таъсирини (кўндаланг куч) кесувчи куч  $Q$  ва буровчи момент  $M_{\delta}$  билан алмаштирамиз. Пружинанинг ажратиб олинган қисми мувозанат шартига кўра  $Q = F$  ва  $M_{\delta} = F \cdot R$  ҳосил бўлади. Пружина ўрамининг қирқилишдан қирқилишдаги уринма кучланиш  $\tau_1$  ва буровчи момент таъсиридаги  $\tau_2$  уринма кучланиши ҳосил бўлади.

Қирқилишдан ҳосил бўлган уринма кучланиш пружина ўрамининг кесим юзасида текис таксимланган деб қабул қиласиз:

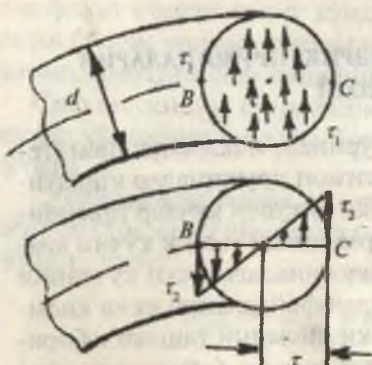


124-расм.

$$\tau_1 = \frac{F}{A} = \frac{F}{\pi r^2} \quad (5.15)$$

Буралишдан ҳосил бўлган уринма кучланиш пружина ўрами кесимининг марказидан энг узоқда жойлашган нуқталарида ҳосил бўлади:

$$\tau_2 = \frac{M_\delta}{W_p} = \frac{2FR}{\pi r^3} \quad (5.16)$$



125-расм.

Пружинанинг λ миқдорга кучишида  $F$  кучнинг бажарган ишини ёзамиш:

$$A_{uu} = \frac{1}{2} F \lambda$$

Пружинада буралишдан ҳосил бўлган потенциал энергия:

$$U = \frac{M_\delta^2 \ell}{2G I_p} \quad (5.17)$$

п ўрамли пружинани тайёrlашда  $\ell = 2\pi R n$  узунликдаги сим ишлатилади.

(5.16) ва (5.17) формуаларни ўзаро тенглаб,  $I_p = \frac{\pi r^4}{2}$  пружина ўрами кесимининг қутб инерция моментини хисобга олсак:

$$\lambda = \frac{4FR^3n}{Gr^4} \quad (5.18)$$

ҳосил бўлади.

$$\lambda = \frac{4FR^3n}{Gr^4} \leq [\lambda] \text{ — пружинанинг бикрлик шарти.}$$

## 5.8. КЕСИМИ ДОИРАВИЙ БЎЛМАГАН СТЕРЖЕНЛАРНИНГ БУРАЛИШИ

Муҳандислик амалиётида кесими доиравий бўлмаган кесимлар, юпқа деворли ва прокатли элементлар ҳам буралишига учраши кўрилган. Бундай элементларнинг буралишида кўндаланг кесимнинг нукталари кесим юзасини текислигидан чиқиб кетади, натижада кесим юзаси ва бутун элементнинг шакли ўзгаради.

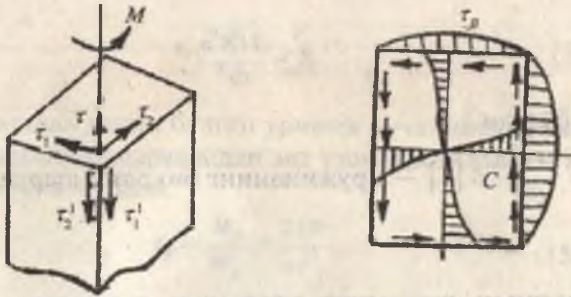


126-расм.

Бу ҳолга депланация дейилади. Лекин буралаётган элемент толаларининг узунлиги ўзгармайди. Демак, кўндаланг кесимда нормал кучланиш ҳосил бўлмайди. Бундай буралишга соғ ёки эркин буралиш дейилади. Агар буралиш элементи толаларининг узунлиги ўзгариши билан содир бўлса, мажбурий буралиш, дейилади.

Юқорида айтилган барча мулоҳазалар кесими доиравий бўлмаган элементларнинг буралишида уларнинг кўндаланг кесими ҳосил бўлган кучланишни аниқлаш мурракаб эканлигини билдиради. Чунки, элементнинг кесими эгриланиши билан кучланишнинг тарқалиш қонунияти ҳам ўзгаради.

Бурчаксимон кесимларнинг бурчакларида уринма кучланиш нолга айланади. Тўрт бурчакли элементнинг сиртида  $\tau_1'$  ва  $\tau_2'$  уринма кучланишлари нолга teng. Уринма кучланишларни жуфтлик аломатига кўра:  $\tau_1 = \tau_1' = 0$  ва  $\tau_2 = \tau_2' = 0$



127-расм.

Демак,  $\tau = 0$ , яъни ташқи бурчак яқинида уринма кучланиш нолга тенг. Энг катта уринма кучланиш кесимнинг С нуқтасида ҳосил бўлади:

$$\tau_c = \tau_{\max} = \frac{M_\delta}{\alpha a^2} \quad (5.19)$$

В нуқтадаги уринма кучланиш:  $\tau_0 = \eta \tau_{\max}$

Кесими доиравий бўлмаган элементларнинг буралиш бурчаги:

$$\varphi = \frac{M c}{G \beta a^3 a} \quad (5.20)$$

Бу ерда:  $\alpha, \eta$  ва  $\beta$  — элемент кесими томонлари (улчамларини) нисбати. ✓

### Савол ва топшириқлар

1. Қандай конструкция қисмлари буралишга учрайди?
2. Буровчи момент деб нимага айтилади?
3. Стерженнинг буралишида қандай кучланиш ҳосил бўлади?
4. Уринма кучланиш стержень кесим юзасида қандай қонуният билан тарқалади?
5. Буралишда мустаҳкамлик шарти формуласини ёзинг.
6. Буралиш бурчаги формуласини ёзинг.
7. Буралишда бикрлик шарти формуласини ёзинг.

8. Буралишда мустақамлыйк шартыдан фойдаланиб доиравий кесимли стерженнинг диаметрини топинг.
9. Винтсимон пружинанинг кесим юзасида қандай күчланиш ҳосил бўлади?
10. Винтсимон пружинанинг деформациясини топинг.

### 1-масала.

Пўлатдан тайёрланган стерженга  $M_1 = 40 \text{ Нм}$ ;  $M_2 = 20 \text{ Нм}$ ;  $M_3 = 40 \text{ Нм}$ ;  $M_4 = 30 \text{ Нм}$  моментлари қўйилган.

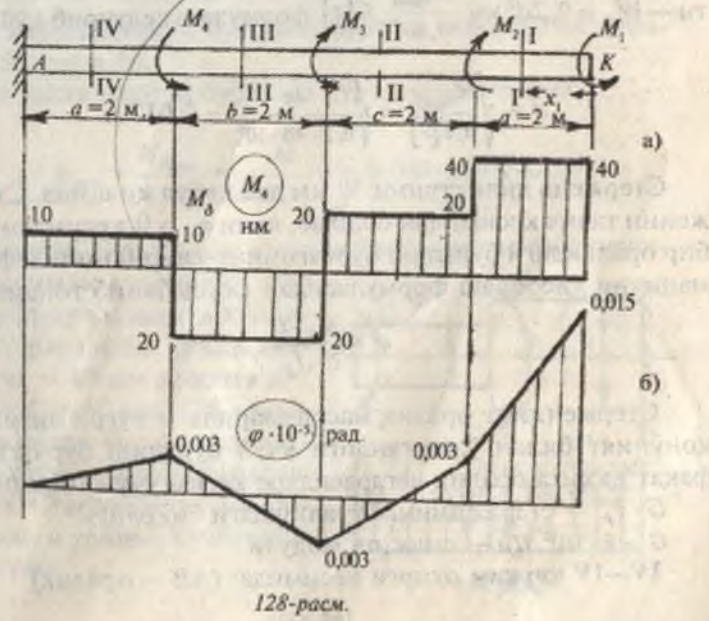
1. Буровчи момент эпюрасини қуринг.

2. Берилган  $[\tau] = 40 \text{ мПа}$  қийматдан фойдаланиб буралишдаги мустақамлыйк шартига асосан стерженнинг диаметрини топинг.

3. Буралиш бурчаги эпюрасини қуринг.

4. Энг катта нисбий буралиш бурчагини топинг.

**Ечиш.** Ички буровчи моменитни толиш учун стерженни қирқимларда бўламиз (128-расм). Ҳар қайси қирқимдаги буровчи момент шу қирқимга қўйилган барча моментларнинг алгебраик йигиндисига тенгdir.



Узунлиги  $x_1$  га тенг бўлган (КД — оралик) қирқимнинг I—I кесимига нисбатан  $M_1$  моментининг йўналиши соат стрелкаси йўналишига тескаридир. Шунинг учун бу оралиқдаги ички буровчи момент  $M_b^1$  ишорасини мусбат оламиз. Агар кесим марказига нисбатан момент йўналиши соат стрелкасининг йўналиши билан бир хил бўлса, ички буровчи момент ишорасини манфий деб қабул қиласиз.

$$M_b^1 = M_1 = 40 \text{ Hm}$$

$$\text{Демак, } M_b^{II} = M_1 - M_2 = 40 - 20 = 20 \text{ Hm} \quad (\text{ДС — оралик})$$

$$M_b^{III} = M_1 - M_2 - M_3 = 40 - 20 - 40 = -20 \text{ Hm} \quad (\text{СВ — оралик})$$

$$M_b^{IV} = M_1 - M_2 - M_3 + M_4 = -20 + 30 = 10 \text{ Hm} \quad (\text{ВА — оралик})$$

Топилган қийматлар ёрдамида  $M_b$  эпюраси қурилади. Ихтиёрий масштабда танланган буровчи момент мусбат ишорали қиймати чизикни юқори томонига, манфий ишорали қиймати эса пастки томонга чизилади (128-расм, а).

Доиравий кесимли стерженни кутб қаршилик моменти —  $W_p = 0,2d^3$  ни  $\frac{M_{b_{\max}}}{0,2d^3} \leq [\tau]$  формулага келтириб қўйсак:

$$d = \sqrt[3]{\frac{M_{b_{\max}}}{0,2[\tau]}} = \sqrt[3]{\frac{40}{0,2 \cdot 40 \cdot 10^6}} = 0,017 \text{ m}$$

Стрежень диаметрини 30 мм деб қабул қиласиз. Стерженни таянч кесимидан бошлаб, яъни  $\varphi_A = 0$  кесимдан ҳар бир оралиқдаги буралиш бурчагининг ўзгаришини дсформацияни ҳисоблаш формуласидан фойдаланиб топамиз:

$$\varphi = \frac{M_b \cdot \ell}{G \cdot I_p}$$

Стреженнинг оралиқ масофаларида  $\varphi$  тўғри чизикли қонуният билан ўзгарганлиги учун буралиш бурчагини фақат иккита оралиқ чегарасидаги кесим учун топамиз.

$G \cdot I_p$  — стреженнинг буралишдаги бикрлиги.

$G = 8 \cdot 10^{10} \text{ Pa}$  — силжиш модули.

IV—IV қирқим охирги кесимида: (АВ — оралик)

$$I_p = \frac{\pi \cdot d^4}{32} = 0,1d^4 = 0,1(0,30)^4 = 81 \cdot 10^{-5} \text{ м}^4$$

Стержень кесимининг қутб инерция моменти:

$$\varphi_B = \frac{M_6^{IV} \cdot b}{G \cdot I_p} = \frac{10 \cdot 2}{8 \cdot 10^{10} \cdot 81 \cdot 10^{-5}} = 0,003 \cdot 10^{-5} \text{ рад}$$

III—III қирқим охирги кесимида: (ВС — оралиқ)

$$\varphi_c = \varphi_B + \frac{M_6^{III} \cdot b}{G \cdot I_p} = 0,003 \cdot 10^{-5} - \frac{20 \cdot 2}{648 \cdot 10^{-5}} = -0,003 \cdot 10^{-5} \text{ рад}$$

II—II қирқим охирги кесимида: (СД — оралиқ)

$$\varphi_D = \varphi_c + \frac{M_6^{II} \cdot c}{648 \cdot 10^{-5}} = -0,003 \cdot 10^{-5} + \frac{20 \cdot 2}{648 \cdot 10^{-5}} = -0,003 \cdot 10^{-5} \text{ рад}$$

I—I қирқим охирги кесимида: (ДК — оралиқ)

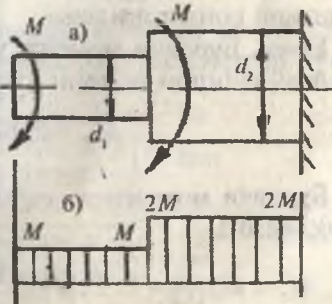
$$\varphi_K = \varphi_D + \frac{M_6^I \cdot a}{648 \cdot 10^{-5}} = -0,003 \cdot 10^{-5} + \frac{40 \cdot 2}{648 \cdot 10^{-5}} = -0,015 \cdot 10^{-5} \text{ рад}$$

$\varphi_B$ ,  $\varphi_c$ ,  $\varphi_D$  ва  $\varphi_K$  ларнинг ихтиёрий масштабда 0—0 чизиқда жойлашириб, буралиш бурчаги эпюрасини қурамиз (128-расм, б).

Энг катта нисбий буралиш бурчагини топамиз:

$$\varphi_{\max} = \frac{M_{6\max}}{G \cdot I_p} = \frac{40}{648 \cdot 10^{-5}} = 0,006 \cdot 10^{-5} \text{ рад}$$

**2-масала.** Бир томони қистириб маҳкамланган ўзгарувчан кесимли стерженга бир хил жуфт күч моменти қўйилган. Стерженning кичик диаметри  $d_1 = 40$  мм ва катта диаметри  $d_2 = 60$  мм (129-расм). Стерженning ўнг погонасидаги энг катта уринма кучланиш 80 мПа. Стерженning чап погонасидаги уринма кучланишни топинг.



129-расм.

**Ечиш.** Стерженнинг ўнг поғонасидаги энг катта уринма кучланиш формуласини ёзамиш:

$$\tau_2 = \frac{M_6^H}{W_p^H} = 80 \text{ мПа}$$

Буровчи моментни топамиш:

$$M_6^H = 800 \cdot W_p = 800 \frac{\pi \cdot d_t^3}{16} = 800 \frac{3,14(6)^3}{16} = 33912 \text{ кГ см}$$

Демак, стерженнинг чап поғонасига қўйилган буровчи момент 33912 кГ см. Стерженнинг узунлиги бўйлаб буровчи момент эпюрасини қурамиз (129-расм, б). Стерженning II-II қирқим билан ажратиб олинган қисмида буровчи момент ташқи моментларнинг йифиндисига тенг, яъни  $M_6^H = 2M$ . У ҳолда, I-I қирқимдаги, яъни стерженнинг чап поғонасидаги буровчи момент миқдор жиҳатдан ташқи моментга тенг:  $M_6^I = M$ .

Чап поғонадаги энг катта уринма кучланишини топамиш:

$$\tau_1 = \frac{M_6^I}{W_p^I} = \frac{33912}{2 \cdot 12,56} = 1350 \frac{\text{кг}}{\text{см}^2}$$

$$\text{Бу ерда: } W_p^I = \frac{\pi \cdot d_t^3}{16} = \frac{3,14(4)^3}{16} = 12,56 \text{ см}^3$$

**З-масала.** Диаметри  $d = 90$  мм бўлган вал 90 от куч қувватини узатади. Вал материалининг рухсат этилган кучланиши  $[\tau] = 60 \frac{\text{кг}}{\text{см}^2}$  бўлса, валнинг бир минутдаги айланышлари сони топилсин.

**Ечиш.** Буровчи момент, узатилаётган қувват N ва валнинг айланышлари сони ўзаро боғланишида:

$$M_6 = 71620 \frac{N}{n}, \text{ кГ см}$$

Буровчи моментни валнинг мустаҳкамлик шартидан аниқлаймиз:

$$M_6 = W_p [\tau] = \frac{\pi \cdot d^3}{16} [\tau] = \frac{3,14(9)^3}{16} \cdot 600 = 85839,7 \text{ кГ см}$$

У ҳолда валнинг бир минутдаги айланишлари сони:

$$n = 71620 \frac{N}{M_6} = 71620 \frac{90}{85839,7} = 75 \frac{\text{айл}}{\text{мин}}$$

**4-масала.** Автомобилнинг кардонли вали икки хил режимда бир хил қувватни узатади ( $N = 23$  от кучи). Вални бир минутдаги айланишлари сони биринчи ҳолатда  $n_1 = 108$  айл/мин; иккинчи ҳолатда  $n = 60$  айл/мин.

Вал материалининг рухсат этилган кучланиши  $\tau = 400$  кг/см<sup>2</sup> бўлса, валнинг ташқи ва ички диаметрларини ( $d_0 = 0,9 d$ ) топинг.

**Ечиш.** Кардонли валнинг икки режимига тўғри келувчи буровчи моментни топамиз:

$$M_6^1 = 71620 \frac{23}{108} = 15252,4 \text{ кГсм}$$

$$M_6^{11} = 71620 \frac{23}{60} = 27454,3 \text{ кГсм}$$

Валнинг диаметри ўзгармас бўлса, энг катта кучланиш  $M_6^{11}$  моменти таъсирида ҳосил булади. Вал кесимининг қутб инерция моментини ҳалқасимон кесимлар учун қутб инерция моменти формуласидан фойдаланиб ёзамиз:

$$\begin{aligned} I_\rho &= \frac{\pi \cdot d^4}{32} - \frac{\pi \cdot d_0^4}{32} = \frac{\pi \cdot d^4}{32} - \frac{\pi(0,9d)^4}{32} = \\ &= \frac{\pi \cdot d^4}{32} (1 - 0,656) = 0,033755d^4 \end{aligned}$$

Уринма кучланиш ва кесимининг четки нуқтасида, яъни кесим марказидан  $0,5 \cdot d$  масофада жойлашган нуқтасида ҳосил булади:

$$\tau_{\text{тек}} = \frac{M_6^{11} \cdot 0,5d}{I_\rho} = \frac{M_6^{11} d}{2 \cdot 0,033755d^4} \leq [\tau] \text{ ёки}$$

$$d = \sqrt{\frac{M_6^{11}}{0,0675[\tau]}} = \sqrt{\frac{27454,3}{0,0675 \cdot 400}} = 10 \text{ см}$$

У ҳолда валнинг ички диаметри —  $d_0 = 9$  см.

**5-масала.** Пұлатдан тайёрланған қалқасимон кесимли вал 100 айл/мин тезлик билан айланиб,  $N = 75$  кВт күватни узатади. Вал кесими деворининг қалинлиги ўртача диаметрининг 1/50 қисмими ташкил этади. Валнинг 3 м узунлигига тұғри келувчи буралиш бурчаги  $\varphi = 1^\circ$  дан ошмаслик шарти билан унинг ўртача диаметрини толинг. Уринма күчланиш нимага тенг:

**Ечиш.** Валнинг ташқи ва ички диаметрлари унинг деворининг қалинлигига бағылап:

$$d = d_y + t = d_y + \frac{d_y}{50} = \frac{51d_y}{50}; \quad d_0 = d_y - t = d_y - \frac{d_y}{50} = \frac{49d_y}{50}$$

Вал кесимининг күтб инерция моментини анықлаймиз:

$$I_p = \frac{\pi}{32} \left[ d^4 - d_0^4 \right] = \frac{\pi}{32} \left[ \left( \frac{51d_y}{50} \right)^4 - \left( \frac{49d_y}{50} \right)^4 \right] = 0,0157d_y^4$$

Валнинг буралишдаги бикрлик шартини ёзамиш:

$$\varphi = \frac{M_6 \cdot t}{G \cdot I_p} \leq [\varphi]; \quad \frac{M_6 \cdot t}{G \cdot 0,0157d_y^4} = 1^\circ \quad \text{Бу ерда: } G = 8 \cdot 10^5 \frac{\text{кг}}{\text{см}^2}$$

$$M_6 = 97360 \frac{N}{n} = 97360 \frac{75}{100} = 73020 \text{ кГсм}$$

Ўртача диаметрни топамиз:

$$d_y = \sqrt[4]{\frac{M_6 c}{G \cdot 0,0157 \cdot 10}} = \sqrt[4]{\frac{73020 \cdot 300}{8 \cdot 10^5 \cdot 0,0157 \cdot \frac{3,14}{180}}} = 17,8 \text{ см}$$

$$\text{У ҳолда: } d = \frac{51 \cdot 17,8}{50} = 18,156 \text{ см; } d_0 = \frac{49 \cdot 17,8}{50} = 17,45 \text{ см}$$

Кесимнинг күтб инерция моменті:

$$I_p = 0,0157d_y^4 = 0,0157(17,8)^4 = 1576 \text{ см}^4$$

Энг катта уринма күчланишни топамиз:

$$\tau_{\max} = \frac{M_6 \cdot 0,5d}{I_p} = \frac{73020 \cdot 9}{1576} = 417 \frac{\text{кг}}{\text{см}^2}$$

**6-масала.** Икки томони бикр мақкамланган доиралык кесимли бир хил йұналишдаги иккита момент билан юқланған. Стерженнинг диаметри —  $d = 10$  см. Стерженнинг аниқмаслик даражасини ечинг ва II-II кесимнинг айланыш бурчагини топинг.

**Ечиш.** Таşқи моментлар таъсирида стерженнинг таянч кесимларида реактив моментлар ҳосил бўлади. Стерженning мувозанат тенгламасини тузамиз (130-расм).

$$\sum M_x = -M_c + 2M - M_B = 0$$

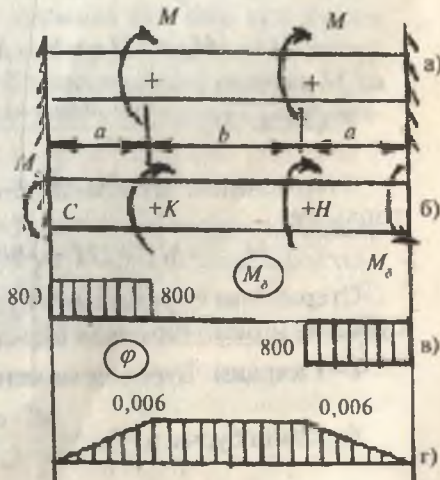
Битта тенгламада иккита немаълум реактив (таянч) моментлар бор, яъни стерженнинг мувозанат шартидан унданға номаълумлар сони кўп экан. Шунинг учун бу масала ноаниқ. Стерженнинг ноаниқлик даражасини очиш учун қўшимча деформация тенгламасини тузамиз. Қўшимча тенгламалар сони стерженнинг аниқмаслик даражасига тенг бўлади, яъни:

$$S = n - 1 = 2 - 1 = 1$$

Бу ерда:  $n$  — стержендаги номаълумлар сони;  
 $1$  — стерженнинг мувозанат шарти.

Демак, стерженнинг аниқмаслик даражаси бирга тенг. Қўшимча деформация тенгламасини тузиш учун бе-рилган стержендандан асосий стержени танлаб оламиз. Асосий стержень — бу таянч таъсири, таянч момен-ти таъсири билан ал-маштирилган стерженнинг кўринишидир (130-расм, б).

Асосий стерженда ҳам, берилган стержен-лардагидек, йўқотилган



таянч кесимниң буралиш бурчаги нолга тенг, яғни  $\varphi_B = 0$ , чунки берилген стержснда бу кесим құзгалмасыр.

В кесимнинг буралиш бурчагини, күшларнинг мустақиллик тамойилига асосан, ҳар қайси моментлар таъсиридан ҳосил булған буралиш бурчакларининг йиғиндиси күринишида әзамиз:

$$\varphi_B = \varphi_{BM} + \varphi_{BM_B} = 0$$

$$\text{Бу ерда: } \varphi_{BM} = \frac{M \cdot a}{G \cdot I_p} + \frac{M(a+b)}{G \cdot I_p}$$

$\varphi_{BM}$  — стерженнинг В кесимини иккита ташқи моментлар таъсиридан буралиш бурчаги;  $\varphi_{BM_B} = -\frac{M_B(2a+b)}{G \cdot I_p}$  стержень В кесимининг таянч моменти  $M_B$  таъсиридан буралиш бурчаги.

$$\text{У ҳолда: } \varphi_B = \frac{M \cdot a}{G \cdot I_p} + \frac{M(a+b)}{G \cdot I_p} - \frac{M_B(2a+b)}{G \cdot I_p} = 0$$

Бу ерда  $\frac{1}{G \cdot I_p} \neq 0$ , шунинг учун

$$M_a + M(a+b) - M_B(2a+b) = 0$$

$$\text{У ҳолда: } M_B = \frac{Ma + M(a+b)}{2a+b} = \frac{800 \cdot 0,6 + 800 \cdot 1,4}{2} = 800 \text{ кГм}$$

Стерженнинг мувозанат тенгламасидан  $M_c$  моментни топамиз:

$$M_c = -M_B + 2M = -800 + 1600 = 800 \text{ кГм}$$

Стерженни қирқимларға буласыз. Ҳар бир қирқимдаги буровчи моментнинг вал буралиш бурчагини топамиз:

**I—I қирқим.** Буровчи момент:  $M_6^1 = M_c = 800 \text{ кГм}$

$$\text{Буралиш бурчаги: } \varphi_K = \frac{M_6 \cdot a}{G \cdot I_p} = \frac{80000 \cdot 60}{8 \cdot 10^3 \cdot 10^3} = 0,006 \text{ rad}$$

Стержень кесимининг қутб инерция моменті:

$$\sum M_x = -M_c + M - M_B = 0$$

$$I_p = \frac{\pi d^4}{32} = \frac{3,14 \cdot (10)^4}{32} = 10^3 \text{ см}^4$$

## II-II қирқим.

Буровчи момент:  $M_6^{II} = M_c - M = 800 - 800 = 0$

Буралиш бурчаги:  $\varphi_H = \varphi_K + \frac{M_6^{II} \cdot a}{G \cdot I_p} = 0,006 \text{ rad}$

## III-III қирқим.

Буровчи момент:

$$M_6^{III} = M_c - 2M = 800 - 1600 = -800 \text{ кНсм}$$

Буралиш бурчаги:

$$\varphi_B = \varphi_K + \frac{M_6^{III} \cdot a}{G \cdot I_p} = 0,006 - \frac{80000 \cdot 60}{8 \cdot 10^3 \cdot 10^3} = 0$$

Топилған қийматлар ёрдамида стерженниң узунлиги бүйлаб унинг буровчи моменти ва буралиш бурчаги эпюрасини қурамиз.

**7-масала.** Умумий узунлиги  $a + b = 3,3 \text{ м}$ , чап қисмидеги диаметри  $d_1 = 6 \text{ см}$ , ўнг қисмидеги диаметри  $d_2 = 5 \text{ см}$  булған стержень учи билан қистириб, бикр мақкамланған. Стерженниң икки қисмінде ҳам бир хил кучлаңыш ҳосил бўлса,  $a$  ва  $b$  узунликлар топилсин (131-расм).

**Ечиш.** Стерженниң С ва В таянчларидаги реактив  $M_c$  ва  $M_B$  моментларни топиш учун унинг мувозанат тенгламасини тузамиз:

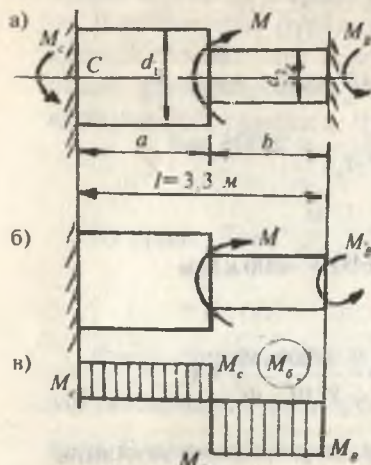
$$\sum M_x = -M_c + M - M_B = 0$$

Мувозанат тенгламадан кўринишича, стержень статик ноаиқ система экан. Шунинг учун асосий системани танлаймиз ва қўшимча тенглама тузамиз:  $\varphi_B = \varphi_{BM} + \varphi_{BM_B} = 0$ , яъни В таянч қессимини буралиш бурчаги нолга тенг. Бу

ерда:  $\varphi_{BM} = \frac{M \cdot a}{G \cdot I_{\rho_1}}$  ва

$$\varphi_{BM_B} = -M_B \left( \frac{a}{G \cdot I_{\rho_1}} + \frac{b}{G \cdot I_{\rho_2}} \right)$$

В кесимнинг тегишли  $M$  ва  $M_B$  моментлари таъсиридан буралиш бурчаклари.



131-расм.

У ҳолда:

$$\frac{M \cdot a}{G \cdot I_{\rho_1}} = M_B \left( \frac{a}{G \cdot I_{\rho_1}} + \frac{b}{G \cdot I_{\rho_2}} \right)$$

$$\text{ва } M_B = \frac{Ma}{a + b \frac{I_{\rho_1}}{I_{\rho_2}}} \text{ момент-}$$

ни стерженнинг мувозанат тенгламасига келтириб қўйсан,  $M_c$  таянч моментни топамиш:

$$M_c = M - M_B = \frac{M \cdot b \cdot \frac{I_{\rho_1}}{I_{\rho_2}}}{a + b \cdot \frac{I_{\rho_1}}{I_{\rho_2}}}$$

Стреженнинг узунлиги бўйлаб буровчи момент эпюрасини қурамиз (131-расм, в) ҳамда чап ва ўнг қисмларини кўндаланг кесимидағи уринма кучланишларни топамиш:

$$\tau_1 = \frac{M_c}{W_{H_1}} = \frac{M \cdot b \cdot \frac{I_{\rho_1}}{I_{\rho_2}}}{\left( a + b \cdot \frac{I_{\rho_1}}{I_{\rho_2}} \right) \frac{\pi \cdot d_1^3}{16}} \text{ ва } \tau_2 = \frac{M_B}{W_{H_2}} = \frac{M \cdot a}{\left( a + b \cdot \frac{I_{\rho_1}}{I_{\rho_2}} \right) \frac{\pi \cdot d_2^3}{16}}$$

Масаланинг шартига қўра:  $\tau_1 = \tau_2$

$$\text{У ҳолда: } \frac{M \cdot b \cdot \frac{I_{\rho_1}}{I_{\rho_2}}}{\left( a + b \cdot \frac{I_{\rho_1}}{I_{\rho_2}} \right) \frac{\pi \cdot d_1^3}{16}} = \frac{M \cdot a}{\left( a + b \cdot \frac{I_{\rho_1}}{I_{\rho_2}} \right) \frac{\pi \cdot d_2^3}{16}} \text{ ёки}$$

$I_{\rho_1} = \frac{bd_1^3}{32} = a \cdot d_1^3$  ҳосил бўлади. Бу ерда:

$$I_{\rho_1} = \frac{\pi \cdot d_1^4}{32} = \frac{\pi(6)^4}{32} = \frac{\pi \cdot 1296}{32} \quad \text{ва} \quad I_{\rho_2} = \frac{\pi \cdot d_2^4}{32} = \frac{\pi(5)^4}{32} = \frac{\pi \cdot 625}{32}$$

Стержень чап ва ўнг қисмларининг кесим юзаларининг кутб инерция моментларини ҳисобга олсақ,  $\frac{6}{5}b = a$  ҳосил бўлади. 131-расмдан  $a + b = 3,3 \text{ м}$  масофага  $a = \frac{6}{5}b$  ни келтириб қўйсак,  $b = 1,5 \text{ м}$  ва  $a = 1,8 \text{ м}$  ни топамиз.

• 8-масала. 132-расмдә кўрсатилган диаметри  $d = 20 \text{ мм}$  бўлган, бир қирқимили парчин михли бирикма  $F = 35 \text{ кН}$  куч таъсирида. Энг хавфли парчин михдаги уринма кучлашишни топинг.

Ечиш. F кучни парчин михли бирикманинг маркази  $C$  нуқтага кўчирамиз. Битта чизиқчали кучлар  $M_b = F\ell$  буровчи моментини ҳосил қиласди. Парчин михли бирикма  $M_b$  моменти таъсирида бўлади.  $F$  куч таъсири бешта парчини мих орасида тенг тарқалади. Ҳар бир парчин мих марказида  $F_k$  куч С нуқтадан ўтган тўғри чизиққа перпендикуляр йўналади. 132-расмдан  $\frac{F_{k_1}}{15} = \frac{F_{k_2}}{7,5}$  ва  $F_{k_1} = 2F_{k_2}$  ни ҳосил қиласмиш ҳамда  $F_{k_1} = F_{k_3}$  ва  $F_{k_2} = F_{k_4}$  эканлигини аниқлаб оламиш. Бирикмани буровчи момент:

$$3500 \cdot 22,5 = 2F_{k_1} \cdot 15 + 2F_{k_2} \cdot 7,5; \quad 78750 = 4F_{k_1} \cdot 15 + 2F_{k_2} \cdot 7,5$$

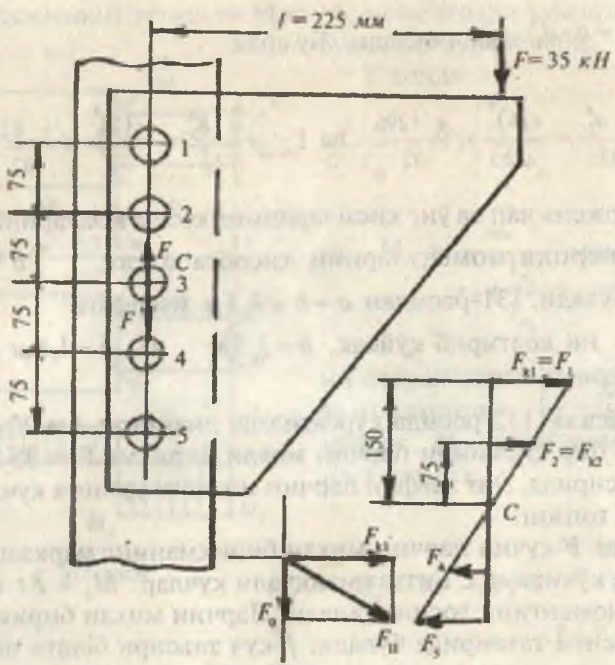
Бу ерда:  $F_{k_1} = 1050 \text{ кг}$  кучни ҳосил қиласмиш.

$$F_{k_1} = 2F_{k_2} = 2 \cdot 1050 = 2100 \text{ кг}$$

Демак, бирикмани четки, парчин михлари кўпроқ хавфли ҳолатда бўлар экан.

1 ва 5 парчин михлардаги тўлиқ кучни топамиш (132-расм).

$$F_{s_T} = F_{l_T} = \sqrt{F_{k_1} + F_0} = \sqrt{(2100)^2 + (700)^2} = 2213 \text{ кг}$$



132-расм.

Четки парчин михларда ҳосил бўладиган уринма кучланишларни топамиз:

$$\tau_{\max} = \frac{F_T}{A_K} = \frac{2213}{3,14 \frac{d^2}{4}} = \frac{2213}{3,14 \frac{(2)^2}{4}} = 704 \frac{\text{kz}}{\text{cm}^2}$$

**9-масала.** Пўлатдан тайёрланган вал тўртта ҳар қайсиси 2 кНм бўлган момент билан юкланган (133-расм).

1. К кесимнинг буралиши бурчаги нолга тенг бўлган ҳолатга тўғри келувчи X моментнинг қиймати топилсин.
2. Буровчи момент эпюралари қурилсин ва валнинг мустаҳкамлик шартига асосан диаметри топилсин.
3. Буралиш бурчаги эпюралари қурилсин.

Ечиш. К кесимига номаълум  $x$  моменти қўйилган ва А кесими бикр маҳкамланган статик аниқ система статик ноаниқ масалага эквивалентдир.

Масаланинг шарғига кўра номаълум момент —  $x$  нинг топиладиган қайсиdir қийматида К кесимнинг тўлиқ буралиш бурчаги ( $\varphi_K = 0$ ) нолга teng бўлиши керак.

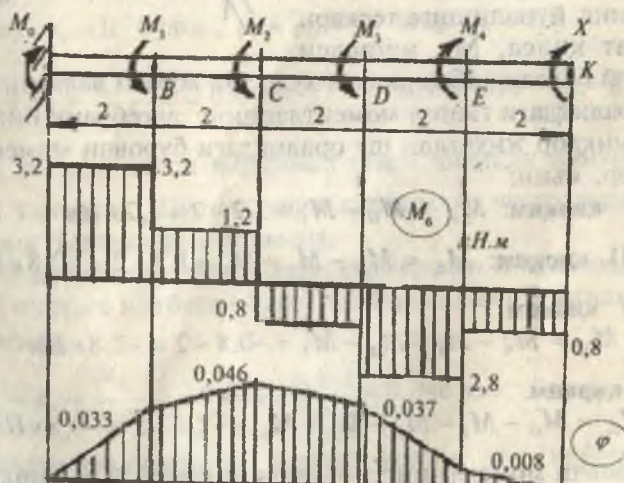
Кучларнинг таъсир қилишдаги ва қўшишдаги халал бермаслик тамойилига асосан К кесимнинг тўлиқ буралиш бурчаги қўйилган ҳар қайси моментлар таъсиридаги буралиш бурчакларининг йифиндисига teng деб қараймиз, яъни:

$$\varphi_K = \varphi_{KM_1} + \varphi_{KM_2} + \varphi_{KM_3} + \varphi_{KM_4} + \varphi_{KX} = 0 \quad (a)$$

Фақат  $M_1$  моментнинг таъсирида К кесимнинг буралиш бурчаги ОВ оралиқнинг буралиш бурчагига tengдир, яъни:

$$\varphi_{M_1} = \frac{M_1 \cdot 3}{G \cdot I_p} \quad \text{ва қолган моментлар таъсиридаги } \varphi_M = \frac{M_2 \cdot 4}{G \cdot I_p}$$

$$\varphi_{M_3} = \frac{M_3 \cdot 6}{G \cdot I_p}; \quad \varphi_{M_4} = \frac{-M_4 \cdot 8}{G \cdot I_p} \quad \text{ва } \varphi_{KX} = \frac{-x \cdot 10}{G \cdot I_p}$$



133-расм.

Буралиш бурчакларини (а) тенгламага келтириб қўйсак,

$$\frac{1}{G \cdot I} (M_1 \cdot 2 + M_2 \cdot 4 + M_3 \cdot 6 - M_4 \cdot 8 - x \cdot 10) = 0 \text{ ёки}$$

$$x = 0,8 \text{ кНм} \text{ ҳосил бўлади.}$$

Системанинг мувозанат ҳолати тенгламасидан О кесимдаги реактив момент  $M_o$  ни топамиз:

$$\sum M_o = -M_1 - M_2 - M_3 + M_4 + x + M_o = 0 \text{ ёки } M_o = 3,2 \text{ кНм}$$

Валнинг О кесимидан ўнгга қараб оралиқларга бўламиз ва буровчи момент қийматларини топамиз.

**I—I қирқим** оралиғидаги валга  $M_o$  реактив ва  $M_{61}$  буровчи моментлари таъсир қилади.

Демак, валнинг I—I қирқимида мувозанат содир бўлиши учун,  $M_o = M_{61}$  шарт бажарилиши керак, яъни ажратилган оралиққа қўйилган ташқи момент миқдор жиҳатдан валнинг ички куч моментларининг йиғиндисига тенг бўлиши керак.

$$M_A = M_{61} = 3,2 \text{ кНм}$$

Агар ташқи момент кесим марказига нисбатан соат стрелкасининг йўналишига тескари ҳаракат қилса,  $M_{61}$  ишораси манфий бўлади. Юқоридаги холосага асосан валнинг ҳар бир оралиқдаги ташқи моментларнинг алгебраик йиғиндиси миқдор жиҳатдан шу оралиқдаги буровчи моментга тенгdir, яъни:

$$\text{II-II қирқим: } M_{61} = M_o - M_1 = 3,2 - 2 = 1,2 \text{ кНм}$$

$$\text{III-III қирқим: } M_{61} = M_o - M_1 - M_2 = 1,2 - 2 = -0,8 \text{ кНм}$$

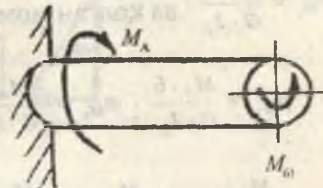
**IV-IV қирқим:**

$$M_{64} = M_o - M_1 - M_2 - M_3 = -0,8 - 2 = -2,8 \text{ кНм}$$

**V-V қирқим:**

$$M_{65} = M_o - M_1 - M_2 - M_3 + M_4 = -2,8 + 2 = -0,8 \text{ кНм}$$

Буровчи моментнинг энг катта қиймати I—I қирқимда ҳосил бўлади. Буралишда мустаҳкамлик шартига асосан валнинг диаметрини топамиз:



$$\tau_{\max} = \frac{M_{\delta_{\max}}}{W_p} \leq [\tau];$$

Вал кесимининг қутб қаршилик моменти:  $W_p = \frac{\pi d^3}{16}$

$$d = \sqrt[3]{\frac{16 M_{\delta_{\max}}}{\pi [\tau]}} = \sqrt[3]{\frac{16 \cdot 3,2}{3,14 \cdot 60 \cdot 10^3}} = 0,065 \text{ м}$$

$d = 70 \text{ мм}$  қабул қиласиз  $[\tau] = 60 \text{ мПа}$  — вал учун кучланишнинг рухсат этилган қиймати.

Валниң ҳар оралиқдаги буралиш бурчагини  $\varphi = \int_0^{M_b} \frac{dx}{G I_p}$  формула ёрдамида қўзғалмас таянчдан бошлаб топамиз.

Бу сурда:  $I_p = 0,1 \cdot d^4 = 0,1(0,01)^4 = 24 \cdot 10^{-7} \text{ м}^4$

1—1 қирқим.  $0 \leq x_1 \leq 2 \text{ м}$

$$\varphi_1 = \frac{M_{\delta_1} x_1}{8 \cdot 10^{-7} \cdot 24 \cdot 10^{-7}} = \frac{3,2 x_1}{192}$$

Агар  $x_1 = 0$  бўлса,  $\varphi_1 = \varphi_0 = 0$ , агар  $x_1 = 2 \text{ м}$

$$\varphi_1 = \varphi_B = \frac{3,2 \cdot 2}{192} = 0,033 \text{ rad}; \quad \varphi_B = 0,033 \frac{\pi}{180} = 2^0 31'$$

бўлса,  $\varphi$  ҳар қайси қирқимда тўғри чизиқли қонуният билан ўзгаради. Шунинг учун қирқимлар чегаралардаги буралиш бурчакларни топамиз.

С — кесимнинг тўлиқ буралиш бурчаги В ва С кесимларни нуқтага нисбатан буралиш бурчаклари йиғиндисига тенгдир:

$$\varphi_c = \varphi_B + \frac{M_{\delta_2} \cdot 2}{192} = 0,033 + \frac{1,2 \cdot 2}{192} = 0,046 \text{ rad} \quad \text{ёки } \varphi_c = 3^0$$

Қолган қирқимларда ҳам шу усулда  $\varphi$  қийматни топамиз:

$$\varphi_D = 0,046 + \frac{M_{\delta_3} \cdot 2}{192} = 0,046 - \frac{0,8 \cdot 2}{192} = 0,037 \text{ rad}$$

$$\varphi_E = 0,037 + \frac{M_{\delta_4} \cdot 2}{192} = 0,037 - \frac{2,8 \cdot 2}{192} = 0,0083 \text{ rad}$$

$$\varphi_K = 0,0083 + \frac{M_{\delta_5} \cdot 2}{192} = 0,0083 - \frac{0,8 \cdot 2}{192} = 0,0083 - 0,0083 = 0 \text{ rad}$$

**10-масала.** Ўртача радиуслари  $R = 10$  см ўрамнинг диаметри  $d = 2$  см бўлган пўлатдан тайёрланган иккита пружиналар С ва В нуқталарда таянчларга таянган. Юқори пружинада  $n_1 = 4$  та ва пастки пружинада  $n_2 = 5$  та ўрамлари бор. Иккала пружиналар ўртасига  $F = 450$  кг куч қўйилган плита ўрнатилган.

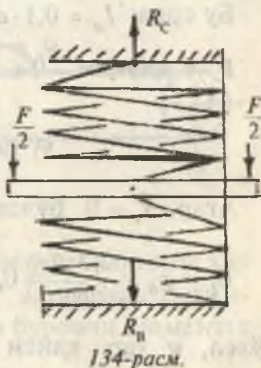
Пружиналарга тақсимланган кучнинг миқдори, юқ ўрнатилган плитанинг вертикал кўчиши, пружина стерженида ҳосил бўлган уринма кучланиш топилсин.

**Ечиш.**  $F$  куч таъсирида юқори пружина чўзилади, пастки пружина сиқулади.

С ва В таянчларда  $R_c$  ва  $R_b$  реакция кучлари ҳосил бўлади.  $R_c$  реакция кучи миқдор жиҳатдан юқори пружинадаги чўзувчи кучга,  $R_b$  реакция кучи пастки пружинадаги сиқувчи кучга тенг бўлади.  $R_c$  ва  $R_b$  кучларни топиш учун системанинг мувозанат тенгламасини тузамиз:

$$\Sigma y = R_c - F - R_b = 0$$

Битта тенгламада иккита номаълум куч бор. Демак, масала статик ноаниқ. Шунинг учун қўшимча деформация тенгламасини тузамиз.  $F$  куч таъсирида юқори пружинанинг чўзилиши пастки погонанинг сиқилишига тенг, яъни  $\lambda_1 = \lambda_2$ .



$$\text{Бу ерда: } \lambda_1 = \frac{4R_c R^3 n_1}{G \cdot r^4} \quad \text{ва} \quad \lambda_2 = \frac{4R_B R^3 n_2}{G \cdot r^4}$$

У ҳолда:

$$\frac{4R_c R^3 n_1}{G \cdot r^4} = \frac{4R_B R^3 n_2}{G \cdot r^4} \text{ ёки } R_c = R_B \frac{n_2}{n_1} \quad \text{ва} \quad R_c = R_B \frac{5}{4} \text{ ифодани}$$

мувозанат тенгламасига келтириб қўйсак,  $R_B$  кучни топамиш:

$$R_B = \frac{F \cdot 4}{9} = \frac{450 \cdot 4}{9} = 200 \text{ кГ}; \quad R_c = \frac{4F}{9} \cdot \frac{5}{4} = \frac{450 \cdot 4}{9} = 250 \text{ кГ}$$

Плитанинг вертикаль қушишини топамиш:

$$\lambda = \frac{4R_c R^3 n_1}{G \cdot r^4} = \frac{4 \cdot 250 \cdot 10^3 \cdot 4}{8 \cdot 10^5 \cdot 1^3} = 5 \text{ см}$$

Юқори пружина стерженидаги кучланиш:

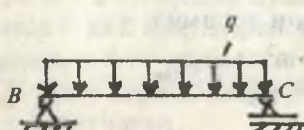
$$\tau_1 = \frac{R_c \cdot 4}{\pi \cdot d^2} + \frac{2R_c \cdot R}{\pi \cdot r^3} = \frac{250 \cdot 4}{\pi \cdot (2)^2} + \frac{2 \cdot 250 \cdot 10}{\pi \cdot 1^3} = 1672 \frac{\text{кг}}{\text{см}^2}$$

Пастки пружина стерженидаги кучланиш:

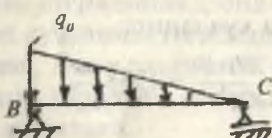
$$\tau_2 = \frac{R_c \cdot 4}{\pi \cdot d^2} + \frac{2R_B \cdot R}{\pi \cdot r^3} = \frac{200 \cdot 4}{\pi \cdot (2)^2} + \frac{2 \cdot 200 \cdot 10}{\pi \cdot 1^3} = 1338 \frac{\text{кг}}{\text{см}^2}$$

## VI БОБ ЭГИЛИШ

Амалиётда кўприкларнинг рамалари, иморатларнинг айрим қисмлари, вагоннинг ўқлари ва ҳ.к. эгилиш деформациясига учрайди. Икки таянчга таянган ва эгилиш деформациясига учрайдиган брус балка дейилади. Айрим балкаларнинг кўринишларини келтирамиз:



135-расм.



136-расм.



137-расм.

ўқи бор.

2. Барча ташқи кучлар балканинг симметрия ўқи текислигига жойлашган.

3. Балкага таъсир этувчи барча кучлар, шу жумладан реакция кучлари ҳам симметрия ўқи текислигига ётганлиги учун балканинг эгилган ўқи ҳам шу текисликда ётади.

Бундай эгилиш текис эгилиш дейилади.

## 6.1. ТАЯНЧ ВА ТАЯНЧ ТУРЛАРИ

Үч хил таянч турлари мавжуд:

1. Құзғалувчи шарнирли таянч стерженнинг таянч кесими шарнир үқи атрофида айланиш бурчагини ва стерженнинг горизонтал текисликдаги ҳаракатини чекламайди. Шунинг учун құзғалувчи — шарнирли таянчда фақат вертикал реакция кучи ҳосил бўлади (138-расм).

2. Құзғалмас шарнирли таянч стерженнинг таянч кесимини вертикал ва горизонтал текисликлардаги ҳаракатини чегаралайди; кесимнинг айланиш бурчагини чекламайди. Шунинг учун бу хил таянчда вертикал ва горизонтал реакция кучлари ҳосил бўлади.

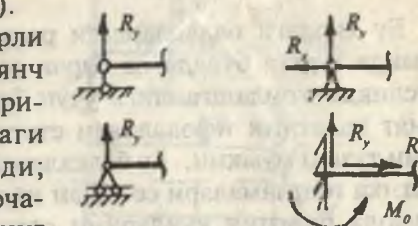
3. Құзғалмас бикр маҳкамланган таянч (138-в расм) стерженнинг таянч кесимининг барча ҳаракатларини чегаралайди. Шунинг учун бу таянчда вертикал, горизонтал реакция кучлари билан биргаликда реактив момент ҳам ҳосил бўлади.

Реакция кучларини аниқлаш учун статиканинг мувозанат шартларини тузамиз:

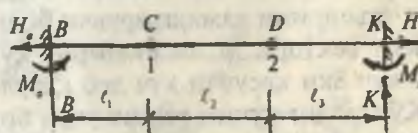
$$\sum x = 0; \quad \sum y = 0 \text{ ва} \quad \sum M_0 = 0 \quad (6.1)$$

**Статиканинг тенгламалари орқали реакция кучларни топиш мумкин бўлган балкалар статик аниқ системаларга киради.**

Бундай масалаларга кўп пролётли ва оралиқ шарнирли балкалар ҳам мисол бўлади (139-расм).



138-расм.



139-расм.

Айрим ҳолларда балка бир неча таянчларга таяниши мумкин.



140-расм.

Бу хилдаги балкалардаги реакция күчларининг сони камида тұртта бўлади ва барча реакция күчлари бир текислиқда жойлашғанлиги учун бутун системанинг мувозанат ҳолатини ифодаловчи статиканинг учта тенгламасини тузиш мумкин. Бу балкаларда реакция күчлари сони статика тенгламалари сонидан кўп. Шунинг учун бу балкаларда реакция күчларини статиканинг тенгламалари билан толиб бўлмайди.

Бундай балкалар статик ноаниқдир. Статик ноаниқ масалаларни ечиш усули кейинроқ маҳсус мавзу сифатида кўриб чиқилади.

## 6.2. ЭГИЛИШДА ИЧКИ КУЧЛАРНИ АНИҚЛАШ

Тұртта ұзаро тенг бўлган  $F$  куч таъсирида мувозанатда бўлган бруслар үрганамиз (141-расм). Бруслар оралиғидан ихтиёрий танланган  $m - m$  кесимнинг ички күчларини кесиш методидан фойдаланиб топамиз. Бруслар оралиғидан ихтиёрий танланган  $m - m$  кесимнинг мувозанатини таъминлаш учун унинг кесилган юзасига ташлаб юборилган қисмий таъсирини алмаштирувчи бош куч вектори  $Q$  ва бош момент вектори  $M$  ни келтириб қўямиз.  $Q$  кучни кўндаланг куч ёки кесувчи куч деб қабул қиласиз.

Кўндаланг кучни топиши учун бруслар оралиғидан ихтиёрий танланган  $m - m$  кесимидаги ташқи кучни  $m - m$  текисликка проекциялаймиз:  $F - Q = O$  ёки  $Q = F$ .

Бруслар оралиғидаги ихтиёрий танланган  $n - n$  кесимидаги кўндаланг куч  $Q$  ни топиши учун шу оралиғидаги барча ташқи күчларни  $n - n$  текисликка проекцияла-

рининг алгебраик йиғиндисини топамиз:  $F - F - Q = 0$  ёки  $Q = 0$ .

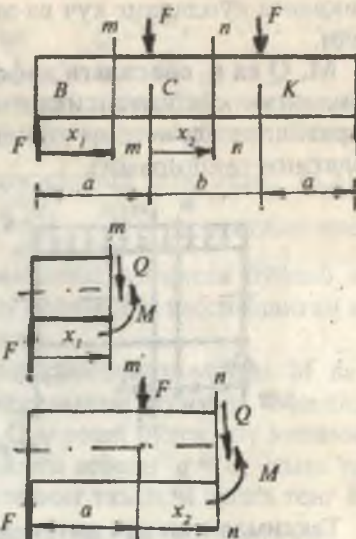
Демак,  $Q$  күндаланг күч бруснинг ажратиб олинган қисмидаги ташқи күчларни алгебраик йиғиндисига тенг экан.

Бруснинг кесилган кесимиға нисбатан ташқи күчнинг йұналиши соат стрелкасининг ҳаракат йұналиши билан мос туышса, күндаланг күчнинг ишораси мусбат, тескари ҳолатда эсә манфий қабул қыллади.

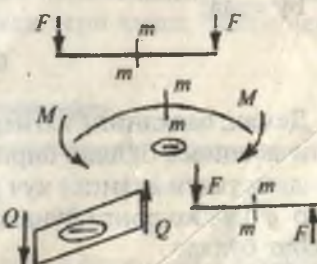
Бош момент вектори  $M$  өгувчи момент дейилади. Өгувчи моментни топиш учун бруснинг ажратиб олинган кесимиға ташқи күчдан кесилган кесим юзасининг марказига нисбатан момент оламиз: ВС оралиқдаги  $x$  масофа учун  $M = Fx$  ва ВК оралиқдаги  $(a + x)$  масофа учун  $M = F(a + x) - Fx$  тенгламаларни ҳосил қыламиз.

Демак, өгувчи момент брусни ажратиб олинган қисмидаги ташқи күчларнинг, шу оралиқ кесилган кесим юзасининг марказига нисбатан моментларининг алгебраик йиғиндисига тенг экан. Агар ташқи күч брусни юқориға әгилтирилса, өгувчи момент ишораси мусбат, пастга әгилтирилса манфий қабул қыллади.

Юқоридаги күндаланг күч ва өгувчи момент тенгламаларидан қуринишича, бруснинг узунлиги бүйлаб  $Q$  ва  $M$  үзгариб борар экан.  $Q$  ва  $M$  нинг брус ўқи бүйлаб үзгариш гра-



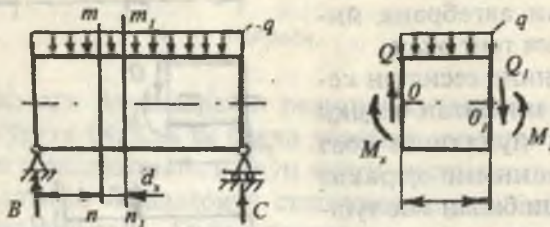
141-расм.



142-расм.

фикасига кўндаланг куч ва эгувчи момент эпюраси дейилади.

**M, Q ва q орасидаги дифференциал боғланишлар.** Тақсимланган куч интенсивлиги таъсирида бўлган балкадан ажратилган элементар узунликдаги булакнинг мувозанат ҳолатини текширамиз.



143-расм.

Тақсимланган куч интенсивлиги  $q$  таъсиридаги элементар  $dx$  узунликдаги ажратилган элемент балкани ташлаб юборилган қисмлари таъсирини алмаштирувчи кўндаланг кучлар  $Q$ ,  $Q_1 = Q + dQ$  ва моментлар  $M_x$ ,  $M_1 = M_x + dM_x$  таъсирида бўлади (143-расм). Ажратилган элементнинг мувозанат шарти қуидагича ёзилади:

$$\sum Y = 0 \text{ ёки } Q - qdx - (Q + dQ) = 0 \quad (6.2)$$

$$\sum M_0 = 0 \text{ ёки } M_x + Qdx - qdx \frac{dx}{2} - (M_x + dM_x) = 0 \quad (6.3)$$

(6.2) тенгламадан  $qdx - dQ = 0$  тенгликни ҳосил қиласиз.

Бу ерда:

$$q = -\frac{dQ}{dx} \quad (6.4)$$

Демак, балканинг ихтиёрий кесимидағи кўндаланг кучнинг абсцисса бўйлаб биринчи тартибли ҳосиласи шу кесимдаги тақсимланган куч интенсивлиги —  $q$  га teng экан. Агар  $q$  куч юқорига йўналса (6.4), тенгламанинг ишораси мусбат бўлади.

(6.3) тенгламадан

$$Qdx - dM_x = 0 \quad \text{ва} \quad Q = \frac{dM_x}{dx} \quad (6.5)$$

ҳосил бўлади, яъни балканинг ихтиёрий кесимидағи кўндаланг куч шу кесимдаги эгувчи моментнинг абсцисса бўйича биринчи тартибли ҳосиласига тенг экан. (6.4) ва (6.5) тенгламалар асосида  $\frac{d^2 M_x}{dx^2} = \frac{dQ}{dx} = -q$  тенглик ҳосил бўлади, яъни эгувчи моментнинг абсцисса бўйлаб иккинчи тартибли ҳосиласи шу кесимдаги тақсимланган куч интенсивлиги  $-q$  га тенг экан.

Юқоридаги дифференциал боғланишлардан  $M$  ва  $Q$  эпюраларини қуришда фойдаланиш мумкин. Масалан, балканинг бирор кесимида  $Q = \text{const}$  бўлса, шу кесимида (6.4) дифференциал боғланишга асосан  $q = 0$ , яъни тақсимланган куч интенсивлигининг таъсири нолга тенг ёки  $q$  куч таъсир қилмас экан.

Тақсимланган куч интенсивлиги таъсир қилган оралиқда кўндаланг куч тўғри чизиқли қонуният билан ўзгаради.  $Q$  нинг эпюраси абсцисса ўқини кесиб ўтади, яъни абсциссага оғишган бурчак билан жойлашади.

(6.5) дифференциал боғланишга асосан агар балканинг бирор кесимида эгувчи момент ўзгармас бўлса, яъни  $M = \text{const}$ , шу кесимдаги кўндаланг куч нолга тенг бўлар экан. Эгувчи момент балка узунлигининг бирор қисмида тўғри чизиқли қонуният билан ўзгарса, яъни  $M$  графикаси тўғри чизик бўйлаб абсциссага бирор бурчак билан жойлашса, шу кесимдаги кўндаланг куч ўзгармас ва  $Q$  нинг эпюраси абсциссага параллел чизик бўлар экан.

Балканинг тақсимланган куч интенсивлиги  $-q$  таъсир қилган оралиқда  $M$  эпюраси эгри чизик билан чегараланади.

#### *Савол ва топшириқлар*

1. Қандай конструкция қисмлари эгилиш деформациясига учрайди?
2. Балка деб нимага айтилади?
3. Таянч турларини айтинг.
4. Эгувчи момент, кўндаланг куч ва ёйилган куч интенсивлиги билан дифференциал боғланишларни ёзинг?

5. Күндаланг күч деб нимага айтилади?
6. Күндаланг күч ишораси қачон мусбат бўлади?
7. Эгувчи момент деб нимага айтилади?
8. Эгувчи момент ишораси қачон мусбат бўлади?

**1-масала.** Балканинг эгувчи момент ( $M$ ) ва кўндаланг күч ( $Q$ ) эпюралари қурилсин (144-расм).

**Ечиш.** Реакция кучларини балканинг мувозанат шартларидан фойдаланиб топамиз:

$$\begin{aligned}\sum M_A &= -M_1 + 4q\left(\frac{4}{2} + 1\right) + F_1 \cdot 4 + F_2 \cdot 6 - M_2 + q \cdot 2\left(\frac{2}{2} + 8\right) + \\ &\quad + M_3 - B \cdot 8 = 0; \quad B = 12,125 \text{ кН} \\ \sum M_B &= -M_1 - q4\left(\frac{4}{2} + 3\right) - F_1 \cdot 4 - F_2 \cdot 2 - M_2 + \\ &\quad + q2 \cdot \frac{2}{2} + M_3 + K \cdot 8 = 0; \quad K = \frac{63}{8} \text{ кН}\end{aligned}$$

Балкани оралиқ қирқимларга бўлиб эгувчи момент  $M$  ва кўндаланг күч тенгламаларини тузамиз (144-расм).

**I—I қирқим.**  $0 \leq x_1 \leq 1 \text{ м}$

$$\begin{aligned}M_{x_1} &= Kx_1 - M_1 \quad \text{ва} \quad Q_1 = K = \frac{63}{8} \text{ кН} \\ x_1 = 0, \quad M_{x_1} &= -2 \text{ кНм}, \quad x_1 = 1 \text{ м}, \quad M_{x_1} = \frac{47}{8} \text{ кНм}\end{aligned}$$

**II—II қирқим.**  $0 \leq x_2 \leq 3 \text{ м}$

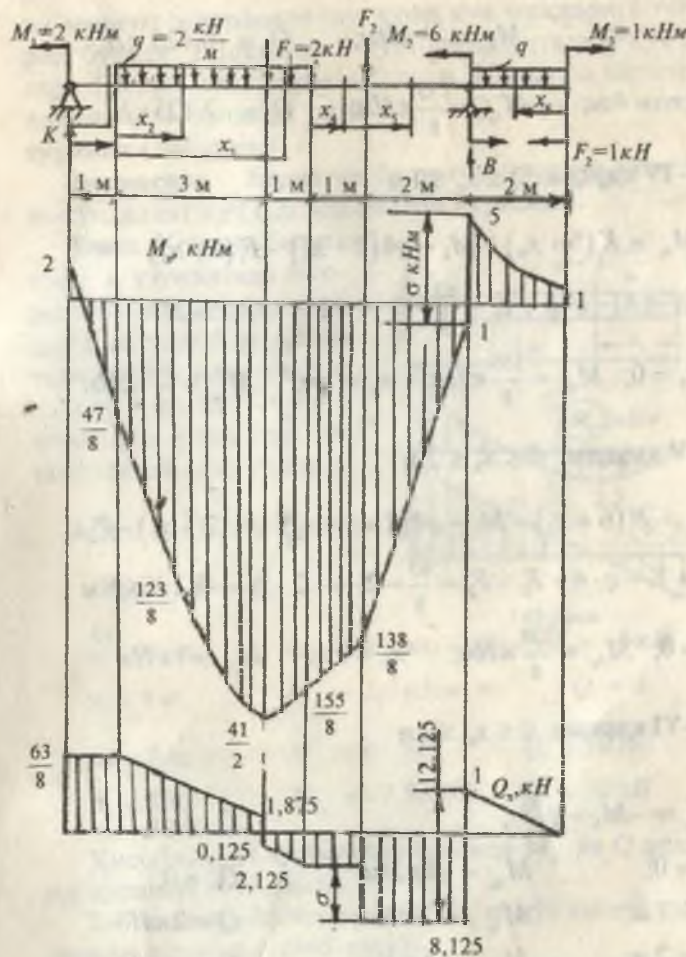
$$M_{x_2} = K(1 + x_2) - M_1 - q \frac{x_2^2}{2} \quad \text{ва} \quad Q_2 = K - qx_2$$

$$x_2 = 0; \quad M_{x_2} = \frac{47}{8} \text{ кНм}; \quad Q_2 = \frac{63}{8} \text{ кН}$$

$$x_2 = 1 \text{ м}; \quad M_{x_2} = \frac{123}{8} \text{ кНм}; \quad Q_2 = \frac{39}{8} \text{ кН}$$

$$x_2 = 3 \text{ м}; \quad M_{x_2} = \frac{41}{2} \text{ кНм}; \quad Q_2 = 1,875 \text{ кН}$$

**III—III қирқим.**  $3 \leq x_3 \leq 4 \text{ м}; \quad Q_3 = K - qx_3 - F_1$



144-расм.

$$M_{x3} = K(1 + x_3) - M_1 - q \frac{x_3^2}{2} - F_1(x_3 - 3)$$

$$x_3 = 0; \quad M_{x_3} = \frac{41}{2} \kappa Hm; \quad Q_3 = -0,125 \kappa H$$

$$x_3 = 4 \text{ m}; \quad M_{x_3} = \frac{155}{8} \kappa Hm; \quad Q_3 = -2,125 \kappa H$$

**IV—IV қирқим.**  $0 \leq x_4 \leq 1 \text{ m}$

$$M_{x_4} = K(5 + x_4) - M_1 - q4(2 + x_4) - F_1(1 + x_4)$$

$$Q_4 = K - q \cdot 4 - F_1 = \frac{63}{8} - 2 \cdot 4 - 2 = -2,125 \kappa H$$

$$x_4 = 0; \quad M_{x_4} = \frac{155}{8} \kappa Hm; \quad x_4 = 1 \text{ m}; \quad M_{x_4} = \frac{138}{8} \kappa Hm$$

**V—V қирқим.**  $0 \leq x_5 \leq 2 \text{ m}$

$$M_{x_5} = K(6 + x_5) - M_1 - q4(2 + 1 + x_5) - F_1(2 + x_5) - 7F_5 x_5$$

$$Q_5 = K - q \cdot 4 - F_1 - F_2 = \frac{63}{8} - 2 \cdot 4 - 2 - 6 = -8,125 \kappa Hm$$

$$x_5 = 0; \quad M_{x_5} = \frac{138}{8} \kappa Hm; \quad x_5 = 2 \text{ m}; \quad M_{x_5} = 1 \kappa Hm$$

**VI—VI қирқим.**  $0 \leq x_6 \leq 2 \text{ m}$

$$M_{x_6} = -M_3 - q \frac{x_6^2}{2}; \quad Q_6 = qx_6$$

$$x_6 = 0; \quad M_{x_6} = -1 \kappa Hm; \quad Q_6 = 0$$

$$x_6 = 1 \text{ m}; \quad M_{x_6} = -2 \kappa Hm; \quad Q = 2 \kappa H$$

$$x_6 = 2 \text{ m}; \quad M_{x_6} = -5 \kappa Hm; \quad Q_6 = 4 \kappa H$$

Балканинг оралиқ қирқимларида күндаланған күч  $Q > 0$  бўлса, эгувчи момент  $M_x$  ўсувчи, агар  $Q < 0$  бўлса,  $M_x$  камаювчи бўлади. Тарқалган күч интенсивлиги  $-q$  таъсир қилган қирқимларда эгувчи момент эгри чизик (парабола) қонуни билан ўзгаради.  $Q$  күч мусбат ишорадан манфий ишорага ўтиш нуқтасида эгувчи момент тах қийматига эришади. Жуфт күч  $M$  таъсир қилиш нуқтасида эгув-

чи момент эпюрасида шу жуфт куч миқдорига тенг сакраш бўлади. Ташқи куч  $F$  қўйилган нуқтада  $Q$  куч эпюрасида  $F$  кучга тенг сакраш бўлади. Юқорида айтилган мулоҳазаларни ҳисобга олиб  $M_x$  ва  $Q_x$  ларнинг эпюрасини қурамиз (144-расм).

**2-а масала.** Берилган балканинг эгувчи момент ( $M_{x_1}$ ) ва кўндаланг куч ( $Q$ ) эпюралари қурилсин.

**Ечиш.** Консоль балканинг  $x_1$  узунлигига юқорига йўналган тўпланма куч  $F$  ва пастга йўналган тенг тақсимланган куч қўйасир қиласди. Эгувчи момент ва кўндаланг куч тенгламаларини тузамиз:

$$M_{x_1} = Fx_1 - q \frac{x_1^2}{2}$$

$$Q_1 = -F + qx_1$$

$$x_1 = 0 \text{ да}$$

$$M_{x_1} = 0$$

$$Q_1 = -F = -5 \text{ kH}$$

$$x_1 = 1 \text{ m};$$

$$M_{x_1} = 2,5 \text{ kNm}$$

$$Q_1 = 0$$

$$x_1 = 2 \text{ m};$$

$$M_{x_1} = 0$$

$$Q_1 = 5 \text{ kH}$$

$$x_1 = 3 \text{ m};$$

$$M_{x_1} = -7,5 \text{ kNm}$$

$$Q_1 = 10 \text{ kH}$$

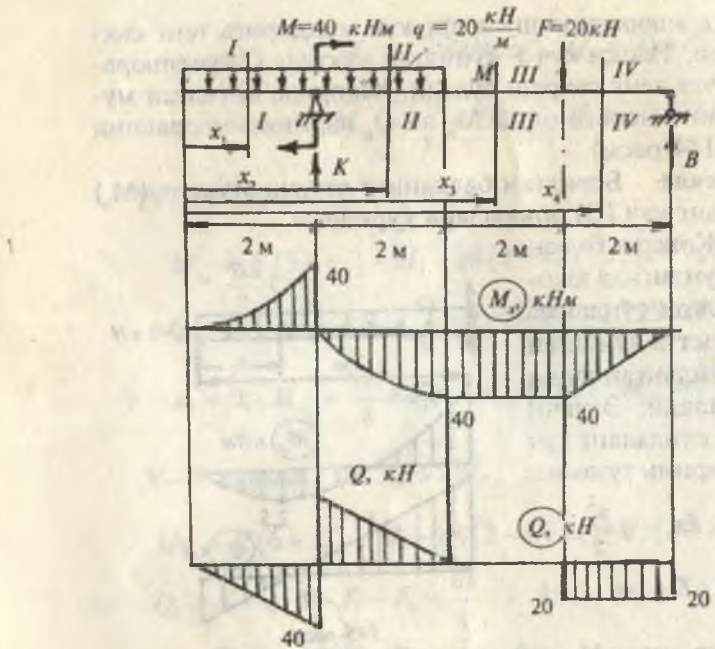
Ҳисобланган қийматлар асосида  $M_x$  ва  $Q$  эпюраларини қурамиз (145-расм).

**2-б масала.** Эгувчи момент  $M_x$  ва кўндаланг куч  $Q$  эпюралари қурилсин (146-расм).

**Ечиш.** Пўлагдан тайёрланган балка К ва В нуқталарида таянчга таяниб турган. К ва В реакция кучларини топиш учун системанинг мувозанат ҳолатини қаноатлантирувчи статиканинг момент тенгламасидан фойдаланамиз:

$$\sum M_K = M + F \cdot 4 + q \frac{4}{2} - q \frac{4}{2} - B \cdot 6 = 0$$

Бу ерда:  $B = 20 \text{ kH}$



146-расм.

$$\sum M_B = K \cdot 6 + M - F \cdot 2 - q \cdot 4 \left( \frac{4}{2} + 4 \right) = 0$$

Бу ерда:  $K = 80 \text{ kN}$

Текшириш:  $\sum y = K + B - F - 4q = 0$

$$80 + 20 - 20 - 4 \cdot 20 = 0 \quad \text{ва} \quad 80 - 80 = 0$$

Энди балкани оралиқларга бўлиб, эгувчи момент ва кўндаланг куч эпюрасини қурамиз. I—I ва II—II қирқимлар оралиқларида M тақсимланган куч интенсивлиги билан иккинчи даражали боғланишда.

I—I қирқим.  $0 \leq x_1 \leq 2 \text{ м}$

$$M_{x_1} = -q \frac{x_1^2}{2}; \quad Q_1 = -qx_1$$

Агар  $x_1 = 0$  бўлса,  $M_{x_1} = 0$  ва  $Q_1 = 0$   
 Агар  $x_1 = 1\text{ м}$  бўлса,  $M_{x_1} = -10\text{ кНм}$  ва  $Q_1 = -20\text{ кН}$   
 Агар  $x_1 = 2\text{ м}$  бўлса,  $M_{x_1} = -40\text{ кНм}$  ва  $Q_1 = -40\text{ кН}$

**II-II қирқим.**  $2 \leq x_2 \leq 4\text{ м}$

$$M_{x_2} = q \frac{x_2^2}{2} + K(x_2 - 2) + M; \quad Q_2 = K - qx_2$$

$$x_2 = 2\text{ м}; \quad M_{x_2} = 0; \quad Q_2 = 40\text{ кН}; \quad x_2 = 3\text{ м}; \quad M_{x_2} = 30\text{ кНм} \\ Q_2 = 20\text{ кН}; \quad x_2 = 4\text{ м}; \quad M_{x_2} = 40\text{ кНм}; \quad Q_2 = 0$$

Эгувчи момент тенгламасида жуфт куч М қатнашганлиги учун  $M_{x_2}$  эпюрасида  $x_2 = 2\text{ м}$  кесимда  $M = 40\text{ кНм}$  қийматга тенг сакраш бўлади.

**III-III қирқим.**  $4 \leq x_3 \leq 6\text{ м}$

$$M_{x_3} = -q \cdot 4(x_3 - 2) + K(x_3 - 2) + M$$

$Q_3 = -4q + K = -4 \cdot 20 + 80 = 0$ , яъни кўндаланг куч III-III қирқим оралиғида нолга тенг экан. Демак,  $M_x$  нинг қиймати  $4 \leq x_3 \leq 6\text{ м}$  оралиқда ўзгармас ва абсциссага паралел жойлашади.

$$x_3 = 4\text{ м}, \quad M_{x_3} = 40\text{ кНм} \quad \text{ва} \quad x_3 = 6\text{ м}, \quad M_{x_3} = 40\text{ кНм}$$

**IV-IV қирқим.**  $6 \leq x_4 \leq 8\text{ м}$

Эгувчи момент тенгламасини тузамиз:

$$M_{x_4} = -4q(x_4 - 2) + K(x_4 - 2) - F(x_4 - 6)$$

Кўндаланг куч тенгламасини тузамиз:

$$Q_4 = -4q + K - F = -4 \cdot 20 + 80 - 20 = -20\text{ кН}$$

$$x_4 = 6\text{ м}; \quad M_{x_4} = 40\text{ кНм}; \quad x_4 = 8\text{ м}; \quad M_{x_4} = 0$$

Энг катта эгувчи момент  $M_{x_4} = 40\text{ кН м}$

Эгилишда нормал кучланиш бўйича мустаҳкамлик шартига асосан қўштаврли кесим танлаймиз:

$$W_x = \frac{M_{x_{\max}}}{[6]} = \frac{40 \cdot 10^3}{160 \cdot 10^6} = 0,25 \cdot 10^{-3}\text{ м}^3$$

$W_T = 0,254 \cdot 10^{-3}\text{ м}^3$  га асосан қўштавр № 22 ни қабул қиласиз.

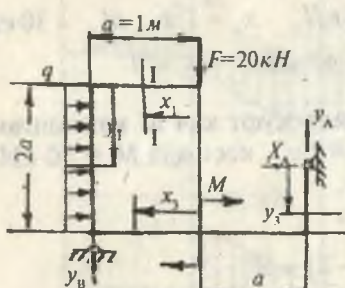
**3-масала.** Берилған рама учун М ва Q эпюралари қурил-син.

**Ечиш.** Реакция күчларини топамиз.

$$\sum x = -x_A + q \cdot 2a = 0 \text{ әки } x_A = 2qa = 40 \text{ кН}$$

$$\sum M_B = 0$$

$$F \cdot a + q \cdot 2a \cdot \frac{2a}{2} + M - y_A \cdot 2a - x_A \cdot a = 0$$



147-расм.

Бұрын ерда:

$$y_A = \frac{Fa + 2qa^2 + M - x_A a}{2a} = \\ = \frac{20 + 2 \cdot 20 \cdot 1^2 + 20 - 40 \cdot 1}{2 \cdot 1}$$

$$\text{әки } y_A = 20 \text{ кН}$$

$$\sum M_A = y_B \cdot 2a + M - F \cdot a = 0 \\ \text{ва } y_B = 0$$

M үзүндөсінде Q үзүндөсінде деңгелдік:

I—I қирким.  $0 \leq x_1 \leq 1 \text{ м}$

$$M_{x_1} = F \cdot x_1 \quad \text{ва} \quad Q_1 = F = 20 \text{ кН}$$

$$x_1 = 0; \quad M_{x_1} = 0 \quad \text{ва} \quad x_1 = 1 \text{ м}; \quad M_{x_1} = 20 \text{ кНм}$$

II-II қирким.  $0 \leq y_1 \leq 2 \text{ м}$

$$M_{x_1} = F \cdot 1 + q \frac{y_1^2}{2} \quad \text{ва} \quad Q_2 = qy_1; \quad N_2 = -F = -20 \text{ кН}$$

$$y_1 = 0; \quad M_{x_1} = 20 \text{ кНм}; \quad Q_2 = 0$$

$$y_1 = 1 \text{ м}; \quad M_{x_1} = 30 \text{ кНм}; \quad Q_2 = 20 \text{ кН}$$

$$y_1 = 2 \text{ м}; \quad M_{x_1} = 60 \text{ кНм}; \quad Q_2 = 40 \text{ кН}$$

III-III қирким.  $0 \leq y_2 \leq 1 \text{ м}$

$$M_{x_2} = x_A \cdot y_2; \quad Q_3 = -x_A = -40 \text{ кН} \quad \text{ва} \quad N_2 = 20 \text{ кН} \\ y_2 = 0; \quad M_{x_2} = 0 \quad \text{ва} \quad y_2 = 1 \text{ м}; \quad M_{x_2} = 40 \text{ кНм}$$

**IV—IV қирқим.**  $0 \leq x_2 \leq 1\text{ м}$

$$M_{x_4} = x_A \cdot 1 + y_A x_2; \quad Q_4 = -y_A = -20 \text{ кН}; \quad N_4 = -x_A = -40 \text{ кН}$$

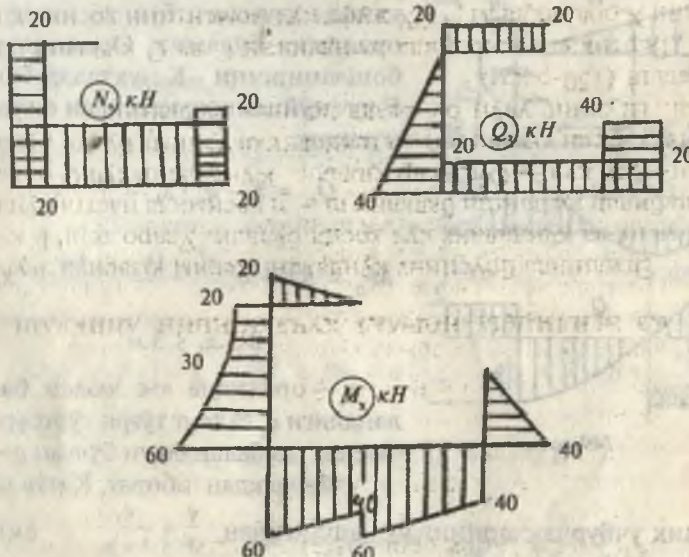
$$x = 0; \quad M_{x_4} = 40 \text{ кНм} \quad \text{ва} \quad x_4 = 1\text{ м}; \quad M_{x_4} = 60 \text{ кНм}$$

**V—V қирқим.**  $0 \leq x_3 \leq 1\text{ м}$

$$M_{x_5} = x_A \cdot 1 + y_A (x_3 + 1) - M \quad \text{ва} \quad Q_5 = -y_A = -20 \text{ кН}$$

$$N_5 = -x_A = -40 \text{ кН}; \quad x_3 = 0; \quad M_{x_5} = 40 \text{ кНм}$$

$$x_3 = 1\text{ м}; \quad M_{x_5} = 60 \text{ кНм}$$



IV—IV қирқим.

148-расм.

4-масала. Схема (в) (149-расм).

Ечиш. Тақсимланган күч интенсивлигі  $q$  балка узунлигі бүйіча түгри чизик қонунияти билан ұзгаради.  $q$  — күчларни тенг таъсир күйлөвчеси учбұрчак юзаси билан үлчанади ва К нүктадан  $\left(\frac{\ell}{3}\right) = 1\text{ м}$  масофада жойлашади.

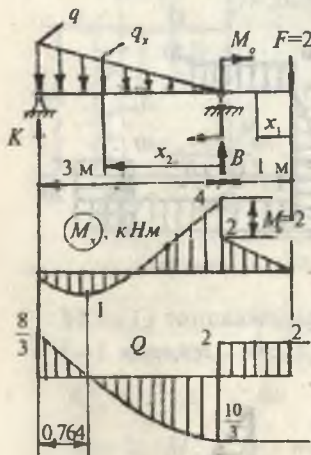
$$\sum M_K = F \cdot 4 + M_0 - B \cdot 3 + q \cdot 3 \cdot \frac{1}{2} \cdot \frac{1}{3} \cdot 3 = 0 \quad \text{ва} \quad B = \frac{16}{3} \kappa H$$

$$\sum M_B = K \cdot 3 - \frac{q \cdot 3}{2} \cdot \frac{2}{3} \cdot 3 + M_0 + F \cdot 1 = 0 \quad \text{ва} \quad K = \frac{8}{3} \kappa H$$

Текшириш:  $\sum y = K - q \cdot \frac{3}{2} + B - F = 0$

$$\frac{8}{3} - 4 \cdot \frac{3}{2} + \frac{16}{3} - 2 = 0$$

Эгувчи момент  $M_x$  ва күндаланг күч  $Q$  ни топиш учун балканинг узунлиги бўйлаб иккита оралиққа бўламиз. Оралиқлар бошланишини  $K$  нуқтадан ёки  $F$  күч қўйилиш нуқтасидан олиш мумкин:



149-расм.

$x_1$  — оралиқда юк юзаси баландлиги  $q_x$  га тенг тўғри тўртбурчакдан ва баландлиги булган  $q - q_x$  учбурчакдан иборат. Катта ва кичик учбурчакларнинг ўхшашлигидан  $\frac{q}{3} = \frac{q_x}{3 - x_1}$  ёки

$$q_x = q \cdot \frac{3 - x_1}{3} = q \left( 1 - \frac{x_1}{3} \right)$$

ифодани ҳисобга олсак,

$$Mx_1 = Kx_1 - q \left( 1 - \frac{x_1}{3} \right) \frac{x_1^2}{2} - \left[ \frac{q - q \left( 1 - \frac{x_1}{3} \right)}{2} \right] x_1 \cdot \frac{2}{3} x_1 = Kx_1 - q \frac{x_1^3}{2} +$$

$$+ q \frac{x_1^3}{6} - q \frac{x_1^3}{9} = Kx_1 - q \frac{x_1^3}{2} + q \frac{x_1^3}{18}$$

$$Q_1 = K - qx_1 + q \frac{x_1^2}{3} - \frac{\left[ q - q \left( 1 - \frac{x_1}{3} \right) \right]}{2} x_1 = K - qx_1 + q \frac{x_1^2}{6}$$

Эгувчи момент ва кўндаланг куч тенгламаларини балканинг куч қўйилган нуқтасидан бошлаб ҳам тузиш мумкин.

I—I қирқим.  $0 \leq x_1 \leq 1 \text{ m}$

$$\begin{aligned} M_{x_1} &= -Fx_1; & Q_1 &= F_1 = 2\kappa H; \\ x_1 &= 0; & M_{x_1} &= 0; & x_1 &= 1 \text{ m}; & M_{x_1} &= -2\kappa H \end{aligned}$$

II—II қирқим.  $0 \leq x_2 \leq 3 \text{ m}$

$$M_{x_2} = -F(1+x_2) - M_0 + Bx_2 - q_x \frac{x_2}{2} \cdot \frac{x_2}{3}; \quad Q_2 = F - B + q_x \frac{x_2}{2}$$

$q_x$  — ўзгарувчан интенсив юкни В таянчдан  $x_2$  масофада жойлашган қиймати бўлиб,  $\frac{q}{3} = \frac{q_x}{x_2}$  ёки  $q_x = q \cdot \frac{x_2}{3}$  ифода билан топилади.

$$M_{x_2} = -F(1+x_2) - M_0 + Bx_2 - q \frac{x_2^3}{18}; \quad Q_2 = F - B + q \frac{x_2^2}{6}$$

$$x_2 = 0; \quad M_2 = -4\kappa Hm; \quad Q_2 = -\frac{10}{3}\kappa H$$

$$x_2 = 1 \text{ m}; \quad M_{x_2} = -\frac{8}{9}\kappa Hm; \quad Q_2 = -\frac{16}{6}\kappa H$$

$$x_2 = 3 \text{ m}; \quad M_{x_2} = 0; \quad Q_2 = -\frac{8}{3}\kappa H; \quad Q = F - B + q \cdot \frac{x_2^2}{6} = 0$$

ёки  $x_2^2 = 5$ , демак,  $x_2 = 2,236 \text{ m}$  бўлса,

$$Q_2 = 0; \quad M_{x_2} = M_{\max} = 1\kappa Hm$$

### 6.3. ЭГИЛИШДА НОРМАЛ КУЧЛАНИШНИ АНИКЛАШ

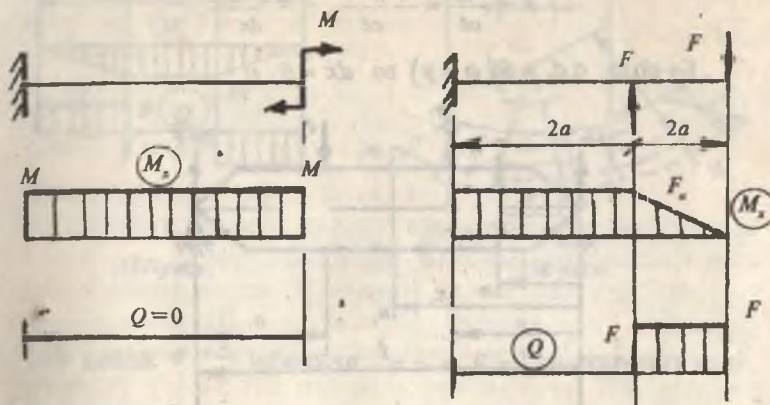
Эгилишда бруснинг кўндаланг кесим юзасида эгувчи момент ва кўндаланг куч ҳосил булади. Ўзаро тенг  $F$  кучлар билан юклangan балкани  $m - p$  кесимида пастга йуналган ички куч —  $Q$  таъсири қиласиди. Кўндаланг куч  $Q$  балкани кесилган юзасига  $m - p$  текисликка уринма бўлиб йўналган. Шунинг учун бу юзада уринма кучланиш  $\tau$  ҳосил бўлади (150-расм).

Вертикаль текисликда жойлашган  $C$  ва  $Q$  кучлари балкани  $X$  оралиқда  $M = CX$  жуфт куч моментини ҳосил қиласиди. Жуфт куч моменти  $M$  балкани  $m - p$  текислигидаги кесим юзасида нормал кучланишлар  $\sigma$  ни келтириб чиқаради.

Демак, балкани  $C$  таянчидан  $X$  масофада жойлашган кесим юзасида  $\tau$  ва  $\sigma$  кучланишлари ҳосил бўлиб, бу кучланишлар балканинг бир кесимидан иккинчи кесимида узатилади (150-расм).

Берилган балканинг  $m - p$  кесимидан нормал кучланиш  $\sigma$  ни топиш учун шу кесимдаги уринма кучланишнинг қийматини, унинг кесим юзасидаги тарқалиш хусусиятини билишимиз керак. Кесим юзасидаги  $\tau$  номаълум бўлганлиги учун нормал кучланишни балканинг бу кесимидағи кучланганлик ҳолатидан фойдаланиб топа олмаймиз, чунки  $\sigma$  ва  $\tau$  ўзаро боғланишда. Демак, иккита кучланишдан биттасини топиш учун уларнинг биттаси берилган бўлиши ёки нолга тенг бўлиши керак. Балканинг  $X$ , оралигидаги  $m - p$ , кесимида  $Q = C - F = F - F = 0$  ёки  $\tau = 0$  бўлганлиги учун бу кесимда фақат  $M = Fa$  эгувчи момент ёки нормал кучланишлар —  $\sigma$  таъсири қиласиди. Эгилишдаги кучланиш ҳолатининг кўндаланг куч нолга тенг бўлган хусусий ҳоли соф эгилиш дейилади. Соф эгилиш оралиқда эгувчи момент ўз қийматини ўзгартирмайди. Фақат  $M = Fa$  эгувчи момент (нормал кучланишлар —  $\sigma$ ) таъсири қиласиди. Эгилишдаги кучланиш ҳолатини кўндаланг куч нолга тенг бўлган хусусий ҳоли соф эгилиш дейилади. Соф эгилишда эгувчи момент ўз қийматини ўзгартирмайди ( $M = \text{const}$ ), кўндаланг куч эса нолга

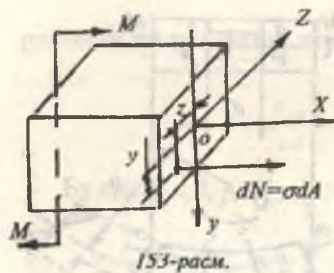
тенг ( $Q = 0$ ). Демак, уринма кучланиш нолга тенг бўлиб, фақат нормал кучланишлар таъсиридаги балканинг дефор-



мацияси соф эгилиш экан. Куйидаги балкалар соф эгилишда:

Нормал кучланиши соф эгилиш ҳолатидан фойдаланиб топамиз.

Бунинг учун куйидаги гипотезалардан фойдаланамиз: балканинг деформациясигача текис бўлган кундаланг кесим юзаси деформациядан кейин ҳам текислигича қолади (151-расм) ва бир-бирига нисбатан  $\theta$  бурчакка оғади: ўзаро параллел бўйлама чизиқлар эгриланади ва параллелигича қолади. Юқоридаги бўйлама чизиқлар сиқилади, пастдагилари эса чўзилади (тескари ҳолат ҳам мавжуд); балканинг материали Гук қонунига бўйсунади; чўзиладиган ва сиқиладиган толалар учун  $E = \text{const}$  деб қабул қилинади; толалар бир-бирига вертикал текисликда босим кўрсатмайди. Демак, 152-расмдаги ав чизиқ сиқилади, сд чизиқ эса чўзилади. Сиқиладиган ва чўзиладиган толалар орасидаги  $O_1 O_2$  тола чўзилмайди ҳам, сиқилмайди ҳам. Шунинг учун  $O_1 O_2$  толанинг узунлиги ўзгартмайди, яъни  $O_1 O_2 = O'_1 O'_2 = dx$ . Балканинг деформацияланishiда ўз узунлигини ўзгартирмайдиган тола нейтрал тола дейилади. Нейтрал тола билан кўндаланг кесимнинг кесишишидан ҳосил бўлган чизиқ нейтрал ўқ дейилади. 152-



Интеграл остидаги  $\frac{E}{\rho}$  киймат ўзгармас миқдор ва нолга тенг бұлмаганлиги учун уни интеграл ишораси олдига чиқарамыз ва бутун тенгликни шу қийматга қисқартырамиз. Үнда интеграл  $\int y dA = 0$  кесим юзаси-нинг нейтрал үқ ОZ га нисбатан статик моменти нолга тенгdir. Шунинг учун ОZ үқ кесим юзасининг оғирлик марказидан үтади.

Ички бўйлама куч ва момент  $M$  кесим юзаси у ва з ўқларига проекция бермайди. Шунинг учун  $\sum Z = 0$ ;  $\sum y = 0$  тенгламаларидан фойдаланмаймиз. Шунингдек,  $dN$  ва  $M$  кесим юзасини ОХ ва ОУ ўқларига нисбатан моментлари ҳам айниятга айланганлиги учун  $\sum M_x = 0$  ёки  $\sum M_y = 0$  тенгламаларидан фойдаланмаймиз. У ҳолда  $\sum M_z = 0$  тенгламани тузамиз:

$$M_z = \int dN \cdot y = \int \sigma \cdot dA \cdot y = \int \frac{E}{\rho} y^2 dA = \frac{E}{\rho} \cdot \int y^2 dA$$

Бу ифодадаги интеграл балка кесим юзасининг оз ўқса нисбатан инерция моментини билдиради —  $I_z = \int y^2 dA$ . У ҳолда:  $M_z = \frac{E}{\rho} \cdot I_z$  ни ҳосил қиласиз. Бу тенгликдан  $\frac{1}{\rho} = \frac{M_z}{EI_z}$  — нейтрал қатлам эгрилигини (6.6) формулага қўйиб эглища нормал кучланиш формуласини топамиз:

$$\sigma = \frac{M_z \cdot y}{I_z} \quad (6.7)$$

(6.7) формула балка кўндаланг кесим юзасида нейтрал ўқдан у масофадаги горизонтал чизиқда ётувчи исталган нуқтадаги кучланишни топиш учун ишлатилади. Агар,  $y = y_{\max}$  ва  $M_z = M_{\max}$  бўлса,

$$\sigma = \sigma_{\max} = \frac{M_{\max} \cdot y_{\max}}{I_z}, \quad \text{ёки} \quad \sigma_{\max} = \frac{M_{\max}}{\frac{I_z}{y_{\max}}} = \frac{M_{\max}}{W_z} \quad (6.8)$$

Бу ерда:  $W_z$  — кесимнинг оз ўққа нисбатан қаршилик моменти.

Эгилишда нормал кучланиш бўйича мустаҳкамлик шарти қўйидагида ёзилади:

$$\sigma_{\max} = \frac{M_{\max}}{W} \leq [\sigma] \quad (6.9)$$

(6.9) формула асосида, материаллар қаршилигига уч хил масала ечилиши мумкин:

1. Конструкцияга қўйилиши мумкин бўлган юкнинг ҳиймати топилади:  $M'_{\max} = [\sigma] \cdot W \text{ кН} \cdot \text{м}$

2. Конструкциянинг кесими танланади:  $W \geq \frac{M_{\max}}{[\sigma]}, \text{ м}^3$

3. Конструкциянинг мустаҳкамлик шарти текширилади:

$$\sigma_{\max} = \frac{M_{\max}}{W} \leq [\sigma]$$

Агар балканинг материали чўзилиш ва сиқилишга ҳар хил қаршилик кўрсатса, яъни  $[\sigma]_e \neq [\sigma]_c$  бўлса, у ҳолда:

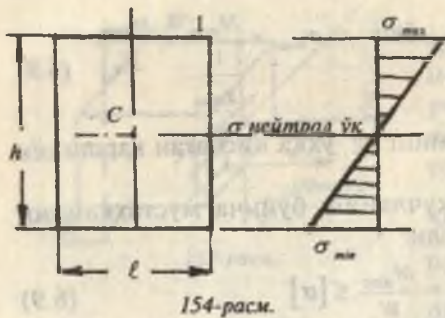
$$\sigma_{\max.e} = \frac{M_{\max}}{W_1} \leq [\sigma]_e, \quad \text{ва} \quad \sigma_{\max.c} = \frac{M_{\max}}{W_2} \leq [\sigma]_c \quad (6.10)$$

### 6.3.1. ТУРЛИ КЕСИМЛАР УЧУН НОРМАЛ КУЧЛаниШ ЭПЮРАСИ

1. Тўғри тўртбурчак (С нуқта кесимининг оғирлик маркази).

Мустаҳкамлик шарти:

$$\sigma_{\max_{\min}} = \frac{M_{\max}}{W_x} \leq [\sigma]; \quad W_x = \frac{bh^2}{6}$$



154-расм.

У ҳолда:

$$\frac{6M_{\max}}{bh^3} \leq [\sigma]$$

**2. Доира. Кесимнинг қаршилик моменти:**

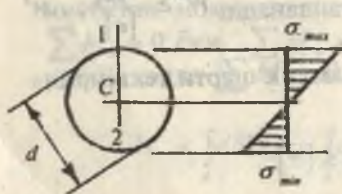
$$W_x = W_y = \frac{\pi \cdot d^3}{32}$$

**Мустаҳкамлик шарти:**

$$\text{тк } \sigma_{\min} = \frac{32M_{\max}}{\pi \cdot d^3} \leq [\sigma]$$

**3. Учбұрчак. Кесимнинг 1 ва 2-нүкталары нейтрал үқдан әнг узоқда жойлашған.**

**Қаршилик моментлар:**



155-расм.

$$W_x^1 = \frac{bh^2}{24} \text{ ба } W_x^{11} = \frac{bh^2}{12}$$

**Мустаҳкамлик шарти:**

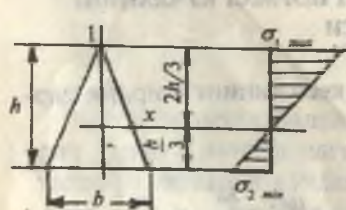
$$\sigma_{1\max} = \frac{M_{\max}}{W_x^1} \leq [\sigma]$$

$$\sigma_{2\min} = \frac{M_{\max}}{W_x^{11}} \leq [\sigma]$$

**4. Тұғыр бурчаклы құштавр.**

**Оғирлиқ маркази координатасы:**

$$y_1 = y_2 = \frac{H}{2}$$



156-расм.

$$W_x = \frac{dh^3}{6H} + \frac{b}{H}(H^3 - h^3),$$

$$W_y = \frac{d^3 h}{6b} + \frac{b^2}{6}(H - h)$$

$$\sigma_{1\max} = -\sigma_{2\max} = \frac{M_{\max}}{W_x} \leq [\sigma]$$

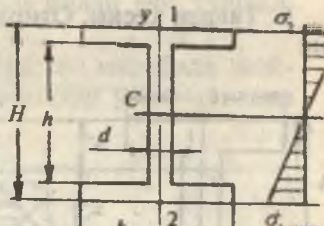
$$A = bc_1 + d(h + h_1) + BC$$

$$b_1 = b - d \quad B_1 = B - d;$$

$$y_1 = \frac{dH^2 + B_1 C^2 + b_1 C_1 (2H - C_1)}{dH + B_1 C + b_1 C_1}$$

$$I_y = \frac{1}{12} [B^3 C + b^3 C_1 + d^3 (h + h_1)]$$

$$I_x = \frac{1}{3} (By_1^3 - B_1 h^3 + by_1^3 - b_1 h_1^3);$$



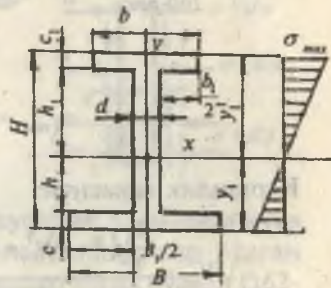
157-расм.

### 5. Трапеция.

Мустаҳкамлик шарти:

$$\sigma_{1\max} = \frac{M_{\max}}{W_x^I} \leq [\sigma]$$

$$\sigma_{2\max} = \frac{M_{\max}}{W_x^{II}} \leq [\sigma]$$



158-расм.

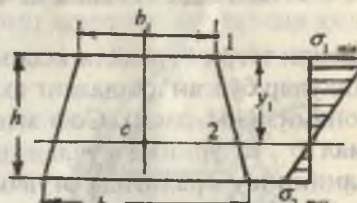
Тенг томонли бұлмаган трапеция учун қаршилик моменти ва С нүкта координаталари:

$$W_x^I = \frac{h^2(b^2 + 4bb_1 + b_1^2)}{12(2b + b_1)}; \quad W_x^{II} = \frac{h^2(b^2 + 4bb_1 + b_1^2)}{12(2b + b_1)}$$

Биринчи ва иккінчи нүкта координаталари:

$$y_1 = \frac{2b + b_1}{3(b + b_1)}$$

$$y_2 = \frac{b + 2b_1}{3(b + b_1)}$$

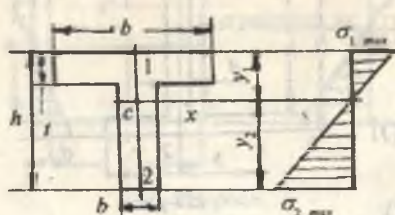


159-расм.

Юқори асоси  $b_1$  ва пастки асоси  $b = b_1 + b_0$  бұлған тенг томонли трапеция учун қаршилик моменти:

$$W_{x1} = \frac{h^2(6b_1^2 + 6b_1 b_0 + b_0^2)}{12(3b_1 + 2b_0)}; \quad y_1 = \frac{3b_1 + 2b_0}{3(2b_1 + b_0)} \cdot h$$

**6. Таврлы кесим. Оғирлик марқазининг координаталари:**



$$y_1 = \frac{1}{2} \frac{(B-b)t^2 + bh^2}{(B-b)t + bh}$$

$$y_2 = h - y_1$$

$$A = (B-b)t + bh$$

Мустаҳкамлик шарти:

$$\sigma_{1\max} = \frac{M_{\max}}{W_{x1}} \leq [\sigma] \text{ ва}$$

$$\sigma_{2\max} = \frac{M_{\max}}{W_{x2}} \leq [\sigma]$$

Қаршилик моменти:

$$W_{x1} = \frac{\frac{1}{3} [(B-b)t^3 + bh^3]}{y_1} - y_1 [(B-b)t + bh]$$

$$W_{x2} = \frac{\frac{1}{3} [(B-b)t^3 + bh^3] - y_1^2 A}{y_2}$$

#### 6.4. ЭГИЛИШДА УРИНМА КУЧЛАНИШНИ АНИҚЛАШ

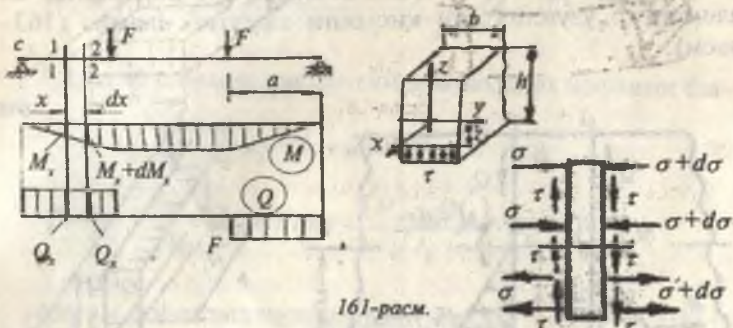
Шакли түгри бурчакли кесимнинг бўйлама ўқига перпендикуляр бўлган кўндаланг юзадаги уринма кучланиши топамиз (161-расм). Соф эгилишдан фарқли бу юзада нормал  $\sigma$  ва уринма кучланиш  $\tau$  ҳосил бўлади, чунки балканинг шу оралиғида эгувчи момент ҳам, кўндаланг куч ҳам нолга teng эмас.

Уринма кучланиш түгрисида қуйидаги фикрларни юритамиш:

1. Кўндаланг куч  $Q$  барча ички уринма кучланишларнинг teng таъсир қилувчиси. Уринма кучланишларнинг

йўналиши кўндаланг куч йўналиши билан мос тушади. (161-расм).

2. Кесимнинг нейтрал ўқидан бир хил масофада жойлашган юзалардаги уринма кучланишлар ўзаро тенгдир (161-расм).

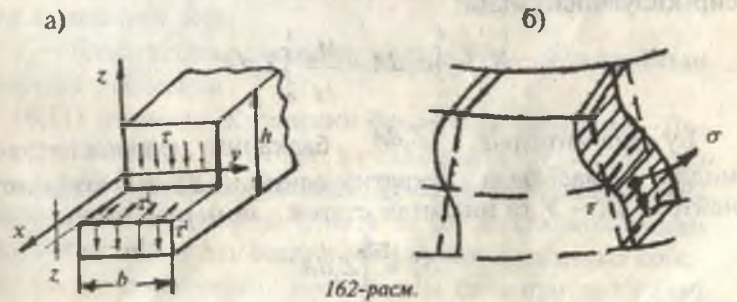


3. Уринма кучланишларнинг жуфтлик аломатига кўра балканинг кўндаланг кесимида перпендикуляр бўлган бўйлама кесимида уринма кучланишлар ҳосил бўлади (162-а расм), яъни:  $\tau = -\tau'$ .

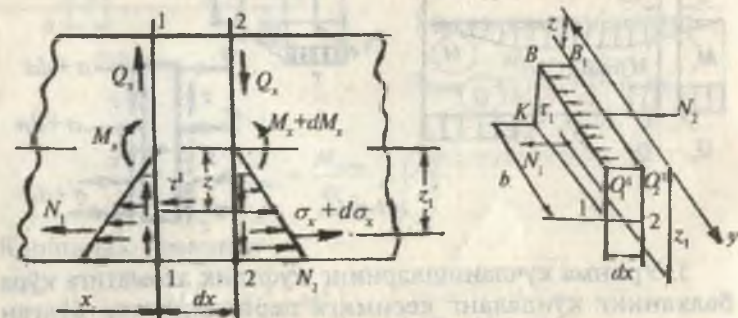
Демак, балканинг бўйлама ўқи йўналишида ҳам уринма кучланишлар —  $\tau'$  ҳосил бўлар экан, улар балка толаларини бир-бирига нисбатан силжитади.

4. Текис кўндаланг эгилиш гипотезасига асосан деформациягача текис бўлган кўндаланг кесим юзалар деформациядан кейин қисман эгриланади (162-б расм).

Кўндаланг кесимнинг бундай қисман эгриланиши нормал кучланишнинг тарқалиш қонуниятига таъсир қил-



майди, шунинг учун эгилишда уринма кучланишни топишда толаларнинг силжиши гипотезаси ҳисобга олинмайди. Эгилишда уринма кучланиш формуласини келтириб чиқариш учун, балкани С таянч нуқтасидан X ва кесимнинг нейтрал қатламидан Z масофада жойлашган dx элементтар узунликдаги қисмини ажратиб оламиз (163-расм).



163-расм.

Ажратиб олинган түғри бурчакли элементнинг горизонтал  $BB_1O'_1O'_2$  юзаси  $\tau'$  уринма кучланишлари; вертикаль  $BKO'_1$  юзаси  $N_1$  ва унга параллел юзада  $N_2$  ички буйлама кучлари таъсирида бўлади (163-расм).  $BB_1O'_1O'_2$  юзадаги  $\tau'$  уринма кучланишларнинг тенг таъсир қилувчиси  $dT = \tau' b dx$  балкани буйлама ўқига параллел йўналди.  $BO'_1$  қиррага таъсир қилаётган  $N_1$  буйлама куч  $BKO'_1$  юзадаги  $\sigma_x$  нормал кучланишларнинг тенг таъсир қилувчиси, яъни:

$$N_1 = \int_0^A \sigma_x dA = \frac{M_x}{I_y} \int_0^A Z_1 dA$$

Бу ерда интеграл  $\int_0^A Z_1 dA$  балканинг нейтрал қатламидан Z масофада ажратиб олинган  $BKO'_1$  юзанинг нейтрал ўқ — Y га нисбатан статик моменти, яъни:

$$S_y^0 = \int_0^A Z_1 dA$$

У ҳолда  $N_1 = \frac{M_x}{I_y} \cdot S_y^0$  ҳосил бўлади.  $B_1O_2'$  қиррага таъсир қилаётган  $N_2$  ички бўйлама куч  $\sigma_x + d\sigma_x$  нормал кучланишларнинг тенг таъсир қилувчиси, яъни:

$$N_2 = \int_0^A (\sigma_x + d\sigma_x) dA = \frac{M_x + dM_x}{I_y} \int_0^A Z_1 dA = \frac{M_x + dM_x}{I_y} S_y^0$$

Ажратиб олинган элементнинг мувозанат шартини ёзмиз:

$$\sum x = N_1 + dT - N_2 = 0 \text{ ёки}$$

$$\frac{M_x}{I_y} \cdot S_y^0 + \tau^1 b dx - \frac{(M_x + dM_x)}{I_y} \cdot S_y^0 = 0$$

Айрим соддалаштиришлардан кейин:  $\tau = \frac{dM_x}{dx} \cdot \frac{S_y^0}{I_y \cdot b}$  ҳосил бўлади. Агар,  $\frac{dM_x}{dx} = Q_x$  дифференциал боғланиши ҳисобга олсак, эгилишда уринма кучланиш формуласи келиб чиқади:

$$\tau = \frac{Q_x \cdot S_y^0}{I_y \cdot b} \quad (6.11)$$

Бу ерда:  $S_y^0$  — ажратиб олинган элементнинг  $BKO_1'$  юзасини, яъни балканинг нейтрал ўқидан  $Z$  масофадан пастда ва балка кесимининг четки 1 нуқтасидан юқорида қолган  $BKO_1'$  юзасини нейтрал ўқ — Уга нисбатан статик моменти;

$b$  — кучланиши текширилаётган нуқта жойлашган кесим юзасининг эни;

$I$  — балка кесим юзасининг нейтрал ўқ — Уга нисбатан инсерция моменти.

(6.11) формула Журавский формуласи дейилади. Демак, эгилишда уринма кучланиш ( $Q_x = const$  ва  $I_y = const$ ) кесимнинг баландлиги бўйлаб кучланиши текширилаётган нуқтанинг ўрнига ва шу нуқта жойлашган кесимнинг эни —  $b$  га боғлиқ экан. Амалиётда ҳамма конструкция қисмларининг кесими ҳам баландлиги бўйлаб

үзгармас энли бўлавермайди. Ўзгарувчан энли кесимларда т кесим энининг ўзариш нуқтасида икки хил қийматга эга бўлади.

(6.11) формулага асосан т кесимнинг баландлиги бўйлаб эгри чизиқли қонуният билан ўзгаради. 164-расмдан кўринишича,  $Z$  масофа қанчалик кичик бўлса,  $BKO_1'$  юза шунча катталашади. Демак, кучланиши текширилаётган нуқта нейтрал ўққа яқинлашса, ундаги уринма кучланиш т ҳам катталашар экан. Агар, кучланиши текширилаётган нуқта  $B$  ёки  $O'$  нуқталар нейтрал ўқдан энг узоқда жойлашса, яъни  $B$  нуқта 1 нуқта билан устма-уст тушса, унда ажратилган элементнинг юзаси нолга тенг бўлади,  $BKO_1'$  юзани  $Y$  ўқига нисбатан статик моменти ҳам нолга тенг бўлади. Демак,  $Z = Z_{\max}$  нуқтада, яъни кесимнинг четки нуқтасида уринма кучланиш нолга тенг бўлар экан.

Юқоридаги фикрларга асосан уринма кучланиш кесимнинг нейтрал қатламида энг катта қийматга ва кесимнинг четки нуқталарида ноль қийматга эришар экан.

#### 6.4.1. ЖУРАВСКИЙ ФОРМУЛАСИНИ ТУРЛИ КЕСИМЛАРГА ТАТБИҚ ЭТИШ

##### 1. Тўғри тўртбурчак.

Уринма кучланишнинг тарқалиш қонуниятини аниклаш учун Журавский формуласидан фойдаланамиз:

$$\tau = \frac{QS_y^0}{I_y b}$$

Бу ерда:  $S_y^0$  — тўғри тўртбурчакнинг кесим юзасидан ажратилган ВКСД штрихланган юзанинг  $Y$  ўқига нисбатан статик моменти, яъни:

$$S_y^0 = A_{BKO_1} \cdot Z_1$$

$A_{BKO_1} = b \left( \frac{h}{2} - Z \right)$  — ажратилган ВКСД штрихланган юза.

$$Z_1 = \frac{h}{2} - \frac{1}{2} \left( \frac{h}{2} - Z \right) - \text{ажра-}$$

тилган ВКСД юзанинг оғирлиқ марказидан нейтрал ўқигача бўлган масофа. У ҳолда:

$$\begin{aligned} S_y^0 &= b \left( \frac{h}{2} - Z \right) \left[ \frac{h}{2} - \frac{1}{2} \left( \frac{h}{2} - Z \right) \right] = \\ &= \frac{b}{2} \left( \frac{h^2}{4} - Z^2 \right) \end{aligned}$$

$I_y = \frac{bh^3}{12}$  — тўғри тўртбурчакнинг марказий ўқига нисбатан инерция моменти.

$$\text{У ҳолда: } \tau = \frac{Q \cdot \frac{b}{2} \left[ \frac{h^2}{4} - Z^2 \right]}{\frac{bh^3}{12} \cdot b} = \frac{6Q \left[ \frac{h^2}{4} - Z^2 \right]}{bh^3} \quad (6.12)$$

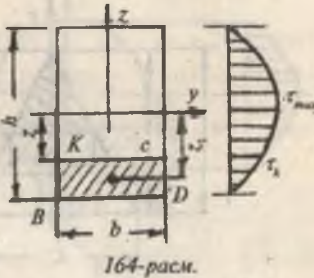
Бу ерда:  $0 \leq Z \leq \frac{h}{2}$ . Агар  $Z = 0$  бўлса,  $\tau = \tau_{\max} = \frac{3Q}{2bh}$  ва  $Z = \frac{h}{2}$  бўлса,  $\tau = 0$ .

(6.12) формулада  $Z$  масофа иккинчи даражада, шунинг учун тўғри тўртбурчакнинг баландлиги бўйлаб парабола қонунияти билан ўзгаради, тўғри тўртбурчакнинг четки нуқталарида т ноль қийматга ва нейтрал қатламида энг катта қийматга эришади.

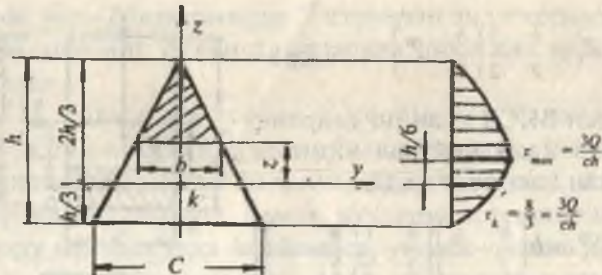
2. Учбурчак. Учбурчакдан ажратилган (штрихланган) юзанинг  $Y$  ўқига нисбатан статик моментини ёзамиз:

$$S_y^0 = \frac{b}{3} \left( \frac{2h}{3} - Z \right) \left( \frac{h}{3} + Z \right)$$

Учбурчакнинг оғирлиқ марказидан ўтган ўқ  $Y$  га нисбатан инерция моменти —  $I_y = \frac{ch^3}{36}$  ни ва статик моментни Журавский формуласига келтириб қўямиз:



164-расм.



165-расм.

$$\tau = \frac{QS_y^0}{I_y b} = \frac{Q \cdot \frac{b}{3} \left( \frac{2h}{3} - Z \right) \left( \frac{h}{3} + Z \right)}{\frac{ch^3}{36} b} = \frac{12Q \left( \frac{2h}{3} - Z \right) \left( \frac{h}{3} + Z \right)}{ch^3}$$

Бу ерда:  $-\frac{h}{3} \leq Z \leq \frac{2h}{3}$

Агар:  $Z = -\frac{h}{3}$  бўлса,  $\tau = 0$  (пастки четки нуқта)

$Z = \frac{2h}{3}$  бўлса,  $\tau = 0$  (юқори четки нуқта)

$Z = 0$  бўлса,  $\tau = \frac{8}{3} \cdot \frac{Q}{ch} = \tau_k$

$Z = \frac{h}{6}$  масофада  $\tau = \tau_{\max} = \frac{3Q}{ch}$

Демак, учбурчаксимон кесимларда уринма кучланиш нейтрал қатламдан  $\frac{h}{6}$  масофада жойлашган нуқтада максимал қийматга эришар экан.

**3. Доиравий кесим.** Нейтрал қатламдан  $Z$  масофада (166-расм) жойлашган  $B$ ,  $K$  нуқталардаги уринма кучланиши топамиз. Бу нуқталардаги уринма кучланишлар доиравий кесимнинг шу нуқтасидаги уринма текислик билан бир хил йўналишда бўлади ва  $Z$  ўқи билан  $C$  нуқтада кесишади.

*B* ва *K* нүқталардаги  $\tau$  уринма кучланишларни  $\tau_1$  ва  $\tau_2$  кучланишларига ажратиш мүмкін. Кесимнинг *B* ва *K* нүқталаридаги горизонтал уринма кучланишлари ( $\tau_2$ ) ўзаро мувозанатлашади,  $\tau_1$  уринма кучланишларининг йигиндиси эса күндаланг күч — *Q* га тенглашади.

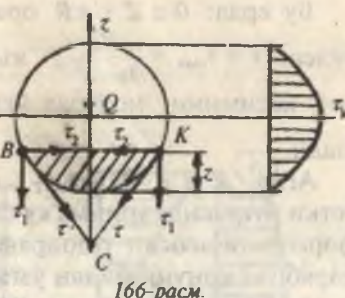
Демак, доиравий кесимдаги  $\tau_1$  уринма кучланишлари тұғри бурчаклы кесимдаги тұлиқ уринма кучланиш —  $\tau$  билан бир хил функцияда бұлар экан. Шунинг учун доиравий кесимлардаги уринма кучланишни топиш учун ҳам Журавский формуласидан фойдаланамиз, яъни:

$$\tau = \frac{QS_y^0}{I_y b} \quad (6.13)$$

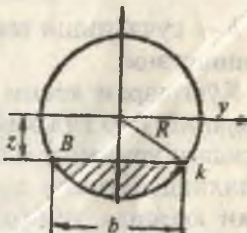
Бу ерда:  $S_y^0$  — доиравий кесимнинг *Z* масофа ва кесимнинг четки нүктаси билан чегараланған ажратилған юзасининг нейтрал үққа нисбатан статик моменти.

$$S_y^0 = \frac{2}{3} (R^2 - Z^2)^{\frac{3}{2}} \quad \text{ва} \quad b = 2\sqrt{(R^2 - Z^2)}$$

Доиравий кесимнинг нейтрал үққа нисбатан инерция моменти:  
 $I_y = \frac{\pi \cdot R^4}{4}$  ажратилған юзасининг статик моменти  $S_y^0$  ва кесимнинг эни  $b$  ни (6.13) формулага келтириб күйамиз:



166-расм.



167-расм.

$$\tau = \frac{Q \frac{2}{3} (R^2 - Z^2)^{\frac{3}{2}}}{\frac{1}{4} \pi \cdot R^4 \cdot 2\sqrt{(R^2 - Z^2)}} = \frac{4Q}{3\pi \cdot R^4} (R^2 - Z^2) \quad (6.14)$$

Бу ерда:  $0 \leq Z \leq \pm R$  оралиқда үзгаради. Агар,  $Z = 0$  бўлса,  $\tau = \tau_{\max} = \frac{4Q}{3\pi \cdot R^2}$ , яъни уринма кучланиш доиравий кесимнинг нейтрал ўқида максимал қийматга эришади.

Агар,  $Z = R$  бўлса,  $\tau = 0$ , яъни доиравий кесимнинг четки нуқтасида уринма кучланиш нолга тенг бўлади. (6.14) формулага асосан  $\tau$  доиравий кесимни диаметри бўйлаб парабола қонуни билан үзгарар экан (168-расм).

**4. Кўштаврли кесим.** Кўштаврли кесим оддий тўғри тўртбурчаклардан ташкил топган деб қаралса ҳам бўлади. Шунинг учун кўштаврли кесимнинг нейтрал ўқидан  $Z$  масофада жойлашган нуқтасининг уринма кучланишини ҳам Журавский формуласи билан аниқлаш мумкин:

$$\tau = \frac{QS_y^0}{I_y b(d)} \quad (6.15)$$

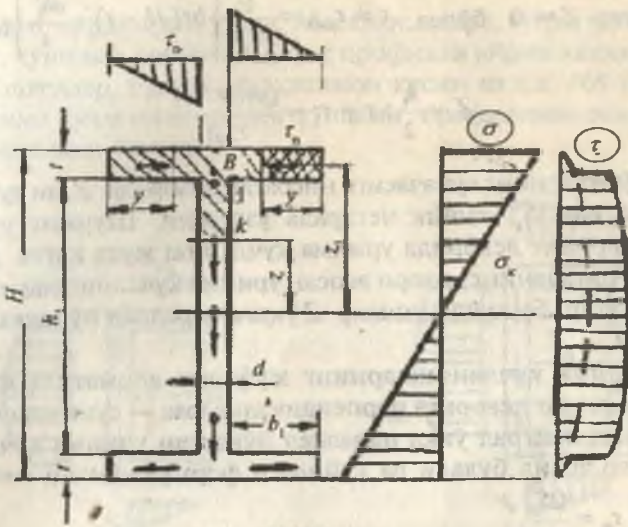
Бу ерда:  $S_y^0$  — нейтрал ўқдан  $Z$  ва кўштаврли кесимнинг четки нуқталари оралиғида қолган юзанинг нейтрал ўқ —  $Y$  га нисбатан статик моменти (168-расм):

$$\tau_B = \frac{QI(h-i)}{2I_y}; \quad \tau_l = \frac{QI(h-i)b}{2I_y \cdot d}$$

$b$  — кучланиши текширилаётган нуқта жойлашган кесимнинг эни.

Кўштаврли кесим супачасининг эни бўйлаб уринма кучланиш бир хил эмас. Шунинг учун қўштаврнинг супачасидаги уринма кучланиш Журавский формуласи билан топилиши мумкин эмас. Кўштавр супачасининг  $Z$  ўқига яқин юзасида уринма кучланиш тахминан эгри чизик қонуни билан тарқалади деб қабул қилиш мумкин ( $\tau$  — эпюрасидаги пункттир чизик).

Кўштаврнинг супачаси нейтрал ўқдан узоқ масофада жойлашганлиги учун бу юза асосан нормал кучланишлар таъсирида бўлади (168-расм,  $\sigma$  — эпюраси). Кўштавр деворий қисмидан нейтрал ўқка яқинлашган сайин нормал кучланиш кичиклашиб келади ва нейтрал ўқ устида  $\sigma = 0$ .



168-расм.

Күштавр деворининг  $K$  нуқтасидаги уринма кучланиши топиш учун штрихланган (168-расм) юзанинг статик моментини ёзамиз:

$$S_y^0 = bt \left( \frac{H-t}{2} \right) + \frac{d}{2} \left( \frac{h_1^2}{4} - Z^2 \right)$$

Уринма кучланиши:

$$\tau = \frac{Q}{2I_y d} \left[ bt(H-t) + d \left( \frac{h_1^2}{4} - Z^2 \right) \right] \quad (6.16)$$

Бу ерда:  $I_y = \frac{dh_1^3}{12} + 2 \left[ \frac{bt^3}{12} + bt \left( \frac{H-t}{2} \right)^2 \right]$  — күштавр кесимнинг эни.

Мининг нейтрал үқ —  $Y$  га нисбатан инерция моменти;  $d$  — кучланиш текширилаётган нуқта жойлашган кесимнинг эни.

(6.16) формуласынан күштавр деворининг баландлиги бўйлаб  $\tau$  парабола қонунияти билан ўзгарар экан (168-расм, т эпюраси).

$$\text{Агар } Z = 0 \text{ бўлса, } \tau = \tau_{\max} = \frac{Q}{2I_y d} \left[ bt(H-t) + \frac{dh_1^2}{4} \right] \text{ ва}$$

$$Z = \frac{h_1}{2}; \quad \tau = \tau_1 = \frac{Qbt(H-t)}{2I_y d}$$

Кўштаврнинг супачасига нисбатан деворида  $Z$  ни турли қийматида  $S_y^0$  кичик чегарада ўзгаради. Шунинг учун кўштаврнинг деворида уринма кучланиш жуда катта. Демак, кўштаврнинг девори асосан уринма кучланишлар таъсиридадир. Бу кучланишлар  $Z$  ўқига параллел йўналишда бўлади.

Уринма кучланишларнинг жуфтлик аломатига кўра кўштаврнинг деворига перпендикуляр юза — супачада ҳам кесимни нейтрал ўққа параллел йўналган уринма кучланишлар ҳосил бўлади ва қуйидаги формула билан топилилади:  $\tau_n = \frac{QS_y^0}{I_y f_n}$ .

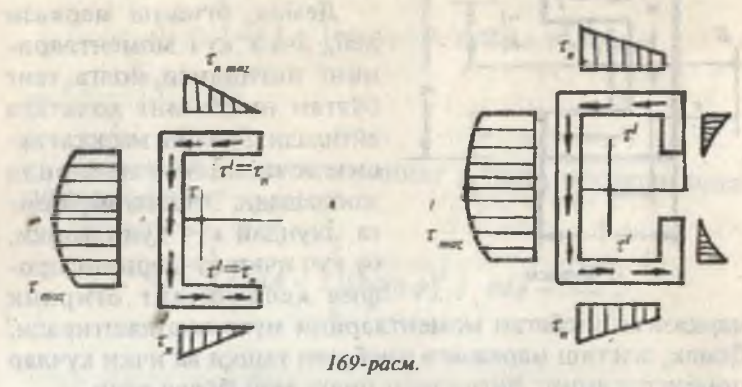
Кўштавр супачасидан ажратиб олинган у узунликдаги штрихланган юзанинг статик моментини топамиз (168-расм):  $S_y^0 = yt \frac{H-t}{2}$ .

$$\text{Шунинг учун: } \tau_n = \frac{Qy(H-t)}{2I_y} \quad (6.17)$$

(6.17) формулада у биринчи даражада бўлганлиги учун  $\tau_n$  супачанинг узунлиги бўйлаб тўғри чизиқли қонуният билан ўзгаради.  $y = 0$  бўлса,  $\tau = 0$  ва  $y = b$ ;  $\tau_{n\max} = \frac{Qh_1(H-t)}{2I_y}$ . Демак,  $\tau_n$  кўштавр супачасининг  $Z$  ўққа яқин юзасида энг катта қийматга эга экан (168-расм,  $\tau_n$  эпюраси). Айрим кесимлар учун уринма кучланиш эпюраси 169-расмда кўрсатилган.

Олдинги мавзуда турли кесимларда уринма кучланишлар тўпламининг ҳосил бўлишини кўриб чиқдик. Айрим профилларда уринма кучланишларнинг оқими кесим юза-

сининг марказидан ўтади. Масалан: доира, түрги түртбұрач, құштавр, учурчак. Очиқ профилли айрим кесимларда (швейлср, бурчак, ұлқасимон кесим ва ҳ.к. 169-расм) уринма кучланишларнинг түплами профилнинг оғирлик марказидан ўтмайды.



### ЭГИЛИШ МАРКАЗИ

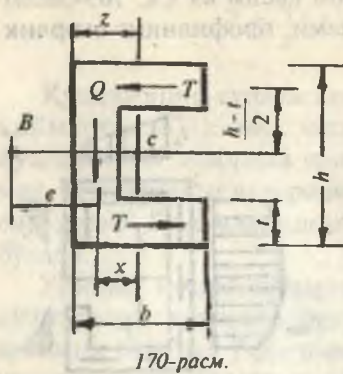
Кучланишлар түплами кесимнинг оғирлик марказига нисбатан  $M_\delta$  момент ҳосил қиласы:  $M_\delta = QX + T(h-t)$ , бу ерда:  $x = Z_0 - \frac{d}{2}$ .

$$T = \frac{\tau_{\max,n} + 0}{2} tb_1 = \frac{Qb_1^2(h-t)}{4I_y} t$$

$M_\delta$  — буровчи момент таъсирида очиқ профилли элемент буралади. Натижада элемент эгилиш билан бирга буралишга ҳам учрайди. Очиқ профилли элементнинг кучланғанлық ҳолати мұракаблашади. Агар уринма кучланишларнинг тенг таъсир құлувчилари  $Q$  — құндаланг күч ва  $T$  — тангенциал күчларнинг кесимдән ташқаридаги бирор нүктеге нисбатан моментларини нолға тенглаштириб,  $M_\delta$  буровчи моментни мувозанатлаштирилса, очиқ профилли элементнинг буралишини чеклаб қўйиш мумкин:

$$\sum M_\delta = Q\ell - T(h-t) = 0, \text{ бу ерда:}$$

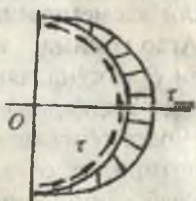
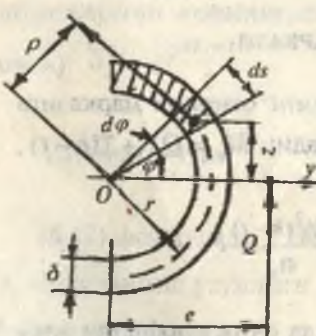
$$\ell = \frac{T(h-t)}{Q} = \frac{\frac{h^2}{4}(h-t)(h-t)}{4I_x} t \quad (6.18)$$



марказига нисбатан моментларини мувозанатлаштиради. Демак, эгилиш марказига нисбатан ташқи ва ички кучлар моментларининг йифиндиси нолга тенг бўлар экан.

Бу нуқта эгилиш маркази дейилади ва  $Q$  кўндаланг кучдан  $\ell$  масофада жойлашади.

Демак, эгилиш маркази деб, ички куч моментлари-нинг йифиндиси нолга тенг бўлган нуқтанинг ҳолатига айтилади. Эгилиш маркази кесим юзасидан ташқарига жойлашади. Эгилиш марказига шундай куч қўйиладики, бу куч ички кучларнинг профил кесимининг оғирлик



171-расм.

**Масала.** Вертикал текисликда эгилишга учрайдиган юпқа де-ворли ҳалқасимон кесимли бал-канинг оғирлик марказини топинг. Ярим ҳалқасимон кесимнинг радиуси  $r = 25$  см, қалинлиги  $\delta = 0,25$  см.  $Q = 70$  кН кўндаланг куч таъсиридан кесимнинг уринма кучланиш эпюрасини қуринг (171-расм).

**Ечиш.** Кесимдаги барча уринма кучларнинг тенг таъсири қилувчисини кўндаланг куч  $Q$  деб қабул қиласиз. Ярим ҳалқасимон кесимдан ажратилган элементар юзачадаги уринма куч:  $dT = \tau \cdot dA = \tau \cdot \delta \cdot dS$  ни  $O$  нуқтага нисбатан моменти  $Q$  кучнинг шу нуқтага нисбатан моментига тенг бўлади, яъни:

$$Q\ell = \int_s dT \cdot \rho = \int_s \tau \cdot \delta \cdot dS \rho = \int_{I_y \delta}^s Q S_y^0 \delta \cdot \rho \cdot dS$$

Чизмадан  $\rho = r$ ;  $dS = rd\phi$  ва ажратилган элементар юзанинг у ўқига нисбатан статик моменти:

$$S_y^0 = \int_z^s Z dA = \int_0^{\frac{\pi}{2}} r \sin \varphi \cdot \delta \cdot r \cdot d\phi = r^2 \delta \cos \varphi$$

ва  $\ell = \frac{1}{I_y} \int_y^s S_y^0 \rho \cdot dS$

Ярим ҳалқасимон кесимнинг у ўқига нисбатан инерция моменти:

$$I_y = \int Z^2 dA = 2 \int_0^{\frac{\pi}{2}} (r \sin \varphi)^2 \delta \cdot r d\phi = \frac{\pi \cdot r^3 \delta}{2}$$

$$\text{У ҳолда: } \ell = \frac{1}{I_y} \int_y^s S_y^0 \rho dS = \frac{2}{I_y} \int_0^{\frac{\pi}{2}} r^2 \delta \cos \varphi \cdot r \cdot r d\phi = \frac{2r^4 \delta}{I_y} = \frac{4r}{\pi}$$

Демак, ярим ҳалқасимон кесимнинг эгилиш маркази  $O$  нуқтадан  $\ell = \frac{4r}{\pi}$  масофада жойлашган С нуқтада бўлади.

Кесимнинг исталган нуқтасидаги уринма кучланишни топамиз:  $\tau = \frac{QS_y^0}{I_y \delta} = \frac{Q \cdot r^2 \cos \varphi}{I_y} = \frac{2Q \cos \varphi}{\pi \cdot r \delta}$

Энг катта уринма кучланиш:

$$\tau_{\max} = \frac{2Q}{\pi \cdot r \delta} = \frac{2 \cdot 7000}{3,14 \cdot 25 \cdot 0,25} = 715 \text{ кг/см}^2$$

Кесилган ҳалқа учун  $\ell$  ни топамиз:

$$S_y = r^2 \delta (1 - \cos \varphi)$$

$$I_y = \pi \cdot r^3 \delta$$

У ҳолда:  $\ell = 2r$  ҳосил бўлади.



172-расм.

## 6.5. БАЛКАЛАР МУСТАҲКАМЛИГИНИ БОШ КУЧЛАНИШЛАР БҮЙИЧА ТЕКШИРИШ

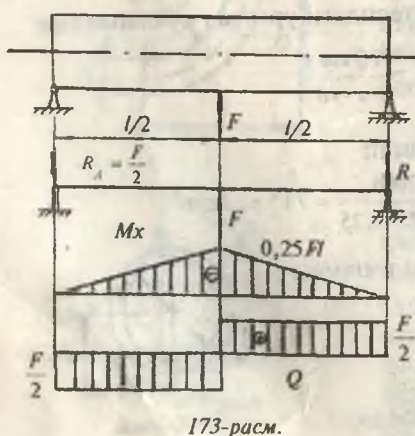
Эгилаётган балканинг күндаланғ кесим юзасида нормал с ва уринма кучланиш т ҳосил булишини күриб үтган эдик. Нормал кучланишнинг энг катта қиймати балка кесимининг нейтрал ўқидан энг узоқда жойлашган нұқталарида, яъни кесимнинг четки нұқталарида ҳосил булади. Бу нұқталарда уринма кучланиш нолга teng. Уринма кучланиш энг катта қийматга эришган балканинг нейтрал қатламида жойлашган материалда нормал кучланиш нолга teng. Шунинг учун кесимнинг нейтрал ўқидан энг узоқда жойлашган толаларининг мустаҳкамлиги нормал кучлаништар бүйича таъминланади:

$$\sigma_{\max} = \frac{M_{\max}}{W} \leq [\sigma]$$

Балка кесимининг нейтрал қатламида жойлашган материалнинг мустаҳкамлиги эса уринма кучланишлар бүйича таъминланади:

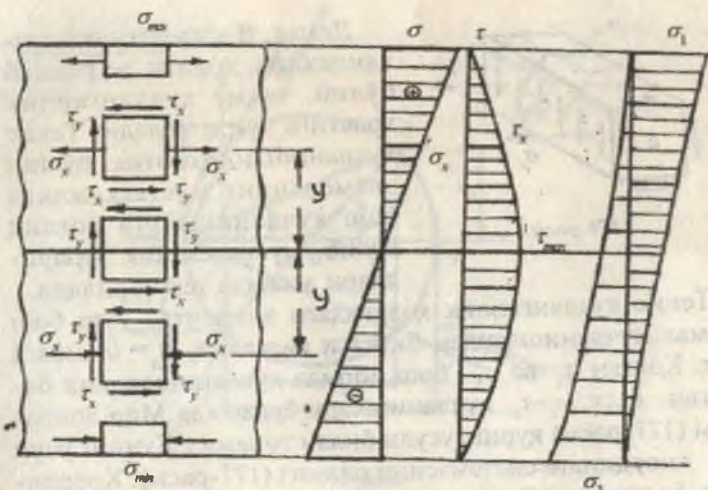
$$\tau_{\max} = \frac{Q_{\max} \cdot S_{\max}}{I_y d} \leq [\tau]$$

Балка кесимининг нейтрал ўқидан  $U$  масофада жойлашган материалнинг (ажратилған В элемент, 174-расм)



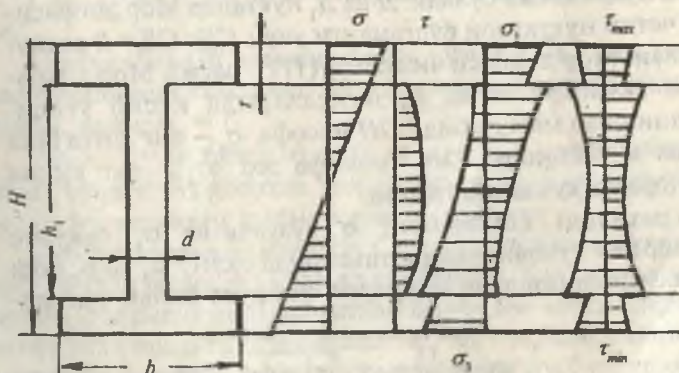
мустаҳкамлигини нормал кучланишлар бүйича ҳам, уринма кучланишлар бүйича ҳам таъминлаш мумкин эмас.

Чунки В элементда с ва т лар нолдан фарқли бүлгандылық учун бу элементнинг мустаҳкамлиги юқорида көлтирилған зекишишдеги нормал ва уринма кучланишлар бүйича мустаҳкамлик шартларига бүйсунмайди.

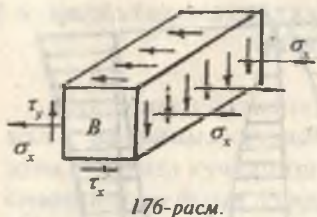


174-расм.

Ажратылған  $B$  элементтің олд қисми — балканинг ён сиртига устма-уст тушади ва бу юза нормал ва уринма күчланишлардан озод, шунинг учун бу юзача бош юза.  $B$  элементтің вертикаль юзалари  $\sigma_1$  ва  $\tau$ , күчланишлари, горизонтал юзасы эса фәқат  $\tau_x$  уринма күчланиши таъсирида бўлади.



175-расм.



176-расм.

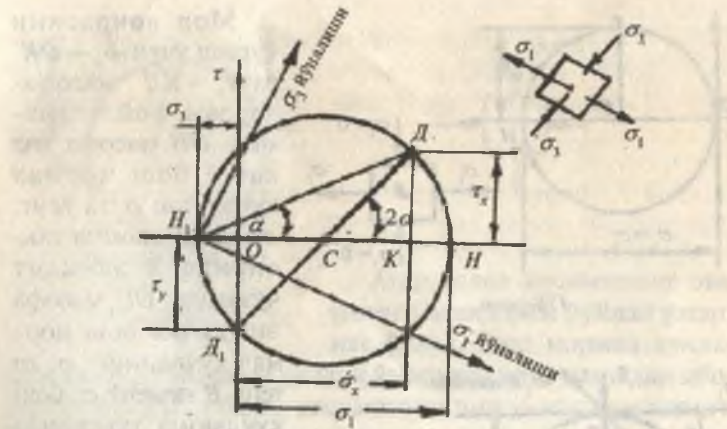
Демак, В элементнинг кучланганлик ҳолати мураккаб бўлиб, текис кучланганлик ҳолатига тўғри келади. Текис кучланганлик ҳолатида бўлган элементнинг мустаҳкамлиги бош кучланишларга bogлиқ бўлиб, мустаҳкамлик назариялари асосида текширилади.

Текис кучланганлик ҳолатидаги элементда учта бош нормал кучланишлардан биттаси (масалан,  $\sigma_x = 0$ ) нолга teng. Колган  $\sigma_1$  ва  $\sigma_3$  бош нормал кучланишларини берилган  $\sigma_x; \tau_x = -\tau_y$ , кучланишлари ёрдамида Мор доирасини (177-расм) қуриш усули билан топамиз. Бунинг учун  $\sigma_{xy}$  координата системасини оламиз (177-расм). Координата бошидан ( $O$  нуқтадан) кучланишлар масштабида  $\sigma_x = OK$  масофа,  $K$  нуқтадан  $\sigma$  ўқига перпендикуляр текисликда мусбат ишорали уринма кучланиш  $\tau_x = KD$  жойлаштирилади. В элементнинг горизонтал юзадаги нормал кучланиш  $\sigma = 0$  бўлганлиги учун бу нормал кучланиш  $\sigma_{xy}$  координата системасининг нуқтасида жойлашади.

$O$  нуқтадан  $\tau$  ўқининг манфий томонига  $\tau_y = OD_1$ , кучланишини жойлаштириб,  $D_1$  нуқтани ҳосил қиласиз.  $D$  ва  $D_1$  нуқталарни бирлаштиrsак, Мор доирасининг маркази  $C$  нуқта ҳосил бўлади.  $D$  ва  $D_1$  нуқталар Мор доирасининг четки нуқталари бўлганлиги учун  $CD = CD_1 = R$  радиуси билан Мор доираси чизилади (177 - расм). Мор доираси  $\sigma$  ўқининг  $H$  ва  $H_1$  нуқталарида кесиб ўтади. Кучланишлар масштабида  $OH$  масофа  $\sigma_1$  — энг катта бош нормал кучланишга,  $OH_1$  масофа эса  $\sigma_3$  — энг кичик бош нормал кучланишга teng.

Ажратилган ( $B$ ) элемент  $\sigma_1$  чўзувчи ва  $\sigma_3$  сикувчи бош нормал кучланишлари таъсирида экан.  $\sigma_1$  ва  $\sigma_3$  бош нормал кучланишлари қўйидаги формула билан топилади:

$$\sigma_{1,3} = \frac{1}{2} \left[ \sigma_x \pm \sqrt{\sigma_x^2 + 4\tau_x^2} \right] \quad (6.19)$$



177-расм.

(6.19) формуладан күринишича,  $\sigma_1$ , ва  $\sigma_3$ , бош нормал күчланишлари  $\sigma_x$  ва  $\tau_x = -\tau_y$ , күчланишларининг қийматларига боғлиқ экан.  $\sigma_x$  нормал ва  $\tau_x = -\tau_y$ , уринма күчланишлари эса  $-B$ - элемент балка кесимининг нейтрал қатламидан қандай масофада ( $y$ ) жойлашишига боғлиқ.

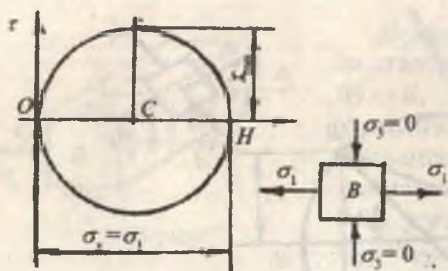
Агар,  $y = y_{\max}$  бўлса,  $\sigma_x = \sigma_{\max}$  ва  $\tau_x = 0$

У ҳолда Мор доираси 178-расмдаги күринишида бўлади.

Ажратилган ( $B$ ) элемент фақат чузувчи  $\sigma_1$ , бош нормал күчланиши таъсирида бўлади, чунки бу нуқта сиқилмайди, яъни:  $\sigma_3 = 0$ .

Агар,  $y = 0$  бўлса,  $\sigma_x = 0$  ва  $\tau_x = \tau_{\max}$  соф силжиш ҳосил бўлади. Бу ҳолатда Мор доираси  $\tau_x = -\tau_y$ , уринма күчланишларининг қийматларида чизилади.

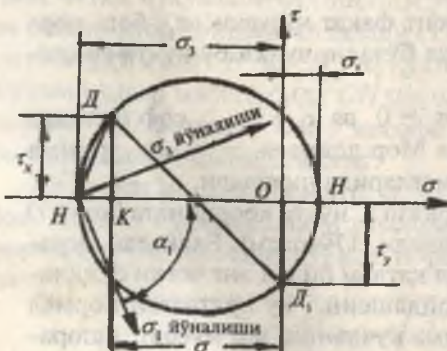
Мор доирасининг маркази  $C$  нуқта координата боши  $O$  нуқта билан устма-уст тушади (179-расм). Балкадан ажратилган  $B$  элемент нейтрал қатлам билан энг четки сиқиладиган тола оралиғида жойлашсин. Бу нуқтадаги нормал күчланиш манфий, уринма күчланиш эса мусбат ишорали (180-расм).



178-расм.



179-расм.

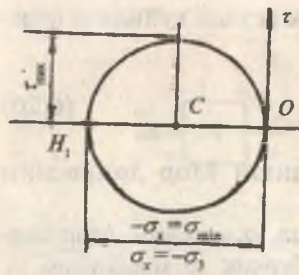


180-расм.

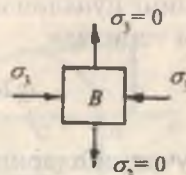
Мор доирасини куриш учун  $\sigma_x = OK$  ва  $\tau_x = KД$  масофалардан фойдаланамиз.  $OH$  масофа энг катта бош нормал кучланиш  $\sigma_1$  га тенг. сбош кучланиш таъсирида  $B$  элемент чўзилади.  $OH_1$  масофа энг кичик бош нормал кучланиш  $\sigma_3$  га тенг.  $B$  элемент  $\sigma_3$  бош кучланиш таъсирида сиқилади.  $\sigma = \sigma_{\min}$  ва  $\tau_x = 0$  бўлган нуқта атрофида ажратилган элементга таъсир қиласётган бош нормал кучланишларни топамиз.

Бу элемент сиқиладиган толаларда жойлашганлиги учун нормал кучланиш манфий ишоралидир.

Шунинг учун Мор доираси  $\sigma$ - $\tau$  координата ўқининг тўлиқ чап, яъни манфий томонида чизилади. (6.19) формула асосида ёки Мор доираси ёрдамида топилган бош кучланишлар балка кесимининг баландлиги бўйлаб ғазариш графикаси курилади (182-расм).



181-расм.



Агар балка кесимининг эни унинг баландлиги бўйлаб ўзгараси, бош нормал кучланишларнинг эпюраси силилик ўзгарувчи эгри чизиқдан иборат бўлади. Агар балка кесимининг эни унинг баландлиги бўйлаб ўзгарувчан бўлса, масалан, кўштавр, швеллер, бурчаксимон элемент ва ҳ.к. кесим энининг ўзгариш нуқтасида  $\sigma_1$  ва  $\sigma_3$ , эпюраларида сакраш бўлади (175-расм). Юқорида келтирилган балканинг юқори толалари чузилишга, пастки толалари эса сиқилишга учраяпти. Шунинг учун мусбат ишорали нормал кучланиш ва  $\sigma_1$  бош нормал кучланиш эпюралари вертикал чизиқнинг (174-расм) ўнг томонида жойлашади. Агар, балка кесимининг юқори толалари чўзилса, Мор доираси  $\sigma$  ўқининг мусбат томонида жойлашади. Бу нуқта фақат  $\sigma_1$  бош нормал кучланиш таъсирида бўлиб, бу нуқтада  $\sigma_3 = 0$ . Кучланиши текширилаётган нуқта чўзиладиган толадан сиқиладиган толалар томонга ҳаракат қиласерса, Мор доираси ҳам  $\sigma$  ўқининг мусбат томонидан манфий ишорали томонига ўта бошлийди. Бу ҳолатда  $\sigma_1$  бош кучланиш камайиб боради,  $\sigma_3$  бош кучланиш эса катталашади (182-расм).

Балканинг юқори толалари чўзиладиган оралиғида эгувчи моментнинг ишораси манфий бўлади. Лекин, эгувчи моментнинг ишораси нормал кучланишнинг ишораси ёки йўналишига таъсир қилмайди. 182-расмда балканинг хавфли кўндаланг кесимининг баландлиги бўйлаб бир чизиқ устида ётган бир нечта нуқталар учун Мор доирасини қуриш усули билан бош кучланишларнинг қиймати ва йўналиши кўрсатилган. 183-расмда эса, балканинг бўйлама кесимидағи бир нечта нуқталар учун бош нормал кучланишларнинг қиймати ва йўналиши кўрсатилган. Бош куч-

ланишларнинг йўналиши аналитик усулда қуидаги формула билан топилади:

$$\operatorname{tg} 2\alpha = -\frac{2\tau_x}{\sigma_x} \quad (6.20)$$

Бош кучланишларнинг йўналиши Мор доирасини қуриш усули билан ҳам топилади.

Балкани юқори толалари чўзилса,  $\alpha$  манфий. Агар балканинг юқори толалари сиқилса, бурчак  $\alpha$  мусбатдир.

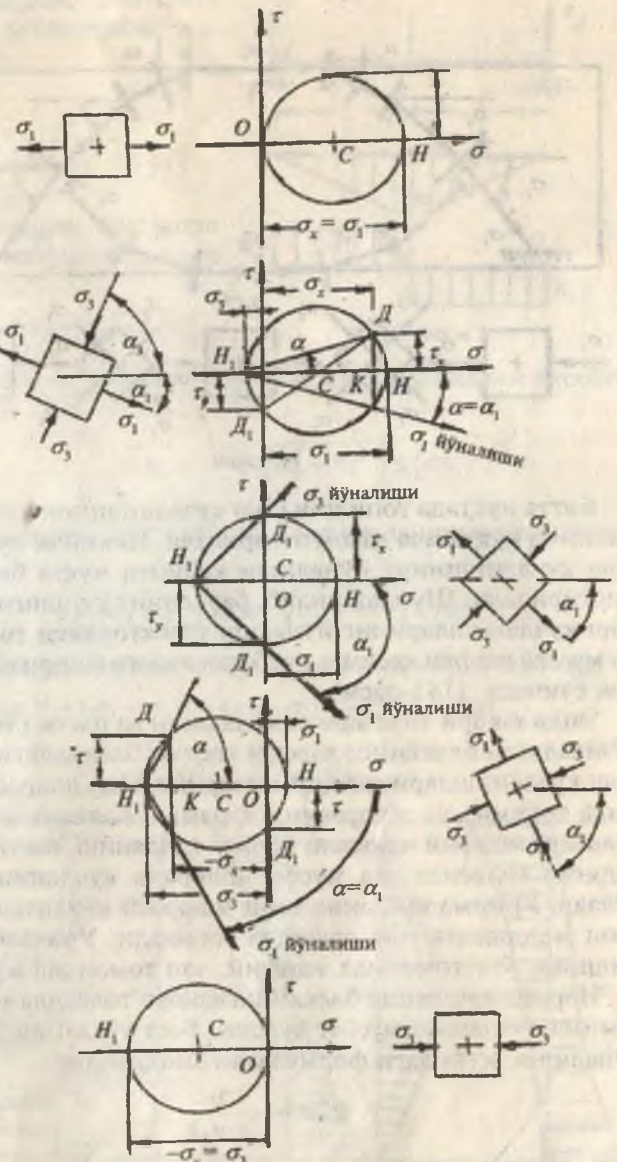
Агар  $\alpha$  бурчак манфий бўлса, энг катта бош нормал кучланишнинг ( $\sigma_1$ ) йўналиши абсцисса ўқидан соат стрелкасининг ҳаракат йўналиши бўйлаб жойлаштирилади.

Балка кесимининг I нуқтаси (182-расм) фақат  $\sigma_1$  бош нормал кучланиш таъсирида ( $\sigma_3 = 0$ ) уринма кучланиш нолга тенг. Шунинг учун (6.20) формулага асосан,  $\alpha_1 = 0$ . Демак, чўзувчи  $\sigma_1$  бош нормал кучланиш абсциссанинг устига тушади.

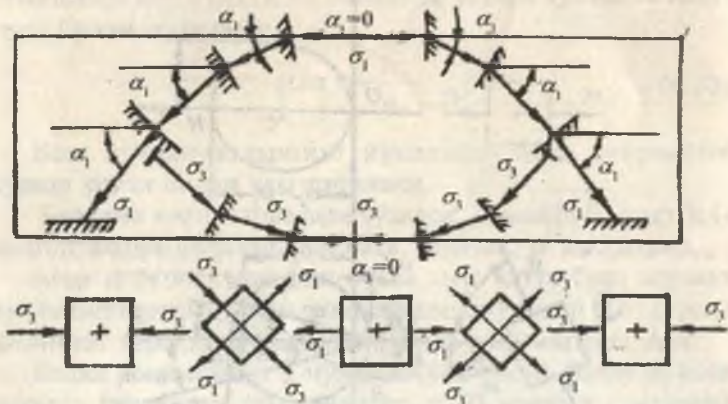
II нуқтадаги бош нормал кучланишнинг йўналишини топиш учун Мор доирасидаги  $H_1$  ва  $D$  нуқталар тўғри чизиқ билан туташтирилади.  $H_1D$  чизиқ абсцисса билан  $\alpha$  бурчакни ҳосил қиласди. (6.20) формулага асосан  $\alpha$  бурчакнинг ишораси манфий. Шунинг учун  $\alpha$  бурчакни абсцисса ўқидан соат стрелкасининг ҳаракат йўналишига мос жойлаштирилади.

Ҳосил бўлган чизиқ II нуқтадаги  $\sigma_1$  бош нормал кучланишнинг йўналишидир.  $\sigma_1$  бош нормал кучланиш  $\sigma_1$  нинг йўналишига перпендикуляр юзада таъсир қиласди. Демак, II нуқта атрофидан ажратиб олинган элемент соат стрелкасининг ҳаракат йўналишига мос айланар экан.

III ва IV нуқталарда ҳам  $\sigma_1$  бош нормал кучланишнинг йўналиши шу усулда топилади. Ўнуктада (6.20) формулага асосан  $\alpha_1 = 90^\circ$  ҳосил бўлади. Бу нуқтада фақат  $\sigma_1$ , бош нормал кучланиш таъсир қиласди.  $\sigma_1$  нинг абсциссага нисбатан жойлашиш бурчаги  $\sigma_3 = 0$  бўлади. Балканинг узунлиги бўйлаб  $\sigma_1$  ва  $\sigma_3$  бош нормал кучланишларнинг траекториясини аниқлаш мумкин (183-расм). Бунинг учун балканинг узунлиги бўйлаб бир нечта нуқталарнинг ўринлари танлаб олинади. Нуқталар нейтрал қатламдан турли масофаларда жойлашиши керак.



182-расм.



183-расм.

Битта нүқтада топилган бош кучланишнинг йўналиши иккинчи нүқтагача давом эттирилади. Иккинчи нүқтадаги бош кучланишнинг йўналиши кейинги нүқта билан туаштирилади. Шундай қилиб, балканинг узунлиги бўйича бош кучланишларнинг йўналиш тракторияси топилади. Бу масала хавфли кесимга нисбатан амалга оширилса осонроқ ечилади (183-расм).

Энди юқори толалари сиқиладиган ва пастки толалари чўзиладиган балканинг хавфли кесими баландлиги бўйлаб бош кучланишларнинг қийматларини Мор доираси ёрдамида топамиз ва эпюрасини қурамиз. Балканинг юқори толасида манфий ишорали нормал кучланиш, пастки чўзиладиган толасида эса мусбат ишорали кучланиш ҳосил бўлади. Уринма кучланишнинг ишораси кўндаланг куч  $Q$  нинг ишорасига мос равишда топилади. Уринма кучланишнинг ўнг томонида манфий, чап томонида мусбат.

Нормал кучланиш балканинг юқори толасида манфий, уринма кучланиш мусбат бўлсин. Бош кучланишларнинг йўналиши қўйидаги формуладан аниқланди:

$$\operatorname{tg} 2\alpha = - \frac{2\tau}{(-\sigma_x)}$$

Балка кесимининг турли нүқталаридаги бош кучланишларни аниқлаб, мустаҳкамлик назариялари асосида мустаҳкамлик шартларини тузамиз:

**I назария.** Энг катта нормал күчланишлар назарияси:

$$\sigma_1 \leq [\sigma];$$

$$\frac{1}{2} \left[ \sigma_x + \sqrt{\sigma_x^2 + 4\tau^2} \right] \leq [\sigma]$$

**II назария.** Энг катта нисбий деформациялар назарияси:

$$[\sigma_1 - \mu(\sigma_2 + \sigma_3)] \leq [\sigma]$$

184-расм.

Бу ерда:  $\sigma_2 = 0$  ва  $\sigma_1, \sigma_3$  бош күчланишларни ҳисобга олсак:

$$\left[ \frac{1-\mu}{2} \sigma_x + \frac{1+\mu}{2} \sqrt{\sigma_x^2 + 4\tau^2} \right] \leq [\sigma]$$

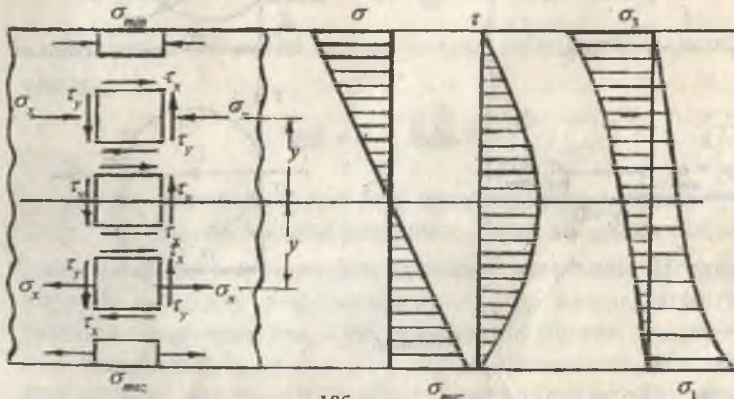
**III назария.** Энг катта уринма күчланишлар назарияси:

$$\sigma_1 - \sigma_3 \leq [\sigma] \text{ ёки } \left[ \sqrt{\sigma_x^2 + 4\tau^2} \right] \leq [\sigma]$$

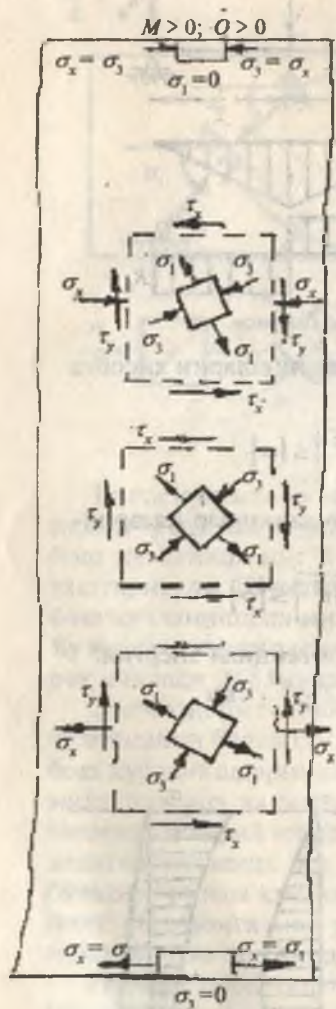
**IV назария.** Шакл үзгаришдаги потенциал энергия:

$$(\sigma_1 - \sigma_2)^2 + (\sigma_2 - \sigma_3)^2 + (\sigma_3 - \sigma_1)^2 = 2[\sigma]^2 \text{ ёки}$$

$$\sqrt{\sigma^2 + 3\tau^2} \leq [\sigma]$$



185-расм.



186-расм.

## VII БОБ

### ЭГИЛИШДА БАЛКАЛАРНИНГ КЎЧИШИНИ АНИҚЛАШ

#### 7.1. САЛҚИЛИК ВА КЕСИМНИНГ АЙЛANIШ БУРЧАГИ

Балкани бирор инерция ўқи текислигига ташки куч билан юкланса, унинг ўқи шу инерция ўқи текислигига эгри бўлади, яъни текис эгилиш содир бўлади. Унда  $B$  нуқта  $B$ , ҳолатга кўчади (187-расм). Бу кўчиш  $F$  куч йўналишида содир бўлиб, балканинг салқилиги дейилади. Салқилик  $U$  ҳарфи билан белгиланади. Балка эгри ўқининг тенгламаси  $Y = f(x)$ . Эгилишгача текис бўлган балканинг кесими деформациядан кейин ҳам текислигича қолиб, ўзининг бошланғич ҳолатига нисбатан  $\theta$  бурчакка айланади. Шунинг учун бурчак балка  $\theta$  кесимининг айланиш бурчаги дейилади. Ува  $\theta$  абсциссанинг функциясидир. Балканинг ҳар бир кесими учун У билан  $\theta$  орасида математик боғла-ниш бор:

$$\operatorname{tg}\theta = \frac{dy}{dx}$$

Бурчак  $\theta$  ни жуда кичик миқдор эканлигини ҳисобга олсак:

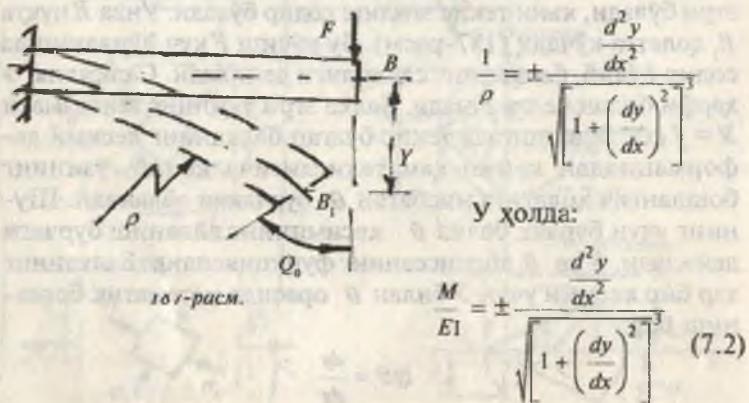
$$\operatorname{tg}\theta = \theta \quad \text{ёки} \quad \theta = \frac{dy}{dx} \quad (7.1)$$

Демак, балканинг ҳар бир кесимининг айланиш бурчаги —  $\theta$  шу кесимдаги салқилик  $U$ дан абсцисса бўйича олинган биринчи тартибли ҳосилага тенг экан. Шунинг учун балканинг деформациясини ўрганиш, эгилган ўқининг тенгламасини тузиш ва ҳосил бўлган тенгламадан дифференциялаш усули билан балканинг исталган кесимининг айланиш бурчаги —  $\theta$  ни топиш мумкин экан.

## 7.2. БАЛКА ЭГИЛИШ ҮҚИНИНГ ДИФФЕРЕНЦИАЛ ТЕНГЛАМАСИ

Салқылік —  $Y$  ни абсцисса функцияси күринишида ҳосил қилиш учун балканинг деформациясини ташқи күч билан боғлаш керак. Шундай боғланиш, биринчидан, балканинг эгрилик радиуси билан әтүвчи момент, балка материалининг эластиклик модули ва балка кесимининг инерция моменти орасидаги боғланиш ва иккінчидан, эгрилик радиуси  $\rho$  билан унинг  $X$  ва  $Y$  координаталари

$$\text{орасидаги боғланишdir, яни: } \frac{1}{\rho} = \pm \frac{M}{EI}$$



(7.2) формула балка эгилган үқининг дифференциал тенгламаси. Амалиётта бурчак  $\theta = \frac{dy}{dx}$  кичик міндердір, шунинг учун унинг квадраты, яна ҳам кичик бўлади. Демак, (7.2) формуладаги  $\left(\frac{dy}{dx}\right)^2$  ифодани бирга нисбатан ҳисобга олмасак ҳам бўлади.

У ҳолда:

$$\pm \frac{d^2y}{dx^2} = \frac{M}{EI} \quad \text{ёки} \quad EI \frac{d^2y}{dx^2} = \pm M \quad (7.3)$$

Бу формула балка эгилган ўқининг тақрибий дифференциал тенгламаси дейилади. (7.3) тенгламанинг ишораси  $M$  эгувчи моментнинг ишорасига боғлиқ. Балка эгилган ўқининг дифференциал тенгламасидан салқилик тенгламаси  $y = f(x)$  ни ҳосил қилиш учун (7.3) тенгламани интеграллаш керак.

(7.3) тенгламанинг биринчи интеграли:

$$EI \frac{dy}{dx} = \int M dx + C \quad \text{ва иккинчи тартибли интеграли:}$$

$EI \cdot y = \int dx \int M dx + CX + D$  қуринишда бўлади. Шундай қилиб, кесимнинг айланиш бурчаги:

$$\theta = \frac{1}{EI} \left[ \int M dx + C \right] \quad (7.4)$$

ва салқилик  $y = \frac{1}{EI} \left[ \int dx \int M dx + CX + D \right]$  тенгламаларини ҳосил қиласиз.

Бу ерда  $C$  ва  $D$  интеграллаш доимийларни.

Агар,  $M = -FX$  бўлса, айланиш бурчаги ва салқилик тенгламалари қўйидагича қўринишига келади:

$$\text{а)} \quad \theta = \frac{1}{EI} \left[ -F \frac{x^2}{2} + C \right] \quad \text{ва} \quad \text{б)} \quad y = \frac{1}{EI} \left[ -F \frac{x^3}{6} + CX + D \right]$$

Интеграллаш доимийлари  $C$  ва  $D$  ни топиш учун балка учларининг таяниш шартларидан фойдаланамиз: агар,  $X = 0$  бўлса, (а) тенгламадан  $\theta = \theta_B = \theta_0 = \frac{C}{EI}$  ёки  $C = \theta_0 EI$  (в).

Демак, интеграллаш доимийси  $C$  балка бошланғич кесимининг (187-расм) айланиш бурчаги  $\theta_0$  ни балканинг бикрлиги  $EI$  га қўпайтмасига тенг экан. (в) тенгламадан  $\theta_0$  бурчак номаълум бўлмаганлиги учун  $C$  ҳам номаъдумлигича қолади. (б) тенгламадан  $y = y_B = y_0 = \frac{D}{EI}$  ёки  $D = I_0 EI$  (г)

Демак, интеграллаш доимийси  $D$  балка бошланғич нуқтасининг салқилиги  $y_0$  нинг балка бикрлиги  $EI$  га қўпайтмасига тенг экан. Агар,  $x = \ell$  бўлса (187-расм), (а) тенгламадан  $\theta = \theta_k = 0$  ва (б) тенгламадан  $y = y_k = 0$  ҳосил бўлади. У ҳолда  $C = \frac{F\ell^2}{2}$  ифодани ҳисобга олсак,

$D = \frac{F\ell^3}{6} - \frac{F\ell^2}{2} \cdot \ell = -\frac{F\ell^3}{3}$ . С ва  $\mathcal{D}$  интеграллаш доимийларини (а) ва (б) тенгламаларга келтириб құйсак:

$$\theta = \frac{1}{EI} \left[ -F \frac{x^2}{2} + F \frac{\ell^2}{2} x \right] \quad (7.5)$$

$$y = \frac{1}{EI} \left[ -F \frac{x^3}{6} + F \frac{\ell^2}{2} x - \frac{F\ell^3}{3} \right] \quad (7.6)$$

хосил бўлади. Бу тенгламалардан  $X$  нинг турли қийматларида балканинг узунлиги бўйлаб  $\theta$  ва  $y$  лар топилади.

### 7.3. БОШЛАНГИЧ ПАРАМЕТРЛАР УСУЛИ

Узунлиги бўйлаб бир нечта оралиқлардан иборат бўлган ҳар қандай балка учун ҳам  $\theta$  ва  $y$  ларни аниқлашда тақрибий дифференциал тенгламани татбиқ этиш фойдали бўлавермайди. Чунки,  $n$  та оралиқдан иборат балканинг деформациясини аниқлаш учун  $n$  та тақрибий дифференциал тенглама тузиш керак. Бу тенгламаларни интеграллаш натижасида  $2n$  та интеграллаш доимийликлари хосил бўлади ва масалани ечиш мураккаблашади. Шунинг учун узунлиги бўйлаб иккита ва ундан кўпроқ оралиқлардан иборат балкаларда эластик эгилган ўқнинг дифференциал тенгламасини татбиқ этиш ва ундаги доимийларни аниқлаш анча мураккаб ва ноқулайдир.

Агар балканинг деформациясига таъсир қылмаган ҳолда унинг схемасини ўзgartиришда ва эластик эгилган ўқнинг дифференциал тенгламасини интеграллашда айрим чекланишларни қабул қылсак, дифференциал тенгламалардаги  $2n$  та номаълумни 2 тага қадар камайтириш мумкин. Бунинг учун куйидаги чекланишларни қабул қиласиз:

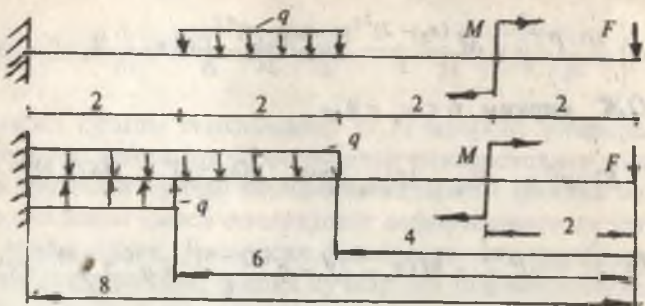
- 1) балкани  $XOY$  координата системасига жойлаштирамиз ва балканинг бошлангич нүкласини аниқлаймиз;
- 2) балканинг оралиқ масофаларини координата босидан маълум тартибда жойлаштирамиз;
- 3) балканинг бирор оралиқдаги тақсимланган куч интенсивлигини таъсири, балканинг охиригача давом этмаса, балканинг шу оралиқларини ўзаро тенг ва қарама-қар-

ши йўналган тақсимланган куч интенсивлиги билан тўлдирдимиз;

4) жуфт куч моментини  $M^* X^0$  кўринишда ёзамиш;

5) дифференциал тенгламани интеграллашаца қавсларни очмаймиз. Интеграллашни қуйидагича бажарамиз:

$$\int (x-a)^n dx = \frac{(x-a)^{n+1}}{n+1}$$



188-расм.

Балканинг ҳар бир оралиқлари учун эгилган ўқнинг дифференциал тенгламасини тузамиш ва интеграллаймиз:  
OB қирқим.  $0 \leq x_1 \leq 2 \text{ м}$

$$EI \cdot y_1'' = -Fx_1; \quad EI \cdot y_1' = -F \frac{x_1^2}{2} + C_1$$

$$EI \cdot y_1 = -F \frac{x_1^3}{6} + C_1 x_1 + D_1$$

*OK* қирқим.  $2 \leq x_2 \leq 4 \text{ м}$

$$EI \cdot y_2'' = -Fx_2 - M(x_2 - 2)^0; \quad A)$$

$$EI \cdot y_2' = -F \frac{x_2^2}{2} - M(x_2 - 2)^1 + C_2$$

$$EI \cdot y_2 = -F \frac{x_2^3}{6} - M \frac{(x_2 - 2)^2}{2} + C_2 x_2 + D_2$$

*ОН* қирқим.  $4 \leq x_3 \leq 6$  м

$$EI \cdot y_3'' = -Fx_3 - M(x_3 - 2)^0 - q \frac{(x_3 - 4)^2}{2}$$

$$EI \cdot y_3' = -F \frac{x_3^2}{2} - F(x_3 - 2)^1 - q \frac{(x_3 - 4)^3}{6} + C_3$$

$$EI \cdot y_3 = -F \frac{x_3^3}{6} - M \frac{(x_3 - 2)^2}{2} - q \frac{(x_3 - 4)^4}{24} + C_3 x_3 + D_3$$

*ОЖ* қирқим.  $6 \leq x_4 \leq 8$  м

$$EI \cdot y_4'' = -Fx_4 - M(x_4 - 2)^0 - q \frac{(x_4 - 4)^2}{2} + q \frac{(x_4 - 6)^2}{2}$$

$$EI \cdot y_4' = -F \frac{x_4^2}{2} - M(x_4 - 2)^1 - q \frac{(x_4 - 4)^3}{6} + q \frac{(x_4 - 6)^3}{6} + C_4$$

$$EI \cdot y_4 = -F \frac{x_4^3}{6} - M \frac{(x_4 - 2)^2}{2} - q \frac{(x_4 - 4)^4}{24} + q \frac{(x_4 - 6)^4}{24} + C_4 x_4 + D_4$$

Интеграллаш доимийликларини аниқтаймиз:

$X_1 = 2$  м ва  $X_2 = 2$  м бўлса,  $y_1^i = y_2^i$  ва  $y_1 = y_2$  ҳосил бўлади, яъни *OB* оралиқдан *KB* оралиққа ўтиш кесимидағи айланиш бурчаклари ва салқиликлари тенг:

$$-F \frac{4}{2} + C_1 = -F \frac{4}{2} + C_2 \text{ ва}$$

$$-F \frac{8}{6} + C_1 \cdot 2 + D_1 = -F \frac{8}{6} + C_2 \cdot 2 + D_2$$

Шунинг учун  $C_1 = C_2$  ва  $D_1 = D_2$  шу усул билан  $x_2 = 4$  м =  $x_1$  да  $y_2' = y_3'$  ва  $y_2 = y_3$  тенгликлар асосида  $C_3 = C_2$  ва  $D_2 = D_3$  лар;  $x_3 = 6$  м =  $x_4$  да  $y_3' = y_4'$  ва  $y_3 = y_4$ , шунинг учун  $C_3 = C_4$  ва  $D_3 = D_4$  тенгликлар ҳосил қилинади.

Демак,  $C_1 = C_2 = C_3 = C_4 = C$  ва  $D_1 = D_2 = D_3 = D_4 = D$  куринишда ҳамма интеграллаш доимийликлари ўзаро тенг эканлиги келиб чиқади. Тўртта оралиқдан иборат балканинг дифференциал тенгламаларини интеграллашда ҳосил бўлган саккизга номаълум интеграллаш доимийликлари иккитага келтирилади. Бу доимийликларни:  $C = EI \cdot \theta_0$

ва  $D = EI \cdot y_0$  кўринишда, яъни балканинг бошлангич кесимини айланиш бурчаги  $\theta_0$  ва салқилиги  $Y_0$  орқали ифодалаш мумкин. Барча интеграллаш доимиийликлари тенглигидан фойдаланиб балканинг охирги оралиқлари учун дифференциал тенгламани қутидагича кўринишда ёзмиз:

$$\theta = \theta_0 + \frac{1}{EI} \left[ -F \frac{x^2}{2} - M(x-2)' - q \frac{(x-4)^3}{6} + q \frac{(x-6)^3}{6} \right] \quad (7.7)$$

$$y = y_0 + \theta_0 x + \frac{1}{EI} \left[ -F \frac{x^3}{6} - M \frac{(x-2)^2}{2} - q \frac{(x-4)^4}{24} + q \frac{(x-6)^4}{24} \right] \quad (7.8)$$

Ҳосил бўлган тенгламалар (7.7) ва (7.8) универсал формулалар дейилади. Формуланинг универсаллиги унинг балка узунлиги бўйлаб барча оралиқларини ҳисобга олишида. Балкани қайси оралиқнинг деформациясини ўрганиш керак бўлса, универсал формулаша шу оралиқдаги кучлар қолдирилади; бошқа кучлар эса ташлаб юборилади. Балканинг барча оралиқлари учун  $\theta_0$  ва  $Y_0$  лар умумийдир.

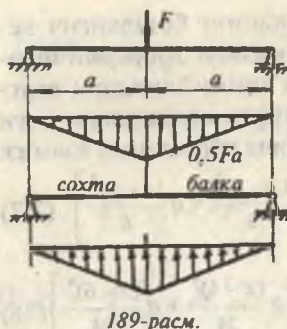
#### 7.4. ЭГИЛИШДА КЎЧИШНИ ТОПИШНИНГ ГРАФОАНАЛИТИК УСУЛИ

Графоаналитик усул билан балкани танланган кесимининг салқилиги ва айланиш бурчагини аниқлаш мумкин. Бу усулнинг аналитик томони балка эгилган ўқининг тақрибий дифференциал тенгламасига асосланган, яъни:

$$\frac{d^2(EI \cdot y)}{dx^2} = EI \frac{d^2y}{dx^2} = M \quad (7.9)$$

Бу ерда:  $M$  — берилган балканинг эгувчи моменти (189-расм).

Масаланинг график томонини ёритиш учун соҳта балка ва соҳта куч тушунчаларини киритамиз. Соҳта балка ҳақиқий балқадан фарқ қиласи ва у соҳта куч интенсивлиги  $q_f$ , яъни ҳақиқий балка эгувчи моментининг эпюораси билан юклаймиз. Демак, соҳта куч миқдор жиҳатдан эгувчи моментга тенг экан, яъни:  $M = q_f$ . Соҳта куч интенсивлиги —  $q_f$  ҳақиқий балканинг эгувчи моменти қонунияти билан ўзгаради.



189-расм.

Сохта күч интенсивлигі билан сохта эгувчи момент орасидаги дифференциал боғланишни ҳақиқий балкадаги  $M$  ва  $q$  орасидаги боғланиш асосида ёзамиз:

$$\frac{d^2 M_f}{dx^2} = q_f \quad (7.10)$$

$M = q_f$  тенгликни ҳисобга олсақ, (7.9) ва (7.10) тенгламаларни солишириб қуидаги форму-

лани ҳосил қиласыз:

$$\frac{d^2 (EI \cdot y)}{dx^2} = \frac{d^2 M_f}{dx^2} \quad (7.11)$$

(7.11) формулани интеграллаб, ихтиёрий ўзгармас чап ва ўнг томон интеграллаш доимийларини ўзаро тентлаштырсак, қуидагини ҳосил қиласыз:

$$\frac{d(EI \cdot y)}{dx} = EI\theta \frac{dM_f}{dx} \text{ ва } EI \cdot y = M_f$$

Берилған ташқи күч таъсирида ҳақиқий балка ихтиёрий кесимининг айланиш бурчаги —  $\theta$  сохта балканинг шу кесимидағы күндаланг күчнинг ҳақиқий балканинг бикрлигига бўлинмасига teng:

$$\theta = \frac{Q_f}{EI} \quad (7.12)$$

ҳақиқий балка	ҳақиқий балка	ҳақиқий балка
$y = 0$	$y \neq 0$	$y = 0$
$Q = 0$	$Q \neq 0$	$Q \neq 0$
сохта балка	сохта балка	сохта балка
$M_y = 0$	$M_y \neq 0$	$M_y = 0$
$Q_y = 0$	$Q_y \neq 0$	$Q_y \neq 0$

190-расм.

Берилган ташқи күч таъсирида ҳақиқий балканинг ихтиёрий нуқтасининг салқилиги —  $Y$ , сохта балканинг шу нуқтасидаги эгувчи момент  $M$ , нинг ҳақиқий балканинг бикрлиги бўлинмасига teng:

$$y = \frac{M_f}{EI} \quad (7.13)$$

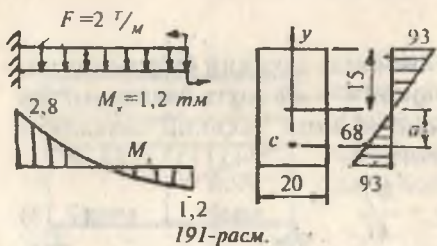
Ҳақиқий балканинг танланган кесимининг айланиш бурчаги ва салқилигини аниқлаш учун сохта балканинг шу кесимидағи сохта кўндаланг күч ва сохта эгувчи моментини аниқлаш керак экан. Сохта балкани танлаш шартлари 190-расмда кўрсатилган.

### *Савол ва топшириқлар*

1. Соф эгилиш деб нимага айтилади?
2. Соф эгилишга мисоллар келтириңг.
3. Нейтрал қатлам деб қандай материалга айтилади?
4. Эгилишда нормал кучланиш формуласини ёзинг.
5. Эгилинда нормал кучланиш балка кесимининг юзасида қандай қонуният билан ўзгаради?
6. Эгилишда уринма кучланиш формуласини ёзинг?
7. Эгилинда уринма кучланиш балка кесимининг юзасида қандай қонуният билан ўзгаради?
8. Эгилишда нормал кучланиш бўйича мустаҳкамлик шарти формуласини ёзинг.
9. Эгилинда уринма кучланиш бўйича мустаҳкамлик шарти формуласини ёзинг?
10. Тент қаршилик курсатувчи балкалар деб нимага айтилади?
11. Балка кесимининг айланиш бурчаги ва салқилиги нима?
12. Эгилиш деформацияси қандай усуллар билан топилади?
13. Балка эгилган ўқининг тақрибий дифференциал тенгламасини ёзинг.
14. Универсал формулани ёзинг.

**1-масала.** Берилган балка учун эгувчи момент эпюраси курилсин; хавфли кесимдаги энг катта нормал кучланиш ва шу кесимдаги С нуқтанинг кучланиши топилсан.

Ечиш.  $M_x = M_0 - q \frac{x_2}{2}$  тенгламадан  $x = 0$  да  $M_x = 1,2$  тм,



$x = 1,09 \text{ м}$ ,  $M_x = 0$  ва  
 $x = 2 \text{ м}$ ;  $M_x = 2,8 \text{ тм}$   
 ҳосил қиласиз. Кесимнинг  $x$  ўқига нисбатан  
 қаршилик моментини топамиз:

$$W_x = \frac{bh^2}{6} = \frac{0,2(0,3)^2}{6} = 3 \cdot 10^{-3} \text{ м}^3$$

Энг катта эгувчи момент балканинг таянч кесимида  
 ҳосил бўлади:

$$M_{\max} = 2,8 \text{ тм} = 28 \text{ кНм} \text{ ва}$$

$$\sigma_{\max} = \frac{M_{\max}}{W_x} = \frac{28}{3 \cdot 10^{-3}} = 9,3 \cdot 10^3 \frac{\text{kH}}{\text{m}^2}$$

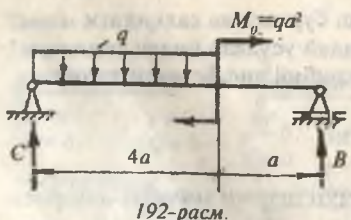
С нуқта балка кесимининг ўқидан

$$y - a = \frac{h}{2} - 4 = 0,11 \text{ м} = 11 \text{ см} \quad \text{масофада жойлашган.}$$

$$\sigma_c = -\frac{M_{\max}}{I_x} \cdot 0,11 = -\frac{28 \cdot 0,11}{4,5 \cdot 10^{-4}} = -0,684 \cdot 10^{11} \frac{\text{kH}}{\text{m}^2}$$

$$\text{Бу ерда: } I_x = \frac{bh^3}{12} = \frac{0,2(0,3)^3}{12} = 4,5 \cdot 10^{-4} \text{ м}^4$$

## 2-масала.



Узунлиги  $\ell = 3 \text{ м}$  бўлган тўғри бурчакли кесимли балка 192-расмда кўрсатилгандек юкланган.

Ўлчамлари  $h = 0,2 \text{ м}$ ,  $b = 0,12 \text{ м}$  бўлган балканинг хавфли кесимдаги энг катта нормал кучланиши  $\sigma_{\max} = 1,21 \frac{\text{kH}}{\text{m}^2}$  дан фойдаланиб, тақсимланган куч интенсивлиги —  $q$  топилисин.

Ечиш. Реакция кучларини топамиз:

$$\sum M_c = q4a \cdot \frac{4a}{2} + M_0 - B5a = 0; \quad B = \frac{9}{5}q \cdot a$$

$$\sum M_B = C \cdot 5a - q4a \left( \frac{4a}{2} + a \right) + M = 0; \quad C = \frac{11}{5}q \cdot a$$

$M_x$  ва  $Q$  тенгламаларни тузамиз:

$$M_x = c \cdot x - q \frac{x^2}{2} \quad \text{ва} \quad Q = c - qx$$

Балкани  $Q = 0$  бўлган нуқтасида  $M_x = M_{\max}$ . Шунинг учун  $Q = 0$  нуқтанинг координатаси —  $x$  ни топамиз.  $C - qx = 0$  ёки:

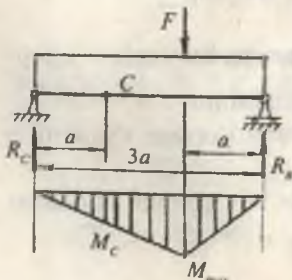
$$x = \frac{c}{q} = \frac{11 \cdot q \cdot a}{5q} = \frac{11a}{5}$$

У ҳолда:  $M_{\max} = C \cdot \frac{11a}{5} - q \frac{\left(\frac{11a}{5}\right)^2}{2} = 2,42qa^2$

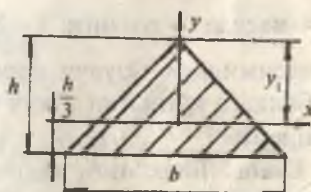
Балка хавфли кесимиининг мустаҳкамлик шартини ёзамиш:

$$\sigma_{\max} = \frac{M_{\max}}{W} = \frac{2,42qa^2}{bh^2} = 1,21 \frac{\kappa H}{m^2}$$

Бу ерда:  $q = \frac{1,21 \cdot b \cdot h^2}{2,42 \cdot 6 \cdot a^2} = \frac{1,21 \cdot 0,12 \cdot (0,20)^2}{2,42 \cdot 6 \cdot 1} = 4 \cdot 10^{-4} \frac{\kappa H}{m}$



193-расм.



### 3-масала.

$F$  күч таъсиридан балка кесимининг  $C$  нуқтасида ҳосил бўлган нормал кучланиш  $\sigma_c = 3 \frac{FH}{M}$ . Балканинг  $M = M_{\max}$  бўлган хавфли кесимидағи абсолют қиймати энг катта бўлган нормал кучланиш топилсин.

**Ечиш.** Реакция кучлари  $R_t = \frac{F}{3}$  ва  $R_B = \frac{2F}{3}$

$M$  эпюрасидан  $M_c = R_t \cdot a = \frac{Fa}{3}$  ва  $M_{\max} = \frac{2}{3} Fa$  ҳосил

қиласиз. Нуқта учун балканинг мустаҳкамлик шарти —  $\sigma_c = \frac{M_c}{W}$  дан  $M_c = \sigma_c \cdot W$  ни топамиз.

У ҳолда:  $M_c = \sigma_c \cdot \frac{I_y}{y} = \sigma_c \frac{bh^3 \cdot 3}{12 \cdot h} = \sigma_c \frac{bh^2}{4} = 0,75bh^2$

$M$  эпюрасидан ва мустаҳкамлик шартидан келиб чиқсан  $M$  моментларини солиштирсак,

$\frac{Fa}{3} = 0,75bh^2$  ва  $F = \frac{2,25bh^2}{a}$  ни ҳосил қиласиз.

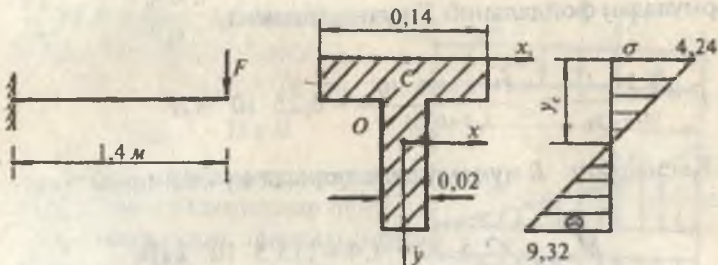
У ҳолда:  $M_{\max} = \frac{2}{3} \cdot \frac{2,25bh^2 \cdot a}{a} = 1,5bh^2$ . Балканинг хавфли кесимидағи энг катта нормал кучланишни топамиз:

$$\sigma_{\max} = \frac{M_{\max} \cdot y_1}{I_x} = \frac{1,5bh^2}{bh^3} \cdot \frac{2}{3} h = \frac{1,5 \cdot \frac{2}{3}}{\frac{12}{1}} = 12 \frac{kH}{m^2}$$

**4-масала.** Узунлиги  $\ell = 1,4 m$  консоль балканинг хавфли кесимидағи чўзувчи нормал кучланиши —  $\sigma = 4,24 \frac{kH}{m^2}$ .

Балкага қўйилган  $F$  күч ва сиқувчи нормал кучланиш топилсин.

**Ечиш.** Балканинг таянч кесими энг хавфли ҳисобланади, чунки бу кесимда:  $M_x = M_{\max} = -F \cdot \ell = -1,4F$



194-расм.

$F$  күч таъсиридан балканинг эгилишида юқори толалар чўзилади, пастки толалари эса сиқилади. Шунинг учун юқори толалардаги энг катта чўзувчи кучланиш  $\sigma_{\max} = 4,24 \frac{кН}{м^2}$ . Чўзувчи кучланишлар бўйича балкани хавфли ҳолатидаги материалининг мустаҳкамлик шартини ёзамиз:  $\sigma_{\max} = \frac{M_{\max} \cdot y_0}{I_x} = 4,24 \frac{кН}{м^2}$ .

Бу ерда:  $y_0$  — балка кесимининг нейтрал ўқидан  $C$  нуқтагача бўлган масофа:  $y_0 = \frac{\sum Sx}{\sum A}$

$I_x$  — балка кесимининг нейтрал ўққа нисбатан инерция моменти.

$S_{x_1}$  — балка кесимининг  $x_1$  ўқига нисбатан статик моменти.

$$\sum S_{x_1} = 0,14 \cdot 0,02 \cdot 0,01 + 0,14 \cdot 0,02 \left( \frac{0,14}{2} + 0,02 \right) = 2,8 \cdot 10^{-4} \text{ м}^3$$

$$\sum A = 2 \cdot 0,14 \cdot 0,02 = 5,6 \cdot 10^{-3} \text{ м}^2$$

$$\text{У ҳолда: } y_0 = \frac{2,8 \cdot 10^{-4}}{5,6 \cdot 10^{-3}} = 0,05 \text{ м}$$

$$I_x = \frac{0,14(0,02)^3}{12} + 0,14 \cdot 0,02(y_0 - 0,01)^2 + \frac{0,02(0,14)^3}{12} + \\ + 0,02 \cdot 0,14(0,02 + 0,07 - y_0)^2 = 1,3623 \cdot 10^{-5} \text{ м}^4$$

формуладан фойдаланиб  $F$  кучни топамиз:  $\frac{1,4Fy_0}{I_y} = 4,24 \frac{\kappa H}{m^2}$

$$\text{ва } F = \frac{4,24 \cdot I_y}{1,4 \cdot y_0} = \frac{4,24 \cdot 1,3623 \cdot 10^{-5}}{1,4 \cdot 0,05} = 8,25 \cdot 10^{-5} \kappa H$$

Кесимнинг  $B$  нуқтасидаги нормал кучланишни топамиз:

$$M_{\max} = 82,5 \cdot 10^{-5} \cdot 1,4 = 115,5 \cdot 10^{-5} \kappa Hm$$

$$\sigma_s = \frac{115,5 \cdot y_B \cdot 10^{-5}}{1,3623 \cdot 10^{-5}} = -\frac{115,5 \cdot 10^{-5} (0,16 - 0,05)}{1,3623 \cdot 10^{-5}} = 9,32 \frac{\kappa H}{m^2}$$

### 5-масала.

Ёғочдан тайёрланган балка учун  $h = 1,5b$  нисбатдан фойдаланиб тұғри бурчакли кесим танлансин.

$$\text{Берилған: } a = 0,25 m; \quad q = 10 \frac{\kappa H}{m}; \quad F = 10qa = 25 \kappa H$$

$$[\sigma] = 10 \frac{\kappa H}{m^2}; \quad [\tau] = 0,12 \frac{\kappa H}{m^2}$$

Ечиш. Бир томони қистириб маңкамланган балканинг хавфли кесимидағи әгувчи момент ва күндаланг кучни топамиз.

I қирқим.  $0 \leq x_1 \leq 0,75 m$

$$Mx_1 = -q \frac{x_1^2}{2} \quad \text{ва} \quad Q_1 = -qx_1$$

$$x_1 = 0; \quad Mx_1 = 0 \quad \text{ва} \quad Q_1 = 0$$

$$x_1 = 0,75 m; \quad Mx_1 = -2,81 \kappa Hm$$

$$Q_1 = -7,5 \kappa H$$

II қирқим.  $0,75 \leq x_2 \leq 1 m$

$$Mx_2 = -q \frac{x_2^2}{2} - F(x_2 - 0,75); \quad Q_2 = -qx_2 - F$$

$$x_2 = 0,75 m; \quad M_2 = -2,81 \kappa Hm; \quad Q_2 = -32,5 \kappa H$$

$$x_2 = 1 m; \quad M_2 = -11,25 \kappa Hm; \quad Q_1 = -35 \kappa H$$

Балканинг хавфли кесими таянч нүқтасида экан:

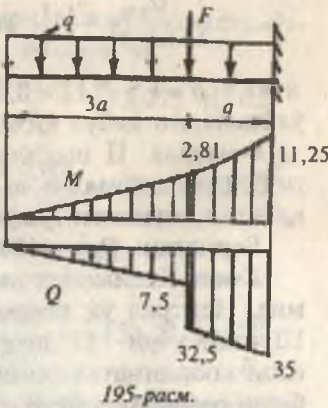
$$M_{\max} = -11,25 \text{ kNm}$$
 ва

$$Q_{\max} = -35 \text{ kN}$$

Хавфли кесим учун нормал ва уринма кучланишлар бўйича мустаҳкамлик шартларини ёзамиш:

$$\sigma_{\max} = \frac{M_{\max}}{W_x} \leq [\sigma] \quad \text{ва}$$

$$\tau_{\max} = \frac{Q_{\max} \cdot S_x}{I_x \cdot b} \leq [\tau]$$



Бу ерда:  $W_x = \frac{bh^2}{6}$  кесимнинг  $x$  ўқига нисбатан қаршилик моменти ( $\text{m}^3$ ),  $S_x = b \cdot \frac{h}{2} \cdot \frac{h}{4} = \frac{bh^2}{8}$  кесимнинг  $x$  ўқига нисбатан статик моменти ( $\text{m}^3$ ),  $I_x = \frac{bh^3}{12}$  кесимнинг  $x$  ўқига нисбатан инерция моменти,  $\text{m}^2$  кесимнинг ўлчамларини нормал кучланиш бўйича мустаҳкамлик шартидан фойдаланиб топамиш. Кесимнинг ўлчамларини нормал кучланиш бўйича мустаҳкамлик шартидан фойдаланиб топамиш.

$$\frac{6M_{\max}}{hb^2} = [\sigma] \quad \text{ёки} \quad h = 1,5b \quad \text{ни ҳисобга олсак:}$$

$$b = \sqrt[3]{\frac{6 \cdot M_{\max}}{1,5 [\sigma]}} = \sqrt[3]{\frac{6 \cdot 11,25}{1,5 \cdot 10^4}} = 0,165 \text{ m}$$

$$h = 1,5 \cdot b = 1,5 \cdot 0,165 = 0,2475 \text{ m}$$

Кесимнинг ўлчамларини уринма кучланишга боғлаб аниқлаймиз:  $\tau_{\max} = \frac{Q_{\max} \cdot \frac{bh^2}{8}}{\frac{bh^3}{12} \cdot b} \leq [\tau]$ :  $h = 1,5b$  нисбатни ҳисобга олсак:

$$\tau_{\max} = \frac{3}{2} \cdot \frac{Q_{\max}}{1,5 \cdot b^2} \leq [\tau] \quad \text{еки } b = \sqrt{\frac{Q_{\max}}{[\tau]}} = \sqrt{\frac{35}{0,12 \cdot 10^4}} \approx 0,17 \text{ м}$$

$h = 1,5 \cdot b = 1,5 \cdot 0,17 = 0,255 \text{ м}$      $b = 0,17 \text{ м}$ ;    ва  $h = 0,255 \text{ м}$  ўлчамларни қабул қиласиз.

**6-масала.** П шаклли профилнинг деворлари баландлиги бўйлаб нормал  $\sigma$  ва уринма  $\tau$  кучланишларнинг тарқалиш қонунияти графикасини куринг.

Берилган:  $Q_{\max} = 120 \text{ кН}$ ;  $M_{\max} = 50 \text{ кНм}$

**Ечиш.** Кесимнинг нейтрал ўқининг ҳолатини аниқлаймиз. Нейтрал ўқ кесимнинг оғирлик марказидан ўтади. Шунинг учун П шаклли кесимнинг оғирлик марказининг координаталарини аниқлаймиз. Кесим  $Z$  ўқига нисбатан симметрик бўлганлиги учун:

$$y_e = 0. \quad \text{У ҳолда: } Z_e = \frac{\sum S_{y_1}}{\sum A} = \frac{11,04 \cdot 10^{-4}}{9,6 \cdot 10^{-3}} = 0,115 \text{ м}$$

$\sum S_y$  — кесимнинг  $y_1$  ўқига нисбатан статик моменти,  $\text{м}^3$ .

$\sum A$  — шаклнинг кесим юзаси,  $\text{м}^2$ .

$$\sum S_y = 0,02 \cdot 0,12 \cdot 0,19 + 2 \cdot 0,18 \cdot 0,02 \cdot 0,09 = 11,04 \cdot 10^{-4} \text{ м}^4$$

$$\sum A = 2 \cdot 0,02 \cdot 0,18 + 0,02 - 0,12 = 9,6 \cdot 10^{-3} \text{ м}^2$$

Параллел ўқларга нисбатан инерция моментлари формуласидан фойдаланиб кесимнинг у ўқига нисбатан инерция моментини топамиз:

$$I_y = 2 \left[ \frac{0,02 \cdot [0,18]^3}{12} + (0,025)^2 \cdot 0,02 \cdot 0,18 \right] + \\ + \frac{0,12 (0,02)^3}{12} + 0,75^2 \cdot 0,02 \cdot 0,12 \\ I_y = 37,52 \cdot 10^{-6} \text{ м}^4$$

$\sigma = \frac{M_{\max} \cdot Z}{I}$  формуладан фойдаланиб кесимнинг баландлиги бўйлаб нормал кучланишнинг ўзгаришини топамиз.

Бу ерда:  $Z$  — кучланиш текширилаётган нүқтадан кесимнинг нейтрал ўқигача бўлган масофа, м.

$$1\text{-нүқта } (Z_1 = 0,085 \text{ м}); \sigma' = \frac{-50 \cdot 0,085}{37,52 \cdot 10^{-6}} = -113,273 \cdot 10^3 \frac{\text{kH}}{\text{м}^2}$$

$$2\text{-нүқта } (Z_2 = 0,065 \text{ м}); \sigma'' = \frac{-50 \cdot 0,065}{37,52 \cdot 10^{-6}} = -86,62 \cdot 10^3 \frac{\text{kH}}{\text{м}^2}$$

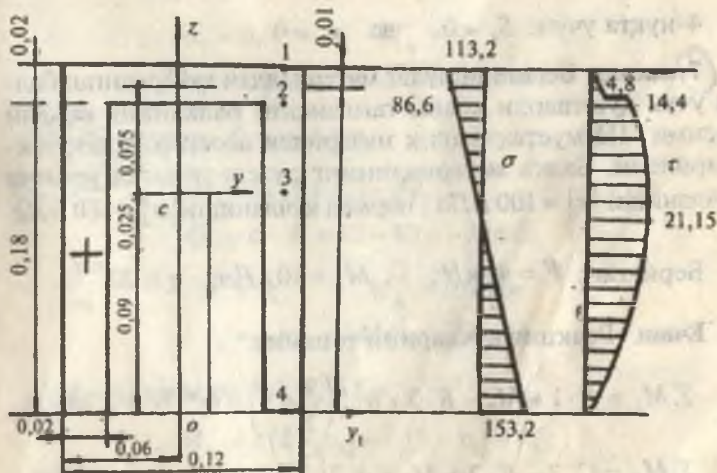
$$3\text{-нүқта } (Z_3 = 0); \quad (\sigma''' = 0)$$

$$4\text{-нүқта } (Z_4 = 0,115 \text{ м}); \sigma'''' = \frac{50 \cdot 0,115}{37,52 \cdot 10^{-6}} = +153,25 \cdot 10^3 \frac{\text{kH}}{\text{м}^2}$$

Масаданинг берилишида эгувчи моментнинг ишораси мусбат. Демак, кесимнинг 1- ва 2-нүқталар жойлашган қисми сиқилишга ва 4-нүқта жойлашган томони чўзилишга ишлади.

Журавский формуласидан фойдаланиб кесим кесими-нинг баландлиги бўйлаб уринма кучланишнинг ўзгаришини аниқлаймиз:

$$\tau = \frac{Q_{\max} \cdot S_y}{I_y b(d)}$$



196-расм.

Бу ерда:  $S$  — кесимнинг четки нуқтасидан пастда ва кучланиш текшириладиган нуқтадан юқорида жойлашган юзасининг нейтрал ўққа нисбатан статик моменти.

1-нуқта учун:  $S_1 = 0$  ва  $\tau_1 = 0$

2-нуқта учун:  $S_2 = 0,02 \cdot 0,12 \cdot 0,075 = 1,8 \cdot 10^{-4}$ ,  $m^3$

$$\tau_2 = \frac{120 \cdot 1,8 \cdot 10^{-4}}{37,52 \cdot 10^{-6} \cdot 0,12} = 4,8 \cdot 10^3 \frac{kH}{m^2}$$

Нуқта кесимнинг супачасидан деворига ўтиш қисмida жойлашгани учун кесимнинг эни 0,12 метрдан 0,02 м қадар камаяди.

$$\tau_2^1 = \frac{120 \cdot 1,8 \cdot 10^{-4}}{37,52 \cdot 10^{-6} \cdot 2 \cdot 0,02} = 14,4 \cdot 10^3 \frac{kH}{m^2}$$

3-нуқта учун:

$$S_3 = 1,18 \cdot 10^{-4} + 2 \cdot 0,02 \cdot 0,065 \cdot \frac{0,065}{2} = 26,45 \cdot 10^{-5} m$$

$$\tau_3 = \frac{120 \cdot 2,645 \cdot 10^{-4}}{37,52 \cdot 10^{-6} \cdot 2 \cdot 0,02} = 21,15 \cdot 10^3 \frac{kH}{m^2}$$

4-нуқта учун:  $S_4 = 0$  ва  $\tau_4 = 0$

7) масала. Берилган пўлат материалдан тайёрланган балка учун қўштаврли кесим танлансин. Балканинг хавфли кесими III мустаҳкамлик назарияси асосида тўлиқ текширилсин. Балка материалининг рухсат этилган уринма кучланиши  $[\tau] = 100 \text{ MPa}$ , нормал кучланиши  $[\sigma] = 160 \text{ MPa}$

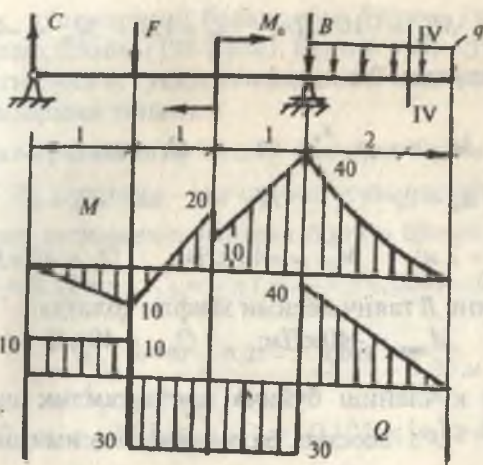
Берилган:  $F = 40 \text{ kH}$ ;  $M_0 = 10 \text{ kNm}$ ;  $q = 20 \frac{\text{kH}}{m}$

Ечиш. Реакция кучларини топамиз:

$$\sum M_c = F \cdot 1 + M_0 - B \cdot 3 + q \cdot 2 \left( \frac{2}{2} + 3 \right) = 0; \quad B = 70 \text{ kH}$$

$$\sum M_R = C \cdot 3 - F \cdot 2 + M_0 + q \cdot 2 \left( \frac{2}{2} \right) = 0; \quad C = 10 \text{ kH}$$

✓



197-расм.

Балканинг узунлиги бўйича эгувчи момент  $M_x$  ва кўнда-ланг куч —  $Q$  ни топамиз.

I—I қирқим.  $0 \leq x_1 \leq 1\text{m}$

$$M_{x_1} = c \cdot x_1 \quad \text{ва} \quad Q_1 = c = 10 \text{кН}$$

$$x_1 = 0; \quad M_{x_1} = 0$$

$$x_1 = 1\text{m}; \quad M_{x_1} = 10 \text{кНм}$$

II—II қирқим.  $0 \leq x_2 \leq 1\text{m}$

$$M_{x_2} = c(1 + x_2) - Fx_2$$

$$Q_2 = c - F = 10 - 40 = -30 \text{кН}$$

$$x_2 = 0; \quad M_{x_2} = 10 \text{кНм}$$

$$x_2 = 1\text{m}; \quad M_{x_2} = -20 \text{кНм}$$

III—III қирқим.  $0 \leq x_3 \leq 1\text{m}$

$$M_{x_3} = c(2 + x_3) - F(1 + x_3) + M_0$$

$$Q_3 = c - F = 10 - 40 = -30 \text{кН}$$

$$x_3 = 0; \quad M_{x_3} = -10 \text{ кНм}; \quad x_3 = 1 \text{ м}; \quad M_{x_3} = -40 \text{ кНм}$$

**IV—IV қириқим.**  $0 \leq x_4 \leq 2 \text{ м}$

$$M_{x_4} = -qx_4 \frac{x_4}{2} \quad \text{ва} \quad Q_4 = qx_4$$

$$x_4 = 0; \quad M_{x_4} = 0 \quad \text{ва} \quad Q_4 = 0$$

$$x_4 = 2 \text{ м}; \quad M_{x_4} = -40 \text{ кНм}; \quad Q_4 = 40 \text{ кН}$$

Балканинг  $B$  таянч кесими хавфли ҳолатда:

$$M_{\max} = -40 \text{ кНм}; \quad Q_{\max} = 40 \text{ кН}$$

Нормал кучланиш бўйича мустаҳкамлик шарти:  
 $\sigma_{\max} = \frac{M_{\max}}{W_x} \leq [\sigma]$  асосида балканинг кесимини танлаймиз:

$$W_x = \frac{M_{\max}}{[\sigma]} = \frac{40}{160 \cdot 10^3} = 0,25 \cdot 10^{-3} \text{ м}^3$$

$W_T = 0,254 \cdot 10^{-3} \text{ м}^3$  қаршилик моментли N-22a қўштаврни қабул қиласиз. Таъланган қўштаврли кесимда нормал кучланиш бўйича мустаҳкамлик шартини текширамиз:

$$\sigma_{\max} = \frac{40}{0,254 \cdot 10^{-3}} = 157,48 \cdot 10^3 \frac{\text{кН}}{\text{м}^2} < [\sigma]$$

Кесимдаги энг катта нормал кучланиш —  $\sigma_{\max}$  балканинг материали учун рухсат этилган кучланишидан кичик экан. Шунинг учун  $W_T = 0,254 \cdot 10^{-3} \text{ м}^3$  қаршилик моменти N-22a қўштаврни қабул қиласиз:

$$h = 0,22 \text{ м}; \quad b = 0,12 \text{ м}; \quad d = 0,0054 \text{ м}$$

$$t = 0,0089 \text{ м}; \quad I_x = 2790 \cdot 10^{-5} \text{ м}^4; \quad W_x = 0,254 \cdot 10^{-3} \text{ м}^3 \\ S_x = 143 \cdot 10^{-6} \text{ м}^3$$

Балканинг мустаҳкамлигини уринма кучланиш бўйича текширамиз:

$$\tau_{\max} = \frac{Q_{\max} \cdot S_x}{I_x \cdot d} = \frac{40 \cdot 143 \cdot 10^{-6}}{2790 \cdot 10^{-5} \cdot 0,0054} = 3,87 \cdot 10^3 \frac{\text{кН}}{\text{м}^2} < [\tau]$$

σ ва τ қўштаврнинг баландлиги бўйича ўзгариш тавсифини аниқлаймиз (198-расм). Бунинг учун қўштаврнинг баландлиги бўйича тўққизта нуқтанинг нормал ва уринма кучланишларини топамиз.

Нормал кучланиш куйидаги формула билан топилади:  
 $\sigma = \frac{M_{\max}}{I_x} \cdot y$ ; бу ерда:  $y$  — кучланиш текширилаётган нуқтадан қўштавр кесимининг нейтрал ўқигача бўлган масофа, м:

$$y_1 = \frac{h}{2} = 0,11 \text{ м}; \quad y_{2,3} = \frac{h}{2} - t = \frac{0,22}{2} - 0,0089 = 0,101 \text{ м}$$

$$y_4 = \frac{h_0}{4} = \frac{h - 2t_0}{4} = \frac{0,22 - 2 \cdot 0,009}{4} = 0,05 \text{ м}$$

$$y_5 = 0; \quad y_6 = -0,05 \text{ м}; \quad y_{7,8} = -0,101 \text{ м}; \quad y_9 = -0,11 \text{ м}$$

Уринма кучланиш Журавский формуласи билан топилади:

$$\tau = \frac{Q_{\max} \cdot S_x^0}{I_x b(d)}$$

$S_x^0$  — қўштавр кесимининг четки нуқтаси билан кучланиши текширилаётган нуқта орасидаги юзасини нейтрал ўққа нисбатан статик моменти, м;

$I_x$  — қўштавр кесимининг нейтрал ўққа нисбатан инерция моменти, м;

$b(d)$  — кучланиши текширилаётган нуқта жойлашган кесимнинг эни, м.

Қўштаврнинг баландлиги бўйича  $\tau$  нинг ўзгариши (198-расм)  $S_x^0$  га боғлиқ:  $S_x^1 = 0$

$$S_x^{II} = S_x^{III} = b \cdot t \frac{h-t}{2} = 0,12 \cdot 0,0089 \frac{0,22 - 0,0089}{2} = 1,13 \cdot 10^{-4} \text{ м}^4$$

$$S_x^{IV} = 1,13 \cdot 10^{-4} + \frac{d}{2} \left( \frac{k_0^2}{L_4} - y^2 \right) = 1,13 \cdot 10^{-4} + \\ + \frac{0,0054}{2} \left[ \frac{(0,2022)^2}{4} - (0,05)^2 \right] = 1,33 \cdot 10^{-4} \text{ м}^3$$

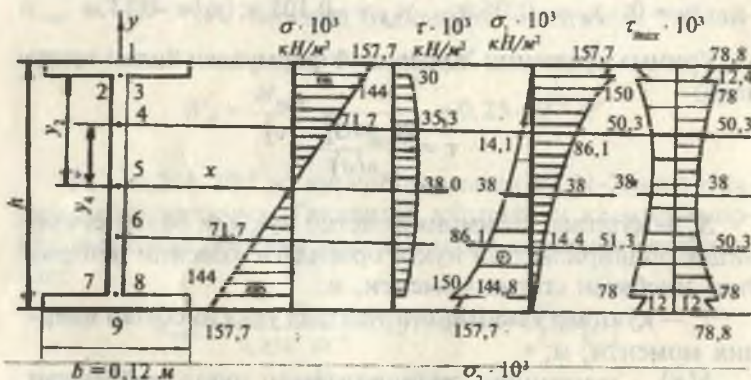
$$S_x^V = 1,33 \cdot 10^{-4} + \frac{0,0054}{2} \cdot \frac{(0,2022)^2}{4} = 1,4 \cdot 10^{-4} \text{ м}^3 \approx S_x$$

$\sigma$  ва  $\tau$  — катталикларни ҳисоблашни жадвалда бажа-риш қурай (5-жадвал). Кесимнинг баландлиги бўйлаб бош кучланишларни қуидаги формуналар билан аниқлаймиз:

$$\sigma_{1,3} = \frac{1}{2} \left[ \sigma \pm \sqrt{\sigma^2 + 4\tau^2} \right] \quad \text{ва} \quad \tau_{\max \min} = \pm \frac{1}{2} \sqrt{\sigma^2 + 4\tau^2}$$

Бош нормал кучланишларнинг йўналишини қуидаги формуладан топамиз:

$$\operatorname{tg} 2\alpha = -\frac{2\tau}{\sigma}$$



198-расм.

8-масала. Берилган балканинг таянч кесимлари айла-ниш бурчаклари, С ва Д нуқталарнинг салқиликлари то-пилсин.

$$EI = 4 \cdot 10^3 \text{ кНм}^2$$

Ечиш. Балканинг реакция кучларини топамиз (199-расм).

$$\sum M_A = -F \cdot 1 - R_B \cdot 4 + F \cdot 5 = 0;$$

$$R_B = F = 40 \text{ кН}$$

$$\sum M_B = -F \cdot 5 - R_A \cdot 4 + F \cdot 1 = 0;$$

$$R_A = 40 \text{ кН}$$

16

Эгувчи момент тенгламаларини тузамиз ва эпюрасини курамиз.

I—I қирқим.  $0 \leq x_1 \leq 1 \text{ м}$

$$M_{x_1} = -Fx_1; \quad x_1 = 0; \quad M_{x_1} = 0 \\ \text{ва} \quad x_1 = 1 \text{ м}; \quad M_{x_1} = -40 \text{ кНм}$$

II-II қирқим.  $1 \leq x_2 \leq 5 \text{ м}$

$$M_{x_2} = -F_{x_2} + R_A(x_2 - 1) \\ x_2 = 1 \text{ м}; \quad M_{x_2} = -40 \text{ кНм}; \quad x_2 = 5 \text{ м}; \quad M_{x_2} = -40 \text{ кНм}$$

III-III қирқим.  $5 \leq x_3 \leq 6 \text{ м}$

$$M_{x_3} = -Fx_3 + R_A(x_3 - 1) + R_B(x_3 - 5) \\ x_3 = 5 \text{ м}; \quad M_{x_3} = -40 \text{ кНм}; \quad x_3 = 6 \text{ м}; \quad M_{x_3} = 0$$

Универсал формулани тузамиз:

Кесимнинг айланыш бурчаги:

$$\theta = \theta_0 + \frac{1}{EI} \left[ -F \frac{x^2}{2} + R_A \frac{(x-1)^2}{2} + R_B \frac{(x-5)^2}{2} \right] \quad (\text{а})$$

Салқилик тенгламаси:

$$y = y_0 + \theta_0 x + \frac{1}{EI} \left[ -F \frac{x^3}{6} + R_A \frac{(x-1)^3}{6} + R_B \frac{(x-5)^3}{6} \right] \quad (\text{б})$$

Универсал формуладаги номаълум  $\theta_0$  ва  $y_0$  ларни то-пиш учун балка учларининг таяниш шартидан фойдала-намиз:

$x = 1 \text{ м}$  бўлса,  $\theta = \theta_A \neq 0$ ;  $y = y_0 = 0$ , у ҳолда (б)

тенгламадан  $y_0 + \theta_0 + 1 - \frac{F \cdot 1^3}{6EI} = 0$  (в) ҳосил бўлади.

$x = 5 \text{ м}$  бўлса,  $\theta = \theta_B \neq 0$ ;  $y = y_B = 0$ , у ҳолда (б)

тенгламадан  $y_0 + 5\theta_0 + \frac{1}{EI} \left[ -F \frac{125}{6} + R_A \frac{64}{6} \right] = 0$  тенглама ҳосил бўлади (в) ва (г) тенгламаларни система қилиб ечамиз:

T/p	Масса ρ [кг]	Статик момент $\delta_x (\text{м}^2)$	Күтімешшілар, $\frac{\kappa H}{N^2}$	Бош нормал құтімешшілдер			$\alpha_1^0$	$\alpha_2^0$	Бош күтімешшіларнан иінталап
				$\sigma \cdot 10^3$	$\tau \cdot 10^3$	$\sigma_1 \cdot 10^3$			
1	0,11	0	157,7	0	157,7	0	-78,85	0	-0 90*
2	0,101	$1,13 \cdot 10^{-4}$	144,8	1,35	144,81	-0,01	-72,41	-0,0186	0'30 89'30
3	0,101	$1,13 \cdot 10^{-4}$	144,8	30,0	160,75	-5,95	-78,36	-0,4143	11'15 78'45
4	0,05	$1,33 \cdot 10^{-4}$	71,7	35,30	86,15	-14,45	-50,3	-0,9846	-22'12 67'48
5	0	$1,43 \cdot 10^{-4}$	0	38,0	38,0	-38,0	-38,0	-	-45° 45°
6	-0,05	$1,33 \cdot 10^{-4}$	-71,7	35,30	14,45	-86,15	-50,3	0,9848	67'12 22'12
7	-0,101	$1,13 \cdot 10^{-4}$	-144,8	30,0	5,95	-150,75	-78,36	0,4143	78'45 11'15
8	-0,101	$1,13 \cdot 10^{-4}$	-144,8	1,35	0,01	-144,81	-72,41	0,0186	89'3 0'3
9	-0,11	0	-157,7	0	0	-157,7	-78,86	0	90° 0

$$y_0 + \theta_0 - \frac{F}{6EI} = 0$$

$$y_0 + 5\theta_0 - \frac{125F}{6EI} + \frac{64R_A}{6EI} = 0$$

Юқоридаги тенгламани 1 га күпайтириб, ҳосил бўлган тенгламани пастки тенгламага қўшамиз:

$$4\theta_0 - \frac{124F}{6EI} + \frac{64R_A}{6EI} = 0$$

$$\text{Бу ерда: } \theta_0 = \frac{124F - 64R_A}{24EI} = \frac{124 \cdot 40 - 64 \cdot 40}{24EI} = \frac{100}{EI}$$

$\theta_0 = \frac{100}{EI}$  ифодани (в) тенгламага қўйиб  $y_0$  ни топамиз:

$$y_0 = \frac{F}{6EI} - \theta_0 = \frac{40}{6EI} - \frac{100}{EI} = -\frac{560}{6EI}$$

Топилган  $\theta_0$  ва  $y_0$  ларни универсал формулага келтириб қўямиз:

$$\theta = \frac{100}{EI} + \frac{1}{EI} \left[ -F \frac{x^2}{EI} + R_A \frac{(x-1)^2}{2} + R_B \frac{(x-5)^2}{2} \right]$$

$$y = -\frac{560}{6EI} + \frac{100x}{6EI} + \frac{1}{EI} \left[ -F \frac{x^3}{6} + R_A \frac{(x-1)^3}{6} + R_B \frac{(x-5)^3}{6} \right]$$

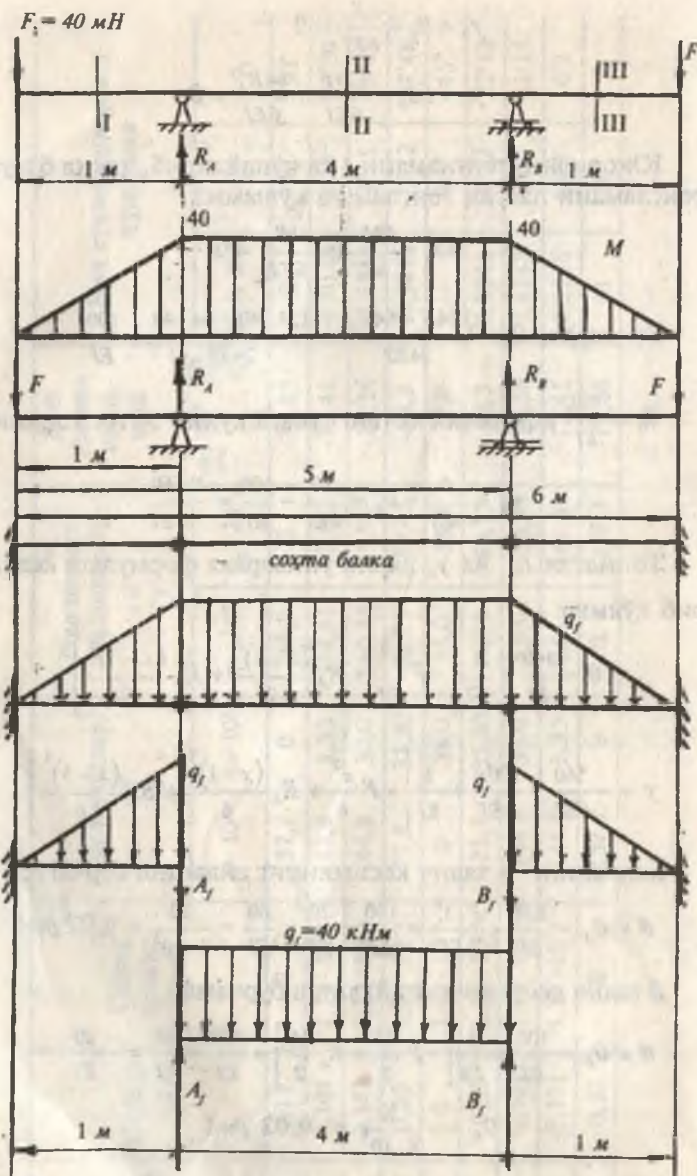
Балканинг  $A$  таянч кесимининг айланиш бурчаги:

$$\theta = \theta_A = \frac{100}{EI} - \frac{F \cdot 1^2}{2EI} = \frac{100}{EI} - \frac{20}{EI} = \frac{80}{EI} = \frac{80}{4 \cdot 10^3} = 0,02 \text{ rad}$$

$B$  таянч кесимининг айланиш бурчаги:

$$\theta = \theta_B = \frac{100}{EI} + \frac{1}{EI} \left[ -F \frac{25}{5} + R_A \frac{16}{2} \right] = \frac{100}{EI} - \frac{80}{EI} = -\frac{20}{EI}$$

$$\theta_B = -\frac{20}{4 \cdot 10^3} = -0,02 \text{ rad}$$



199-расм.

С нүктанинг салқилигини топамиз:  $X = 3$  м

$$y_C = -\frac{560}{6EI} + \frac{100 \cdot 3}{EI} - \frac{27F}{6EI} + \frac{8R_A}{6EI} = \\ = \frac{-560 + 1800 - 1080 + 320}{6EI} = \frac{480}{24 \cdot 10^3} = 0,02 \text{ м}$$

Д нүктанинг салқилигини топамиз: ( $x = 6$  м)

$$y_D = -\frac{560}{6EI} + \frac{100 \cdot 6}{EI} + \frac{1}{EI} \left[ -F \frac{216}{6} + R_A \frac{125}{6} + R_B \frac{1}{6} \right] = \\ = \frac{-560 + 3600 - 8640 + 5000 + 40}{24 \cdot 10^3} = -\frac{560}{24 \cdot 10^3} = -0,0233 \text{ м}$$

Балканинг деформациясини графоаналитик усул билан аниқлаш учун ҳақиқий балқадан сохта балкани танлаймиз (199-расм) ва уни сохта күч билан юклаймиз.

Ҳақиқий консол балканинг таянч нүкталари сохта балкада шарнирлар билан алмаштирилади. Шарнирли кесимларда моменттинг таъсири нолга teng бўлганлиги учун сохта балкани учта оддий балкаларга ажратамиз. Ўрта сохта балканинг реакция кучларини топамиз:

$$\sum M_A = q_f \cdot \frac{4^2}{2} - B_f \cdot 4 = 0 \quad \text{ёки} \quad B_f = 2 \cdot 40 = 80 \text{ kNm}^2 \\ \sum M_B = -q_f \cdot 8 + A_f \cdot 4 = 0 \quad \text{ёки} \quad A_f = 80 \text{ kNm}^2$$

Балка  $A$  кесимнинг айланиш бурчагини топамиз:

$$\theta_A = \frac{\theta_f^A}{EI} = \frac{A_f}{EI} = \frac{80}{4 \cdot 10^3} = 0,02 \text{ rad}$$

$B$  кесимнинг айланиш бурчагини топамиз:

$$\theta_B = \frac{\theta_f^B}{EI} = \frac{B_f}{EI} = \frac{80}{4 \cdot 10^3} = -0,02 \text{ rad}$$

С нүктанинг салқилигини топамиз:

$$y_C = \frac{M_f^c}{EI} = \frac{80}{4 \cdot 10^3} = 0,02 \text{ м}$$

Бу ерда:  $M_f^c = A_f \cdot 2 - q_f \cdot \frac{2^2}{2} = 80 \cdot 2 - 40 \cdot 2 = 80 \text{ kNm}^3$

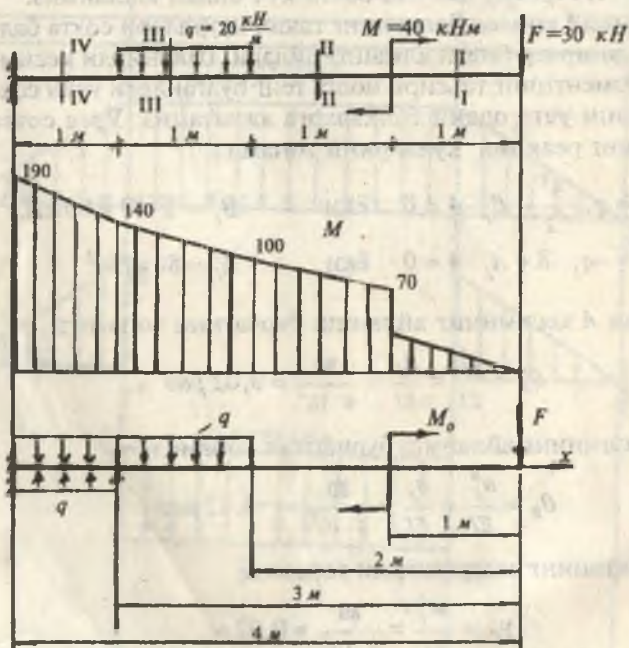
*Д* нүктанинг салқылигини топамиз.  
Бунинг учун *B* — *D* узунлукдаги сохта балкани ўрганамиз:

$$y_D = \frac{M_f^D}{EI} = \frac{-\omega \frac{2}{3} \cdot 1 - B_f \cdot 1}{EI} = \frac{-\frac{40}{3} - 80}{4 \cdot 10^3} = -0,023 \text{ м}$$

$$\text{Бу ерда: } \omega = \frac{1}{2} q_f \cdot 1 = \frac{40}{2} = 20 \text{ кНм}^2$$

**9-масала.** Бир учи қистириб маңкамланган балканинг  $\theta$  ва *B* нүкталарининг салқылигини бошланғич параметрлар ва графоаналитик усуллар билан топинг.

**Ечиш.** Балканинг оралиқтарга бўлиб эгувчи моментнинг тенгламаларини тузамиз ва эпюрасини қурамиз.



200-расм.

I—I қирқим.  $0 \leq x_1 \leq 1 \text{ м}$

$$M_{x_1} = -Fx_1; \quad x_1 = 0; \quad M_{x_1} = 0 \quad \text{ва} \\ x_1 = 1 \text{ м}; \quad M_{x_1} = -30 \text{ кНм}$$

II-II қирқим.  $1 \leq x_2 \leq 2 \text{ м}$

$$M_{x_2} = -Fx_2 - M; \quad x_2 = 1 \text{ м}; \quad M_{x_2} = -70 \text{ кНм} \quad \text{ва} \\ x_2 = 2 \text{ м}; \quad M_{x_2} = -100 \text{ кНм}$$

III-III қирқим.  $2 \leq x_3 \leq 3 \text{ м}$

$$M_{x_3} = -Fx_3 - M - q \frac{(x_3 - 2)^2}{2}; \quad x_3 = 2 \text{ м}; \quad M_{x_3} = -100 \text{ кНм} \\ \text{ва} \quad x_3 = 3 \text{ м}; \quad M_{x_3} = -140 \text{ кНм}$$

IV-IV қирқим.  $3 \leq x_4 \leq 4 \text{ м}$

$$M_{x_4} = -Fx_4 - M - q \cdot 1(x_4 - 2,5); \quad x_4 = 3 \text{ м}; \quad M_{x_4} = -140 \text{ кНм} \\ \text{ва} \quad x_4 = 4 \text{ м}; \quad M_{x_4} = -190 \text{ кНм}$$

Балка учун универсал формулани тузамиз:

$$\theta = \theta_0 + \frac{1}{EI} \left[ -F \frac{x^2}{2} - M(x-1) - q \frac{(x-2)^3}{6} + q \frac{(x-3)^3}{6} \right]$$

$$y = y_0 + \theta_0 x + \frac{1}{EI} \left[ -F \frac{x^3}{6} - M \frac{(x-1)^2}{2} - q \frac{(x-2)^4}{24} + q \frac{(x-3)^4}{24} \right]$$

Универсал формуладаги  $\theta_0$  ва  $y_0$  номаълумларни балка учларининг таяниш шартидан фойдаланиб топамиз.  $x = 0$  нуқта ҳар қандай таянчдан озод, яъни эркин бўлганлиги учун бу кесимда:  $\theta = \theta_0 \neq 0$  ва  $y = y_0 \neq 0$

Шунинг учун  $x = 0$  шартдан фойдаланиб бўлмайди.  $x = 4$  метр масофадаги таянч кесимнинг барча йўналишдаги ҳарақатлари чегараланган. Шунинг учун  $x = 4$  бўлса,  $\theta$  ва  $y$  тенгламаларидан қўйидагини ҳосил қиласиз:  $\theta = 0$  ва  $y = 0$

$$\theta_0 = \frac{1}{EI} \left[ F \frac{16}{2} + M \cdot 3 + q \frac{8}{6} - q \frac{1}{6} \right] = \frac{2300}{6EI}$$

$$y_0 = -\frac{2300 \cdot 4}{6 \cdot EI} + \frac{1}{EI} \left[ F \frac{64}{6} + M \cdot \frac{9}{2} + q \frac{16}{24} - q \frac{1}{24} \right] = -\frac{24500}{24EI}$$

Топилган  $\theta_0$  ва  $y_0$  ларни универсал формулага келтириб қўймиз:

$$\theta = \frac{2300}{6EI} + \frac{1}{EI} \left[ -F \frac{x^2}{2} - M(x-1)^1 - q \frac{(x-2)^3}{6} + q \frac{(x-3)^3}{6} \right]$$

$$y = -\frac{24500}{24EI} + \frac{2300}{6EI} \cdot x + \\ + \frac{1}{EI} \left[ -F \frac{x^3}{6} - M \frac{(x-1)^2}{2} - q \frac{(x-1)^4}{24} + q \frac{(x-3)^4}{24} \right]$$

*O* нуқтанинг салқилиги  $x = 0$  нуқтага тўғри келиб,  $y = y_0$  ҳосил бўлади.

$$y_0 = -\frac{24500}{24 \cdot 10^3} = -0,0102 \text{ м}$$

*B* нуқтанинг салқилигини топамиз ( $x = 2 \text{ м}$ ):

$$y_B = -\frac{24500}{24EI} + \frac{2300 \cdot 2}{6EI} - \frac{240}{6EI} - \frac{40}{2EI} \approx -3,14 \cdot 10^{-3} \text{ м}$$

Балканинг деформациясини графоаналитик усул билан аниқлаймиз. Бунинг учун ҳақиқий балқадан сохта балкани танлаймиз. Сохта балкани ҳақиқий балкани эгувчи моменти билан юклаймиз. Сохта балкада нотекис тарқалган сохта кучлар ҳосил бўлади. Сохта балканинг ҳар бир нуқтасидаги сохта куч миқдор жиҳатдан ҳақиқий балканинг шу нуқтасидаги эгувчи моментга teng бўлади ( $q_f = M$ ), сохта куч интенсивлиги билан юкланган куч юзаларини топамиз:

$$\omega_1 = \frac{1}{2} \cdot 30 \cdot 1 = 15 \text{ кНм}^2; \quad \omega_2 = 70 \text{ кНм}^2$$

$$\omega_3 = \frac{1}{2} (100 - 70) \cdot 1 = 15 \text{ кНм}^2; \quad \omega_4 = 100 \cdot 1 = 100 \text{ кНм}^2$$

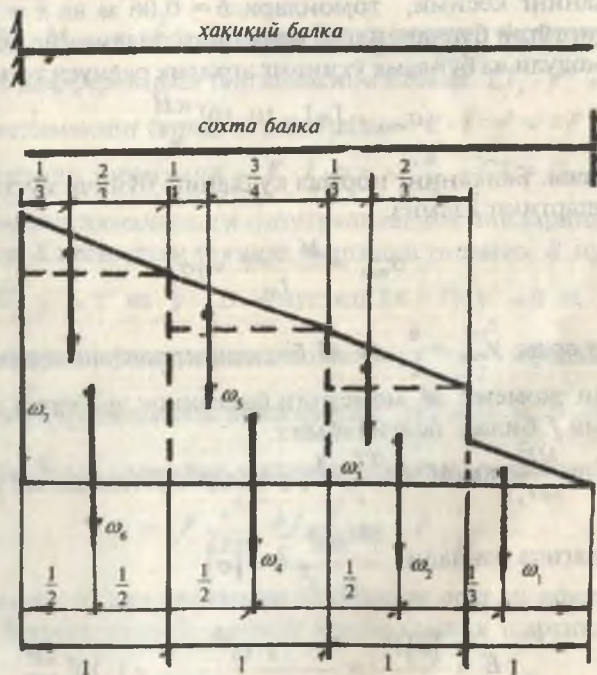
$$\omega_5 = \frac{1}{3} (140 - 100) \cdot 1 = \frac{40}{3} \kappa Hm^2; \quad \omega_6 = 140 \cdot 1 = 140 \kappa Hm^2$$

$$\omega_7 = \frac{1}{2} (190 - 140) \cdot 1 = 25 \kappa Hm^2$$

*B* нүктанинг салқилигини топамиз:

$$M_B' = -\omega_7 \left( \frac{2}{3} \cdot 1 + 1 \right) - \omega_6 \left( \frac{2}{3} \cdot 1 + 1 \right) - \omega_5 \left( \frac{3}{4} \cdot 1 \right) - \omega_4 \frac{1}{2} \cdot 1 = \\ = -25 \frac{5}{3} - 140 \frac{2}{3} - \frac{40}{3} \cdot \frac{3}{4} - 100 \frac{1}{2} = -\frac{935}{3} \kappa Hm^3$$

$$y_B = \frac{M_B'}{EI} = -\frac{935}{3 \cdot 10^5} = -3,11 \cdot 10^{-3} m$$



201-расм.

С нүктанинг салқилигини топамиз:

$$\begin{aligned}
 M_f^0 &= -\omega_7 \left( \frac{2}{3} \cdot 1 + 3 \right) - \omega_6 \left( \frac{2}{3} \cdot 1 + 3 \right) - \omega_5 \left( \frac{3}{4} \cdot 1 + 2 \right) - \omega_4 \left( \frac{1}{2} \cdot 1 + 2 \right) - \\
 &- \omega_3 \left( \frac{2}{3} \cdot 1 + 1 \right) - \omega_2 \left( \frac{1}{2} \cdot 1 + 1 \right) - \omega_1 \left( \frac{1}{3} \cdot 1 \right) = -25 \frac{11}{3} - 140 \frac{7}{2} - \frac{40}{3} \cdot \frac{11}{4} - \\
 &- 100 \frac{5}{2} - 15 \frac{5}{3} - 70 \frac{3}{2} - 15 \frac{2}{3} = -\frac{3025}{3} \text{ кНм}^3 \\
 y_0 &= \frac{M_f^0}{EI} = -\frac{3025}{3 \cdot 10^8} = -0,0101 \text{ м}
 \end{aligned}$$

**10-масала.** Иккита шарнирли таянчга таянган, узунлиги  $\ell = 1$ . Балканинг ўрта кесимида салқилик  $f = 6,25$  мм. Балканинг кесими, томонлари  $b = 0,06$  м ва  $h = 0,04$  м бўлган тўғри бурчаклидир. Балка материалининг эластиклик модули ва бўйлама ўқининг эгрилик радиуси топилсин.

$$\sigma_{\max} = [\sigma] = 10 \cdot 10^3 \frac{\text{kH}}{\text{м}^2}$$

**Ечиш.** Балканинг нормал кучланиш бўйича мустаҳкамлик шартини ёзамиз:

$$\sigma_{\max} = \frac{M \cdot y_{\max}}{I_x} = [\sigma]$$

Бу ерда:  $y_{\max} = \frac{h}{2}$  ва  $M$  балканинг ҳавфли кесимидағи эгувчи момент.  $M$  моментли балканинг энг катта салқилигини  $f$  билан белгилаймиз:

$$\begin{aligned}
 f &= \frac{Mt^2}{8EI_x} \text{ ва } M = \frac{fEI_x \cdot 8}{t^2}, \text{ у ҳолда мустаҳкамлик шарти} \\
 &\text{куйидагича ёзилади: } \frac{fEI_x \cdot 8 \cdot \frac{h}{2}}{I_x \cdot t^2} = [\sigma]
 \end{aligned}$$

$$\text{Бу ерда: } E = \frac{[\sigma]t^2}{f \cdot 8 \cdot \frac{h}{2}} = \frac{1 \cdot 10^4}{6,25 \cdot 10^{-3} \cdot 8 \cdot \frac{0,04}{2}} = 1 \cdot 10^7 \frac{\text{kH}}{\text{м}^2}$$

Энди эгрилик радиуси  $\rho$  билан  $M$  ва балканинг эгишдаги бикрлиги  $EI_x$  орасидаги боғланишни ёзамиш:

$$\frac{1}{\rho} = \frac{M}{EI_x}$$

Бу ерда:

$$\rho = \frac{EI_x}{M} = \frac{EI_x \ell^2}{f EI_x \cdot 8} = \frac{\ell^2}{f \cdot 8} = \frac{\ell^2}{6,25 \cdot 10^{-3} \cdot 8} = 20 \text{ м}$$

**11-масала.** Бир томони қистириб маҳкамланган балканинг  $F$  куч жойлашган нуқтасини унинг кесими ўлчамлари ва рухсат этилган кучланиши билан ифодалангандаги салқилигини топинг.

Ечиш. Энг катта эгувчи момент таянч кесимидаги ҳосил бўлади:  $M_{\max} = -F\ell$ . Консол балка эгилган ўқининг тақрибий дифференциал тенгламасини ёзамиш:  $EI_x \cdot y'' = -Fx$ . Бу тенгламанинг биринчи интеграли  $-E \cdot I \cdot y^1 = -F \frac{x^2}{2} + C$  ва иккинчи интеграли  $-E \cdot I \cdot y = -F \frac{x^3}{6} + CX + D$ . Ҳосил бўлган тенгламалардаги интеграллаш доимийларини балканинг  $K$  кесимдаги таяниш шартидан топамиш. В нуқтада ( $x = 0$ )  $y^1 = C$  ва  $y = D$ . К нуқтада ( $x = \ell$ )  $y^1 = 0$  ва  $y = 0$ . Унда биринчи тенгламадан топилган  $C = \frac{F\ell^2}{2}$  ифодани иккинчи тенгламага келтириб қўйсак,  $D = \frac{2F\ell^3}{6} = \frac{F\ell^3}{3}$  ҳосил бўлади. Унда салқилик тенгламаси қўйидагича ёзилади:

$$y = -F \frac{x^3}{6EI_x} + F \frac{\ell^2}{2EI_x} x + F \frac{\ell^3}{3EI_x}$$

Ташқи  $F$  куч кесимини ўлчамлари орқали ифодалаймиз. Бунинг учун балканинг мустаҳкамлик шартини ёзамиш:

$$\sigma_{\max} = \frac{M \cdot y_{\max}}{I_x} \leq [\sigma] \quad \text{ёки} \quad \frac{F\ell \cdot h}{2I_x} = [\sigma] \quad \text{ва} \quad I_x = \frac{F\ell \cdot h}{2[\sigma]}$$

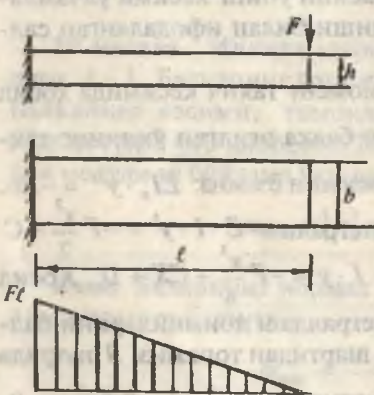
*B* нүктанинг салқилигини топамиз ( $x = 0$ ):

$$y_B = f_B = F \frac{\ell^3}{3EI_x} = F \frac{\ell^3 \cdot 2[\sigma]}{3E \cdot F \ell h} = \frac{2\ell^2}{3h} [\sigma]$$

## 7.5. ТЕНГ ҚАРШИЛИК КҮРСАТУВЧИ БАЛКАЛАР

Балканинг кесим юзаси эгувчи моменттинг энг катта қийматига эришадиган, яни хавфли ҳолатдаги кесими бўйича танланади.

Кўпинча балканинг бошқа кесимлари хавфли кесимига тенг қилиб олинади.



Лекин бу кесимларда эгувчи момент кичик бўлганилиги учун нормал кучланиш ҳам хавфли кесимга нисбатан кичик бўлади.

Масалан,  $M = 0$  бўлса,  $\sigma = 0$ .

Балканинг узунлиги бўйлаб кесимларда кучланиш нотекис тарқалади, узунлик бўйлаб материал кучланиш билан тўлиқ юкланмайди. Натижада ортиқча материал сарфланади. Тенг қаршилик кўрсатувчи балкани танлаш учун кесим юзаси тўғри тўртбурчак кўринишида ва баландлиги ўзгармас бўлган балканинг хавфли кесими ва эркин учидан  $X$  масофада жойлашган кесими учун мустаҳкамлик шартларини ёзамиш:

$$\sigma_{\max} = \frac{M_{\max}}{W} = \frac{F\ell}{bh^2} \leq [\sigma] \quad \text{ва} \quad \sigma_x = \frac{M_x}{W_x} = \frac{Fx}{b_x h^2} \leq [\sigma]$$

$$\text{Бу ерда: } \frac{6F\ell}{bh^2} = \frac{6Fx}{b_x h^2} \quad \text{ёки} \quad b_x = b \cdot \frac{x}{\ell} \quad (6.21)$$

$M_{\max}$  – қистириб маҳкамланган кесимдаги момент;

$M_x$  – балканинг эркин учидан  $x$  масофада жойлашган кесимининг моменти;

$W$  – қистириб маҳкамланган кесимнинг қаршилик моменти;

$W_x$  – балканинг  $X$  масофадаги кесимининг қаршилик моменти.

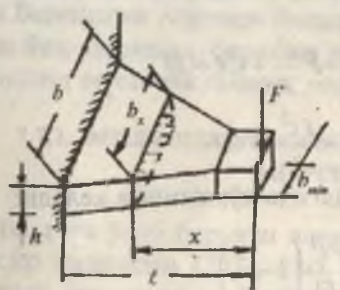
(6.21) формуладаги  $b_x$  тенг қаршилик кўрсатувчи балканинг узунлиги бўйича кесимнинг эни балканинг узунлиги бўйлаб тўғри чизикли қонуният билан ўзгаради;  $x$  масофадаги кесимнинг қаршилик моментини топамиз:

$$W_x = \frac{b_x h^2}{6} = \frac{bh^2}{6} \cdot \frac{x}{\ell} = W \frac{x}{\ell}$$

Бу кесимдаги эгувчи момент  $M_x = F \cdot x$ . Мазкур кесимнинг энг узоқдаги толасида пайдо бўладиган кучланишни текширамиз:

$$\sigma_x = \frac{M_x}{W_x} = \frac{Fx}{W \frac{x}{\ell}} = \frac{F\ell}{W} = \sigma_{\max} = \text{const}$$

Шундай қилиб балканинг барча кесимларида энг катта нормал кучланишлар бир хил. Ташки юкпи кўтарадиган кесимнинг минимал энини уринма кучланиш бўйича мустаҳкамлик шартидан фойдаланиб топамиз.



$$\tau_{\max} = \frac{3Q}{2b_{\min}h} \leq [\tau]$$

$$b_{\min} = \frac{3Q}{2h[\tau]}$$

202-расм.

## ҮЗГАРУВЧАН КЕСИМЛИ БАЛКАЛАРДА КҮЧИШЛАРНИ АНИҚЛАШ

Үзгарувчан кесимли балкаларнинг бикрлиги —  $X$  нинг функцияси. Шунинг учун эгилган ўқнинг тақрибий тенгламаси қўйидагича ёзилади (202-расм):

$$EI_x \frac{d^2y}{dx^2} = M_x$$

Бу ерда:  $I_x$  — ўзгарувчан балка кесимининг инерция моменти, яъни:

$$I_x = \frac{b_x h^3}{12} = \frac{bh^3}{12} \cdot \frac{x}{\ell} = I \frac{x}{\ell}$$

У ҳолда:

$$EI \frac{x}{\ell} \cdot \frac{d^2y}{dx^2} = -Fx \quad \text{ёки} \quad EI \frac{d^2y}{dx^2} = -\frac{Fx\ell}{x} = -F\ell \quad (6.22)$$

(6.22) тенгламани интеграллаймиз:

$$EI \frac{dy}{dx} = -F\ell x + C \quad \text{ва} \quad EIy = -F\ell \frac{x^2}{2} + Cx + D$$

$x = \ell$  бўлса, салқилик  $y = 0$  ва айланиш бурчаги:

$$\frac{dy}{dx} = \theta = 0$$

У ҳолда:  $0 = -F\ell^2 + C$  ва  $0 = -F \frac{\ell^3}{2} + C\ell + D$

Бу ерда:  $C = F\ell^2$  ва  $D = -\frac{F\ell^3}{2}$

$\theta$  ва  $y$  тенгламалари қўйидагича кўринишга келади:

$$\theta = -\frac{F\ell}{EI} x + \frac{F\ell^2}{EI} = \frac{F\ell^2}{EI} \left( 1 - \frac{x}{\ell} \right)$$

$$y = -\frac{F\ell x^2}{2EI} + \frac{F\ell^2 x}{EI} - \frac{F\ell^3}{2EI} = -\frac{F\ell^3}{2EI} \left( 1 - 2 \frac{x}{\ell} + \frac{x^2}{\ell^2} \right)$$

Энг катта салқилик балканинг эркин учида ҳосил бўлади:

$$X = 0 \text{ бўлса, } y_{\max} = f = -\frac{Ft^3}{2EI}$$

Агар балка узунлиги бўйлаб ўзгармас кесимли бўлса, энг катта салқилик  $f = -\frac{Ft^3}{3EI}$  формула билан топилади.

Демак, ўзгарувчан кесимли балкаларнинг эгилувчанилиги катта экан.

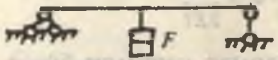
## 7.6. ЭГИЛИШДА КЎЧИШЛАРНИ ТОПИШНИНГ ЭНЕРГЕТИК УСУЛЛАРИ

Юқорида тўғри стерженнинг кўндаланг эгилишдаги кўчишини аниқлашнинг турли усулларини кўриб ўтдик. Балка эгилган ўқининг тақрибий дифференциал тенгламасини интеграллаш усули бошланғич параметрлар ва графоаналитик усулларни татбиқ этиш усуллари билан балканинг эгилишини оддий кўринишларида аниқлаш ёки ҳисоблаш қулайдир.

Эгилишга учрайдиган конструкция қисмларининг айрим мураккаб шакл ёки кўринишлари мавжудки, бу хилдаги конструкция қисмларининг кўчишларини аниқлаш учун эгилишдаги деформациянинг энергиясига асосланган Мор ёки Верещагин усулларини татбиқ этиш осон. Мор ёки Верещагин усуллари билан тўғри стерженларнинг чўзилиш ёки сиқилиш, буралиш ва эгилишдаги кўчишларини аниқлаш ва статик ноаниқ масалаларни ечиш мумкин.

### 7.7.1. ЭГИЛИШДА ДЕФОРМАЦИЯНИНГ ПОТЕНЦИАЛ ЭНЕРГИЯСИ

Балкага ўсиб борувчи элементар кичик  $dF$  юк билан таъсир қилинсин (203-расм). Юк  $dF$  миқдорга ортганда балкага юкландиган олдинги юк пастга тушади ва унинг потенциал энергияси ( $U_p$ ) камаяди, балка деформациясининг энергияси ( $U_d$ ) эса тегишлича ортади. Балка ҳар бир  $dF$  миқдорда юкландганида, заррачаларининг ҳаракат хусусияти ўзгармайди. Шунинг учун ҳар бир юклашда балканинг ҳамма қисмида мувозанат ҳолати содир бўлади. Де-



203-расм

мак, балканинг деформацияси уни мувозанат ҳолатини бузмасдан ҳосил бўлар экан. Шунинг учун балканинг ҳар бир юкланиш ҳолатида  $U_F = U$  тенглик келиб чиқади, яъни юкнинг потенциал энергияси  $U_F$  балка деформациясининг потенциал энергиясига тўлиқ ўтади. Бошқа турга айланган энергиянинг ўлчами сифатида конструкцияга таъсир қилувчи ташқи кучни бажарган иши қабул қилинади. Унда  $U_F$  ташқи кучнинг мусбат ишорали иши  $A_F$  билан ўлчанади; деформациянинг потенциал энергияси эса ички кучларнинг манфий ишорали иши ( $A_u$ ) билан ўлчанади. Ички кучлар балка нуқталарининг кучишига тескари томонга йўналганлиги учун ( $A_u$ ) иш манфийдир. Демак,  $A_F = 0$ , яъни мувозанат бузилмаган ҳолатдаги кўчишида ташқи ва ички кучларнинг бажарган ишларининг йиғинидиси нолга тенг экан. Юқоридаги тенгликка асосан деформациянинг потенциал энергияси  $U$  ташқи кучнинг бажарган иши  $A_u$  га тенг экан, яъни:

$$U = A_u \quad (7.15)$$

Балканинг соғ эгилишда бўлган қисмидан ажратилган  $dx$  узунликдаги бўллагининг деформациясини текширамиз (204-расм).

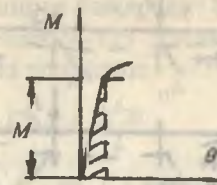
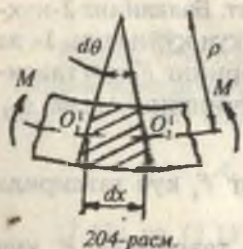
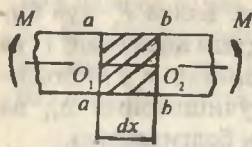
Балка ўқининг эгриланишида унинг кесимлари  $d\theta = \frac{dx}{\rho}$  бурчакка айланади. Эгрилик радиуси  $\rho$  эгувчи момент билан қўйидагича боғланишда:

$$\frac{1}{\rho} = \frac{M}{EI}. \quad \text{У ҳолда: } d\theta = \frac{Md\theta}{EI} \text{ ҳосил бўлади.}$$

Балка эгилишининг пропорционаллик чегарасида эгувчи моментнинг бажарган иши  $OBK$  учбурчакнинг юзаси билан ўлчанади (205-расм), яъни:

$$dA = \frac{Md\theta}{2} = \frac{M^2 dx}{2EI} \quad \text{ёки } dU = dA = \frac{M^2 dx}{2EI}$$

Агар балканинг узунлиги бўйлаб  $M = \text{const}$  ва  $EI = \text{const}$  бўлса, яъни бир жинсли деб қаралса:

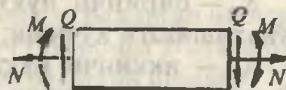


$$U = \int_0^l \frac{M^2 dx}{2EI} = \frac{M^2 l}{2EI} \quad (7.16)$$

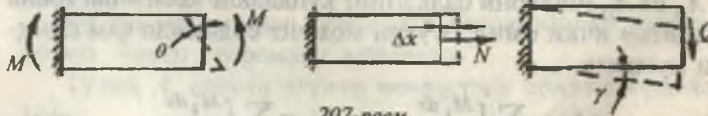
хосил бўлади.

Эгилаётган балқанинг кўндаланг кесимида  $M$ ,  $Q$  ва  $N$  ички куч омиллари хосил бўлади (206-расм).

У пайтда тўлиқ потенциал энергия куйидагича ёзилади:



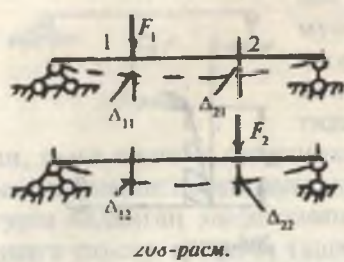
$$U = \sum \int_0^l \frac{M^2 dx}{2EI} + \sum \int_0^l \frac{N^2 dx}{2EA} + \sum \int_0^l \frac{Q^2 dx}{2GA}$$



Кўндаланг куч ва бўйлама кучлар таъсиридаги деформациялар эгувчи момент таъсиридаги деформацияга нисбатан кичик миқдор бўлганлиги учун  $Q$  ва  $N$  таъсиридан хосил бўлган ишларни зътиборга олмасак ҳам бўлади.

### 7.7.2. ИЦЛАР ОРАСИДАГИ БОҒЛАНИШЛАР ТЕОРЕМАСИ КЎЧИШЛАР ОРАСИДАГИ БОҒЛАНИШЛАР ТЕОРЕМАСИ

Балқанинг ташқи куч билан юкланишида тўрт хил ҳолатни кўриб чиқайлик (208-расм):



**I ҳолат.** Балка  $F_1$  күч билан 1-нуқтада юкланды. 1- ва 2-нуқталарнинг  $F_1$  күч таъсиридаги күчишларини  $\Delta_{11}$  ва  $\Delta_{21}$  билан белгилаймиз.

**II ҳолат.** Балканинг 2-нуқтасига  $F_2$  күч қўйилади. 1- ва 2-нуқталарнинг  $F_2$  күч таъсиридаги күчишини  $\Delta_{12}$  ва  $\Delta_{22}$

билил белгилаймиз.

Бу ерда:  $\Delta_{11}$  — биринчи нуқтанинг  $F_1$  күч таъсирида шу күч йўналиши бўйича күчиши.

$\Delta_{21}$  — иккинчи нуқтанинг  $F_1$  күч таъсирида  $F_1$  күч йўналишидаги күчиши;

$\Delta_{12}$  — биринчи нуқтанинг  $F_2$  күч таъсирида  $F_2$  күч йўналишидаги күчиши;

$\Delta_{22}$  — иккинчи нуқтанинг  $F_2$  күч таъсирида шу күч йўналишидаги күчиши.

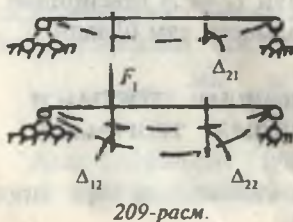
$F_1$  ва  $F_2$  ташқи күчларнинг бажарган ишларини Клапейрон формуласи билан аниқлаймиз:

$$A_{11} = \frac{F_1 \Delta_{11}}{2} \quad \text{ва} \quad A_{22} = \frac{F_2 \Delta_{22}}{2}$$

$A_{11}$  ва  $A_{22}$  ишларни балканинг кўндаланг кесимида ҳосил бўладиган ички омил, эгувчи момент ёрдамида ҳам аниқлаш мумкин:

$$A_{11} = \sum_0^l \frac{M_1^2 dx}{2EI} \quad \text{ва} \quad A_{22} = \sum_0^l \frac{M_2^2 dx}{2EI}$$

**III ҳолат.** Балкани кетма-кетига аввал  $F_1$  күч билан, кейин  $F_2$  күч билан юклаймиз.



208-расмдан 1-нуқтани кўчишида  $F_1$  кучнинг бажарган иши  $A_{11}$  ни топган эдик.

$F_2$  күч эгилган балкадаги 2-нуқтага қўйилади.  $F_2$  күч ноль қийматдан энг катта қийматга ўсиши давомида  $F_1$  күч ўзгар-

мас бұлади ва  $A_{12}$  миқдорға күчишида  $A_{12} = F_1 \Delta_{12}$  ишни бажаради. Бу пайтда  $F_2$  күч  $A_{22}$  ишни бажаради. У ҳолда балкани  $F_1$  ва  $F_2$  күч билан кетма-кет юкландында бажарылған тұлиқ иши қуйидагича топилади:

$$A_4 = A_{11} + A_{12} + A_{22} = \frac{F_1 \Delta_{11}}{2} + F_1 \Delta_{12} + \frac{F_2 \Delta_{22}}{2} \quad (7.17)$$

Бошқа томондан тұлиқ ишни  $F_1$  ва  $F_2$  күчларни тегишли күчишларға күпайтмалариниң йиғиндисининг ярмуга тенг деб қабул қилиш мүмкін:

$$A_4 = \frac{F_1(\Delta_{11} + \Delta_{12})}{2} + \frac{F_2(\Delta_{21} + \Delta_{22})}{2} \quad (7.18)$$

(7.17) ва (7.18) тенгламаларни үзаро тенглаштырсақ,  $F_1 \Delta_{12} = F_2 \Delta_{21}$  ҳосил бўлади.

Бу ерда  $A_{12} = F_1 \Delta_{12}$  бўлиб,  $F_2$  күч таъсирида I-нуқтанинг күчишда  $F_1$  кучни ўз йўналишида бажарған ишидир.

У ҳолда,  $A_{21} = F_2 \Delta_{21}$  иш  $F_1$  күч таъсирида 2-нуқтанинг күчишида  $F_2$  кучни ўз йўналишида бажарған ишидир (209-расм).

Демак,  $A_{12} = A_{21}$  иккинчи күч таъсирида биринчи күч қўйилған нуқтанинг шу кучнинг йўналишидаги күчишида бажарған иши миқдор жиҳатдан биринчи күч таъсиридан иккинчи күч қўйилған нуқта йўналишидаги күчишда бажарған ишига тенг экан.

Бу таъриф ишлар орасидаги боғланишлар теоремаси бўлиб, Бетти теоремаси дейилади.

Тұлиқ  $A_4$  ишни эгувчи моментлар орқали ифодалаймиз:

$$A_4 = \sum_0^l \int \frac{(M_1 + M_2)^2 dx}{2EI} \quad (7.20)$$

Бу ерда:  $M_1$  ва  $M_2$  ички күч омиллари,  $F_1$  ва  $F_2$  таъсирида балканинг кўндаланғ кесимида ҳосил бўлган эгувчи моментларидир. Тенгликда  $A_{12}$  ишни топамиз:

$$A_{12} = A_4 - A_{11} - A_{22} \text{ ёки}$$

$$A_{12} = \sum_0^l \int \frac{(M_1 + M_2)^2 dx}{2EI} - \sum_0^l \int \frac{M_1^2 dx}{2EI} - \sum_0^l \int \frac{M_2^2 dx}{2EI}$$

$$\text{Бу ерда: } A_{12} = \sum \int_0^L \frac{M_1 M_2 dx}{EI} \text{ ва } A_{21} = \sum \int_0^L \frac{M_2 M_1 dx}{EI}$$

IV ҳол.  $F_1 = F_2 = 1$  бирлик күч деб қабул қылсак,

$$1 \cdot \Delta_{12} = 1 \cdot \Delta_{21} \quad \text{ёки} \quad \delta_{12} = \delta_{21} \quad (7.21)$$

хосил бұлади, яғни биринчи бирлик күч таъсиридан иккінчи бирлик күч йұналишидаги күчиши  $\delta_{12}$  миқдор жи-хатдан, иккінчи бирлик күчи таъсиридан биринчи бирлик күчи йұналишидаги күчиши  $\delta_{21}$  га теңгидір. Бу таъриф Максвелл теоремаси дейилади ва күчишлар орасидаги боғланишлар теоремаси бұлади.

### 7.7.3. ЭГИЛИШДА КҮЧИШЛАРНИ АНИҚЛАШНИНГ МОР ИНТЕГРАЛИ

Балка юкланишининг 2 хил ҳолатини күрамиз:

Биринчи ҳолда балкага  $F_1$  ташқы күч, иккінчи ҳолда  $F_2 = 1$  бирлик күч қўйилган бўлсин (210-расм).

$\Delta_{21}$  кўчишда  $F_2 = 1$  бирлик күчининг бажарган иши —  $A_{21}$  ни аниқлаймиз.

$$A_{21} = F_2 \Delta_{21} = 1 \cdot \Delta_{21} = \Delta_{21}$$

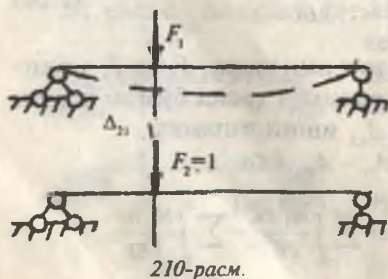
$A_{21}$  иш ички күч омили эгувчи момент билан ифодаланаиди:

$$A_{21} = \Delta_{21} = \int_0^L M_2 \frac{M_1 dx}{EI} \quad (7.22)$$

Бу ерда:  $M_2$  бирлик  $F_2 = 1$  күч таъсиридан ҳосил бўлган

момент. (7.22) тенглик Мор интегралы. Демак, Мор интегралы ёрдамида ҳар қандай кўчишни ички күч билан ифодалаш мумкин эмас.

Бунинг учун берилган балканинг схемаси ёнида бирлик күч билан юклangan соxта балка схемаси чизилар экан. Агар чизиқ-



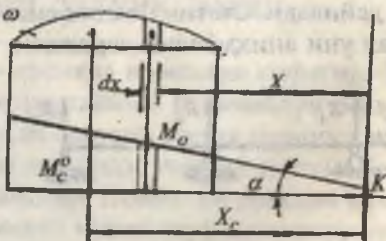
ли күчиш топилса, сохта балкага  $F = 1$  ўлчов бирлигисиз түпланма күч қўйилади; агар кесимнинг айланиш бурчаги топилса, сохта балкага  $M = 1$  ўлчов бирлигисиз момент таъсири қилдирилади. Бирлик кучнинг йўналиши кўчишнинг йўналиши билан мос тушиши керак.

#### 7.7.4. ВЕРЕЩАГИН ҚОИДАСИ

Бирлик куч түпланма күч ёки момент бўлишидан қатъи назар, бу моментнинг эпюраси тўғри чизикдир. Ташқи куч моментининг эпюраси тўғри чизикли ҳам, эгри чизикли ҳам бўлиши мумкин. Фараз қилайлик, ташқи куч моменти  $M$  нинг эпюраси эгри чизикли, бирлик куч моменти  $M_0$  нинг эпюраси тўғри чизикли бўлсин (211-расм). У ҳолда интеграл  $\int MM_0 dx$  — момент  $M$  нинг ҳар қандай ҳолатида  $\omega M_0$  ифода билан алмаштириш мумкин.

Схемадан:  $M = x \cdot \operatorname{tg} \alpha$  бўлса,  $\int MM_0 dx = \int d\omega \cdot x \cdot \operatorname{tg} \alpha$  келиб чиқади. Бу ерда:  $d\omega \cdot x = d\omega \cdot x_c + dx$  — эгувчи момент  $M$  эпюрасидан ажратилган элементар юза.

$$\int d\omega \cdot x = \omega \cdot x_c = S_k$$



Эгувчи момент эпюрасини  $K$  нуқтага нисбатан статик моменти. У ҳолда:  $\omega \cdot x_c \cdot \operatorname{tg} \alpha = \omega \cdot M_c^0$ ; бу ерда:  $M_c^0 = x_c \cdot \operatorname{tg} \alpha$  бирлик куч моменти  $M^0$  нинг эгувчи момент  $M$  эпюрасининг оғирлик марказига тўғри келувчи ординатаси.

$$\delta = \frac{\omega \cdot M_c^0}{EI} \quad (7.23)$$

Верещагин усули билан эгилишда кўчишларни топиш учун берилган балка эгувчи моментининг эпюраси остида бирлик куч моменти эпюраси қурилиши керак. Кейин эпюоралар ўзаро кўпайтирилади.

## 7.8. СТАТИК АНИҚМАС СИСТЕМАЛАР

Айрим конструкцияларнинг иш шароитига кўра, ундаги таянч сонини қўпайтириш керак. Таянч сони айрим конструкция қисмларининг кўчишини чеклаш учун ҳам қўпайтирилади. Бундай ҳолларда системада ортиқча боғланишлар пайдо бўлади (212-расм). Ортиқча боғланишлар системада қўшимча номаълум реакция кучларини келтириб чиқараади ( $H_A; R_A; R_B; R_C; H_B; M_A; M_B$ ). Номаълум реакция кучларини топиш учун статиканинг тенгламаларидан фойдаланамиз:

$$\left. \begin{array}{l} \sum X = 0 \\ \sum Y = 0 \\ \sum M = 0 \end{array} \right\} \quad (7.24)$$

Статиканинг тенгламаларидан ва расмдан кўриниб турибдики, ҳар бир системадаги номаълум реакция кучларининг сони статиканинг тенгламалари сонидан ортиқча экан.

Бундай системалар статик ноаниқ системалар, номаълум реакция кучларини аниқлаш статик ноаниқ системалар дейилади. Статик ноаниқ системаларни ҳисоблаш учун аввал уни аниқмаслик даражаси топилади:



$$S = n - 3$$

$n$  — системадаги номаълумлар сони;

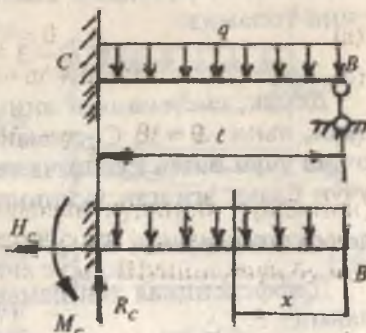
3 — статиканинг мувозанат тенгламаларининг сони;

Системанинг аниқмаслик даражаси унинг ортиқча боғланишлари сонига тенг бўлади. Ортиқча боғланишлари йўқотилган ёки статик аниқ-

маслик даражаси очилган ҳар қандай статик ноаниқ система — статик аниқ система дир. Системанинг аниқ маслик даражаси қўшимча тенгламалар — системанинг деформация тенгламаси тузилиши билан очилади.

Системанинг деформация тенгламаси қўйидаги усувлардан биттасини татбиқ этиш билан тузилади:

- 1) балка эгилган ўқининг дифференциал тенгламаси;
- 2) кўчиўларни таққослаш;
- 3) Мор интеграли ёки Вершагин формуласини татбиқ этиш;
- 4) уч момент теоремасини татбиқ этиш;
- 5) куч усули. Каноник тенглама тузиш.



213-расм.

### БАЛКА ЭГИЛГАН ЎҚИНИНГ ДИФФЕРЕНЦИАЛ ТЕНГЛАМАСИНИ ТАТБИҚ ЭТИШ

Ортиқча боғланиш ёки ортиқча номаълум сифатида  $B$  таянчдаги реакция кучини танлаймиз. В номаълум реакция кучи ва  $q$  билан юкланган система статик ноаниқ система бўлиб, асосий система дейилади. Асосий система бе-рилган системага эквивалентdir. Номаълум реакция кучларини топиш учун статиканинг мувозанат тенгламаларини тузамиз:

$$\sum X = -H_c = 0 \quad (a)$$

$$\sum Y = -R_c - q\ell + B = 0 \quad (b)$$

$$\sum M_c = -M_c + q \frac{\ell^2}{2} - B\ell = 0 \quad (v)$$

(а), (б) ва (в) тенгламалардан кўриниб турибдики, номаълум реакция кучларининг сони статиканинг мувозанат тенгламаларидан ортиқча экан. Шунинг учун бу ма-

сала статик ноаниқдир. Системанинг аниқмаслик даражасини топамиз:

$$S = n - 3 = 4 - 3 = 1$$

Демак, системанинг аниқмаслик даражаси бирга тенг экан, яъни  $S = 1$ . Системанинг аниқмаслик даражасини очиш учун битта құшимча тенглама тузиш керак. Бунинг учун балка әгилган ўқининг дифференциал тенгламасидан фойдаланамиз.  $EI \cdot y^{11} = Bx - q \frac{x^2}{2}$

Дифференциал тенгламани икки маротаба интеграллаймиз:

$$EI \cdot y^1 = B \frac{x^2}{2} - q \frac{x^3}{6} + C \quad (\text{Г})$$

$$EI \cdot y = B \frac{x^3}{6} - q \frac{x^4}{24} + CX + D \quad (\text{Д})$$

Интеграллаш доимийликлари  $C$  ва  $D$  ҳисобига номаълумлар сони иккитага ортди. Лекин, балка учларининг таянчларга таяниш шартларига кўра:  $X = 0$  да  $Y = 0$  ва

$$\begin{aligned} X = \ell & \text{ да} & y = 0 \\ y^1 = 0 & \text{ ва} & D = 0 \end{aligned}$$

$$\left. \begin{aligned} B \frac{\ell^2}{2} - q \frac{\ell^3}{6} + C = 0 \\ B \frac{\ell^3}{6} - q \frac{\ell^4}{24} + C\ell = 0 \end{aligned} \right\} \quad (\text{Е})$$

(е) тенгламалар системасидан  $B = \frac{3}{8}q\ell$  келиб чиқади.  $B$  реакциянинг қыймати топилса, статик аниқмас масалани мувозанат шартлари ёрдамида  $R_c$  ва  $M_c$  номаълум реакция күчларини аниқлаш мумкин.

**Кўчишларни таққослаш усули.** Асосий системадаги  $B$  нуқтанинг салқилиги  $q$  ва  $B$  күчлари таъсиридаги салқиликларнинг йиғиндисига тенг бўлади, яъни  $f_B = f_{Bq} + f_{BB} = 0$

Бу ерда:  $f_{Bq} = -\frac{q\ell^4}{8EI}$  В нүктанинг  $q$  кучи таъсиридан салқилиги.  $f_{BB} = \frac{B\ell^3}{3EI}$  В нүктанинг В реакция кучи таъсиридан күчиши.

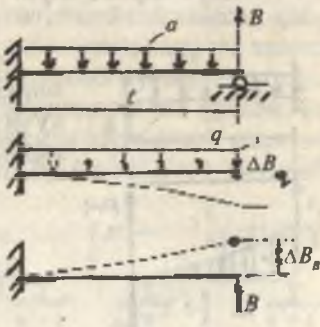
У ҳолда:  $-\frac{q\ell^4}{8EI} + \frac{B\ell^3}{3EI} = 0$  ёки  $B = \frac{3q\ell}{8}$  В реакция кучининг қийматини шундай ҳисоблаб топдикки, бу ҳолатда  $q$  ва  $B$  кучлар таъсиридаги күчишлар узаро тенг бўлди.

**Мор интегралини татбиқ этиш.** Бу усулда берилган балканинг остида асосий ва бирлик куч билан юкланган соҳта балкалар чизилади. Асосий ва соҳта балкаларнинг X оралиқ масофаси учун момент тенгламалари ёзилади (214-расм).

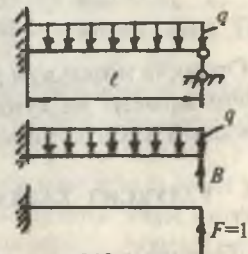
$M_x = Bx - q \frac{x^2}{2}$  ташқи куч ва но маълум реакция кучи  $B$  таъсиридаги эгувчи момент тенгламаси:

$$M_o = Fx = 1 \cdot x = x$$

В нүктанинг салқилиги нолга тенг, яни:  $f_B = 0$  ёки



214-расм.



215-расм.

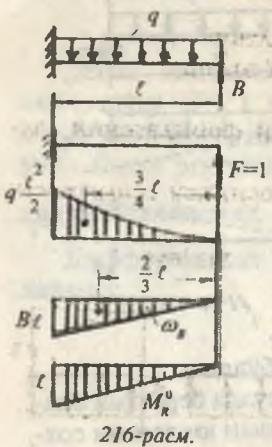
$$f_B = \int \frac{M_x M_o dx}{EI} = \int \frac{\left(Bx - q \frac{x^2}{2}\right) \cdot dx}{EI} = 0$$

Бу ерда  $\frac{1}{EI} \neq 0$ , шунинг учун  $\int_0^l \left(Bx - q \frac{x^2}{2}\right) \cdot dx = 0$  ёки интеграллашдан кейин:  $B = \frac{3}{8}ql^2$

Верешагин формуласини татбиқ этиш. Берилган куч  $-q$ , но маълум реакция кучи  $-B$  ва  $F=1$  бирлик кучи таъсиридан ҳосил бўлган эгувчи моменти эпюраларини кўрамиз.

Ҳар қайси эгувчи момент эпюраси юзаларини топамиз:

$$\omega_q = \frac{1}{3} q \frac{\ell^2}{2} \ell = q \frac{\ell^3}{6}, \quad \omega_B = \frac{1}{2} B \ell \cdot \ell = \frac{B \ell^2}{2}$$



$\omega_q$  ва  $\omega_B$  юзаларининг оғирлик марказларига түгри келувчи бирлик кучи моменти эпюрасининг ординатасини топамиш:

$$M_q^o = \frac{3}{4} \ell \quad \text{ва} \quad M_B^o = \frac{2}{3} \ell$$

В нүктанинг күчишини ёзамиз:

$$f_B = \frac{\omega_q \cdot M_q^o + \omega_B \cdot M_B^o}{EI} = \\ = \frac{1}{EI} \left( -q \frac{\ell^3}{6} \cdot \frac{3}{4} \ell + \frac{B \ell^2}{2} \cdot \frac{2}{3} \ell \right) = 0$$

$$\text{Бу ерда: } B = \frac{3}{8} q \ell$$

Ортиқча номаълум реакция кучи В топилган балканинг эгувчи момент ва кўндаланг куч эпюралари статик аниқ балқадаги каби қурилади.

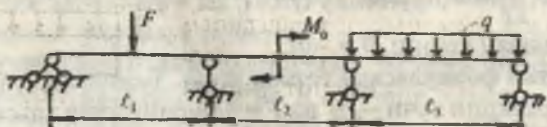
### УЗЛУКСИЗ БАЛКАЛАР. УЧ МОМЕНТ ТЕОРЕМАСИ

Статик аниқмас конструкцияларнинг асосий қуринишларидан бири узлуксиз балкалардир.

Узлуксиз деб, камида иккита таянчга таянувчи ва оралиқ шарнирлари бўлмаган балкага айтилади.

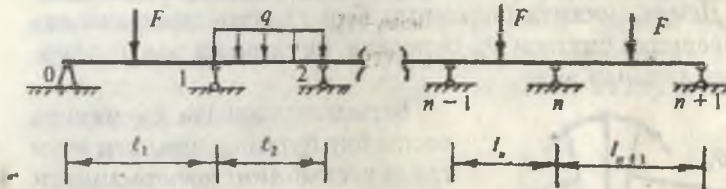
Узлуксиз балканинг чекка кесимлари шарнирли ёки қистириб маҳкамланган таянчларга таянади.

Бўйлама кучни қабул қилиш учун узлуксиз балканинг битта таянчи қўзғалмас шарнирли бўлиши керак. Ҳарорат



217-расм.

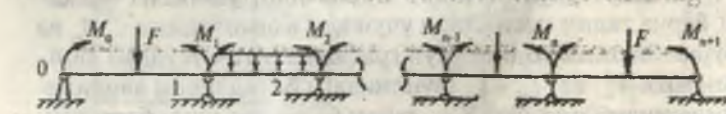
Бундай асосий системада күр бір ташқи күч ғана және оралықта таңып қиласа, таңы ташқи күч балканинг таъсирида узунлигини үзгартыриши учун үзлуксиз балканың қолган таянчларини күзгалуучан шарнирлі қабул қилинади. Агар балка  $n + 1$  та шарнирлі таянчга таянса, унда горизонтал реакция күчини ҳисобга олмаганда шунча вертикаль йұналған реакция күчлары ҳосил болады. Берилған үзлуксиз балка учун иккита мувозанат шарғын тузиш мүмкін бўлғанилиги учун бу балка  $n - 1$  маротаба ноаниқдир (218-расм).



218-расм.

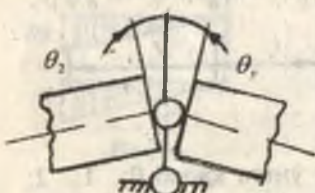
Балканың таянчлари чапдан үнгта қараб 0; 1; 2; 3... $n - 1$  ва  $n + 1$  сонлари билан белгиланishi мүмкін. Таънчлар орасидаги масофалар  $\ell_1$ ;  $\ell_2$ ;  $\ell_3$ ; ...  $\ell_n$  ва  $\ell_{n+1}$  билан белгиланади. Ҳар бир оралық узунлигининг индекси үнг таянч номерига түғри келади. Балканың узунлиги бўйлаб кесимнинг инерция моменти бир хил бўлсин. Узлуксиз балканың аниқмаслик даражасини очиш учун уч момент теоремасидан фойдаланамиз. Бунинг учун үзлуксиз балканың асосий системасини танлаймиз. Асосий системада оралық шарнирлі таянчлар устига шарнирлар, номаълум реакция күчлари ўрнига эса номаълум таянч моментлари қабул қилинган.

Бундай асосий системада ҳар бир ташқи күч ўзи қўйилған оралықта таъсир қиласа, яни ташқи күч балканың бошқа оралықтарига таъсири номаълум таянч моментида ифодаланади.



219-расм.

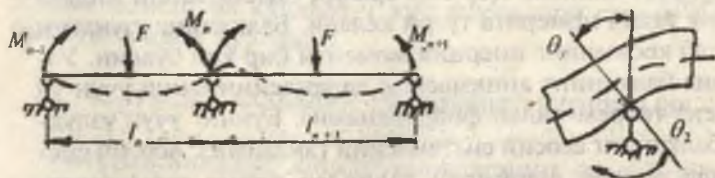
Демак, асосий система — шарнирларга таянган, ташқи күч ва номаълум моментлар билан юкланган оддий балкалар экан. Оддий икки таянчли балкалардаги ҳар бир таянч кесимининг күчиши (айланиш бурчаги) шу оралиқдаги ташқи күчга ва номаълум таянч моментига боғлиқ. Асосий системада ҳар бир оддий икки таянчли балка бошқа балкалардаги күчларга боғлиқ бўлмасдан, ўзига кўйилган ташқи күч таъсирида алоҳида деформацияланади. Демак, иккита балканинг бир таянчга таянувчи кесимларидан биттаси  $\theta_n$  бурчакка, иккинчиси эса  $\theta_1$ , бурчакка айланар экан.



220-расм.

Берилган балкада бу иккита кесим бир бутун бўлганлиги учун таянч кесимининг деформацияси (айланиш бурчаги) куйидагича бўлади (221-расм):

Бу ерда:  $\theta_n$  — узунлиги  $l_n$  бўлган чап балкани  $a$  таянчга таянувчи кесимининг айланиш бурчаги;



221-расм.

$\theta_n$  — узунлиги  $l_n + 1$  бўлган ўнг балканинг  $a$  таянчга таянган кесимининг айланиш бурчаги. Бу иккита кесим бир бутун бўлганлиги учун:  $\theta_n = \theta_1$ , яъни ўзаро қарама-қарши бурчаклар тенгdir.  $a$  — таянчга таянувчи чап ва ўнг балкалардаги  $M_n$ ;  $M_n$  ва  $M_{n+1}$  номаълум моментлари факат (9.2) шарт учун тегишли бўлмасдан, узлуксиз балканинг барча таянч кесимлари учун ҳам аҳамиятлиdir.  $\theta_n$  ва  $\theta_1$  бурчакларини топиш учун графоаналитик усулдан фойдаланамиз.  $l_n$  ва  $l_n + 1$  узунликдаги балкаларни алоҳида алоҳида чизиб оламиз. Ҳар қайси балкалар учун берилган ташқи күч ва номаълум моментлар таъсиридаги эгувчи моментлар эпюраларини қурамиз.

Учта сохта балкани бир бутун — биттә сохта балка деб қараш керак, чунки биз ўкувчига  $F$  кучи;  $M_n$ ;  $M_{n+1}$  номаълум моментларининг эгувчи моменти тушунарли бўлсин деб, ҳар бир асосий балка учун уттадан эгувчи момент эпюрасини курдик.

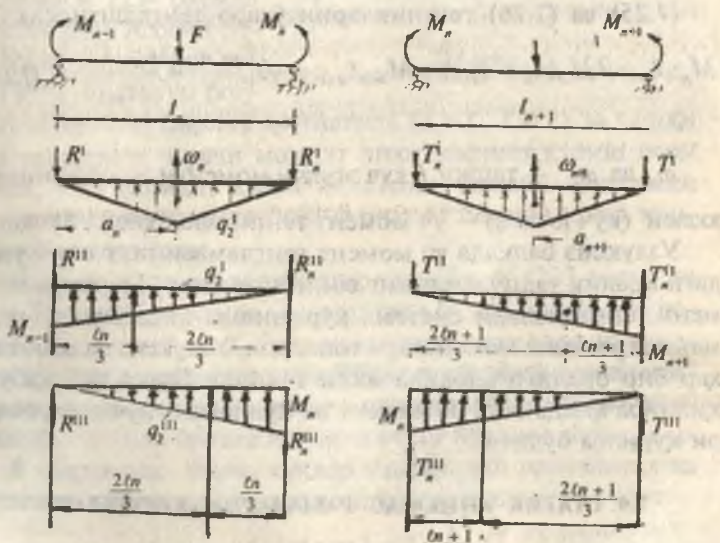
У ҳолда:  $R_n = R_n^I + R_n^{II} + R_n^{III}$  ва  $T_n = T_n^I + T_n^{II} + T_n^{III}$

$R_n$  ва  $T_n$  реакция кучларини топиш учун сохта балкаги тақсимланган куч интенсивлиги —  $q_e$  лардан ҳамда  $R_n'; R_n''; R_n'''$ ;  $T_n'; T_n''$  ва  $T_n'''$  реакция кучларидан  $n-1$  ва  $n+1$  таянчларга нисбатан моментларининг йигиндисини нолга тенглаштирамиз.

Чап балка учун:

$$\sum M_{n-1} = R_n \cdot \ell_n - \omega_n \cdot a_n - \frac{M_{n-1} \cdot \ell_n}{2} \cdot \frac{\ell_n}{3} - \frac{M_n \cdot \ell_n}{2} \cdot \frac{2\ell_n}{3} = 0$$

$$\text{Бу ерда: } R_n = \frac{M_{n-1} \cdot \ell_n}{6} + \frac{M_n \cdot \ell_n}{3} + \omega_n \frac{a_n}{\ell_n}$$



222-расм.

У пайтда чар балка  $n$  таянч кесимининг айланиш бурчаги кўйидагича топилади:

$$\theta_n = \frac{Q_c^y}{EI} = \frac{R_n}{EI} = \frac{1}{EI} \left( \frac{M_{n+1} \ell_n}{6} + \frac{M_n \ell_n}{3} + \frac{\omega_n a_n}{\ell_n} \right) \quad (7.25)$$

Ўнг балка учун:

$$\sum M_{n+1} = -T_n \cdot \ell_{n+1} + \omega_{n+1} \cdot a_{n+1} + \frac{M_{n+1} \cdot \ell_{n+1}}{2} \cdot \frac{\ell_{n+1}}{3} +$$

$$+ \frac{M_n \cdot \ell_{n+1}}{2} \cdot \frac{2\ell_{n+1}}{3} = 0$$

$$\text{Бу ёрда: } T_n = \frac{M_{n+1} \cdot \ell_{n+1}}{6} + \frac{M_n \cdot \ell_{n+1}}{3} + \omega_{n+1} \frac{a_{n+1}}{\ell_{n+1}} \text{ ва}$$

$$\theta_n = \frac{Q_c^y}{EI} = \frac{T_n}{EI} = \frac{1}{EI} \left[ \frac{M_{n+1} \ell_{n+1}}{6} + \frac{M_n \ell_{n+1}}{3} + \frac{\omega_{n+1} a_{n+1}}{\ell_{n+1}} \right] \quad (7.26)$$

(7.25) ва (7.26) тенгликларни ўзаро тенглаштирасак:

$$M_{n+1}(\ell_n + 2M_n(\ell_n + \ell_{n+1})) + M_{n+1}\ell_{n+1} = -6 \left( \frac{\omega_n a_n}{\ell_n} + \frac{\omega_{n+1} a_{n+1}}{\ell_{n+1}} \right) \quad (7.27)$$

$\omega_n$  ва  $\omega_{n+1}$  — ташқи  $F$  куч эгувчи моменти эпюрасининг юзаси (куч юзаси) — уч момент тенгламаси ҳосил бўлади.

Узлуксиз балкада уч момент тенгламасининг сони ундаги оралиқ таянчларининг сонига тенгидир. Барча уч момент тенгламалари система кўринишда ҳисобланса, но маълум реакция моментлари топилади. Узлуксиз балканинг ҳар бир оралиги алоҳида икки таянчли балка деб қабул қилинса ҳамда эгувчи момент ва кўндаланг куч эпюралари курилса бўлади.

### 3.9. СТАТИК АНИКМАС РАМАЛАРНИ ҲИСОБЛАШ

Рамали (бирикмалар) конструкциялар ўзаро бикр қилиб бириттирилган стерженлардан ташкил топган. Улардан биттасининг деформацияси унга ёндашган бошқала-

рининг деформациясига сабаб бўлади. Бундай статик ноаниқ системаларни куч усули билан ҳисоблашда ҳам асосий система танлаб олиниши керак.

Асосий система бир неча варианта танлаб олинади. Асосий системани танлашда ортиқча боғланишлар ортиқча номаълумлар —  $X$

билин алмаштирилади.

Асосий системада статик ноаниқ система содда ва статик аниқ кўринишга эга булиши, геометрик ўзгартмас булиши керак.

Икки марта статик ноаниқ рама учун асосий системани тикигавариант ва бир марга статик ноаниқ раманинг асосий системаси 223-расмда кўрсатилган. Асосий системаларнинг қайси вариантда номаълум боғланишларнинг бирлик қийматида ( $X_1=1; X_2=1$ ) ва ташни куч таъсирида эгувчи момент эпюраларини қуриш осон бўлса, ўша вариант қабул қилинади. Асосий системани танлашда ҳам чизиқли, ҳам бурчакли боғланишлар ташлаб юборилар экан.

Асосий система вариантларидан бири (223-расм) га кўра  $B$  таянч қўзғалмас — шарнирли булиб, номаълум реакция кучлари  $X_1$  ва  $X_2$  бирлик кучлар билан алмаштирилган. Кучлар таъсирининг мустақиллик аломати асосида ҳар бир куч таъсиридан қўчишлар топилади, сунгра улар қўшилди, буларнинг йигиндиси нолга тенг булиши керак, чунки  $B$  нуқтанинг барча кучлар таъсиридан горизонтал ва вертикаль қўчишлари чеклангандир, яъни:

$$\Delta_p(q; x_1, x_2) = 0$$

Деформация тентгламалари бу ҳолда қуйидагича ёзилади:

$$\Delta_{\beta} = \Delta_{\beta x_1} + \Delta_{\beta x_2} + \Delta_{\beta q} = 0 \quad (\text{горизонтал күчиш})$$

$$\Delta_{\beta} = \Delta_{\beta x_1} + \Delta_{\beta x_2} + \Delta_{\beta q} = 0 \quad (\text{вертикаль күчиш})$$

$X_1$  ва  $X_2$  номаълумлардан ҳосил буладиган күчишларни қуидагида ёзиш мумкин:  $\Delta_{\beta x_1} = \delta_{\beta 1} x_1$  ва  $\Delta_{\beta x_2} = \delta_{\beta 2} x_2$

Бу ерда:  $\delta_{\beta 1}$  ва  $\delta_{\beta 2}$  — асосий система  $B$  таянчани  $X_1 = 1$ ,  $X_2 = 1$  бирлик кучлари таъсиридан күчишидир. Горизонтал күчишда  $\Delta_{\beta} = \Delta_1$  ва вертикаль күчишда  $\Delta_{\beta} = \Delta_2$  деб қабул қилинса, юқоридаги тенглама қуидаги ёзилади:

$$\left. \begin{array}{l} \delta_{11} x_1 + \delta_{12} x_2 + \Delta_{1q} = 0 \\ \delta_{12} x_1 + \delta_{22} x_2 + \Delta_{2q} = 0 \end{array} \right\} \quad (7.28)$$

Ҳосил бўлган тенглама куч усулининг каноник тенгламалари дейилади. Уларнинг сони системанинг статик ноаниқлик даражасига тенг булади. Каноник тенгламалардаги күчишларни топиш учун асосий системада  $X_1 = 1$ ,  $X_2 = 1$  номаълум бирлик кучлардан ва ташқи кучдан эгувчи момент эпюралари қурилади. Мор формуласи ёки Верешагин усули бўйича керакли эпюралар ўзаро кўпайтирилиб, каноник тенгламанинг бирлик куч ва берилган ташқи куч таъсиридан бўладиган күчишлари топилади. Каноник тенгламаларни ҳисоблаб  $X_1$  ва  $X_2$  номаълумлар аниқланади. Номаълумлар топилгач, балка статик аниқ кўринишга келади.

### Савол ва топшириқлар

1. Балка эгилишининг потенциал энергияси нимага тенг?
2. Ишлар орасидаги боғланишлар теоремасини айтинг.
3. Күчишлар орасидаги боғланишлар теоремасини айтинг.
4. Мор интегралини ёзинг.
5. Верешагин формуласини ёзинг.
6. Статик ноаниқ система деб нимага айтилади?
7. Статик ноаниқ системалар қандай усуллар билан ечилади?
8. Уч момент тенгламасини ёзинг.
9. Каноник тенгламани ёзинг.

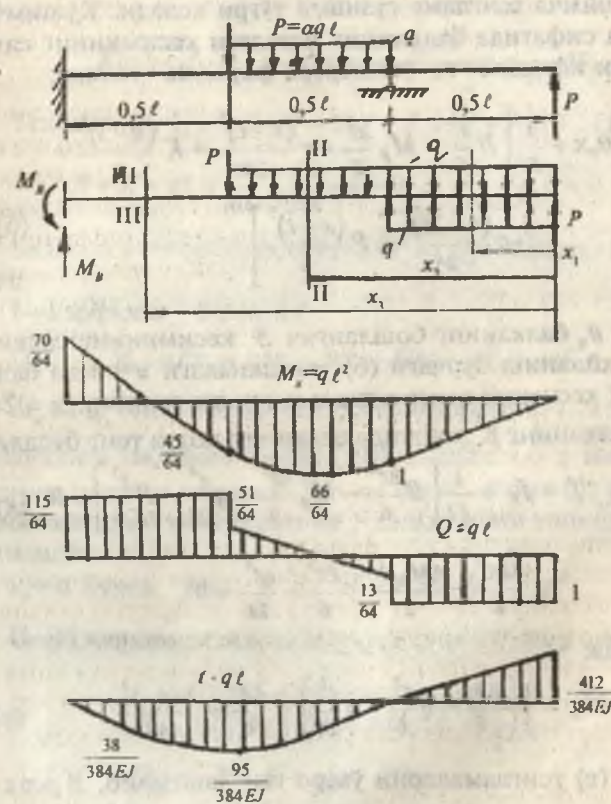
### 1-масала.

1. Берилган статик аниқмас балканинг  $B$  таянчдаги реактив момент  $M_B$  топилсин.

2.  $M_x$  ва  $Q_x$  эпюралари курилсин.  
 3. Балканинг узунлиги бўйлаб салқилик эпюраси курилсин.

$$\alpha = 1,0$$

Ечиш. Берилган системанинг эквивалент схемасини танлаймиз. (224-расм). Агар балканинг  $K$  таянчдан кейинги оралиғида тақсимланган куч интенсивлигиги таъсир қиласа, асосий (эквивалент) схемани танлашда балканинг



224-расм.

шу қисми бир-бирига тенг ва қарама-жарши йұналған —  $q$  күчлар билан тұлдірилади. Бириңчи саволға жавоб топиш учун барча күчлардан  $K$  таянч нүктеге нисбатан олинған моментлар ығындисини нолға тенглаштирамиз:

$$\sum M_K = -M_B + B \cdot 2\ell - P\ell - P\ell - q\ell^2 + q \frac{\ell^2}{2} = 0 \quad \text{ёки}$$

$$M_B = 2B\ell - 2P\ell - q \frac{\ell^2}{2} \quad (a)$$

(а) тенгламада иккита номағым булып,  $B$  ни топиш учун күшимча тенглама тузишга тұғри келади. Күшимча тенглама сифатида балканинг исталған кесимининг салқилигини ифодаловчи универсал формула тузамиз:

$$f = y_0 + \theta_0 x + \frac{1}{EI} \left[ B \frac{x^3}{6} - M_B \frac{x^2}{2} - q \frac{(x-\ell)^4}{24} + K \frac{(x-\ell)^3}{6} + q \frac{(x-2\ell)^4}{24} - P \frac{(x-\ell)^3}{6} \right] \quad (b)$$

$y_0$  ва  $\theta_0$  балканинг бошланғыч  $B$  кесимининг салқилиги ва айланиш бурчаги (б) тенгламадаги  $x = 0$  ва балканинг  $B$  кесимида таянишға асосан нолға тенгдир,  $x = 2\ell$  бўлса, балканинг  $K$  таянчидаги салқилик нолға тенг бўлади:

Демак,  $f = f_K = \frac{1}{EI} \left[ B \frac{8\ell^3}{6} - M_B \frac{4\ell^2}{2} - q \frac{\ell^4}{24} - P \frac{\ell^3}{6} \right] = 0 \quad \text{ёки}$

$$\frac{8B\ell^3}{6} - \frac{4M_B\ell^2}{2} - \frac{Pl^3}{6} - \frac{q\ell^4}{24} = 0$$

Бу ерда:

$$M_B = \frac{1}{2} \left( \frac{8B\ell}{6} - q \frac{\ell^2}{6} - q \frac{\ell^2}{24} \right) = \frac{4B\ell}{6} - \frac{5q\ell^2}{48} \quad (b)$$

(а) ва (б) тенгламаларни ұзаро тенглаштириб,  $B$  реакция күчини топамиз:  $2B\ell - 2P\ell - q \frac{\ell^2}{2} = 4B\ell - \frac{5q\ell^2}{48}$

Бу ерда:  $B \frac{115 \cdot 6}{48 \cdot 8} q\ell = \frac{115}{64} q\ell$  ифодани (а) тенгламага қўйсак,  $M_x$  моментни топамиш:

$$M_B = 2 \cdot \frac{115}{64} q\ell^2 - 2q\ell^2 - q \frac{\ell^2}{2} = \frac{70}{64} q\ell^2$$

Энди барча кучлардан  $B$  нуқтага нисбатан момент тенгламасини тузамиш ва  $K$  таянч кучини толамиш:

$$\Sigma M_B = -M_B + P\ell + q2\ell\left(\frac{2\ell}{2} + \ell\right) - K \cdot 2\ell - P \cdot 3\ell - q\ell\left(\frac{\ell}{2} + 2\ell\right) = 0$$

$$K = \frac{-M_B + P\ell + 4q\ell^2 - 3P\ell - 2.5q\ell^2}{2\ell} = -\frac{102}{128} q\ell$$

Текшириш:  $\Sigma y = B - P - 2q\ell + K + q\ell + P = 0$  ёки

$$B + K - q\ell = \frac{115}{64} - \frac{102}{128} - 1 = 0; \quad 0 = 0$$

Балкани учта оралиққа бўлиб  $M_x$  ва  $Q_x$  эпюораларни қурамиз:

**I—I қирқим.**  $0 \leq x_1 \leq \ell$

$$M_{x_1} = Px_1 = q\ell x_1 \quad \text{ва} \quad Q_{x_1} = -P = -q\ell$$

$M_x$  ва  $Q_x$  тенгламаларини тузишда балканинг  $0 \leq x_1 \leq \ell$  оралиқдаги тақсимланган куч интенсивлиги —  $q$  нинг таъсирини мисобга олмадик. Чунки  $q$  куч фақат ( $\delta$ ) тенгламани келтириб чиқаришда ва  $f$  салқиликни топишда ишлатилади.

$x_1 = 0$  бўлса,  $M_{x_1} = 0$  ва  $x_1 = \ell$  да  $M_{x_1} = q\ell^2$

**II-II қирқим.**  $\ell \leq x_2 \leq 2\ell$

$$M_{x_2} = P \cdot x_2 + K(x_2 - \ell) - q \frac{(x_2 - \ell)^2}{2}$$

$$Q_{x_2} = -P - K + q(x_2 - \ell)$$

$$x_2 = \ell \text{ да } M_{x_2} = q\ell^2 \text{ ва } Q_{x_2} = -P - K = -q\ell + \frac{51}{64} q\ell = -\frac{13}{64} q\ell$$

$$x_2 = 1,5\ell \quad M_{x_2} = q\ell \cdot 1,5\ell - \frac{51}{64}q\ell \cdot 0,5\ell - q \frac{0,2\ell^3}{2} = \frac{133}{128}q\ell^2$$

$$Q_{x_2} = -q\ell + \frac{51}{64}q\ell + 0,5q\ell = \frac{19}{64}q\ell$$

$x_2 = 2\ell$  бўлса:

$$M_{x_2} = q\ell \cdot 2\ell - \frac{51}{64}q\ell \cdot \ell - q \frac{\ell^2}{\ell} = \frac{45}{64}q\ell^2$$

$$Q_{x_2} = -q\ell + \frac{51}{64}q\ell + q\ell = \frac{51}{64}q\ell$$

III—III қирқим.  $2\ell \leq x_3 \leq 3\ell$

$$M_{x_3} = P_{x_3} + K(x_3 - \ell) - q\ell \left[ x_3 - \left( \ell + \frac{\ell}{2} \right) \right] - P(x_3 - 2\ell)$$

$$Q_{x_3} = -P - K + q\ell + P = \frac{51}{64}q\ell + q\ell = \frac{115}{64}q\ell$$

III—III қирқимда кўндаланг куч ўзгармас қийматга эга:

$$x_3 = 2\ell \text{ бўлса, } M_{x_3} = \frac{45}{64}q\ell^2; \quad x_3 = 3\ell \text{ бўлса, } M_{x_3} = \frac{70}{64}q\ell^2$$

$M_{\max}$  ни II—II қирқимдаги  $Q_{x_2} = 0$  кесимдан аниқлаймиз:

$$O = -P - K + q(x_2 - 2) \text{ ёки } O = -q\ell + \frac{51}{64}q\ell + qx_2 - q\ell$$

тenglamadan  $x_2 = \frac{2q\ell - \frac{51}{64}q\ell}{q} = \frac{77}{64}q \approx 1,2\ell$  ҳосил бўлади.

$$M_{x_2} = M_{\max} = q\ell \cdot 1,2\ell - \frac{51}{64}q \cdot 0,2\ell^2 - q \frac{0,04\ell^3}{2} = \frac{65,5}{64}q\ell^2$$

Учинчи саволга жавоб бериш учун ( $\delta$ ) tenglamadan fойдаланамиз:

$$f = \frac{1}{EI} \left[ B \frac{x^3}{6} - P \frac{(x-t)^3}{6} - M_B \frac{x^2}{2} - Q \frac{(x-t)^4}{24} + K \frac{(x-2t)^3}{6} + q \frac{(x-t)^4}{24} \right]$$

$$x = 0,5\ell; \quad f = -\frac{38,1q\ell^4}{384EI}; \quad x = \ell; \quad f = -\frac{95q\ell^6}{384EI}$$

$$x = 1,5\ell; \quad f = -\frac{93,37q\ell^4}{384EI}; \quad x = 2\ell; \quad f = 0;$$

$$x = 3\ell; \quad f = \frac{412}{384} q\ell^4$$

- 2-масала. Икки оралиқлы балка схемада күрсатилғанинан дектеңіз. Балканинг статик ноанықтык даражаси тоғылғынан және реакция күчлары аниқланып:  $M$  және  $Q$  эпюралары күрілсін және  $h:b=2$  нисбатдан фойдаланып балка кесимининг ўлчамлары топылсін. Балканинг материалы — пұлат  $[\sigma] = 160 \text{ MPa}$  (225-расм).

Ечиш. Берилген узлуксиз балка бұлғанлиги учун статиканынг тенгламаларидан қуидагиларни ҳосил қиласыз (225-расм).

$$\sum x = -x_0 = 0 \quad (1)$$

$$\sum y = R_0 - F + R_B + R_c - F = 0 \quad (2)$$

$$\sum M_0 = -F \cdot 2 - R_B \cdot 4 + F \cdot 6 - R_c \cdot 8 = 0 \quad (3)$$

Учта тенгламада түрттә номағым. Демек, узлуксиз балка бир маротаба статик ноанық. Узлуксиз балканинг статик ноанықтык даражасини очиш учун уч момент тенгламасынан фойдаланыз. Узлуксиз балкадаги номағым реакция күчларини номағым таянч моментлари билан алмаштириб, асосий системани ҳосил қиласыз. Асосий системада ўрта (1) таянчны ортиқча боғланиш деб шарнир билан алмаштирамыз. Узлуксиз балкани 2 та оддий балкаларга ажратади. Оддий балкалар учун эгувчи момент эпюраларини курамыз және уларни күч юзалары деб қабул қиласыз:

$$\omega_1 = \omega_2 = \frac{1}{2} \cdot 10 \cdot 4 = 20 \text{ kNm}^2$$

$$x_2 = 1,5\ell \quad M_{x_2} = q\ell \cdot 1,5\ell - \frac{51}{64}q\ell \cdot 0,5\ell - q \frac{0,2\ell^2}{2} = \frac{133}{128}q\ell^2$$

$$Q_{x_2} = -q\ell + \frac{51}{64}q\ell + 0,5q\ell = \frac{19}{64}q\ell$$

$x_2 = 2\ell$  бўлса:

$$M_{x_2} = q\ell \cdot 2\ell - \frac{51}{64}q\ell \cdot \ell - q \frac{\ell^2}{\ell} = \frac{45}{64}q\ell^2$$

$$Q_{x_2} = -q\ell + \frac{51}{64}q\ell + q\ell = \frac{51}{64}q\ell$$

III—III қирқим.  $2\ell \leq x_3 \leq 3\ell$

$$M_{x_3} = P_{x_3} + K(x_3 - \ell) - q\ell \left[ x_3 - \left( \ell + \frac{\ell}{2} \right) \right] - P(x_3 - 2\ell)$$

$$Q_{x_3} = -P - K + q\ell + P = \frac{51}{64}q\ell + q\ell = \frac{115}{64}q\ell$$

III—III қирқимда кўндаланг куч ўзгармас қийматга эга:

$$x_3 = 2\ell \text{ бўлса, } M_{x_3} = \frac{45}{64}q\ell^2; \quad x_3 = 3\ell \text{ бўлса, } M_{x_3} = \frac{70}{64}q\ell^2$$

$M_{\max}$  ни II—II қирқимдаги  $Q_{x_2} = 0$  қесимдан аниқлаймиз:

$$O = -P - K + q(x_2 - 2) \text{ ёки } O = -q\ell + \frac{51}{64}q\ell + qx_2 - q\ell$$

тenglamadan  $x_2 = \frac{2q\ell - \frac{51}{64}q\ell}{q} = \frac{77}{64}q \approx 1,2\ell$  ҳосил бўлади.

$$M_{x_2} = M_{\max} = q\ell \cdot 1,2\ell - \frac{51}{64}q \cdot 0,2\ell^2 - q \frac{0,04\ell^2}{2} = \frac{65,5}{64}q\ell^2$$

Учинчи саволга жавоб бериш учун ( $\delta$ ) тенгламадан фойдаланамиш:

$$f = \frac{1}{EI} \left[ B \frac{x^3}{6} - P \frac{(x-t)^3}{6} - M_B \frac{x^2}{2} - q \frac{(x-t)^4}{24} + K \frac{(x-2t)^3}{6} + q \frac{(x-t)^4}{24} \right]$$

$$x = 0,5\ell, \quad f = -\frac{38,1q\ell^4}{384EI}; \quad x = \ell; \quad f = -\frac{95q\ell^4}{384EI}$$

$$x = 1,5\ell; \quad f = -\frac{93,37q\ell^4}{384EI}; \quad x = 2\ell; \quad f = 0;$$

$$x = 3\ell; \quad f = \frac{412}{384} q\ell^4$$

**2-масала.** Икки оралиқлы балка схемада күрсатылғани-дек юқланған. Балканинг статик ноанықлик даражаси то-пилсін ва реакция күчләри аниқлансын:  $M$  ва  $Q$  әпюрала-ри қурилсін ва  $h : b = 2$  нисбатдан фойдаланыб балка ке-симиининг ўлчамлари топилсін. Балканинг материалы — пұлат  $[\sigma] = 160 \text{ MPa}$  (225-расм).

Ечиш. Берилған узлуксиз балка бұлғанлиги учун стати-канинг тенгламаларидан қуидагиларни ҳосил қиласыз (225-расм).

$$\sum x = -x_0 = 0 \tag{1}$$

$$\sum y = R_0 - F + R_B + R_c - F = 0 \tag{2}$$

$$\sum M_0 = -F \cdot 2 - R_B \cdot 4 + F \cdot 6 - R_c \cdot 8 = 0 \tag{3}$$

Учта тенгламада түрттә номаълум. Демак, узлуксиз балка бир маротаба статик ноанық. Узлуксиз балканинг статик ноанықлик даражасини очиш учун уч момент тенгламаси-дан фойдаланамыз. Узлуксиз балқадаги номаълум реакция күчларини номаълум таянч моментләри билан алмашти-риб, асосий системани ҳосил қиласыз. Асосий системада ўрта (1) таянчны ортиқча бөгләнеш деб шарнир билан алмаштирамыз. Узлуксиз балкани 2 та оддий балкаларга ажратади. Оддий балкалар учун эгувчи момент әпюрала-рини қурамыз ва уларни күч юзалары деб қабул қиласыз:

$$\omega_1 = \omega_2 = \frac{1}{2} \cdot 10 \cdot 4 = 20 \text{ kNm}^2$$

$\omega_1$  ва  $\omega_2$  дан балкаларнинг четки таянчларигача бўлган масофалярни  $a, b$  деб қабул қиласиз.

Уч момент тенгламасини тузамиш (225-расм):

$$M_0 \cdot \ell_1 + 2M_1(\ell_1 + \ell_2) + M_2 \cdot \ell_2 = -6 \left( \omega_1 \frac{a}{\ell_1} + \omega_2 \frac{b}{\ell_2} \right)$$

Уч момент тенгламасида:

$$M_0 = 0; \quad M_2 = 0; \quad \ell_1 = 4 \text{ м}; \quad \ell_2 = 4 \text{ м}$$

$$a = 2 \text{ м}; \quad b = 2 \text{ м}$$

У ҳолда:  $M_1 = -7,5 \text{ кНм}$

Оддий балкаларни  $M_1$  моменти билан юклаймиз (225-расм). Ҳар бир оддий балканинг  $F$  ташқи кути ва  $M_1$  моменти таъсиридан реакция кучларини топамиш.

Чап балка (225-расм):

$$\sum M_0 = F \cdot 2 - R_B^* \cdot 4 + M_1 = 0; \quad R_B^* = \frac{27,5}{4} \text{ кН}$$

$$\sum M_B = R_0 \cdot 4 - F \cdot 2 + M_1 = 0; \quad R_0 = \frac{12,5}{4} \text{ кН}$$

Ўнг балка (225-расм):

$$\sum M_B = -M_1 + F \cdot 2 - R_c \cdot 4 = 0; \quad R_c = \frac{12,5}{4} \text{ кН}$$

$$\sum M_c = -M_1 + R_B^* \cdot 4 - F \cdot 2 = 0; \quad R_B^* = \frac{27,5}{4} \text{ кН}$$

Узлуксиз балканинг реакция кучларини ёзамиш:

$$R_0 = \frac{12,5}{4} = 3,125 \text{ кН}; \quad R_c = \frac{12,5}{4} = 3,125 \text{ кН}$$

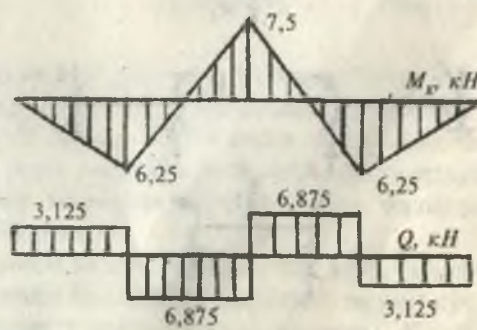
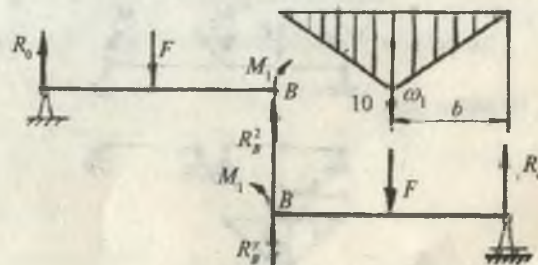
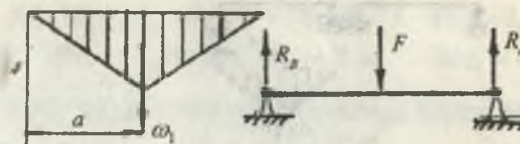
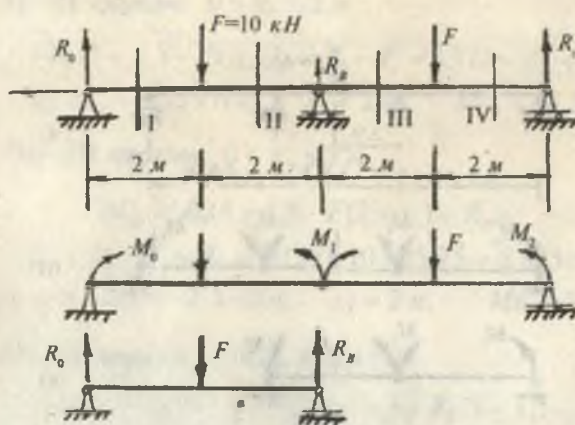
$$R_B = R_B^* + R_B^* = \frac{27,5}{4} + \frac{27,5}{4} = 13,75 \text{ кН}$$

Узлуксиз балкани оралиқларга бўлиб,  $M$  ва  $Q$  тенгламаларини тузамиш:

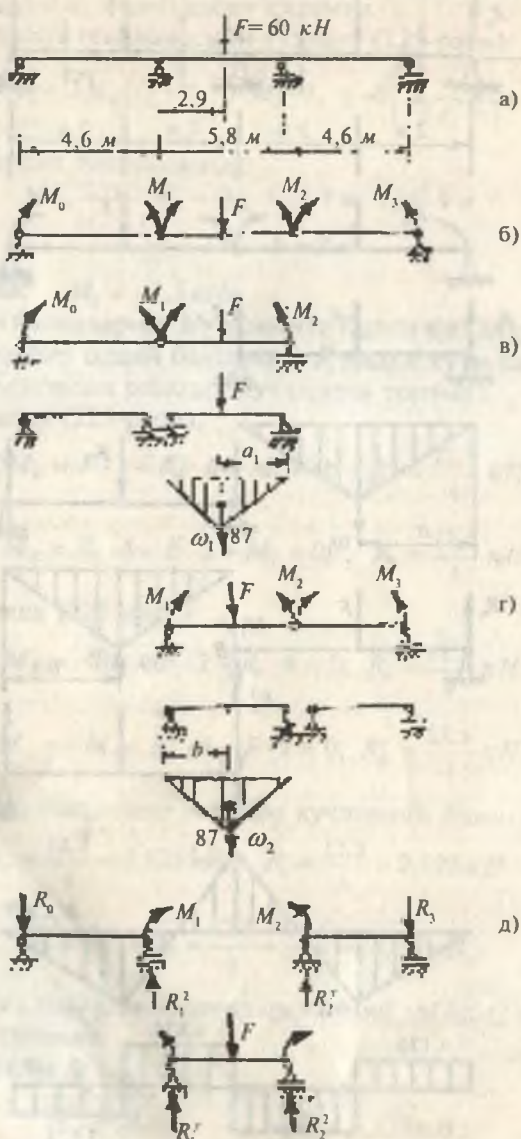
I—I қирқим.  $0 \leq x_1 \leq 2 \text{ м}$

$$M_{x_1} = R_0 x_1; \quad Q_1 = R_0 = 3,125 \text{ кН};$$

$$x_1 = 0; \quad M_1 = 0; \quad x_1 = 2 \text{ м}; \quad M_1 = 6,25 \text{ кНм}$$



225-pacm.



226-расм.

**II-II қирқим.**  $0 \leq x_2 \leq 2 \text{ м}$

$$M_{x_2} = R_0(2 + x_2) - Fx_2; \quad Q_2 = R_0 - F = 3,125 - 10 = -6,875 \text{ кН}$$

$$x_2 = 0; \quad M_2 = 6,25 \text{ кНм}; \quad x_2 = 2 \text{ м}; \quad Mx_2 = -7,5 \text{ кНм}$$

**III-III қирқим.**  $0 \leq x_3 \leq 2 \text{ м}$

$$M_{x_3} = R_0(4 + x_3) - F(2 + x_3) + R_B x_3$$

$$Q_3 = R_0 - F + R_B = 3,125 - 10 + 13,75 = 6,875 \text{ кН}$$

$$x_3 = 0; \quad M_3 = -7,5 \text{ кНм}; \quad x_3 = 2 \text{ м}; \quad Mx_3 = 6,25 \text{ кНм}$$

**IV-IV қирқим.**  $0 \leq x_4 \leq 2 \text{ м}$

$$M_{x_4} = R_0(6 + x_4) - F(4 + x_4) + R_B(2 + x_4) - Fx_4$$

$$Q_4 = R_0 - 2F + R_B = 3,125 - 10 + 13,75 - 10 = -3,125 \text{ кН}$$

$$x_4 = 0; \quad Mx_4 = 6,25 \text{ кНм}; \quad x_4 = 2 \text{ м}; \quad Mx_4 = 0 \text{ кН}$$

Энг катта эгувчи момент В таянчда ҳосил бұлади:

$$M_{\max} = 7,5 \text{ кНм}$$

Эгилишда мустақамлык шартына ассоцианан:

$$W_x = \frac{M_{\max}}{[\sigma]} = \frac{7,5}{160 \cdot 10^3} = 4,7 \cdot 10^{-5} \text{ м}^3. \quad \text{Бу ерда: } W_x = \frac{bh^2}{6} \quad \text{ва}$$

$$h = 2b$$

Ү қолда:

$$b = \sqrt[3]{\frac{6 \cdot 4,7 \cdot 10^{-5}}{4}} = 0,0413 \text{ м}; \quad h = 2 \cdot 0,0413 = 0,086 \text{ м}$$

**3-масала.** Уч оралиқли узлуксиз балка учун эгувчи момент ва күндаланғ күч әпюралари қурилсін.

**Ечиш.** Узлуксиз балка иккі маротаба статик ноаниқ. Шунинг учун узлуксиз балқаны иккита оддий иккі оралиқли, бир маротаба статик ноаниқ балкаларга ажратамиз (226-б расм).

Хар қайси иккі оралиқли узлуксиз балкаларни оддий иккі таянчли балкаларга ажратып, ташқи күч таъсиридан эгувчи момент әпюраларини қурамиз. Күч юзаларининг тенг таъсир қилувчиларини топамиз (226-в, г расм).

$\omega_1 = \omega_2 = \frac{1}{2} \cdot 87 \cdot 5,8 = 252,3 \text{ кНм}^2$ ;  $a_1 = b = 2,9 \text{ м}$ . Ҳар қайси иккى оралықли узлуксиз балка учун үч момент тенгламасын тузамиз:

$$M_0 \cdot 4,6 + 2M_1(4,6 + 5,8) + M_2 \cdot 5,8 = -6 \frac{\omega_1 \cdot a_1}{5,8}$$

$$M_1 \cdot 5,8 + 2M_2(5,8 + 4,6) + M_3 \cdot 4,6 = -6 \frac{\omega_2 \cdot b}{5,8}$$

Бу ерда:  $M_0 = 0$ ;  $M_3 = 0$

$$\begin{cases} 20,8M_1 + 5,8M_2 = -6 \frac{\omega_1 a_1}{5,8} \\ 5,8M_1 + 20,8M_2 = -6 \frac{\omega_2 b}{5,8} \end{cases} \left| \begin{array}{l} (-20,3) \\ (5,8) \end{array} \right.$$

$$-432,64M_1 - 120,64M_2 = 124,8 \frac{\omega_1 \cdot a_1}{5,8}$$

$$33,64M_1 + 120,64M_2 = -34,8 \frac{\omega_2 \cdot b}{5,8}$$

Иккала тенгламани құшсак:

$$-399M_1 = 124,8 \frac{252,3 \cdot 2,9}{5,8} - 34,8 \frac{252,3 \cdot 2,9}{5,8}; M_1 = -28,45 \text{ кНм}$$

жосил бўлади ва  $20,8(-28,45) + 5,8M_2 = -6 \frac{252,3 \cdot 2,9}{5,8}$ ;

$$M_2 = -28,45 \text{ кНм}.$$

Оддий иккى таянчли балкаларни  $M_1$  ва  $M_2$  моментлари билан юклаймиз (226-расм).

Ҳар бир оддий балканинг реакция кучларини топамиз:

1-балка:

$$\sum M_0 = M_1 - R_1^r \cdot 4,6 = 0; R_1^r = 6,2 \text{ кН}$$

$$\sum M_1^r = -R_0 \cdot 4,6 + M_1 = 0; R_0 = 6,2 \text{ кН}$$

2-балка:

$$\sum M_1^r = F2,9 - M_1 + M_2 - R_2^r \cdot 5,8 = 0; R_2^r = 30 \text{ кН}$$

$$\sum M_2^r = R_1^r \cdot 5,8 - M_1 + M_2 - F \cdot 2,9 = 0; R_1^r = 30 \text{ кН}$$

3-балқа:

$$\sum M_2^y = R_3 \cdot 5,8 - M_2 = 0; \quad R_3 = 6,2 \text{ кН}$$

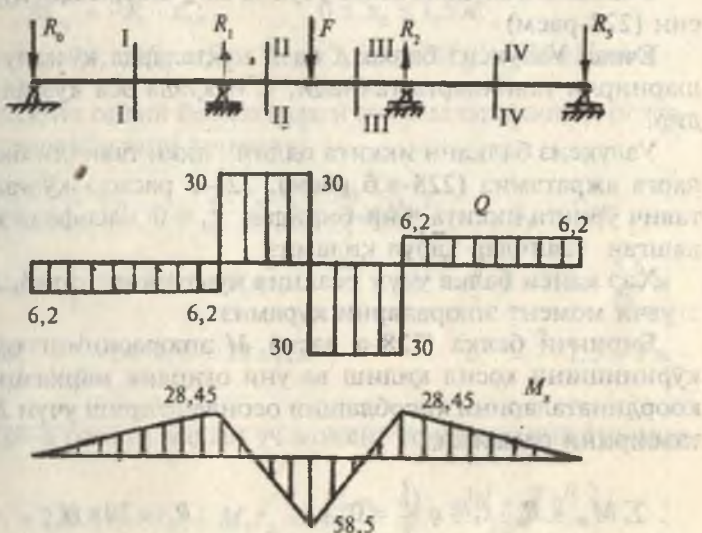
$$\sum M_3 = R_2^y \cdot 5,8 - M_2 = 0; \quad R_2^y = 6,2 \text{ кН}$$

Узлуксиз балканинг реакция кучлари:

$$R_0 = 6,2 \text{ кН}; \quad R_3 = 6,2 \text{ кН}$$

$$R_1 = R_1^y + R_1^x = 6,2 + 30 = 36,2 \text{ кН}$$

$$R_2 = R_2^y + R_2^x = 30 + 6,2 = 36,2 \text{ кН}$$



227-расм.

Узлуксиз балкани оралиқтарга бўлиб кўндаланг  $Q$  ва эгувчи момент  $M_x$  тенгламаларини тузамиш (227-расм).

I—I қирқим.  $0 \leq x_1 \leq 4,6 \text{ м}$

$$Q_1 = -R_0 = -6,2 \text{ кН}; \quad M_{x_1} = -R_0 x_1$$

II-II қирқим.  $4,6 \leq x_2 \leq 7,5 \text{ м}$

$$Q_2 = -R_0 + R_1 = -6,2 + 36,2 = 30 \text{ кН}$$

$$M_{x_2} = -R_0 x_2 + R_1 (x_2 - 4,6)$$

**III—III қирқим.**  $7,5 \leq x_3 \leq 10,4 \text{ м}$

$$Q_3 = -R_0 + R_1 - F = -6,2 + 36,2 - 60 = -30 \text{ кН}$$

$$M_{x_3} = -R_0 x_3 + R_1 (x_3 - 4,6) - F (x_3 - 7,5)$$

**IV—IV қирқим.**  $10,4 \leq x_4 \leq 15 \text{ м}$

$$Q_4 = -R_0 + R_1 - F + R_2 = -6,2 + 36,2 - 60 + 36,2 = 6,2 \text{ кН}$$

$$M_{x_4} = -R_0 x_4 + R_1 (x_4 - 4,6) - F (x_4 - 7,5) + R_2 (x_4 - 10,4)$$

**4-масала.** Узлуксиз балка учун  $M$  ва  $Q$  эпюралари қурилсин (228-расм)

**Ечиш.** Узлуксиз балка  $K$  ва  $B$  нүкталарда құзғалувчан шарнирли таянчларга таянади;  $C$  нүктада эса құзғалмасдир.

Узлуксиз балкани иккита оддий икки таянчли балкаларга ажратамиз (228-а,б расм). 228-б расмда құзғалмас таянч үрнига иккита, бир-биридан  $\ell_3 = 0$  масофада жойлашган таянчлар қабул қиласыз.

Хар қайси балка учун реакция күчларини топиб,  $M$  — әгувчи момент эпюраларни қурамиз.

Биринчи балка (228-а расм)  $M$  эпюрасининг оддий күринишини ҳосил қилиш ва уни оғирлик марказининг координаталарини ҳисоблашни осонлаштириш учун  $F$  күч таъсирини олмаймиз.

$$\sum M_B = R_k \cdot \ell_1 - q \frac{\ell_1^2}{2} = 0; \quad R_k = 20 \text{ кН}$$

$$\sum M_k = -R_B \cdot \ell_1 + q \frac{\ell_1^2}{2} = 0; \quad R_B = 20 \text{ кН}$$

$$M_x = R_k \cdot x_1 - q \frac{x_1^2}{2}; \quad 0 \leq x_1 \leq \ell_1$$

$$x_1 = 0; \quad M_x = 0; \quad x_1 = \ell_1; \quad M_x = 0; \quad x_1 = \frac{\ell_1}{2}; \quad M_x = 10 \text{ кНм}$$

Иккінчи балка (228-б расм) иккінчи оралиқнинг узунлиги бүлгансында фақат  $B$  ва  $C$  таянчлар қолади. Демек, иккінчи балка икки таянчли ва  $M$  — жуфт күч моменти билан юқланған.

$$\sum M_B = -M_0 + R_c \cdot 2,5 = 0; \\ \sum M_c = -M_0 + R_B \cdot 2,5 = 0;$$

$$R_c = 16 \kappa H \\ R_B = 16 \kappa H$$

### I—I қирқим.

$$M_{x_1} = R_B \cdot x_1; \quad 0 \leq x_1 \leq 1 \text{ м} \\ x_1 = 0; \quad M_{x_1} = 0; \quad x_1 = 1 \text{ м}; \quad M_{x_1} = 16 \kappa H \text{м}$$

### II—II қирқим.

$$M_{x_2} = -R_c \cdot x_2; \quad 0 \leq x_2 \leq 1,5 \text{ м} \\ x_2 = 0; \quad M_{x_2} = 0; \quad x_2 = 1,5 \text{ м}; \quad M_{x_2} = -24 \kappa H \text{м}$$

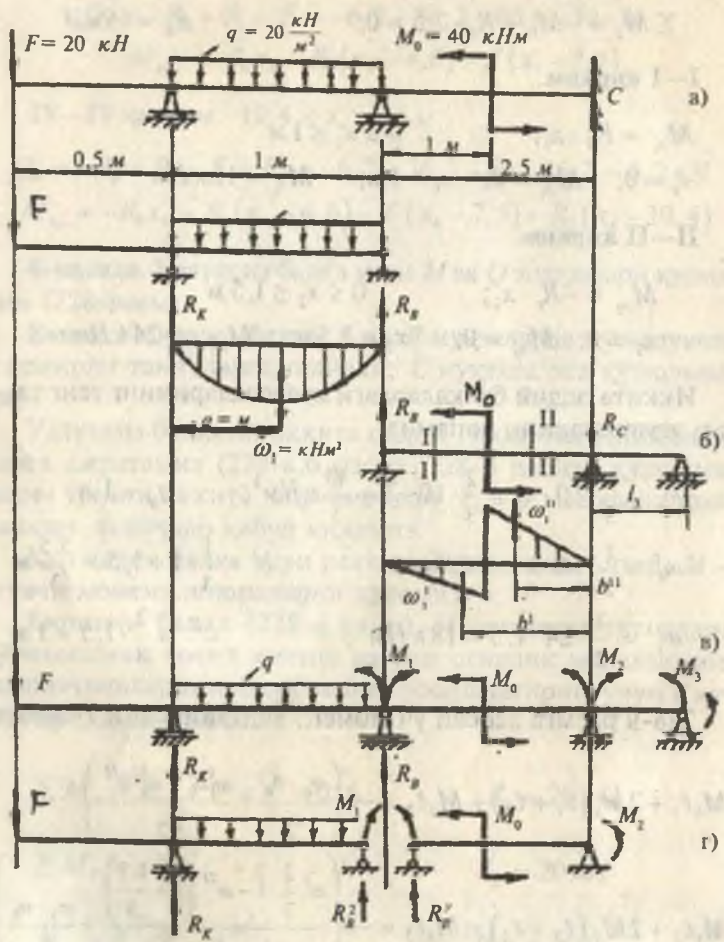
Иккита оддий балкалардаги күч юзаларининг тенг тасир этувчилигини топамиш:

$$\omega_q = \frac{2}{3} \cdot 10 \cdot \ell_1 = \frac{2}{3} \cdot 10 \cdot 2 = \frac{40}{3} \kappa H \text{м}^2; \quad a_q = 1 \text{ м} \\ \omega_1^I = \frac{1}{2} \cdot 16 \cdot 1 = 8 \kappa H \text{м}^2; \quad b^I = \frac{1}{3} \cdot 1 + 1,5 = \frac{5,5}{3} \text{ м} \\ \omega_1^{II} = \frac{1}{2} \cdot 24 \cdot 1,5 = 18 \kappa H \text{м}^2; \quad b^{II} = \frac{2}{3} \cdot 1,5 = 1 \text{ м}$$

228-в расмга асосан уч момент тенгламасини тузамиш:

$$\left\{ \begin{array}{l} M_k \ell_1 + 2M_1 (\ell_1 + \ell_2) + M_2 \ell_2 = -6 \left( \frac{\omega_q \cdot a_q}{\ell_1} + \frac{\omega_1^I b_1^I - \omega_1^{II} b^{II}}{\ell_2} \right) \\ M_1 \ell_2 + 2M_2 (\ell_2 + \ell_3) + M_3 \ell_3 = -6 \left( \frac{\omega_1^I \frac{2}{3} \cdot 1 - \omega^{II} \left( 1 + \frac{1,5}{3} \right)}{\ell_2} + \frac{\omega_3 \cdot a_3}{\ell_3} \right) \end{array} \right.$$

Бу срда:  $M_k = -F \cdot 0,5 = -10 \kappa H \text{м}; \quad M_3 = 0; \quad \omega_3 = 0$   
 $a_3 = 0; \quad \ell_3 = 0$



228-расм.

$$-10 \cdot 2 + 9M_1 + 2,5M_2 = -6 \left( \frac{40 \cdot 1}{6} + \frac{\frac{8 \cdot 5,5}{3} - 18 \cdot 1}{2,5} \right)$$

У ҳолда:

$$M_1 2,5 + 5M_2 = -6 \left[ \frac{16}{7,5} - \frac{18 \cdot 1,5}{2,5} \right]$$

$$\begin{aligned} -20 + 9M_1 + 2,5M_2 &= -32 \\ 2,5M_1 + 5M_2 &= 52 \end{aligned} \quad \left. \begin{array}{l} 9M_1 + 2,5M_2 = -12 \\ 2,5M_1 + 5M_2 = 52 \end{array} \right\} \text{ ёки }$$

Икки номаълумли иккита тенгламалар системаси ҳосил бўлди.

Бу ерда  $M_1 = -4,9 \text{ кНм}$  ва  $M_2 = 12,84 \text{ кНм}$  ҳосил бўлади.  $M_1$  ва  $M_2$  моментларнинг қийматларини ва ишораларини ҳисобга олиб, оддий икки таянчли балкаларнинг реакция кучларини топамиз (228-г расм).

Чап балка:

$$\sum M_k = -F \cdot 0,5 + q \frac{\ell_1^2}{2} + M_1 - R_B'' \cdot \ell_1 = 0; \quad R_B'' = 17,45 \text{ кН}$$

$$\sum M_B = -F \cdot (0,5 + \ell_1) - q \frac{\ell_1^2}{2} + M_1 - R_k \cdot \ell = 0; \quad R_k = 42,25 \text{ кН}$$

Ўнг балка:

$$\sum M_B' = -M_1 - M_0 - M_2 + R_c \cdot \ell_2 = 0; \quad R_c = 23,096 \text{ кН}$$

$$\sum M_c = -M_1 - M_0 - M_2 + R_B' \cdot \ell_2 = 0; \quad R_B' = 23,096 \text{ кН}$$

Узлуксиз балканинг реакция кучлари:

$$R_k = 42,55 \text{ кН}; \quad R_c = 23,096 \text{ кН}$$

$$R_B = R_B'' + R_B' = 17,45 + 23,096 = 40,545 \text{ кН}$$

Узлуксиз балканинг  $C$  қўзғалмас таянч нуқтасидаги реакция кучи:  $R_c = 23,096 \text{ кН}$  ва таянч моменти  $M_2 = M_c = 12,84 \text{ кНм}$

Балкани (229-расм) оралиқларга бўлиб  $M$  ва  $Q$  тенгламаларини топамиз.

I—I қирқим.  $0 \leq x_1 \leq 0,5 \text{ м}$

$$M_{x_1} = -Fx_1; \quad Q_1 = -F = -20 \text{ кН}; \quad x_1 = 0; \quad Mx_1 = 0;$$

$$x_1 = 0,5 \text{ м}; \quad Mx_1 = -10 \text{ кнм}$$

II—II қирқим.  $0 \leq x_2 \leq 2 \text{ м}$

$$M_{x_2} = -F(0,5 + x_2) + R_k x_2 - q \frac{x_2^2}{2}; \quad Q_2 = -F + R_k - qx_2$$

$$x_2 = 0 \quad M_{x_2} = -10 \text{ кНм} \quad Q_2 = 22,55 \text{ кН}$$

$$x_2 = 1 \text{ м}; \quad Mx_2 = 2,55 \text{ кНм}; \quad Q_2 = 12,55 \text{ кН}$$

$$x_2 = 2 \text{ м}; \quad Mx_2 = -4,9 \text{ кНм}; \quad Q_2 = -17,45 \text{ кН}$$

$Q$  — күндаланған күч абсолюттасуынан кесиб үтиш нүктесінде нолға тенг болады. Шу нүктада балканинг иккінчи қирқимдагы чүзиладиган толаларидан  $M_{x_1} = M_{\max}$ , әгувачи момент энг катта қийматта әришади.

$$-F + R_k - qx_2 = 0 \quad \text{ёки} \quad x_2 = \frac{R_k - F}{q} = 1,1275 \text{ м}$$

Ү ҳолда:

$$M_{x_2} = M_{x_2 \max} = -20 \cdot 1,1275 + 42,55 \cdot 1,1275 -$$

$$- 20 \frac{(1,1275)^2}{2} = 2,71 \text{ кНм}$$

III—III қирқим.  $0 \leq x_3 \leq 1 \text{ м}$

$$M_{x_3} = -F(2,5 + x_3) + R_k(2 + x_3) - q \cdot 2(1 + x_3) + R_B x_3$$

$$Q_3 = -F + R_k - 2q + R_B =$$

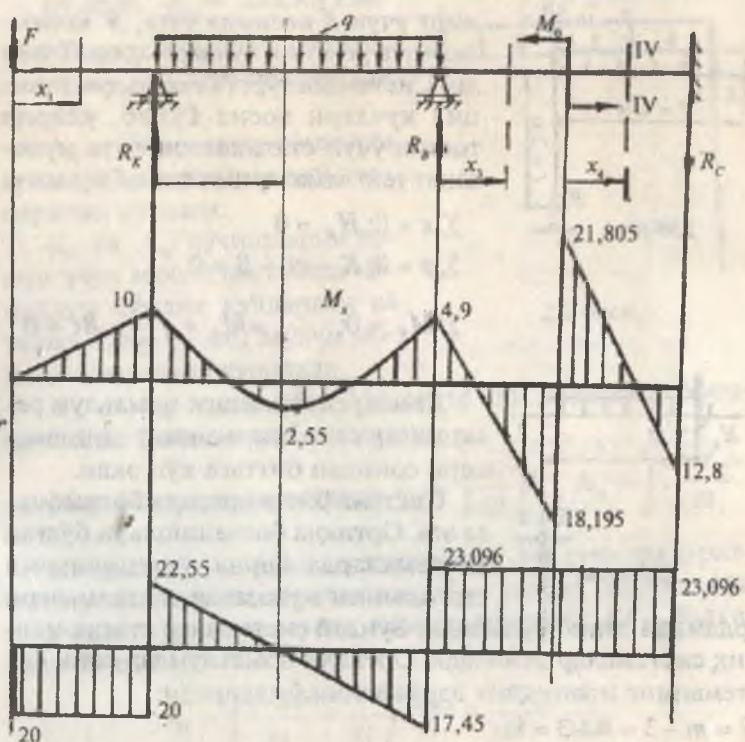
$$= -20 + 42,55 - 2 \cdot 20 + 40,545 = 23,096 \text{ кН}$$

$$x_3 = 0; \quad M_{x_3} = -4,9 \text{ кнм}; \quad x_3 = 1 \text{ м}; \quad M_{x_3} = 18,195 \text{ кНм}$$

IV—IV қирқим.  $0 \leq x_4 \leq 1,5 \text{ м}$

$$M_{x_4} = -F(3,5 + x_4) + R_k(3 + x_4) - q \cdot 2(2 + x_4) + R_B(1 + x_4) - M_0$$

$$Q_4 = -F + R_k - 2q + R_B = 23,096 \text{ кН}$$



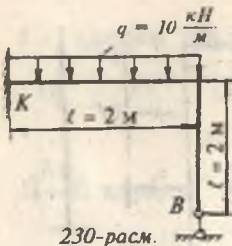
229-расм.

$$x_4 = 0; \quad M_{x_4} = -21,805 \text{ кНм}; \quad x_4 = 1,5 \text{ м}; \quad M_{x_4} = 12,84 \text{ кНм}$$

**5-масала.** Статик ноаниқ раманинг  $M$ ,  $Q$  ва  $N$  эпюралари қурилсун:

- 1) статик аниқмас рамаларнинг аниқмаслик даражасини топинг;
- 2) каноник тенгламани тузинг;
- 3) берилган куч ва бирлик куч эпюраларини қуринг;
- 4) күчишларни топинг;
- 5) ортиқча боғланишларни аниқланг;
- 6)  $M$ ,  $Q$  ва  $N$  эпюраларини қуринг.

**Ечиш.** Раманинг  $K$  кесими бирк маҳкамланган таянчига,  $B$  кесими құзғалувчан шарнирли таянчга таянади. Шу-



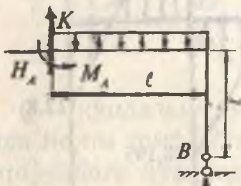
230-расм.

нинг учун  $K$  кесимда учта,  $B$  кесимда битта реакция кучлари ҳосил булади. Системада түрттә номаълум реакция кучлари ҳосил бўлиб, уларни топиш учун статиканинг учта мувозанат тенгламаларини тузиш мумкин:

$$\sum x = 0; H_K = 0$$

$$\sum y = 0; K - q\ell + B = 0$$

$$\sum M_K = 0; -M_K + q \frac{\ell^2}{2} - B\ell = 0$$



231-расм.

Демак, системадаги номаълум реакциялар сони статиканинг тенгламалари сонидан биттага кўп экан.

Система битта ортиқча боғланишга эга. Ортиқча боғланишлари бўлган системаларда барча реакцияларни статиканинг мувозанат тенгламалари

ёрдамида топиб бўлмайди. Бундай системалар статик ноаниқ системалар дейилади. Ортиқча номаълумлар сони системанинг ноаниқлик даражасини билдиради:

$$S = m - 3 = 4 - 3 = 1$$

$m$  — системадаги номаълум реакциялар сони. Статик ноаниқ масалани ечиш учун берилган системадан асосий системага ўтилади. Асосий система, бу номаълум реакцияни номаълум боғланиш кучи  $X$  билан алмаштирилган ҳолати ёки статик ноаниқ системани статик аниқ кўришишга келтирилишидир (232-расм).

Асосий системага қўйилган номаълум ортиқча боғланиш кучи —  $X$  бирлик куч дейилади. Берилган системада  $q$  ва  $B$  кучлари таъсиридан  $B$  нуқтанинг кўчиши нолга тенг, яъни  $\Delta_B = 0$  эди.

Асосий системада  $B$  нуқтанинг кўчиши  $q$  ва  $x_1$  кучларидан нолга тенг деб қабул қишинади:  $\Delta_B = x_1 \delta_{11} + \Delta_{1q} = 0$  ёки  $\delta_{11} + \Delta_{1q} = 0$  тенглама каноник тенглама дейилади.

Системанинг ноаниқлик даражаси қанча бўлса, каноник тенгламалар сони ҳам шунча бўлади.

Бу ерда  $\delta_{11}$  — асосий система  $B$  нүқтасининг  $x_1$  куч йўналишида  $x_1 = 1$  куч таъсиридан кўчиши;

$\Delta_{1q}$  —  $B$  нүқтанинг номаълум  $x_1$  куч йўналишида  $q$  куч таъсиридан кўчиши.

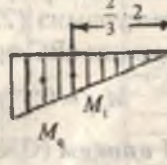
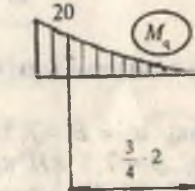
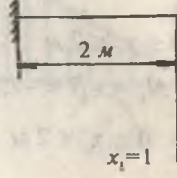
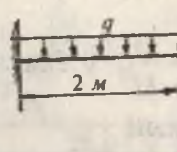
$\delta_{11}$  ва  $\Delta_{1q}$  кўчишларни топиш учун асосий системада номаълум бирлик кучлардан ва ташки куч —  $q$  дан эгувчи момент эпюралари қурилади.

$\delta_{11}$  ва  $\Delta_{1q}$  ларни Мор-Максвелл ёки Верещагин формулалари билан топиш мумкин.

$$\text{Мор-Максвелл формуласи: } \delta_{11} = \int_0^t \frac{M_1^2}{EI} dx, \quad \Delta_{1q} = \int_0^t \frac{M_q M_1}{EI} dx$$

Бу ерда:  $M_1$  — асосий система учун  $x_1 = 1$  кучидан қурилган эгувчи моментнинг эпюраси;  $M_q$  — асосий система учун  $q$  кучидан қурилган эгувчи момент эпюраси;  $EI$  — балканнинг бикрлиги.

$$\delta_{11} = \int_0^t \frac{x \cdot x dx}{EI} = \frac{1}{EI} \int_0^t x^2 dx = \frac{t^3}{3EI} = \frac{8}{3EI}$$



233-расм.

$$\Delta_{1q} = - \int_0^{\ell} \frac{q}{EI} x \cdot dx = -q \frac{\ell^4}{8EI} = -\frac{20}{EI}$$

$\delta_{11}$  ва  $\Delta_{1q}$  ларни каноник тенгламага күйиб  $x_1$  номаълум кучни топамиз:

$$x_1 \cdot \frac{\ell^3}{3EI} - q \frac{\ell^3}{8EI} = 0 \text{ ёки } x_1 = \frac{3}{8} q \ell; \quad x_1 = \frac{60}{8} = 7,5 \text{ кН}$$

Верешагин формуласи:  $\delta_{11} = \frac{\omega_1 \cdot M_1}{EI}$  ва  $\Delta_{1q} = \frac{\omega_q \cdot M_{1q}}{EI}$

Бу ерда:  $\omega_1$  ва  $\omega_q$  — асосий система учун  $x_1 = 1$  ва  $q$  кучлардан қурилган  $M_1$  ва  $M_q$  эгувчи момент эпюраларининг юзаси;

$M_1$  — ( $\delta_{11}$  күчиш учун) — юзанинг оғирлик марказига тұғри келувчи бирлік куч моментининг ординатаси;

$M_{1q}$  — ( $\Delta_{1q}$  күчиш учун) —  $\omega_q$  юзанинг оғирлик марказига тұғри келувчи бирлік куч моментининг ординатаси.

$$\delta_{11} = \frac{1}{EI} \left( \frac{1}{2} \cdot 2 \cdot 2 \right) \left( \frac{2}{3} \cdot 2 \right) = \frac{8}{3EI}$$

$$\Delta_{1q} = - \frac{1}{EI} \left( \frac{1}{3} \cdot 20 \cdot 2 \right) \left( \frac{3}{4} \cdot 2 \right) = -\frac{20}{3EI}$$

Каноник тенгламадан  $x_1 \frac{8}{3EI} - \frac{20}{EI} = 0$  ёки  $x_1 = \frac{60}{8} = 7,5 \text{ кН}$

Демак,  $x_1 = B = 7,5 \text{ кН}$  экан.

Энди,  $B = 7,5 \text{ кН}$  куч ёрдамида берилған балка учун эгувчи момент  $M_1$ , күндаланған куч  $Q$  ва бүйлама куч  $N$  эпюраларини қурамиз (234-расм).

I—I қырқым (ВС оралиқ).  $0 \leq y_1 \leq 2 \text{ м}$

$$M_{y_1} = 0; \quad Q_1 = 0; \quad N_1 = -B = -7,5 \text{ кН}$$

II—II қырқым (СК оралиқ).  $0 \leq x_1 \leq 2 \text{ м}$

$$M_{y_2} = Bx_1 - q \frac{x_1^2}{2}; \quad Q_2 = -B + qx_2 \quad \text{ва} \quad N_2 = 0$$

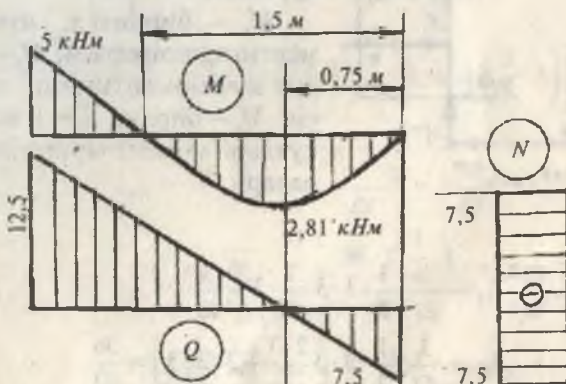
$x_1 = 0$  бұлса,  
 $M_{x_1} = 0$  ва  $Q_2 = -7,5 \text{ kH}$   
 $x_2 = 2 \text{ m}$  бұлса,  
 $M_{x_1} = -5 \text{ kNm}$  ва  $Q_2 = 12,5 \text{ kH}$

CK — оралиқда әгүвчи момент  $M_x$  әгри чизиқли  $Q_1$  түгри чизиқли қонуният билан үзгади.  $Q_2$  күч С нүктада манфий ишорали, A нүктада мусбат ишорали қийматтаға зә. Күндаланг күч абсцисса үкінін кесиб үтиш нүктасыда, яғни  $Q_2 = 0$  нүктада  $M_x$  экстремал қийматтаға әрішади:  $Q_2 = -B + qx_1 = 0$  ёки  $x_1 = \frac{B}{q} = 0,75 \text{ m}$  ;

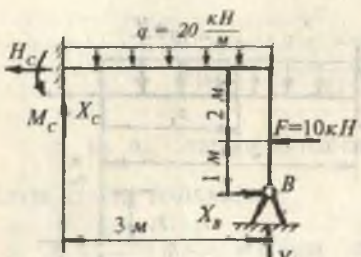
$$M_2 = 7,5 \cdot 0,75 - 10 \frac{(0,75)^2}{2} = 2,8125 \text{ kNm}$$

$M_x = 0$  нүктаны топамиз:

$$M_x = 7,5x_1 - 10 \frac{x_1}{2} = 0; \quad x_1 = 1,5 \text{ m}$$



235-расм. M, Q үнд N эпюралары.



236-расм.

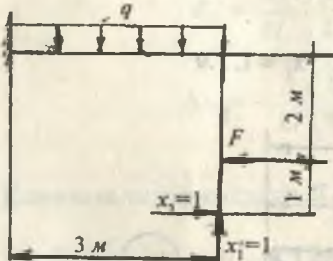
$x_2 = 1$  бирлик күчлар билан алмаштириб асосий системани ҳосил қиласыз (237-расм).

$$x_1 \delta_{11} + x_2 \delta_{12} + \Delta_{1F} + \Delta_{1q} = 0$$

Каноник тенглама:  $x_1 \delta_{21} + x_2 \delta_{22} + \Delta_{2F} + \Delta_{2q} = 0$

Каноник тенгламанинг коэффициентларини Верешагин формуласидан фойдаланиб топамиз:

$$\delta_{11} = \sum \frac{M_i^2}{EI} \quad \text{ва} \quad \delta_{ik} = \sum \frac{M_i M_k}{EI}$$



237-расм.

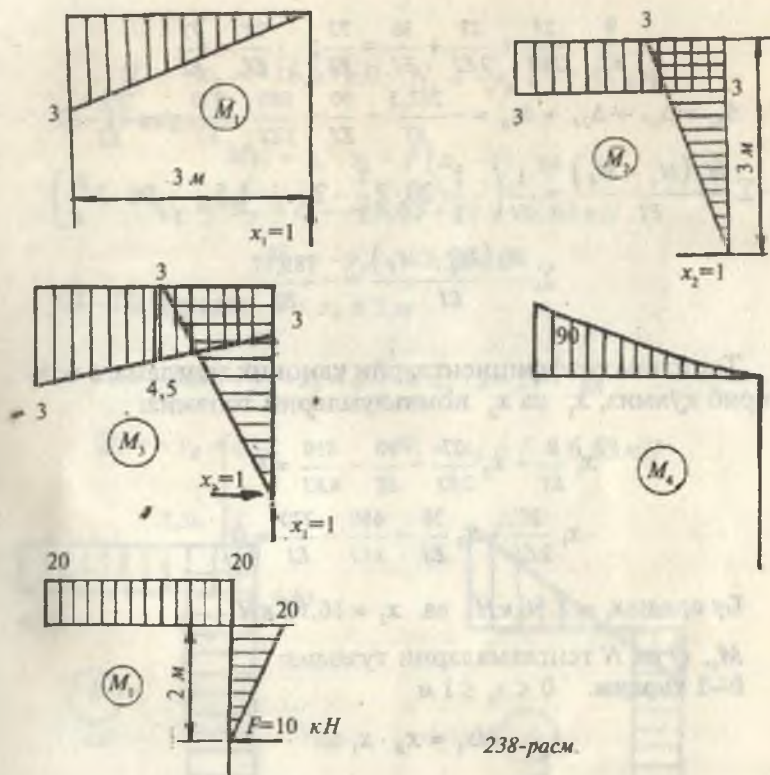
Бирлик ва ташқи күчлар моментларининг эпюраларини қурамыз:

$M_1$  — бирлик  $x_1$  күч моментининг эпюраси;  $M_2$  — бирлик күч моментининг эпюраси;  $M_3$  — бирлик  $x_1 = 1$  ва  $x_2 = 1$  күчлар моментларининг эпюралари.

$$\delta_{11} = \frac{1}{EI} \cdot \frac{1}{2} \cdot 3 \cdot 3 \cdot \frac{2}{3} \cdot 3 = \frac{9}{EI}$$

$$\delta_{12} = \delta_{21} = \frac{1}{EI} \left( \frac{1}{2} \cdot 3 \cdot 3 \frac{2 \cdot 3}{3} + 3 \cdot 3 \cdot 3 \right) = \frac{36}{EI}$$

$$\delta_{12} = \delta_{21} = \frac{1}{EI} \left( \frac{1}{2} \cdot 3 \cdot 3 \cdot 3 \right) = \frac{27}{2EI}$$



238-расм.

$$\delta_s = \frac{1}{EI} \left[ \frac{1}{2} 3 \cdot 3 \cdot \frac{2}{3} \cdot 3 + 3 \cdot 3 \cdot 4,5 + \frac{1}{2} \cdot 3 \cdot 3 \left( 3 + \frac{2}{3} \cdot 3 \right) \right] = \frac{72}{EI}$$

$$\Delta_{1F} = \frac{\omega_F \cdot \overline{M}_1}{EI} = - \frac{20 \cdot 3 \cdot \frac{3}{2}}{EI} = - \frac{90}{EI}$$

$$\Delta_{1q} = \frac{\omega_q \cdot \overline{M}_1}{EI} = - \frac{\frac{1}{3} \cdot 90 \cdot 3 \cdot \frac{3}{4} \cdot 3}{EI} = - \frac{810}{4EI}$$

$$\Delta_{2q} = \frac{\omega_q \cdot \overline{M}_2}{EI} = - \frac{\frac{1}{3} \cdot 90 \cdot 3 \cdot 3}{EI} = - \frac{270}{EI}$$

$$\Delta_{2F} = \frac{\omega_F \cdot \overline{M}_2}{EI} = - \frac{1}{EI} \left( \frac{1}{2} \cdot 20 \cdot 2 \cdot \frac{7}{3} + 20 \cdot 3 \cdot 3 \right) = - \frac{680}{3EI}$$

Текшириш:  $\delta_{11} + \delta_{12} - \delta_{21} + \delta_{22} = \delta_s$

$$\frac{9}{EI} + \frac{27}{2EI} + \frac{27}{2EI} + \frac{36}{EI} = \frac{72}{EI}; \quad \frac{72}{EI} = \frac{72}{EI}$$

$$\Delta_{1q} + \Delta_{1F} + \Delta_{2F} + \Delta_{2q} = -\frac{202,5}{EI} - \frac{90}{EI} - \frac{680}{3EI} - \frac{270}{EI} = -\frac{789,1}{EI}$$

$$\sum \frac{M_s(M_q + M_F)}{EI} = \frac{1}{EI} \left( -\frac{1}{2} \cdot 20 \cdot 2 \cdot \frac{7}{3} - 20 \cdot 3 \cdot 4,5 - \frac{1}{3} \cdot 90 \cdot 3 \cdot \frac{21}{4} \right)$$

$$\sum \frac{M_s(M_q + M_F)}{EI} = -\frac{789,17}{EI}$$

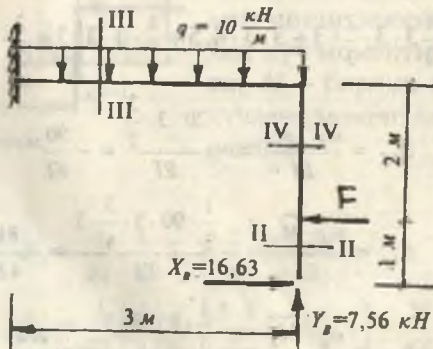
Топилган коэффициентларни каноник тенгламага келтириб құйымыз,  $x_1$  ва  $x_2$  номағулумларни топамыз:

$$\left. \begin{aligned} x_1 \frac{9}{EI} + x_2 \frac{27}{2EI} - \frac{90}{EI} - \frac{810}{4EI} &= 0 \\ -x_1 \frac{27}{2EI} + x_2 \frac{36}{EI} - \frac{680}{3EI} - \frac{270}{EI} &= 0 \end{aligned} \right\}$$

Бу ерда:  $x_1 = 7,56 \text{ кН}$  ва  $x_2 = 16,63 \text{ кН}$

$M$ ,  $Q$  ва  $N$  тенгламаларни тузамыз:  
I—I қырқым.  $0 \leq x_1 \leq 1 \text{ м}$

$$Mx_1 = x_B \cdot x_1 \text{ ва}$$



239-расм.

$$Q_1 = -x_B = -16,63 \text{ кН}; \quad N_1 = -y_B = -7,56 \text{ кН}$$

**II-II қирқим.**

$$Mx_2 = x_a \cdot x_2 - F(x_2 - 1) \quad \text{ва}$$

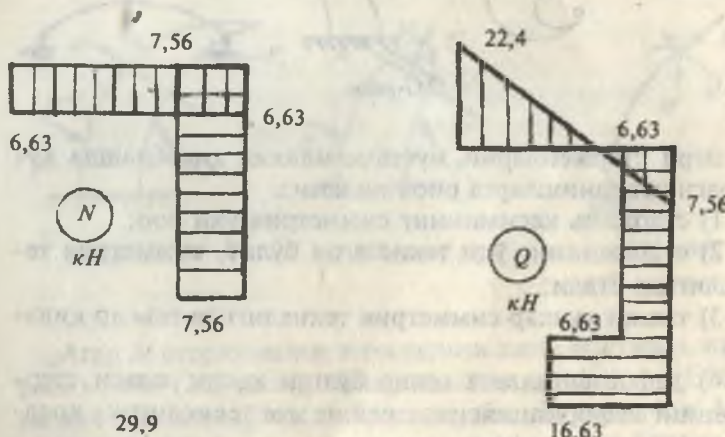
$$Q_2 = -x_B + F = -16,63 + 10 = -6,63 \text{ кН}$$

$$N_2 = -y_B = -7,56 \text{ кН}$$

**III-III қирқим.  $0 \leq x_3 \leq 3 \text{ м}$**

$$Mx_3 = y_B \cdot x_3 - q \frac{x_3^2}{2} + x_B \cdot 3 - 2F \quad \text{ва}$$

$$Q_3 = -y_B + qx_3; \quad N_3 = x_B - F = 6,63 \text{ кН}$$

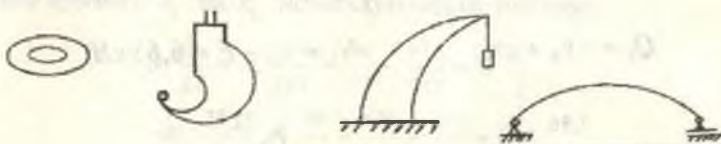


240-расм.

## VIII Б О Б

### ЭГРИ СТЕРЖЕНЛАР

Айрим конструкция ва механизмлардаги элементларда эгрилик марказидан ўтвучи ўқлар эгри бўлади. Масалан, занжирнинг бўғинлари, илгаклар, арклар ва ҳ.к. Бундан ташқари амалиётда учрайдиган барча стерженлар идеал текис бўлмасдан, қандайдир даражада нотекисликларга ёки эгриликларга эга. Шунинг учун эгри ўқли стерженниң кесимида кучланишларнинг тарқалиш қонунияти, эгри стерженларни мустаҳкамликка ҳисоблашни билишимиз керак.



241-расм.

Эгри стерженларни мустаҳкамликка ҳисоблашда қуидаги чекланишларга риоя қиласиз:

- 1) стержень кесимининг симметрия ўқи бор;
- 2) стерженнинг ўқи текис эгри бўлиб, симметрия текислигига ётади;
- 3) ташқи кучлар симметрия текислигига таъсир қиласди;
- 4) деформациягача текис бўлган кесим юзаси стерженнинг деформациясидан кейин ҳам текислигича қолади.

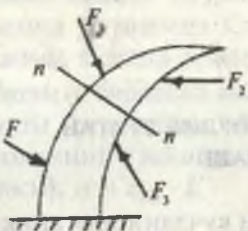
#### 8.1. ЭГУВЧИ МОМЕНТ, КЎНДАЛАНГ ВА БЎЙЛАМА КУЧЛАРНИ АНИҚЛАШ

Ташқи  $F_1$ ,  $F_2$ ,  $F_3$  ва  $F_4$  кучлар билан юкланган эгри стерженни ўрганамиз (242-расм). Эгри стерженнинг кўндаланг кесимидағи ички куч омилларини аниқлаш учун уни текислик билан кесиб икки бўлакка ажратамиз. Стерженниң I бўлагини ажратиб олсак, II бўлагининг мувозанат

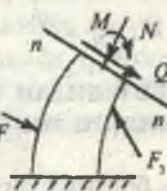
ҳолати бузилади. II қисмнинг мувозанатини таъминлаш учун I қисмнинг таъсирини II қисмнинг кесилган юзасига келтириб қўямиз.

Тўғри стерженларнинг эгилишидан маълумки, ҳар қандай стерженнинг эгилишида бир қисмни иккинчи қисмга таъсири сифатида эгувчи момент  $M$ , кўндаланг куч  $Q$  ва бўйлама куч  $N$  қабул қилинган.

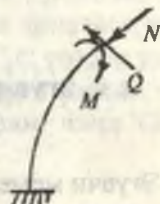
Демак, эгри стерженнинг 1-қисмини 2-қисмига таъсири сифатлари  $M$ ,  $Q$  ва  $N$  ички куч омиллари қабул қилинади. Эгувчи момент  $M$ , стерженнинг ўрганилаётган қисмидаги ташқи кучлардан унинг кесим юзасининг оғирдик марказига нисбатан олинган моментларининг алгебраик йиғиндисига teng.



242-расм.



243-расм.



244-расм.

Агар  $M$  стерженнинг эгрилигини катталашиб, ишораси мусбат (243-расм), тескари ҳолатда манфийдир. Бўйлама куч чўзувчан бўлса ишораси мусбат. Бўйлама куч  $N$  ни мусбат ишорасидан соат стрелкаси йўналиши бўйича  $90^\circ$  га айлантирганда ҳосил бўлган кўндаланг куч  $Q$  нинг ишораси мусбат.

Кўндаланг куч  $Q$  эгри стерженнинг кўндаланг кесимига ўтказилган уринма текисликка ўрганилаётган қисмидаги барча ташқи кучлар проекцияларининг алгебраик йиғиндисига teng.

## 8.2. КҮНДАЛАНГ ВА БҮЙЛАМА КУЧЛАР БИЛАН БОГЛИҚ БҮЛГАН КУЧЛАНИШЛАР

Назарий изланишлар, эгри стерженларда уринма кучланишларнинг тарқалиш қонунияти түғри чизиқли стерженлардаги уринма кучланишларнинг тарқалиш қонуниятига яқин бўлишини кўрсатади. Шунинг учун эгри стерженларда ҳам кесимдаги уринма кучланишни Журавский формуласи билан аниқлаймиз:

$$\tau = \frac{QS_x}{I_x b} \leq [\tau]$$



245-расм.

Эгри стержендан ажратилган элемент оддий чўзилиш ёки сиқилишга учрайди:

$$V : \delta_N = \frac{N}{A}$$

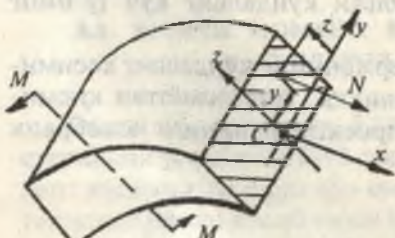
## 8.3. ЭГУВЧИ МОМЕНТ БИЛАН БОГЛИҚ БҮЛГАН КУЧЛАНИШНИ АНИҚЛАШ

Эгувчи момент билан боғлиқ бўлган кучланишни аниқлаш учун соф эгилиш ҳолатидан фойдаланамиз (246-расм).

Эгри стерженнинг ажратиб олинган қисми эгувчи момент ва бўйлама куч  $N = \sigma \cdot dA$  таъсирида бўлади. Кесим нейтрал қатламишнинг ҳолати бизга аниқ эмас ва кесими эгрилик маркази  $O$  нуқтадан ўтмайди, деб фараз қила миз.

Эгри стерженнинг ажратиб олинган қисмининг координата системасига; бошлангич нуқтасини эса  $C$  нуқтага жойлаштирамиз,  $Z$  ўқи кесимнинг симметрия ўқи. Эгувчи момент  $XCZ$  текислигига ётади.

$M$  ва  $\sigma \cdot dA$  таъсирида мувозанатда бўлган стержень учун олтита мувозанат шартини ёзиш мумкин:



246-расм.

$$\sum x = 0; \int_A \sigma \cdot dA = 0$$

$$\begin{aligned} \sum z &= 0 & \text{ва} & \sum y = 0 \\ \sum M_x &= 0 & \text{ва} & \sum M_z = 0 \end{aligned} \quad (8.1)$$

$$\sum M_y = M - \int_0 \sigma \cdot dA \cdot z = 0; \quad M = \int_0 \sigma \cdot dA \cdot z$$

Эгри стерженнинг эгилишига асосан нормал кучланишни аниқлаш учун олтита мувозанат шартларидан фагат  $\sum x = 0$  ва  $\sum M_y = 0$  тенгламалардан фойдаланиш мумкин. Лекин, бу тенгламалардан  $\sigma$  ни стерженнинг кесимининг баландлиги бўйлаб ўзгариш қонуниятини аниқлаб бўлмайди. Демак, нормал кучланишни топиш ноаниқликка олиб келади. Шунинг учун эгри стерженнинг деформациясини ўрганамиз. Стерженнинг эгилишида, кундаланг кесимда юзалар текислигича қолиб олдинги ҳолатига нисбатан  $\delta$  бурчакка айланади. Стерженнинг  $C_1 C_2$  толаси узунлиги ўзгармайди;  $KB$  тола эса  $BB_1$  миқдорга узаяди.  $KB$  толанинг узайиши Гук қонунига бўйсунади, яъни (247-расм).  $\sigma = \varepsilon_{KB} \cdot E$

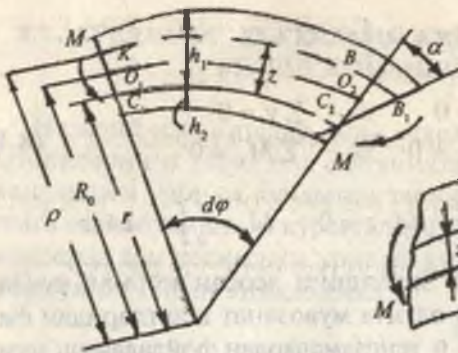
$$\text{Бу ерда: } \varepsilon_{KB} = \frac{BB_1}{KB} + \frac{z\alpha}{\rho \cdot d\varphi}; \text{ у ҳолда: } \sigma = \frac{z\alpha}{\rho \cdot d\varphi} \cdot E \quad (8.2)$$

Стерженнинг ҳар бир кесими учун  $\frac{\alpha}{d\varphi}$  ва  $E$  ўзгармас бўлганлиги учун:

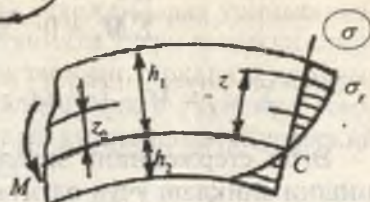
$\sigma$  нинг қиймати  $Z$  ва  $\rho$  масофага боғлиқ бўлади;  
 $\rho$  — стерженнинг эгрилик радиуси;  $\rho = r + z$

$r$  — стержень нейтрапл қатламишининг эгрилик радиуси (8.2) формулага асосан эгри стерженда кучланиш гипербола қонунияти билан ўзгаради. Эгилишга қадар эгри стержень ташқи толаларининг узунлиги ички толаларининг узунлигидан катта эди; шунинг учун чекка ташқи толадаги нормал кучланиш ички толадаги нормал кучланишдан кичик бўлади (248-расм).

(8.1) формуладан  $\sigma$  нинг ифодасини (8.2) формулага келтириб қўямиз:



247-расм.



248-расм.

$$\int \sigma \cdot dA = \int E \frac{z\alpha}{\rho \cdot d\phi} dA = 0$$

Бу ерда:  $E \frac{\alpha}{d\phi} \neq 0$ . Шунинг учун:  $\int \frac{z}{\rho} dA = 0$  (8.3)

$$\text{Лекин } z = \rho - r, \text{ у ҳолда: } \int \frac{\rho - r}{\rho} dA = \int dA - r \int \frac{dA}{\rho} = 0$$

Бу ерда:  $r = \frac{A}{\int \frac{dA}{\rho}}$  нейтрал қатлам тенгламаси.

(8.2) формуладан  $\sigma$  нинг ифодасини (8.1) формула-

га келтириб құйымыз:  $M = E \frac{\alpha}{d\phi} \int \frac{z}{\rho} \cdot z \cdot dA$ , бу ерда интег-

рални алоқида ҳисоблаймыз:

$$\int \frac{z}{\rho} \cdot z \cdot dA = \int \frac{\rho - r}{\rho} \cdot z \cdot dA = \int z \cdot dA - r \int \frac{z}{\rho} dA$$

Бу ҳисоблашында асосан охирги интеграл:  $\int \frac{z}{\rho} dA = 0$ ,

бірінчи  $\int z \cdot dA$  интеграл эса стержень кесим юзасининг

нейтрал үққа нисбатан статик моментидир, яғни:  $S = A \cdot Z$ ,

у ҳолда:  $M = E \frac{\alpha}{d\phi} \cdot S$  ва  $\frac{\alpha}{d\phi} = \frac{M}{ES}$  формулани (8.2) га кел-

тириб құйсак әгри стерженнинг кесимида әгуви момент таъсиридаги нормал күчланиш формуласи ҳосил бўлади:

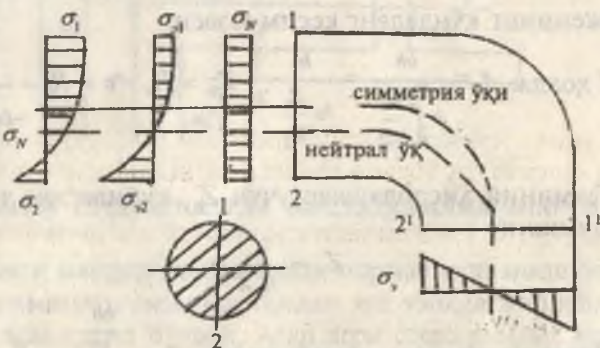
$$\sigma_s = \frac{Mz}{Sz} \quad (8.4)$$

Шундай қилиб, әгри стерженнинг кўндаланг кесимида әгуви момент таъсиридан ҳосил бўладиган нормал күчланиш  $\sigma_s$  кесимнинг нейтрал қатламидан күчланиши текширилаётган нуқтагача бўлган масофа —  $Z$  га ва стерженнинг эгрилик радиуси —  $\rho$  га боғлиқ экан. Кесимнинг нейтрал қатламидан энг узоқда жойлашган четки нуқтарида  $\sigma_s$  энг катта қийматга эришади (249-расм), яъни:

$$Z = Z_{1,2} \quad \text{ва} \quad \rho = \rho_{1,2} \quad \text{бўлса,} \quad \sigma_s = \sigma_{\max} = \pm \frac{Mz_{1,2}}{Sp_{1,2}}$$

Әгри стерженнинг кўндаланг кесимида ички бўйлама куч  $N$  таъсирида ҳам нормал күчланиш ҳосил бўлади. Унда кесимнинг тўлиқ нормал күчланиши әгуви момент ва бўйлама куч таъсирида ҳосил бўлган нормал күчланишлар йиғиндисидан иборат бўлади:

$$\sigma_{1,2} = \frac{N}{A} \pm \frac{Mz_{1,2}}{Sp_{1,2}} \quad (8.5)$$

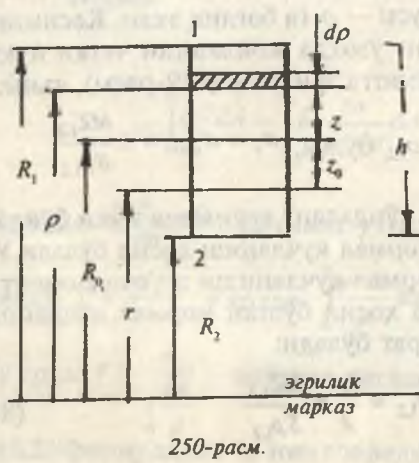


249-расм.

#### 8.4. ЭГРИ СТЕРЖЕНДА НЕЙТРАЛ ҮҚ ҲОЛАТИНИ АНИҚЛАШ

Эгри стерженларда (8.5) формула бўйича нормал кучланиши аниқлаш учун нейтрал үқ ҳолатини аниқлаш керак. Бунинг учун нейтрал қатламнинг эгрилик радиуси ( $r$ ) ёки кесимнинг оғирлик маркази, ёки марказий ўқдан нейтрал ўққача бўлган масофа —  $Z_0$  ни аниқлаш зарур.

Кўндаланг кесим юзаси тўғри тўртбурчак бўлган эгри стержень нейтрал ўқининг эгрилик радиусини топамиш (250-расм).



Нейтрал үқ тенгламасини ёзамиш:

$$r = \frac{A}{\int_0^h \frac{dA}{\rho}}; \text{ бу ерда:}$$

$dA = b \cdot d\rho$  — тўғри тўртбурчакли кесимдан ажратилган элементар юза;

$\rho$  — стерженнинг эгрилик марказидан элементар юзагача бўлган масофа;

$$A = bh — эгри$$

стерженнинг кўндаланг кесим юзаси.

$$\text{У ҳолда: } r = \frac{bh}{\frac{R_1}{b} \int_{R_2}^{R_1} \frac{d\rho}{\rho}} = \frac{h}{\ln \frac{R_1}{R_2}}. \quad Z_0 = R_0 - r = R_0 - \frac{h}{\ln \frac{R_1}{R_2}}$$

Тахминий ҳисоблашлар учун  $Z_0$  қуидагича топилиши мумкин:

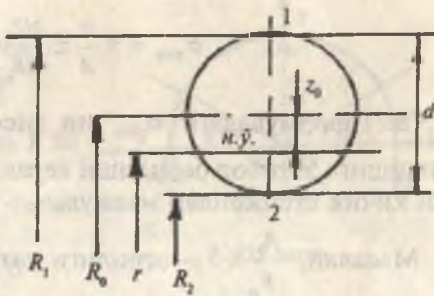
$$Z_0 = \frac{l_y}{R_0 A} \quad (8.6)$$

$$\text{Тўғри тўртбурчак кесими учун: } Z_0 = \frac{\frac{bh^3}{12}}{R_0 bh} = \frac{h^2}{12R_0}$$

Доиравий кесим нейтрал ўқнинг эгрилик радиуси:

$$r = \frac{d^2}{8 \left( R_0 - \sqrt{R_0^2 - \frac{d^2}{4}} \right)};$$

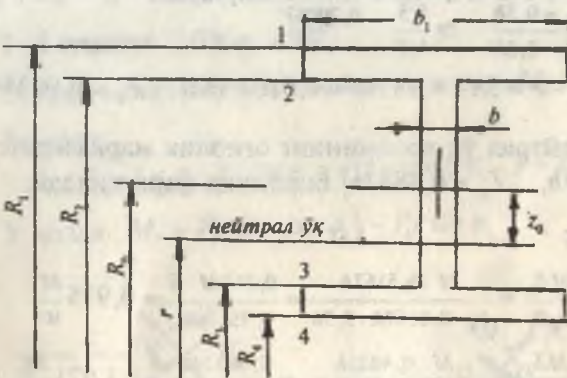
$$Z_0 = \frac{d^2}{16 R_0}$$



Күштаврли кесим учун нейтрал ўқнинг эгрилик радиуси:

$$r = \frac{b_1 h_1 + b_2 h_2 + b_3 h_3}{b_1 \ell n \frac{R_1}{R_2} + b_2 \ell n \frac{R_2}{R_3} + b_3 \ell n \frac{R_3}{R_4}}$$

$$Z_0 = R_0 - r$$



### 8.5. ЭГРИ СТЕРЖЕНЛАРДА МУСТАҲКАМЛИК ШАРТИ

Олдинги мавзулардан аниқки, нормал кучланиш стержень кесимининг нейтрал ўқидан энг узоқда жойлашган нуқталарида ҳосил бўлади. Агар эгри стерженнинг материали чўзилиш ва сиқилишга бир хил қаршилик кўрсатса:

$$\sigma_{\max} = \pm \frac{N}{A} \pm \frac{M Z_{1,2}}{S R_{1,2}} \leq [\sigma] \quad (8.7)$$

(8.7) формуладаги  $\sigma_{\max}$  ни ҳисоблашда стерженнинг эгилишига эътибор берилиши керак, чунки эгрилиги катта ёки кичик стерженлар мавжуд.

Масалан,  $\frac{R_0}{h} \leq 5$  — эгрилиги катта стерженлар (илгак, ҳалқа ва ҳ.к.);  $\frac{R_0}{h} \leq 5$  — эгрилиги кичик стерженлар.

Бу стерженларда  $\frac{z}{r}$  — нисбатни ҳисобга олмаса ҳам бўлади. Шунинг учун эгри стерженнинг  $M$  таъсиридаги нормал кучланиш формуласи тўғри стерженлар учун то-пилган нормал кучланиш формуласидан кам фарқ қила-ди.

$R_0 = 5h$  эгри стерженлар:

$$r = \frac{h}{\ln \frac{R_0 + 0,5h}{R_0 - 0,5h}} = \frac{h}{\ln \frac{5,5}{4,5}} = \frac{h}{0,20067} = 4,9833h$$

$$Z_0 = R_0 - r = 5h - 4,9833h = 0,0167 \text{ ёки } Z_0 = 0,00334 R_0$$

Яъни нейтрал ўқ кесимининг оғирлик марказидан:  $Z_1 = 0,5167h$ ,  $Z_2 = 0,4833h$ } бирликка фарқ қиласди.

У ҳолда:

$$\sigma_1 = \frac{M Z_1}{S_y R_1} = \frac{M \cdot 0,5167h}{b_n \cdot 0,0167h \cdot 5,5h} = \frac{0,567 M \cdot 6}{0,5511bh^2} = 0,935 \frac{M}{W}$$

$$\sigma_2 = \frac{M Z_2}{S_y R_2} = \frac{M \cdot 0,4833h}{b_n \cdot 0,0167h \cdot 4,5h} = \frac{0,4833 M \cdot 6}{0,4809bh^2} = 1,071 \frac{M}{W}$$

$R_0 = 5h$  ўртача эгрилиқдаги стерженларда нормал кучланиш тўғри стерженлардаги нормал кучланишдан 7% га фарқ қиласди.

**1-масала.** Доиравий кесимли эгри стержень хавфли кесимиининг нормал кучланишини топинг (251-расм).

Берилган:

$$P = 1100 \text{ H}; \quad d = 5,0 \text{ см}$$

$$r = 16 \text{ см}; \quad P_1 = P_2 = P$$

Ечиш. Эгри стержень  $K$  ва  $B$  таянчларга таянади.

Реакция күчларини топамиз:

$$\sum x = 0; \quad -H_A + P_1 = 0$$

$$\text{ёки } H_A = P_1 = 1100 \text{ H}; \quad \sum M_A = 0; \quad P_2 \cdot 2r - Br = 0$$

$$\text{Бу ерда: } B = \frac{2P_2 \cdot r}{r} = 2P_2 = 2200 \text{ H}$$

$$\sum M_B = 0; \quad H_A \cdot r - K \cdot r + P_2 \cdot r - P_1 r = 0$$

$$\text{Бу ерда: } K = \frac{H_A \cdot r}{r} = H_A = 1100 \text{ H}. \text{ Текшириш:}$$

$$\sum y = -K - B - P = 0 \quad \text{ёки } -1100 + 2200 - 1100 = 0; \quad 0 = 0$$

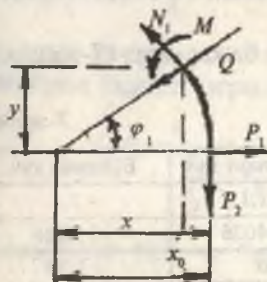
I—I қырқым.  $0 \leq \varphi_1 \leq 90^\circ$

Эгувчи момент тенгламасини тузамиз:  $M_1 = P_2 x_0 - P_1 y$

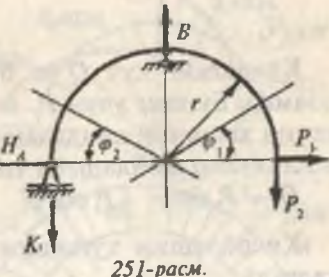
Бу ерда:

$$x_0 = r - x = r - r \cdot \cos \varphi = r(1 - \cos \varphi); \quad y = r \cdot \sin \varphi$$

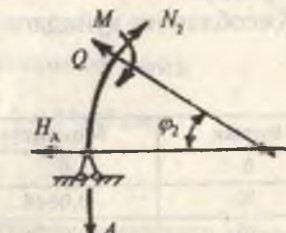
$$\text{Ү ҳолда: } M_1 = P_2 r(1 - \cos \varphi_1) - P_1 r \sin \varphi_1$$



252-расм.



251-расм.



253-расм.

Күндаланг куч  $Q$  ва бўйлама куч  $N$  тенгламаларини тузамиз. Бунинг учун  $P_1$  ва  $P_2$  ташқи кучларни эгри стерженни кесилган күндаланг кесим юзасига уринма ва перпендикуляр жойлашган текисликларга проекциялаймиз:

$$Q_1 = P_1 \sin \varphi_1 - P_1 \cos \varphi_1 \quad \text{ва} \quad N_1 = P_2 \cos \varphi_1 - P_1 \sin \varphi_1$$

Ҳисоблашни қуйидаги жадвалда бажариш қулай (6-жадвал).

6-жадвал

Бурчак	Момент	Күндаланг куч	Бўйлама куч
0	0	- 1,1	- 1,1
30	- 0,0644	- 0,4026	- 1,5026
45	- 0,0704	0	- 1,54
60	- 0,0644	0,4026	- 1,5026
90	0	1,1	- 1,1

II-II қирқим.  $0 \leq \varphi_2 \leq 90^\circ$

$$M_2 = Kr(1 - \cos \varphi_2) - H_A \cdot r \cdot \sin \varphi_2$$

$$Q_2 = -H_A \cdot \cos \varphi_2 + K \cdot \sin \varphi_2$$

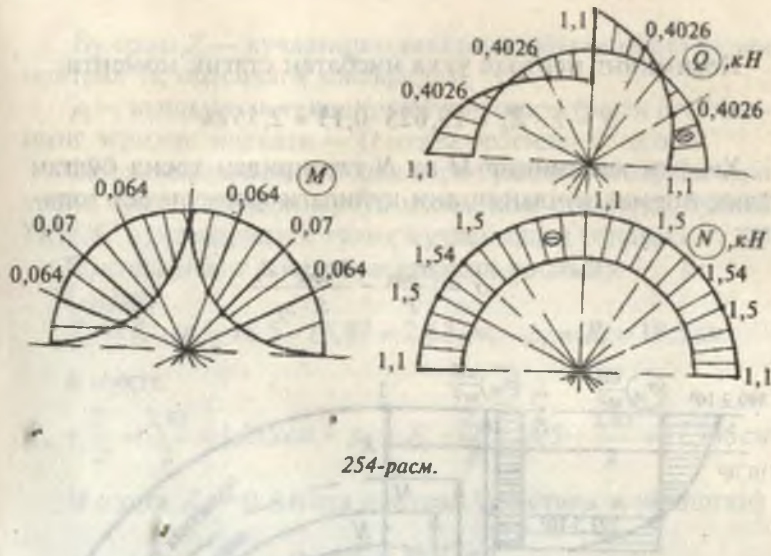
$$N_2 = -K \cos \varphi_2 - H_A \cdot \sin \varphi_2$$

Эгувчи момент эпюрасини эгри стерженнинг чўзиладиган толалари томонига қурилади.  $Q$  ва  $N$  кучларни мусбат ишорали қиймати стерженнинг ташқи томонига, манфий ишорали қийматини ички томонига жойлаширамиз (254-расм).

Ҳисоблашни қуйидаги жадвалда бажарамиз (7-жадвал).

7-жадвал

Бурчак	Момент	Күндаланг куч	Бўйлама куч
0	0	- 1,1	- 1,1
30	- 0,0644	- 0,4026	- 1,5026
45	- 0,0704	0	- 1,54
60	- 0,0644	0,4026	- 1,5026
90	0	1,1	- 1,1



254-расм.

Стерженнинг хавфли кесими  $\varphi = 45^\circ$  да жойлашади:

$$M_{\max} = 0,07 \text{ кНм}; \quad N_{\max} = 1,54 \text{ кН}$$

Хавфли кесимдаги нормал күчланишни топиш учун күйидаги схемани чизамиз (255-расм). Схемадан:

$$R_1 = r + \frac{d}{2} = 16 + 2,5 = 18,5 \text{ см}; \quad R_2 = r - \frac{d}{2} = 16 - 2,5 = 13,5 \text{ см}$$

$R_1$  ва  $R_2$  — эгрилик маркази  $O$  нүктадан 1 ва 2 нүкта-ларгача бўлган масофа, см:

$$F = \frac{\pi \cdot d^2}{4} = \frac{3,14 \cdot 25}{4} = 19,625 \text{ см}^2 \text{ — стерженнинг кўнда-}$$

ланг кесим юзаси.

Нейтрал ўқнинг эгрилик радиусини топамиз:

$$r_0 = \frac{d}{\ell_n \frac{R_1}{R_2}} = \frac{5}{\ell_n \frac{18,5}{13,5}} = \frac{5}{0,315} = 15,87 \text{ см}$$

Симметрия ўқи —у билан нейтрал ўқ орасидаги масофа:

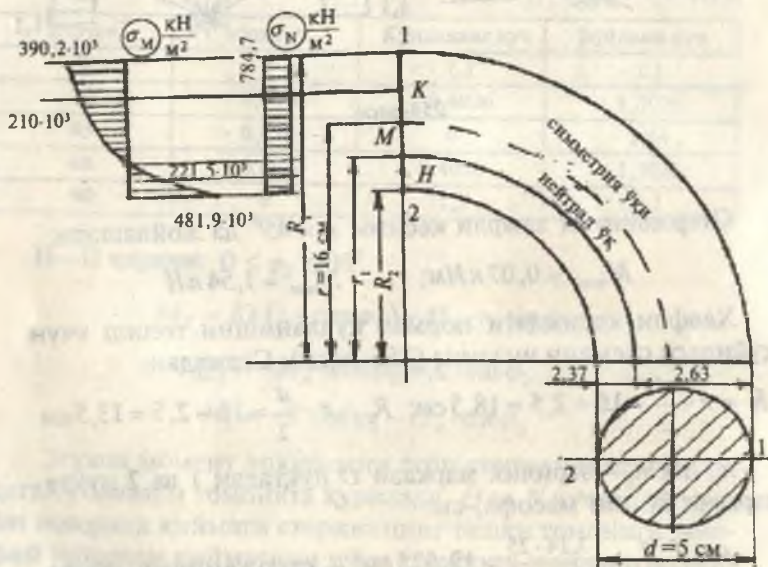
$$Z_0 = r - r_0 = 16 - 15,87 = 0,13 \text{ см}$$

Кесимнинг нейтрал ўққа нисбатан статик моменти:

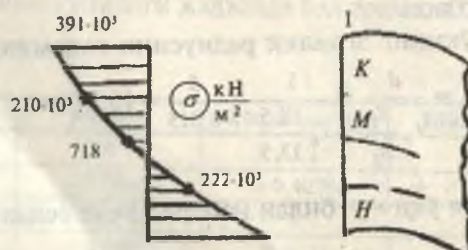
$$S = F \cdot Z_0 = 19,625 \cdot 0,13 \approx 2,55 \text{ cm}^3$$

Хавфли кесимнинг  $M$  ва  $N$  таъсиридан ҳосил бўлган тўлиқ нормал кучланишини қуидаги формуладан топамиз:

$$\sigma = \frac{N_{\max}}{F} - \frac{M_{\max} \cdot Z_i}{S \cdot \rho_l}$$



255-расм.



256-расм.

Бу ерда:  $Z$  — күчланиши текширилаётган нүқта билан нейтрал үк орасидаги масофа, см;

$\rho$  — күчланиши текширилаётган нүқта билан стержен-нинг эгрилик маркази —  $Q$  нүқта орасидаги масофа.

Стрежень кесимининг диаметри бўйлаб  $\sigma$  эпюрали эгри чизиқ бўлади. Шунинг учун кесимнинг диаметри бўйлаб  $1KMHG$  нүқталаридаги тўлиқ күчланишни топамиз.

Нүқталарнинг координаталарини топамиз:

1-нүқта:

$$Z_1 = R_1 - r_0 = 18,5 - 15,87 = 2,63 \text{ см}; \quad \rho_1 = R_1 = 18,5 \text{ см}$$

K нүқта:

$$Z_k = \frac{Z_1}{2} = \frac{2,63}{2} = 1,315 \text{ см}; \quad \rho_k = R_1 - \frac{Z_1}{2} = 18,5 - \frac{2,63}{2} = 17,185 \text{ см}$$

M нүқта  $Z_m = 0$  (нүқта нейтрал үк устида жойлашган)

$$\rho_m = r_0 = 15,87 \text{ см}$$

2-нүқта:

$$Z_2 = r_0 - R_2 = 15,87 - 13,5 = 2,37 \text{ см}; \quad \rho_2 = R_2 = 13,5 \text{ см}$$

H нүқта:

$$Z_H = \frac{Z_2}{2} = 1,185 \text{ см}; \quad \rho_H = r_0 - \frac{Z_2}{2} = 15,87 - 1,185 = 14,685 \text{ см}$$

Нүқталарнинг күчланишларини топамиз:

$$\sigma_1 = -\frac{1,54}{19,625 \cdot 10^{-4}} - \frac{0,07 \cdot 10^2 \cdot 2,63 \cdot 10^{-2}}{2,55 \cdot 10^{-6} \cdot 18,5 \cdot 10^{-2}} = -391 \cdot 10 \frac{\kappa H}{m^2}$$

$$\sigma_k = -\frac{1,54}{19,625 \cdot 10^{-4}} - \frac{0,07 \cdot 10^2 \cdot 1,315 \cdot 10^{-2}}{2,55 \cdot 10^{-6} \cdot 17,185 \cdot 10^{-2}} = -210,84 \cdot 10^3 \frac{\kappa H}{m^2}$$

$$\sigma_m = -\frac{1,54}{19,625 \cdot 10^{-4}} = -784,7 \frac{\kappa H}{m^2}$$

$$\sigma_A = -\frac{1,54}{19,625 \cdot 10^{-4}} - \frac{0,07 \cdot 10^2 \cdot 1,185 \cdot 10^{-2}}{2,55 \cdot 10^{-6} \cdot 14,685 \cdot 10^{-2}} = -222,3 \cdot 10^3 \frac{\kappa H}{m^2}$$

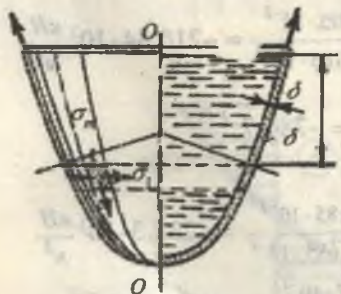
$$\sigma_r = -\frac{1,54}{19,625 \cdot 10^{-4}} - \frac{0,07 \cdot 10^2 \cdot 2,37 \cdot 10^{-2}}{2,55 \cdot 10^{-6} \cdot 13,5 \cdot 10^{-2}} = -482,7 \cdot 10^3 \frac{\kappa H}{m^2}$$

## 8.6. ЮПҚА ДЕВОРЛИ ИДИШЛАРНИ ҲИСОБЛАШ [4]

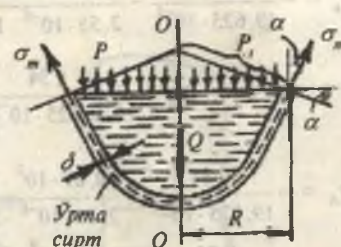
Юпқа деворли идишларни ҳисоблашнинг моментсиз ва моментли назариялари ҳақида тушунча. Сув, буғ ёки газларнинг ички босимлари таъсир этувчи идишларнинг деворлари икки томонлама чўзилиш ҳолатида бўлади. Бундай идишларга буғ қозонлари, газгольдерлар, нефть куйиладиган баклар, сув миноралари ва ҳ.к. киради.

Бундай конструкцияларнинг ўзига хос томонларидан бири уларнинг деворлари қалинлиги — о нинг иншоот габарит ўлчамларига нисбатан жуда кичиклигидир, шунинг учун улар "юпқа деворли идишлар" деб юритилади. Юпқа деворли идишларнинг ўзига хос белгиларидан бири шуки, улар айланиш жисмлари кўрининшида бўлади, яъни уларнинг сиртқи берилган эгри чизиқ —  $S$  ни  $O-O$  ўқи атрофига айлантириш йўли билан олиниши мумкин (257 - расм). Идишнинг  $O-O$  ўқи орқали ўтган текислик билан ҳосил қилинган кесими меридионал кесими деб, меридианларга, яъни  $S$  эгри чизиқда нормал ўтган кесими айланма кесим деб аталади. 258-расмда кўрсатилган идиш деворининг пастки қисми юқори қисмдан айланма кесим билан ажратилган. Идиш деворининг қалинлигини тенг иккига бўлувчи сиртга ўрта сиртга дейилади.

Умумий ҳолда идишга ўқли симметрияга эга бўлган нагрузка (яъни, айлана бўйлаб ўзгармайдиган, фақат меридиан бўйлаб ўзгарадиган нагрузка) таъсир этганида айланма ва меридионал кесимлар билан ажратилган идиш



257-расм.



258-расм.

ўрта сиртидаги элемент ўзаро перпендикуляр йұналишларда чүзилади ва эгриланади. Элементтің томонлама чүзилишига девор қалинлиғи σ бүйіча нормал кучланишларнинг текис тақсимланиши тұғри келади. Меридионал ва айланма кесимларда элемент эгрилигининг ўзғариши оддий балқадағига үшаш. Девор қалинлиғи чизиқли қонунга бүсунувчи нормал кучланишларни юзага келтиради. Бириңчы ҳолда элемент таъсир бүйлаб нормал кучлар, иккінчі ҳолда әгувчи моментлар таъсир қиласы.

Күпгина масалаларда нормал кучларнинг миқдори катта бұлғанлығидан әғилишдан ҳосил бұладыган нормал кучланишларни эътиборға олмаса ҳам бўлади. Бу идиш деворининг шакли ва унга таъсир этувчи нагрузка остида әгувчи момент пайдо бўлмасдан ташқи ва ички кучларнинг мувозанати мумкин бўлганда ўринлидир. Масалан, текис тақсимланған нагрузка остида солқиланган ип фақат чўзилишга ишлайди. Лекин худди шундай солқиланган ип тўпланган кучни мувозанатлай олмайди. Бунинг учун кесимида ё әгувчи моментлар пайдо бўлиши, ёки ип ўз шаклини ўзгартириши лозим.

Худди шунга үшаш сферик идишнинг юпқа деворлари фақат чўзилишгагина ишлаб, газнинг ички босимини мувозанатлайди, тўпланган куч таъсир қилганида улар интенсив равишда әғилишга ишлайди. Эгувчи момент қийматига идиш деворларининг мақкамланиш шарти ва нисбий қалинлиғи сезиларли таъсир қиласы (идиш деворининг қалинлиғи ортиши билан әгувчи моментларнинг роли ҳам ортади).

Эгувчи моментлар эътиборға олинмайдиган даражада кичик бўлганида идиш деворининг кучланиш ҳолати моментсиз ҳолат деб аталади. Агар идишга кучланиш фақат нормал кучларни ҳисобга олиб топилса, әгувчи моментлар ҳисобга олинмаса, ҳисоблаш моментсиз назария бўйича бажарилади, дейилади. Эгувчи момент ҳисобга олинадиган ҳисоблаш назарияси моментли назария деб аталади.

Юпқа деворли идишлар қобиқлар деб аталадиган системалар кенг синфининг хусусий ҳолидир, уларнинг ҳисоблаш назарияси (айниқса, моментли назарияси) жуда му-

раккабдир. Бу назария қурилиш механикасининг маҳсус курсларида ўрганилади. Қобиқ қалин бўлганида эгувчи моментларни ҳисобга олиш билан бирга қобиқ қалинлиги бўйича нормал кучланиш тақсимланишининг чизиқли қонунидан воз кечишга тўғри келади. Бу масалани янада мураккаблаштиради, улар қалин деворли қобиқлар назариясида ечилади.

Бу ерда меридионал ва айланма кесимларда пайдо бўладиган кучланишлар статик аниқ бўлган ҳол учун юпқа деворли идишларнинг моментсиз назарияси кўриб чиқлади. Моментли назария элементлари билан цилиндрик қобиқ эгилиши ҳақидаги содда мисолда танишиб ўтамиз.

**Идишлар деворидаги кучланишларни моментсиз назария бўйича аниқлаш.** Суюқлик оғирлиги ёки газ босими таъсиридаги юпқа деворли, ўққа нисбатан симметрик бўлган идишни кўриб чиқамиз (258-расм). Идиш деворидан иккита меридионал ва иккита айланма кесимлар билан ажратиб олинган чексиз кичик элементнинг мувознатини текширамиз (259-расм). Идишнинг айланма ёки меридионал кесимлари ўзаро силжишга интилмайди, шунинг учун мазкур кесимларда уринма кучланишлар бўлмайди. Демак, ажратилган элементнга фақат бош нормал кучланишларгина таъсир қиласи. Уларни куйидагича белгилаймиз:  $\sigma_m$  — меридионал кучланиш (у айланма кесимнинг юзачаларига таъсир қиласи);  $\sigma$  — айланма кучланиш.

Моментсиз назарияга мувофиқ элемент томонларининг юзасига таъсир қиласидиган  $\sigma_m$  ва  $\sigma$ , кучланишлар текис тақсимланган деб ҳисоблаймиз. Бундан ташқари, идишнинг барча ўлчамларини деворининг ўрта сиртидан ҳисоблаймиз.

Идиш ўрта сирти икки хил эгрилика эга бўлган сиртдан иборат. Меридианнинг текширилаётган нуқтадаги эгрилик радиусини  $r_m$  билан, сиртга ўтказилган нормал ўрта сиртнинг мазкур нуқтасидан  $O-O$  ўққача бўлган кесмасига teng бошқа эгрилик радиусини  $\rho$ , билан белгилаймиз (259-расм).

Элемент томонларига  $\sigma_m \delta \cdot dS$ , ва  $\sigma \delta \cdot dS_m$  кучлар таъсир қиласи. Ажратилган элементнинг ички сиртига суюқлик босими  $\rho$  таъсир қиласи: унинг teng таъсир этувчиси

$p dS_1 dS_m$  га тенг. Айтиб ўтилган күчларни  $n-n$  нормалга проекциялаймиз:

$$2\sigma_m \delta \cdot dS_1 \sin \frac{d\alpha_m}{2} + 2\sigma_1 \delta \cdot dS_m \sin \frac{d\alpha_1}{2} - p \cdot dS_1 \cdot dS_m = 0$$

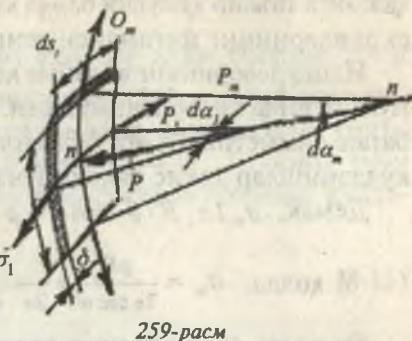
Бу ерда биринчи қүшилувчан элементтинг 259-расмда тасвирланган меридионал текисликдаги проекцияси асосида ёзилган. Иккinci қүшилувчи аналогия бўйича ёзилган (а) тенгламада бурчак кичик бўлганлигидан синусни унинг аргументи билан алмаштириб ва барча ҳадларни  $\sigma dS_1 dS_m$  га бўлиб қуидагини топамиш:

$$\sigma_m \frac{d\alpha_m}{dS_m} + \sigma_1 \frac{d\alpha_1}{dS_1} = \frac{p}{\delta} \quad \text{ёки} \quad \frac{d\alpha_1}{dS_1} = \frac{1}{\rho_1} \quad \text{ва} \quad \frac{d\alpha_m}{dS_m} = \frac{1}{\rho_m} \quad \text{эканили-}$$

гини ҳисобга олиб, узил-кесил қуидагини оламиш:

$$\frac{\sigma_m}{\rho_m} + \frac{\sigma_1}{\rho_1} = \frac{p}{\delta} \quad (8.8)$$

(8.8) ифода Лаплас тенгламаси дейилади. Уни ўтган асрнинг бошларида суюқлик таъсиридан сиртнинг чўзилишини ўрганишда Лаплас келтириб чиқарган. Бу ерда эътиборни сиртқи чўзилишга ишлаётган суюқликнинг юпқа пардаси билан идиш девори ўртасидаги ўхшашликка жалб қилиш ўринлидир. Аналогия шундан иборатки, парда ҳам, идиш девори ҳам чўзилишга ишлаб, сирти маълум шаклга эга бўлган суюқлик ҳажмини мувозанатда ушлаб туради. Намланмайдиган сиртга тушган суюқлик томчиси сиртқи чўзилиш ҳисобига ёйилиб кетмайди. Шуни айтиб ўтиш керакки, конструкторлар нефть маҳсулотларини сақлаш учун сифим яратишда томчи шаклидан фойдаланганлар; ҳақиқатан ҳам бундай сифимлар бошқаларига нисбатан қатор афзалликларга ғора (260-расм).



259-расм

Тенгламада иккита номаълум кучланиш  $\sigma_m$  ва  $\sigma$ , лар бор. Лекин  $\sigma_m$  кучланиши бошқа тенгламадан топса ҳам бўлади, бунда Лаплас тенгламасидан  $\sigma$ , ни топишда фойдаланилади.  $\sigma_m$  ни топиш учун идишнинг қирқиб олинган ҳажмига таъсир қилувчи барча кучларнинг  $O-O$  ўқига проекцияларининг йигиндиси тенгламасини тузамиз.

Идиш деворининг айланма кесими юзасини  $2\pi R\delta$  формула бўйича ҳисоблаш мумкин. Система  $O-O$  ўқига нисбатан симметрияга эга бўлганлигидан бу юза бўйича  $\sigma_m$  кучланишлар текис тақсимланади.

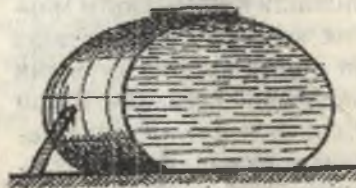
$$\text{Демак, } \sigma_m 2\pi \cdot R \cdot \delta \cdot \cos \alpha - p \cdot \pi \cdot R^2 - Q = 0$$

$$\text{У ҳолда: } \sigma_m = \frac{\rho R}{2\pi \cos \alpha} + \frac{Q}{2\pi \cdot R \cdot \delta \cdot \cos \alpha} \quad (8.9)$$

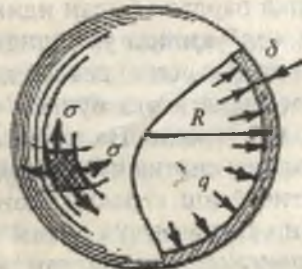
Бу ерда:  $Q$  — айланма кесимдан пастда ётувчи идиш бўлагининг ва суюқликнинг оғирлиги;  $\rho$  — суюқлик босими бўлиб, Паскал қонуни бўйича барча йўналишларда бир хил ва  $\gamma \cdot h$  га тенг; бу ерда  $h$  — ўрганилаётган нуқтанинг чуқурлиги,  $\gamma$  — ҳажм бирлигидаги суюқлик оғирлиги. Баъзан суюқлик идишда атмосфера босими  $q$  дан ортиқча босим остида сақланади. Бу ҳолда:  $p = \gamma \cdot h + q$ .

(8.8) тенглама (8.9) формула идиш деворининг ҳар бир нуқтасидаги иккала  $\sigma_m$  ва  $\sigma$ , кучланишларни топиш имконини беради. Конкрет мисолларни кўриб чиқамиз.

Текис тақсимланган ички газ босими таъсир қиладиган сферик идиш (261-расм). Идиш девори ва газнинг ўз оғирлигини ҳисобга олмаймиз. Идишнинг симметрикли-



260-расм.



261-расм.

ги туфайли унинг барча нүқталаридаги  $\sigma_m$  ва  $\sigma_1$  кучланишлар бир хил. (8.8) тенгламада  $\sigma_1 = \sigma_m = \sigma$ ,  $\rho_1 = \rho_m = R$ ,  $p = q$  деб қабул қилиб, қыйидагини топамиз:

$$\sigma = \frac{qR}{2\delta} \quad (8.10)$$

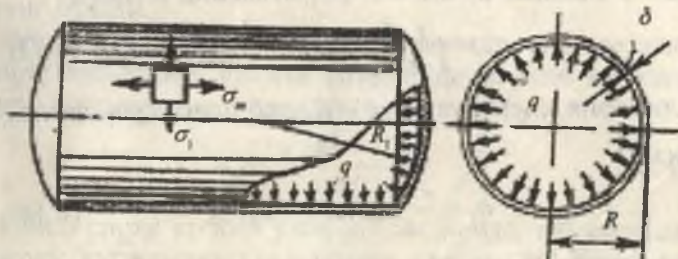
Текис тақсимланган газ ёки буғ ички босими  $p = q$  таъсир қиласидан цилиндрик қозон (262-расм). Қозон цилиндрик қисмининг меридианлари вазифасини унинг ясовчилари ўйнайди, улар учун  $\rho_m = \infty$ . Шунинг учун  $\rho_1 = R$ ,  $p = q$  деб олиб, (8.8) тенгламадан айланма кучланишини топамиз:

$$\sigma_1 = \frac{qR}{\delta} \quad (8.11)$$

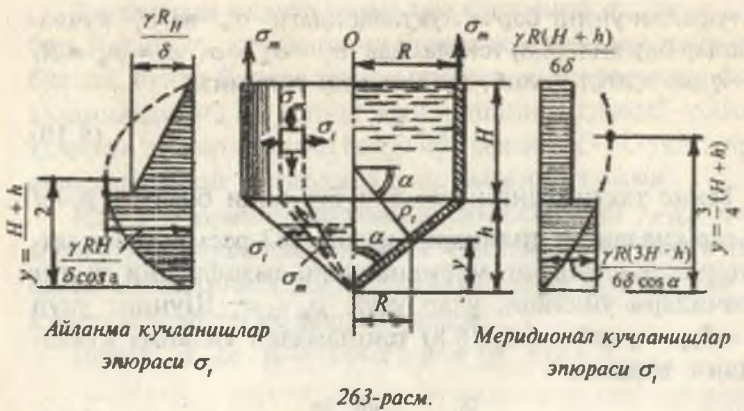
$\cos \alpha = 1$ ,  $Q = 0$  деб олиб, (8.9) формуладан меридионал кучланишни топамиз:

$$\sigma_m = \frac{qR}{2\delta} \quad (8.12)$$

(8.11) ва (8.12) ифодаларни таққослаш қозон деворини айланга бўйича чўзувчи кучланишнинг ясовчиси бўйича таъсир этувчи кучланишдан икки марта катта эканлигини кўрсатади. Радиус сифатида  $R_1$ , катталикни қабул қилиб, қозоннинг сферик тубидаги кучланишни (8.10) формуладан топиш мумкин.



262-расм.



Суюқлик солинган туби конус күренишидаги цилиндр резервуар (263-расм). Резервуар деворнинг оғирлигини ҳисобга олмаймиз.

Меридианлар (ясовчилар) эгрилигининг радиуси  $\rho_m = \infty$ . Шунинг учун (8.8) тенгламадан қуидагини топамиз:  $\sigma_m = \frac{\rho \rho_t}{\delta}$ , (б)  $H + h - y$  чуқурлиқдаги босим  $\rho$  га тенг бўлади:  $\rho = \gamma(H + h - y)$  чуқурлигидаги босим  $\rho$  га тенг бўлади:  $\rho = \gamma(H + h - y)$  (в). Конуссимон қисми учун қуидагига эга бўламиш:

$$R_y = \frac{y}{h} R; \quad \rho_t = \frac{R_y}{\cos \alpha} = \frac{yR}{h \cos \alpha} \quad (\Gamma)$$

(в) ва (Г) ифодаларни (б) формулага қўйиб, конус қисмидаги айланма күчланиш формуласини оламиш:

$$\sigma_m = \frac{\gamma \cdot R}{\delta \cdot h \cos \alpha} (H + h - y) y \quad (8.13)$$

Цилиндрик қисми учун  $\rho_t = R$  деб олиб, қуидагини топамиз:

$$\sigma_m = \frac{\gamma \cdot R}{\delta} (H + h - y) \quad (8.14)$$

$\sigma_m$  эпюраси 263-расмнинг чап томонида кўрсатилган. Резервуарнинг конус қисми учун бу эпюра параболик

күринишида. У математик жиҳатдан умумий баландлиги нинг ўртасида, яъни  $y = 0,5(H + h)$  бўлганда максимумга эришади.  $H > h$  бўлганида у шартли қийматга эга бўлади,  $H > h$  да эса у конуссимон қисми чегарасига тўғри келиб,

$$\max \sigma_r = \frac{1}{4} \cdot \frac{\gamma \cdot R(H+h)^2}{\delta \cdot h \cos \alpha} \quad (8.15)$$

га тенг реал қийматга эга бўлади.

Меридионал кучланиш  $\sigma_m$  ларни топишга ўтамиз. Конуссимон қисми учун баландлиги у бўлган конус ҳажмидаги суюқлик оғирлигини топамиз:

$$Q = \gamma \frac{1}{3} y \cdot \pi \cdot R_y^2 = \frac{\gamma \cdot \pi \cdot y^2 R^2}{3H} \quad (\text{д})$$

(в), (г) ва (д) ифодаларни (8.9) формулага қўйиб оламиз:

$$\sigma_m = \frac{\gamma \cdot R}{6\delta \cdot h \cos \alpha} [3(H+h) - 2y] y \quad (8.16)$$

$\sigma_m$  эпюраси 263-расмнинг ўнг томонида кўрсатилган. Бу эпюра ҳам конуссимон қисми учун параболик кўринишига эга, у  $y = 0,5(H+h)$  бўлганда максимумга эришади. У  $H \leq \frac{1}{3}h$  бўлгандагина реал қийматга эга бўлиб, конус қисми чегарасига тўғри келади ва

$$\max \sigma_m = \frac{3}{16} \cdot \frac{\gamma \cdot R(H+h)^2}{\delta \cdot h \cos \alpha} \quad (8.17)$$

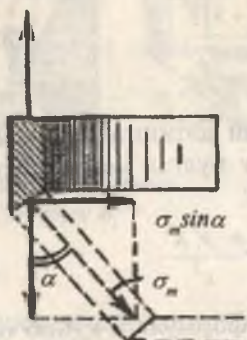
га тенг бўлади.

Идиш цилиндрик қисмдаги кучланиш —  $\sigma_m$  резервурнинг баландлиги бўйича ўзгармайди ва осиб қўйилган юқори қиррасидаги кучланишга тенг:

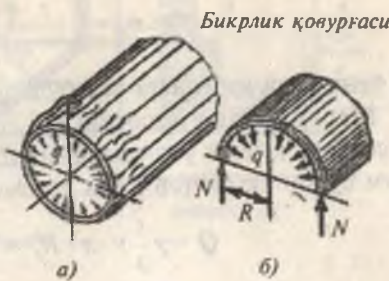
$$\sigma_m = \frac{\gamma \cdot R(H+h)}{6\delta} \quad (8.18)$$

Идиш сирти кескин ўзгарадиган жойда, масалан, цилиндрик қисмининг конуссимон қисми (263-расм) ёки сферик қисми (264-расм) билан туташадиган жойда меридионал кучланишларнинг радиал ташкил этувчиси

$\sigma_m \sin \alpha$  мувозанатлашмаган, бу ҳол 265-расмда күрсатилған. Бу ташкил этувчи ҳалқаның периметри бүйлаб  $q = \delta \sigma \sin \alpha$  га тенг радиал юқ ҳосил қиласы, у юқ цилиндрик қобиқнинг қирраларини ичига әгишга интилади (265-а расм).



264-расм.



265-расм.

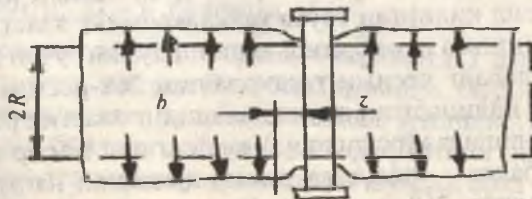
Бундай әгилишга йүл қўймаслик учун идиш сирти ўзгаридиган ерда бурчаклик ёки швеллер кўринишидаги бикрлик қовурғаси қўйилади, у идишни айланаси бўйлаб ўраб олади. Бу қовурға радиал нагрузка  $q$  ни 265-б расмда кўрсатилгандек қабул қиласы.

Бикрлик қовурғасини диаметр бўйича қирқиш йўли билан олинган ярим ҳалқаниң мувозанат шартидан қовурғада  $N = qR$  сиқувчи куч пайдо бўлишини осонгина исбот қилиш мумкин, бу ҳолда қовурға билан қобиқ бирга ишлаши ҳисобга олинмайди.

Лекин бикрлик қовурғага ёпишиб турган қобиқ ҳалқасининг кенгайишига тўсқинлик қиласы. Натижада қобиқнинг ясовчиси бикрлик ҳалқаси ўқинида эгрilanади. Бу ҳодисага чегаравий эффект дейилади. У идиш деворларида кучланишларнинг маҳаллий кескен ўсишига олиб келиши мумкин. Чегаравий эффектнинг умумий назарияси қобиқлар ҳисобининг моментли назарияси ёрдамида маҳсус курсларда ўрганилади. Қуйида цилиндрик трубада чегаравий эффектни ҳисобга олишга доир оддий масала кўриб чиқилади.

**Цилиндрик қобиқда чегаравий эффект.** Цилиндрик қобиққа мисол тариқасида 266-расмда ички босим  $q$  таъсирида бўлган юпқа деворли узун труба тасвирангган. Труба бўлаклари ўзаро фланецлар ёрдамида бириттирилган. Фланецлар бўлмаганида эди, трубанинг бутун узунлиги бўйича ички босим  $q$  туфайли унинг диаметри бирор қийматга катталашган бўларди. Фланец шу даражада бикрки, унинг диаметри катталашишини ҳисобга олмасдан, трубанинг диаметри фланец олдида ўзгармайди, деб ҳисоблаш мумкин. Лекин фланецдан узоқда труба диаметрининг ўзгариши табиийдир.

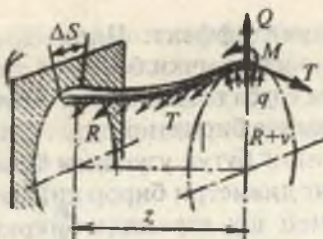
Шунинг учун трубанинг фланец яқинидаги бирор участкаси 266-расмда кўрсатилгандек эгриланади. Олдинига труба кўндаланг кесим юзларида бўйлама кучлар йўқ деган тахмин билан труба деворининг эгилишини (чегаравий эффектни) текширамиз.



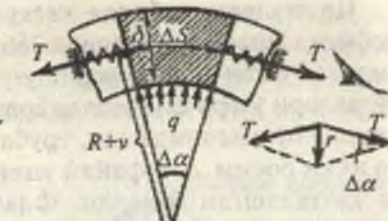
266-расм.

Трубанинг деформациягача бўлган ўртача радиусини  $R$ , деворининг қалинлигини  $\delta$  билан белгилаймиз. Бўйлама кесимлар билан труба деворидан эни  $\Delta s$  га тенг кичик полоса ажратамиз. 267-расмда шундай полоса таъсир қилаётган кучлар билан биргаликда тасвирангган. Труба деформациялангунга қадар ҳам, деформациялангандан кейин ҳам айланма жисмдан иборат бўлганлигидан, барча полосалар 267-расмдагига ўхшаш, бир хил шароитда бўлади. Келгусида  $\Delta s = 1$  деб ҳисоблаймиз.

Полосанинг фланецга бириттирилган ерида қистириб маҳкамланган балка деб ҳисоблаб, унинг салқиликлари радиус орттирмаларига тенг деб оламиз; радиус орттирмаларини  $\nu$  билан белгилаймиз. Бу балкага таъсир қиласидиган ташқи юқ аввало ички босим ҳисобига ҳосил була-



267-расм.



268-расм.

ди; бу босим полосанинг узунлик бирлигига  $\Delta s = 1$  бүлганида  $q \cdot 1\Delta s = q$  юк билан таъсир қиласи. Бундан ташқари, трубанинг бүйлама кесимларига айланма зўришиш кучлари ҳам таъсир қиласи; бундай кучларнинг полоса узунлик бирлигига таъсир қиласидиган қийматини  $T$  билан белгилаймиз. Бу кучларнинг қиймати қўндаланг кесимлар билан ҳосил қилинган труба ҳалқаларининг эластик нисбий чўзилишига пропорционалдир. Шунинг учун полосанинг қўндаланг кесими тасвирланган 268-расмда  $T$  кучлар фараз қилинаётган пружиналарнинг эластик реакциялари кўринишида кўрсатилган. Уларнинг тент таъсир этувчиси —  $\tau$  ни балка — полосада таъсир қилаётган нагрузка деб қараш мумкин. 268-расмдан қўйидагини топамиз:

$$\tau = 2T \sin \frac{\Delta\alpha}{2} \approx T \frac{\Delta s}{R + v}$$

ёки каср маҳражидаги  $v$  қиймати  $R$  га нисбатан кичик бўлганилигидан уни инобатга олмасдан,  $\Delta s = 1$  деб қабул қиласимиз:

$$\tau = \frac{T}{R} \quad (8.19)$$

$R$  радиуснинг нисбий чўзилиши, демак, труба деворининг айланма йўналишдаги нисбий чўзилиши  $\varepsilon_1 = \frac{v}{R}$  га тент бўлади. Унга мос келадиган айланма кучланишлар Гук қонунига кўра  $\sigma = \frac{v}{R} E$  бўлади.

$$\text{У ҳолда: } T = \sigma_1 \delta \cdot I = \frac{\delta \cdot E}{R} v, \text{ демак, } r = \frac{\delta \cdot E}{R^2} v \quad (8.20)$$

Формула  $r$  зўриқиши кучини пропорционаллик коэффициенти  $k = \frac{\delta \cdot E}{R^2}$  бўлган балка-полосанинг  $v$  эгилишларига қаршилик кўрсатувчи эластик асоснинг реакцияси сифатида қараш мумкинлигини кўрсатади.

Шундай қилиб, цилиндрик идишдан ажратиб олинган полоса эгилишининг дифференциал тенгламасини, яхлит эластик асосида ётувчи балка тенгламаси каби ёзиш мумкин:

$$v'' + 4\beta^4 v = \frac{q}{E_1 I} \quad (8.21)$$

Бу ерда  $I$  — полоса кўндаланг кесим юзасининг инерция моменти;  $\Delta s = 1$  бўлганда  $I = \frac{\delta^3}{12}$ .

Полосанинг эгилишга бўлган бикрлиги  $E_1 I$  даги  $E_1$  оддий эластиклик модули  $E$  ни билдирамайди, балки бошқачароқ маънога эга, чунончи, полоса эгилиши туфайли толалардаги бўйлама деформациялар  $\varepsilon_1$  қўшни полосалар билан ўзаро таъсирида бўлганлигидан шундай орта борадики, уларга мос келувчи кўндаланг деформациялар  $\varepsilon_2$  бўлмайди.

Текис кучланиш ҳолати учун Гук қонунига асосан  $\varepsilon_2 = 0$  деб қабул қилиб, кучланиш  $\sigma_1$  билан чўзилиш  $\varepsilon_1$  ўртасидаги қуйидаги боғланишни топамиз:

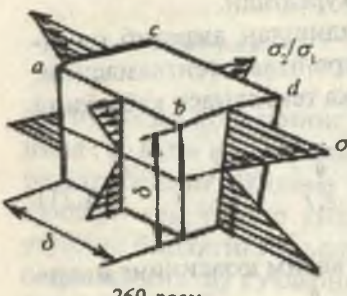
$$\sigma_1 = \frac{\varepsilon_1 E}{1 - \mu^2} = \varepsilon_1 E_1$$

Бу ҳолда  $\sigma_2 = \mu \sigma_1$  ва полоса элемент ёқларидағи эгувчи кучланишлар 269-расмда кўрсатилгандек бўлади. Шундай қилиб, бу ҳолда  $E$  модули ўрнига  $E_1 = \frac{E}{1 - \mu^2}$  модулдан фойдаланиш керак. Айтилганларни ҳисобга олсак, полосанинг эгилишдаги бикрлиги  $E_1 I$  қуйидагича:

$$E_1 I = \frac{\delta^3 E}{12(1 - \mu^2)}$$

(8.21) тенгламадаги  $\beta$  коэффициентнинг қиймати  $k$  ва  $E_I I$  лар учун топилган ифодаларни ҳисобга олган ҳолда топилади:

$$\beta = \sqrt{\frac{k}{4E_I I}} = \sqrt{\frac{3(1-\mu^2)}{R^2 \delta^2}} \quad (8.22)$$



269-расм.

Энди трубанинг күндаланг кесим юзларига текис тақсимланган кучланишлар  $\sigma_m$  билан характерланадиган бўйлама зўриқиши кучлари таъсир қиласи, деб тахмин қиласиз. Бунда айланма йўналишдаги нисбий чўзилиш кўйидаги тенгликда топила-ди:

$$\varepsilon_1 = \frac{\nu}{R} = \frac{\sigma_t}{E} - \mu \frac{\sigma_m}{E}$$

Бундан  $\sigma$ ,  $\nu$ ,  $R$  ни сўнгра  $T$  ни топамиз:

$$T = \sigma \cdot \delta \cdot I = \frac{\delta \cdot E}{R} \nu + \mu \cdot \delta \cdot \sigma_m$$

(8.19) формуладан қўйидагини топамиз:

$$r = \frac{\sigma \cdot E}{R^2} \nu + \frac{\mu \cdot \delta \cdot \sigma_m}{R}$$

Охирги қўшилувчини полоса-балкага таъсир этувчи текис тақсимлангак нагрузка деб қараш мумкин, уни ташки нагрузка  $q$  га миңус ишора билан қўшиш лозим. Унинг пайдо булиши осонгича шундай тушунтирилади; труба бўйлама йўналишда  $\sigma_m$  кучланиш таъсирида чўзилса, кўндаланг йўналишда тораяди. Кўриниб турибдики, бу манфий босим  $\frac{\mu \cdot \delta \cdot \sigma_m}{R}$  қўйилиши билан эквивалентdir. Демак, бўйлама кучланишлар  $\sigma_m$  ни ҳисобга олганда полоса эгилишининг тенгламаси қўйидаги кўринишни олади:

$$v'' + 4\beta^4 v = \frac{1}{E_1 I} \left( q - \frac{\mu \cdot \delta \cdot \sigma_m}{R} \right) \quad (8.23)$$

Шуни қайд қилиш керакки, (8.21) ва (8.23) тенгламалар истаган ўқи симметрияга эга бўлган нагрузка  $q$  учун кучга эгадир.  $q = \text{const}$  ва  $\sigma_m = 0$  бўлган масаламизнинг счимига қайтамиз. (8.23) тенгламанинг умумий интеграли қуидаги кўринишда бўлади:

$$\begin{aligned} v &= e^{-\beta z} (C_1 \sin \beta \cdot z + C_2 \cos \beta \cdot z) + \\ &+ e^{\beta z} (C_3 \sin \beta \cdot z + C_4 \cos \beta \cdot z) + \frac{q}{4\beta^4 E_1 I} \end{aligned} \quad (8.24)$$

Масаланинг физик маъносига кўра  $z$  нинг қиймати ортиши билан  $v$  маълум қийматта интилиши лозим. Лекин (8.24) счимда  $z \rightarrow \infty$  бўлгандан  $e^{\beta z}$  қиймат ҳам чексизликка интилиши бунга зиддир. Шунинг учун  $C_3 = C_4 = 0$  деб оламиз. Қолган иккита ўзгармас  $C_1$  ва  $C_2$  ларни фланецда, яъни  $z = 0$  бўлганида  $\frac{dv}{dz} = 0$  ва  $v = 0$  бўлиш шартидан топамиз:  $C_1 = C_2 = -\frac{q}{4\beta^4 E_1 I} = -\frac{qR^2}{\delta \cdot E}$ ,

$$v = \frac{qR^2}{\delta \cdot E} \left[ (1 - e^{-\beta z} (\sin \beta \cdot z + \cos \beta \cdot z)) \right] \quad (8.25)$$

Энди эни  $\Delta s = 1$  бўлган полоса учун эгувчи момент  $M$  ва кўндаланг куч  $Q$  ни топамиз:

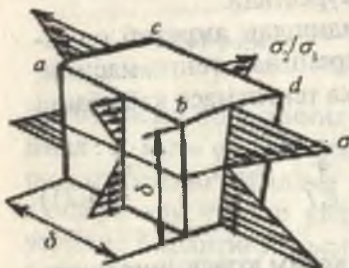
$$M = E_1 I \frac{d^2 v}{dz^2} = \frac{qR\delta}{2\sqrt{3(1-\mu^2)}} e^{-\beta z} (\cos \beta \cdot z - \sin \beta \cdot z) \quad (8.26)$$

$$Q = \frac{dM}{dz} = -\frac{q\sqrt{R\delta}}{4\sqrt{3(1-\mu^2)}} e^{-\beta z} \cos \beta \cdot z \quad (8.27)$$

(8.25) ва (8.26) формуласлар бўйича курилган  $v$  ва  $M$  эпюралари 269-расмда кўрсатилган бўлиб, абсцисса ўқи бўйлаб улчовсиз координата  $\beta \cdot z$  қўйилган.

(8.21) тенгламадаги  $\beta$  коэффициентнинг қиймати  $k$  ва  $E_I I$  лар учун топилган ифодаларни ҳисобга олган ҳолда топилади:

$$\beta = \sqrt[4]{\frac{k}{4E_I I}} = \sqrt[4]{\frac{3(1-\mu^2)}{R^2 \delta^2}} \quad (8.22)$$



269-расм.

Энди трубанинг кўндаланг кесим юзаларига текис тақсимланган кучланишлар  $\sigma_m$  билан характерланадиган бўйлама зўриқиши кучлари таъсир қиласи, деб тахмин қиласиз. Бунда айланма йўналишдаги нисбий чўзилиш кўидаги тенгликда топилади:

$$\varepsilon_1 = \frac{\nu}{R} = \frac{\sigma_I}{E} - \mu \frac{\sigma_m}{E}$$

Бундан  $\sigma$ , ни, сўнгра  $T$  ни топамиз:

$$T = \sigma_I \delta \cdot 1 = \frac{\delta \cdot E}{R} \nu + \mu \cdot \delta \cdot \sigma_m$$

(8.19) формуладан қуйидагини топамиз:

$$r = \frac{\sigma \cdot E}{R^2} \nu + \frac{\mu \cdot \delta \cdot \sigma_m}{R}$$

Охирги қўшилувчини полоса-балкага таъсир этувчи текис тақсимлангақ нагрузка деб қараш мумкин, уни ташқи нагрузка  $q$  га минус ишора билан қўшиш лозим. Унинг пайдо булиши осонгича шундай тушунтирилади; труба бўйлама йўналишда  $\sigma_m$  кучланиш таъсирида чўзилса, кўндаланг йўналишда тораяди. Куриниб турибдики, бу манфий босим  $\frac{\mu \cdot \delta \cdot \sigma_m}{R}$  қўйиши билан эквивалентdir. Демак, бўйлама кучланишлар  $\sigma_m$  ни ҳисобга олганда полоса эгилишининг тенгламаси қуйидаги кўринишни олади:

$$v'' + 4\beta^4 v = \frac{1}{E_1 I} \left( q - \frac{\mu \cdot \delta \cdot \sigma_m}{R} \right) \quad (8.23)$$

Шуни қайд қилиш керакки, (8.21) ва (8.23) тенгламалар истаган ўқи симметрияга эга бўлган нагрузка  $q$  учун кучга эгадир.  $q = const$  ва  $\sigma_m = 0$  бўлган масаламизнинг ечимида қайтамиз. (8.23) тенгламанинг умумий интеграли қўйидаги кўринишда бўлади:

$$v = e^{-\beta z} (C_1 \sin \beta \cdot z + C_2 \cos \beta \cdot z) + e^{\beta z} (C_3 \sin \beta \cdot z + C_4 \cos \beta \cdot z) + \frac{q}{4\beta^4 E_1 I} \quad (8.24)$$

Масаланинг физик маъносига кўра  $z$  нинг қиймати ортиши билан  $v$  маълум қийматга интилиши лозим. Лекин (8.24) ечимда  $z \rightarrow \infty$  бўлганда  $e^{\beta z}$  қиймат ҳам чексизликка интилиши бунга зиддир. Шунинг учун  $C_3 = C_4 = 0$  деб оламиз. Қолган иккита ўзгармас  $C_1$  ва  $C_2$  ларни фланецда, яъни  $z = 0$  бўлганида  $\frac{dv}{dz} = 0$  ва  $v = 0$  бўлиш шартидан топамиз:  $C_1 = C_2 = -\frac{q}{4\beta^4 E_1 I} = -\frac{qR^2}{\delta \cdot E}$ ,

$$v = \frac{qR^2}{\delta \cdot E} \left[ (1 - e^{-\beta z} (\sin \beta \cdot z + \cos \beta \cdot z)) \right] \quad (8.25)$$

Энди эни  $\Delta s = 1$  бўлган полоса учун эгувчи момент  $M$  ва кўндаланг куч  $Q$  ни топамиз:

$$M = E_1 I \frac{d^2 v}{dz^2} = \frac{qR\delta}{2\sqrt{3}(1-\mu^2)} e^{-\beta z} (\cos \beta \cdot z - \sin \beta \cdot z) \quad (8.26)$$

$$Q = \frac{dM}{dz} = -\frac{q\sqrt{R\delta}}{\sqrt{3}(1-\mu^2)} e^{-\beta z} \cos \beta \cdot z \quad (8.27)$$

(8.25) ва (8.26) формулалар бўйича қурилган  $v$  ва  $M$  эпюралари 269-расмда кўрсатилган бўлиб, абсцисса ўқи бўйлаб ўлчовсиз координата  $\beta \cdot z$  қўйилган.

$\nu$ ,  $M$ ,  $Q$  ларни солишиңирсак, улар  $\eta_1$  ва  $\eta_2$  функциялар орқали ифодаланганligини кўришимиз мумкин. Трубадан ажратиб олинган полоса эгилиши ҳақидаги масалани тўплланган куч таъсири қилувчи эластик асосдаги балка сифатида кўришимиз мумкин. Фланецларнинг реакция кучлари тўплланган куч ролини ўтайди.

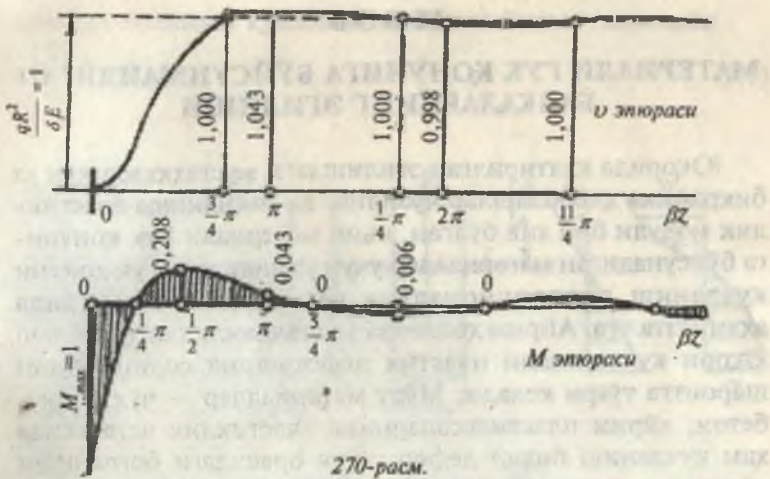
269-расмдаги эпюрадан кўриниб турибдики, труба деворлари эгилиш деформациясининг тўлқини фланецдан узоқлашиши билан тез сўнади. Масалан,  $\beta \cdot z = \pi$  бўлганида солқилик  $\nu$  нинг қиймати фланец йўқ бўлиб, труба эркин кенгайишидаги радиусининг ортиши  $\frac{qR^2}{\delta \cdot E}$  дан фоқат 4,3% га фарқ қиласи. Ушбу кесимдаги эгувчи момент ҳам фланецдаги эгувчи моментнинг 4,3% ини ташкил қиласи.  $\beta \cdot z = \pi$  қийматга ( $\mu = 0,3$  бўлганда)  $z = \frac{\pi}{\beta} = \frac{\pi\sqrt{R\delta}}{\sqrt{3(1-\mu^2)}} \approx 2,4\sqrt{R\delta}$  мос келади. Масалан,  $\delta = 0,1R$  бўлганда  $z \approx 0,76R$ . Шундай қилиб, чегаравий эфект фланецдан труба радиусига нисбатан кичик масофага тарқалади деб, 5% аниқлик билан ҳисоблаш мумкин. Труба деворининг маҳаллий кескин эгилишига чегаравий эфект дейилади.

Чегаравий эфект туфайли максимал кучланиш жуда катта қийматларга эришиши мумкин. Масалан, бизнинг мисолимизда  $z = 0$  бўлганида:

$$M_{\max} = \frac{qR\delta}{2\sqrt{3(1-\mu^2)}}, \sigma_{\max} = \frac{6M_{\max}}{\delta^2} = \frac{3qR}{\delta^2\sqrt{3(1-\mu^2)}} \approx 1,82 \frac{qR}{\delta} \text{ га эга}$$

бўламиз. Бу ( $\mu = 0,3$  бўлганда) моментсиз назариядаги (8.11) формула бўйича топиладиган максимал кучланишдан 1.82 марта каттадир.

Агар қобиқнинг материали пластик материалдан, масалан, пластик пўлатдан иборат бўлса, чегаравий эфект туфайли кучланишларнинг ортиши идишнинг умумий мустаҳкамлигини камайтирмайди, фақат маҳаллий пластик деформациялар пайдо бўлишига олиб келади.



270-расм.

Мұрт материаллар, масалан, темир-бетон резервуарлар учун чегаравий эффектдан ҳосил бұладынан күчланишлар анча хавфли бўлади. Бу күчланишлар резервуарда дарз пайдо бўлишига олиб келади, бу эса унинг герметиклигиги бузади. Бундай ҳолларда чегаравий эффект күчланишларига қарши турли конструктив чоралар воситасида курашилади. Улардан бири темир-бетон резервуар деворларида олдиндан күчланиш пайдо қилишdir. Баъзан резервуар девори билан туби шундай конструкция ёрдамида туташтириладики, деворлар қисман ёки бутунлай эркин кенгайишига йўл қўйлади. Бу чегаравий эффект күчланишини кескин камайтиради ёки бутунлай бартаграф қиласи.

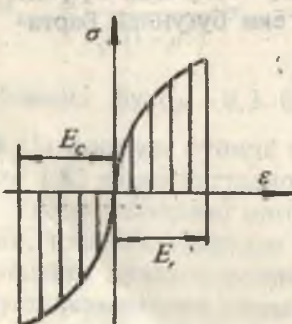
## IX БОБ

### МАТЕРИАЛИ ГУК ҚОНУНИГА БҮЙСУНМАЙДИГАН БАЛКАЛАРНИНГ ЭГИЛИШИ

Юқорида көлтирилған әгилиштегі мустақаммикка ва бикрликка ҳисоблашлар чўзилиш ва сиқилишда эластиклик модули бир хил бўлган, яъни материали Гук қонунига бўйсунадиган материаллар учун ўринидир. Гук қонуни кучланиш пропорционаллик чегарасидан ошмагандан аҳамиятга эга. Айрим ҳолларда мустақаммикка ҳисоблаш юқори кучланиши пластик деформация содир бўлган шароитга тўғри келади. Мўрт материаллар — чўян, тош, бетон, айрим пластмассаларнинг эластиклик чегарасида ҳам кучланиш билан деформация орасидаги боғланиши тўғри чизиқли эмас, айрим материалларни чўзилиш ва сиқилиштеги эластиклик модуллари бир хил эмас. Шунинг учун материали Гук қонунига бўйсунмайдиган балкаларни әгилишда мустақаммикка ҳисоблаш аҳамиятга эга.

Юкланиш даврида материали Гук қонунига бўйсунмайдиган кўндаланг кесим юзаси тўғри тўртбурчакли балканинг әгилиштеги нормал кучланишини аниқлаймиз.

Балка соғ әгилишда бўлсин. Агар, куч йўналишида толалар ўзаро бир-бирига босим таъсирини утказмаса, балканинг материали оддий чўзилиш ва сиқилишда бўлади. (271-расм).  $\epsilon_v$  бўйлама узайиш —  $\epsilon_c$  бўйлама қисқариш



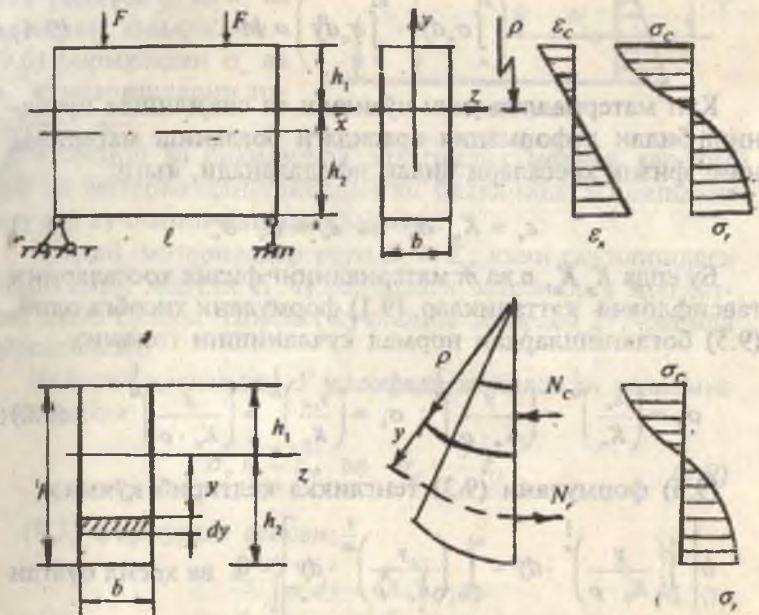
271-расм.

диаграммага асосан, чўзилишда кучланишнинг ўсиши деформациянинг ўсишидан кам экан. Бу ерда:  $\epsilon_v > \epsilon_c$ .

Бу ҳолат әгилишда балка кесимининг нейтрал қатлами балканинг эгрилик маркази томон силжитади. Агар балканинг эгрилик радиусини  $\rho$  ҳарфи билан белгиласак, нейтрал қатламдан у масофада жойлашган қатламнинг

нисбий узайиши қуйидаги тенглама билан топилади:

$$\varepsilon = \frac{y}{\rho} \quad (9.1)$$



272-расм.

Нисбий деформация ва нормал күчланишни анықлаш учун нейтрал ўқнинг эгрилик радиуси  $\rho$  ни топиш ва аналитик усулда күчланиш билан деформация орасидаги бөгланишни ҳосил қилиш керак (272-расм).

Жуфт күч таъсирида эгилаётган балканинг ихтиёрий кесимидаги ички  $N_4$  чўзувчи ва сиқувчи  $N_c$  күчлари ҳам жуфт кучни ҳосил қиласди. Унда  $N_4$  ва  $N_c$  күчларни  $X$  ўқига проекциялари ҳам нолга тенг ва уларнинг нейтрал ўқ  $Z$  га нисбатан моменти эгувчи моментга тенг:

$$\sum x = \int_0^A \sigma \cdot dA = 0 \quad \text{ва} \quad \sum M_z = \int_A \sigma \cdot y \cdot dA - M = 0 \quad (9.2)$$

Бу ерда:

$$dA = b \cdot dy. \quad \text{У ҳолда} \quad b \left( \int_0^{h_1} \sigma_q dy - \int_0^{h_2} \sigma_c dy \right) = 0 \quad (9.3)$$

$$b \left( \int_0^{h_1} \sigma_q dy + \int_0^{h_2} \sigma_c dy \right) = M \quad (9.4)$$

Кўп материаллар учун чўзилиш ва сиқилишда кучланиш билан деформация орасидаги боғланиш материалнинг физик хоссалари билан ифодаланади, яъни:

$$\varepsilon_q = K_q \cdot \sigma_q^n \quad \text{ва} \quad \varepsilon_c = K_c \cdot \sigma_c^m \quad (9.5)$$

Бу ерда  $K_q$ ,  $K_c$ ,  $n$  ва  $m$  материалнинг физик хоссаларини тавсифловчи катталиклар. (9.1) формулани ҳисобга олиб, (9.5) боғланишлардан нормал кучланишни топамиз:

$$\sigma_q = \left( \frac{\varepsilon_q}{K_q} \right)^{\frac{1}{n}} = \left( \frac{y}{K_q \cdot \rho} \right)^{\frac{1}{n}}; \quad \sigma_c = \left( \frac{\varepsilon_c}{K_c} \right)^{\frac{1}{m}} = \left( \frac{y}{K_c \cdot \rho} \right)^{\frac{1}{m}} \quad (9.6)$$

(9.6) формулани (9.3) тенгликка келтириб қўямиз:

$$b \left[ \int_0^{h_1} \left( \frac{y}{K_q \cdot \rho} \right)^{\frac{1}{n}} \cdot dy - \int_0^{h_2} \left( \frac{y}{K_c \cdot \rho} \right)^{\frac{1}{m}} \cdot dy \right] = 0 \quad \text{ва ҳосил бўлган}$$

тенгликни интегралласак,

$$\frac{n}{n+1} \left( \frac{h_1}{K_q \cdot \rho} \right)^{\frac{1}{n}} h_1 - \frac{m}{m+1} \left( \frac{h_2}{K_c \cdot \rho} \right)^{\frac{1}{m}} h_2 = 0 \quad (9.7)$$

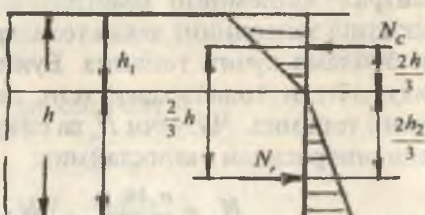
ҳосил бўлади. (9.6) формулани (9.4) тенгликка келтириб

$$b \left[ \int_0^{h_1} \left( \frac{y}{K_q \cdot \rho} \right)^{\frac{1}{n}} y dy + \int_0^{h_2} \left( \frac{y}{K_c \cdot \rho} \right)^{\frac{1}{m}} y dy \right] = M \quad \text{ва интег-}$$

ралласак, қўйидаги натижани ҳосил қиласиз:

$$\frac{n}{2n+1} b \left( \frac{h_1}{K_q \cdot \rho} \right)^{\frac{1}{n}} h_1^2 + \frac{m}{2m+1} b \left( \frac{h_2}{K_c \cdot \rho} \right)^{\frac{1}{m}} h_2^2 = M \quad (9.8)$$

Агар,  $h_1 + h_2 = h$  өкенлигини ҳисобга олсак, (9.7) ва (9.8) формулалардан эгрилик радиуси  $\rho$  ва  $h_1$  ва  $h_2$  ларни анықтаймиз. (9.6) формуладан  $\sigma_v$  ва  $\sigma_c$  күчланишларни топамиз.



273-расм.

Чүзилиш ва сиқилишда эластиклик модули ҳар хил булган материалдан тайёрланган балканинг эгилишдаги нормал күчланишини анықтаймиз.

“Бундай” материаллар учун  $E_c > E_v$ , яъни сиқилишдаги эластиклик модули  $E_c$  чүзилишдаги эластиклик модулидан катта бўлади. Нормал күчланиш эпюраси 273-расмда кўрсатилган.

Нейтрал қатламдан  $Y$  масофада жойлашган толанинг күчланиши:

$$\sigma_v = \frac{y}{\rho} E_v \quad \text{ва} \quad \sigma_c = \frac{y}{\rho} E_c \quad (9.9)$$

(9.3) формулага асосан:

$$\frac{E_v}{\rho} \int_{-h}^{h1} \sigma_v dy = \frac{E_c}{\rho} \int_{-h}^{h2} \sigma_c dy \quad (9.10)$$

$$\text{Ёки: } \frac{E_v}{\rho} \int_{-h}^{h1} y dy = \frac{E_c}{\rho} \int_{-h}^{h2} y dy \quad (9.11)$$

(9.11) ни интеграллаб ва  $\frac{1}{2\rho}$  га қисқартириб,

$$E_v h_1^2 = E_c h_2^2 \quad (9.12)$$

ҳосил қиласиз, бу срда  $\frac{h_1^2}{h_2^2} = \frac{E_c}{E_v}$  ни ҳисобга олсак,  $h_1 + h_2 = h$  ва

$$h_1 = \frac{h\sqrt{E_c}}{\sqrt{E_v} + \sqrt{E_c}} \quad \text{ва} \quad h_2 = \frac{h\sqrt{E_v}}{\sqrt{E_v} + \sqrt{E_c}} \quad (9.13)$$

нейтрал қатламнинг ҳолатини аниқлаймиз. Чўзилиш ва сиқилиш зонасининг чекка толалардаги тенг таъсир қилувчи бўйлама кучни топамиз. Бунинг учун чўзилаётган ва сиқилаётган толалардаги тенг таъсир қилувчи бўйлама кучни топамиз. Чўзувчи  $N_v$  ва сиқувчи  $N_c$  кучларни кучланиш эпюрасидан аниқлаймиз:

$$N_v = \frac{\sigma_v b h_1}{2}; \quad N_c = \frac{\sigma_c b h_2}{2} \quad (9.14)$$

$N_v$  ва  $N_c$  кучлар балканинг нейтрал қатламдан  $\frac{1}{3}h_1$  ва  $\frac{1}{3}h_2$  масофада жойлашади. Кўндаланг кесим юзада ички кучлар жуфт кучга келтирилгани учун  $N_v = N_c$ .

Кучлар орасидаги масофа  $\frac{1}{3}h$ , унда жуфт куч моменти:

$$M = N_v \frac{2}{3}h \quad \text{ва} \quad M = N_c \frac{2}{3}h$$

(9.13) ва (9.14) боғланишларни ҳисобга олсак,

$$M = \frac{\sigma_v \cdot b \cdot h_1 \cdot h}{3} = \frac{\sigma_v b h^2}{3} \cdot \frac{\sqrt{E_v}}{\sqrt{E_v} + \sqrt{E_c}} \quad (9.15)$$

$$M = \frac{\sigma_c \cdot b \cdot h_2 \cdot h}{3} = \frac{\sigma_c b h^2}{3} \cdot \frac{\sqrt{E_c}}{\sqrt{E_v} + \sqrt{E_c}} \quad (9.16)$$

Бу ерда:  $\sigma_v = \frac{3M}{bh^2} \left( 1 + \frac{\sqrt{E_v}}{\sqrt{E_c}} \right)$  (9.17);

$$\sigma_c = \frac{3M}{bh^2} \left( 1 + \frac{\sqrt{E_c}}{\sqrt{E_v}} \right) \quad (9.18)$$

Агар  $E_v$  ва  $E_c$  эластиклик модуллари берилган бўлса, (9.17), (9.18) формулалардан энг катта чўзувчи ва сиқувчи кучланишлар топилади. (9.17) ва (9.18) формулалар-

НИНГ БОШҚАЧА КҮРИНИШИНИ КЕЛТИРИШ УЧУН

$\frac{\sqrt{E_q}}{\sqrt{E_c}} = \frac{h}{h_1} = \frac{\rho}{\frac{h_1}{\varepsilon_c}} = \frac{\rho}{\varepsilon_c}$  НИ ХИСОБГА ОЛСАК,

$$\sigma_s = \frac{3M}{bh^2} \left( 1 + \frac{\varepsilon_c}{\varepsilon_s} \right) \quad (9.19)$$

$$\sigma_c = \frac{3M}{bh^2} \left( 1 + \frac{\varepsilon_s}{\varepsilon_c} \right) \quad (9.20)$$

“ Балка чекка толаларининг нисбий деформациялари тензометр билан аниqlанса, (9.19) ва (9.20) формулалар ўринли.

Балка чекка толаларининг нисбий деформациялари тензометр билан аниqlанса, (9.19) ва (9.20) формулалар ўринли. Ўнинг толаларинин төмөнкү жалғыз мөндицийдөн көрсөтүлгөн шартта табиатташканда балка чекка толаларининг нисбий деформациялари тензометр билан аниqlанса, (9.19) ва (9.20) формулалар ўринли.

## Х БОБ

### МУРАККАБ ҚАРШИЛИКЛАР

Техникада ишлайдиган ҳамма деталлар ҳам оддий деформациялар, яъни чўзилиш ва сиқилиш, силжиш, буралиш ёки эгилиш деформацияларига учрамасдан, балки бир пайтда шу оддий деформацияларнинг камидаги иккитаси таъсирида бўлиши мумкин. Бундай ҳолда конструкция қисми мураккаб деформацияга дуч келади. Шунинг учун машина ёки иншоот қисмларининг кўндаланг кесимида бир вақтда иккита ва ундан ортиқ ички куч факторлари ҳосил бўлади. Натижада кесим юзасида шундай мураккаб кучланганлик ҳолати келиб чиқадики, кучларнинг мустақиллик аломатига асосан бу кучланганлик ҳолати оддий кучланганликлар йиғиндисидан иборат деб қараш мумкин. Кучларнинг мустақиллик аломатини мураккаб деформацияга татбиқ этиш учун элементнинг деформацияси кичик ва унинг материали Гук қонунига бўйсуниши керак. Мураккаб деформацияга — валнинг бир вақтда буралиш билан эгилиш таъсирида бўлиши: қийшиқ эгилиш, марказлашмаган сиқилиш ёки чўзилиш ва ҳ.к. мисол бўлади.

#### 10.1. ЭГИЛИШ БИЛАН БУРАЛИШНИНГ БИРГАЛИКДАГИ ТАЪСИРИ

Буралишга ишлайдиган стержень вал дейилади. Вал машина, станок ва механизмларнинг ҳаракатга келтирувчи асосий элементи бўлиб, кўпинча буралиш билан эгилиш деформацияларининг таъсири натижасида ишлайди. Шкивга ўрнатилган ременларнинг, таранглик кучларнинг валга босими ( $P$ ) таъсирида эгилиш деформацияси: ременинг етакловчи ва етакланувчи қисмларининг таранглик кучлари вал кесимининг марказига нисбатан моментлари ( $M_1, M_2$ ) таъсирида буралиш деформацияси ҳосил бўлади.

$$M_1 = T_1 R_1 - t_1 R_1 = t_1 R_1, \quad M_2 = t_2 R_2,$$
$$P_1 = T_1 + t_1 = 3t_1 \text{ ва} \quad P_2 = 3t_2$$

Демак, валнинг кесимда буралишдаги буровчи момент; эгилишдаги эгувчи момент ва кўндаланг куч ҳосил бўлади.

Буровчи момент таъсирида валнинг кўндаланг кесимда буралишидаги уринма кучланиши ҳосил бўлади:

$$\tau_b = \frac{M_b}{W_p} \quad (10.1)$$

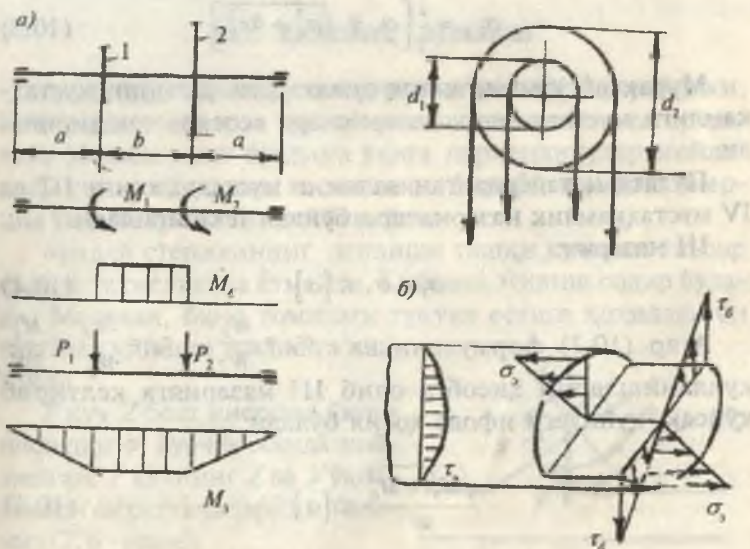
Уринма кучланиш вал кесимининг четки нуқталарида энг катта қийматга эришади (274-а расм).

Кўндаланг куч  $Q$  таъсиридаги уринма кучланиш буровчи моментдан ҳосил бўлган уринма кучланишга нисбатан кичикдир.

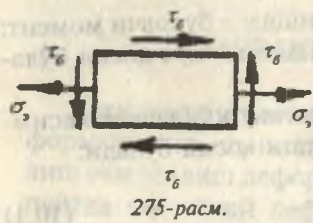
Бу кучланиш вал кесимининг марказида энг катта қийматга эришади. Лекин вални ҳисоблашда бу кучланишнинг таъсири сезиларли эмас.

Эгувчи момент таъсирида валнинг кўндаланг кесимда эгилишида нормал кучланиш ҳосил бўлади (274-б расм):

$$\sigma_s = \frac{M_x}{W_x} \quad (10.2)$$



274-расм.



Нормал кучланиш вал кесимининг четки нуқтасида энг катта қийматга эришади ва кесим марказида нолга тенг (274-б расм).

Демак, вал кесимининг четки нуқтасида  $\tau_6 = \tau_{6\max}$  ва  $\sigma_3 = \sigma_{3\max}$  булиб, бу нуқта атрофига ажратилган элементар юза хавфли ҳолатда ва мураккаб кучланганлик ҳолатида экан.

Ажратилган элементнинг олд қисми ва унга параллел бўлган орқа томони ҳар қандай кучланишлар таъсиридан озод. Шунинг учун бу юза бош юза (275-расм) экан ва бу юзадаги бош нормал кучланиш нолга тенг.

Учта бош кучланишлардан биттаси нолга тенг бўлган ҳолатдаги элементнинг кучланганлик ҳолати текис кучланганлик ҳолатидир. Текис кучланганлик ҳолатидаги элементнинг мустаҳкамлиги элементнинг бошқа юзалидағи бош кучланишларига боғлиқдир.

Бош кучланишлар қуйидаги формула билан топилади:

$$\sigma_{1,3} = \frac{1}{2} \left[ \sigma_3 \pm \sqrt{\sigma_3^2 + 4\tau_6^2} \right] \quad (10.3)$$

Мураккаб кучланганлик ҳолатидаги валнинг мустаҳкамлиги мустаҳкамлик назариялари асосида текширилади.

Пўлатдан тайёрланган валнинг мустаҳкамлиги III ва IV мустаҳкамлик назариялари бўйича текширилади.

III назария:

$$\sigma_1 - \sigma_3 \leq [\sigma] \quad (10.4)$$

Агар (10.3) формулани ва  $\sigma_3 = \frac{M_3}{W}$ ,  $\tau_6 = \frac{M_6}{W_p} = \frac{M_6}{2W}$  кучланишларни ҳисобга олиб III назарияга келтириб қўйсак, қуйидаги ифода ҳосил бўлади:

$$\frac{\sqrt{M_3^2 + M_6^2}}{W} \leq [\sigma] \quad (10.5)$$

Бу ерда  $\sqrt{M_s^2 + M_b^2} = M$  келтирилган момент деб қабул қыламиз.

Вални мустақамлик шарти:  $\frac{M_{kes}}{W} \leq [\sigma]$

Вал кесимнинг ўлчамлари қуйидагича топилади:

$$W = \frac{M_{kes}}{[\sigma]}$$

Агар  $W = \frac{\pi \cdot d^3}{32}$  бўлса, валнинг диаметри:

$$d = \sqrt[3]{\frac{32M_{kes}}{\pi \cdot [\sigma]}} \quad (10.6)$$

IV назария:  $\sqrt{\sigma_s^2 + 3\tau_b^2} \leq [\sigma]$ ,  $\sigma_s$ ,  $\tau_b$  ларнинг ифодаларини ҳисобга олсак,

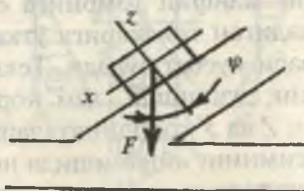
$$\frac{\sqrt{M_s^2 + 0,75M_b^2}}{W} \leq [\sigma] \text{ ва } W = \frac{\sqrt{M_s^2 + 0,75M_b^2}}{[\sigma]} = \frac{M_{kes}}{[\sigma]} \quad (10.7)$$

## 10.2. ҚИЙШИҚ ЭГИЛИШ

Амалиётда шундай конструкция қисмлари учрайдики, бу ҳолатда элементга қўйилган ташқи кучнинг таъсир чизиги элементнинг бўйлами ўқига перпендикуляр жойлашиб, унинг кўндаланг кесимининг бирорта ҳам бош инерция ўқлари текислигидан ўтмайди.

Бундай стерженнинг эгилиши ташқи кучнинг таъсир қилиш текислигига ётмайди. Қийшиқ эгилиш содир бўлади. Масалан, бино томидаги тунука остига қоқиладиган тахталар қийшиқ эгилишга ишлайди.

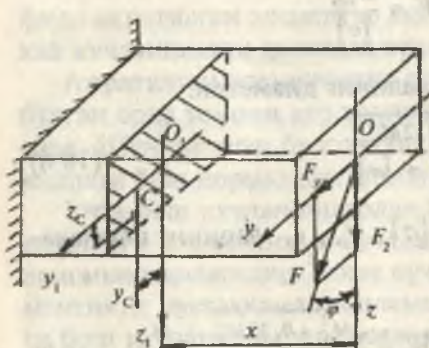
$F$  куч  $Z$  бош инерция ўқига нисбатан  $\phi$  бурчак остида жойлашган.  $F$  кучнинг  $Z$  ва  $Y$  ўқларидаги ажратувчиларини топамиз (276 - расм):



$$F_z = F \cos \varphi \quad \text{ва} \quad F_y = F \cdot \sin \varphi$$

Ихтиёрий  $X$  масофада жойлашган бош инерция ўқлари ( $Z_1$  ва  $Y_1$ ) га нисбатан  $F_z$  ва  $F_y$  кучларининг эгувчи моментлари қуйидагича ёзилади:

$$\begin{aligned} M_{y1} &= -F_z \cdot X = -F \cdot X \cos \varphi \\ M_{z1} &= -F_y \cdot X = -F \cdot X \sin \varphi \end{aligned} \quad (10.6)$$



276-расм.

Ихтиёрий  $C$  нуқтаси кучланишининг формуласини ёзамиш:

$$\sigma_c = -\frac{M_y \cdot Z_c}{I_y} - \frac{M_z \cdot Y_c}{I_z} = -M \left( \frac{\cos \varphi \cdot Z_c}{I_y} + \frac{\sin \varphi \cdot Y_c}{I_z} \right)$$

Бу ерда:  $I_y$  ва  $Z_c$  стержень кесимининг  $Y$  ва  $Z$  ўқларига нисбатан инерция моменти.

$Z_c$  ва  $Y_c$  стержень кесимидан ажратилган  $C$  нуқтанинг координаталари. С нуқта стерженнинг сиқиладиган толалари томонида жойлашганлиги учун  $\sigma_c$  нормал кучланишинг ишораси манфий. Агар,  $C$  нуқтани координата ўқларининг манфий томонига ёки стержень материалиининг чўзиладиган толаларига ўтказсак, нормал кучланишинг ишораси мусбат бўлади. Текис кўндаланг эгилишдагилек, қийшиқ эгилишда ҳам нормал кучланишинг қиймати асосан  $Z$  ва  $Y$  координаталарига боғлиқ. Қийшиқ эгилишда кесимнинг айланишида нейтрал ўқдан энг узоқда жойлашган толаси энг катта деформацияга учрайди. Шунинг

Агар  $M = F_x$  деб қабул қиласак,  $M_y = M \cos \varphi$  ва  $M_z = M \sin \varphi$  ҳосил бўлади. Демак, стерженнинг кўндаланг кесимида иккита эгувчи момент пайдо бўлар экан ва бу моментлар стерженни иккита бош инерция текисликларида эгади.

Стерженнинг кесим юзасидан танланган

учун қийшиқ әгилишда хавфли ҳолатдаги нүктаны аниқлаш учун аввало стерженниң кесимиде нейтрал үқнинг ҳолати ва ундан энг узоқда жойлашган нүкта топилади. Текис күндаланг әгилишдан маълумки, нормал кучланиш нейтрал қатламда нолга тенг, яъни:

$$O = -M \left( \frac{\cos\varphi \cdot Z_o}{I_y} + \frac{\sin\varphi \cdot Y_o}{I_z} \right) \text{ ёки}$$

$$\frac{\cos\varphi \cdot Z_o}{I_y} + \frac{\sin\varphi \cdot Y_o}{I_z} = 0 \quad (10.9)$$

Бу ерда:  $Z_o$  ва  $Y_o$  нормал кучланиши нолга тенг бўлган ҳолатга тўғри келувчи нүктанинг координаталари. (10.9) формулага асосан нейтрал ўқ координата бошидан ўтувчи тўғри чизикдир. Нейтрал ўқ  $Y$  ўқига  $\alpha$  бурчак остида жойлашган (277-расм).

(10.9)формуладан

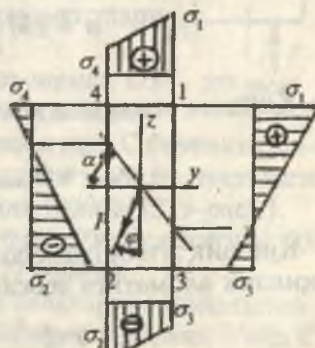
$$\left[ \frac{Z_o}{Y_o} \right] = \operatorname{tg} \alpha \quad (10.10)$$

хосил қиласиз. 277-расмдан кўринишича,  $\left[ \frac{Z_o}{Y_o} \right] = \operatorname{tg} \alpha$ , у ҳолда (10.10) формулани қўйидагича ёзамиш:

$$\operatorname{tg} \alpha = \operatorname{tg} \varphi \frac{I_y}{I_z} \quad (10.11)$$

ёки  $\operatorname{tg} \varphi = \operatorname{tg} \alpha \cdot \frac{I_z}{I_y}$  (10.11) формуладан қийшиқ әгилишда кесим нейтрал ўқининг ҳолати ташки кучнинг қийматига эмас, балки кучнинг  $Z$  ўқига оғишган бурчаги  $\varphi$  га ва кесимнинг шаклига боғлиқ экан.

Масалан, инерция моментлари иккала ўқга нисбатан бир-бирига тенг бўлган доира-вий, квадрат — кесимларда



277-расм.

нейтрал ўқ ташқи күчнинг таъсир чизигига перпендикуляр жойлашади, яъни  $\operatorname{tg}\alpha = \operatorname{tg}\varphi$  қолган барча кесимларда нейтрал ўқ куч чизигига перпендикуляр бўлмайди. Томонлари  $h$  ва  $b$  бўлган тўғри тўртбурчак кесим учун күчнинг таъсир чизиги кесимнинг диагонали бўйича жойлашса, нейтрал ўқ кесимнинг иккинчи диагоналидан ўтади.

$$\operatorname{tg}\varphi = \frac{bh^3 \cdot 12}{b^3 h \cdot 12} \cdot \frac{b}{h} = \frac{h}{b}$$

Шундай қилиб, қийшиқ эгилишда нормал кучланиш қўйидаги формула билан топилади:

$$\sigma = \pm M \left( \frac{\cos \varphi \cdot z}{I_y} + \frac{\sin \varphi \cdot y}{I_z} \right) \quad (10.13)$$

Кесимнинг нейтрал ўқда жойлашган I ва II нуқталарида кучланиш максимал қийматга, нейтрал ўқ устидаги барча нуқталарида нолга teng ва нейтрал ўққа яқин жойлашган нуқталарда (3 ва 4) минимал бўлади. Кесимнинг турли нуқталари учун топилган кучланишларнинг қийматлари ёрдамида қийшиқ эгилишдаги кучланиш эпюрасини қуриш мумкин. (10.13) формулада кўпинча  $\frac{I_y}{z_{\max}} = W_y$ ,  $\frac{I_z}{y_{\max}} = W_z$  ифода билан алмаштирилади ва қўйидаги формула ҳосил бўлади:

$$\sigma = \pm M \left( \frac{\cos \varphi}{W_y} + \frac{\sin \varphi}{W_z} \right) \quad (10.14)$$

Қийшиқ эгилишда мустаҳкамлик шарти:

$$\sigma_{\max} = M_{\max} \left( \frac{\cos \varphi}{W_y} + \frac{\sin \varphi}{W_z} \right) \leq [\sigma] \quad (10.15)$$

Қийшиқ эгилишда кўчишни аниқлаш. Кучларнинг мустақиллик аломатига асосан:

$$f_z = \frac{F_z t^3}{3EI_y} \quad \text{ва} \quad f_y = \frac{F_y t^3}{3EI_z} \quad (10.16)$$

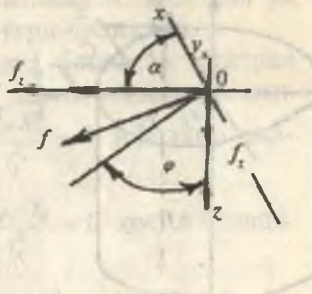
Унда түлиқ күчиш:

$$f = \sqrt{f_x^2 + f_y^2} = \frac{F\ell^3}{3E} \sqrt{\frac{\cos^2 \varphi}{I_y^2} + \frac{\sin^2 \varphi}{I_z^2}}$$

Юқоридаги формулалардан күринадикі, стерженнинг эгилиши унинг бикрлигига боғлиқ.

$$\frac{f_y}{f_z} = \operatorname{tg} \alpha = \operatorname{tg} \cdot \varphi \frac{I_y}{I_z} \text{ ва}$$

$$f = \frac{f_y}{\sin \alpha} = \frac{f_z}{\sin \alpha} \text{ ни ҳосил қила-}$$



миз. Агар  $\alpha = \varphi$  бўлса, стерженning эгилиши нейтрал ўққа перпендикуляр текислии  $f$  зодир бўлади.

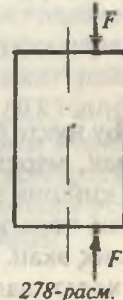
### 10.3. МАРКАЗЛАШМАГАН СИҚИЛИШ (ЧЎЗИЛИШ)

Марказлашмаган сиқилиш (278-расм) курилишда бино устунларини ҳисоблашда кўп учрайди.  $XOY$  ўқларига нисбатан  $X_F$  ва  $Y_F$  ма-софаларда жойлашган  $F$  куч таъсиридаги бруснинг марказлашмаган сиқилишини кўриб чиқайлик.  $F$  куч таъсирида бруснинг исталган кесимида  $N = -F$  сиқувчи бўйлама куч ва  $M_x = -FY$  ва  $M_y = -FX$  эгувчи моментлари ҳосил бўлади.

Брус  $M_y$  эгувчи моменти таъсирида  $OY$  нейтрал ўқи атрофида  $OX$  текислигида эгилади. Кесимдан ажратилган ихтиёрий нуқта С бруснинг сиқиладиган толаларида жойлашганлиги учун бу нуқтадаги нормал кучланиш манфий ишорали бўлади (279-расм).

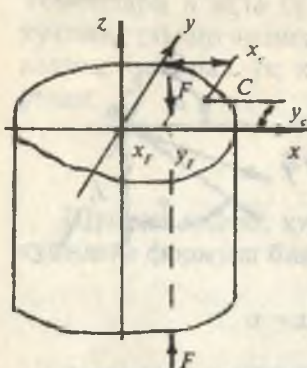
$M_x = FY$  моменти таъсиридан брус  $OY$  текислигида  $OX$  нейтрал ўқи атрофида эгилади (279-расм).

С нуқта бруснинг сиқиладиган толаларида жойлашган. Шунинг учун нормал кучланиш манфий ишорали. Унда С нуқтадаги кучланиш қуйидагича топилади:



278-расм.

$$\sigma_c = -\frac{F}{A} - \frac{FY_F \cdot Y_c}{I_x} - \frac{FX_F \cdot X_c}{I_y} = -F \left( \frac{1}{A} + \frac{Y_F Y_c}{I_x} + \frac{X_F X_c}{I_y} \right) \quad (10.17)$$



279-расм.

Агар  $\frac{I_x}{A} = i_x^2$  ва  $\frac{I_y}{A} = i_y^2$  брус кесимининг  $X$  ва  $Y$  ўқларига нисбатан инерция радиусларини ҳисобга олсак:

$$\sigma_c = -\frac{F}{A} \left( 1 + \frac{Y_F Y_c}{i_x^2} + \frac{X_F X_c}{i_y^2} \right) \quad (10.18)$$

(10.18) формуладан кўринишича, сиқилган брус исталган нуқтасининг кучланишини топиш мумкин. Бунинг учун нуқтанинг координаталари  $X$  ва  $Y$  ишораларини ҳисобга олиш керак. Масалан, координаталари  $X_B$  ва  $Y_B$  бўлган кесимдан ихтиёрий танланган В нуқтадаги кучланишнинг ишораси мусбатдир, чунки:

$$\sigma_B = -\frac{F}{A} \left( 1 - \frac{Y_F Y_B}{i_x^2} - \frac{X_F X_B}{i_y^2} \right) \quad (10.19)$$

Бу нуқта брусларининг чўзиладиган толаларида жойлашган. Демак, марказлашмаган сиқилишда ҳам оддий кўндаланг ёки қийшиқ эгилишдаги каби нормал кучланиш нуқтанинг қайси чорагида ёки қайси толаларида жойлашганлигига боғлиқ экан. Марказлашмаган сиқилишда брусларининг хавфли ҳолатидаги материални аниқлаш учун, аввало, брусларининг нейтрал ўқининг ҳолати ва ундан энг узоқда жойлашган нуқтасини топамиз. Кўндаланг эгилишдан маълумки, нейтрал ўқда нормал кучланиш нолга teng, яъни:

$$\sigma = -\frac{F}{A} \left( 1 + \frac{X_F X_o}{i_y^2} + \frac{Y_F \cdot Y_o}{i_x^2} \right) = 0$$

Бу ерда  $X_o$  ва  $Y_o$  — нейтрал ўқ устида жойлашган нуқтанинг координаталари.  $\frac{F}{A} \neq 0$  бўлмаганлиги учун:

$$1 + \frac{X_F X_o}{i_y^2} + \frac{Y_F \cdot Y_o}{i_x^2} = 0 \quad (10.19)$$

ҳосил бўлади

(10.19) тенглама нейтрал ўқ тенгламаси. Нейтрал ўқ координата бошидан ўтмайдиган тўғри чизиқдир.

Бу тенгламадан  $XOY$  координата бошидан нейтрал ўққача бўлган масофалар —  $X_o$  ва  $Y_o$  ларни топиш мумкин.

$Y_o = 0$  бўлса, (10.19) дан  $1 + \frac{X_F X_o}{i_y^2} = 0$  ифодани оламиз.

Шунингдек,  $X_o = 0$  бўлса,  $1 + \frac{Y_F \cdot Y_o}{i_x^2} = 0$  ҳосил бўлади. Бу тенгламаларни ечиб,

$$X_o = -\frac{i_y^2}{X_F} \text{ ва } Y_o = -\frac{i_x^2}{Y_F} \quad (10.20)$$

нейтрал ўқ координата ўқларининг кесишидан ҳосил бўлган кесмаларни топамиз.

Демак, нейтрал ўқ  $X$  ва  $Y$  ўқларини  $X_o$  ва  $Y_o$  масофалардан кесиб ўтар экан (280-расм). Нейтрал ўқ кесим юзасини икки қисмга, чузиладиган ва сиқиладиган толаларга ажратади. Агар кесимнинг контурига нейтрал ўқقا параллел қилиб уринмалар ўтказсак, бруслар кесимининг нейтрал ўқдан энг узоқда жойлашган нуқталарини ( $D$ ) аниқлаймиз. Кесимдаги энг катта чўзувчи ва сиқувчи нормал кучланишлар  $D$  ва  $K$  нуқталарда ҳосил бўлади (280-расм).  $D$  нуқта брусларни чўзилган толасида жойлашганлиги учун нормал кучланиш мусбат,  $K$  нуқтада эса манфиий:

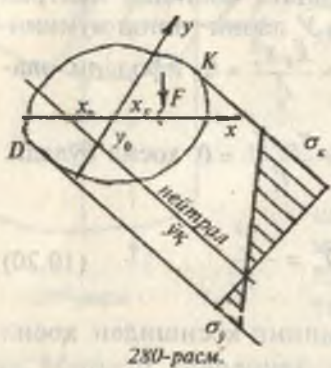
$$\sigma_{D,K} = \pm \frac{F}{A} \left( 1 \pm \frac{X_F \cdot X_{D,K}}{i_y^2} \pm \frac{Y_F \cdot Y_{D,K}}{i_x^2} \right) \quad (10.21)$$

Нормал кучланиш кесим юзасида тўғри чизиқли қонуният билан ўзгаради ва кесимнинг контурида энг катта қийматта эришади.

Кесим юзаси тўғри тўртбурчакдан иборат бўлган брусларни марказлашмаган сиқилишида, кесимнинг нейтрал ўқини турли ҳолларда ўзgartириб кўрамиз (282-расм).

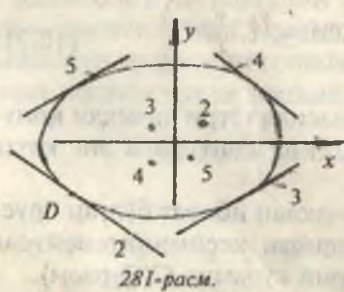
Күч  $OY$  ўқи бўйлаб ( $X_A = e$ ;  $Y_F = 0$ ) йўналган (10.18) формуладан куйидагини топамиз:

$$\sigma = -\frac{F}{A} \pm \frac{M_T}{W_y} = -\frac{F}{A} \pm \frac{Fe}{hb^2} = -\frac{F}{A} \left( 1 + \frac{6e}{b} \right) \quad (10.22)$$



га мувофиқ эмас.

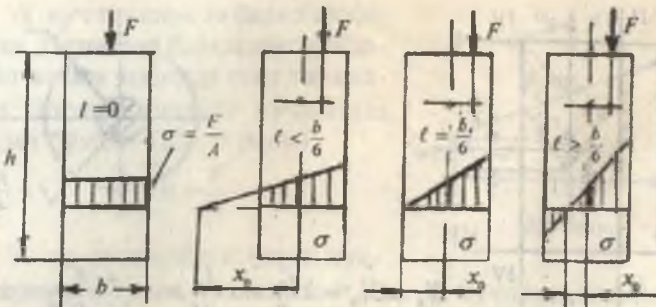
Масалан, мўрт материаллар сиқилишга нисбатан чўзилишда тез емирилади. Шунинг учун мўрт материалдан тайёрланган брус марказлашмаган сиқилишга учраса, кўндаланг кесим юзасида бир хил ишорали кучланиш (сикувчи) ҳосил бўлгани маъқул. Бунинг учун кесимнинг нейтрал ўқининг эгаллаган ўрнини ўзгартириш керак. Масалан, (10.20) формулага асосан  $X_0$  ва  $Y_0$  масофаларни шундай танлаш мумкинки, бу ҳолатда нейтрал ўқ кесимнинг контурига  $D$  нуқтада уринма бўлиб қолади. Унда



Бу формуладан кўриниб турибдики,  $e = 0$  бўлганда кесимнинг барча нуқталарида бир хил кучланиш пайдо бўлади.

**Кесим ядроси.** Техникада ва курилишда учрайдиган айрим материаллар (бетон, фишт, ёғоч, чўян, шиша) чўзилиш ва сиқилишга бир хил қаршилик кўрсата олмайди. Бундай материалларнинг кесим юзасида икки хил ишорали кучланиш ҳосил бўлиши ноқулай, яъни мақсад-

$F$  күч кесимнинг марказига яқинлашади ва 2 нуқтада жойлашади. Худди шундай 3,4,5 нуқталарни кесимнинг маркази атрофига айлантирасак, бу нуқталарга мос равишда 3,4,5 чизиклар, яъни нейтрал ўқларнинг ҳолатлари тўғри келади. Нейтрал



282-расм.

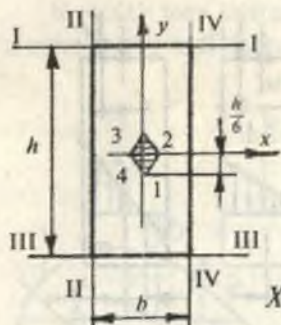
Үқлар кесимнинг сиртига уринма булиб жойлашади. Нейтрал үқларнинг бу ҳолатларига түгри келадиган чексиз куч нуқталарни кесимнинг маркази атрофида айлантирилишида қосил бўлган эгри чизиқли соҳа кесим ядроси дейилади.

Кесим ядроси ичига қўйилган ҳар қандай ташқи куч кесим юзасида бир хил ишорали кучланишни юзага келтиради.

Масалан, томонлари  $b$  ва  $h$  бўлган түгри тўртбурчакли кесим учун кесим ядроини топамиз. Бунинг учун кесимнинг томонларига уринмалар ўтказамиш, I—I уринмани  $XOY$  координата системасидаги координаталари:  $X_o = -\frac{i_y^2}{x_s}$  ва  $Y_o = -\frac{i_x^2}{y_s}$  формулаларидан фойдаланиб кесим ядроининг координаталарини топамиз:

$$X_F = X_s = -\frac{i_y^2}{\infty}; \quad Y_F = Y_s = -\frac{i_x^2}{\frac{h}{2}} = -\frac{2I_x}{hA} = -\frac{2bh^3}{12bh^2} = -\frac{h}{6}$$

Шундай қилиб, I—I уринмага түгри келувчи кесим ядроининг 1 нуқтаси  $OY$  ўқида  $OX$  ўқидан  $Y = -\frac{h}{6}$  масофада жойлашади. III—III уринмага түгри келадиган кесим ядроининг 3 нуқтаси ҳам  $OY$  ўқида  $OX$  ўқидан  $Y = \frac{h}{6}$  масофада жойлашади. II—II ва IV—IV уринмалар учун  $Y = 0$



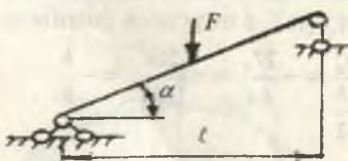
$$X_s = Y_s = \pm \frac{h^2}{R} = \pm \frac{I_x}{AR} = \pm \frac{\pi \cdot R^4}{4\pi \cdot R^2 R} = \pm \frac{R}{4}$$

283-расм.

ва  $X_s = Y_s = \pm \frac{h}{6}$  ҳосил бўлади. 1, 2, 3, 4 нуқталарни тўғри чизиқлар билан туташтирсак, ромб ҳосил бўлади (283-расм). Доиравий кесим учун кесим ядроши доиранинг маркази атрофида жойлашган ва радиуси  $r = \frac{R}{4}$  бўлган доира бўлади (283-расм).

#### 10.4. ЭГИЛИШ БИЛАН ЧЎЗИЛИШНИ ЁКИ СИҚИЛИШНИНГ БИРГАЛИКДАГИ ТАЪСИРИ

Ташқи  $F$  куч билан юқланган балка шарнирли таянчга таянган ва горизонтга нисбатан  $\alpha$  бурчакда жойлашган (284-расм)  $F$  кучни балка кесимининг бўйлама ўқига ва нормалига проекциялаш мумкин (285-расм):

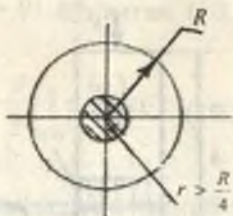


284-расм.

$$F_y = F \cos \alpha \text{ ва } F_x = F \sin \alpha$$

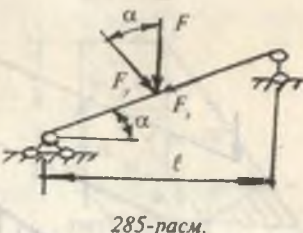
$F$  куч таъсирида балка оддий кўндаланг эгилишда бўлади.

Натижада балканинг кўндаланг кесимида эгилишдаги, яъни эгувчи момент таъсиридаги нормал кучланиш ҳосил бўлади (286-а расм).



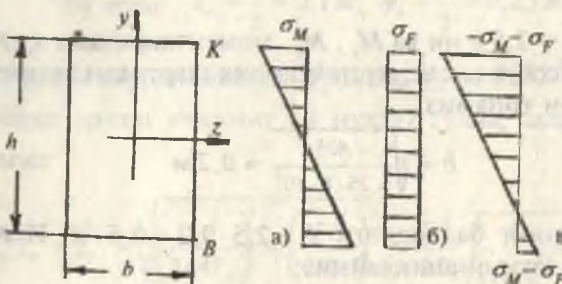
$F_x$  күч таъсирида балка сиқилади. Натижада балканинг кундаланг кесим юзасида тенг тарқалган сиқувчи нормал кучланиш ҳосил бўлади (286-б расм):

$$\sigma_F = -\frac{F}{A}$$



Балка кесимининг четки нуқталаридағи тұлық кучланиш  $\sigma_M$  ва  $\sigma_F$  кучланишларининг ийғандисига тенг бўлади (286-в, расм):

$$\sigma = \pm \frac{M}{W_z} \pm \frac{F}{A} \quad \text{ёки} \quad \sigma_k = -\frac{M}{W_z} - \frac{F}{A} \quad \text{ва} \quad \sigma_B = \frac{M}{W_z} - \frac{F}{A}$$



286-расм.

1-масала. Берилган  $F = 15 \text{ kH}$ ;  $\ell = 2 \text{ м}$ ;  $h : b = 2,5$

Балка кесимининг ўлчамлари аниқлансанын ва хавфли нуқталардаги кучланишлар топилсин (287-расм).

Балканинг таянч кесимидағи  $M_x$  ва  $M_y$  эгувчи моментларни аниқлаймиз ва эпюрасини қурамиз:

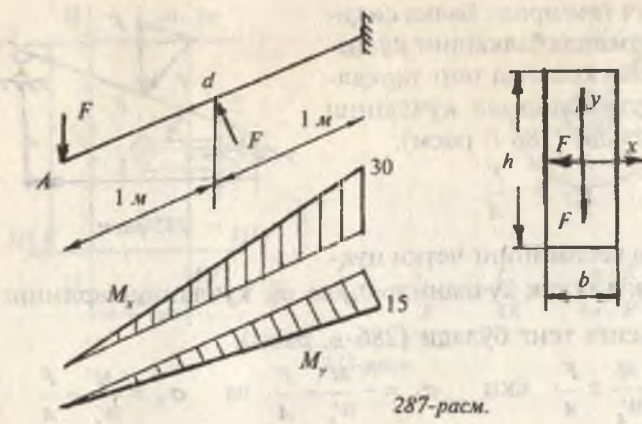
$$M_x = 2F = 30 \text{ кНм}$$

$$M_y = F = 15 \text{ кНм}$$

Балканинг мустаҳкамлик шартини ёзамиш:

$$\sigma_{\max} = \frac{M_x}{W_x} + \frac{M_y}{W_y} \leq [\sigma]$$

$$\text{ва} \quad \frac{6M_x}{bh^2} + \frac{6M_y}{b^2h} \leq [\sigma]$$



287-расм.

Агар  $h = 2,5 b$  ни ва  $M_x$ ,  $M_y$  моментларининг қийматларини ҳисобга олсақ, мустаҳкамлик шартидан кесимнинг эни —  $b$  ни топамиз:

$$b = \sqrt[3]{\frac{405}{6,25 \cdot 8 \cdot 10^3}} \approx 0,2 \text{ м}$$

Кесимнинг баландлиги  $h = 2,5 \cdot 0,2 = 0,5$  м. Нейтрал ўқнинг ҳолатини аниқлаймиз:

$$|\operatorname{tg} \varphi| = \left| \frac{M_y}{M_x} \cdot \frac{I_x}{I_y} \right| = \operatorname{tg} \beta \frac{I_x}{I_y}$$

Бу ерда  $I_x = \frac{bh^3}{12}$  ва  $I_y = \frac{b^3h}{12}$  кесимнинг  $X$  ва  $Y$  ўқларига нисбатан инерция моментлари;  $\operatorname{tg} \beta = \frac{M_y}{M_x} = \frac{15}{30} = 0,5$  — нейтрал ўқнинг бурчак коэффициенти.

$$I_x = \frac{0,2 \cdot (0,5)^3}{12} = 2,1 \cdot 10^{-3} \text{ м}^4; \quad I_y = \frac{0,5 \cdot (0,2)^3}{12} = 3,4 \cdot 10^{-4} \text{ м}^4$$

$$\operatorname{tg} \varphi = \frac{2,1 \cdot 10^{-3}}{3,4 \cdot 10^{-4}} \cdot 0,5 = 4,242 \quad \text{ёки} \quad \varphi = 76^\circ$$

Агар куч таъсир чизиги I—III чораклардан ўтса, нейтрал ўқ II—IV чораклардан ўтиши керак; агар кучнинг

тасир чизиги II—IV чораклардан ўтса, нейтрал чизик I—III чораклардан ўтиши керак. Кесимнинг  $C$  ва  $K$  нуқталари нейтрал ўқдан энг узокда жойлашганлиги учун нормал кучланиш катта қийматга эришади. Иккита нуқтадан  $C$  нуқта энг хавфли ҳолатда, чунки бу нуқтада чўзувчи кучланиш ҳосил бўлади.

$$\sigma_c = \frac{M_x}{I_x} \cdot y_c + \frac{M_y}{I_y} \cdot x_c$$

$$\text{Бу ерда: } x_c = \frac{b}{2} = 0,1 \text{ м}, \quad y_c = \frac{h}{2} = 0,25 \text{ м}$$

С нуқта координатлари. У ҳолда:  $\sigma_c = -7982 \frac{\text{kH}}{\text{м}^2}$

Балка эркин учининг ( $A$  нуқта) тўлиқ салқилигини топамиз:

$$f = \sqrt{f_x^2 + f_y^2} = \sqrt{\left(\frac{F\ell^3}{3EI_y}\right)^2 + \left(\frac{F\ell^3}{3EI_x}\right)^2} = \frac{F\ell^3}{3E} \sqrt{\frac{1}{(8I_y)^2} + \frac{1}{(I_x)^2}} =$$

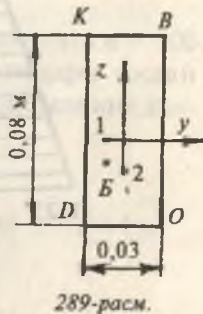
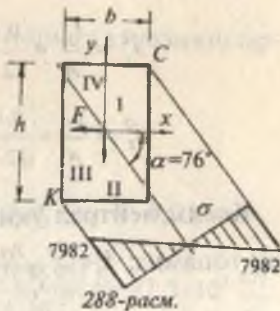
$$= \frac{15 \cdot 8}{3 \cdot 2 \cdot 10^8} \sqrt{\frac{1}{(8 \cdot 0,00034)^2} + \frac{1}{(0,0021)^2}} = 33,34 \cdot 10^{-5} \text{ м}$$

**2-масала.** Узунлиги  $\ell = 1,5 \text{ м}$  бўлган пўлат стержень  $F = 60 \text{ кН}$  куч тасирида чўзилади. Тўғри бурчакли кесимнинг  $K$ ,  $C$ ,  $B$ ,  $D$  нуқталарининг кучланишлари топилсин.

**Ечиш.** Кесимнинг  $B$  нуқтасининг координатлари  $y_B = -1 \text{ см}$  ва  $Z_B = -2 \text{ см}$ . Стержень кўндаланг кесим юзасининг геометрик тавсифларини топамиз:

$$\text{Кесим юзаси } A = 3 \cdot 8 = 24 \text{ см}^2 = 2,4 \cdot 10^{-3} \text{ м}^2$$

Инерция радиуслари:



$$i_y^2 = \frac{I_y}{A} = \frac{0,03(0,08)^3}{12 \cdot 2,4 \cdot 10^{-3}} = 0,0534 \cdot 10^{-2} \text{ м}^2$$

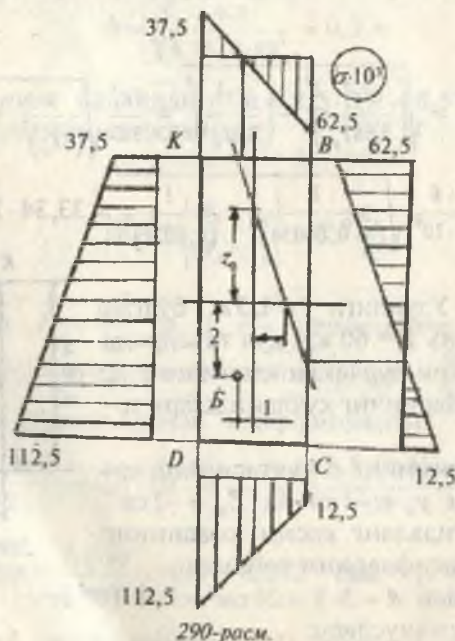
$$i_z^2 = \frac{I_z}{A} = \frac{0,08(0,03)^3}{12 \cdot 2,4 \cdot 10^{-3}} = 0,075 \cdot 10^{-3} \text{ м}^2$$

Кесим нейтрал үқининг ҳолатини қўйидаги тенгламадан топамиз:  $1 + \frac{y_F \cdot y_O}{i_z^2} + \frac{z_F \cdot z_O}{i_y^2} = 0$

$$\text{Агар } Z_o = 0 \text{ бўлса, } y_0 = -\frac{i_z^2}{y_F} = \frac{0,075 \cdot 10^{-3}}{0,01} = 7,5 \cdot 10^{-3} \text{ м}$$

$$\text{Агар } y_o = 0 \text{ бўлса, } Z_0 = -\frac{i_y^2}{z_F} = \frac{0,0534 \cdot 10^{-2}}{0,02} = 2,67 \cdot 10^{-2} \text{ м}$$

Демак, нейтрали ўқ кесимнинг  $ZOY$  координата ўқларининг мусбат чорагидан  $y_o$  ва  $Z_o$  масофаларда кесиб ўтар экан.



Кесимнинг КВСД нуқталаридаги нормал кучланишларни қуидаги формуладан топамиз:

$$\sigma = \frac{F}{A} \left( 1 + \frac{y_F y}{l_z^2} + \frac{z_F z}{l_y^2} \right)$$

*K* нуқтанинг кучланиши:  $z_k = 0,04 \text{ м}$ ;  $y_k = -0,015 \text{ м}$

$$\sigma_k = \frac{60}{2,4 \cdot 10^{-3}} \left[ 1 + \frac{(-0,01)(-0,015)}{0,075 \cdot 10^{-3}} + \frac{(-0,02)(-0,04)}{0,0534 \cdot 10^{-2}} \right] = 37,5 \cdot 10^3 \frac{\text{kH}}{\text{м}^2}$$

*B* нуқтанинг кучланиши:  $z_c = 0,04 \text{ м}$ ;  $y_c = -0,015 \text{ м}$

$$\sigma_B = \frac{60}{2,4 \cdot 10^{-3}} \left[ 1 + \frac{(-0,01)0,015}{0,075 \cdot 10^{-3}} + \frac{(-0,02)0,04}{0,0534 \cdot 10^{-2}} \right] = -62,5 \cdot 10^3 \frac{\text{kH}}{\text{м}^2}$$

*C* нуқтанинг кучланиши:  $z_c = 0,04 \text{ м}$ ;  $y_c = -0,015 \text{ м}$

$$\sigma_c = \frac{60}{2,4 \cdot 10^{-3}} \left[ 1 + \frac{(-0,01)0,015}{0,075 \cdot 10^{-3}} + \frac{(-0,02)(-0,04)}{0,0534 \cdot 10^{-2}} \right] = 12,5 \cdot 10^3 \frac{\text{kH}}{\text{м}^2}$$

*D* нуқтанинг кучланиши:  $z_d = 0,04 \text{ м}$ ;  $y_d = -0,015 \text{ м}$

$$\sigma_d = \frac{60}{2,4 \cdot 10^{-3}} \left[ 1 + \frac{0,01 \cdot 0,015}{0,075 \cdot 10^{-3}} + \frac{0,02 \cdot 0,04}{0,0534 \cdot 10^{-2}} \right] = 112,5 \cdot 10^3 \frac{\text{kH}}{\text{м}^2}$$

Кесимнинг КВ; ВС; СД ва ДК томонларининг кучланиши эпюраси 290-расмда кўрсатилган.

**З-масала.** Пўлатдан тайёрланган вал минутига  $n = 900$  маротаба айланади ва етакланувчи шкивлари билан  $N_2 = 10 \text{ kNm}$  ва  $N_3 = 20 \text{ kNm}$  қувват узатади. Валнинг диаметри топилсин (291-расм).

Берилган:

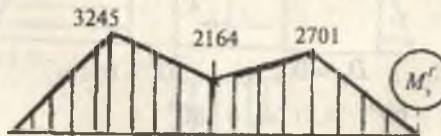
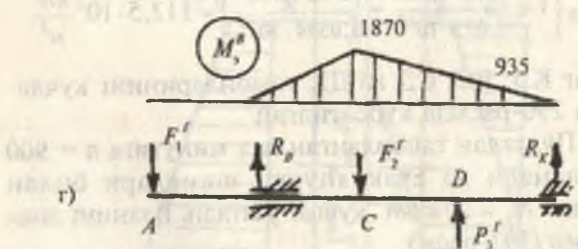
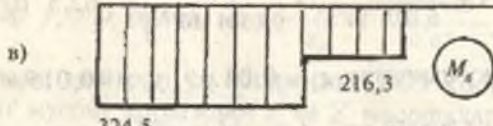
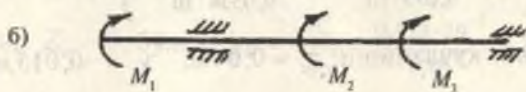
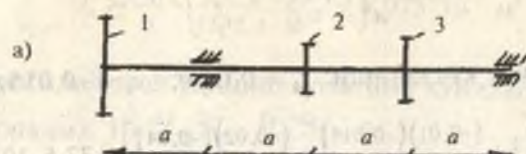
$$D_1 = 0,6 \text{ м}; \quad D_2 = 0,2 \text{ м}; \quad D_3 = 0,4 \text{ м}; \quad a = 1 \text{ м}$$

$$\alpha_1 = 0^\circ; \alpha_2 = 60^\circ; \quad \alpha_3 = 180^\circ$$

**Ечиш.** Етакловчи шкивнинг узатётган қуввати етакланувчи шкивлар қувватларининг йигиндисига тенг бўлади:

$$N_1 = N_2 + N_3 = 10 + 20 = 30 \text{ kNm}$$

— остаточная эпюра изгибающего момента в стойке фермы



291-расм.

Шкивлардаги буровчи моментларни топамиз (291-б расм):

$$M_1 = 973,6 \frac{N_1}{n} = 973,6 \frac{30}{900} = 324,5 \text{ Нм}$$

$$M_2 = 973,6 \frac{N_2}{n} = 973,6 \frac{10}{900} = 108,2 \text{ Нм}$$

$$M_3 = 973,6 \frac{N_3}{n} = 973,6 \frac{20}{900} = 216,3 \text{ Нм}$$

Буровчи моментларнинг йўналишлари етакловчи ременларнинг тортишиш кучлари йўналишлари билан мос. Шкивлардаги моментлар етакланувчи ременнинг тортишиш кучлари билан қуидагича боғланишда:

$$M_1 = M_2 = t \cdot \frac{D}{2}$$

$$t_1 = \frac{2M_1}{D_1} = \frac{2 \cdot 324,5}{0,6} = 1081,6$$

$$t_2 = \frac{2M_2}{D_2} = \frac{2 \cdot 108,2}{0,2} = 1081 \text{ Н}$$

$$t_3 = \frac{2M_3}{D_3} = \frac{2 \cdot 216,3}{0,4} = 1081 \text{ Н}$$

Бу ерда етакловчи ва етакланувчи ременларнинг тортишиш кучларининг валга нисбатан босим кучини аниқлаймиз:

$$P_1 = 3t_1 = 3 \cdot 1081,67 = 3245 \text{ Н}; \quad P_2 = 3t_2 = 3 \cdot 1081 = 3243 \text{ Н}$$

$$P_3 = 3t_3 = 3 \cdot 1081 = 3245 \text{ Н}$$

Ременлар шкивга турли бурчаклар остида жойлаштирилгани учун тортишиш кучларининг валга нисбатан босими ҳам шу бурчак остига йўналади.  $F_1$ ,  $F_2$  ва  $F_3$  кучларнинг вертикал (291-в расм)  $P_1^{\#} = 0$ ;  $F_2^{\#} = F_2 \cdot \sin 60^{\circ} = 3243 \cdot 0,866 = 2805,8 \text{ Н}$ ;  $F_3^{\#} = 0$  ва горизонтал текисликларидаги ажратувчиларни топамиз (291-г расм):

$$F_1^r = F_1 = 3245 \text{ H}; \quad F_3^r = -F_3 = -3245 \text{ H}$$

$$F_2^r = F_2 \cdot \cos 60^\circ = 3245 \cdot 0,5 = 1621,5 \text{ H}$$

Вертикал текислик:  $\sum M_B = 0; \quad F_2^B \cdot 1 - R_k \cdot 3 = 0$

$$\text{дан } R_k = \frac{F_2^B \cdot 1}{3} = \frac{2805,81}{3} = 936,3 \text{ H}$$

$$\sum M_k = -F_2^B \cdot 2 + R_B \cdot 3 = 0 \quad \text{дан } R_B = \frac{2 \cdot 2805,8}{3} = 1870,5 \text{ H}$$

Текшириш:  $\sum y = -1870,5 + 2805,8 - 936,3 = 0$

Эгувчи момент  $M_s^B$  ни аниқлаймиз:  $0 \leq x_1 \leq 1 \text{ m}$ ;

$$M_s^B = -R_B \cdot x_1$$

$x_1 = 0$  бүлса,  $M_s^B = 0$  ва  $x_1 = 1$  бүлса,  $M_s^B = -1870,8 \text{ Nm}$

$$0 \leq x_2 \leq 2 \text{ m}; \quad M_s^B = -F_k \cdot x_2$$

$x_2 = 0$  бүлса,  $M_s^B = 0$  ва  $x_2 = 2 \text{ m}$  бүлса,  $M_s^B = -1870,5 \text{ Nm}$

Горизонтал текислик:

$$\sum M_B = F_1^r \cdot 1 - F_2^r \cdot 1 + F_3^r \cdot 2 - R_k \cdot 3 = 0$$

$$R_k = \frac{F_1^r \cdot 1 - F_2^r \cdot 1 + F_3^r \cdot 2}{3} = \frac{3245 - 1621,5 + 3243 \cdot 2}{3} = 2701 \text{ H}$$

$$\sum M_K = F_1^r \cdot 4 - R_B^r \cdot 3 + F_2^r \cdot 2 - F_3 \cdot 1 = 0$$

$$R_B = \frac{F_1^r \cdot 4 + F_2^r \cdot 2 - F_3^r \cdot 1}{3} = \frac{3245 \cdot 4 + 1621,5 - 3243 \cdot 1}{3} = 4326,7 \text{ H}$$

Эгувчи момент  $M_s^r$  ни аниқлаймиз:  $0 \leq x_1 \leq 1 \text{ m}$ ;  
 $M_s^r = -F_1 x_1$

$x_1 = 0$  бүлса,  $M_s^r = 0$  ва  $x_1 = 1$  бүлса,  $M_s^r = -3245 \text{ Nm}$

$$0 \leq x_2 \leq 1 \text{ m}; \quad M_s^r = -F_1^r (1 + x_2) + R_B x_2$$

$x_2 = 0$  бүлса,  $M_s^r = -3245 \text{ Nm}$  ва

$x_2 = 1 \text{ м}$  бўлса,  $M_s^r = -2164 \text{ Нм}$

$0 \leq x_3 \leq 1 \text{ м}; M_s^r = -F_1^r(1 + x_3) + R_B(1 + x_3) - F_2^r x_3$

$x_3 = 0$  бўлса,  $M_s^r = -2164 \text{ Нм}$  ва

$x_3 = 1 \text{ м}$  бўлса,  $M_s^r = -2701 \text{ Нм}$

$0 \leq x_4 \leq 1 \text{ м}; M_s^r = -R_k \cdot x_4$

$x_4 = 0$  бўлса,  $M_s^r = 0$  ва

$x_4 = 1 \text{ м}$  бўлса,  $M_s^r = -2701 \text{ Нм}$

Тўлиқ эгувчи моментни  $M_s^B$  ва  $M_s^r$  моментларнинг йиғиндиси сифатида топамиз:  $M_x^2 = (M_s^B)^2 + (M_s^r)^2$

$$M_{xA} = 0; M_{xB} = \sqrt{0 + (M_s^r)} = 3245 \text{ Нм}$$

$$M_{xc} = \sqrt{(2164)^2 + (1870,8)^2} = 2862 \text{ Нм}$$

$$M_{xw} = \sqrt{(2701)^2 + (935,3)^2} = 2862 \text{ Нм}; M_{xx} = 0$$

Эгувчи ва буровчи момент эпюраларига асосан В таянч кесими хавфли ҳолатда бўлади (291-в, г расм).

III— мустаҳкамлик назариясига асосан келтирилган моментни топамиз:

$$M_{kes} = \sqrt{M_x^2 + M_a^2} = \sqrt{(3245)^2 + (324,5)^2} = 3261,2 \text{ Нм}$$

$$\sigma_{max} = \frac{M_{kes}}{W} \leq [\sigma] \text{ ёки } \frac{32M_{kes}}{\pi \cdot d^3} = [\sigma]$$

Бу ерда:

$$d = \sqrt[3]{\frac{32M_{kes}}{\pi[\sigma]}} = \sqrt[3]{\frac{32 \cdot 3261,2}{3,14 \cdot 8 \cdot 10^7}} = 0,0746 = 74,6 \text{ мм}$$

$d = 80 \text{ мм}$  деб қабул қиласиз.

1. Мураккаб қаршиликлар нима?
2. Мураккаб қаршиликлар турларини айтинг.
3. Валини буралиш билан эгилишида кесим юзасида қандай күчланишлар ҳосил бўлади?
4. Буралиш билан эгилишда мустаҳкамлик шартини ёзинг.
5. Валнинг диаметрини аниқланг.
6. Қийшиқ эгилиш схемасини чизинг.
7. Қийшиқ эгилишда нейтрал ўқ тенгламасини ёзинг?
8. Қийшиқ эгилишда мустаҳкамлик шарти формуласини ёзинг.
9. Қийшиқ эгилишда мустаҳкамлик шарти формуласидан фойдаланиб кесимни танланг.
10. Марказий бўлмаган чўзилиш ва сиқилишда нормал кучланиш формуласини ёзинг.
11. Марказий бўлмаган чўзилиш ва сиқилишда кесимнинг нейтрал ўқ тенгламасини ёзинг.
12. Марказий бўлмаган чўзилиш ва сиқилишда мустаҳкамлик шарт формуласини ёзинг.
13. Кесим ядроси нима?
14. Марказий бўлмаган чўзилиш ва сиқилишда деформация қандай аниқланади?
15. Марказий бўлмаган чўзилиш ва сиқилишда нормал кучланиш стержень кесим юзасида қандай қонуният билан ўзгариди?

## ХІ Б О Б

### СИҚИЛГАН СТЕРЖЕНЛАРНИ УСТУВОРЛИККА ҲИСОБЛАШ

**Устуворлик ҳақида түшүнчә.** Құпгина инженерлик иншоотларини ҳисоблашда уларнинг мустаҳкамлик шарти билан бир қаторда устуворлиги ҳам таъминланиши керак.

Ботиқ ёки қабариқ сирт устида ётган шарнинг мувозанат ҳолати устувор ёки ноустувор мувозанатта мисол бұлади.

Ботиқ сиртда жойлашган шар исталған ҳолатта оғдирилгандың ұзининг

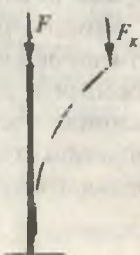
дастлабки өзиятига қайтади. Шунинг учун шар ботиқ сиртда устувор мувозанатда.

Қабариқ сиртда жойлашган шар кичик миқдорға оғдирилгандың пастға думалаб кетади. Шунинг учун бу шар ноустувор ҳолатда.

Секин-аста ўсуучи күч таъсирида стержень сиқилса, күчнинг бирор критик қийматыда стержень үзининг тұғри чизиқли ҳолатини йүқтөді (293-расм). Стерженнинг устувор мувозанат ҳолати бузилади. Агар, күчни шу қийматыда ушлаб турилса, стерженде мувозанат ҳолат юзага келеди ва стерженнинг янги устувор мувозанати содир бұлади.

Агар сиқувчи күч катталаштирилса, стерженнинг ноустуворлиги ошади ва яна күчнинг қиймати ошса, стержень емирилиши мүмкін.

Демак, стержень тұғри чизиқли ҳолатидан четга чиқиши ноустувордир. Ноустувор стержень бүйлама эгилиш ҳолатыда бұлади. Бүйлама эгилиш жуда хавфлідер, чунки сиқувчи күч озгина орттирилганды стерженнинг эгилиши тез ортади. Натижада эгилишда бұладиган күчланиш ҳам тез ортади, стержень емирилиши мүмкін.



293-расм.

Сиқувчи күчнинг критик қийматида стерженниң күндаланг кесимида критик күчланиш ҳосил бўлади:

$$\sigma_s = \frac{F}{A} \quad (11.1)$$

Устуверликка нотўри ҳисоблаш оқибатида жуда кўп конструкцияларнинг емирилиши содир бўлган.

Масалан, 1907 йил АҚШда Шимолий Лаврентия дарёсига қурилган, бош пролёти 549 м бўлган консол системали катта қўприк ағдарилиб тушган. 9000 тоннали конструкция бутунлай ишдан чиқсан; конструкциянинг катта қисми сувга 40 м чуқурликка чўкиб 74 киши ҳалок бўлган. Шундай воқеа Квебек дарёсидаги қўприкда ҳам икки ма-ротаба содир бўлган.

1981 йил май ойида Швейцариянинг Менхенштейн қишлоғидаги қўприкда бўлган ҳалокатли ҳодиса сиқилган стерженларнинг устуверликка пухта ҳисоблаш нақадар зарур ва муҳимлигини кўрсатувчи сабоқdir. Ҳалокат рўй берган пайтда қўприкдан узуилиги 42 м бўлган ва 12 вагондан иборат бўлган пассажир поезди ўтган. Паровоз қўприкдан ўтиб бўлган, лекин дарёга қулаган бта вагон уни ҳам тортиб кетган. Фалокатда қўп киши ўлган ва 200 киши ярадор бўлган. Фалокат ферманинг сиқилган тирговучларидан бири устуверлигини йўқотиши натижасида содир бўлган.

### 11.1. КРИТИК КУЧНИ АНИҚЛАШ ЭЙЛЕР ФОРМУЛАСИ

Икки учи шарнирли таянчга таянган ўзгармас кесими сиқилаётган стержендаги критик күчни топиш учун стержень эгилган ўқининг дифференциал тенгламасидан фойдаланамиз (294-расм). Сиқилаётган стерженниң деформацияси эластик бўлиб, критик күч таъсирида стерженниң күндаланг кесимида ҳосил бўлган күчланиш стержен материалининг пропорционаллик чегарасидаги күчланишдан катта бўлмайди:

$$\frac{d^2y}{dx^2} = -\frac{M}{EI} = -\frac{Fy}{EI} \quad \text{ёки} \quad \frac{d^2y}{dx^2} + K^2 \cdot y = 0 \quad (11.2)$$

$$\text{Бу ерда: } K^2 = \frac{F}{EI} \quad (11.3)$$

(11.2) дифференциал тенгламанинг интегралы қуйидаги-ча ёзилади:

$$y = a \cdot \sin kx + b \cdot \cos kx \quad (11.4)$$

Бу ерда:  $a$ ,  $b$  — интеграллаш доимийликлари, стержень учлари таяниш шартларидан топилади.

Масалан: 1) Биринчи шарт:  $X = 0$  булғанда,  $Y = Y_C = 0$  ва  $b = 0$  бўлади. Унда стержень эгилган ўқининг тенгламаси қуйидагича ёзилади:

$$y = a \cdot \sin kx$$

Бу тенгламадан аниқки, стерженнинг эгилган ўқи синусоида экан, яъни стержень синусоида бўйича эгилади.

2) Иккинчи шарт:  $x = \ell$  да  $y = y_B = 0$  бўлади. Бу ерда  $a \neq 0$ , демак,  $\sin k\ell = 0$ . Бу ҳол учун  $K\ell = \pi, 2\pi, \dots, n\pi$  эканлигини топамиз. Бу ерда,  $K = \frac{n\pi}{\ell}$  ёки  $K^2 = \frac{n^2\pi^2}{\ell^2}$  ни хисобга олсак, (11.3) формуладан критик кучни топамиз.

$$F_k = \frac{n^2\pi^2 EI}{\ell^2} \quad (11.5)$$

$n$  — ихтиёрий бутун сон.

(11.5) формула Эйлер формуласи. Шундай қилиб, енгил эгилган стерженни мувозанатда ушлайдиган куч бир нечта қийматга эга бўлиши мумкин экан. Стерженнинг бўйлама эгилишидаги сиқувчи кучни минимал (энг кичик) қиймати  $n = 1$  га тўғри келади.

У ҳолда:

$$F_k = \frac{\pi^2 EI}{\ell^2} \quad (11.6)$$

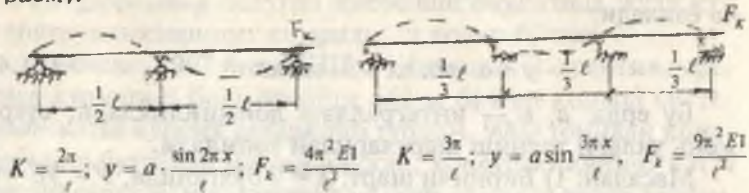
$F_k$  кучнинг бу қийматига стерженнинг ярим тўлқинли синусоида шаклидаги эгилиши тўғри келади:



294-раси.

$$y = a \cdot \sin \frac{\pi x}{\ell} \quad (11.7)$$

Агар  $n = 2$  ва  $n = 3$  бўлса, стерженнинг эгилиши иккита ва учта ярим тўлқинли синусоидал чизиқ бўлади (295-расм).



295-расм.

Стерженнинг бундай эгилишлари ноустувордир.

Эйлер формуласидан куринишича,  $F_k$  куч стерженнинг бикрлигига тўғри ва стержень узунлиги квадратига тескари пропорционалdir.

Эластиклик чегарасида ишлайдиган стержень учун критик куч стерженнинг геометрик ўлчамлари ва материалнинг эластиклик модулига боғлиқ: стержень тайёрланган материалнинг мустаҳкамлик тавсифномаларига боғлик эмас.

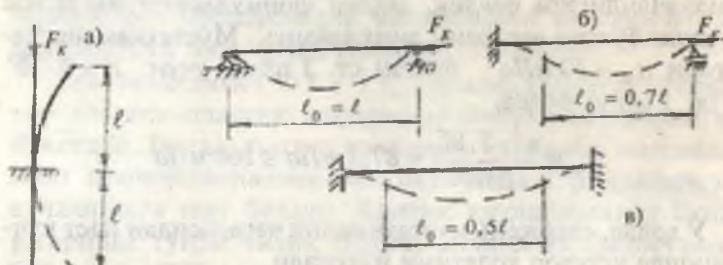
Масалан, юмшоқ ва юқори навли пўлатларда  $E$  қиймати тахминан бир хил бўлганлиги учун уларда критик куч ҳам бир хилдир, яъни улар бир хил критик кучда устуворлигини йўқотади.

Иккита шарнир таянчли стерженнинг эгилишдаги энг катта салқилиги  $x = \frac{\ell}{2}$  масофасидаги нуқтасида ҳосил булади:

$$y_{\max} = a \sin kx = a \sin \frac{\pi}{\ell} \cdot \frac{\ell}{2} = a$$

Стержень учларини маҳкамланиш шартини критик кучнинг қийматига таъсирини аниқлаш учун ҳар хил таянчларга таянган стерженларнинг бўйлама эгилишдаги деформацияларини иккита шарнирли таянчга таянган стерженнинг деформацияси билан таққослаймиз. Масалан, бир учи қистириб маҳкамлаб қўйилган стержень деформацияси

икки таянчли стержень деформациясининг ярмисига тенг (296-расм, а).



296-расм.

Демак, бир учи қистириб маҳкамланган стержень учун Эйлер формуласи:

$$F_k = \frac{\pi^2 EI}{l_0^2} \text{ ёки } F_k = \frac{\pi^2 EI}{(2\ell)^2} = \frac{\pi^2 EI}{4\ell^2} \quad (11.7)$$

Стержень учларининг маҳкамланиш шартларига кўра (296-расм) критик кучнинг формуласини ёзамиз:

$$F_k = \frac{\pi^2 EI}{(\mu\ell)^2} \quad (11.8)$$

Бу ерда:  $\mu$  — келтирилган узунлик коэффициенти;  
 $\ell_0 = \mu \cdot \ell$  — келтирилган узунлик.

## 11.2. ЭЙЛЕР ФОРМУЛАСИНИ ИШЛАТИШ ЧЕГАРАСИНИ АНИҚЛАНІ

Критик кучланиш:

$$\sigma_k = \frac{F_k}{A} = \frac{\pi^2 EI}{A\ell^2} = \frac{\pi^2 E}{\left(\frac{\mu\ell}{i}\right)^2} = \frac{\pi^2 E}{\lambda^2} \quad (11.9)$$

Бу ерда:  $i^2 = \frac{I}{A}$  — стержень кесим юзасининг инерция радиуси;

$$\lambda = \mu \frac{\ell}{r} \text{ — стерженнинг эгилувчанлиги.}$$

(11.9) формуладан маълум бўладики,  $\sigma_k$  стерженнинг эгилувчанлигига боғлиқ. Эйлер формуласини ишлатиш мумкин бўлган чегарани аниқлаймиз. Мустаҳкамлик чегараси  $\sigma_B = 40 \text{ мПа}$  бўлган ст. З пўлат учун:  $E = 2 \cdot 10^5 \text{ мПа}$ ;  $\lambda = 150$  бўлса:

$$\sigma_k = \frac{\pi^2 \cdot 2 \cdot 10^5}{(150)^2} = 87,7 \text{ мПа} \leq 160 \text{ мПа}$$

У ҳолда, стержень мустаҳкамлик чегарасидан паст кучланишда устувор ҳолатини йўқотади.

$$\lambda = 50 \text{ бўлса: } \sigma_k = \frac{\pi^2 \cdot 2 \cdot 10^5}{(50)^2} = 300 \text{ мПа} > [\sigma] = 160 \text{ мПа}$$

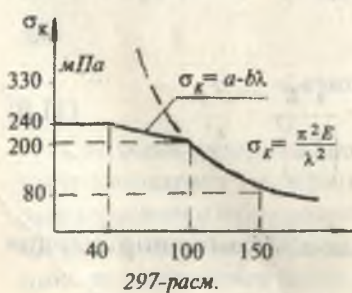
Сиқилаётган стержендаги кучланиш критик кучланишдан кичик кучланишда емирилиш содир бўлади.

Критик кучни аниқлаш учун Эйлер формуласи стержень материалининг Гук қонунига бўйсунадиган чегарада келтириб чиқарилган эди. Шунинг учун Эйлер формуласи ёрдамида топилган критик кучланишни материалнинг пропорционаллик чегарасидаги кучланишдан катта бўлган ҳолларда фойдаланиб бўлмайди.

Агар  $\sigma_k = \sigma_n = 200 \text{ мПа}$  деб олинса, (11.9) формуласан эгилувчанликнинг чегаравий қийматини топамиз:

$$\lambda_0 = \sqrt{\frac{\pi^2 E}{\sigma_n}} \quad (11.10)$$

$$\text{ёки } \lambda_0 = \sqrt{\frac{\pi^2 \cdot 2 \cdot 10^5}{200}} \approx 100$$



Шундай қилиб, эгилувчанлиги  $\lambda \geq 100$  стерженлар учун Эйлер формуласи ишлатилиши мумкин (297-расм). Эгилувчанлик 0 дан 40—50 гача бўлганида, стержень калта бўлади. Бундай

стерженлар мустақамлик йўқолиши билан емирилади. Шунинг учун критик кучланиш оқувчанлик (пластик материал) ёки мустақамлик чегарасидаги кучланиш (мұрт материал) га тенг қилиб олинади (297-расм).

Эгилувчанлиги ( $50 \leq \lambda \leq \lambda_0$ ) оралиқда бўлган стерженлар эластик-пластик деформацияланиб, устуворлигини йўқотади. Бунда, критик кучланиш стержень материалининг пропорционаллик ёки оқувчанлик чегараларидағи кучланишга тенг бўлади. Критик кучланишнинг бундай узгариши туғри чизиқ булиб, Ясинский формуласига бўйсунади (297-расм).

Ясинский формуласи қуйидагича ёзилади:

$$\sigma_k = a - b\lambda \quad (11.11)$$

Ст. 3 пурлат учун:

$$\text{Еғоч учун: } \sigma_k = 3100 - 11,4\lambda$$

$$\text{Чўян учун} \quad \sigma_k = 293 - 1,94\lambda$$

$$\sigma_k = a - b\lambda + c\lambda^2 \quad (11.12)$$

Бу ерда:  $a$ ,  $b$ ,  $c$  — эмпирик коэффициентлар.

Айрим материаллар учун  $a$ ,  $b$ ,  $c$  коэффициентлар:

Материал	$\lambda$	$a$	$B$	$c$
Ст.2, Ст.3	100	3100	11,4	—
Ст.5	100	4640	32,6	—
Сталь 40	90	3210	11,6	—
Кремнис. сталь	100	5890	38,2	—
Сосна	110	193	1,94	—
Чўян	80	7760	120	0,53

### 11.3. СИҚИЛГАН СТЕРЖЕННИНГ КЎНДАЛАНГ КЕСИМДАГИ РАЦИОНАЛ ШАКЛИ

Сиқилган стерженлар учун Эйлер формуласини қўллаб, критик куч топилганда стержень учларининг маҳкамлашишига боғлиқ ҳолда бош текисликларда устуворликни

йүқотишининг турли шакллари бўлиши мумкинлигини иnobatga олиш зарур. Бир учи қистириб маҳкамланган, иккинчи учси эса озод бўлган стерженнинг устуворлиги ҳамда бикрлиги кичик бўлган текислика ўйқолади, чунки бу текислика эгилишга мос келувчи критик куч энг кичик бўлади (298-расм).

$$I_x = \frac{hb^3}{12} \quad \text{ва} \quad I_y = \frac{h^3b}{12}.$$

$$I_x > I_y$$

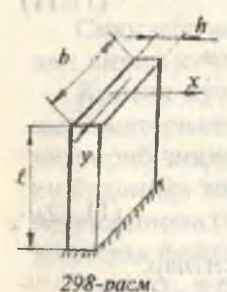
Эгилиш  $X$  ўқи текислигига бўлади.

$$F_{1k} = \frac{\pi^2 EI_x}{(\mu_1 t)^2} \quad \text{ва} \quad F_{2k} = \frac{\pi^2 EI_y}{(\mu_2 t)^2} \quad \text{деб қабул қиласлик.}$$

$I_x > I_y$ , бўлганлиги учун:  $F_{1k} > F_{2k}$

Стержень иккала бош инерция текислигига ҳам бир хил эгилиши учун  $I_x = I_y$  ёки  $\mu_1 = \mu_2$  бўлиши керак.

Масалан, кесим юзаси иккита швельлардан ташкил топган бўлса, уларнинг иккала бош инерция текислигига бир хил устуворликни йўқотишни таъминлаш учун  $I_x = I_y$ , тенгликни ҳосил қиласмиз.



Бунинг учун  $a$  масофа шундай танланishi керакки,

$$2I_{x1} = 2 \left[ I_{y1} + A \left( \frac{a}{2} \right)^2 \right] \quad \text{шарт бажарилсин.}$$

Демак,  $P_{1k} = P_{2k}$  тенглик юзага келади, унда қуйидаги тенг устуворлик шарти ҳосил бўлади:

$$\frac{I_x}{\mu_1^2} = \frac{I_y}{\mu_2^2}$$

Агар,  $\mu_1 = \mu_2$  бўлса ҳам стержень иккала бош инерция текислигига устуворликни бир хил йўқотади.

$i_{min}$  — минимал инерция радиусининг энг катта қийматга олиб келадиган юза рационал кесим бўлади. Ўлчов бирлигисиз тавсифнома танлаймиз:

$$\zeta = \frac{i_{\min}}{\sqrt{A}} \quad (11.13)$$

Кесимнинг рационаллигини  $\zeta$  нинг қиймати ёрдамида аниқлаймиз:

квадрат	0,289
доира	0,283
түртбурчакли	0,204
швеллер	0,41—0,29
құштауэр	0,41—0,27
бурчак	0,5—0,3
трубасимон ( $d = 0,7-0,8$ )	1,2—1,0
трубасимон ( $d = 0,95-0,8$ )	2,25—1,64

#### 11.4. СИҚИЛГАН СТЕРЖЕНЛАРНИ УСТУВОРЛИККА АМАЛИЙ ҲИСОБЛАШ

Сиқилган стерженларни мустаҳкамликда ҳисоблаш үлчамларини шундай танлаш керакки, уларни эксплуатация қилиш жараёнида күч таъсиридан устуворлик йүқтоилмаслиги керак. Бунинг учун сиқилган стерженнинг кесимдаги нормал күчланиши критик күчланишдан кичик бўлиши керак:

$$\sigma = \frac{N}{A_b} < \frac{F_k}{A_b} = \sigma_k \quad (11.14)$$

Бу срда:  $N$  — сиқувчи күч;  $A_b$  — стерженнинг заифлашган кесим юзаси.

Критик күчланиш материалнинг оқувчанлик чегарасидан пластик материал учун ёки мустаҳкамлик чегарасидан мұрт материаллар учун хавфли бўлиши мумкин. Шунинг учун стерженни устуворликка амалий ҳисоблашда критик күчланишнинг ҳосил бўлишини чеклаш керак, яъни устуворликка эҳтиётлик шартини таъминлаш керак:

$$\sigma = \frac{F_k}{A_b} = [\sigma]_y \quad (11.15)$$

Устуворликка рухсат этилган кучланиш  $[\sigma]$ , устуворликка эҳтиётлик коэффициенти  $n_y$  орқали топилади:

$$[\sigma]_y = \frac{\sigma_k}{n_y} \quad (11.16)$$

Устуворликка эҳтиётлик коэффициенти  $n_y$  мустаҳкамликка эҳтиётлик коэффициенти  $n$  дан катта деб қабул қилинади:

Ёғоч —  $n_y = 2,8 \dots 3,2$ ; пўлат —  $n_y = 1,8 \dots 3,0$ ; чўян —  $n_y = 5 \dots 5,5$ .

$[\sigma]$  — стерженнинг мустаҳкамлика рухсат этилган кучланиши;

$\phi$  — мустаҳкамлика рухсат этилган кучланишнинг камтириш коэффициенти. Коэффициент —  $\phi$  материалнинг эгилувчанлигига боғлиқ, равишда топилади:  $\lambda = \mu -$

Ёғоч учун коэффициент —  $\phi$  қўйидаги формуладан топилади:

$$\lambda = 75 \text{ бўлса, } \phi = 1 - 0,8 \left( \frac{\lambda}{100} \right)^2$$

$$\lambda = 75 \text{ бўяганида, } \phi = \frac{3100}{\lambda^2}$$

(11.15) устуворлик шарти қўйидағича ёзилади:

$$\sigma = \frac{F_k}{A_b \cdot \phi} \leq [\sigma] \quad (11.17)$$

Бу шарт орқали стерженнинг кўндаланг кесими танлаши мумкин.

Коэффициент стержень кесимининг ўлчамларига боғлиқ бўлганлиги учун унинг қиймати олдиндан берилган бўлмайди. Шунинг учун кесимнинг ўлчамлари аста-секин яқинлашиш усули билан топилади. Биринчи маротаба  $\phi = 0,5$  деб олинади. Кейинги яқинлашишда  $\lambda$  га боғлиқ ҳолда коэффициент  $\phi$  интерполяция усули билан топилади:

$$\phi_1 = \phi' - \frac{\phi' - \phi''}{10} \cdot K$$

Топилган  $\phi$  ёрдамида кучланиш, аниқланиш ва унинг кучланиши рухсат этилган қиймат билан солиштирилади. Иккала кучланиш орасида фарқ булиши мумкин. Агар  $\sigma < [\sigma]$  бўлса, кесим ўлчамининг қиймати кичиклаштирилиши керак, агар  $\sigma > [\sigma]$  бўлса, кесим ўлчамларини ошириш керак. Ҳисобланган кучланиш  $\sigma$  билан кучланишнинг рухсат этилган қиймати орасидаги фарқ 3–5% қилиб олиб борилиши керак.

### 11.5. БЎЙЛАМА ВА КЎНДАЛАНГ ЭГИЛИШ

Чўзилиш ёки сиқилишни эгилиш билан биргаликдаги таъсирида бўлган стерженнинг кўндаланг кесимидағи тўлиқ кучланишни, кучларнинг мустақиллик принципига асосан, чўзилиш ёки сиқилишдаги ва эгилишдаги кучланишларнинг йифиндисига тенг деб қабул қилинган:

$$\sigma_{\max} = \frac{N}{A} + \frac{M}{W} \leq [\sigma] \quad (11.18)$$

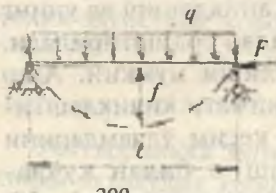
Бу ерда  $M$  фақат кўндаланг куч таъсиридаги эгувчи стержендаги бўйлама сиқувчи куч стерженнинг эгилган ўқини ҳар бир нуқтасига нисбатан қўшимча момент ҳосил қиласди. Натижада стерженнинг кўндаланг кесим юзасидан қўшимча кучланиш келиб чиқади. Хавфли кесимдаги энг катта кучланиш қуйидагича топилади:

$$\sigma_{\max} = \left| \frac{F}{A} + \frac{M_0}{W} + \frac{F \cdot f}{W} \right| \quad (11.19)$$

$f$  — бўйлама ва кўндаланг кучлар таъсиридаги стерженнинг энг катта салқилиги.

Бўйлама куч чўзувчи бўлса,  $f$  нинг қиймати кичик, агар бўйлама куч сиқувчи бўлса, салқилик сезиларли ва катта. Бўйлама ва кўндаланг эгилишда тўлиқ кучланишни кучларни мустақиллик принципига асосан топиб бўлмайди, чунки  $f$  бу аломатга бўйсунмайди.

Ингичка ва узун стерженларда  $f$  нинг қийматини ҳисобга олмаслик конструкцияни хавфли ҳолатга олиб келиши мумкин.



299-расм.

Шунинг учун бўйлама ва кўндаланг эгилишга учраётган стерженинг максимал салқилигини ( $f$ ) топамиз. Бўйлама ва кўндаланг эгилиш таъсиридаги стержень эластик чизиқнинг дифференциал тенгламаси қуидагича ёзилади:

$$EI_y'' = M_0 - Fy \quad (11.20)$$

Бу ерда:  $M_0 = q \frac{\ell}{2} x - q \frac{x^2}{2}$  кўндаланг куч таъсиридаги эгувчи момент. (11.20) тенгламанинг  $M_0 = EIy''$  ни ҳисобга олиб қуидаги кўринишга олиб келамиз:

$$EIy'' = EI \cdot y'' - Fy \quad (11.21)$$

(11.21) тенгламанинг  $x = \frac{\ell}{2}$  нуқта учун айрим чеклашлар орқали умумий ечимини ёзамиз:

$$f = f_0 \frac{1}{1 - \frac{F}{F_k}} = f_0 \cdot c \quad (11.22)$$

Стерженнинг бўйлама ва кўндаланг эгилишдаги энг катта салқилиги, (11.22) формуладан кўринишича, сиқувчи куч критик қийматга эришса, салқилик  $f$  назарий жиҳатдан чексиз бўлиши керак.

$f_0 = \frac{5q\ell^4}{384EI}$  — стерженнинг кўндаланг тақсимланган куч таъсиридаги энг катта салқилиги. Энди бўйлама ва кўндаланг эгилиш учун тўлиқ кучланиш формуласини ёзамиз:

$$\sigma_{\max} = \frac{F}{A} + \frac{M_0}{W} + \frac{F \cdot f_0 \cdot c}{W} = \frac{F}{A} + \frac{M_0 + F \cdot f_0 \cdot c}{W} = \frac{F}{A} + \frac{M_{\max}}{W} \quad (11.23)$$

Бу ерда:  $M_{\max} = M_0 + Ff_0c = \frac{q\ell^2}{8} + Ff_0c$  ёки

$$M_{\max} = \frac{q\ell^2}{8} + F \frac{5q\ell^4}{384EI} C = q \frac{\ell^2}{8} \left( 1 + \frac{5F\ell^2}{48EI} C \right)$$

Қавсни қүйидагиңа үзгартырамиз:  $\frac{5\pi^2 F t^2}{48\pi^2 EI} = \frac{1,028 F}{F_k}$

Ү ҳолда:

$$M_{\max} = q \frac{t^2}{8} \left( 1 + \frac{1,028 F}{F_k} C \right) = q \frac{t^2}{8} \left( 1 + \frac{F}{F_k} \cdot \frac{F_k}{F_k - k} \right) = \\ = q \frac{t^2}{8} \left( 1 + \frac{F}{F_k - F} \right) = q \frac{t^2}{8} \cdot \frac{F_k}{F_k - F} = q \frac{t^2}{8} C = M_0 \cdot C$$

Күчланиш:

$$\sigma_{\max} = \frac{F}{A} + \frac{M_0}{W} C = \frac{F}{A} + \frac{M_0}{W} \cdot \frac{F_k}{F_k - F} \quad (11.24)$$

Агар,  $\frac{F}{F_k}$  нисбат кичик бўлса, (11.24) формуладаги  $C$  коэффициентнинг қиймати бирга яқин бўлади, яъни:

$$\sigma_{\max} = \frac{F}{A} + \frac{M_0}{W} = \frac{F}{A} + \frac{gt^2}{8W} \quad (11.25)$$

Носимметрик кучлар билан юкландган стерженларнинг тўлиқ кўчишини (11.24) формула билан амалда ҳисобласак, хатолик 5–7 % бўлади. Агар,  $F = F_k$  бўлса,  $\sigma$  нинг қиймати чексиз катта бўлади, стержень емирилади. Юқоридаги формулалардан кўриналики, салқилик ва кучланиш кучлар билан чизиқли боғланишда эмас. Агар, куч  $n$  ма- ротаба ошса, кучланиш ундан кўпроқ ортади. Мустаҳкамлик шарти бажарилмайди. Шунинг учун бўйлама ва кўндаланг эгилишдаги стерженнинг мустаҳкамлиги чекли юк бўйича таъминланиши керак, яъни куч  $K_0$  маротаба ошса, стержендаги энг катта кучланиш оқувчанлик чегарасига эришади:

$$\frac{K_0 F}{A} + \frac{M_0 K}{W} \cdot \frac{1}{1 - \frac{K_0 F}{F_k}} = \sigma_{\infty}$$

Бу ерда:  $K_0 F$  ва  $K_0 M$  – чекли юк. Юқоридаги тенглигни қўйидагиша ёзамиш:

$$\frac{F}{A} + \frac{q\ell^2}{8W} \cdot \frac{1}{1 - \frac{K_o F}{F_k}} = \frac{\sigma_{ok}}{K_o}$$

Бу ерда:  $\frac{\sigma_{ok}}{K_o} = [\sigma]$  — сиқилишга рухсат этилган кучланыш..

Стерженнинг мустаҳкамлик шартини ёзамиш:

$$\frac{F}{A} + \frac{q\ell^2}{8W} \cdot \frac{1}{1 - \frac{K_o F}{F_k}} = [\sigma]$$

Бу ерда:  $C_o = \frac{1}{1 - \frac{K_o F}{F_k}} = \frac{F_k}{F - K_o F}$  — бўйлама кучнинг кучланышга таъсирини ифодаловчи коэффициент.

Стерженнинг салқилигини чеклаш учун бикрлик шартини ёзамиш:

$$f_{max} = f_o \cdot \frac{1}{1 - \frac{K_o F}{F_k}} = f_o \cdot \frac{F_k}{F_k - K_f F} \leq [f]$$

$f$  — рухсат этилган салқилик;

$K_f$  — салқиликнинг эҳтиётлик коэффициенти.

### *Савол ва топшириқлар*

1. Устуворлик нима?
2. Эйлер формуласини ёзинг.
3. Балка учларининг тирадан шартларининг Эйлер формуласига таъсири борми?
4. Критик кучланиш қандай формула билан топилади?
5. Эгилувчанлик нима?
6. Эйлер формуласи қандай эгилувчанлик қийматида ишлатилади?
7. Устуворлик шартини ёзинг?

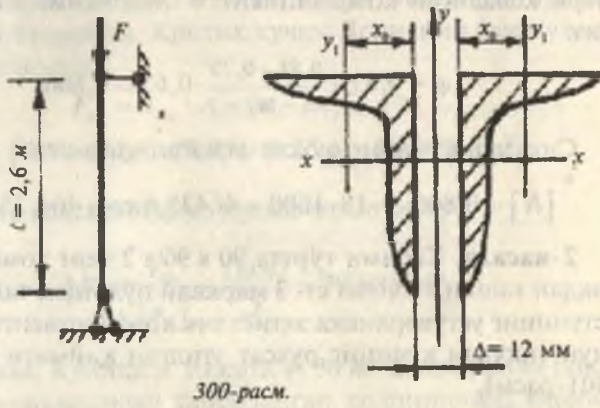
**1-масала.** Кесими тенг ёнли бўлмаган икки бурчакни ўзаро биритиришдан таркиб топган ферма стерженинаги

сикувчи кучнинг рухсат этилган миқдори аниқлансин.  
Стержень ст. 3 маркали пўлатдан тайёрланган (300-расм).

$140 \times 90 \times 6$  тент томонсиз бурчак учун:  $I_{y_0} = 120 \text{ см}^4$

$$I_{x_0} = 364 \text{ см}^4; x_0 = 2,03 \text{ см}; A = 18 \text{ см}^2$$

**Ечиш.** Рухсат этилган кучни стерженнинг устуворлик шартидан фойдаланиб ёзамиш:  $\sigma_y = \frac{F}{\varphi A} \leq [\sigma]$ , у ҳолда:  
 $[N] = \varphi A [\sigma]$



300-расм.

$\varphi$  — коэффициент миқдорини топиш учун стержен-  
нинг эгилувчанлигини аниқлаш керак. Бу эса ўз навбати-  
да стержень кесимининг минимал инерция моменти ва  
инерция радиусини топишни талаб этади:

$$I_x = 2I_{x_0} = 2 \cdot 364 = 728 \text{ см}^3$$

$$\begin{aligned} I_y &= 2 \left[ I_{y_0} + (x_0 + 0,5 \cdot \Delta)^2 \cdot A \right] = \\ &= 2 \left[ 120 + (2,03 + 0,5 \cdot 1,2)^2 \cdot 18 \right] = 489 \text{ см}^4 \end{aligned}$$

Шундай қилиб,  $I_y < I_x$  ва минимал инерция радиуси:

$$i_{\min} = \sqrt{\frac{I_y}{A}} = \sqrt{\frac{489}{2 \cdot 18}} = 3,68 \text{ см}$$

Стерженнинг эгилувчанлигини аниқлаймиз:

$$\lambda = \mu \frac{\ell}{i_{\min}} = 1 \cdot \frac{260}{3,68} = 70,65$$

Жадвалдан топилган:

$$\lambda = 70; \varphi = 0,81$$

$$\lambda = 80; \varphi = 0,75$$

Қийматларни интерполяциялаб  $\lambda = 70,65$  әгилувчанилкка түғри келадиган коэффициент  $\varphi$  нинг қийматини топамиз:

$$\varphi = 0,81 - \frac{0,81 - 0,75}{10} \cdot 0,65 = 0,806$$

Сиқувчи кучнинг рухсат этилган қиймати:

$$[N] = 0,806 \cdot 2 \cdot 18 \cdot 1600 = 46425,6 \text{ кг} = 464,256 \text{ кН}$$

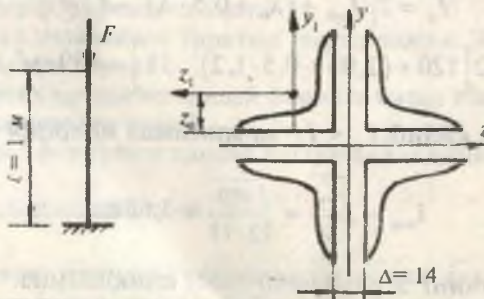
**2-масала.** Кесими түрттә 90 x 90 x 2 тенг томонли бурчакдан ташқыл топган ст. 3 маркали пўлатдан тайёрланган устуннинг устуворликка эҳтиётлик коэффициенти  $[n_y] = 2$  учун сиқувчи кучнинг рухсат этилган қиймати топилсин (301-расм).

90 x 90 x 2 тенг томонли бурчак учун:

$$Z_0 = 2,55 \text{ см}, I_y = 118 \text{ см}^4, A = 15,6 \text{ см}^2$$

**Ечиш.** Кесимнинг инерция моментини топамиз:

$$I_z = I_y = 4 [I_{z_0} + a^2 \cdot A] = 4 [118 + (3,25)^2 \cdot 15,6] = 1131,1 \text{ см}^4$$



301-расм.

Бу ерда:  $a = Z_0 + 0,5 \cdot \Delta = 2,55 + 0,5 \cdot 1,4 = 3,25 \text{ см}$

Инерция радиуси:

$$i_z = i_y = i_{\min} = \sqrt{\frac{I_z}{\Sigma A}} = \sqrt{\frac{1131,1}{4 \cdot 15,6}} = 4,25 \text{ см}$$

$$\text{Устуннинг эгилувчанлиги: } \lambda = \mu \frac{\ell}{i_{\min}} = \frac{2 \cdot 100}{4,25} = 47,05$$

$\lambda < \lambda_{\text{кр}}$  бўлгани учун критик кучни Эйлер формуласидан топиб бўлмайди. Критик кучни Ясинский формуласидан аниқлаймиз:

$$F_{kp} = \sigma_{kp} \cdot A = (a - b\lambda) \Sigma A = \\ = (3100 - 11,4 \cdot 47,05) \cdot 4 \cdot 15,6 = 159970,5 \text{ кГ}$$

Устунга таъсир этувчи рухсат этилган куч:

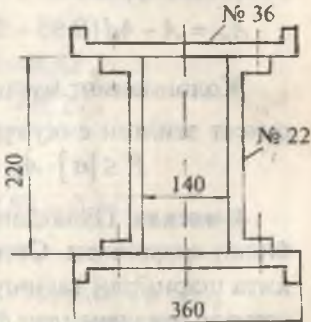
$$[F] = \frac{F_{kp}}{\left[\frac{n_y}{n_y}\right]} = \frac{159,97}{2} = 79,985 \text{ кН}$$

3-масала. Қўйидаги иккита — 36 ва 22 профилли швеллерлар бирикмасидан тайёрланган колоннанинг схемаси кўрсатилган бирикмани иккита учлари ҳам шарнирили таянчга таянган. Устуворлик ва мустаҳкамлик шартларидан фойдаланиб колоннага қўйилиши мумкин бўлган сиқувчи кучни топинг. Материал ст.3.  $[\sigma] = 160 \text{ мПа}$ ,  $\epsilon = 9 \text{ м}$ ;  $\mu = 1$ .

Ечиш. Кесимдаги швеллерларнинг тавсифларини ёзib оламиз. Кесимнинг ўлчамларини масштабда ифодалаймиз. Колоннанинг кесим юзасини топамиз:

$$A = 2(53,4 + 26,7) = 160,2 \text{ см}^2$$

Кесимнинг минимал инерция моментини параллел ўқларга нисбатан инерция моменти формуласидан топамиз:



302-расм.

$$I_x = 2 \left[ 513 + \left( \frac{22}{2} + 2,68 \right)^2 \cdot 53,4 \right] + 2 \cdot 2110 = 25232,808 \text{ см}^4$$

$$I_y = 2 \cdot 10820 + 2 \left[ 151 + (7 + 2,21)^2 \cdot 26,7 \right] = 26471,607 \text{ см}^4$$

$$I_x = I_{\min} = 25232,808 \text{ см}^4$$

Кесимнинг минимал инерция радиусини топамиш:

$$I_{\min} = \sqrt{\frac{J_{\min}}{A}} = \sqrt{\frac{25232,808}{160,2}} = 12,55 \text{ см}$$

Колоннанинг эгилувчанлиги:

$$\lambda = \mu \frac{\ell}{i_{\min}} = 1 \cdot \frac{900}{12,55} = 71,713$$

$\phi$  ни қийматини топамиш:

ва	$\lambda = 70$ да	$\phi' = 0,81$
	$\lambda = 80$ да	$\phi'' = 0,75$

$$\text{У ҳолда: } \phi = 0,81 - \frac{0,81 - 0,75}{10} \cdot 1,713 = 0,7997$$

Рухсат этилган сиқувчи кучни топамиш:

$$[F] = \phi [\sigma] \cdot A = 0,7997 \cdot 1600 \cdot 160,2 = 206979 \text{ кг}$$

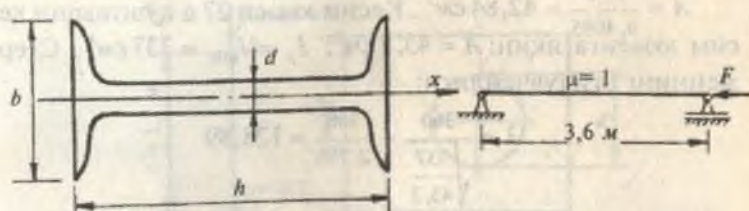
Колоннанинг кесими тўртта парчин мих ўрни билан заифлаштирилган.

$$A_H = A - 4d(0,95 + 0,75) = 160,2 - 4 \cdot 2 \cdot 1,7 = 146,6 \text{ см}^2$$

Колоннанинг мустаҳкамлик шарти  $\sigma_{\max} = \frac{F}{A_H} \leq [\sigma]$  дан рухсат этилган сиқувчи кучни топамиш:

$$F \leq [\sigma] \cdot A_H = 1600 \cdot 146,6 = 234560 \text{ кг}$$

**4-масала.** Пўлатдан тайёрланган стержень  $F = 28$  т куч билан сиқиляпти. Стерженнинг узунлиги  $\ell = 3,6$  м ва икита шарнирли таянчга таянади (303-расм). Стерженнинг уступорлик шартидан фойдаланиб кесими танлансин. Рухсат этилган кучланиш  $[\sigma] = 1600 \frac{\text{кг}}{\text{см}^2}$ .



303-расм.

**Ечиш. 1-хисоблаш.** Стерженнинг ҳисобланган кесим юзасини топамиз:

$$A = \frac{F}{\varphi [\sigma]} = \frac{28000}{\varphi \cdot 1600} = \frac{17,5}{\varphi}; \quad \varphi = 0,5; \quad A = \frac{17,5}{0,5} = 35 \text{ см}^2$$

Кесим юзаси  $A = 35 \text{ см}^2$  бўлган қўштаврни каталогдан танлаймиз:  $N = 24$  ( $A = 34,8 \text{ см}^2$ ;  $I = 198 \text{ см}^4$ ).

Кесимнинг минимал инерция радиусини топамиз:

$$i_{\min} = \sqrt{\frac{I_{\min}}{A}} = \sqrt{\frac{198}{34,8}} = 2,385 \text{ см}$$

Стерженнинг эгилувчанлиги:

$$\lambda = \mu \frac{\ell}{i_{\min}} = 1 \cdot \frac{360}{2,385} = 150,94$$

Жадвалдан ст. 3 материали учун  $\varphi$  нинг қийматини топамиз:

$$\lambda = 150; \quad \varphi' = 0,32$$

$$\lambda = 160; \quad \varphi'' = 0,29$$

Интерполяция усули билан

$$\varphi_1 = 0,32 - \frac{0,32 - 0,29}{10} \cdot 0,94 = 0,317$$

$$\text{ва } \varphi_2 = \frac{\varphi + \varphi_1}{2} = \frac{0,5 + 0,317}{2} = 0,4085 \text{ ни топдик: } \varphi > \varphi_2$$

2-ҳисоблаш:

$A = \frac{17,5}{0,4085} = 42,84 \text{ см}^2$ . Кесим юзаси 27 а құштаврни кесим юзасынан яқин:  $A = 43,2 \text{ см}^2$ ;  $I_y = I_{\min} = 337 \text{ см}^4$ . Стерженнинг эгилувчанлиги:

$$\lambda = \frac{360}{\sqrt{\frac{337}{43,2}}} = \frac{360}{2,793} = 128,89$$

$$\begin{aligned}\lambda &= 120; & \varphi' &= 0,45 \\ \text{Жадвалдан: } \lambda &= 130; & \varphi'' &= 0,4\end{aligned}$$

$$\text{У ҳолда: } \varphi_3 = 0,45 - \frac{0,45 - 0,4}{10} \cdot 8,89 = 0,406$$

$$\text{Хақиқий күчланишни топамиз: } \sigma_x = \frac{28000}{43,2} = 648,15 \frac{\text{кг}}{\text{см}^2}$$

Рухсат этилган күчланиш:

$$[\sigma]_y = \varphi_3 \cdot [\sigma] = 0,406 \cdot 1600 = 649,6 \frac{\text{кг}}{\text{см}^2}; \quad \sigma_x < [\sigma]_y$$

Шунинг учун 27 а құштаврли кесимни танлаймиз. Стерженнинг эгилувчанлиги  $> 100$ . Критик күчни Эйлер формуласи ёрдамида топамиз:

$$F_{kp} = \frac{\pi^2 EI_{\min}}{\ell^2} = \frac{(3,14)^2 \cdot 2 \cdot 10^6 \cdot 337}{(360)^2} \approx 52006 \text{ кг}$$

$$\text{Коэффициент: } K_y = \frac{F_k}{F} = \frac{52006}{28000} \approx 1,86$$

**5-масала.** Пұлатдан тайёрланған стержень  $F$  күч билан сиқиляпты (304-расм):

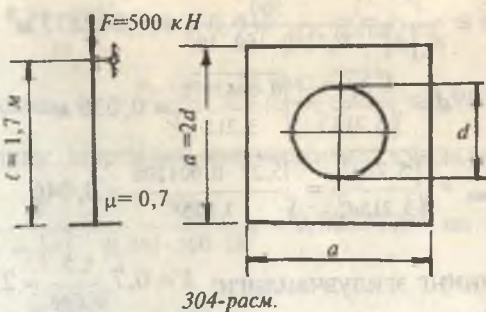
1)  $[\sigma] = 160 \text{ мПа}$  күчланишдан фойдаланиб стержень күндаланған кесимининг геометрик ўлчамларини топинг;

2) критик күч анықлансин.

**Ечиш.** Стержень күндаланған кесимининг юзаси:

$$A = a \cdot a - \frac{\pi \cdot d^2}{4} = 2d \cdot 2d - \frac{\pi \cdot d^2}{4} = 3,215d^2$$

Минимал инерция моменті:



304-расм.

$$I_{\min} = I = \frac{a^4}{12} - \frac{\pi \cdot d^4}{64} = \frac{(2d)^4}{12} - \frac{\pi \cdot d^4}{64} = 5,27d^4 \text{ ва инерция}$$

$$\text{радиусы: } i_{\min} = \sqrt{\frac{5,27d^4}{3,215d^2}} = \sqrt{\frac{5,27(0,0441)^2}{3,215}} = 0,0564 \text{ м}$$

1-ҳисоблаш ( $\varphi = 0,5$ ):

$$A \geq \frac{P}{\varphi[\sigma]} = \frac{500}{0,5 \cdot 160 \cdot 10^3} = 0,00625 \text{ м}^2 \text{ бўлади, у ҳолда:}$$

$$d = \sqrt{\frac{0,00625}{3,215}} = \sqrt{0,001944} = 0,0441 \text{ м}$$

Стерженинг эгилувчанлиги  $\lambda = 0,7 \frac{1,7}{0,0564} = 21,1$  жадвалдан пўлат материал учун:

$$\lambda = 20; \quad \varphi = 0,96$$

$\lambda = 30; \quad \varphi = 0,94$  топамиз. Интерполяция усули билан

топилган:  $\lambda = 21,1$  эгилувчанлик учун  $\varphi$  нинг қийматини топамиз:

$\varphi_1 = 0,96 - \frac{0,96 - 0,94}{10} \cdot 1,1 = 0,9578; \quad \varphi_1 = 0,9518$  – биринчи маротаба қабул қилинган  $\varphi = 0,5$  дан фарқ қиласди.

$$2-\text{ҳисоблаш: } \varphi_2 = \frac{\varphi + \varphi_1}{2} = \frac{0,5 + 0,9578}{2} = 0,7289$$

$$A \geq \frac{F}{\varphi_2[\sigma]} = \frac{500}{0,7289 \cdot 160 \cdot 10^3} = 0,042872 \text{ m}^2$$

$$d = \sqrt{\frac{F}{3,215}} = \sqrt{\frac{0,0042872}{3,215}} \approx 0,036 \text{ m}$$

$$i_{\min} = \sqrt{\frac{5,27d^4}{3,215d^2}} = \sqrt{\frac{5,27 \cdot 0,001296}{3,215}} = 0,046$$

Стерженнинг эгилувчанлиги:  $\lambda = 0,7 \frac{1,7}{0,046} = 25,87$

Жадвалдан:

$$\lambda = 20; \quad \varphi = 0,96$$

$$\lambda = 30; \quad \varphi = 0,94 \quad \text{ни топамиз:}$$

$$\varphi_3 = 0,96 - \frac{0,96 - 0,94}{10} \cdot 5,87 = 0,94826$$

Топилган  $A = 0,0042872 \text{ m}^2$  кесим юзаси ва  $\varphi = 0,94826$   
қийматда устуорликни таъминлаши керак бўлган рухсат  
этилган кучланишни топамиз:

$$\sigma_y = \frac{F}{\varphi_3 \cdot A} = \frac{500}{0,948 \cdot 0,0043} = 122,6 \cdot 10^3 \frac{\text{кН}}{\text{м}^2} < [\sigma]$$

Демак, стержень ташқи сиқувчи куч билан тўлиқ юк-ланмаган  $\varphi$ нинг янги қийматини топамиз:

3-ҳисоблаш:

Стержень ўлчами  $d = 0,03 \text{ м}$  деб қабул қиласиз.

У ҳолда:  $A = 3,215d^2 = 3,215(0,03)^2 = 0,00289 \text{ m}^2$  ва кўн-даланг кесимнинг инерция радиусини топамиз:

$$i_{\min} = \sqrt{\frac{5,27d^2}{3,215}} = \sqrt{\frac{5,27 \cdot (0,03)^2}{3,215}} = 0,0384 \text{ m}$$

Стерженнинг эгилувчанлиги:  $\lambda = 0,7 \frac{1,7}{0,0384} = 30,98$

Жадвалдан пўлат стержень учун:

$\lambda = 30$  да  $\varphi_4 = 0,94$  ва  $\lambda = 40$  да  $\varphi_4 = 0,92$  ни қа-  
бул қиласиз. Интерполяция усули билан

$$\varphi_4 = 0,94 - \frac{0,94 - 0,92}{10} 0,98 = 0,938 \text{ ни топамиз.}$$

$$4\text{-ҳисоблаш: } \varphi_3 = \frac{\varphi_1 + \varphi_4}{2} = \frac{0,9482 + 0,938}{2} = 0,943$$

Устуварлик шартидан стерженнинг кундаланг кесим

$$\text{юзаси: } A = \frac{F}{\varphi_5 [\sigma]} = \frac{500}{0,943 \cdot 160 \cdot 10^3} = 0,00331 \text{ м}^2 \text{ ва ўлчами}$$

$$d = \sqrt{\frac{A}{3,215}} = \sqrt{\frac{0,00331}{3,215}} = 0,032 \text{ м. Кундаланг кесимнинг инер-}$$

$$\text{ция радиуси: } i = \sqrt{\frac{5,27 d^2}{3,215}} = \sqrt{\frac{5,27 (0,032)^2}{3,215}} = 0,0411 \text{ м}$$

$$\text{Стерженнинг эгилувчанлиги: } \lambda = 0,7 \frac{1,7}{0,0411} = 29,02$$

Жадвалдан:

$$\lambda = 20 \text{ да } \varphi_6 = 0,96 \text{ ва } \lambda = 30 \text{ да } \varphi_6 = 0,94$$

Интерполяция усули билан  $\varphi_6 = 0,96 - \frac{0,96 - 0,92}{10} \cdot 9,02 = 0,942$  ни топамиз.  $\varphi_6 = 0,942$  қийматда устуварлика рухсат этилган кучланиш

$$[\sigma]_y = \varphi_6 [\sigma] = 0,942 \cdot 160 = 150,72 \text{ мПа бўлиб,}$$

$\sigma_y = \frac{F}{\varphi_6 \cdot A} = \frac{500}{0,942 \cdot 0,00331} = 160,358 \text{ мПа тенглашади: } \sigma_y \text{ нинг қиймати оддий чўзиши ва сиқилишга рухсат этилган кучланишдан } 0,22 \% \text{ катта бўлиб, } [\sigma]_y \text{ дан эса } 9,638 \text{ мПа фарқ қиласи. Шунинг учун стерженнинг ўлчами } d = 0,033 \text{ м деб қабул қиласиз.}$

5-ҳисоблаш:

$$d = 0,033 \text{ м ва } A = 3,215 d^2 = 3,215 (0,033)^2 = 0,0035 \text{ м}^2$$

Стержень кесимининг инерция радиуси:

$$i = \sqrt{\frac{5,27 d^2}{3,215}} = \sqrt{\frac{5,27 (0,033)^2}{3,215}} = 0,04225 \text{ м ва эгилувчанлиги:}$$

$$\lambda = 0,7 \frac{1,7}{0,04225} = 28,16 \text{ қийматида жадвалдан } \varphi \text{ нинг янги}$$

$$\text{қийматини топамиз: } \varphi_7 = 0,96 - \frac{0,96 - 0,94}{10} 8,16 = 0,9437$$

Устуворликка рухсат этилган күчланиш:

$$[\sigma]_y = \varphi_7 [\sigma] = 0,9437 \cdot 160 = 151 \text{ MPa}$$

$$\sigma_y = \frac{F}{\varphi_7 \cdot A} = \frac{500}{0,9437 \cdot 0,0035} = 151,379 \text{ MPa} < 160 \text{ MPa} \text{ пўлат}$$

материали учун эгилувчанлик ( $\lambda_{\text{тек}} = 100$ ) дан кичик бўлса, критик кучни топиш учун эмпирик формуладан фойдалана миз:

$$F_{kp} = A(a - b\lambda) = 0,0035(310 \cdot 10^3 - 1,14 \cdot 10^3 \cdot 28,18) = 972,65 \text{ kN}$$

Устуворлик коэффициенти:  $\eta_y = \frac{F_{kp}}{F} = \frac{972,65}{500} = 1,95$   
стерженга қўйилиши мумкин бўлган кучнинг рухсат этилган қиймати:

$$[F] = \varphi A [\sigma] = 0,9437 \cdot 0,0035 \cdot 160 \cdot 10^3 = 528,472 \text{ kN}$$

## ХІІ Б О Б

### ДИНАМИК КУЧЛАР

**Умумий тушунча.** Материаллар қаршилиги фанининг асосий масаласи бўлган конструкция қисмлари кўндаланг кесимининг үлчамлари ёки улар материалини танлашни шу пайтгача фақат статик юк таъсирида ўргандик. Нолдан ўзининг охирги қийматига секин-аста ўсадиган куч статик юкка мисол бўлади. Статик юк таъсирида элемент деформациясининг тезлиги вақт оралиғида сезиларли бўлмайди, чунки бунда иншоот қисмларида пайдо бўладиган ҳаракат тезланиши жуда кичик бўлади. Ўзгармас тезлик билан кўтарилаётган юкнинг канат (ип)га таъсири статик куч; агар юк маълум тезланиш билан кўтарилса, динамик куч бўлади. Динамик куч таъсиридаги элемент заррачаларининг ҳаракат тезланиши вақт оралиғида сезиларли бўлади. Динамик юк ўзининг қиймати ва ҳолатини ўзгартириб туриши мумкин.

Динамик юк таъсиридаги элемент Даламбер аломатига асосан ҳар дақиқа ташқи ва инерция кучлари таъсирида мувозанатда деб қараш мумкин. Инерция кучлари элемент материали заррачаларининг ҳаракат тезланиши асосида қўшимча куч сифатида ҳосил бўлади. Элементнинг хусусий оғирлиги каби инерция кучи ҳам ҳажмий куч деб қаралиши мумкин.

Ҳар бир заррачага таъсир қилувчи элементар инерция кучининг қиймати —  $dP_i$  заррачанинг массаси —  $m$  ни унинг тезланиши —  $a$  га кўпайтмасига тенг ва тезланишга тескари томонга йўналади:

$$dP_i = dm \cdot a \quad (12.1)$$

Элементар заррача массаси  $m = \frac{dG}{g}$  ни ҳисобга олсак,

$$dP_i = \frac{dG}{g} \cdot a = \frac{\gamma \cdot dv}{g} \cdot a \text{ ҳосил бўлади.}$$

$dG = \gamma \cdot dv$  — заррачанинг хусусий оғирлиги

$g$  — эркин тушиш тезланиши, 9,81 м сек<sup>2</sup>

$\gamma$  — материалнинг солиштирма оғирлиги: кН/м<sup>3</sup>

$dv$  — элементар заррачанинг ҳажми, м<sup>3</sup>.

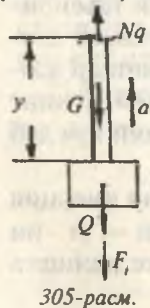
Стерженли системаларни ҳисоблашда ҳажмий инерция кучлари стерженнинг ўқи бўйлаб тарқалган инерция кучлари билан алмаштирилади. Элементар узунлик  $dx$  бўйлаб тарқалган инерция кучи  $dP_i = \frac{\gamma A \cdot dx}{g} \cdot a$  формула билан топилади

Ички ёнувдвигателларининг қисмлари, тебранма ҳаракатда қатнашувчи конструкциялар зарб таъсирида ишлайдиган механизмлар — динамик юклар таъсирида бўлади.

## 12.1. ТЕЗЛАНИШЛИ ҲАРАКАТДА КУЧЛАНИШНИ АНИҚЛАШИ

(Статик ҳисоблашга келтириладиган динамик масалалар)

Тросни ҳисоблаш.  $a$  тезланиш билан юқорига ҳаракат қилаётган, оғирлиги  $Q$  бўлган юк пўлатдан тайёрланган



305-расм.

тросга осилган. Тросни ихтиёрий  $Y$  — у узунлигидан кесиб, пастки қисмининг мувозанат ҳолатини ўрганамиз (305-расм).

Трос ўзининг хусусий оғирлиги  $\gamma Ax$ ,  $Q$  юк ва юкни юқорига  $a$  тезланиш билан ҳаракатланнишда ҳосил бўлган қўшимча инерция кучи  $\frac{Q+\gamma Ax}{g} a$  таъсирида бўлади. Троснинг ихтиёрий танланган кўндаланг кесимидағи динамик кучланиш қўйидагича топилади:

$$\sigma_g = \frac{N_g}{A} = \frac{1}{A} \left( Q + \gamma Ax + \frac{Q+\gamma Ax}{g} \cdot a \right) = \frac{Q+\gamma Ax}{A} \left( 1 + \frac{a}{g} \right)$$

$\frac{Q+\gamma Ax}{A}$  троснинг ҳаракатланмаётган, яъни юкни кўзгалмас бўлган ҳолатига тўғри келувчи статик кучланишни ифодалайди.

$$\sigma_g = \sigma_{cm} \left( 1 + \frac{a}{g} \right) = K_g \cdot \sigma_{cm} \quad (12.2)$$

$K_g = 1 + \frac{a}{g}$  динамик коэффициент дейилади.

Шундай қилиб, юкни текис тезланишда ҳаракатланырсақ, динамик күчланиш статик миқдордан катта бұлар экан.

Системанинг мустаҳкамлик шарти  $\sigma_{g \max} = \sigma_{c \ max} \cdot K_g \leq [\sigma]$  дан қўйидагини ҳосил қиласиз:

$$\sigma_{c \ max} = \frac{[\sigma]}{K_g} \quad (12.3)$$

Динамик коэффициентни назарий усул билан топиш мумкин бўлмаса, фақат тажрибавий қиймати ишлатилса, динамик масалалар статик ҳисоблаш билан алмаштирилади.

**Тақсимланган куч интенсивлиги  $q$  таъсиридаги элементларда күчланишни аниқлаш.**

Тенг тақсимланган куч интенсивлиги  $q$  таъсиридаги ўзгармас кесимли балка  $a$  тезланиш билан кран ёрдамида кўтарилади. Натижада балканинг узунлиги бўйлаб тарқалган инерция кучи —  $qi$  ҳосил бўлади. Балка, тақсимланган куч  $q$  таъсиридан ташқари, инерция кучидан ҳам эгилади.

Балка тақсимланган куч интенсивлиги —  $q$  таъсирида эгилганлиги учун, уни кутаришда ҳар бир кесими турли тезланиш билан кўчади. Шунинг учун балканинг узунлиги бўйлаб инерция кучининг интенсивлиги ўзгарувчан бўлади. Хусусий ҳолда балканинг эгилишдаги бикрлиги ёки кесимининг салқилиги жуда катта бўлса, тезланиш орқали инерция кучлари таъсирида ҳосил бўлган деформацияни ҳисобга олсан ҳам бўлади. Натижада балканинг ҳамма кесимларини кўчиш тезланиши бир хил инерция кучи  $q_i$  балканинг узунлиги бўйлаб тенг тарқалган деб қаралади. У ҳолда динамик тақсимланган куч  $q_g = q + \frac{q}{g} a$  таъсиридаги эгувчи момент:

$$M_g = \frac{q_g \cdot t^2}{8} = \left( q + \frac{q}{g} a \right) \frac{t^2}{8} = \frac{q t^2}{8} \left( 1 + \frac{a}{g} \right) = M_c \cdot K_g \text{ ва хавфли}$$

кесимдаги динамик күчланиш:

$$\sigma_g = \frac{M_g}{W} = \frac{M_c}{W} \cdot K_g = \sigma_c \cdot K_g \quad (12.4)$$

ва мустақамлик шарти:

$$\sigma_{g\text{-max}} = \sigma_{c\text{-max}} \cdot K_g = K_g \cdot \frac{q\ell^2}{gW} \leq [\sigma] \quad (12.5)$$

формулалар билан топилади. Локомотивнинг иккита фидирагини бирлаштирувчи спарник (тираскли-шарнирли ўқ) даги энг катта эгувчи момент ҳам шу усул билан аниқланиши мумкин:

$$M_{\text{max}} = \frac{q_F \ell^2}{8} = \frac{\gamma A \ell^2}{8} \left( 1 + \frac{\omega^2 r}{g} \right)$$

**Айланувчан ҳалқасимон элементда кучланиш.** Ўзгармас кесимли тез айланаётган ҳалқанинг кучланишини топамиз. Ҳалқанинг айланишида ажратилган  $ds$  узунликдаги элемент ўзгармас бурчак тезлик —  $\omega$  билан ҳаракат қиласи.



Бурчак тезланиш  $\omega_n = \frac{\omega^2 D}{2}$  ҳалқанинг марказига интиливи човчы тезланиш  $\omega_n = \frac{\omega^2 D}{2}$  ҳалқанинг марказига интилиди. Ҳосил бўлган инерция кучи қуйидагича топилади:

$$qds = \frac{\gamma A}{g} \frac{\omega^2 D}{2} ds = \omega_n \frac{\gamma A}{g} ds$$

$q$  — ҳалқанинг бир бирлик узунлигидаги инерция кучининг интенсивлиги.

Ҳалқанинг чўзувчи кучи  $P = \frac{Dq}{2}$  ни ҳисобга олсак, динамик кучланишни топамиз:

$$\sigma_g = \frac{P}{A} = \frac{Dq}{2A} = \frac{D}{2A} \cdot \frac{\gamma A}{g} \cdot \frac{\omega^2 D}{2} = \frac{\gamma \omega^2 D^2}{4g} \quad (12.6)$$

**Шатунни ҳисоблаш.** Ўзгармас бурчак тезликда шатуннинг  $K$  нуқтасида марказига интиливи  $B$  нуқтада факат тангенциал тезланиш ҳосил бўлади.  $KB$  шатунни ҳамма нуқтасида ( $K$  ва  $B$  нуқталардан ташқари) марказига интиливи ва

тангенциал кучланишлар ҳосил бўлади.  $OK$  кривошип  $KB$  шатунга перпендикуляр бўлган ҳолатда, марказдан қочувчи инерция кучлари шатун ўқига перпендикуляр йўналади ва  $KB$  узунлиқда чизикли қонуният билан ўзгаради.  $K$  нуқтада  $q = q_0$  ва  $B$  нуқтада  $q = 0$ .

Шатунни икки таянчли балка деб қабул қилсак, энг катта эгувчи момент  $B$  нуқтадан  $\frac{\ell}{\sqrt{3}}$  масофада ҳосил бўла-

ди:  $M_{\max} = \frac{q_0 \ell^2}{9\sqrt{3}}$ , бу ерда:  $q_i = \frac{Ay}{g} \omega^2 r$ .

Динамик кучланиш:

$$\sigma_n = \frac{M_{\max}}{W} = \frac{q_0^2}{9\sqrt{3}W} = 9\sqrt{3} \cdot g W \frac{r A \omega^2 r \ell^2}{g 9\sqrt{3} W} \quad (12.7)$$

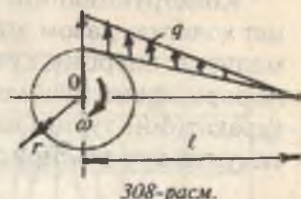
## 12.2. ТЕБРАНМА ҲАРАКАТДА КУЧЛАНИШНИ АНИКЛАШ

Айрим конструкция қисмларини ишлаш жараёнида тезланиш йўналиши ва ишорасини ўзгартиради. Бу ҳолатда кучланиш ва деформациялар ҳам ҳар даврда ишорасини ўзгартиради. Масалан, айланувчи юк осилган механизм билан жиҳозланган балка юк айланishiда инерция кучи ҳосил бўлади. Инерция кучи балкада ҳар дақиқа ишорасини ўзгартирувчи кучланиш ва деформацияни келтириб чиқаради.

Балка юкнинг айланиш даврига тенг давр билан тебранади. Бундай тебраниш мажбурий тебраниш дейилади.

Агар, эркин ва мажбурий тебранишлар даврлари тенглашса, вақт оралиғида тебраниш амплитудаси жуда тез ўсади ва резонанс ҳодисаси содир бўлади. Резонанс емирилишга сабаб бўлади. Шунинг учун резонанс ҳодисасини чеклаш лозим. Бунинг учун эркин ва мажбурий тебранишлар даврлари мос тушмаслиги керак.

Конструкцияни лойиҳалашда (уйғутувчи кучни) мажбурий тебраниш даври берилганлиги учун фақат эркин тебранишнинг параметрлари —



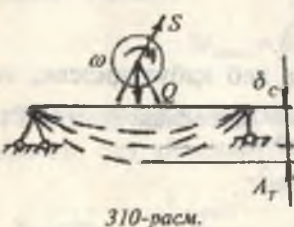
308-расм.



309-расм.

давр, частота ва амплитудаларини танлаш керак.

Конструкциянинг тебранма ҳаракати эластик мувоза-нат ҳолатида давом этади. Конструкциянинг статик дефор-мацияси инерция кучи таъсирида ҳосил бўлган динамик деформацияга қўшилади. Динамик деформация тебранма ҳаракатнинг турига ва амплитудасига боғлиқ. Чўзувчи ёки сиқувчи куч таъсиридаги пружинанинг бўйлама тебрани-ши; хусусий оғирлиги таъсири-дан тебранаётган балканинг ҳара-кати оддийдир. Бу ҳолатда систе-манинг деформацияси битта текисликдаги (координата) ёки йўналишдаги қиймат билан ўлча-нади (310-расм). Бундай тебран-ма ҳаракат эркинлик даражаси бирга тенг бўлган тебранма ҳара-кат, дейилади. У ҳолда балка хавфли кесимидағи энг кат-та салқилик қўйидагича топилади:



хусусий оғирлиги таъсири-дан тебранаётган балканинг ҳара-кати оддийдир. Бу ҳолатда систе-манинг деформацияси битта текисликдаги (координата) ёки йўналишдаги қиймат билан ўлча-нади (310-расм). Бундай тебран-ма ҳаракат эркинлик даражаси бирга тенг бўлган тебранма ҳара-

кат, дейилади. У ҳолда балка хавфли кесимидағи энг кат-та салқилик қўйидагича топилади:

$$\delta_n = \delta_c + A_m = \delta_c \left( 1 + \frac{A_T}{\delta_c} \right) = K_g \cdot \delta_c \quad (12.8)$$

Балканинг деформацияси эластик бўлганлиги учун кучланиш деформацияга пропорционалдир:

$$\sigma_k = K_k \cdot \sigma_c = \left( 1 + \frac{A_T}{\delta_c} \right) \cdot \sigma_c \quad (12.9)$$

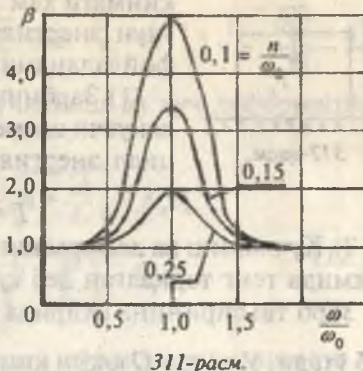
Эркин тебранаётган  $Q$  юк ҳаракатининг дифферен-циал тенгламаси  $\frac{Q}{g} x^{11} + cx = 0$  ни ечиб, эркин тебраниш частотаси  $\omega_o = \sqrt{\frac{g \cdot c}{Q}} = \sqrt{\frac{g}{\delta Q}}$  ва даври  $t_o = \frac{2\pi}{\omega_o}$  топилади.

Хусусий ҳол: Эгилиш: икки таянчли балка учун  $\delta_Q = f = \frac{Q \ell^3}{48 EI}$  (а),  $\delta_Q = f = \frac{Q \ell^3}{3EI}$  (в) консол учун.

Мажбурий тебранишни ўйғотувчи куч  $S$  айланиш дав-рида синусоидал чизиқ билан ўзгаради. Бу ҳолатда  $K$  нинг ифодаси ҳам ўзгаради:

$$K_s = 1 + \frac{A}{\delta_e} = 1 + \frac{\delta_H}{\delta_e} \cdot \beta \quad (12.10)$$

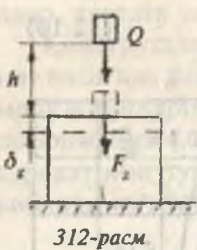
Бу ерда  $\delta_H = \frac{H}{Q} \delta_0$  — энг катта уйғотувчи күч  $S_{max} = H$  таъсиридаги деформация;  $\beta = \frac{A}{\delta_H}$  — тебранишнинг ўсиш коэффициенти.  $\beta$  нинг қиймати  $\frac{\omega}{\omega_0}$  нисбатга ва тебранишнинг сўниш коэффициенти ( $n$ )га боғлиқ. Агар  $\frac{\omega}{\omega_0} = 1$  ва тебранишнинг сўниш коэффициенти кичиклашса, тебраниш амплитудаси ва  $\beta$  нинг қиймати катталашади. Демак, динамик деформация ва кучланишлар жуда тез ўсади. Конструкциянинг хавфли ҳолатини чеклаш учун унга тебранишнинг сўндирадиган турли мосламаларини ўрнатиш мумкин.



311-расм.

### 12.3. ЗАРБ ТАЪСИРИДА КУЧЛАНИШ

Конструкция қисмининг ёки бир бўлагининг жуда кичик вақт давомида тезлиги ўзгаришининг ҳодисаси зарб таъсирида содир бўлади. Зарб таъсирида зарбланувчи ва зарб берувчи қисмлар орасида жуда катта босим ҳосил бўлади. Зарб таъсирининг тезлиги қисқа вақт оралиғида ўзгаради ва хусусий ҳолда нолга қадар яқинлашади. Чунки зарбланувчи элементда зарб берувчи элементнинг тескари йўналишга ҳаракатини ўзгартирувчи реакция ҳосил бўлади —  $F_r = \frac{Q}{a}$ , бу ерда  $Q$  — зарб берувчи элементнинг оғирлиги. Зарб давомида зарб берувчи ва зарбланувчи элементлардаги  $F_r$  реакциялар ўзаро тенг. Агар  $F_r$  куч маълум бўлса, зарбланувчи элементлардаги кучланишни топамиз. Лекин зарбнинг давом қилиш вақти номаълум бўлганлиги учун ( $Q$  юк зарб таъсири тезлигининг нолга



312-расм

қадар тушиш даври) а тезланишни топиб бўлмайди. Шунинг учун  $F$  кучнинг қиймати ҳам номаълум.  $F$  кучни топиш учун энергиянинг сақланиш қонунидан фойдаланамиз.

1) Зарбнинг кинетик энергияси зарбланувчи элемент деформациясини потенциал энергиясига айланади, яъни:

$$T = I_d \quad (12.11)$$

2) Кучланиш ва деформациянинг зарбланувчи элемент ҳажмида тенг тарқалган деб қабул қилинади.

Зарб таъсирининг охирида  $Q$  юк  $h + \delta_g$  масофани босиб ўтади. У ҳолда  $Q$  юкни кинетик энергияси бажарилган ишга тенг бўлади:

$$T = A_g = (h + \delta_g)Q \quad (12.12)$$

Зарбланувчи элемент деформациясининг потенциал энергиясини топиш учун, статик деформациянинг потенциал энергиясидан фойдаланамиз:

$$U_c = \frac{1}{2} Q \cdot \delta_c \quad (12.13)$$

$$\text{Бу ерда: } \delta_c = \frac{Q}{c} \quad \text{ёки } Q = c \cdot \delta_c$$

С элементнинг бикрлик коэффициенти, элементнинг шакли, ўлчамлари ва материали, деформацияси турига боғлиқ. У ҳолда:

$$U_c = \frac{1}{2} Q \delta_c = \frac{c}{2} \cdot \delta_c^2$$

Зарбланувчи элементнинг деформацияси эластик бўлса, динамик кучланиш материалнинг пропорционаллик чегарасидан катта бўлмайди, у ҳолда Гук қонунидан фойдаланиш мумкин:

$$\delta_g = \frac{F_g}{c} \quad \text{ва} \quad U_g = \frac{F_g \cdot \delta_g}{2} = \frac{C}{2} \delta_g^2 = \frac{Q}{2\delta_c} \cdot \delta_g^2; \quad \text{бу ерда: } C = \frac{Q}{\delta_c}$$

Топилган  $T$  ва  $I$  ларнинг ифодаларини (12.11) формулага келтириб қўйсак,

$Q \cdot (h + \delta_g) = \frac{Q}{2\delta_c} \delta_g^2$  ёки  $\delta_g^2 = 2\delta_c \delta_g - 2h\delta_c = 0$  ҳосил бўлади.

Бу ердан:  $\delta_g = \delta_c \pm \sqrt{\delta_c^2 + 2h\delta_c}$  ёки  $\delta_g = \delta_c \left[ 1 + \sqrt{1 + \frac{2h}{\delta_c}} \right] = K_g \delta_c$

Гук қонунига асосан кучланиш ва куч деформацияга пропорционал, у ҳолда:

$$\sigma_g = \sigma_c \left[ 1 + \sqrt{1 + \frac{2h}{\delta_c}} \right] = K_g \delta_c$$

$$F_g = Q \left[ 1 + \sqrt{1 + \frac{2h}{\delta_c}} \right] = K_g Q \quad (12.15)$$

Юқоридаги формулалардан кўринадики, динамик деформация, кучланиш ва куч статик деформацияга боғлиқ экан.

$K_g = 1 + \sqrt{1 + \frac{2h}{\delta_c}}$  — динамик коэффициент.

Агар  $h = \frac{v^2}{2g}$  билан алмаштирилса,  $K_g = 1 + \sqrt{1 + \frac{v^2}{g\delta_c}}$  ҳосил бўлади. Бу ерда  $v$  — зарб берувчи элементнинг тез-

лиги  $\frac{2h}{\delta_c} = \frac{h \cdot Q}{Q \delta_c} = \frac{T_o}{U_c}$  ни ҳисобга олсак, динамик коэффициент қўйидагича топилади:

$$K_g = 1 + \sqrt{1 + \frac{T_o}{U_c}} \quad (12.18)$$

Бу ерда  $T_o$  — зарб таъсири бошланган вақтдаги юкнинг кинетик энергияси. Агар,  $Q$  юк  $h = 0$  масофадан тушиб зарб берса,  $\delta_g = 2\delta_c$  ҳосил бўлади:  $\sigma_g = 2\sigma_c$  ва  $F_g = 2Q$ .

Агар, масофа  $\delta_c$  деформациядан катта бўлса,  $\frac{2h}{\delta_c}$  қийматга нисбатан илдиз остидаги бирни ҳисобга олмасак ҳам бўлади, яъни:

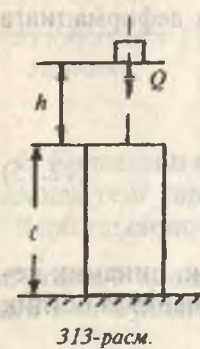
$$K_g = 1 + \sqrt{\frac{2h}{\delta_c}} \quad (12.19)$$

Бу ерда хатолик 5% дан катта бўлмайди.

У ҳолда:  $\delta_g = \delta_c \left( 1 + \sqrt{\frac{2h}{\delta_c}} \right)$  ва  $\sigma_g = \delta_g \left( 1 + \sqrt{\frac{2h}{\delta_c}} \right)$

Агар,  $\frac{2h}{\delta_c}$  қийматни жуда катта деб қабул қылсак,  $K_g$  ни күйидаги формула билан топамиз:

$$K_g = \sqrt{\frac{2h}{\delta_c}} = \sqrt{\frac{T_o}{U_c}} \quad (12.20)$$



Бу ерда  $\sigma_g = \sigma_c \sqrt{\frac{2h}{\delta_c}}$  кучланишни ҳисоблашда қўйилган хатолик 10 % дан ошиб кетмаслиги керак:  $\frac{2h}{\delta_c} > 110$

Зарб таъсирининг хусусий ҳоллари. Чўзилиш ёки сиқилиш. Динамик коэффициентни тақрибий формула ёрдамида то пайлик:

$$K_g = \sqrt{\frac{T_o}{U_c}}$$

$$\text{Бу ерда: } U_c = \frac{Q\delta_c}{2} = \frac{Q^2 t}{2EA} = \frac{\sigma_c^2 AE}{2E} \quad \text{ва} \quad \sigma = \frac{Q}{A}$$

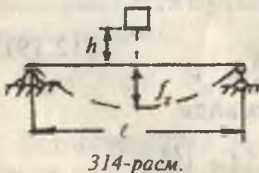
$$\text{Динамик кучланиш: } \sigma_g = K_g \sigma_c = \sqrt{\frac{2T_o E}{\sigma_c^2 A t}} \cdot \sigma = \sqrt{\frac{2T_o E}{A t}}$$

Демак, динамик кучланиш сиқилаётган стерженнинг кўндаланг кесим юзасига боғлиқ экан.

Статик куч стерженнинг ўлчамига боғлиқ эмас. Динамик куч ва динамик кучланиш зарбнинг таъсири қилиш давомига, стерженнинг материалига ва узунлигига боғлиқ. Динамик куч таъсиридаги элементнинг мустаҳкамлик шартини ёзамиш:

$$\sigma_g \leq [\sigma_g] \quad (12.22)$$

$$\text{Бу ерда } [\sigma_g] = \frac{\sigma_{ok}}{n_g} \text{ рухсат этилган динамик кучланиш.}$$



$n_g = 1,5 \dots 2,0$  — зарб таъсирига эҳтиётилик коэффициенти.

Эгилиш. Эгилишда динамик деформация балка учларининг таяниш шартига ва ташқи куч билан юкла-

ниш схемасига боғлиқ. Иккита шарнирли таянчга таянган балка узунлиги ўртасидаги  $Q$  юк таъсирида (314-расм), динамик кучланиш қуидагиша ёзилади:

$$\sigma_g = K_g \sigma_c = \frac{Q\ell}{4W} \sqrt{\frac{96T_oEI}{Q^2\ell^3}} = \sqrt{\frac{6T_oEI}{W^2\ell^3}}$$

Бу ерда:

$$f_c = \delta_c = \frac{Q\ell^3}{48EI}; \quad \sigma_c = \frac{Q\ell}{4W} \quad \text{ва} \quad U_c = \frac{Qf_c}{2} = \frac{Q^2\ell^3}{96EI}$$

Агар,  $I = i^2 A$  ва  $W = \frac{I}{f_{\max}} = \frac{i^2 A}{f_{\max}}$  бўлса:

$$\frac{I}{W^2} = \frac{i^2 A}{\left(\frac{i^2 A}{f_{\max}}\right)^2} = \left(\frac{f_{\max}}{i^2}\right)^2 \cdot \frac{1}{A}$$

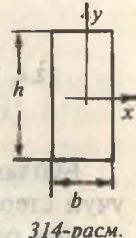
У ҳолда динамик кучланиш:

$$\sigma_g = \frac{y_{\max}}{i} \sqrt{\frac{6TE}{Al}} \quad (12.23)$$

формуладан кўринадики, эгилишда динамик кучланиш балка материалининг эластик модулига, кесимнинг үлчамлари ва шаклига, балканинг таяниш шартига боғлиқ.

Масалан, тўғри бурчакли кесим:

$$\frac{f_{\max}}{i} = \frac{\frac{2}{3}}{\sqrt{\frac{bh^3}{12bh}}} = \sqrt{3} \quad \text{ва} \quad \sigma_g = \sqrt{\frac{18T_oE}{Al}}$$



314-расм.

Доиравий кесим:

$$\frac{f_{\max}}{i} = \frac{\frac{2}{3}}{\sqrt{\frac{\pi d^4}{64 \cdot \pi \cdot d^2}}} = 2 \quad \text{ва} \quad \sigma_g = \sqrt{\frac{24T_oE}{Al}}$$

Динамик коэффициентни аниқлаш учун тақрибий формула татбиқ этилмаса, динамик кучланиш қуидагича топилади:

$$\sigma_g = \frac{Q\ell}{4W} \left[ 1 + \sqrt{1 + \frac{96T_oEI}{Q^2\ell^3}} \right] \leq [\sigma_g]$$

**Буралиш.** Айланыётган вал бир учининг ҳаракатини қисқа вақт оралиғида чеклаб қўйсак (тормозланса), иккинчи учиға маховикнинг таъсири —  $T$  қўйилса, валда зарб таъсиридаги буровчи момент ҳосил бўлади. Динамик буралиш бурчаги  $\delta_g = \varphi_g = K_g \varphi_c$  ва кучланиш  $\tau_g = \tau_c \cdot K_g = \tau_c \sqrt{\frac{T_o}{U_c}}$ . Бу ерда:  $\varphi_c = \frac{M\ell}{GI_p}$

$$U_c = \frac{M \cdot \varphi_c}{2} = \frac{M^2 \ell}{2GI_p}, \text{ у ҳолда: } \tau_g = \frac{M}{W_p} \sqrt{\frac{2T_o GI_p}{M^2 \ell}} = \sqrt{\frac{2T_o GI_p}{W_p^2 \ell}}$$

$$\frac{I_p}{W_p^2} = \frac{\pi \cdot d^4}{32} \cdot \frac{1}{\left(\frac{\pi \cdot d^3}{16}\right)^2} = \frac{8}{\pi \cdot d^2} = \frac{2}{\frac{\pi \cdot d^2}{4}} = \frac{2}{A}$$

Динамик кучланиш:  $\tau_g = 2\sqrt{\frac{T_o G}{A\ell}}$

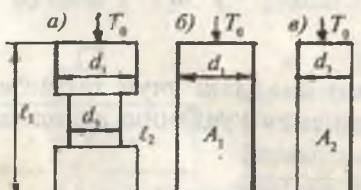
Динамик деформация:  $\varphi_g = \frac{M\ell}{GI_p} \sqrt{\frac{2T_o GI_p}{M^2 \ell}} = \sqrt{\frac{2T_o G}{GI_p}}$

#### 12.4. ЎЗГАРУВЧАН КЕСИМЛИ СТЕРЖЕНЛАРДА ЗАРБ ТАЪСИРИДАГИ КУЧЛANIШ

Бўйлама зарб таъсиридаги кучланишни камайтириш учун стерженнинг ҳажмини катталаштириш керак эканлигини олдинги мавзуларда кўриб ўтдик.

Бу назария, агар стерженнинг ҳажми унинг узунлиги бўйлаб ўзгармас бўлса, ўринлидир. Стерженнинг узунлиги бўйлаб кўндаланг кесим юзаси ўзгарувчан бўлса, амалиётда юқоридаги назарияларда ўзариш бўлиши мумкин.

Масалан, узунлиги бўйлаб  $d_1 > d_2$  диаметрли кесимнинг энг катта кучланиши  $d_2$  диаметрли кесимда ҳосил бўлади. Энг катта куч-



315-расм.

ланиш стерженнинг заифлашган кесими диаметрига ва унинг сиқувчанлигига боғлиқ. Бу ҳолда стерженнинг кучланиши икки хил усул билан камайтирилиши мумкин:

1) Стерженнинг заифлашган кесимини  $d_1$  диаметр билан тайёрлаш: бу ҳолда стерженнинг кесим юзаси катталашади; сиқилувчанлиги камаяди: инерция кучи бир оз ортади. Кесим юзаси катталашиши ҳисобига кучланиш камаяди. Агар стержень заифлашган кесимни тақозо қилса, бу вариант керак эмас.

2) Стерженнинг мустаҳкамлигини ошириш учун, унинг сиқилувчанлиги орттирилиши керак. Сиқилувчанлик асосан стерженнинг узунлиги бўйлаб  $d_2$  диаметр билан тайёрлаш эвазига орттирилади. У ҳолда динамик куч —  $F_g$  камаяди, кучланиш ҳам камаяди. Бу назарияларни ҳисоб усули билан текширамиз. 315-расмда кўрсатилган учта стерженга ҳам бир хил  $T_0 = Qh$  зарб таъсири қўйилсин. Уларни қўйидагича белгилайлик:

$$\frac{A_2}{A_1} = q \quad \text{ва} \quad \frac{l_2}{l_1} = P$$

Кучланишни тақрибий формула ёрдамида топамиз (315-а расм):  $\sigma_g = \sigma_c \sqrt{\frac{2h}{\Delta\ell}} = \frac{Q}{A_2} \sqrt{\frac{2h}{\Delta\ell}} = \sqrt{\frac{2T_0 Q}{A_2^2 \Delta\ell}}$

$$\text{Бу ерда: } \Delta\ell = \frac{Q\ell_2}{EA_2} + \frac{Q(\ell_1 - \ell_2)}{EA_1} = \frac{Q\ell_1}{EA_2} [P + q(1 - P)]$$

$$\text{У ҳолда: } \sigma_g = \sqrt{\frac{2T_0 Q}{A_2^2 \frac{Q\ell_1}{EA_2} [P + q(1 - P)]}}$$

Ўзгармас кесимли (*б* ва *в*) стерженлар учун

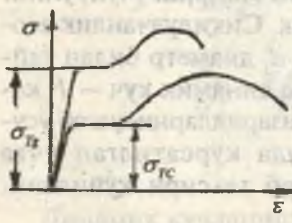
$$\sigma_a = \sqrt{\frac{2T_0 E}{A_1 l_1}} \quad \text{ва} \quad \sigma_b = \sqrt{\frac{2T_0 E}{A_2 l_1}}$$

$$[P + q(1 - P)] < q < 1 \quad \text{бўлганлиги учун } \sigma_a > \sigma_b > \sigma_g$$

Шундай қилиб, (*a*) схемада диаметрнинг 20% кичиклаштирилиши кучланишни 50% га катталаширади, агар стерженнинг узунлиги бўйлаб бир хил  $d_2$  диаметрда тайёрланса, кучланиш 20% га яқин камайтирилади. Ўзга-

рувчан кесимли стерженларга бўйлама зарб таъсирида ишлайдиган болтларни мисол қилиш мумкин. Болт зарб таъсирини емирилмасдан ўтказиб юбориши учун унинг узунлиги бўйлаб диаметрини резьбанинг ички диаметрига тенг қилиб тайёрлаш керак. Бунинг учун болтнинг сирти йўнилади ёки унда ички канал ҳосил қилинади. Кўпинча стерженнинг узунлиги катталаштирилиши эвазига ҳам кучланиш камайтирилади.

**Зарбга синаш.** Тажрибалар натижасига кўра, бир хил материалдан тайёрланган намуналар статик ва динамик кучларга ҳар хил қаршилик кўрсатиши аниқланган. Масалан, намуналарни чўзишлишга катта тезлиқда синашда олинган диаграмма статик куч таъсиридаги диаграммадан фарқ қиласди (316-расм):



316-расм.

1) динамик куч таъсирида материалнинг оқувчанлик ва мустаҳкамлик чегаралари катталашади;

2) емирилишдаги қолдиқ деформацияси камаяди;

3) диаграмма  $\sigma$  ўқи томонга силжийди;

4) оқувчанлик вақти камаяди;

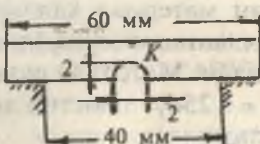
5) материалнинг эластиклик модули катталашади.

Зарб таъсиридан пластик материалда муртлик намоён бўлиши мумкин, яъни пластик материал мурт материалдек емирилади.

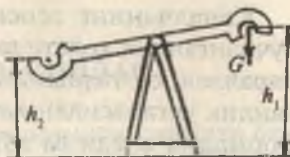
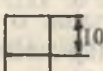
Н.Н. Давиденко тажрибасига асосан зарб таъсиридан оқувчанлик чегараси 20—70% га, мустаҳкамлик чегараси 10—30% га ортади.

Материални зарбга синаш учун маҳсус намуна тайёрланади (317-расм). Материални оғирроқ вазиятда ишлатиш учун намунада ўлчамлари 2 мм бўлган канал тайёрланади. Маятник типидаги коперда (317-расм) намунага  $K$  нуқтадан зарб берилади.

С маятник  $h_1$  баландликдан тушиб намунани емиради ва ортиқча қолган энергия ҳисобига  $h_2 \leq h_1$  баландликка кўтарилади. Маятникнинг бажарган иши  $W_{\text{иш}} = G(h - h_2)$  нинг бир қисми намунани емиришга сарфланади. Ишнинг



317-расм.



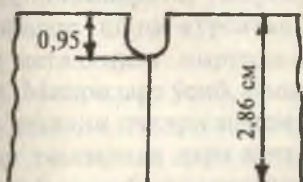
318-расм.

бир қисми ишқаланишга, ҳавонинг қаршилигини енгишга сарфланади. Материалнинг зарб таъсирига қаршилик кўрсата билиш қобилиятини зарбга қовушқоқлик тавсифлари аниқлайди:

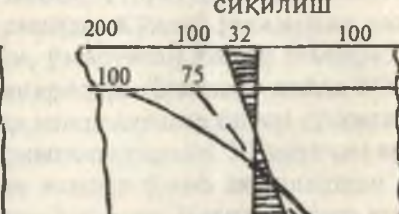
$$a = \frac{W_1}{A} = \frac{W - \Delta W}{A} \quad (12.26)$$

*a* — тавсифлар қанча катта бўлса, материалнинг зарб таъсирига қаршилик кўрсатиш қобилияти шунча яхши бўлади. *a* нинг қиймати тажриба ўтказиш шароитига, на мунали ўлчамларига боғлиқ бўлади. Намунанинг заифлашган кесимида кучланишнинг тарқалиш қонунияти (319-расм) да кўрсатилган:

#### Чўзилиш



a)

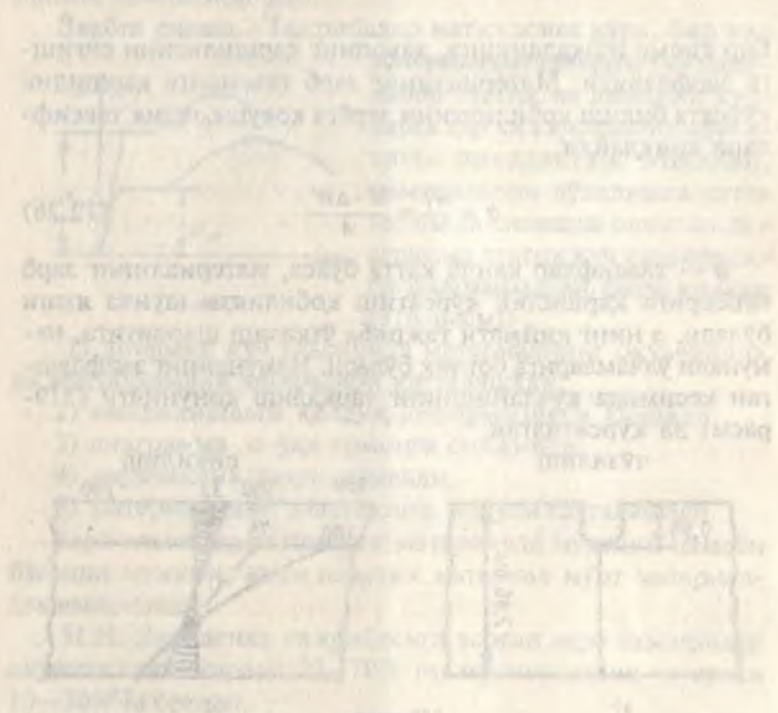


319-расм.

(а) диаграмма намунани каналча бўлмаган пайтдаги кучланиш эпюраси. (б) диаграмма намунани зарб таъсиридан эгилишдаги нормал кучланиш ( $\sigma_1$ ) эпюраси. Пунктир чизиқли эпюра канал ёнида кучланишнинг маҳаллий тўплами ҳосил бўлмаган пайтдаги кучланишнинг тарқалиш қонунияти. Диаграммадан кўринадики, намунанинг баландлигини 0,95 см га камайтирганда, кучланишнинг маҳаллий тўплами 5,22 маротаба катталашар экан.

Каналчанинг асосида жойлашган материал ҳажмий кучланганлык ҳолатида бўлади.  $\sigma_2$  кучланиш намуна ўқига параллел,  $\sigma_1$  перпендикуляр жойлашади. Материал оқувчанлик чегарасидан катта бўлган  $\sigma_1 = 1,25\sigma_2$  пластик деформация олади ва мурт ҳолатда бўлади.

Этот случаев, в которых материал обладает параллельными направлениями упругости и прочности, можно назвать квазианомическими. Для них характерно, что при одинаковых изгибающих напряжениях, действующих вдоль и поперек пластины, она не изгибается. Такие же условия возникают в симметричном изгибе тонких листов из материалов с одинаковой прочностью вдоль и поперек, если изгибающее усилие приложено вдоль листа. При этом изогнутая линия остается прямой. Важно отметить, что в квазианомических случаях напряжение, возникающие в поперечном сечении, не отличаются от напряжений, возникающих в продольном сечении.



При изгибе листа симметричными членами наименее напряженные слои остаются неизмененными, а наименее напряженные слои подвергаются наибольшим деформациям. Важно отметить, что в квазианомических случаях напряжение, возникающие в поперечном сечении, не отличаются от напряжений, возникающих в продольном сечении. Важно отметить, что в квазианомических случаях напряжение, возникающие в поперечном сечении, не отличаются от напряжений, возникающих в продольном сечении.

## XIII БОБ ҮЗГАРУВЧАН КУЧЛАНИШЛАР

Материалларнинг систематик равишдаги қиймати ёки қиймати ва ишорасини үзгартириб турадиган юкларга қаршилиги уларнинг статик ёки зарб таъсирига қаршилигиниң фарқ қиласи. Шунинг учун материалнинг үзгарувчан юклар таъсиридаги мустаҳкамлигини ўрганиш алоҳида аҳамиятга эга. Қиймати жиҳатидан үзгарувчан ва жуда кўп тақрорланадиган юклар таъсирида машиналарнинг қисмлари тасодифан ва сезиларли даражада қолдиқ деформация ҳосил қилмай емирилиши қизиқарли ҳол эди.

Үзгарувчан юклар таъсирида материалларнинг структураси үзгаради, шунинг учун материалда "толиқиши" — "чарчаши" ҳосил булиб, емирилади — пластиклик мўртлик билан алмашади, деган фикр пайдо бўлган эди. XX асрнинг бошларида металларнинг структураси ва механик хоссалари үзгарувчан кучланишлар таъсиридан үзгармас эканлиги исботланади. Масалан, буғ машинанинг штоки ёки поезд вагонининг ўқи узоқ вақтлар үзгарувчан кучланишлар таъсирида ишласа ҳам ўзининг структураси ва пластиклик хоссаларини үзгартирмайди. Кўплаб ўтказилган тажрибалар шуни кўрсатдики, үзгарувчан юклар таъсиридаги металлнинг сиртида микродарз (ёрилиш) пайдо бўлади. Микродарз ўсиб, бошқа микродарзлар билан қўшилади ва детални ичкари томон ривожлантиради. Үзгарувчан юклар таъсирида дарз кетган юзалар ўзаро яқинлашади ва бир-бирига босим таъсирини ўтказади. Натижада дарз юзалари силлиқлашади. Янги ривожланган дарз юзаси эса қўпол ва донадор бўлади. Бу ҳолат мурт емирилишга яқин. Үзгарувчан юклар таъсиридаги емирилишнинг бундай механизми дарз ривожланиши билан деталнинг кесими заифлашиши ва деталнинг мустаҳкамлиги камайиб бораётганлигини тўғри тушунитиради.

Дарз асосидаги материал ҳажмий кучланганлик ҳолати маҳаллий тавсифга эга, чунки дарз ва кучланганлик ҳолати материалнинг ҳамма қисмида ҳам ҳосил бўлмайди.

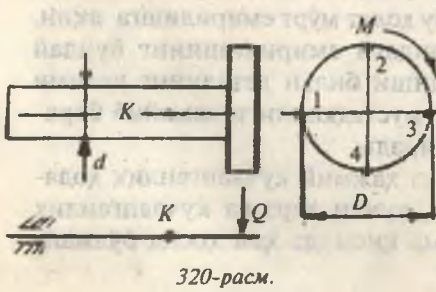
Демак, техника, фан ривожланишининг янги этапида материалларнинг ўзгарувчан юклар таъсирида емирилишига асосий сабаб унинг "толиқиши" — "чарчаши" эмас, балки деталнинг сиртида ҳосил бўлган дарз юзаси экан. Шунинг учун толиқиш деганда материалларнинг аста-секин ривожланадиган микродарзлар таъсиридан емирилиши тушунилади.

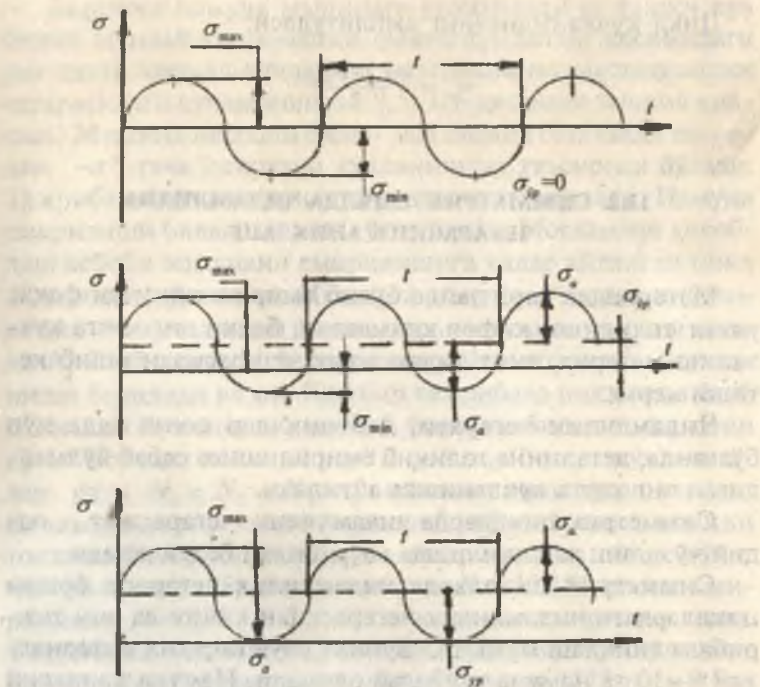
### 13.1. КУЧЛАНИШ ЦИКЛЛАРИНИНГ ТУРЛАРИ

Бир учига шкив ўрнатилган вал сиртига тўғри келадиган кучланиши топайлик. Агар вал шкивнинг оғирлиги  $Q$  таъсиридан эгилади, деб қабул қилсан, валнинг кўндаланг кесим юзасида эгилишдаги нормал кучланишлар ҳосил бўлади. Кесим юзасидан ажратилган 1 ва 3-нуқталар (320-расм) нейтрал ўқ ўстида жойлашади. Шунинг учун бу нуқталарда эгилишдаги нормал кучланиш нолга teng. 2 ва 4-нуқталар вал материалининг чўзиладиган ва сиқиладиган толаларида жойлашган. Бу нуқталардаги нормал кучланишлар ўзаро teng ва қарама-қарши ишоралидир. Агар, валнинг айланишини ҳисобга олсан, вақт оралиғида, яъни маълум даврда ( $T$ ) бу нуқталарнинг ўрни алмашиб туради. Демак,  $K$  нуқтанинг ҳолати 1, 2, 3 ва 4-нуқталар ҳолати билан мос тушиши мумкин экан. Натижада  $K$  нуқтанинг кучланиши вақт оралиғида қийматини ва ишорасини ўзгартиради. Бир давр ичida кучланишининг ўзгаришига кучланиш цикли дейилади. Конструкция қисмларини ишлаш жараёнида кучланишлар циклари жуда

кўп давом этиши мумкин ва турлича бўлади (321-расм). Масалан:

1) Носимметрик ўзгарувчан кучланишлар (308-б, в расм) максимал ва минимал қийматлари teng ва бир хил ишорали ва нолдан бошланадиган циклли





321-расм.

булади. Агар күчланишларни ( $\sigma_{\max} = \sigma_{\min}$ ) максимал ва минимал қийматлари тенг ва бир хил ишорали бўлса, ўзгармас күчланишлар, дейилади. Симметрик цикли ўзгарувчан күчланишларни максимал ва минимал қийматлари бир-бирига тенг ва ҳар хил ишоралидир. Күчланишларнинг ишорасини ҳисобга олганда, минимал күчланиши максимал күчланишга нисбати цикл тавсифи дейилади, яъни:

$$\eta = -\frac{\sigma_{\min}}{\sigma_{\max}} \quad \text{ва} \quad \eta = \frac{\sigma_{\min}}{\sigma_{\max}} \quad (13.1)$$

Циклнинг ўртача күчланиши:

$$\sigma_{yp} = \frac{\sigma_{\max} - \sigma_{\min}}{2} \quad (13.2)$$

Цикл кучланишининг амплитудаси:

$$\sigma_s = \frac{\sigma_{\max} - \sigma_{\min}}{2}$$

### 13.2. СИММЕТРИК ЦИКЛДА ЧИДАМЛИЛИК ЧЕГАРАСИНИ АНИҚЛАШ

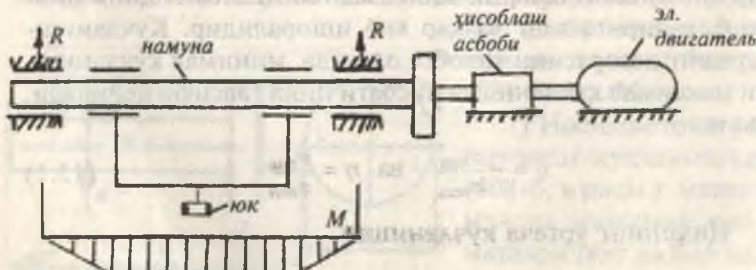
Материалда дарз пайдо булиб емирилиши учун фақат унинг толиқиши кифоя құлмасдан, балки энг катта кучланиш материалнинг чидамлилик чегарасидан ошиб көтиши керак.

Чидамлилик чегараси, деб циклар сони жуда күп бўлганда, деталнинг толиқиб емирилишига сабаб бўлмайдиган энг катта кучланишга айтилади.

Симметрик циклларда чидамлилик чегараси  $\sigma_{-1}$ , оддий чўзилиш ва сиқилишда  $\sigma_{+r}$  билан белгиланади.

Симметрик циклларда чидамлилик чегараси бошқа цикллардаги чидамлилик чегарасидан кичик ва уни тажрибада аниқлаш мумкин. Бунинг учун бир хил материалдан 6—10 та намуна тайёрлаб олинади. Намуна доиравий кесимли бўлиб, шарико-подшипник орқали шундай юкландики, унинг ўрта қисми соф эгилишга ишласин (бу ҳолатда  $\tau = 0$ ). Намуна (2000...3000) айл/мин тезлик билан айланади (322-расм).

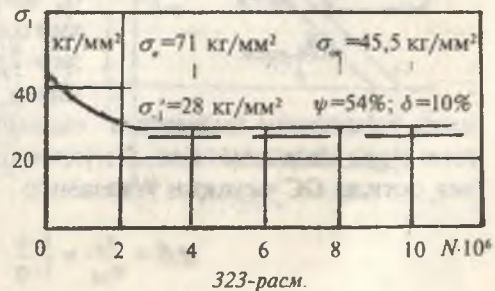
Намунада маҳаллий кучланишлар тўплами ҳосил бўлмаслиги учун уни шакли силлиқ қилиб тайёрланади.



322-расм.

Биринчи намуна машинага ўрнатилади ва ташқи күч билан шундай юкландыки, унинг күндаланг кесимидаги энг катта нормал күчланиш материалнинг мустаҳкамлик чегарасидаги күчланишнинг 0,5...0,6 қисмни ташкил қылсın. Машина ишлаши билан вал айланы бошлайди ва  $-\sigma'$  дан  $-\sigma''$  гача ўзгарувчи күчланишлар таъсирида бўлади. Тажриба намуна смирилгунча давом эттирилади. Намуна смирилиши билан машина тўхтатилади. Мосламани ҳисоблаш асбоби намунани смирилишига қадар айланган цикл  $N_1$  сонини кўрсатади. Иккинчи намуна  $\sigma'$  күчланишдан кичик  $\sigma'$  күчланиши билан юкланди ва смирилиш цикли  $N_2$  ёзib олинади. Учинчи намуна  $\sigma''' < \sigma''$  күчланиши берилади ва ҳ.к. Ҳар бир тажрибада цикл сони ёзib олинади. Күчланиш камайиб бориши билан цикл сони ортиб боради, яъни  $\sigma' > \sigma'' > \sigma''' > \sigma''' > \dots$  күчланишлар учун  $N_1 < N_2 < N_3 < \dots$  цикллар сони тўғри келади. Күчланишларни камайтиравериб шундай цикл сонини топамизки, бу ҳолда намуна смирилмайди. Агар пўлат материалдан тайёрланган намуна  $N = 10 \cdot 10^6$  циклда смирилмаса,  $N = 100 \cdot 10^6 - 200 \cdot 10^6$  циклда ҳам смирилмас экан. Тажриба натижаларини, масалан, хромникелли пўлат материали учун графикда ифодалаш мумкин (323-расм). Бунинг учун ординатага ҳар бир намунада ҳосил қилинган күчланишлари, абсциссада эса цикл сонлари жойлаштирилади.

Эгри чизиққа ўтказилган горизонтал уринманинг ординатаси материалнинг чидамлилик чегарасини аниқлайди. Пўлат материалнинг эгилишдаги чидамлилик чегараси оддий чўзилиш ва сиқилишдаги мустаҳкамлик чегараси билан боғлик:  $\sigma_{-1}^0 = 0,4\sigma_B$ . Ўзгарувчан чўзувчи ёки сиқувчи күч таъсиридаги пўлатни чидамлилик чегараси  $\sigma_{-1}^0$  эгилишдаги чидамлилик чегарасидан

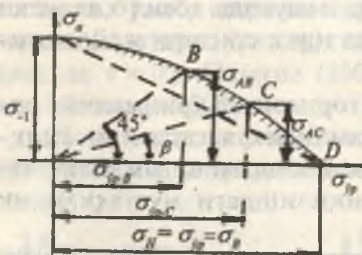


кичик, яъни:  $\sigma_{-1}^0 = 0,7$ ;  $\sigma_{-1}^3 = 0,28 \sigma_B$ , чунки чўзилиш ва сиқилишда кесимининг ҳамма нуқтаси бир хил кучланиш таъсирида бўлади. Эгилишда энг катта кучланиш кесимнинг четки толаларида ҳосил бўлади, қолган материалда кучланишнинг қиймати кичиклашади. Буралишда чидамлилик чегараси:  $\tau_{-1}^\delta = 0,55\sigma_{-1}^3 = 0,22\sigma_B$  ва рангли металлар учун:

$$\sigma_{-1}^3 = (0,24 \dots 0,50)\sigma_B \quad (13.3)$$

### 13.3. НОСИММЕТРИК ЦИКЛДА ЧИДАМЛИЛИК ЧЕГАРАСИНИ АНИҚЛАШ

Носимметрик циклда материалнинг чидамлилик чегарасини аниқлаш бир оз мураккаб. Чунки намунани эгилиши билан бир қаторда уни чўзувчи ва сикувчи куч билан ҳам юклаш керак. Бу ҳолат синов машиналарини мураккаблаштиришга, қўшимча мосламалар тайёрлашга олиб келади. Шунинг учун носимметрик цикларда материални чидамлилик чегарасини аниқлаш учун тажрибалар асосида курилган диаграммадан фойдаланамиз (324-расм). Диаграмманинг абсциссасида ўртача кучланиш  $\sigma$  ва ординатасида кучланишлар амплитудаси  $\sigma_0$  жойлаштирилади. Ҳар хил цикллардаги кучланишлар ёрдамида КВСД эгри чизиқ ўтказилган. Бирорта



324-расм.

цикл тавсифини қийматига чидамлилик чегарасини тошиш учун координатани  $O$  нуқтасидан абсциссага  $\beta$  бурчак остида  $OC$  чизиқни ўтказамиш:

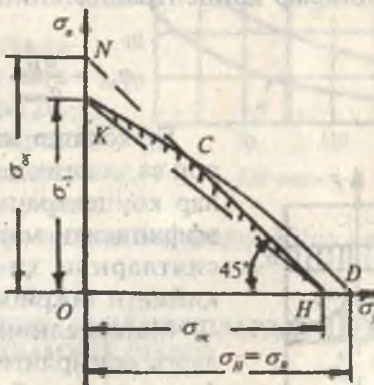
$$\operatorname{tg} \beta = \frac{\sigma_d}{\sigma_{up}} = \frac{1-\eta}{1+\eta} \quad (13.4)$$

$CC_1$  ва  $OC_1$  масофаларни ва тегишли  $\sigma_n$  ва  $\sigma_{max}$  кучланишларнинг йифиндиси чидамлилик чегарасининг қийматини беради, яъни:

$$\sigma_n = \sigma_{max} = \sigma_{oc} + \sigma_{yp}$$

Абсциссаси  $\sigma_{yp} = 0$  бўлган  $K$  нуқтанинг ординатаси  $OK = \sigma_a = \sigma_{-1}$  симметрик циклда чидамлилик чегарасини ординатаси  $\sigma = 0$  бўлган  $D$  нуқтанинг абсциссаси  $OD = \sigma_{yp} = \sigma_{+1} = \sigma_b$  ўзгармас кучланишдаги чидамлилик чегарасини аниқлади.  $\beta = 45^\circ$  бурчак остида жойлашган  $B$  нуқта нолдан бошланадиган циклнинг чидамлилик чегарасини аниқлайдиган оқувчанлик чегараси бўлмаган материаллар учун чидамлилик чегараси, статик юк таъсиридаги мустаҳкамлик чегарасига ўшаган хавфли ҳисобланади. Агаф материал пластик бўлса, статик юк таъсирида оқувчанлик чегараси ва ўзгарувчан кучланишларда чидамлилик чегараси хавфли ҳисобланади. Бундай материалларда толиқиши эмирилиши билан бирга пластик деформациялар пайдо бўлиши ҳам хавфлидир. Бунда циклнинг энг катта кучланиши  $\sigma_{max} = \sigma_a + \sigma_{yp} = \sigma_{ok}$  бўлади.

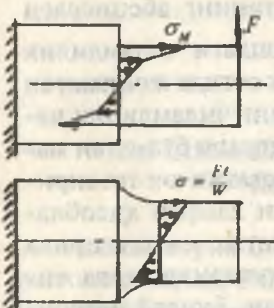
Бурчак билан ўтказилган тўғри чизиқ  $KB$  чизиқни кесиб ўтса, деталь толиқиши эмирилишига учрайди;  $BD$  чизиқни кесиб ўтса, пластик деформация пайдо бўлиши билан ишдан чиқади. Чизиқ статик юкланишда хавфли кучланишни ва  $KBD$  чизиқ ўзгарувчан кучлар таъсиридаги хавфли кучланишни билдиради.



325-расм.

### 13.4. ЧИДАМЛИЛИК ЧЕГАРАСИГА ТАЪСИР ҚИЛУВЧИ ФАКТОРЛАР

Тажрибалар шуни курсатадики, чидамлилик чегарасига кучланишлар концентрацияси, деталнинг ўлчамлари, деталь сиртининг ҳолати, деталнинг технологик ишлов бериш тавсифи таъсир қиласди.



326-расм.

#### а) Кучланишлар концентрацияси.

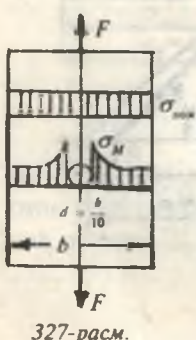
Узунлиги бўйлаб кесими бир жинсли бўлмаган деталларда, кичик диаметрдан катта диаметрга ўтиш жойларида ёки заифлашган кесимларда кучланишларнинг тарқалиш қонунияти ўзгаради ва маҳаллий кучланиш, яъни кучланишлар тўплами ҳосил бўлади:

$$\sigma_M = \alpha_k \frac{Ft}{W} \quad (13.5)$$

Бундай кучланишларга кучланишлар концентрацияси дейилади.

Максимал кучланиши номинал кучланишга нисбати кучланишлар концентрациясининг коэффициенти дейилади:

$$\alpha_{KH} = \frac{\sigma_M}{\sigma_{nom}} \quad (13.6)$$



327-расм.

Бу ҳолатда намуна материали изотроп ва эластик деб қаралади. Кучланишлар концентрациясининг ҳақиқий коэффициенти материалнинг ҳамма хусусиятларини ҳисобга олади ва унинг қиймати тажрибалар асосида топилади.

Материалнинг маҳаллий кучланишларга сезгирлиги —  $q$  юкоридаги коэффициентларга боғлиқ:

$$q = \frac{\alpha_{KH}-1}{\alpha_{KH}-1} \quad (13.7)$$

q нинг қиймати юқори сифатли, термик ишлов берилган леғирланган пұлатда биргача, камулеродли пұлатда 0,5 гача, чүянда нолга яқин бұлади.

Демак, мустаҳкамлик чегараси катта бўлган материалларда q нинг қиймати катта экан. Агар,  $\sigma_{\text{ном}} = \sigma_{-1}$  ва  $\sigma_M = \sigma_{-1K}$  деб қабул қылсақ,  $\alpha_{kg} = \frac{\sigma_{-1}}{\sigma_{-1K}}$  ҳосил бўлади. У ҳолда кучланиш концентрациясининг ҳақиқий коэффициенти чидамлилик чегараси билан боғлиқ бўлади:

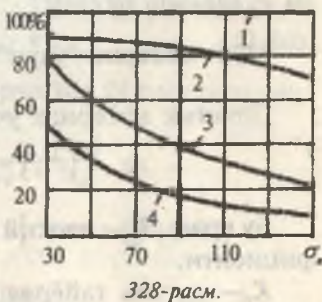
$$\alpha_{kg} = 1 + q(\alpha_{kn} - 1)$$

Пұлат материал учун  $\alpha_{kg} = 1,2 + 0,2 \frac{\sigma_B - 40}{110}$ ; канавкалар, кесимлар ўзгарадиган жойлар бўлса,  $\alpha_{kg} = 1,5 + 1,5 \frac{\sigma - 40}{110}$  формула ишлатилади. Толиқиши смерилишлари кесимлар ўзгарадиган жойларда, нотекисликлар атрофларида бошланади. Бундай ҳолларда деталнинг чидамлилик чегараси камаяди.

#### б) Деталь сиртининг сифати.

1. Сирти жилоланган.
2. Сирти кескич билан ишлов берилган.
3. Прокатлаб олинган сирт.
4. Денгиз сувида коррозияланган.

Деталнинг сирти қанча дағал бўлса, чидамлилик чегараси шунча кичик бўлади. Деталь ишлов берилган сиртда кучланишлар концентрацияси ҳосил бўлади. Шунинг учун деталнинг сиртига маҳсус ишлов берилади. Унда чидамлилик чегараси ортади.



328-расм.

#### 13.5. ЎЗГАРУВЧАН КУЧЛANIШLAPDA MUSTAҲKAMLIK PARTI

Турли цикллардаги хавфли кучланишнинг қиймати 324—325-расмлардаги диаграммалар асосида топилади. Мұрт материаллар учун 324-расмдаги диаграмманиң КД түғри чизигидан ташқарида жойлашган кучланиши хавф-

ли деб олинади. Пластик материаллар учун  $KH$  түгри чизиқдан (325- расм) ташқаридаги кучланиш хавфли деб олинади. Рухсат этилган кучланишни танлаш учун диаграммаларни абсцисса ва ординаталарини мустаҳкамликка боғлиқ камайтириш керак.

Узгармас юқда кучланишнинг рухсат этилган қиймати күйидагича топилади:

$$\text{Пластик материал учун: } [\sigma_{+1}] = \frac{\sigma_{\alpha_k}}{K_{01}} \quad (13.8)$$

$$\text{Мұрт материал учун: } [\sigma_{+1}] = \frac{\sigma_p}{K_{02} \cdot \alpha_{kg}}$$

Бу ерда:  $K_{01}$  — оқувчанлик чегарага нисбатан мустаҳкамликка эхтиётлик коэффициенти.

$K_{02}$  — мустаҳкамлик чегарага нисбатан мустаҳкамликка эхтиётлик коэффициенти.

$\alpha_{kg}$  — кучланишлар концентрациясининг ҳақиқий коэффициенти.

Симметрик циклда чидамлилик чегарасыда ( $\sigma_{-1}$ ) хавфли кучланиш бўлади.

$$\text{Мұрт материал учун: } [\sigma_{-1}] = \frac{\sigma_{-1}}{K_0 \cdot \alpha_{kg} \cdot \alpha_N} \quad (13.9)$$

Пластик материал учун:

$$[\sigma_{-1}] = \frac{\sigma_{-1}}{K_0 \cdot \alpha_{kg} \cdot \alpha_M \cdot K_T \cdot K_s \cdot K_g} \quad (13.9)$$

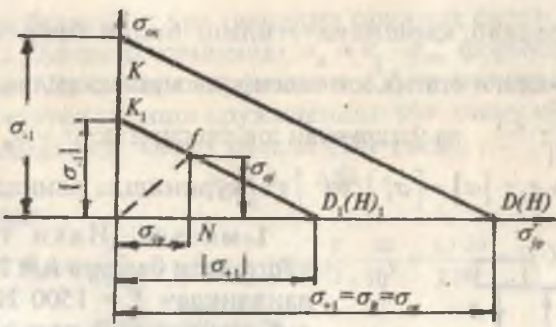
Бу ерда:  $K_0$  — асосий мустаҳкамликка эхгиётлик коэффициенти.

$K_T$  — деталь тайёрлаш технологиясининг кучланишга таъсири.

$K_s$  — детални эксплуатация қилиш шароитининг кучланишга таъсири.

$K_g$  — ўзгарувчан кучланишнинг зарб таъсири билан биргалиқдаги таъсирини ҳисобга олувчи динамик коэффициент.

329-расмда  $\sigma_o = \sigma_{vp}$  координаталарида хавфли кучланишлар чизиги  $KD$  (кн) ва рухсат этилган кучланишлар чизиги  $K_1 D_1$  курсатилган.  $K_1 D_1$  чизиқ  $AK$  ва  $OL_1 = [\sigma_{+1}]$  кучланишлар асосида чизилган.



329-расм.

Үзгарувчан кучланишларнинг турли циклларда рухсат этилган кучланишини аниқлаш учун координата боши  $O$  нуқтадан әбсциссага  $\beta$  бурчак остида түрги чизиқ ўтказамиз ( $\operatorname{tg} \beta = \frac{1-r}{1+r}$ ) ва  $K_D$ , чизиқ билан кесишгунча давом эттирамиз.  $f$  нуқтанинг абсциссаси  $\sigma_{y_{pf}}$  ва ординатасининг йиғиндиси рухсат этилган кучланиши беради:

$$\sigma_{\max f} = [\sigma_n] = \sigma_{y_{pf}} + \sigma_{af} \quad (13.10)$$

$NfD_1$  учбуручагини  $OK_1D_1$  учбуручагига ўхшашлигидан:

$$\frac{OD_1}{ND_1} = \frac{OK_1}{Nf} \text{ ёки } \frac{[\sigma_{+1}]}{[\sigma_{+1}] - \sigma_{y_{pf}}} = \frac{[\sigma_{-1}]}{\sigma_{af}} \text{ ва}$$

$$\sigma_{af} [\sigma_{+1}] + \sigma_{y_{pf}} [\sigma_{-1}] = [\sigma_{+1}] [\sigma_{-1}] \text{ ҳосил бўлади.}$$

$$\text{Лекин } \sigma_{af} = \frac{1-r}{2} \sigma_{\max f} = \frac{1-r}{2} [\sigma_2] \text{ ва}$$

$$\sigma_{y_{pf}} = \frac{1+r}{2} \sigma_{\max f} = \frac{1+r}{2} [\sigma_2]$$

У ҳолда:

$$[\sigma_2] = \frac{2[\sigma_{+1}][\sigma_{-1}]}{(1+r)[\sigma_{-1}] + (1-r)[\sigma_{+1}]} \quad (13.11)$$

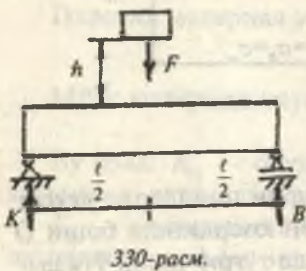
ҳосил бўлади. Мустаҳкамлик шарти қуйидагича ёзилади.

$$\sigma_{\max} \leq [\sigma_r] \quad (13.12)$$

Мураккаб қаршилик-эгилиш билан буралишнинг биргаликдаги статик юк таъсирида мустаҳкамлик шарти:

$$\frac{\sigma^2}{[\sigma]^2} + \frac{\tau^2}{[\tau]^2} \leq 1$$

ва ўзгарувчан юк таъсирида:  $\sigma = \sigma_a + \sigma_{yp}$  ва  $\tau = \tau_{yp} + \tau_a$ ;  $[\sigma] = [\sigma_r']$  ва  $[\tau_r^\delta]$  куринишида олинади.



330-расм.

**1-масала.** Икки таянчли құштаврли балкага  $h = 20$  см ба-ландликдан  $F = 1500$  Н юк ке-либ тушади (330-расм). Балка-нинг эң катта динамик нормал күчланишини топамиз. Ўнг та-янч ўрнини эластик пружина билан алмаштириб биринчи са-волга жавоб берамиз.

Берилган: құштавр  $N-22$ .

$$\ell = 2 \text{ м}; \quad 10^3 \alpha = 30 \frac{\text{м}}{\text{кН}} \quad \text{ёки} \quad \alpha = \frac{30}{10^3}$$

$$E = 2 \cdot 10^8 \frac{\text{kН}}{\text{м}^2}; \quad I_x = 2550 \cdot 10^{-2} \text{ м}^4$$

$$W_x = 232 \cdot 10^{-6} \text{ м}^3$$

**Ечиш.** Балканинг хусусий оғирлигини ҳисобга олмай-миз.  $F$  юк таъсиридан  $K$  ва  $B$  таянчлардаги реакция күчлари  $K = B = \frac{F}{2} = 750$  Н бўлади. Энг катта динамик күчланиш куйидаги формула билан топилади:  $\sigma_g = k_g \cdot \sigma_{cm}$ , бу ерда  $K_g = 1 + \sqrt{1 + \frac{2h}{\Delta_{cm}}}$  динамик коэффициент бўлиб, статик кўчиш  $\Delta_{cm}$  га боғлиқ  $\Delta_{cm} = f_{cm} = \frac{Fe^3}{48EI_x}$  балканинг  $F$  юк статик таъсир қилгандаги тўлиқ кўчиши.

$\sigma_{cm} = \frac{M_{cm}}{W_x} = \frac{Fe}{4W_x}$  — статик юк  $F$  таъсиридаги энг катта нормал күчланиш.

Динамик күчланиш:  $\sigma_l = \left[ 1 + \sqrt{1 + \frac{2h \cdot 48EI_x}{Fe^3}} \right] \cdot \frac{Fe}{4W_x}$   
ёки  $\sigma_d = 0,295 \cdot 10^6 \frac{\text{kН}}{\text{м}^2}$

Энди балканинг ўнг таянчини пружина билан алмаштирамиз. Динамик кучланиш  $\sigma_g = K_g \cdot \sigma_{cm}$  формула билан топилади. Динамик коэффициент  $K_d$  ни аниқлашда балканинг статик күчиши пружинанинг ўнг таянч кучининг деформациясига боғлиқ бўлади (331-расм).

$$\Delta_{ct} = \Delta_b + \Delta \beta \lambda$$

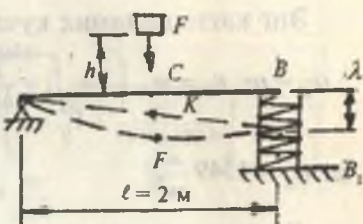
Бу ерда:

$$\Delta_b = f_{cm} = \frac{F\ell^3}{48EI_x}; \quad \lambda = \frac{F}{2} \cdot \alpha = \frac{F}{2} \cdot \frac{30}{10^3} = \frac{1,1 \cdot 30}{2 \cdot 10^3} = 0,0165 \text{ м}$$

пружинанинг  $B$  реакция кучи таъсиридан күчиши.  $\beta$  — пружинанинг деформацияси билан балканинг  $F$  юк таъсиридаги тўлиқ күчиши орасидаги боғланиш.

$$\Delta BB_1 K \approx \Delta CKK \quad \text{ўхшаш-}$$

$$\text{ликдан } CK = \frac{BB_1}{2} = \frac{\lambda}{2} = \beta \lambda \quad \text{ва}$$



331-расм.

$$f_{cm} = \frac{F\ell^3}{48EI_x} = \frac{1,5 \cdot 8}{48 \cdot 2 \cdot 10^8 \cdot 2550 \cdot 10^{-8}} = 4,9 \cdot 10^{-5} \text{ м}$$

ҳосил бўлади. Демак,  $\beta = 0,5$

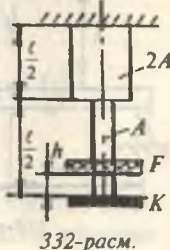
Натижада  $\Delta_{cm} = 4,9 \cdot 10^{-5} + 0,5 \cdot 0,0165 = 8,299 \cdot 10^{-5} \text{ м}$   
ҳосил бўлади.

$$\text{Динамик коэффициент: } K_g = 1 + \sqrt{1 + \frac{2 \cdot 0,2}{8,299 \cdot 10^{-5}}} \approx 8 \quad \text{ва}$$

$$\text{куchlаниш: } \sigma_g = K_g \frac{F\ell}{4W_x} = 8 \cdot \frac{1,5 \cdot 2}{4 \cdot 232 \cdot 10^{-6}} = 0,0258 \cdot 10^6 \text{ кН}$$

**2-масала.** Погонали бруснинг  $K$  нуктаси  $h = 5 \text{ мм}$  баландликдан тушаётган  $Q = 400 \text{ кг}$  юк таъсирида зарбга учрайди.

Бруснинг узунлиги  $l = 5 \text{ м}$ , кўндаланг кесим юзаси  $A = 2 \text{ см}^2$ , пўлат материалдан. Энг катта нормал кучланиш топилсин. Агар  $K$  элементга зарб таъсирини юмшатувчи цилиндрик пружина ўрнатилса,



332-расм.

кучланишни топинг. 1 кг статик юк таъсирида пружина  $4 \cdot 10^{-3}$  мм сиқилади.

Ечиш. Погонали бруснинг статик куч таъсиридаги узайишни ва нормал кучланишини топамиз, статик узайиш:

$$\delta_{cn} = \Delta\ell_{cn} = \frac{F \frac{\ell}{2}}{EA} + \frac{F \frac{\ell}{2}}{E2A} = \frac{3F\ell}{4EA}$$

ва кучланиш:  $\sigma_{cm} = \frac{F}{A} = \frac{400}{2} = 200 \frac{\text{кг}}{\text{см}^2}$

Энг катта динамик кучланишни топамиз:

$$\sigma_g = \sigma_{cm} K_g = \sigma_{cm} \left( 1 + \sqrt{1 + \frac{2h}{\Delta\ell_{cm}}} \right) = 200 \left( 1 + \sqrt{1 + \frac{2 \cdot 0,06 \cdot 16 \cdot 10^6}{3 \cdot 400 \cdot 500}} \right)$$

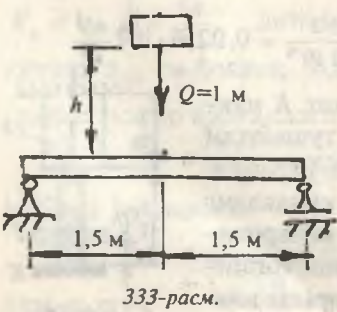
ва  $\sigma_g = 1349 \frac{\text{кг}}{\text{см}^2}$

К элементга цилиндрик пружина ўрнатилганда,  $\delta_{cm}$  статик деформация погонали бруснинг ва пружинанинг сиқилишига тенг бўлади, яъни:

$$\begin{aligned} \delta_{cm} &= \Delta\ell_{cm} + \lambda_{cm} = \frac{3F\ell}{4EA} + F \cdot 4 \cdot 10^{-4} = \\ &= \frac{3 \cdot 400 \cdot 500}{4 \cdot 2 \cdot 10^6 \cdot 2} + 400 \cdot 4 \cdot 10^{-4} = 0,1975 \text{ см} \end{aligned}$$

Унда динамик кучланиш:

$$\sigma_g = 200 \left( 1 + \sqrt{1 + \frac{2 \cdot 0,6}{0,1975}} \right) = 732 \frac{\text{кг}}{\text{см}^2}$$



**3-масала.** N-24 профилли балка иккита шарнирли таянчга таянади. Юк балканинг ўрта қисмига 50 см/сек тезлик билан келиб зарб таъсир қиласди. Энг катта кучланишни топинг.

Ечиш. N-24 қўштаврли кесимнинг айрим геометрик тавсифларини ёзиб оламиз.

$$I_x = 3460 \text{ см}^4$$

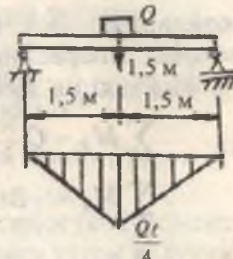
$$W_x = 289 \text{ см}^3; A = 34,8 \text{ см}^2$$

Статик күчланишни топамиз:

$$\sigma_{cm} = \frac{M}{W_x} = \frac{Q\ell}{4W} = \frac{1000 \cdot 300}{4 \cdot 289} = 259,5 \frac{\text{kN}}{\text{cm}^2}$$

Балканинг энг катта салқилигини топамиз:

$$f_{cm} = \frac{Q\ell^3}{48EI} = \frac{1000 \cdot (300)^3}{48 \cdot 2 \cdot 10^6 \cdot 3460} = 0,0813 \text{ см}$$



334-расм.

Динамик күчланишни топамиз:

$$\sigma_g = \sigma_{cm} \left( 1 + \sqrt{1 + \frac{V^2}{g f_{cm}}} \right) = 259,5 \left( 1 + \sqrt{1 + \frac{50^2}{981 \cdot 0,0813}} \right)$$

$$\text{ва } \sigma_g = 259,5 \cdot 6,69 = 1735,4 \frac{\text{kN}}{\text{cm}^2}$$

Динамик деформация:

$$f_g = f_{cm} K_g = 0,0813 \cdot 6,69 = 0,544 \text{ см}$$

**4-масала.** Бир минутда  $n$  маротаба айланма ҳаракат қилаётган, оғирлиги  $Q$  бўлгандвигатель иккита қўштаврли балкага ўрнатилган. Двигателнинг айланма ҳаракат қилаётган қисмлариниң марказдан қочма кучи  $H=10kN$ ;  $Q=30kN$ .

- 1) эркин тебраниш частотаси —  $\omega_0$ ;
- 2) уйғотувчи куч ўзгаришининг частотаси —  $\omega$
- 3) тебранишнинг ўсиш коэффициенти —  $\beta$
- 4) динамик коэффициент —  $K_g$  ва
- 5) энг катта күчланиш қийматлари топилсин.

Берилган қўштавр:  $N=40$

$$n = 200 \frac{\text{об}}{\text{мин}}; I_x = 19062 \cdot 10^{-8} \text{ м}^4, E = 2 \cdot 10^8 \frac{\text{kN}}{\text{м}^2}$$

$$W_x = 953 \cdot 10^{-6} \text{ м}^3$$

**Ечиш.** Берилган схемадан асосий схемани танлаб оламиз. Бунинг учун  $Q$  юкнинг ўрнига  $P=1$  бирлик кучини

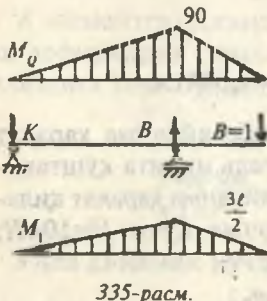
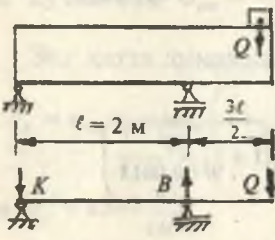
жойлаштирамиз.  $Q$  юк таъсиридан ҳосил бўлган эгувчи момент эпюрасини қурамиз:

a) Реакция кучларини топамиз:

$$\sum M_B = Q \frac{3\ell}{2} - K\ell = 0; \quad K = \frac{3Q}{2} = \frac{3}{2} \cdot 30 = 45 \text{ kH}$$

$$\sum M_A = -B\ell + Q\left(\frac{3\ell}{2} + \ell\right) = 0 \quad B = \frac{5}{2}Q = 75 \text{ kH}$$

б) Эгувчи момент  $M_Q$  ни то-



памиз:

$$0 < x_1 < 2 \text{ м}; \quad M_Q = -K \cdot x_1$$

$x_1 = 0$  бўлса,  $M_Q = 0$  ва  $x_1 = 2 \text{ м}$

бўлса,  $M_Q = -90 \text{ kNm}$

$$0 < x_2 < \frac{3\ell}{2} = 3 \text{ м} \quad M_Q = -Q \cdot x_2$$

$x_2 = 0$  бўлса,  $M_Q = 0$  ва  $x_2 = 3 \text{ м}$

бўлса,  $M_Q = -90 \text{ kNm}$

Бирлик куч Р-1 таъсиридан ҳосил бўлган эгувчи момент  $M_p$  эпюрасини қурамиз (335-расм).

a) Реакция кучини топамиз:

$$\sum M_B = P \frac{3\ell}{2} - K\ell = 0 \text{ ёки}$$

$$K = \frac{3}{2}P = 1,5 \text{ kH} \text{ ва}$$

$$\sum M_A = P \frac{5\ell}{2} - B\ell = 0 \text{ ёки } B = \frac{5}{2}P = 2,5 \text{ kH}$$

б) Эгувчи момент  $M_p$  ни топамиз:  $0 \leq x_1 \leq \ell \quad M_p = -K \cdot x_1$

$x_1 = 0$  бўлса,  $M_p = 0$  ва  $x_1 = \ell$  бўлса,  $M_p = -\frac{3\ell}{2}$

$$0 \leq x_1 \leq \frac{3\ell}{2} \quad M_p = -P \cdot x_1$$

$x_1 = 0$  бўлса,  $M_p = 0$  ва  $x_1 = \frac{3\ell}{2}$  бўлса,  $M_p = -\frac{3\ell}{2}$

Q юк ўрнатилган нүктанинг күчишини топамиз:

$$\Delta = \frac{\omega \cdot M_p^0}{EI} = \frac{\frac{1}{2} \cdot 90 \left( \ell + \frac{3\ell}{2} \right) \frac{3\ell}{2}}{EI} = \frac{1350 \ell^2}{8EI} = \frac{1340 \cdot 4}{8 \cdot 2 \cdot 10^8 \cdot 19062 \cdot 16^{-8}} = 0,0177 \text{ м}$$

$\omega$  — ташқи күч  $Q$ дан қурилган эгувчи момент  $M$  нинг юзаси.

$M_p^0$  — ташқи күч  $Q$  таъсиридан қурилган эгувчи момент  $M$ , эпюраси юзасининг оғирлик марказига түғри келувчи бирлик күч моменти  $M_p$  эпюрасининг ординатаси.

Эркин тебраниш частотасини топамиз:

$$\omega_0 = \sqrt{\frac{E}{\Delta}} = \sqrt{\frac{9,81}{0,0177}} = 23,54 \frac{1}{\text{сек}}$$

Үйғотувчи күч ўзгаришининг частотаси:

$$\omega = 2\pi \frac{n}{60} = \frac{\pi \cdot n}{30} = \frac{3,14 \cdot 200}{30} = 20,9 \frac{1}{\text{сек}}$$

Тебранишнинг ўсиш коэффициенти:

$$\beta = \frac{1}{1 - \left( \frac{\omega}{\omega_0} \right)^2} = \frac{1}{1 - \left( \frac{20,9}{23,54} \right)^2} = 4,717$$

$\beta$  қиймати манфий ишора билан чиқса, кейинги ҳисоблашларда  $|\beta|$  олиниши керак. Динамик коэффициентни топамиз:

$$K_g = 1 + \frac{f_H}{f_a} \beta = 1 + \frac{H}{Q} |\beta| = 1 + \frac{10}{30} 4,717 = 2,57$$

Энг катта нормал күчланишини топамиз:

$$\sigma_g = K_g \sigma_{CT} = K_g \cdot \frac{M}{W_z} = 2,67 \frac{9}{953 \cdot 10^{-6}} = 0,2427 \cdot 10^6 \frac{\text{kН}}{\text{м}^2}$$

**5-масала.** СДЕ ва КТИ синиқ стерженлар билан БК валик БВ ўқ атрофида ўзгармас бурчак тезлик билан айланади (336-расм). СД ва КИ вертикал ҳамда ДЕ ва ИТ горизонтал участкаларида ҳосил бўлган инерция кучлари таъсиридаги эгувчи момент эпюраси қурилсин:  $[\sigma] = 100 \text{ мПа}$  шартни бажарадиган валикни бир минутдаги айланышлар сонини рухсат этилган қиймати топилсин. Валикнинг диаметри  $d = 0 \text{ мм}$ .

**Ечиш.** Инерция кучининг интенсивлиги  $g_i$ , синиқ стерженнинг  $CD$  ва  $KI$  оралиқларида түғри чизикли қонуният билан ўзгаради:  $K$  ва  $C$  нүктада  $g_i = 0$ ;  $D$  ва  $I$  нүкталарда  $q_i = \frac{\gamma A \omega^2}{g} \ell$  га тенг. Стерженнинг горизонтал  $DE$  ва  $IT$  оралиқларида кучининг интенсивлиги ўзгармас ва тенг таралган:  $q_i = \frac{\gamma A \omega^2}{g} \ell$ .

Системанинг таянч кучларини топамиз:

$$\sum M_A = 0 \text{ ёки } q_i 2\ell \frac{2\ell}{2} + q_i 2\ell \left( \frac{2\ell}{\ell} + 3\ell \right) + \frac{1}{2} q_i \ell \cdot 5\ell - B \cdot 3\ell = 0$$

$$\text{Бу ерда: } B = \frac{25}{6} \cdot \frac{\gamma A \omega^2 \ell^2}{g}$$

$$\sum M_B = 0$$

$$B \cdot 3\ell - q_i \cdot 2 \cdot \ell \left( \frac{2\ell}{2} + \ell \right) - \frac{1}{2} q_i \ell \cdot 2\ell + q_i 2\ell \frac{2\ell}{2} + \frac{1}{2} q_i \ell \cdot \ell = 0$$

$$B = \frac{5}{6} \cdot \frac{\gamma A \omega^2 \ell^2}{g}$$

$$\text{Текшириш: } \sum y = 0 \text{ ёки } B + B - q_i 2\ell - \frac{1}{2} q_i \ell - \frac{q_i \ell}{2} - q_i 2\ell = 0$$

$$\begin{aligned} & \frac{5}{6} \cdot \frac{\gamma A \omega^2 \ell^2}{g} + \frac{25}{6} \cdot \frac{\gamma A \omega^2 \ell^2}{g} - \frac{\gamma A \omega^2 2\ell^2}{g} - \frac{\gamma A \omega^2 \ell^2}{2g} - \frac{\gamma A \omega^2 \ell^2}{2g} - \\ & - \frac{\gamma A \omega^2 2\ell^2}{g} = 0; \quad \frac{30}{6} \cdot \frac{\gamma A \omega^2 \ell^2}{g} - \frac{30}{6} \cdot \frac{\gamma A \omega^2 \ell^2}{g} = 0 \end{aligned}$$

Эгувчи момент қийматларини топамиз: **I—I қирқим.**

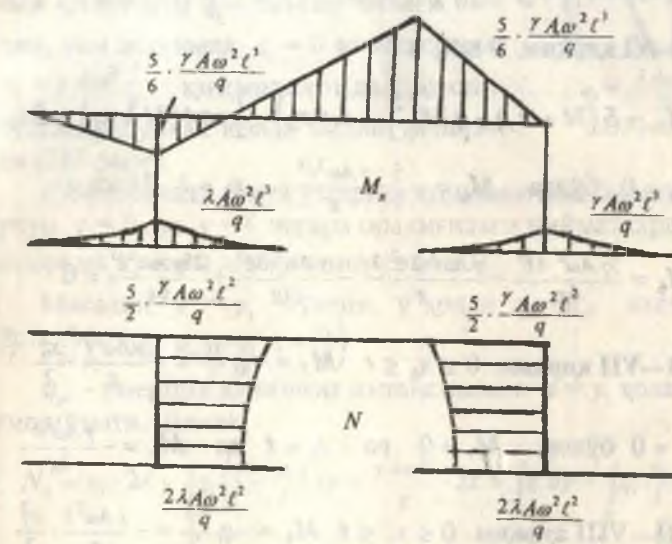
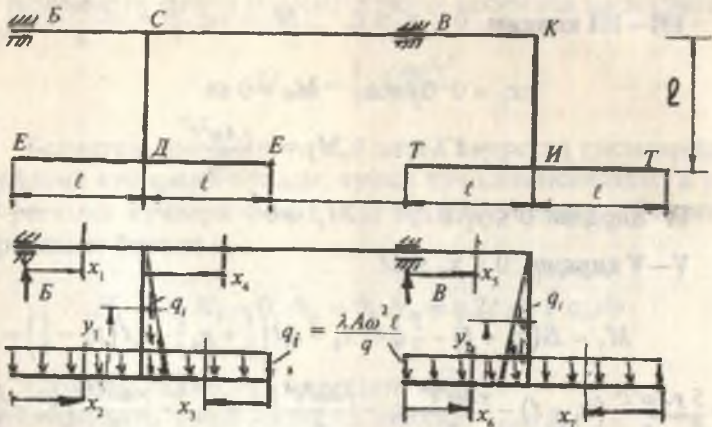
$$0 \leq x_1 \leq \ell \quad M_1 = B x_1 = \frac{5}{6} \cdot \frac{\gamma A \omega^2 \ell^2}{g} \cdot x_1$$

$$x_1 = 0; \quad M_1 = 0 \quad \text{ва} \quad x_1 = \ell; \quad M_1 = \frac{5}{6} \cdot \frac{\gamma A \omega^2 \ell^3}{g}$$

$$\text{II-II қирқим. } 0 \leq x_2 \leq \ell \quad M_2 = q_i \frac{x^2}{2} = -\frac{\gamma A \omega^2 \ell^2}{g} \cdot \frac{x_2^2}{2}$$

$$x_2 = 0 \text{ бўлса; } M_2 = 0 \text{ ва}$$

$$x_2 = \ell \quad \text{да} \quad M_2 = -\frac{\gamma A \omega^2 \ell^3}{2g}$$



336-расм.

$$\text{III—III қирқим. } 0 \leq x_3 \leq \ell; \quad M_3 = -q_i \frac{x_3^2}{2} = -\frac{\gamma A \omega^2 \ell}{g} \cdot \frac{x_3^2}{2}$$

$x_3 = 0$  бўлса,  $M_3 = 0$  ва

$$x_3 = \ell \quad \text{да} \quad M_3 = -\frac{\gamma A \omega^2 \ell^3}{2g}$$

$$\text{IV қирқим. } 0 \leq y_1 \leq \ell; \quad M_4 = 0$$

$$\text{V—V қирқим. } 0 \leq x_4 \leq 2\ell$$

$$\begin{aligned} M_5 &= B(x_4 + \ell) - \frac{1}{2} q_i \ell \cdot x_4 - q_i \ell \left( \frac{\ell}{2} + x_4 \right) - q_i \ell \left( x_4 - \frac{\ell}{2} \right) = \\ &= \frac{5}{6} \frac{\gamma A \omega^2 \ell^2}{g} (x_4 + \ell) - \frac{\gamma A \omega^2 \ell^2}{g} x_4 - \frac{\gamma A \omega^2 \ell^2}{g} \left( \frac{\ell}{2} + x_4 \right) - \frac{\gamma A \omega^2 \ell^2}{g} \left( x_4 - \frac{\ell}{2} \right) \end{aligned}$$

$$x_4 = 0 \text{ бўлса, } M_5 = \frac{5}{6} \cdot \frac{\gamma A \omega^2 \ell^3}{g}; \quad x_4 = 2\ell \text{ бўлса, } M_5 = -\frac{5}{2} \cdot \frac{\gamma A \omega^2 \ell^3}{g}$$

$$\text{VI—VI қирқим. } 0 \leq x_5 \leq \ell$$

$$M_6 = B(3\ell + x_5) - q_i 2\ell \left( \frac{2\ell}{2} + \ell + x_5 \right) - \frac{1}{2} \cdot q_i \ell (2\ell + x_5) + Bx_5$$

$$x_5 = 0 \text{ бўлса, } M_6 = -\frac{5}{2} \cdot \frac{\gamma A \omega^2 \ell^3}{g}; \quad x_5 = \ell \text{ бўлса, }$$

$$M_6 = \frac{5\gamma A \omega^2 \cdot 4\ell^3}{6g} - \frac{\gamma A \omega^2 \cdot 2\ell^2 \cdot 3\ell}{g} - \frac{\gamma A \omega^2 \cdot 3\ell^3}{2g} + \frac{25\gamma A \omega^2 \ell^3}{6g} = 0$$

$$\text{VII—VII қирқим. } 0 \leq x_6 \leq \ell \quad M_7 = -q_i \frac{x_6^2}{2} = -\frac{\gamma A \omega^2 \ell}{g} \cdot \frac{x_6^2}{2}$$

$$x_6 = 0 \text{ бўлса, } M_7 = 0 \text{ ва } x_6 = \ell \text{ да } M_7 = -\frac{\gamma A \omega^2 \ell^3}{2g}$$

$$\text{VIII—VIII қирқим. } 0 \leq x_7 \leq \ell \quad M_8 = -q_i \frac{x_7^2}{2} = -\frac{\gamma A \omega^2 \ell}{g} \cdot \frac{x_7^2}{2}$$

$$x_7 = 0 \text{ бўлса, } M_8 = 0 \text{ ва } x_7 = \ell \text{ да } M_8 = -\frac{\gamma A \omega^2 \ell^3}{2g}$$

$$\text{IX—IX қирқим. } M_9 = 0$$

Энг катта эгувчи момент  $B$  таянч кесимида ҳосил бўлади.

$$M_{\max} = \frac{5}{2} \cdot \frac{\gamma A \omega^2 \ell^3}{g}$$

Берилган системанинг  $СД$  ва  $ИК$  вертикал қисмларида бўйлама куч ҳосил бўлади, чунки куч интенсивлиги,  $B$  ва  $B$  реакция кучлари фақат  $СД$  ва  $ИК$  стержень ўқларига проекция беради.

$$N_1 = 0; N_2 = 0; N_3 = 0; N_4 = q_i 2\ell + \int_0^{y_1} q_{yi} dy$$

$СД$  узунликда  $q_i$  — инерция кучи интенсивлиги тўғри чизиқли қонуният билан ўзгаради. Шунинг учун инерция кучи интенсивлигининг тенг таъсири қилувчиси  $q_i$  — таъсири чизиги билан, уни минимал  $q_i = 0$  ва максимал  $q_i = \gamma A \omega^2 \frac{\ell}{g}$  қийматларидан ҳосил бўлган учбурчак юзаси билан ўлчана-ди (337-расм).

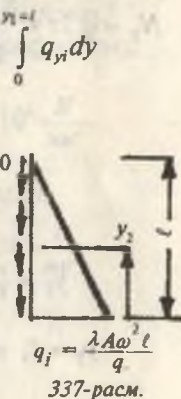
$СД$  участкада  $N$  куч ўзгариш қонуниятини билишимиз учун  $y = 0$  ва  $y = \ell$  чегара оралиғидаги қийматларда ҳам инерция кучини аниқлашимиз лозим.

Масалан,  $y = y_1$  бўлсин, у ҳолда  $q_i = q_{yi}$ , схемадан

$$\frac{q_i}{\ell} = \frac{q_{yi}}{\ell - y_1} \text{ ёки } q_{yi} = q_i \left(1 - \frac{y_1}{\ell}\right)$$

$q_{yi}$  — инерция кучининг интенсивлиги  $y = y_1$  ҳолатидаги қиймати. Демак,

$$\begin{aligned} N_4 &= q_i \cdot 2\ell + \int_0^{\ell} q_i \left(1 - \frac{y_1}{\ell}\right) dy = \frac{\gamma A \omega^2 \ell}{g} \cdot 2\ell + \int_0^{\ell} q_i dy - \int_0^{\ell} q_i \frac{y_1}{\ell} dy = \\ &= \frac{\gamma A \omega^2 \ell}{g} \cdot 2\ell + \frac{\gamma A \omega^2 \ell}{g} \cdot y_1 \left| - \frac{\gamma A \omega^2 \ell}{g} \cdot \frac{y_1^2}{2\ell} \right| \end{aligned}$$



337-расм.

$$y_1 = 0 \text{ бўлса, } N_4 = \frac{\gamma A \omega^2 2\ell^2}{g}$$

$$y_1 = \frac{\ell}{2}; \quad N_4 = \frac{19}{8} \cdot \frac{\gamma A \omega^2 \ell^2}{g}; \quad y_1 = \ell; \quad N_4 = \frac{5}{2} \cdot \frac{\gamma A \omega^2 \ell^2}{g}$$

$$N_5 = 0; N_6 = 0; N_7 = 0; N_8 = 0$$

$$0 \leq y_2 \leq \ell$$

$$N_9 = q_i 2\ell + \int_0^{y_2=\ell} q_{iy} dy = q_i \cdot 2\ell + \int_0^{\ell} q_i \left(1 - \frac{y_2}{\ell}\right) dy = \frac{\gamma A \omega^2 \ell}{g} 2\ell + \\ + \frac{\gamma A \omega^2 \ell \cdot y_2}{g} - \frac{\gamma A \omega^2 \ell}{g} \cdot \frac{y_2^2}{2\ell}$$

$$y_2 = 0 \text{ бўлса, } N_9 = \frac{\gamma A \omega^2 \ell^2}{g}$$

$$y_2 = \frac{\ell}{2}; \quad N_9 = \frac{19}{8} \cdot \frac{\gamma A \omega^2 \ell^2}{g}$$

$$y_2 = \ell; \quad N_9 = \frac{5}{2} \cdot \frac{\gamma A \omega^2 \ell^2}{g}; \quad N_{\max} = \frac{5}{2} \cdot \frac{\gamma A \omega^2 \ell^2}{g}$$

Системанинг хавфли кесими учун қуидаги шарт ба-  
жарилиши керак:

$$\sigma_{\max} = \frac{N_{\max}}{A} + \frac{M_{\max}}{W} = \frac{N_{\max}}{A} + \frac{32 \cdot M}{\pi d^3} \leq [\sigma] \text{ ёки}$$

$$\frac{5\gamma A \omega^2 \ell^2}{2Ag} + \frac{32 \cdot 5\gamma A \omega^2 \cdot \ell^2}{2\pi d^3 g} \leq [\sigma]; \quad \frac{5\gamma A \omega^2 \ell^2}{2g} + \frac{8 \cdot 5\gamma A \omega^2 \cdot \ell^3}{2dg} = [\sigma]$$

Бу ерда:

$$\omega_p = \omega = \sqrt{\frac{[\sigma]}{\frac{5\gamma \ell^2}{2g} + \frac{20\gamma \ell^3}{dg}}} = \sqrt{\frac{100 \cdot 10^3}{\frac{5 \cdot 78 \cdot 0,25}{2 \cdot 9,81} + \frac{20 \cdot 78 \cdot 0,125}{9,81 \cdot 0,02}}} = 10 \frac{1}{\text{сек}}$$

Бир минутда валикнинг айланиш сони:

$$n = \frac{60 \cdot \omega_p}{2\pi} = \frac{60 \cdot \omega_p}{2 \cdot 3,14} = 95,54$$

**6-масала.** Мустаҳкамлик чегараси  $\sigma_b = 600 \text{ мПа}$ ; оқувчанлик чегараси  $\sigma_T = 300 \text{ мПа}$ ; пұлатдан тайёрланған, диаметри  $d = 50 \text{ мм}$  бүлгән вални хавфли кесимда  $M_\delta = 320 \text{ Нм}$  буровчи ва  $M_s = 320 \text{ Нм}$  әгувчи моментлар таъсир қиласы.

Әгилишдаги нормал күчланишнинг симметрик циклдаги: буралишдаги уринма күчланишнинг тепкили (пульсирующий) циклдаги күчланишга тенг деб қаралиб, хавфли кесим учун әхтиётлик коэффициенти топилсін.

Ечиш. Энг катта нормал күчланишни аниқлаймиз:

$$\sigma_{\max} = \frac{M_s}{W} = \frac{32M_s}{\pi d^3} = \frac{32 \cdot 320 \cdot 10^3}{3,14 \cdot (50)^3} = 0,026 \cdot 10^3 \frac{\text{Н}}{\text{мм}^2}.$$

Энг катта уринма күчланишни аниқлаймиз:

$$\tau_{\max} = \frac{M_\delta}{W} = \frac{16 \cdot M_\delta}{\pi d^3} = \frac{16 \cdot 320 \cdot 10^3}{3,14 \cdot (50)^3} = 0,013 \cdot 10^3 \frac{\text{Н}}{\text{мм}^2}$$

Буралишда оқувчанлик чегараси:

$$\tau_{-1} = 0,25\sigma_T = 0,25 \cdot 300 = 75 \text{ мПа}$$

Чидамлилик (бардош бериш) чегараси:

Буралишда:  $\sigma_{-1} = 0,25\sigma_b = 0,25 \cdot 600 = 150 \text{ мПа}$

Әгилишда:  $\sigma_{-1} = 0,43\sigma_b = 0,43 \cdot 600 = 258 \text{ мПа}$

Күчланишлар концентрацияси:

$$K = 1,2 + 0,2 \frac{\sigma_b - 40}{110} = 1,2 + 0,2 \frac{600 - 40}{110} = 2,2$$

Масштаб коэффициенти:

$$\beta_m = 1,2 + 0,1(d - 3) = 1,2 + 0,1(5 - 3) = 1,67$$

С ва  $\tau$  бүйіча әхтиётлик коэффициенти:

$$n_\sigma = \frac{\sigma_{-1}}{\sigma_{\max}} = \frac{\sigma_{-1}}{k \beta_m \cdot \sigma_{\max}} = \frac{250}{2,2 \cdot 1,67 \cdot 26} = 2$$

$$n_\tau = \frac{\sigma_{\max}}{2} = \frac{13}{2} = 6,5$$

Чарчастан емирилишдаги ва оқувчанликнинг бошлашидаги умумий әхтиётлик коэффициентларини топамиз:

$$n_{r_0} = \frac{r_{-1}}{k \cdot n_r + \beta_m n_r} = \frac{75}{2,2 \cdot 6,5 + 1,67 \cdot 6,5} = 2,9$$

$$k_{TM} = \beta_m \cdot \kappa = 1,67 \cdot 2,2 = 3,674$$

Буралишдаги оқувчанликка эҳтиётлик коэффициенти:

$$n_r^* = \frac{n_T}{r_{\max}} = \frac{75}{13} = 5,77$$

Мустаҳкамликнинг умумий эҳтиётлик коэффициенти:

$$n = \frac{n_\sigma \cdot n_r^*}{\sqrt{n_\sigma^2 + (n_r^*)^2}} = \frac{2,7 \cdot 5,77}{\sqrt{(2,7)^2 + (5,77)^2}} = 2,99$$

Чарчашдан ёмирилишга эҳтиётлик коэффициенти:

$$n = \frac{n_\sigma \cdot k_{TM}}{\sqrt{n_\sigma^2 + K^2 TM}} = \frac{2,7 \cdot 3,674}{\sqrt{(2,7)^2 + (3,674)^2}} = 2,17$$

## XIV БОБ

### ДЕФОРМАЦИЯ ВА КУЧЛАНИШЛАРНИ ЭКСПЕРИМЕНТАЛ ТЕКШИРИШ

Экспериментал текширишнинг аҳамияти ва принципи [3]. Машина ва иншоот қисмларида ҳосил бўладиган ҳар қандай куч, кучланиш ва деформацияларнинг ҳаммасини ҳам назарий усул билан ҳисоблаб бўлмайди. Айниқса, ташки кучларнинг симметрия текислиги бўйлаб таъсир этмаслиги, вақтга нисбатан ўзгарувчанлиги, ички кучларнинг концентрацияланиши натижасида ҳосил бўлган деформация ва кучланишларнинг ўзгарувчанлиги уларни аниқлашни қийинлаштиради. Шунинг учун ҳам машина ва иншоот қисмларининг мустаҳкамлик тавсифларини аниқлашда ҳозирги замон экспериментал текшириш усулларидан кенг фойдаланиш зарурияти келиб чиқади.

Экспериментал текшириш машина қисмларининг, бир томондан, техник талабларга жавоб берини (иш нормасини, маҳсулотнинг сифатини, техник қаров ва бошқаларни) аниқласа, иккинчи томондан, унинг конструкциясини — бўғин бўлакларининг ўлчамларини ва ортиқча оғир бўлмаслигини, улардаги ҳақиқий кучланишни, деформацияни ва материални тўғри танлашни ўргатади.

Одатда, машина ва иншоот қурилмалари бирданига ясалмай, бир қанча ўзгартиришлар киритиш натижасида яратилади. Ўзгартиришлар эса, экспериментал текширишнинг маҳсулидир. Экспериментал текшириш ўзгартиришлар киритиш билан бир қаторда назарий ҳисоблаш усулларини аниқлади ва бойитиб боради. Экспериментал текшириш натижасида машина бўлакларининг мустаҳкамлиги —  $\{\sigma\}$  ва  $[\tau]$  бир неча марта оширилиб, эҳтиётлик коэффициенти —  $[n]$  камайтирилади. Натижада машиналарнинг конструкция қисмларини бир неча марта енгиллаштириш ва арzon материал қўллаш мумкинлигини аниқлади. Бу билан машиналарнинг иш қобилиятлари камаймайди, балки уларни ҳаракатга келтирадиган энергия сарфлари камайтирилади ва маблағ тежаб қолинади.

Мураккаб кучланиш ва динамик юклама таъсиридаги машина қисмларининг мустаҳкамлигини текшириш ва таъминлашда экспериментал текшириш жуда катта аҳамиятга эга бўлади.

Механик текширишлар махсус синаш машиналарида универсал узувчи машиналар, буралишга синаш машиналари ва бошқалар ҳамда асблолар: стрелкали индикатор, тензорометр ва бошқаларда бажарилади. Бундай усулда текширишда материалдан махсус намуна тайёрланади. Бу усул материалнинг умумий мустаҳкамлик, эластиклик тавсифларини аниқлашда қўлланилади.

Материалларни, яъни ишлаб турган машина қисмларини дала шароитида ҳамда ишлаб чиқариш корхоналарида ишдан чиқиш сабабларини аниқлашда юқоридаги усуллардан фойдаланиб бўлмайди. Бундай шароитда деформация ва кучланишларнинг ўзгариш қонунларини аниқлаш электр ўлчаш асблолари, электротензодатчиклар ёрдамида олиб борилиши мумкин.

Деформация ва унга асосланган кесим кучланишларини аниқлаш учун уч хил датчиклар қўлланилиши мумкин:

1. Пъезоэлектрик датчиклар — сегнетоэлектрик деб атальувчи кристалл моддалар группасидан фойдаланишга асосланади. Бу моддалар пъезоэлектрик самараға эга бўлиб, механик кучланиш ёки деформация таъсирида диэлектрик сиртда ҳар хил номли электр зарядларини ва уларга мос равища потенциаллар айрмасини ҳосил қиласди. Ҳосил бўлган электр зарядлари деформацияга ёки кучланишга пропорционал равища ўзгаради.

2. Индукцион датчиклар — ферромагнит таёқчанинг деформацияланиши натижасида унга уралган симда электр юритувчи кучнинг ҳосил бўлишига асосланган.

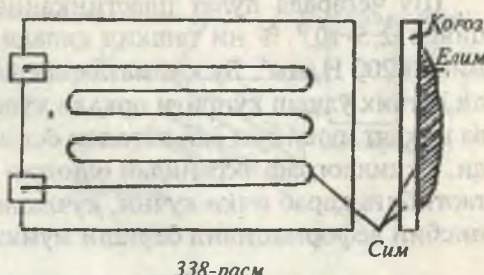
3. Симли датчиклар — механик кучланиш ва деформацияланиши натижасида сим қаршилигининг ўзгаришига асосланган. Симли датчик пъезоэлектрик ва индукцион датчикларга қараганда содда ва тайёрланишининг арzonлиги, ишлатилишининг қулийлиги туфайли кенг тарқалгандир. Симнинг қаршилиги физика қонунларидан маълум бўлиб, у сим ўлчамларига тўғри боғланишда бўлади, яъни:

$$R = \rho \frac{l}{s} \quad (14.1)$$

Бу ҳолда:  $\ell$  — симнинг узунлиги,  $s$  — симнинг кўндаланг кесим юзи,  $\rho$  — симнинг солиштирма қаршилиги.

Симли датчик диаметри ( $O = 0,02 - 0,04 \text{ мм}$ ) ва солишиштирма қаршилиги катта бўлган симдан петля шаклида зичлиги катта қофозга ёпиштириб ясалган бўлади (338-расм).

Ишлатиш учун у деталга ёпиштирилади. Бу датчик ёрдамида асосан механик куч таъсирида ҳосил бўлган чўзилиш, сиқилиш, эгилиш, буралиш деформациялари ўлчанади (338-расм).



338-расм.

Чўзилиш ва сиқилиш деформациясини электротензометр ёрдамида аниқлаш [3]. Чўзилишга ёки сиқилишга ишлаётган призматик брусларнинг кесимларини тензодатчик ёрдамида чизиқли силжишларини ва уларда ҳосил бўладиган зўриқишлиарни жуда аниқ ўлчаш мумкин. Бу усул деформацияни ричагли тензометр, стрелкали индикатор ёрдамида аниқлагандан кўра афзал булиб, динамик куч таъсирида текширишда тенги йўқ. Чунки тензометр ва индикаторларнинг стрелкалари динамик куч таъсирида содир бўлаётган деформация ва зўриқишлиарни аниқлаш даврида тўхтовсиз тебранма ҳаракат қиласи. Максимал курсатични кўз билан илғаб олиш қийин.

Тензодатчик ёрдамида брусларнинг ихтиёрий кесим оравлиғидаги, яъни индикторларни ўрнатиш мумкин бўлмаган кесимлардаги деформацияларни ўлчаш мумкин. Бу усул механик кучланиш ва деформацияланиш натижасида тензодатчик қаршилигининг ўзгаришига асосланади (339-а, б расм).

Тензодатчик деформация ўлчаниши керак бўлган брус сиртига бўйлама чўзилишга ёки сиқилишга ишлайдиган

тарзда узун томони билан ёпиширилади. Брус деформацияланиш натижасида унинг сиртига мустаҳкам ёпиширилган тензородатчик петляси узун томони бўйлаб чўзилиши ёки қисқариши мумкин.

Симли тензородатчикнинг қаршилиги эластиклик деформация чегарасида  $0,2\text{--}0,5$  Ом гача бўлиши мумкин, яъни  $100$  Ом ли тензородатчикнинг қаршилиги  $0,1\text{--}0,5$  Ом гача ўзгарили.

Шу чегарада пўлат пластинканинг нисбий деформацияси  $2,5 \cdot 10^{-3}\%$  ни ташкил қилади. Кучланиш эса тахминан  $200$  Н/м $^2$ . Бу қийматларни ўлчаб олиш учун симли датчик ўлчашиб кўприги орқали кўпайтиргич аппаратига ва ниҳоят шлейфли ёки катодли осциллографларга уланади. Осциллограф экранидан олинган қиймат масштаблаштартибига қараб ички кучни, кучланишни ёки абсолют ва нисбий деформацияни бериши мумкин. Масалан:

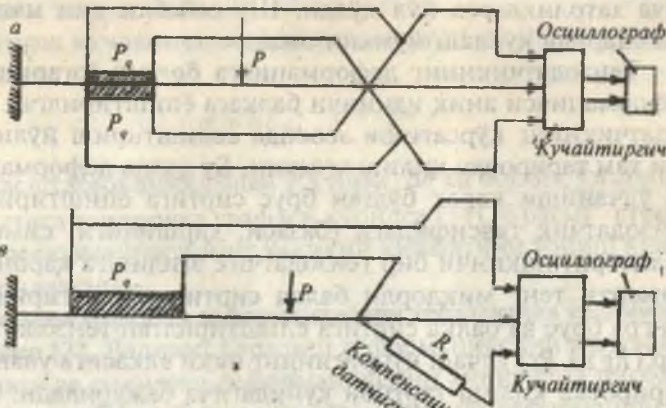
$$K_p = \frac{P}{m} \left[ \frac{H}{\text{мм}} \right]; \quad K_s = \frac{\sigma}{m} = \frac{P}{A m} \quad (14.2)$$

$$K_{\Delta t} = \frac{\Delta t}{m} \left[ \frac{H}{\text{мм}} \right]; \quad K_e = \frac{\varepsilon}{m} \quad (14.3)$$

Бу ҳолда:  $m$  — осциллограф экранидаги кучнинг, кучланишнинг ёки деформациянинг ўзгариши натижасида шлейф ёруғлик нуқтасининг оғиши.

Тензородатчик электр токига уланганда қизиши мумкин. Натижада унинг қаршилиги деформацияга боғлиқ бўлмаган ҳолда ўзгарили. Бунинг олдини олиш мақсадида деформация ўлчанаётган объектдаги тензородатчик қаршилигига тенг бўлган бир хил тавсифли иккинчи тензородатчик олинади ва у деформацияланмайдиган, лекин ташки шароити бир хил бўлган объектга ёпишириллади ҳамда ўлчаш кўпригининг иккинчи бўш елкасига уланади. Бундай уланган тензородатчикка компенсация датчиги дейилади.

Деформация миқдорининг аниқлиги бруслага ёпиширилган тензородатчикни тарировка қилишга боғлиқ. Тензородатчик фақат бир объектни ўлчашиб учун яроқли бўлиб, уни олдиндан тарировка қилиб бўлмайди. Чунки тензородатчик объектга ёпиширилганида у деталь билан бир бутун бўлиб



399-расм.

кетади ва уни қайтадан күчириб олиш ва бошқа объектга ёпишириш мумкин эмас. Тензодатчик ёпиширилган бруснинг деформациясини бир вақтда ричагли тензометр ва тензодатчик ёрдамида лаборатория шароитида ўлчаб олиш йўли билан тарировка қилиш мумкин. Тензометри орқали бруснинг нисбий деформацияси қуидагича аниқланади:

$$\frac{\Delta \ell}{\ell} = \frac{h}{20m}$$

Бу ҳолда:  $h$  — тензометр шкаласининг бўлакчалари;  $m$  — тензометрнинг кўпайтириш коэффициенти. У 1000—1200 атрофида бўлиб, тензометрнинг паспортида берилади;  $\ell$  — тензометр базаси ( $\ell=20—50$  мм оралиғида бўлади). Сунгра ўлчаш кўприги уланган блок схема (кучайтиригич ва осциллограф) орқали тензодатчик қаршилигининг ўзгариши ёки унга пропорционал равишда ток кучи ва кучланишларнинг ўзгариши осциллограф экрани орқали ўлчаб олинади ( $h$ ) ва нисбий деформациянинг масштаб қиймати топилади.

Бу усулда топилган масштаб ричагли тензометрни ўлчаш аниқлигига боғлиқ бўлиб, у жуда аниқ була олмайди. Чунки тензометр шарнирларининг ишқаланишига ишлаши ва шкала бўлакларининг аниқ ўлчаб бўлмаслиги

анча хатоликларга йўл қўяди. Шу сабабли уни машина қисмларида қўллаш мумкин эмас.

Тензодатчикнинг деформацияга боғлиқ ўзгаришини деформацияси аниқ иккинчи балкага ёпиштирилган тензодатчикнинг кўрсатиши асосида солиштириш йўли билан ҳам тарировка қилиш мумкин. Бу ҳолда деформацияси ўлчаниши керак бўлган брусларга сиртига ёпиштирилган тензодатчик тавсифидаги (базаси, қаршилиги, симнинг диаметри) иккинчи бир тензодатчик эгилишга қаршилик моменти тенг микдорли балка сиртига ёпиштирилади, сўнгра брусларга сиртига ёпиштирилган тензодатчиклар ( $R_g$  ва  $R_t$ ) ўлчаш кўпригининг икки елкасига уланади. Тарировка қилиш тартиби қуйидагича бажарилади: консолли балка секин-аста ўсив борувчи куч таъсирида эгилади ва балка сиртининг нисбий деформацияси унга ёпиштирилган тензодатчик  $R_t$  ёрдамида аниқланади (осциллограф экранида  $h_d$ ). Гук қонунига биноан бу деформация қуйидагига тенг:

$$\sigma = E \varepsilon_T \quad (14.4)$$

Кучланиш эса эгилишга тенг қаршилик моментли балка учун ўзгармас бўлиб, қуйидагича топилади:

$$\sigma = \frac{P\ell}{\frac{4h^2}{3}} = \text{const} \quad (14.5)$$

$$K_{\sigma T} = \frac{\varepsilon_T}{h_T} \text{ ёки } K_{\Delta \ell T} = \frac{\Delta \ell_T}{h_T}$$

Сўнгра балкани тинч ҳолатда қолдириб, деформацияси ўлчаниши керак бўлган брусларга сиртига ташки куч таъсирида чўза бошлаймиз. Унинг чўзилиши натижасида унга ёпиштирилган тензодатчик ҳам чўзилади ва қаршилиги ўзгариб, ўлчаш кўприги диагоналидан ток ўта бошлайди. Бу ток кучайтиргич орқали кучайтирилиб, осциллограф барабанидан ёзив олинади ёки ўлчаб олинади.  $h_d$  амплитудага тўғри келган нисбий деформация қуйидагига топилади:  $\varepsilon_d = K_{\sigma T} \cdot h_d$  ёки  $\Delta \ell_d = h_d K_{\Delta \ell T}$

Нисбий деформацияни билган ҳолда абсолют деформацияни топиш мүмкін:  $\Delta l = \varepsilon_d \cdot l$

Сұнgra кучланиш эластиклик модули ва ички кучлар топилади:

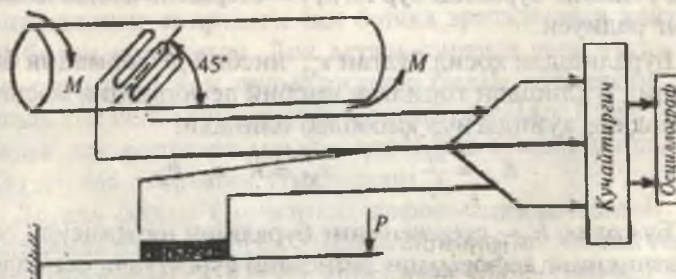
$$\sigma = E \varepsilon_d; \quad E = \frac{\sigma}{\varepsilon_d}$$

Масштабни аниклашда РД нинг  $\Delta l$  га боғлиқ ўзгариш қийматига тарировка графаси қурилса (341-б расм) стержень деформациясининг ҳақиқий қийматини топиш яна-да осонлашади.

Валнинг буралиш деформациясини тензодатчик ёрдамида аниклаш [3]. Валнинг буралиш деформациясини аниклаш мүзилиш ва сиқилиш деформациясини аниклашга нисбатан мураккаб бўлиб, уни кўпинча чўзилиш деформацияси учун топилган рухсат этилган кучланиш орқали аникланади. Бунда буралишга ишлаётган цилиндрик сиртида олинган цилиндр ясовчига  $45^\circ$  қияликдаги толаларнинг буралиш натижасида чўзилиш ва сиқилишга ишлаши асос қилиб олинади.

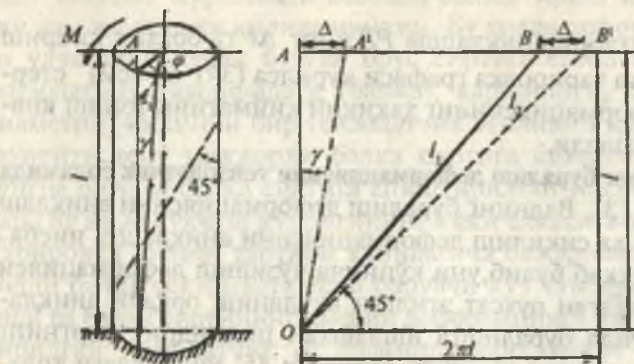
Цилиндрик сиртга  $45^\circ$  қияликда битта тензодатчик ёпиштирилиб ва иккинчи тензодатчик (компенсация учун олинади) эгилиш кучланиши ўзгармас балкага ёпиштирилса, юқоридаги ўлчаш кўприги ҳосил бўлади (340-расм).

Цилиндрик сиртга  $45^\circ$  қияликда ёпиштирилган тензодатчикнинг буралиш натижасида деформацияланиши ва уни эгилишга ишлаётган балканинг деформацияси билан боғланишини аниклаш учун цилиндрик сиртнинг тақсим-



340-расм.

ланишини кўриб чиқамиз (340-расм):  $L$  — тензодатчик ёпиширилган қия текислик толаларининг узунлиги;  $L_2$  —  $L_1$  нинг деформациядан кейинги узунлиги;  $\gamma$  — нисбий силжиш бурчаги.



341-расм.

Нисбий бўйлама деформация  $\varepsilon = \frac{\ell_2 - \ell_1}{\ell_1}$  эканини эътиборга олиб, цилиндр сиртида олинган  $45^\circ$  қияликда толанинг нисбий деформациясини топамиз:

$$\varepsilon_{45} = \frac{1}{2} \gamma = \frac{1}{2} \cdot \frac{\Delta}{\ell} = \frac{1}{2} r \frac{\varphi}{\ell} \quad (14.6)$$

Бу ҳолда:  $\ell$  — стерженнинг узунлиги;  $\varphi$  — стержень эркин учининг буралиш бурчаги;  $r$  — стержень кесим юзасининг радиуси.

Буралишдан ҳосил бўлган  $\varepsilon_{45}$  нисбий деформация балканинг эгилищдан топилган нисбий деформация масштаби орқали қуидагича ҳисоблаб олинади:

$$K_{\varepsilon\ell} = \frac{\varepsilon_T}{h_T}; \quad \varepsilon_{45} = K \cdot \varepsilon_T \cdot h_T$$

Бу ҳолда:  $h_T$  — стерженнинг буралиши натижасида тензодатчикнинг деформацияланишини кўрсатувчи осциллограф ёруғлик нурининг оғиш оралиғи.

Буралиш  $\varepsilon_{45}$  нисбий деформацияга тұғри келган буралиш бурчаги қуйидагича топилади:  $\varphi = \frac{2\ell \varepsilon_{45}}{r}$

Буровчи момент эса:  $\varphi = \frac{M\ell}{GJ_p}$  дан

$$M = \frac{GJ_p \varphi}{\ell} \quad \text{ёки} \quad M = \frac{2\varepsilon_{45} G J_p}{r \cdot \ell} = \frac{2 G J_p \varepsilon_{45}}{r}$$

Бу ҳолда:  $J_p = \frac{\pi d^4}{32}$  — кесим юзанинг күтб инерция моменти;  $G = 0,4$ ;  $E = 8 \cdot 10^4 \frac{H}{мм^2}$  силжишдаги эластиклик модули.

Шундай қилиб, буралиш деформацияси  $\varepsilon_{45} \varphi$  ва  $M$  ларни эгилишга тенг қаршилик моментли балканинг эгилиш деформацияси орқали тензодатчик ёрдамида аниқлаш мумкин экан. Бу усул машина ва иншоот қисмларини ишлаб чиқариш жараёнида ёки дала шароитида мустаҳкамликка текшириш талаб этилганида көнг құлланилади.

### Лок қопламалари усули [4]

Лок қопламалари усулидан, одатда, деформация ва күчланишлар тақсимланишини, шунингдек, деталь сиртидаги күп юкланған зоналарини аниқлашда фойдаланылади.

Синовдан олдин деталнинг текшириладиган сирти ёки унинг модели юпқа махсус мұрт лок билан ( $0,07$ — $0,15$  мм), масалан, канифольцеллуоид локи(целлуоид құшилған канифолнинг спиртдаги ёки бошқа эриткичдаги эритмаси) билан қопланади. Лок деталь сиртига ясси чұтқа билан суртилади ёки пульверизатор билан пуркалади, ёки деталь лок солинган идишга ботириб олинади. Куритилгач (баъзи лок сортлари маълум ҳароратда қиздирилиши кеп рак) деталь синовдан үтказилади.

Деталь билан биргаликта деформацияланадиган лок қатламида пайдо бўлган дарзлар синовнинг асосий натижаси ҳисобланади. Юк ортиши билан улар кетма-кет пайдо бўлиши ҳам мумкин. Энг биринчи дарзлар деталнинг энг күп юкланған зоналарida пайдо бўлади.

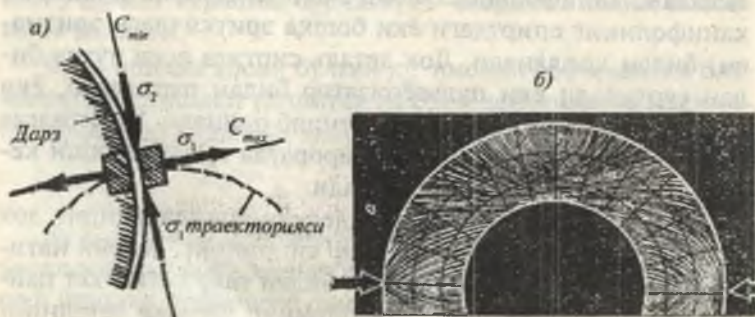
Дарзлар ҳосил қилишнинг иккита усулидан, яъни детални юклантириш ва юксизлантириш усулидан фойдаланилади.

Биринчи усулда лок деталь сиртига у юклангунга қадар суртилади. Табиийки, деталь юкланганида пайдо бўладиган дарзлар сиртнинг ҳар бир нуқтасида энг катта чўзиши йўналишига перпендикуляр йўналишда, яъни бош чўзилиш  $\varepsilon_1$  ёки бош кучланиш  $\sigma_1$  йўналишига перпендикуляр жойлашади (342-а расм).

Шундай қилиб, юклангандаги пайдо бўладиган дарз ҳар бир нуқтада  $\sigma_1$ , йўналишига мос тушади ва бу кучланиш траекторияси ҳисобланади. Ушбу усул билан диаметри бўйлаб сиқилган алюминий ҳалқанинг қопламасидаги дарзлар 342-расмда кўрсатилган.

Дарзлар олишнинг иккинчи усулида локни юклангандаги деталнинг сиртига суртилади. Лок қуригач, деталь астасекин юксизлантирилади, бунда юксизлантириш жараёнида деталь сиқилган йўналишда чўзилиш юзага келади ва аксинча. Юксизлантириш натижасида  $\sigma_1$  траекторияси билан устма-уст тушувчи дарзлар пайдо бўлади, юклантириш процессида эса  $\sigma_2$  траекторияси йўналишида дарзлар пайдо бўлган эди.

Лок қопламлари ёрдамида бош кучланишлар йўналиши топилгач, кучланишлар қийматини топишнинг энг ишончли усулларидан бири деформацияларни тензометрлар ёрдамида ўлчашдир. Бунинг учун керакли нуқталарга



342-расм.

$\sigma_1$ ,  $\sigma_2$ ,  $\sigma_3$  — йұналишларда иккитадан тензометр (ёки датчик) қўйилади, улар ёрдамида  $\varepsilon_1$ ,  $\varepsilon_2$ , деформациялар ўлчаниб, бош кучланишлар ҳисоблаб топилади. Тензометрсиз деформация қийматини, баъзи ҳолларда кучланишни аниқлашга имкон берадиган лок қопламалари усули ҳам мавжуд, лекин бунда маълум чегаравий нисбий чўзишиш  $\varepsilon_g$  да дарзлар пайдо бўладиган юқори сифатли локлардан фойдаланиш керак бўлади. Одатда  $\varepsilon_g = 3,5 \cdot 10^{-4}$  қийматли локлардан фойдаланилади. Бу қиймат пўлатдаги  $\varepsilon_g E = 3,5 \cdot 10^{-4} \times 2 \cdot 10^6 = 700$  кгк/см<sup>2</sup> кучланишга тўғри келади.

Шуни айтиш керакки, лок қопламасида дарзларнинг пайдо бўлишига кўпгина омиллар сезиларли таъсир қиласди (лок қуриганида пайдо бўладиган чўкиш кучланишлари, деталь ва қоплам материалларининг эластик хоссалари турлича булиши, синов вақтидаги ҳаво температураси ва бошқ.) Бу омиллардан баъзилари ҳисоб йўли билан, шунингдек, тарировка қилинувчи намуналар билан ҳисобга олиниши мумкин; намуналарда  $\varepsilon_g$  лар синов шароитлари билан бир хил шароитларда топилади. Лок қопламалари усулида кучланишлар миқдорини топиш аниқлиги нисбатан унча катта эмас ( $\pm 15\%$ ).

Бу усулда деталларда, айниқса мураккаб шаклли деталларда кучланишлар тақсимланишининг сифатини тез аниқлашда фойдаланиш мақсадга мувофиқdir. Лок қопламалари усулидан ҳаракатланётган деталларда ва зарбий юклама таъсир этганида фойдаланса ҳам бўлади.

**Кучланишларни поляризацион — оптик усулда аниқлаш [4].** Усулининг физик асослари. Оптик усул баъзи шаффофф (тиник) деформациялангандан оптик жиҳатдан анизотроп бўлиб қолиш хоссасига, деформацияланган ҳолатда улар (шиша, целлулOID, желатин, бакелит ва б.) нурни иккига ажратиб синдириш хоссасига асосланади. Бундай материалларга оптик актив материаллар дейилади. Оптик усулда деталнинг ўзи эмас, балки оптик актив материалдан ясалган модель текширилади. Модель оптик қурилмага, яъни поляристикопга жойлаштирилади, у ерда кутбланган нур оқими билан қопланган тасвир пайдо бўлади, полосалар анализ қилиниб, моделда кучланишлар тақсимланишини ўрганиш мумкин.

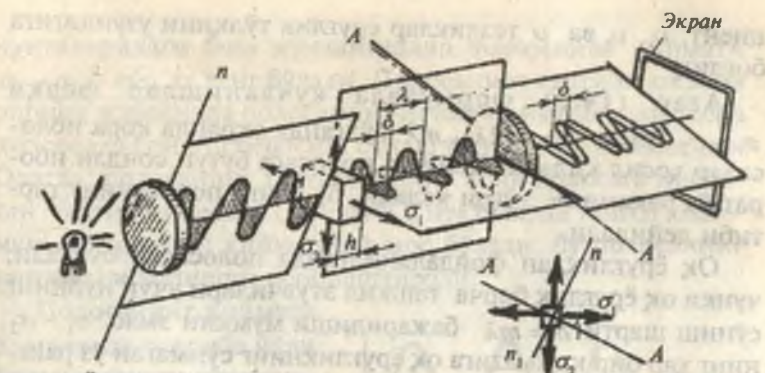
Маълумки, табиий ёруғлик нурида унга перпендикуляр бўлган барча йўналишларда ёруғлик тебраниши мавжуд бўлиб, ёритиладиган жисм яқинида ёруғлик тебранишларининг манбаи бетартиб жойлашади. Кутбланган нурда тебранишлар тартибли бўлади. Агар тебранишлар битта текисликда содир бўлса, текис кутбланиш дейилади; текисликнинг кутбланиш текислиги дейилади. Кутбланган нур олиш учун табиий нурни кутлагич (поляризатор) орқали ўтказилади. Исланд шпати кристалларидан елимлаб тайёрланадиган Никол призмаси кутлагич бўлиб хизмат қилиши мумкин. Кутлагич тебранишларни аниқ бир текисликда ўтказиб, унга перпендикуляр бўлган ташкил этувчиларни сўндиради.

343-а расмда ёруғликни текис кутбловчи полярископ асосий қисмларининг жойланиши схематик тарзда кўрсатилган. Кутлагич ва анализатор полярископнинг асосий қисмлари ҳисобланади. Анализатор ҳам поляризатор каби призмадан иборат, лекин иш ҳолатида шундай буралганик, 343-б расмда кўрсатилган А—А ва П—П лар билан кўрсатилган кутбланиш текисликлари ўзаро перпендикуляр жойлашган. Бундай ҳолда модель бўлмаса ёки у юкланмаган бўлса, экран қоронғилаштирилган бўладидан поляризатордан ўтган ёруғлик нури анализатор билан сўндирилади.

П—П текисликда кутбланган ёруғлик нури (349-расм) моделдан ўтишда ҳар бир нуқтада тебраниш текисликлар ўзаро перпендикуляр бўлган ва  $\sigma_1$ ,  $\sigma_2$  бош кучланишлар йўналишига мос келувчи иккита нурга ажралади. Бош кучланишлар қиймати ҳар хил бўлганлигидан модель материялининг мазкур текисликлардаги оптик хоссалари ҳам турлича бўлади —  $v_1$  ва  $v_2$  ҳам турлича бўлади, натижада



343-расм.



344-расм.

уларга моделнинг  $h$  қалинлигини ўтиш учун  $h/v_1$  вақт керак бўлса, иккинчисига  $h/v_2$  вақт керак бўлади.

Вақтлар орасидаги фарқ

$$\Delta t = \frac{h}{v_2} - \frac{h}{v_1} = \frac{h(v_1 - v_2)}{v_1 v_2} \quad (a)$$

га тенг. Вақтлар орасидаги фарқ  $\Delta t$  туфайли биринчи нурнинг тўлқинларидан  $\delta$  қийматга олдин кетади; бунга нурлар йўли орасидаги фарқ дейилади ва у  $\delta = \Delta t v$  (б) га тенг, бу ерда  $v$  — нурнинг ҳаводаги тезлиги.

Нурлар йўли орасидаги фарқ 349-расмда график тарзда тебранишларни тасвирловчи синусоидаларнинг силжиганлиги билан тасвиранган.

Тажрибалар билан шу нарса аниқланганки, тезликлар орасидаги фарқ  $v_1 - v_2$  бош кучланишлар орасидаги фарқقا тўғри пропорционал бўлади, яъни:  $v_1 - v_2 = c(\sigma_1 - \sigma_2)$  (в).

Бу ерда  $c$  — модель материалнинг оптик активлигига боғлиқ бўлган ўзгармас қиймат.

(а), (б) ва (в) ларни ўзаро таққослаб, фотоэластик қонунини микдор жиҳатдан ифодаловчи қуйидагича формулани ёзиш мумкин:

$$\delta = c_\lambda h (\sigma_1 - \sigma_2) \quad (14.7)$$

Бу ерда  $c_\lambda$  — модель материалининг хоссаларига ва ёруғлик тўлқини узунлигига боғлиқ бўлган ўзгармас коэффи-

циент;  $v_1$ ,  $v_2$  ва  $v$  тезликлар ёруғлик түлкини узунлигига боғлиқ.

Агар (14.7) формулада кучланишлар фарқи  $\sigma_1 - \sigma_2$  бўлса,  $\delta = \lambda, 2\lambda, \dots, m\lambda$  бўлганда экранда қора полосалар ҳосил қиласди. Ҳар бир полосага бутун сондан иборат ўз рақами  $m$  тўғри келади, бу сонга полосанинг тартиби дейилади.

Оқ ёруғликдан фойдаланилганда полосалар бўялади, чунки оқ ёруғлик барча ташкил этувчилари учун нурнинг сўниш шарти  $\delta = m\lambda$  бажарилиши мумкин эмас.  $\sigma_1 - \sigma_2$  нинг ҳар бир қийматига оқ ёруғликнинг сўнмаган ўз ранглари, демак, з бўёғи тўғри келади.

$\sigma_1 - \sigma_2$  нинг ўзгармас қийматига мос келувчи бир хил бўёқлар изохромлар деб аталади. Изохромлар монохроматик ёруғликда олинадиган қора (бўялмаган) полосаларга ҳам тегишлидир.

Мазкур қора полосалар расмига қараб модель нуқтадаридаги  $\sigma_1 - \sigma_2$  бош кучланишлар фарқини аниқлаш мумкин.

Нурлар йўлида тўлқин узунлигига teng фарқни келтириб чиқарувчи бош кучланишлар фарқи  $\sigma_1 - \sigma_2 = \sigma_0$  нинг қиймати модель полосасининг қиймати деб аталади.  $\delta = \lambda$  бўлганда формуладан қўйидаги ифодага эга бўламиз:

$$\sigma_0 = \frac{\lambda}{c_1 h} \quad (14.8)$$

Фараз қилайлик, моделга тушадиган юклама ортиб боради ва қандайдир нуқтадаги  $\sigma_1 - \sigma_2$  фарқ кетма-кет  $\sigma_0, 2\sigma_0, \dots, m\sigma_0$  қийматларга эришади. Нуқтадаги уларга мос келувчи йўл фарқи  $\delta = \lambda, 2\sigma_0, \dots, m\sigma_0$  ларга teng бўлади, улар экранда биринчи, иккинчи, ...,  $m$  тартибли қора полосалар деб аталади. Улар ёритилган нуқталар билан алмашинади. Бу 345-расмда нур интенсивлиги I нинг кучланишлар фарқи  $\sigma_1 - \sigma_2$  га боғлиқлиги график кўринишда тасвирланган. Кўйида бу боғланиш оддий чўзилишга ишлайдиган элемент ёритилишининг алмашиниш картинаси билан намойиш қилинган.

Айтилганлардан кўриниб турибдики, агар синалаётган модельда  $m$  тартибли полоса кузатилса, бу полосанинг

нүқталаридаги бosh күчланишлар фарқининг қиймати  $\sigma_1 - \sigma_2 = m\sigma_0$  га тенг бўлади. Полосанинг тартиби юклама ошиши жараёнида полосанинг исталган нүқтасидаги қора полосалар сонини бевосита санаш йўли билан аниқлайди. Одатда, полосанинг тартиби унинг ноль полосага нисбатан тартиб номерига ( $\sigma_1 - \sigma_2 = 0$  нүқталарда ташки юкламанинг исталган қийматида) мос бўлади, бу полосанинг тартибини топишни осонлаштиради.

Полосанинг қиймати  $\sigma_0$  моделда тажриба йўли билан қиймати аниқ күчланишлар ҳосил қилиш ва ҳосил бўлган полосалар картинасини кузатиш йўли билан топилади. Масалан, чўзилишда экранда биринчи тартибли қора полоса ҳосил қилувчи  $P$  кучини топиб  $\sigma_0 = P/F$  ни аниқлаш мумкин.

Материалнинг оптик аниқлиги қанча катта бўлса, полоса қиймати шунча кичик бўлади. Желатин энг сезгир ҳисобланади, унда  $h = 1$  см бўлганида  $\sigma_0 = 0,02 \frac{\text{кг}}{\text{см}^2}$ . Ишлатиладиган оддий материаллар (бакелит ва ҳ.к.) учун бу миқдор  $12 \text{ кг}/\text{см}^2$  га, целлулоид учун  $30-60 \text{ кг}/\text{см}^2$  га, шиша учун  $260-500 \text{ кг}/\text{см}^2$  га тенг бўлади.

Шундай қилиб, оптик усулда бевосита тажрибадан бosh күчланишларнинг фақат йўналиши ва уларнинг қийматлари фарқи —  $\sigma_1 - \sigma_2$  топилади. Бу модельнинг ҳар бир нүқтасида текис күчланиш ҳолатининг формуласини қўллаб исталган қия юзачадаги уринма күчланишларни аниқлаш имконини беради:

$$\tau_\alpha = -\frac{\sigma_1 - \sigma_2}{2} \cdot \sin 2\alpha \quad (14.9)$$

Хусусан ҳар бир нүқтадаги  $\tau_{\max}$  аниқланади, чунки:

$$\sigma_1 - \sigma_2 = 2\tau_{\max}$$

Нуқта чизиқли кучланиш ҳолатида бўлганида ( $\sigma_1 = \sigma$ ,  $\sigma_2 = 0$ )  $\sigma_1 - \sigma_2$  фарқ кучланишнинг ўзига тенг бўлади. Тажриба натижасидан топилган қиймат модель контурининг юкламаган нуқтасида шундай ҳолатни кўрамиз.

Умумий ҳолда кучланиш ҳолати ҳақида тўла тасаввур ҳосил қилиш учун  $\sigma_1 - \sigma_2$  фарқдан ташқари, ҳар бир бош кучланишнинг қийматини ҳам билиш керак ёки бошқача айтганда, бу кучланишларни бир-биридан ажратиш керак бўлади.

**Бош кучланишларни ажратиш.** (Моделдан деталга ўтиш). Кучланишларни ажратиш учун бир неча усуllibар таклиф қилинган, улардан бири қўшимча тажриба ўтказишни талаб қиласа, бошқаси ҳисоблаш усулига асосланган.

Эластиклик назариясида текис масала шароитида бўлган жисмда кучланишларнинг тақсимланиши материалнинг эластиклик доимийларига (эластиклик модули  $E$  га. Пуассон коэффициенти  $\mu$  га) боғлиқмаслиги исботланади. Демак, турли материаллардан ясалган деталь ва унинг моделида улар геометрик ўхшаш ва уларга таъсир қиласидан юкламалар ўхшаш бўлса, деформация ва кучланишларнинг тақсимланиш қонуни бир хил бўлади. Бу модельдаги кучланиш  $\sigma_{\text{мод}}$  дан деталдаги уларга мос келувчи кучланиш  $\sigma$  га

$$\sigma = \frac{h_m}{h} \cdot \frac{S_m}{S} \cdot \frac{P}{P_m} \cdot \sigma_{\text{мод}} \quad (14.10)$$

формула бўйича ўтиш имконини беради. Бу ерда  $h_m/h$  — модель ва деталь қалинликларининг нисбати;  $S_m/S$  — модель ва деталь контурининг бир-бирига мос келувчи чизиқли ўлчамларининг нисбати;  $P/P_m$  — деталь ва модельга тушадиган юкламаларнинг нисбати.

(14.10) формуладан фойдаланиш мумкин бўлмайдиган ҳоллар (моделнинг кўп боғланишли контури, яъни тешиклари бўлган пластинканинг контури) ҳам бор, бундай ҳолларда юқоридаги формуладан тахминий формула (лекин бирмунча аниқроқ) сифатида фойдаланилади.

## **Материаллар қаршилиги фанини ўқитиш услубиятига доир**

Ўзбекистонда содир бўлаётган ижтимоий-иқтисодий ўзгаришлар, фан билан ишлаб чиқариш интеграциясини ривожланишида анъанавий ахборот ва ўқитишнинг компютерли воситалари, глобал масштабдаги телекоммуникацион тармоқ билан тўлдирилиши, ўз навбатида мустақил равишда фикрлашни; эгаллаган билимларни борлиқнинг қайси жойларида ва қай тарзда қўлланиши; ахборотлардан саводли ва мустақил фойдаланишни; маълум бир вазифани тадқиқ қилиш учун зарур омилларни тўплашни билишни, уларни таҳлил қилиш, муаммоларни ечиш гипотезасини илгари сурини; замонавий технологиялардан фойдаланишни тақозо этади.

Ҳозирги замонда фанларни ўқитиш жараёнида замонавий педагогик технологиялар тадбиқ этилмоқда.

Таълимни технологиялаштиришнинг асосини таълим жараёнини самарадорлигини ошириш ва таълим олувчиларни берилган шароитларда ва ажратилган вақт ичидаги лойиҳалаштирилаётган ўкув натижаларига эришишларини кафолатлаш мақсадида тўлиқ бошқариш ғояси ташкил этади.

Педагогик технология — ўкув жараёнини технологиялаштиришни бутунлигича аниқловчи тизимли категория.

Ўқитиш технологияси — биринчидан, педагогик технологияни жараёни — ҳаракат аспектини англатади. Бу, таълим жараёнини амалга оширишни инструментал таъминловчи усул ва воситаларнинг тартибли бирлигини ўзида мужассамлаштирган таълим моделини ишлаб чиқиш ва амалга оширишнинг технологик жараёни;

— иққинчидан, педагогик технологиянинг жараёнилибайёни аспектини, педагогик ҳамда ўкув фаолиятининг лойиҳасини бажаришнинг баёнидир (технологик харита).

Таълим технологияси — педагогик технологиянинг илмий аспектини белгилаш, дарс бериш ва билимларни ўзлаштиришнинг барча жараёnlарини қўллаш ва белгилашнинг тизимли усули.

Материаллар қаршилиги умуммуҳандислик фанларининг таркибига кириб, бўлажак мутахассисларга конструкция ва иншоот қисмларини кучланганлик-деформацияланган ҳолатларини таҳлил қилишни, уларни турли деформациялар жараённада мустаҳкамликка ва бикрликка ҳисоблаш усулларини ўргатади.

Материаллар қаршилиги фанини ўқитишдан мақсад ҳар бир мустахассис замонавий талабига тұла жавоб бера оладиган, юқори унумли, мустаҳкамлиги етарлича таъминланган, мүмкін қадар енгил, тузилиши оддий конструкция ёки иншоот қисмини лойиҳалашни ўргатишидир.

Фаннинг асосий муаммоси — деформация турлари; мутаҳкамлик, бикрлик ва устуворлик шартлари; конструкцияларни статик ва динамик юкланишида материалларнинг хоссаларини таҳлили. Бу фанни ўрганишда талабалар — математика, физика, чизма геометрия, назарий механика, металлар технологияси фанларини ўзлаштиргандаги билимларига асосланадилар.

Материаллар қаршилиги вазифаларини амалга оширишни тушунтириша ўқитишнинг қуйидаги усулларидан фойдаланиш мүмкін:

- маъруза;
- тарихий воқеани тушунтириш (конкрет конструкция ёки иншоот қисми билан боғлиқ);
- тажриба усули (намойиш усули);
- китоб билан ишлаш;
- машқлар, лойиҳалар (ҳисоблаш-график ишлари) усули;
- сұхбат, мунозара, видео усули.

Ўқитиш самарадорлигини ошириш учун:

- ўқитувчи томонидан мавзу бўйича режа асосида маъруза амалга оширилиб, талабалар тегишли жойларини ёзиб оладилар;
- дарс вақтида тегишли муроқотлар, савол-жавоблар ўюнтириш, диалог ва ўтилган дарсни мустаҳкамлаш;
- ўтилган мавзу бўйича доскада мисоллар ишлаш;
- реал машина ва механизмлар моделларидан ва тегишли плакатлардан фойдаланиш;

- дарсга, мавзуга қизиқтириш — мунозара, ҳикоя, тарихий воқеа усулларини құллаш;
- реал объектлар (мутахассислик бүйича) нинг юкланиш схемаларини тузиш ва ҳисоблаш;
- материаллар қаршилиги фани бүйича олимпиада масалаларини ва бир масаланы бир неча хил усулда ечишни үрганиш;
- дарс мавзуларини тайёрлаб тарқатиш;
- барча топшириқлар, услугубий комплексларни (үй ишлари, лаборатория топшириқлари, саволлар мажмуй) күпайтириб, олдиндан талабаларга тарқатиш;
- дарсларни намуна сифатида видеотасмаларга ёзиб олиб тарқатиш;
- компьютер ёрдамида маъруза матнларини ёзиб тарқатиш;
- ҳисоблаш-график ишларини компьютерда бажариш дастурини ишлаб чиқиш;
- компьютер технологиясидан фойдаланиб талабаларни масофадан үқитиши;
- электрон дарсликни яратиш талаб этилади.

Үқитишининг барча усулларини тәдбиқ этишда технологик харита тузилади. Технологик харита умуман фан бүйича тузилиши ҳам мумкин ёки фанни алоқида-алоқида мавзулари, тажриба ишлари ва амалий дарслари бүйича ҳам тузилиши мумкин.

Фанни ўзлаштиришда эшитиш, күриш, ёзиш асосида мавзу бүйича маълумот қисқа қилиб берилади. Талабалар дарсда қайд қилинмаган материалларни құшимча адабиётлардан ёзиб келадилар. Бу усулда талаба ўзи дарсда ёзған материални үқиб чиқади ва таҳлил қиласы.

Фанни үқитишида куйидагиларни эътиборга олиш мақсадга мувофиқ:

- талабалар әгаллаган бошлангич билимларининг ўртаса даражаси;
- мавзуларни тушунтиришда оддийдан мураккабга ўтиш;
- назарий масалаларни үрганишда амалий ва тажриба машғулотларининг мантиқий кетма-кетлигини таъминлаш;

— мавжуд ҳар бир манба — адабиёт, күргазма ва техник ўқитиш воситасига ўзига хос характеристика бериш;

— ҳар бир талаба бажарадиган индивидуал ҳисоб-график ишлари тегишли равишда қўшимча ижодий изланишларининг мантиқий яхлитлигини таъминлаш ва бошқалар.

Материаллар қаршилиги муаммоларини ҳал қилишда конструкция ёки иншоот қисмини юкландиганлик ва деформацияланган ҳолатини таҳлил этиш лозим. У ҳолда уни мустаҳкамлик ва бикрликка ҳисоблаш қўйидаги тартибда олиб борилади:

— ички куч факторларини аниқлаш;

— элемент материалини Гук қонунига бўйсунишини таъкидлаш;

— чизиқли ёки бурчакли деформациялар ички кучга тўғри ва элементнинг бикрлигига тескари пропорционал ўзгаришини ёзиш;

— барча кучланишлар ички кучга тўғри ва кесим юзанинг геометрик характеристикасига тескари пропорционаллигини ёзиш;

— элементларни бикрлик ва мустаҳкамлик шартларини ёзиш;

— бикрлик ва мустаҳкамлик шартлар асосида рационал кесимни ёки рухсат этилган юкни танлаш.

Конструкция ва иншоот қисмларини оддий ёки мурakkab деформация ҳолатларида юқорида келтирилган тартиби инобаттга олиш кетма-кетлиги сақланиши ва қўйидаги таянч сигналлари кўринишларига эга бўлиши лозим.

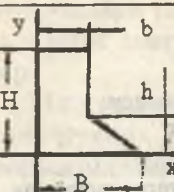
## ПЛАКАТЛАР

- 19-01. Кесиши методи
- 19-02. Ички күч факторлари
- 19-03. Чүзилиш ва сиқилиш
- 19-04. Кам углеродли чүзилиш диаграммаси
- 19-05. Турли материалларнинг чүзилиш диаграммаси
- 19-06. Пұлат ва чүйнни сиқилиш диаграммалари
- 19-07. Ёғочни механик характеристикалари
- 19-08. Пұлатни пластик ва мустақамлик характеристикалари
- 19-09. Материалларни физика-механик характеристикалари
- 19-10. Қотишмаларни физика-механик характеристикалари
- 19-11. Металларни физико-механик характеристикалари
- 19-12. Деформация тезлитининг материалларини хоссаларига таъсири
- 19-13. Температуранинг материаллар хоссаларига таъсири
- 19-14. Нұктанинг күчланғанлық ҳолати
- 19-15. Доирәвий кесимли стерженли буралиш
- 19-16. Түғри бурчакли кесим юзаларининг буралиши
- 19-17. Чүзилиш ва сиқилиштада дифференциал боғланишлар
- 19-18. Балка ва таянч турлари
- 19-19. Стерженли соф эгилиш
- 19-20. Күндалант эгилиштада дифференциал боғланишлар
- 19-21. Пластиклик ва смирилиш критерийлари
- 19-22. Мустақамлик ва пластиклик критерийлари
- 19-23. Критик күчланишлар диаграммаси
- 19-24. Турли таянчларга тирада стерженларда критик күч
- 19-25. Стерженларни устуворликка амалий ҳисоблаш
- 19-26. Стерженлар учун бүйлама сиқилиш коэффициенти
- 19-27. Статик тенгламалар
- 19-28. Текисликдаги мувозанат тенгламалари
- 19-29. Геометрик тенгламалар
- 19-30. Сен-Венан тенгламаси

## ДИАФИЛЬМЛАР

- 1. Д-1 қисм. Умумий түшүнчалар
- 2. Д-2 қисм. Сиқилиш. Силжиш. Буралиш
- 3. Д-1 қисм. Эгилиш. Мураккаб деформация. Устуворлик.

Текис кесим юзаларининг геометрик тавсифлари



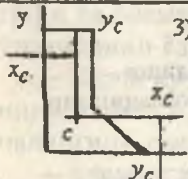
Реал объект - носимметрик шаклли кесим юза

1) Кесимни  $X$  ва  $Y$  ўқларига нисбатан статик моментлар:  $S_x = \int y \cdot dA$      $S_y = \int x \cdot dA$

2) Оғирлик марказини координаталари

$$x_c = \frac{x_1 \cdot A_1 + x_2 \cdot A_2}{A_1 + A_2} \quad y_c = \frac{y_1 \cdot A_1 + y_2 \cdot A_2}{A_1 + A_2}$$

$$x_1 = \frac{b}{2} \quad x_2 = b + \frac{1}{3}(B-b) \quad y_1 = \frac{H}{2} \quad y_2 = \frac{h}{3}$$



3) Марказий  $x_c$  ва  $y_c$  ўқларга нисбатан кесимни инерция моментлари

$$I_{xc} = I_x + a^2 \cdot A \quad I_{yc} = I_y + b^2 \cdot A$$

$$I_{xyc} = I_{xy} + a \cdot b \cdot A$$



Бош инерция ўқлар йўналишини аниқлаш

$$\operatorname{tg} 2\alpha_0 = - \frac{2I_{xyc}}{I_{xc} - I_{yc}}$$

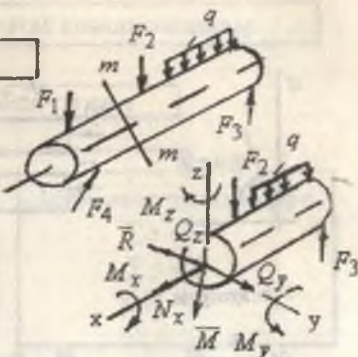
Бош инерция моментларни экстремал қийматлари:

$$I_{xoy} = \frac{I_{xc} - I_{yc}}{2} \cdot \sin 2\alpha_0 + I_{xyc} \cdot \cos 2\alpha_0 = 0$$

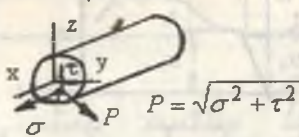
$$I_{\max} = \frac{1}{2} [(I_{xc} + I_{yc}) \pm \sqrt{(I_{xc} - I_{yc})^2 + 4 \cdot I_{xyc}^2}]$$

Реал объект - юкланиш схемаси

Кесиш усули, ичкі күч  
факторларини анықлаш  
 $\sum x = 0 \quad \sum M_x = 0$   
 $\sum y = 0 \quad \sum M_y = 0$   
 $\sum z = 0 \quad \sum M_z = 0$



Материалларни күчлән-  
ганлик ҳолаты



Мустағаммалық шарты  
 $\sigma_{\max} \leq [\sigma] \quad \tau_{\max} \leq [\tau]$

Кесимни  
танлаш

$$A \geq \frac{F}{[\sigma]}$$

$$W \geq \frac{M}{[\sigma]}$$

Ружат этил-  
ган юк

$$F_{pyx} = A \cdot [\sigma]$$

$$M_{pyx} = W \cdot [\sigma]$$

Гук қонуни

$$\sigma = E \cdot \varepsilon \quad \tau = G \cdot \gamma$$

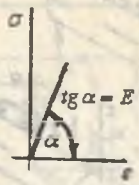
Деформация тенгламалари

$$\Delta \ell = \frac{Fl}{EA}, \quad \varphi = \frac{M \cdot l}{Gl_p}$$

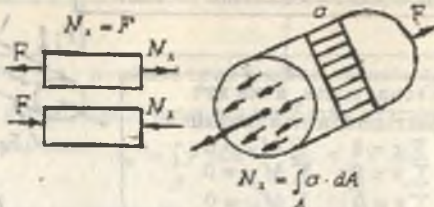
$$EI \cdot y'' = M_x \quad \Delta = \int \frac{MM_1 dx}{EI}$$

Бикрлик шарты  
 $f \leq [f] \quad \varphi \leq [\varphi]$

Материалларнинг жосса-  
ларини ұрганиш



Гүк қонуни

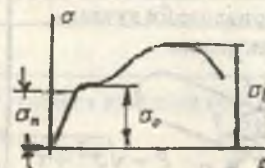
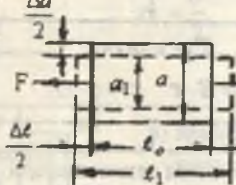


Нормал күчлөлиш

$$\frac{\Delta t}{\Delta x} = \frac{F \cdot t_e}{EA}$$

$$\sigma = E \varepsilon$$

$$\sigma = \frac{F}{A}$$



бикрлик

$$\varepsilon = \frac{\sigma}{E}$$

чүзиллиш жаңырылыш  
эластичек модули

$$[\sigma] = \frac{\sigma_p}{n}$$

Көлдик дәформация:  
пластиклик  $\delta > 5\%$   
муртлик  $\delta < 5\%$

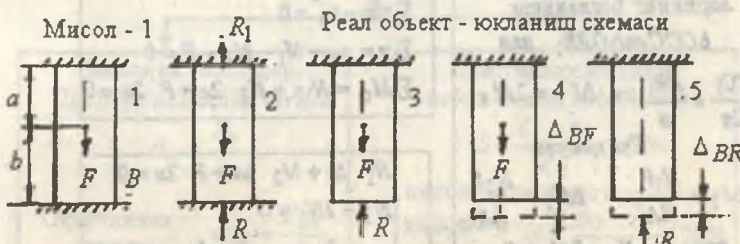
Мустағаммалык шарт

$$\sigma_{\max} = \frac{F}{A} \leq [\sigma]$$

Рационал кесим

$$A \geq \frac{F_{\max}}{[\sigma]}$$

Чүзилиш ва сиқилишда статик ноаниқ масалалар



Деформация тенгламиши

$$\Delta_B = \Delta_{BF} - \Delta_{BR} = 0$$

$$\Delta_{BF} = \frac{Fa}{EA}, \quad \Delta_{BR} = \frac{R(a+b)}{EA}$$

Номаълум куч  $R$  - ни топиш

Мувозанат тенгламиши

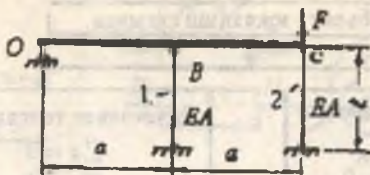
$$\sum y = R_1 - F + R = 0$$

Аниқмаслик даражаси

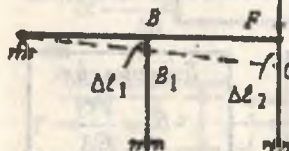
$$S = n - m = 2 - 1 = 1$$

$$R = F \left( \frac{a}{a+b} \right) \quad R_1 = F \left( \frac{b}{a+b} \right)$$

Мисол - 2



Деформациялардың қолыт



Стеркендір деформациялариниң бөлшемдерінің

$\Delta O C C_1$  және  $\Delta O B B_1$  да

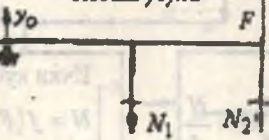
$$\frac{CC_1}{2a} = \frac{BB_1}{a} \text{ үз } \Delta\ell_2 = 2\Delta\ell_1$$

Гук қоюккы

$$\Delta\ell_1 = \frac{N_1 t}{EA}, \quad \Delta\ell_2 = \frac{N_2 t}{EA}$$

$$\text{узды } N_2 - 2N_1 = 0$$

Кесиш усулі



Мұнсағат тектеламалар

$$\sum x = -x_0 = 0$$

$$\sum y = y_0 - N_1 - N_2 - F = 0$$

$$\sum M_O = N_1 a + N_2 \cdot 2a + F \cdot 2a = 0$$

$$N_1 \cdot 2a + N_2 \cdot 2a + F \cdot 2a = 0$$

$$N_2 - 2N_1 = 0$$

$$N_1 = \frac{2}{3}F \rightarrow N_2 = \frac{4}{3}F$$

Абсолют үзайтын

$$\Delta\ell_1 = \frac{2Rt}{3EA}, \quad \Delta\ell_2 = \frac{4Rt}{3EA}$$

$$A \geq \frac{4F}{3[\sigma]}$$

Мұстахамиян шарты

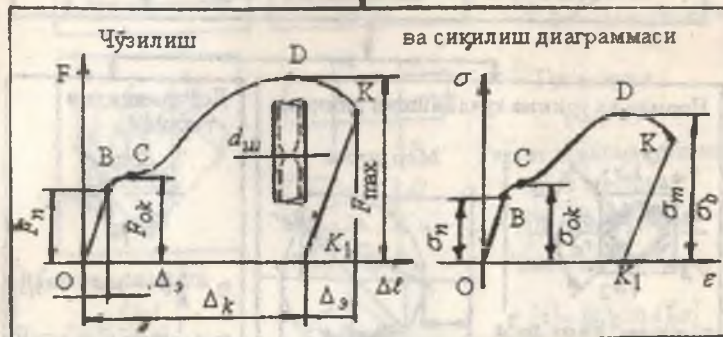
$$\sigma_1 = \frac{N_1}{A} = \frac{2F}{3A} \leq [\sigma]$$

$$\sigma_2 = \frac{N_2}{A} = \frac{4F}{3A} \leq [\sigma]$$

$$F_{\text{пры}} = \frac{3}{2} A \cdot [\sigma]$$

Материалларни хоссаларини тажрибада үрганиш

Реал материал - намуна, синов машинаси ва мақсади



Механик хоссалар:  
Пропорционаллик чегара

$$\sigma_n = \frac{F_n}{A_0}$$

Оқыуччанлык чегара  $\sigma_{ok} = \frac{F_{ok}}{A_0}$

Мустаражамлык чегара  $\sigma_b = \frac{F_{max}}{A_0}$

Пластиклік хоссалар:  
нисбеттік деформация

$$\delta = \frac{\ell_1 - \ell_0}{\ell_0} \cdot 100\%$$

нисбеттік күндаланғыш

$$\kappa = \frac{A_0 - A_1}{A_0} \cdot 100\%$$

$\delta > 5\%$  - пластик материал

$\delta < 5\%$  - мұрт материал

Рухсат этилган күчләнеш

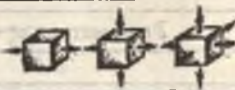
$$[\sigma] = \frac{\sigma_{ok}}{\eta}$$

эластик модули  $E = \text{tg} \alpha$

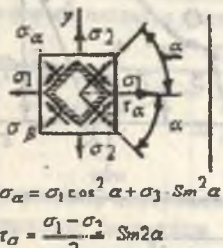
$$\text{Пуассон сони } \mu = \frac{\epsilon}{\eta}$$

Күчләнгәнлик ва мұстақаммият назарияри

Реал объект - күчләнгәнлик түрі:  
чиңкүй, текис, қажмий



Нормал ва уримма күчләнишни анықлаш



Деформацияни тақдилди



$$\varepsilon_1 = \frac{1}{E} [\sigma_1 - \mu(\sigma_2 + \sigma_3)]$$

$$\varepsilon_2 = \frac{1}{E} [\sigma_2 - \mu(\sigma_1 + \sigma_3)]$$

$$\varepsilon_3 = \frac{1}{E} [\sigma_3 - \mu(\sigma_1 + \sigma_2)]$$

$$\varepsilon_0 = \frac{1-2\mu}{E} (\sigma_1 + \sigma_2 + \sigma_3)$$

Бош күчләнишлар:

$$\sigma_{1,3} = \frac{1}{2} [(\sigma_\alpha + \sigma_\beta) \pm \sqrt{(\sigma_\alpha - \sigma_\beta)^2 + 4 \cdot \tau_\alpha^2}]$$

Гүк қонуның қажмнның иисбий үзгариш

Конструкцияни мұстақаммияттың текшириш

Деформацияланғанлықта күчләнгәнликни хавфлик даражасы

$$\sigma_{\max} = \sigma_1 < \sigma_0$$

$$\varepsilon_{\max} = \varepsilon_1 < \varepsilon_0$$

$$\varepsilon_{\max} = \varepsilon_0$$

$$U < U_0$$

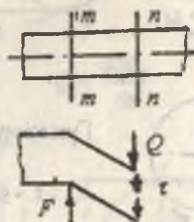
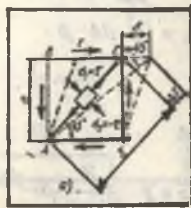
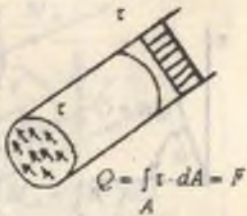
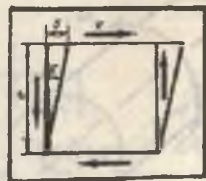
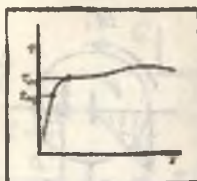
$$\sigma_1 \leq [\sigma]$$

$$\sigma_1 - \mu(\sigma_2 + \sigma_3) \leq [\sigma]$$

$$\sigma_1 - \sigma_3 \leq [\sigma]$$

$$\sqrt{\sigma^2 + 3\varepsilon^2} \leq [\sigma]$$

мұстақаммият шарттар



Абсолют силжиш

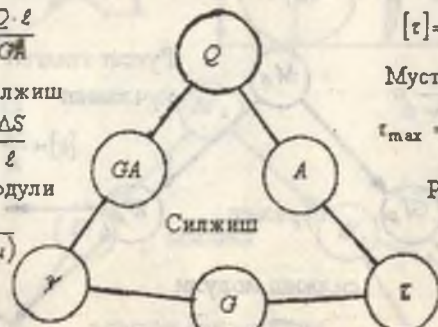
$$\Delta S = \frac{Q \cdot e}{G A}$$

Нисбий силжиш

$$tgy = \frac{\Delta S}{e}$$

Силжиш модули

$$G = \frac{E}{2(1+\mu)}$$



Парчин миҳли биринкмани ҳисоблаш

- қирқилиш

$$\tau_{\max} = \frac{4F}{\pi d^2} \leq [\tau] \quad n \geq \frac{4F}{\pi d^2 [\tau]}$$

- эзилиш

$$\sigma_c = \frac{F}{\pi d^2} \leq [\sigma]_c \quad n \geq \frac{F}{\pi d^2 [\sigma]_c}$$

- чүзилиш ва сиқилиш

$$\sigma = \frac{F}{l(b - md)} \leq [\sigma]$$

Гүк қонуни

$$\tau = \gamma \cdot G$$

Рухсат этилган күчләниш

мұрт материал

$$[\tau] = (0,8 \dots 1,0) [\sigma]$$

пластик материал

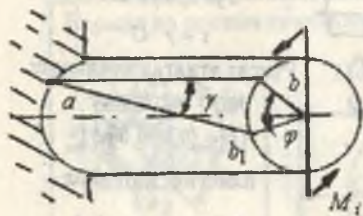
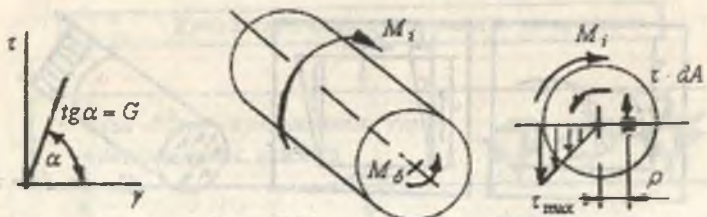
$$[\tau] = (0,5 \dots 0,6) [\sigma]$$

Мустажкамлик шарт

$$\tau_{\max} = \frac{F}{A} \leq [\tau] \quad A \geq \frac{F}{[\tau]}$$

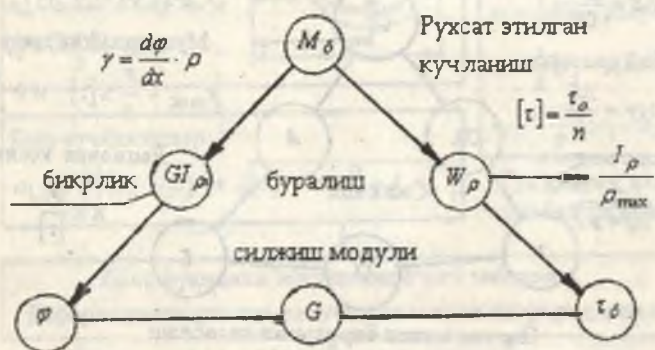
Рационал кесим

$$A \geq \frac{F}{[\tau]}$$



Гүк қонуни

$$\tau = \gamma \cdot G = \gamma \cdot \frac{E}{2(1+\mu)}$$



буралиш бурчаги

$$\varphi = \frac{M_\delta \cdot \ell}{G \cdot I_\rho}$$

бикрлик шарти

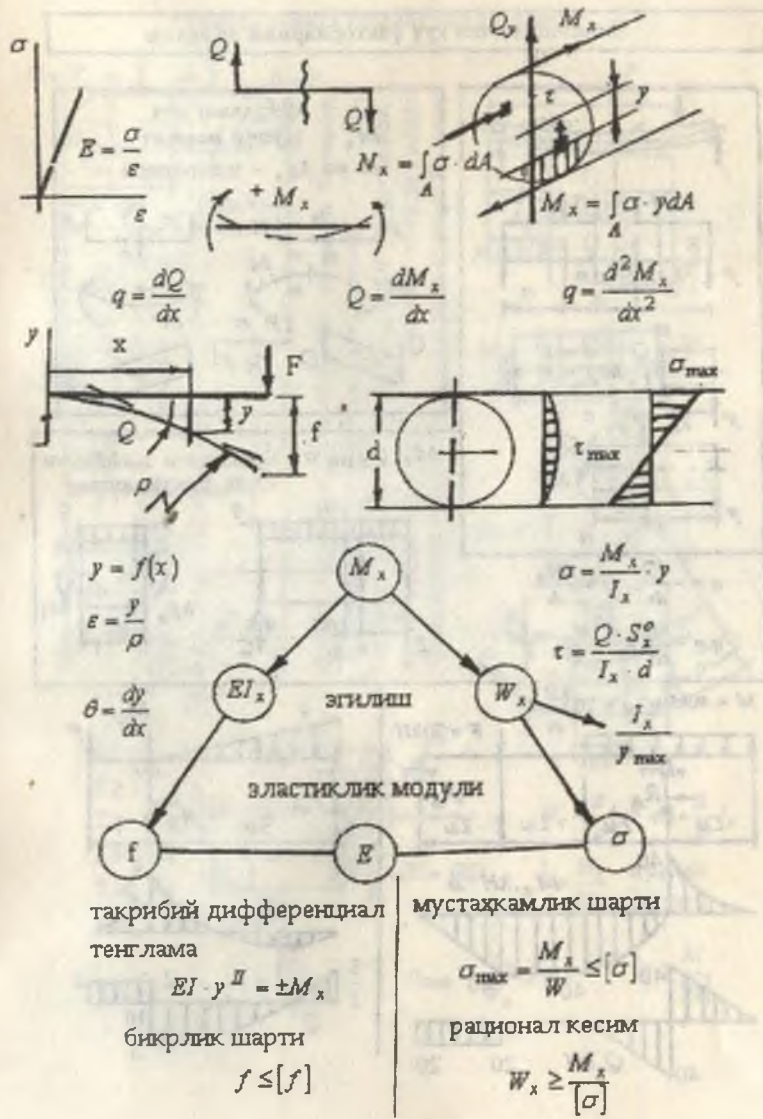
$$\varphi \leq [\varphi]$$

уринма күчләнниш

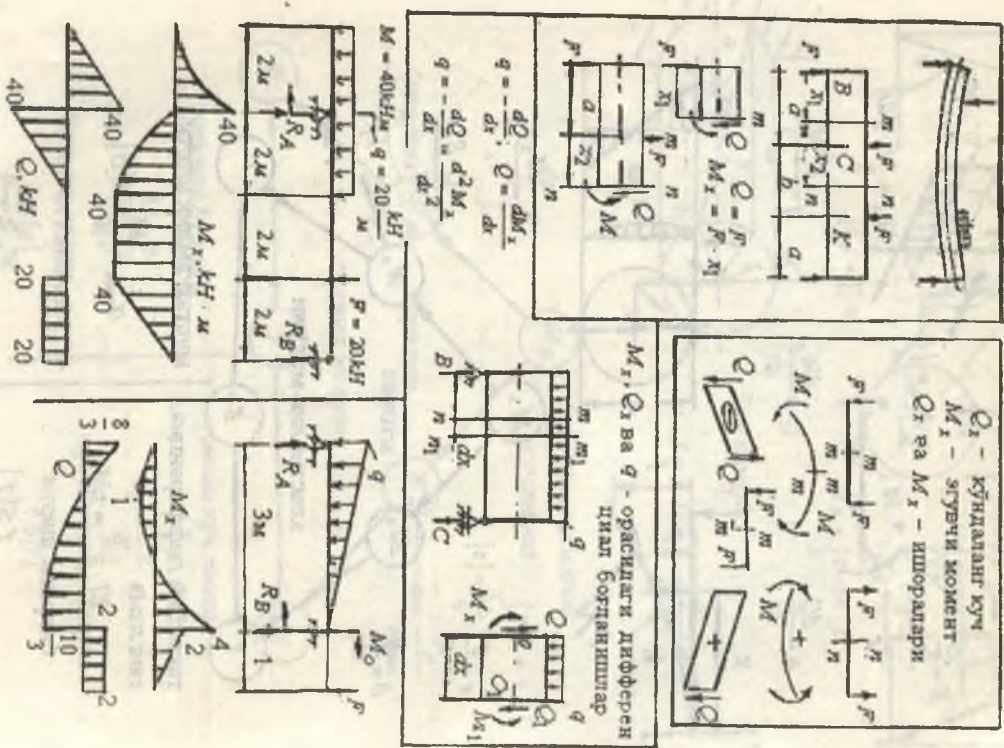
$$\tau_\delta = \frac{M_\delta}{W_\rho}$$

мұстажкамлік шарти

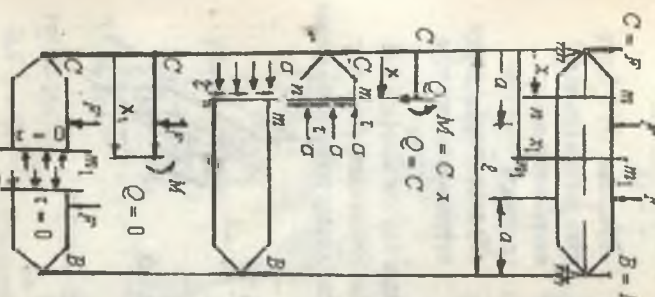
$$\tau \leq [\tau]$$



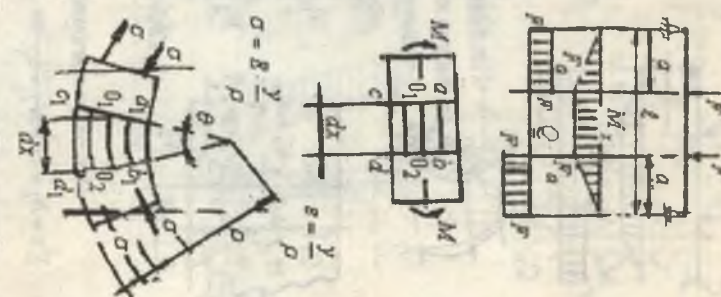
Эгилища ички күч факторларини аныктасы



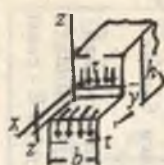
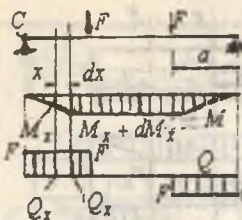
Эгилища нормал күчләниши аныктасы



- Фақат нормал күчләниш таъсиридаги балкани деформациясы - соғ эгилиш дейилади
- Балкани эгилишда ғэ узунлигини ўзгартырмайдын материал толаси - нейтрал толадейилади
- Чүзиладиган ва сиқиладиган толалар учун  $E = \text{const}$



Эгилишда үримма күчләнишни аныкташ

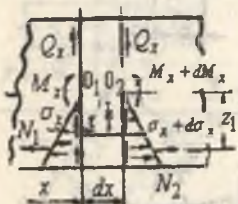


- Күндаланг күч Q барча ички үримма күчләнишләрнинг төнд таслоу түрүнде күтүүчеси
- Үримма күчләнишләрни жүфтлик алматига күра



- кесимнинг нейтрал үқидан бир хил масофада жойлашып көзләрдагы үримма күчләнишләр үзаро тенг
- балкани эгилишида кесим көзләр текислигича қолади

Чүзүвчи күчләр



$$N_1 = \int \sigma_x \cdot dA - \frac{M_x}{I_y} \int z_1 \cdot dA$$

$$N_2 = \frac{M_x + dM_x}{I_y} \int z_1 \cdot dA$$

$KBOQIC$  - юзани статик моменти

$$S_y^0 = A \int z_1 \cdot dA$$



Тангенциал күч  
 $dT = t \cdot b dx$

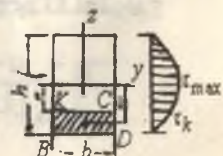
Мувозанат тенгламаси

$$\sum x = N_1 + dT - N_2 = 0 \quad \text{ва} \quad \frac{M_x}{I_y} \cdot S_y^0 + t \cdot b \cdot dx - \frac{M_x + dM_x}{I_y} S_y^0 = 0$$

$$\text{Үримма күчләниш } t = \frac{dM_x}{dx} \cdot \frac{S_y^0}{I_y \cdot b} = \frac{Q \cdot S_y^0}{I_y \cdot b} \quad S_y^0 \frac{b}{2} \left( \frac{h^2}{4} - z^2 \right)$$

$$t = \frac{6Q \left( \frac{h^2}{4} - z^2 \right)}{bh^2}, \quad z = 0 \text{ бүлсә } t = t_{\max} = \frac{3Q}{2bn}$$

$$z = \frac{h}{2} \quad \text{бүлсә } t = 0$$



Балканинг мустағамлигини тұлғы текшириш

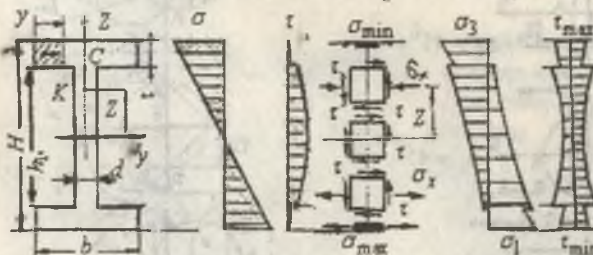
$$R_B = \frac{F}{2} \quad \text{Нормал күчләниш} \quad \sigma = \frac{M \cdot Z}{I_x}$$

$$Z = 0 \rightarrow \sigma = 0; \quad Z = \frac{H}{2} \rightarrow \sigma_{\max} = \frac{M}{W_{yo}}$$

Уринма күчләниш  $\tau = \frac{Q \cdot S_y}{I_y \cdot b(d)}$

$$R_A \quad M_x \quad Z = \frac{H}{2} \rightarrow \tau = 0; \quad Z = h_1 \quad \tau_0 = \frac{Q \cdot t(h_1 - t) \cdot b}{2I_y b(d)}$$

$$R_B \quad Z = Z_k \quad \tau_k = \frac{Q}{2I_y \cdot d} \left[ bt(h_1 - t) + d \left( \frac{h_1^2}{5} - Z^2 \right) \right]$$



$$\tau_n = \frac{Q \cdot y(H-t)}{2I_y} \quad I_y = \frac{dt_1^3}{12} + 2 \left[ \frac{bt^3}{12} + bt \left( \frac{H-t}{2} \right)^2 \right]$$

- Мустағамлық шарттар

$$\sigma_{\max} = \frac{M_{\max}}{W} \leq [\sigma] \quad \tau_{\max} = \frac{Q \cdot S_{\max}}{I_x \cdot d} \leq [\tau]$$

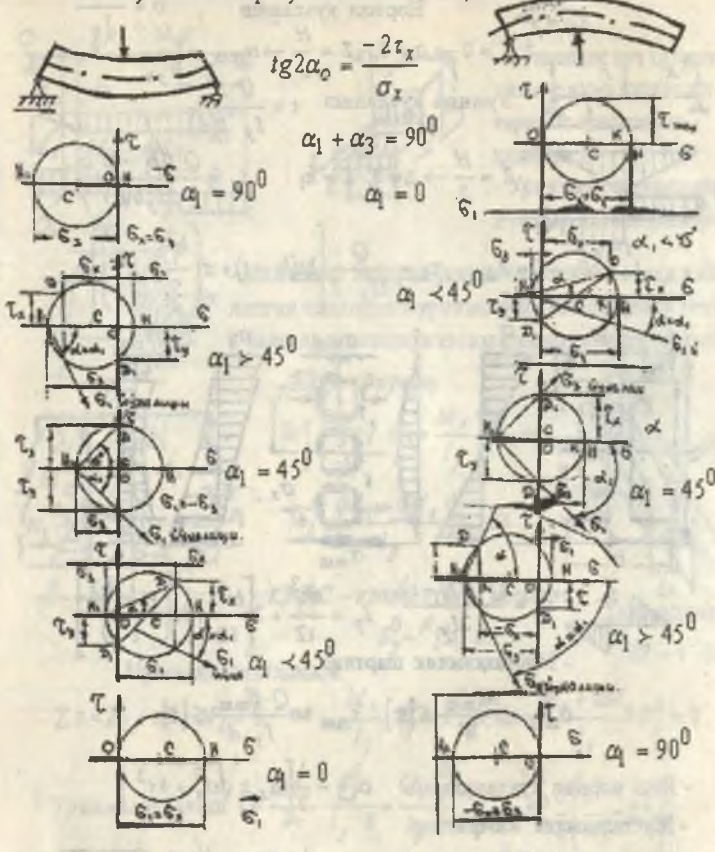
- Болш нормал күчләнишлар  $\sigma_{1,3} = \frac{1}{2} \left[ \sigma_x \pm \sqrt{\sigma_x^2 + 4\tau^2} \right]$

- Мустағамлық нәзариялар

I - нәзария  $\sigma_1 \leq [\sigma] \quad \text{II - нәзария } \frac{1-\mu}{2} \sigma_x + \frac{1+\mu}{2} \sqrt{\sigma_x^2 + 4\tau^2} \leq [\sigma]$

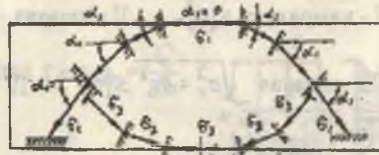
III - нәзария  $\sqrt{\sigma_x^2 + 4\tau^2} \leq [\sigma] \quad \text{IV - нәзария } \sqrt{\sigma_x^2 + 3\tau^2} \leq [\sigma]$

Бош күчланишлар йұналишини анықлаш

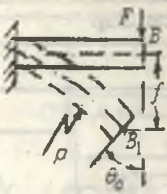


$\alpha_1$  - чүзүвчи күчланиш

$\alpha_3$  - сиқувчи күчланиш



### Эгилашда күчишларни анықлаш



- эгри үк тенглемаси  $y = f(x)$
- салықлик ва кесимни айланыш бурчаги орасидаги бояланиш  $\theta = \frac{dy}{dx}$
- балканинг эгрилик радиуси бикрлиги ва эгувчи момент орасидаги бояланиш  $\frac{1}{\rho} = \frac{M}{EI}$

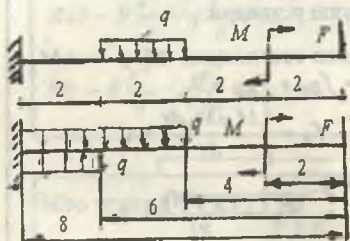
- балка эгилган ўқининг тақрибий дифференциал тенглемаси

$$EI \cdot \frac{d^2y}{dx^2} = \pm M$$

- кесиммининг айланыш бурчаги  $\theta = \frac{1}{EI} [ \int M dx + C ]$

салықлик  $\theta$   $y = \frac{1}{EI} [ \int dx ] M - dx + Cx + D ]$

- бошланғыч параметрлар усулі



- эгрилик радиуси ва унинг координаталари орасидаги бояланиш  $\frac{1}{\rho} = \pm \frac{d^2y}{dx^2}$

- графоаналитик усул.  
Сохта күч интенсивлигиги билан сохта эгувчи момент орасидаги бояланиш

$$\frac{d^2M_c}{dx^2} = q_c \quad \frac{d^2(EI \cdot y)}{dx^2} = \frac{d^2M_c}{dx^2}$$

<u>жакын балка</u>	<u><math>y = 0</math></u>	<u><math>y \neq 0</math></u>	<u><math>y = \frac{M_c}{EI}</math></u>
$\theta = 0$	$\theta \neq 0$		
<u>сохта балка</u>			
$M_c = 0$	$M_c \neq 0$	$\theta = \frac{Q_c}{EI}$	
$Q_c = 0$	$Q_c \neq 0$		

- универсал формула

$$\theta = \theta_0 + \frac{1}{EI} \left[ -F \frac{x^2}{2} - M(x-2)^2 - q \frac{(x-4)^3}{6} + q \frac{(x-6)^3}{6} \right]$$

$$y = y_0 + \theta_0 + \frac{1}{EI} \left[ -F \frac{x^3}{6} - M \frac{(x-2)^2}{2} - q \frac{(x-4)^4}{24} + q \frac{(x-6)^4}{24} \right]$$

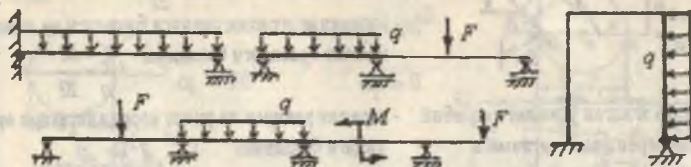
Мор усуди

$$f = \int \frac{M \cdot M_1 dx}{EI}$$

$$f = \frac{\sigma \cdot M_1}{EI}$$

Эгилишда статик ноанық масалалар

Реал объект - юкланиш схемаси



Статик ноанық системаны мувозанат тенгламаларини түзиш ва аниқмаслик даражасини анықлаш:

$$\sum x = 0 \quad \sum y = 0 \quad \sum z = 0$$

$$\sum M_x = 0 \quad \sum M_y = 0 \quad \sum M_z = 0 \quad S = n - m$$

Статик ноанықлыкни очиш усуллари:

- Эгилган ўқ тақрибий дифференциал тенгламаси  $EI \cdot y''' = \pm M_x$
- Деформацияни тақослаш  $f_B = f_{Bx} + f_{Bz} = 0$
- Мор интегралини табдиқ этиш  $f_B = \int_0^L \frac{M_F M_1 dx}{EI} = 0$
- Верещагин қоидасини табдиқ этиш  $f_B = \frac{\omega_F \cdot M_1}{EI} = 0$
- Уч момент тенгламаси

$$M_1 \ell_1 + 2M_2 (\ell_1 + \ell_2) + M_2 \cdot \ell_2 = -6 \left( \frac{\omega_1 \alpha_1}{\ell_1} + \frac{\omega_2 \alpha_2}{\ell_2} \right)$$

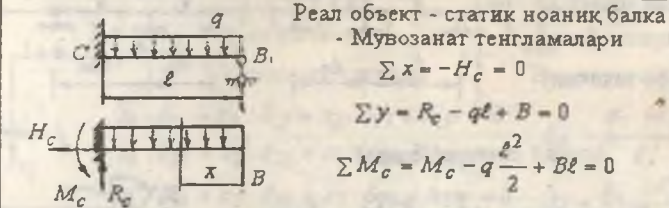
- Каноник тенглама түзиш  $x_1 \delta_{11} + \Delta_{1F} = 0$

Этувчи момент эпюрасини қуриш

Мустағкамлыкни текшириш

Бикрлийка ҳисоблаш

Этилишда оддий статик ноаниқ масала



Күшимчя тенгламалар түзүш усуллари

Балка  
екилгап үкім  
такрибий  
ни тадбик  
этиш

 $Ely'' = Bx - q \frac{x^2}{2}$ 
 $EI\theta = B \frac{x^2}{2} - q \frac{x^3}{6} + C$ 
 $Ely = B \frac{x^3}{6} - q \frac{x^4}{24} + Cx + D$

Мердемнен түзүлгөн  
коэффициенттер

 $f_B = f_{Bq} + f_{BB} = 0$ 
 $f_{Bq} = -\frac{q\ell^4}{8EI}$ 
 $f_{BB} = -\frac{B\ell^3}{3EI}$

Мор усули

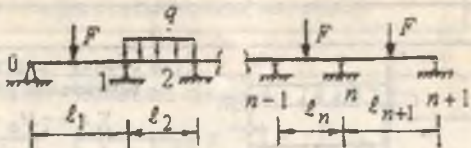
 $f_B = \int_0^\ell \frac{M_x M_0 dx}{EI} = 0$ 
 $M_x = Bx - q \frac{x^2}{2}, \quad M_0 = 1 \cdot x$ 
 $f_B = \int_0^\ell \frac{(Bx - q \frac{x^2}{2}) dx}{EI} = 0$

Верещагин усули

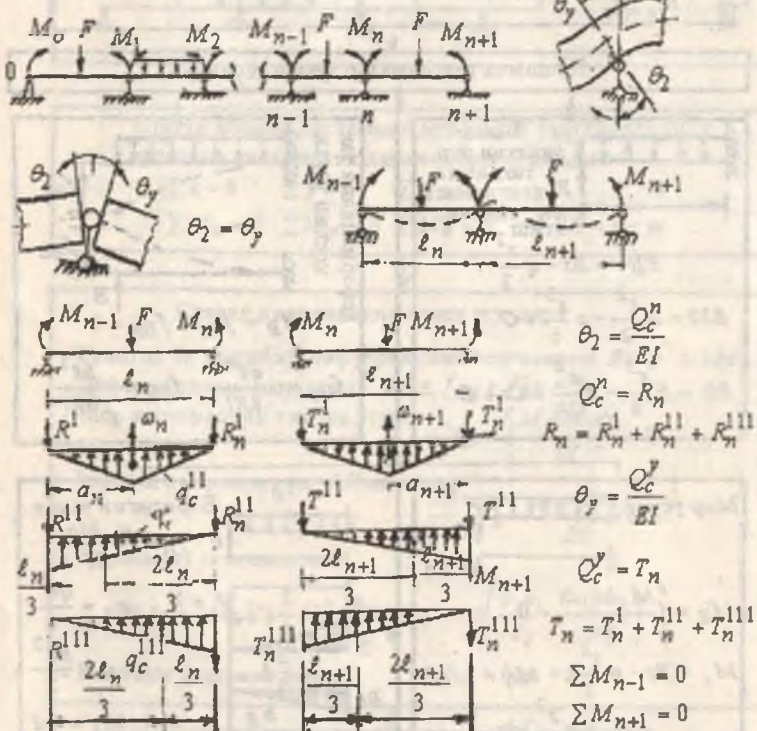
 $f_B = \frac{a \cdot M_0}{EI}$ 
 $a_q = \frac{q\ell^3}{6}$ 
 $a_B = \frac{B\ell^2}{2}$ 
 $M_q = \frac{3}{4} \ell$ 
 $M_B = \frac{2}{3} \ell$ 
 $B = \frac{3}{8} q\ell$

Уч момент назарияси

Реал объект -  
узлуксиз балка  
(күп. таянчли)



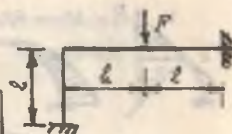
Асосий система (балка)



Уч момент тенгламаси:

$$M_{n-1} \cdot l_n + 2M_n(l_n + l_{n+1}) + M_{n+1} \cdot l_{n+1} = 0 \left( \frac{\omega_n \cdot \omega_n}{l_n} + \frac{\omega_{n+1} \cdot \omega_{n+1}}{l_{n+1}} \right)$$

Реал объект - статик тоанық рама



Асосий система

Каноник тенглама



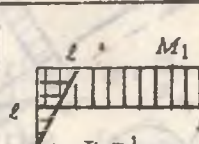
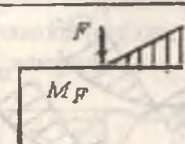
$$x_1 \cdot \delta_{11} + x_2 \cdot \delta_{12} + x_3 \cdot \delta_{13} + \Delta_{1F} = 0$$

$$x_1 \cdot \delta_{21} + x_2 \cdot \delta_{22} + x_3 \cdot \delta_{23} + \Delta_{2p} = 0$$

$$x_1 \cdot \delta_{31} + x_2 \cdot \delta_{32} + x_3 \cdot \delta_{33} + \Delta_{3F} = 0$$

$$\delta_{ik} = \frac{\omega_i \cdot M_k^o}{EI}$$

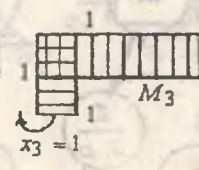
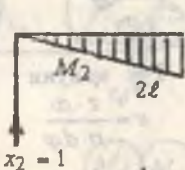
$$\delta_{ii} = \frac{\omega_i \cdot M_i^o}{EI}$$



$$\delta_{11} = \frac{\frac{1}{2} \ell \cdot \ell \cdot \frac{2}{3} \ell + \ell \cdot 2\ell \cdot \ell}{EI} = \frac{7\ell^3}{3EI}$$

$$\delta_{12} = \frac{\ell \cdot 2\ell \cdot \ell}{EI} = \frac{2\ell^3}{EI}$$

$$\delta_{13} = \frac{\ell \cdot 2\ell \cdot \ell + \frac{1}{2} \ell \cdot \ell \cdot \ell}{EI} = \frac{5\ell^3}{2EI}$$



$$\delta_{22} = \frac{\frac{1}{2} \cdot 2\ell \cdot 2\ell \cdot \frac{2}{3} \cdot 2\ell}{EI} = \frac{8\ell^3}{3EI}$$

$$\delta_{23} = \frac{\frac{1}{2} \cdot 2\ell \cdot 2\ell \cdot 1}{EI} = \frac{2\ell^2}{EI}$$

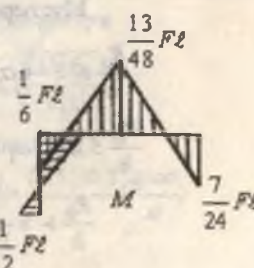
$$\delta_{33} = \frac{1 \cdot \ell + 1 \cdot 2\ell}{EI} = \frac{3\ell}{EI}, \quad \delta_{1F} = \frac{\frac{1}{2} \cdot \ell \cdot F\ell \cdot \ell}{EI} = \frac{F\ell^3}{2EI}, \quad \delta_{2p} = \frac{\frac{1}{2} \cdot \ell \cdot F\ell \cdot \frac{54}{3}}{EI} = \frac{5F\ell^3}{6EI}$$

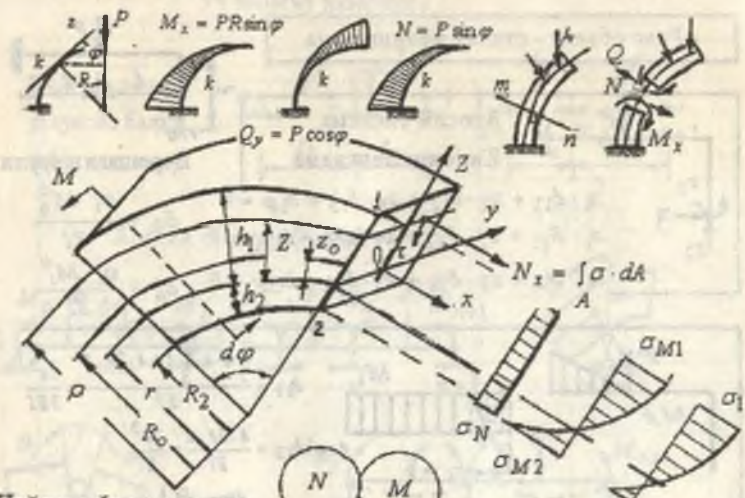
$$\frac{7}{3} \ell \cdot x_1 + 2\ell \cdot x_2 + \frac{5}{2} \cdot x_3 - \frac{F\ell^2}{2} = 0$$

$$2\ell \cdot x_1 + \frac{8}{3} \ell \cdot x_2 + 2x_3 - \frac{5F\ell^2}{6} = 0$$

$$\frac{5}{2} \ell \cdot x_1 + 2\ell \cdot x_2 + 3x_3 - \frac{F\ell^2}{2} = 0$$

$$x_1 = \frac{F}{4}; \quad x_2 = \frac{7F}{16}; \quad x_3 = \frac{F\ell^2}{12}$$



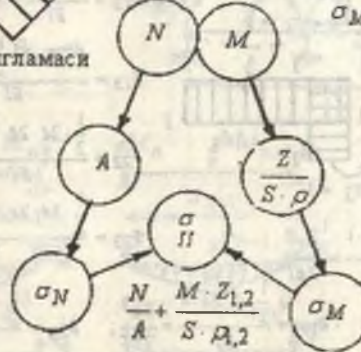


Нейтрал үк тәнгламаси

$$r = \frac{A}{\int \frac{dA}{A \rho}}$$

$$\rho = r + z$$

$$z_0 = R_0 - r$$



Гүк қонуни

$$\varepsilon = \frac{z \cdot \alpha}{\rho \cdot d\varphi}$$

Статик момент

$$S = A \cdot Z$$

$$\text{Мустағаммалык шарт } \sigma_{\max} = \frac{N}{A} \pm \frac{M \cdot Z_{1,2}}{S \cdot \rho_{1,2}} \leq [\sigma]$$

$$\frac{R_0}{h} \leq S \rightarrow \sigma = \frac{M}{W}$$

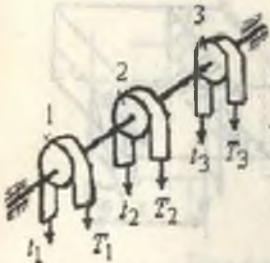
$$W_y = \frac{I_y}{Z_{\max}}$$

$$\frac{R_0}{h} \leq S \rightarrow \sigma_1 = 0,935 \frac{M}{W}$$

$$\sigma_2 = 1,071 \frac{M}{W}$$

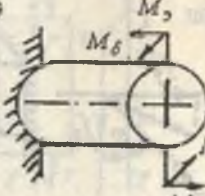
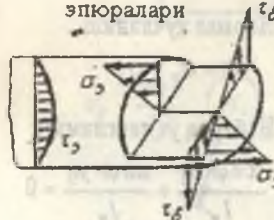
$$\frac{R_0}{h} > 5 \rightarrow \sigma = \sigma_N + \sigma_M = \frac{N}{A} + \frac{M \cdot Z_{1,2}}{S \cdot \rho_{1,2}}$$

Вални буралиш билан эшилишга  
хисоблаш



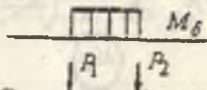
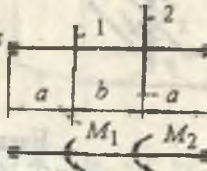
Нормал ва уринма  
кучланишларнинг

эпюралари



$$\sigma_3 = \frac{M_3}{W}$$

$$\tau_\delta = \frac{M_\delta}{W\rho}$$



Келтирилган момент

$$M_k = \sqrt{M_\delta^2 + M_3^2}$$

Мустаҳкамлик шарт

$$\frac{M_k}{W} \leq [\sigma]$$

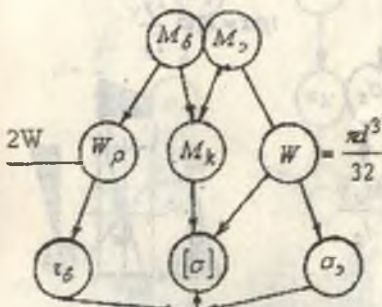
Вални диаметри

$$d \geq \sqrt[3]{\frac{32M_k}{\pi[\sigma]}}$$

Бикрлик шарт

$$\varphi \leq [\varphi] = \frac{0,15 \dots 0,3}{\ell} \left( \frac{\text{град.}}{\mu} \right)$$

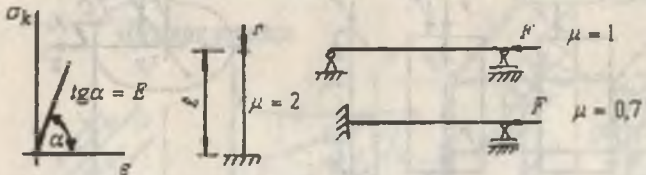
$$f \leq [f]$$



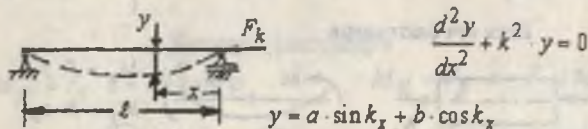
$$\sigma_{1,3} = \frac{1}{2} \left[ \sigma_3 \pm \sqrt{\sigma_3^2 + 4\tau_\delta^2} \right]$$

Бош кучланишлар

## Сиқылған стержендернің устуорлігі



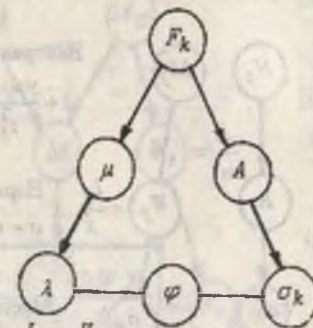
$$\sigma_k = \sigma_n = E \cdot \varepsilon - \text{Гүк қонуни}$$



Этилувчанлык

$$\lambda = \mu \frac{\varepsilon}{l_{\min}}$$

$$l_{\min} = \sqrt{\frac{l_{\min}}{A}}$$



$$\varphi = f(\lambda) = \varphi^I + \frac{\varphi^I + \varphi^{II}}{10} \cdot K_\lambda$$

$$\varphi^I = f(\lambda, \text{материал})$$

$$\varphi^{II} = f(\lambda, \text{материал})$$

Критик күч

$$F_k = \frac{n^2 \pi^2 \cdot EI_{\min}}{(\mu \ell)^2}$$

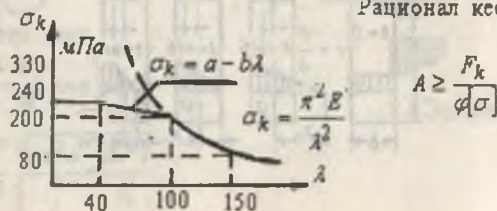
Күчланиш

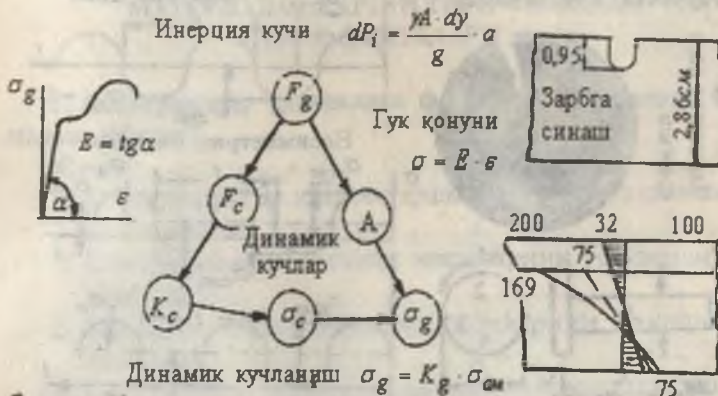
$$\sigma_k = \frac{F_k}{A}$$

Устуорлік шарт

$$\sigma_k = \frac{F_k}{A \cdot \varphi} \leq [\sigma]$$

Рационал кесим





Мустаҗамлык шарты.

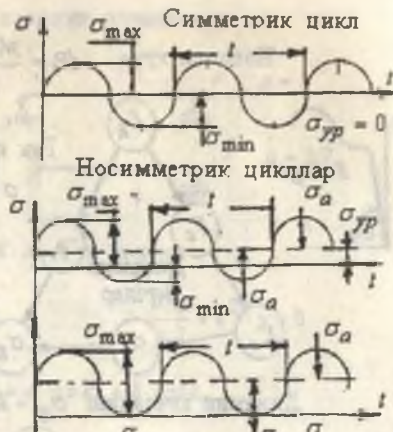
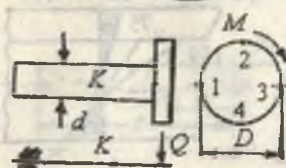
$$\sigma_{g,\max} \leq [\sigma]$$

Рұксат этилган күчләнеш

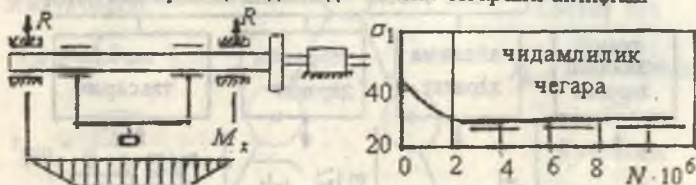
$$[\sigma] = \frac{\sigma_0}{n}$$

Рұксат этилган юза:  $A \geq \frac{K_g \cdot F_c}{[\sigma]}$

Үзгәрүчан күчләнишлар



Симметрик цисінде чидамлилік чегаралы анықталып



Толиқшыга мустағжамлык шар

$$\sqrt{\sigma^2 + 3\tau^2} \leq [\sigma]$$

Чидамлилік коэффициенти

$$\eta = \frac{n_\sigma \cdot n_\tau}{\sqrt{n_\sigma^2 + n_\tau^2}}$$

Мустағжамлықта эңтиетлік коэффициенттер

$$n_\sigma = \frac{\sigma}{K_\sigma \cdot \sigma_a + \psi_\sigma \cdot \sigma_m}$$

$$n_\tau = \frac{\tau_{-1}}{K_\tau \cdot \tau_a + \psi_\tau \cdot \tau_m}$$

$$\sigma_{-1}^3 = 0.4 \cdot \sigma_b - \text{эгилиш}$$

$$\sigma_{-1}^\delta = 0.22 \cdot \sigma_b - \text{буралиш}$$

$$\sigma_{-1}^o = 0.28 \cdot \sigma_b - \text{чүзилиш}$$

Материалларни күчләнишларга сезирлигі

$$\psi_\sigma = \frac{2\sigma_{-1} - \sigma_o}{\sigma_o}$$

$$\psi_\tau = \frac{2\tau_{-1} - \tau_o}{\tau_o}$$

## МАТЕРИАЛПАР ҚАРШИЛИГИ ФАНИДАН ТЕСТ САВОЛЛАРИ

**1. Материаллар қаршилиги фанининг вазифалари ни-  
мадан иборат?**

Жавоб:

1. Конструкция ва иншоот қисмларини мустаҳкамликка ҳисоблаш.
2. Конструкция ва иншоот қисмларини устуворликка ҳисоблаш.
3. Конструкция ва иншоот қисмларини бикрликка ҳисоблаш.
4. Конструкция ва иншоот қисмларини мустаҳкамликка, бикрликка, устуворликка ҳисоблаш усулларини ўрганди.

**2. Мустаҳкамлик деб нимага айтилади?**

Жавоб:

1. Конструкция ва иншоот қисмларини ташқи куч таъсирига емирилмасдан қаршилик курсата олиш қобилияти.
2. Ташқи куч таъсиридан иншоот қисмини мувозанатда бўлиши.
3. Ташқи куч таъсиридан иншоот қисмida қолдиқ деформация ҳосил бўлмаслиги.
4. Конструкция ёки иншоот қисмини ташқи куч таъсирига қаршилик курсата олмаслиги.

**3. Устуворлик деб нимага айтилади?**

Жавоб:

1. Стерженларни ташқи куч таъсиридан тўгри чизиқли мувозанат ҳолатини сақлаб билиш қобилияти;
2. Ташқи куч таъсиридан стержень шаклининг ўзгариши;
3. Ташқи куч таъсиридан стержень ўқининг эгриланиши;
4. Ташқи куч таъсиридан стержень ўқининг тўғриланиши.

#### **4. Куч деб нимага айтилади?**

**Жавоб:**

1. Иккита жисмнинг ўзаро механик таъсирига.
2. Машинанинг ҳаракатига.
3. Конструкция мустаҳкамлигини таъминламайдиган факторга.
4. Конструкция бикрлигини таъминловчи факторга.

#### **5. Кесиш усули нима учун керак?**

**Жавоб:**

1. Ички кучларни кўриш ва аниқлаш учун.
2. Ташқи ва ички кучларни мувозанатлаштириш учун.
3. Стержень деформациясини аниқлаш учун.
4. Стержень кесимидағи кучланишни аниқлаш учун.

#### **6. Деформация деб нимага айтилади?**

**Жавоб:**

1. Ташқи куч таъсиридан стерженning шакли ёки ўлчамини ўзгаришига;
2. Стержень мустаҳкамлигининг йўқолишига;
3. Стерженни ташқи куч таъсиридан мувозанатини бузилишига;
4. Стерженини ташқи куч таъсиридан мувозанат ҳолатини сақланишига.

#### **7. Текис кесим юзаларининг геометрик тавсифлари нима учун керак?**

**Жавоб:**

1. Кесим юзани аниқлаш учун.
2. Оддий ва мураккаб деформацияларда мустаҳкамлика ва бикрликка ҳисоблаш учун.
3. Куч моментини аниқлаш учун.
4. Кесимнинг ўлчамини танлаш учун.

#### **8. Кесимнинг статик моменти деб нимага айтилади?**

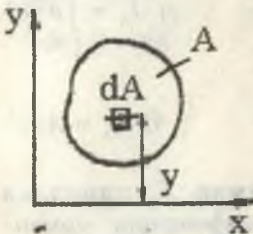
**Жавоб:**

1. Элементар юза билан тегишли ўқ орасидаги масофа кўпайтмасининг интегралига айтилади.
2. Элементар юза билан тегишли ўқ орасидаги масофа бўлинмасининг интегралига айтилади.

3. Элементар юза билан қутб нүктаси орасидаги масофа күпайтмасининг интегралига айтилади.  
 4. Элементар юзани елкага күпайтмасига айтилади.

**9. Кесимни X үқига нисбатан статик моменти формуласини кўрсатинг.**

Жавоб:



$$1) S_x = \int_0^y y dA \quad 2) S_x = F \cdot A;$$

$$3) S_x = F \cdot \ell; \quad 4) S_x = \int_0^y y^2 dA$$

- 10. Мураккаб кесим юзаларининг оғирлик маркази қайси формула билан аниқланади?**

Жавоб:

$$1. X_c = \frac{x_1 A_1 + x_2 A_2 + x_3 A_3 + \dots}{A_1 + A_2 + A_3 + \dots}; \quad Y_c = \frac{y_1 A_1 + y_2 A_2 + y_3 A_3 + \dots}{A_1 + A_2 + A_3 + \dots}$$

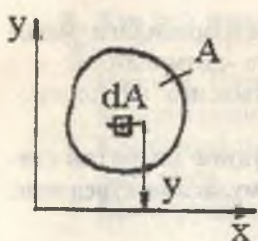
2. Кесимнинг диагоналларини кесиштириш усули билан.

$$3. X_c = \frac{S_x}{A}; \quad Y_c = \frac{S_y}{A} \quad 4) -\sum S_x = y_0 \cdot \sum A; \quad \sum S_y = x_0 \cdot \sum A$$

- 11) Кесимни инерция моменти деб нимага айтилади?**

Жавоб:

- Элементар юза билан тегишли ўқ орасидаги масофа квадратига күпайтмасининг интегралига айтилади.
- Элементар юза билан тегишли ўқ орасидаги масофа квадратига бўлинмасининг интегралига айтилади.
- Элементар юза билан қутб нүктаси орасидаги масофа күпайтмасининг интегралига айтилади.
- Элементар юзани елкага күпайтмасига айтилади.

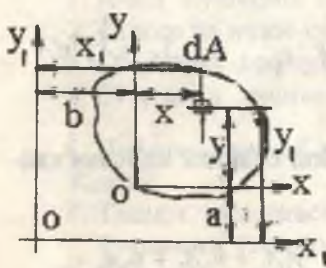


12. Кесимни X ўқига нисбатан инерция моменти формуласини күрсатинг.

Жавоб:

$$1) I_x = \int_0^A y^2 dA; \quad 2) I_x = \int_0^A \rho^2 dA$$

$$3) I_x = \int_0^A x^2 dA \quad 4) I_x = A \cdot \ell^2$$



13. Кесимни X<sub>1</sub> параллел ўқига нисбатан инерция моменти формуласини күрсатинг.

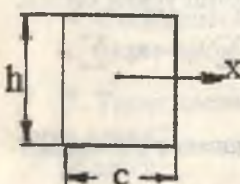
Жавоб:

$$1) I_{x_1} = I_y + b^2 \cdot A;$$

$$2) I_{x_1} = I_x + a^2 \cdot A$$

$$3) I_{x_1} = I_{xy} + ab \cdot A$$

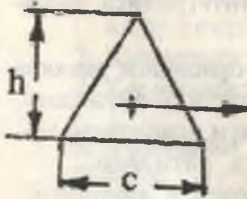
$$4) I_{x_1} = I_x + a \cdot A$$



14. Түгри бурчакли кесим юзасини X ўқига нисбатан инерция моменти формуласини күрсатинг.

$$\text{Жавоб: } 1) I_x = \frac{ch^3}{12} \quad 2) I_x = \frac{hc^3}{12}$$

$$3) I_x = \frac{ch^3}{3} \quad 4) I_x = \frac{c^2 h^2}{4}$$



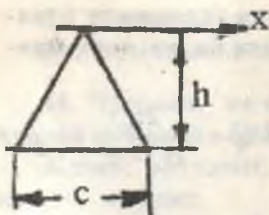
15. Учбуручаксимон кесимни X ўқига нисбатан инерция моменти формуласини күрсатинг.

$$\text{Жавоб: } 1) I_x = \frac{ch^3}{12}$$

$$2) I_x = \frac{ch^3}{36};$$

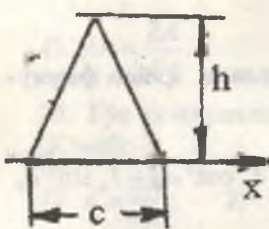
$$3) I_x = \frac{ch^3}{4}$$

$$4) I_x = \frac{ch^3}{48}$$



16. Учбұрчаксимон кесимни X үқіга нисбатан инерция моменти формуласини күрсатинг.  
Жавоб:

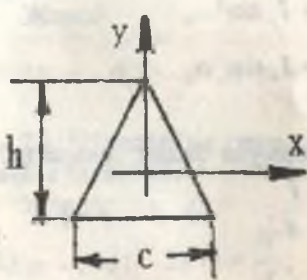
- 1)  $I_{x_1} = \frac{ch^3}{12}$
- 2)  $I_{x_1} = \frac{ch^3}{36}$
- 3)  $I_{x_1} = \frac{ch^3}{4}$
- 4)  $I_{x_1} = \frac{ch^3}{48}$



17. Учбұрчаксимон кесимни X үқіга нисбатан инерция моменти формуласини күрсатинг.

Жавоб:

- 1)  $I_{x_2} = \frac{ch^3}{12}$
- 2)  $I_{x_2} = \frac{ch^3}{36}$
- 3)  $I_{x_2} = \frac{ch^3}{4}$
- 4)  $I_{x_2} = \frac{ch^3}{48}$



18. Учбұрчаксимон кесимни Y үқіга нисбатан инерция моменти формуласини күрсатинг.

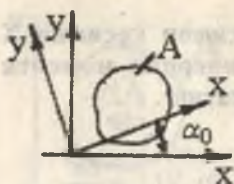
Жавоб:

- 1)  $I_y = \frac{hc^3}{48}$
- 2)  $I_y = \frac{ch^3}{12}$
- 3)  $I_y = \frac{ch^3}{48}$
- 4)  $I_y = \frac{hc^3}{36}$

19. Бөш инерция үқлары деб нимага айтилади?

Жавоб:

1. Марказдан қочма инерция моментлари нолға теңг бўлган ҳолга тўғри келувчи үқларга айтилади.
2.  $\alpha = 0$ , бурчак остида жойлашган үқقا.
3. Бөш инерция моментлари нолға теңг бўлган үқларга.
4. Кесимнинг оғирлик марказидан ўтувучи үқларга.



20. Бош инерция ўқларининг йўналиши қайси формула билан аниқланади?

$$\text{Жавоб: 1)} \quad \operatorname{tg} 2\alpha_0 = -\frac{2\tau_{xy}}{\sigma_x - \sigma_y};$$

$$2) \quad \operatorname{tg} 2\alpha_0 = -\frac{2I_{xy}}{I_x - I_y} \quad 3) \quad \operatorname{tg} \alpha_0 = -\frac{\tau_{xy}}{\sigma_1 - \sigma_x};$$

$$4) \quad \operatorname{tg} 2\alpha_0 = -\frac{I_x - I_y}{2I_{xy}}$$

21. Кесимнинг бош инерция моментлари қайси формула билан аниқланади?

Жавоб:

$$1) \quad I_{x_0} = I_x \cos^2 \alpha_0 + I_y \sin^2 \alpha_0; \quad I_{y_0} = I_y \cos^2 \alpha_0 + I_x \sin^2 \alpha_0$$

$$2) \quad I_{x_0 y_0} = \frac{I_x - I_y}{2} \sin^2 \alpha_0 + I_{xy} \cos^2 \alpha_0$$

$$3) \quad I_{x_0} = I_x \cos^2 \alpha_0 + I_{xy} \sin 2\alpha_0 + I_y \sin^2 \alpha_0$$

$$4) \quad I_{y_0} = I_y \cos^2 \alpha_0 - I_{xy} \sin 2\alpha_0 + I_x \sin^2 \alpha_0$$

22. Инерция радиуси қайси формула билан топилади?

$$\text{Жавоб: 1)} \quad i^2 = \rho^2 F; \quad 2) \quad i^2 = \frac{I}{A}; \quad 3) \quad i^2 = I \cdot A;$$

$$4) \quad i^2 = \frac{A}{I}$$

23. Марказий чўзилиш ёки сиқилиш деб нимага айтилади?

Жавоб:

1. Ўзаро тенг ва бўйлама ўқида қарама-қарши томонларга йўналган кучлар таъсиридаги стерженнинг деформациясига айтилади.

2. Стерженнинг ташқи куч таъсиридан емирилишига.

3. Стерженнинг эластик деформациясига.  
 4. Стерженнинг бикрлиги кичиклашишига.

**24. Чўзилиш ва сиқилишда стерженни кесим юзасида қандай куч ҳосил бўлади?**

Жавоб: 1) ташқи; 2) ички бўйлама куч; 3) қўндаланг куч; 4) момент.

**25. Чўзилиш ва сиқилишда Гук қонунини кўрсатинг.**

Жавоб: 1)  $\Delta\ell = \ell_1 - \ell_0$ ; 2)  $\Delta\ell = \frac{F\ell}{EA}$ ; 3)  $\Delta\ell = \frac{EF}{\ell A}$ ;

$$4) \Delta\ell = \frac{FA}{Et}$$

**26. Гук қонунининг иккинчи кўринишини кўрсатинг.**

Жавоб:

$$1) \varepsilon = \frac{\Delta\ell}{\ell}; \quad 2) \varepsilon = \frac{\sigma}{E}; \quad 3) \varepsilon = \ell_1 - \ell_0; \quad 4) \varepsilon = \frac{\sigma}{A}$$

**27. Пуассон коэффициенти қайси формула билан топилади.**

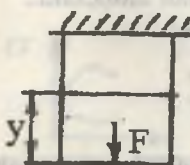
Жавоб:

$$1) \mu = 0,3; \quad 2) \mu = \frac{\varepsilon}{\sigma}; \quad 3) \mu = \frac{\varepsilon}{\sigma}; \quad 4) \mu = \frac{\Delta\ell}{\ell}$$

**28. Чўзилиш ва сиқилишда нормал кучланиш формуласини кўрсатинг.**

Жавоб:

$$1) \sigma = NA; \quad 2) \sigma = \frac{N}{A}; \quad 3) \sigma = \frac{A}{N}; \quad 4) \sigma = \sqrt{\rho^2 - \tau^2}$$

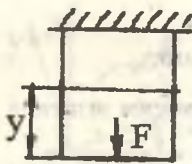


**29. F куч ва хусусий оғирлиги таъсиридаги стерженнинг ички кучини аниқланг.**

Жавоб:

$$1) N_1 = F + \gamma \cdot y; \quad 2) N_1 = F \\ 3) N_1 = \gamma \cdot y \quad 4) N_1 = F - \gamma \cdot y$$

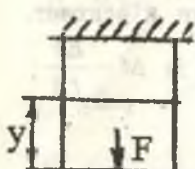
**30. F куч ва хусусий оғирлик таъсиридаги стерженнинг деформациясини аниқланг.**



Жавоб:

$$1) \Delta\ell = \frac{F\ell}{EA}; \quad 2) \Delta\ell = \frac{F\ell}{EA} + \frac{\gamma\ell^2}{2E};$$

$$3) \Delta\ell = \frac{\gamma\ell^2}{2E}; \quad 4) \Delta\ell = \frac{F\ell}{EA} - \frac{\gamma\ell^2}{2E}$$



31.  $F$  күч ва хусусий оғирлік таъсиридаги стерженнинг кесимини танланг.

$$\text{Жавоб: } 1) A \geq \frac{F}{[\sigma]}; \quad 2) A = A_0 \ell^{[\sigma]^y};$$

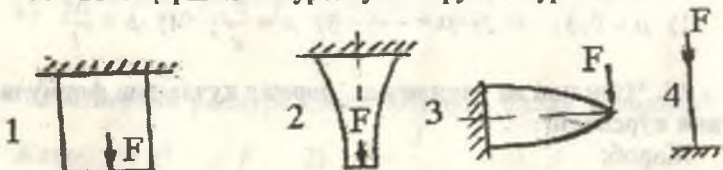
$$3) A \geq F[\sigma]; \quad 4) A = \frac{\pi d^2}{4}$$

32. Тенг қаршилик күрсатувчи брус кесимининг юзасини аникланг.

Жавоб:

$$1) A \geq \frac{F}{[\sigma]}; \quad 2) A = A_0 \ell^{[\sigma]^y}; \quad 3) A = F[\sigma] \quad 4) A = h\ell$$

33. Тенг қаршилик күрсатувчи брусли күрсатинг.



34. Температура таъсирида деформацияни аникланг.

$$\text{Жавоб: } 1) \Delta\ell_t = \alpha \cdot \ell; \quad 2) \Delta\ell_t = \alpha \cdot \Delta t \cdot \ell;$$

$$3) \Delta\ell_t = \Delta t \cdot \ell; \quad 4) \Delta\ell_t = \frac{\Delta t \cdot \ell}{EA}$$

35. Материалларни чўзилиш ёки сиқилишга синашдан мақсад нима?

Жавоб:

- 1) Намунани чўзилишда узиш.

2) Материални механик ва пластиклик хоссаларини аниклаш.

3) Намуналарнинг шаклини ўзгартириш.

4) Материалларни Гук қонунига бўйсунишини текшириш.

**36. Юмшоқ пўлат материалы учун рухсат этилган кучланишини кўрсатинг.**

Жавоб:

$$1) [\sigma] = \frac{\sigma_{ok}}{n}; \quad 2) [\sigma] = \frac{\sigma_2}{n}; \quad 3) [\sigma] = \frac{\sigma_s}{n}; \quad 4) [\sigma] = \frac{\sigma_n}{n}$$

**37. Чўян материалы учун рухсат этилган кучланишини аникланг.**

Жавоб:

$$1) [\sigma] = \frac{\sigma_3}{n}; \quad 2) [\sigma] = \frac{\sigma_{ok}}{n}; \quad 3) [\sigma] = \frac{\sigma_s}{n}; \quad 4) [\sigma] = \frac{\sigma_n}{n}$$

**38. Мўртлик деб нимага айтилади?**

Жавоб:

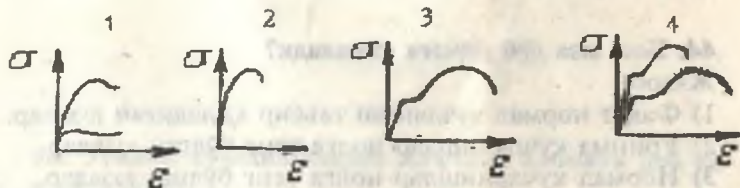
1) Катта деформация ҳосил қилиб емирилиш хусусигатига эга бўлган материал.

2) Кичик деформация ҳосил қилиб емириладиган материалнинг хоссасига.

3) Кичик деформация ҳосил қилиб емирилмайдиган материалнинг хоссасига.

4) Окувчанлик чегараси бор бўлган материалга.

**39. Юмшоқ пўлатни чўзилиш диаграммасини кўрсатинг.**



**40. Материалларни пропорционаллик чегараси, деб нимага айтилади?**

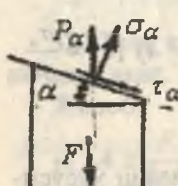
**Жавоб:**

- 1) Материалларнинг қолдиқ деформацияси бошланишига.
- 2) Гук қонуни ишлатиладиган чегарадаги күчланишга.
- 3) Диаграмманинг эгри чизиқли қисмини бошланишига.
- 4) Материални пластиклик хоссасига.

**41. Чүзилиш ва сиқилиш деформациясининг потенциал энергияси қайси формула билан топилади?**

**Жавоб:**

$$1) U = \frac{2E}{\sigma^2}; \quad 2) U = \frac{\sigma^2}{2E}; \quad 3) U = \frac{2\sigma}{\varepsilon}; \quad 4) U = \frac{2}{\sigma\varepsilon}$$



**42. Чизиқли күчланганлык ҳолатида қия кесимни нормал күчланиши қайси формула билан топилади?**

**Жавоб:**

$$1) \sigma_a = P_a \sin \alpha; \quad 2) \sigma_a = \sigma_0 \cos^2 \alpha;$$

$$3) \sigma_a = \frac{\sigma_0}{2} \sin 2\alpha; \quad 4) \sigma_a = \frac{F}{A}$$

**43. Чизиқли күчланганлык ҳолатида қия кесимни уринма күчланиши қайси формула билан топилади?**

**Жавоб:**

$$1) \tau_a = \frac{F}{A}; \quad 2) \tau_a = P_a \cos \alpha; \quad 3) \tau_a = \frac{\sigma_0}{2} \sin 2\alpha;$$

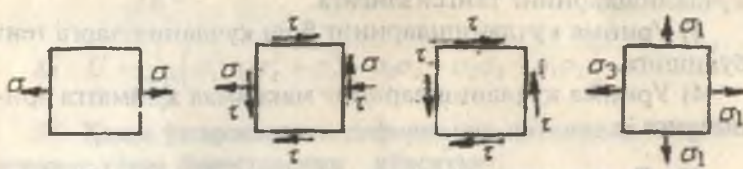
$$4) \tau_a = \sigma_0 \cos \alpha$$

**44. Бош юза деб нимага айтилади?**

**Жавоб:**

- 1) Фақат нормал күчланиш таъсир қиласидиган юзалар.
- 2) Уринма күчланишлар нолга тенг бўлган юзалар.
- 3) Нормал күчланишлар нолга тенг бўлган юзалар.
- 4) Фақат уринма күчланишлар таъсир қиласидиган юзалар.

**45. Қайси кубик чизиқли күчләнгәнлик ҳолатыда?**



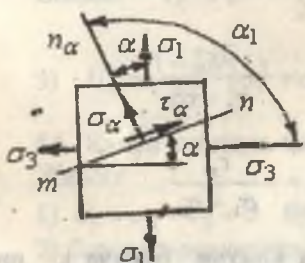
**46. Текис күчләнгәнлик ҳолатыда қия кесимни нормал күчләнишини анықланг.**

$$\text{Жавоб: 1) } \sigma_a = \sigma_1 \cos^2 \alpha ;$$

$$2) \quad \sigma_a = \sigma_1 \cos^2 \alpha + \sigma_3 \cos^2 \alpha_1 ;$$

$$3) \quad \sigma_a = \frac{\sigma_1 - \sigma_3}{2} \sin^2 \alpha ;$$

$$4) \quad \sigma_a = \sigma_3 \cos^2 \alpha$$



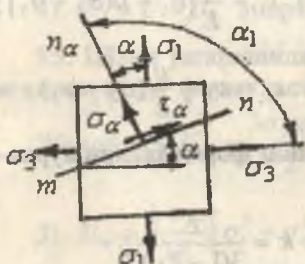
**47. Текис күчләнгәнлик ҳолатыда қия кесимни нормал күчләнишини анықланг.**

$$\text{Жавоб: 1) } \tau_a = \frac{\sigma_1}{2} \sin 2\alpha ;$$

$$2) \quad \tau_a = \frac{\sigma_3}{2} \sin 2\alpha ;$$

$$3) \quad \tau_a = \frac{\sigma_1 - \sigma_3}{2} \sin 2\alpha ;$$

$$4) \quad \tau_a = \frac{\sigma_1 + \sigma_3}{2}$$



**48. Уринма күчләнишларни жуфтлик алмати деб нимага айтилади?**

**Жавоб:**

1) Үзаро перпендикуляр жойлашган қия кесимлардан уринма күчләнишларнинг тенглигига.

2) Ўзаро перпендикуляр қия кесимлардаги уринма кучланишларнинг тенгизлигига.

3) Уринма кучланишларнинг бош кучланишларга тенг бўлишига.

4) Уринма кучланишларнинг максимал қийматга эришишига.

**49. Бош кучланишларнинг йўналиши қайси формула билан топилади?**

Жавоб:

$$1) \ tg 2\alpha_0 = -\frac{2I_{xy}}{I_x - I_y}; \quad 2) \ tg 2\alpha_0 = -\frac{2\tau_{xy}}{\sigma_x - \sigma_y};$$

$$3) \ tg 2\alpha_0 = -\frac{\sigma_x - \sigma_y}{2I_{xy}}; \quad 4) \ tg \alpha_0 = -\frac{\tau_{xy}}{\sigma_1 - \sigma_3}$$

**50. Ҳажмий деформацияда Гук қонуни бўйича  $\varepsilon$ , ни аниқлайдиган тўғри формуласини кўрсатинг?**

Жавоб: 1)  $\varepsilon_1 = 2E[\sigma_1 - \mu\sigma_3]$ ; 2)  $\varepsilon_1 = \frac{1}{E}[\sigma_1 - \mu(\sigma_2 + \sigma_3)]$ ;

$$3) \varepsilon_1 = \frac{\sigma_1}{E}; \quad 4) \varepsilon_1 = \sigma_1 - \frac{\mu}{E}(\sigma_2 + \sigma_3)$$

**51. Ҳажмий эластиклик модулининг формуласини курсатинг.**

Жавоб: 1)  $\frac{E}{1-2\mu} = k$ ; 2)  $k = \frac{E}{3(1-2\mu)}$ ;

$$3) \ k = \frac{E}{3-2\mu}; \quad 4) \ k = \frac{E}{3\mu}$$

**52. Ҳажмий деформацияни тўлиқ потенциал энергияси формуласини кўрсатинг.**

Жавоб: 1)  $U = U_x - U_w$ ;

$$2) \ U = \frac{1}{E} [\sigma_1^2 + \sigma_2^2 - \sigma_3^2 - 2(\sigma_1\sigma_2 + \sigma_2\sigma_3 + \sigma_1\sigma_3)]$$

$$3) U = \frac{1}{2E} [\sigma_1^2 + \sigma_2^2 + \sigma_3^2 - 2\mu(\sigma_1\sigma_2 + \sigma_2\sigma_3 + \sigma_1\sigma_3)]$$

$$4) U = \frac{1}{2E} [\sigma_1^2 + \sigma_2^2 + \sigma_3^2 - \sigma_1\sigma_2 - \sigma_2\sigma_3 - \sigma_1\sigma_3]$$

53. Ҳажм ўзгаришидаги деформация потенциал энергиясининг түгри формуласини кўрсатинг.

Жавоб: 1)  $U_x = \frac{3\sigma_1\epsilon_1}{2}$ ; 2)  $U_x = \frac{1-2\mu}{6E} (\sigma_1 + \sigma_2 + \sigma_3)^2$ ;

$$3) U_x = \frac{1-2\mu}{6E} (\sigma_1^2 + \sigma_2^2 + \sigma_3^2); 4) U_x = U + U_w$$

54. Қачон кубикда ҳажм ўзгариши бўлади?

Жавоб:

1)  $\sigma_1 + \sigma_2 + \sigma_3 = 0$  бўлса;

2) барча қирраларига  $\sigma_{yp} = \frac{\sigma_1 + \sigma_2 + \sigma_3}{3}$  кучланиш таъсир қиласа;

3) кубик деформацияси эластик бўлса;

4)  $U_w = U - U_x$  энергия сарфланса.

55. Шакл ўзгаришидаги деформация потенциал энергиясининг түгри формуласини кўрсатинг.

Жавоб: 1)  $U_w = \frac{3\sigma_{yp}\epsilon_{yp}}{2}$ ; 2)  $U_w = \frac{1+\mu}{3E} (\sigma_1 + \sigma_2 + \sigma_3)^2$ ;

$$3) U_w = \frac{1+\mu}{3E} [\sigma_1^2 + \sigma_2^2 + \sigma_3^2 - \sigma_1\sigma_2 - \sigma_2\sigma_3 - \sigma_1\sigma_3];$$

$$4) U_w = -\frac{1+\mu}{3E} (\sigma_1\sigma_2 + \sigma_2\sigma_3 + \sigma_1\sigma_3)$$

56. Мустаҳкамлик назарияларининг вазифаларини түгри таърифланг.

Жавоб:

1) Турли кучланганлик ҳолатида кубикни деформациясини аниқлаш.

2) Мор доирасини куриш.

3) Турли кучланганлик ҳолатида кубикни мустаҳкамлик шартини тузиш.

4) Кесимни танлаш.

57. Энг катта бош нормал кучланиш назарияси бўйича мустаҳкамлик шартини кўрсатинг.

Жавоб: 1)  $\sigma_1 \leq [\sigma]$ ; 2)  $\sigma_1 - \mu(\sigma_2 + \sigma_3) \leq [\sigma]$ ;

3)  $\sigma_1 - \sigma_3 \leq [\sigma]$ ; 4)  $[(\sigma_1 - \sigma_2)^2 + (\sigma_1 - \sigma_3)^2 + (\sigma_2 - \sigma_3)^2] \leq 2\sigma_0$

58. Энг катта нисбий деформация назарияси бўйича мустаҳкамлик шартини кўрсатинг.

Жавоб: 1)  $\sigma_1 \leq [\sigma]$ ; 2)  $\sigma_1 - \mu(\sigma_2 + \sigma_3) \leq [\sigma]$ ;

3)  $\sigma_1 - \sigma_3 \leq [\sigma]$ ; 4)  $[(\sigma_1 - \sigma_2)^2 + (\sigma_1 - \sigma_3)^2 + (\sigma_2 - \sigma_3)^2] \leq 2\sigma_0$

59. Энг катта уринма кучланишлар назарияси бўйича мустаҳкамлик шартини кўрсатинг.

Жавоб: 1)  $\sigma_1 \leq [\sigma]$ ; 2)  $\sigma_1 - \mu(\sigma_2 + \sigma_3) \leq [\sigma]$ ;

3)  $\sigma_1 - \sigma_3 \leq [\sigma]$ ; 4)  $[(\sigma_1 - \sigma_2)^2 + (\sigma_1 - \sigma_3)^2 + (\sigma_2 - \sigma_3)^2] \leq 2\sigma_0$

60. Соф силжиш деб нимага айтилади?

Жавоб:

1) Фақат нормал кучланиш таъсиридаги кубикнинг деформацияси.

2) Фақат уринма кучланиш таъсиридаги кубикнинг деформацияси.

3) Уринма кучланишлар нолга тенг бўлган юзага.

4) Нормал кучланиш нолга тенг бўлган юзага.

61. Силжишда Гук қонунини ифодаловчи формулани кўрсатинг.

Жавоб: 1)  $\tau = \frac{F}{A}$ ; 2)  $\tau = \gamma G$ ; 3)  $\tau = \frac{\gamma}{G}$ ; 4)  $\tau_a = \sigma_1$

62. Силжиш модулини кўрсатинг.

Жавоб:

1)  $k = \frac{E}{2(1 - \mu)}$ ; 2)  $G = \frac{E}{2(1 + \mu)}$ ; 3)  $k = \frac{\sigma_{yp}}{\varepsilon_{yp}}$ ; 4)  $G = \frac{(\mu + 1)2}{E}$

**63. Силжишда рухсат этилган күчланишни танланг.**

$$\text{Жавоб: (I-назария) } 1) [\tau] = \frac{[\sigma]}{1 + \mu}; \quad 2) [\tau] = [\sigma];$$

$$3) [\tau] = \frac{[\sigma]}{2}; \quad 4) [\tau] = \frac{[\sigma]}{\sqrt{3}}$$

**64. Силжишда рухсат этилган күчланишни танланг.**

Жавоб: (II назария)

$$1) [\tau] = \frac{[\sigma]}{1 + \mu}; \quad 2) [\tau] = [\sigma]; \quad 3) [\tau] = \frac{[\sigma]}{2}; \quad 4) [\tau] = \frac{[\sigma]}{\sqrt{3}}$$

**65. Силжишда рухсат этилган күчланишни танланг.**

$$\text{Жавоб: (III-назария) } 1) [\tau] = [\sigma]; \quad 2) [\tau] = \frac{[\sigma]}{1 + \mu};$$

$$3) [\tau] = \frac{[\sigma]}{2}; \quad 4) [\tau] = \frac{[\sigma]}{\sqrt{3}}$$

**66. Силжишда рухсат этилган күчланишни танланг.**

$$\text{Жавоб: (IV-назария) } 1) [\tau] = [\sigma]; \quad 2) [\tau] = \frac{[\sigma]}{1 + \mu};$$

$$3) [\tau] = \frac{[\sigma]}{2}; \quad 4) [\tau] = \frac{[\sigma]}{\sqrt{3}}$$

**67. Бир қиркимли парчин михли бирикмани қирқилишга мустаҳкамлик шартини кўрсатинг.**

$$\text{Жавоб: 1) } \tau = \frac{F}{n\pi \cdot d^2} \leq [\tau]; \quad 2) \tau = \frac{F}{nA} \leq [\tau];$$

$$3) \tau = \frac{F2}{n\pi \cdot d^2} \leq [\tau]; \quad 4) \tau = \frac{\pi d^2}{4Fn} \leq [\tau]$$

**68. Бир қиркимли парчин михли бирикмада парчин михлар сонини топинг.**

$$\text{Жавоб: 1) } n = n_1 + n_2 + n_3 + \dots; \quad 2) n > \frac{4F}{\pi d^2 [\tau]};$$

$$3) n \geq \frac{F2}{\pi d^2 [\tau]}; \quad 4) n \geq \frac{F}{[\tau] \pi d^2}$$

**69. Парчин михли бирикмани эзилишга мустаҳкамлик шартини кўрсатинг.**

$$\text{Жавоб: } 1) \sigma_s = \frac{F}{tb} \leq [\sigma]_s; \quad 2) \sigma_s = \frac{F}{ntd} \leq [\sigma], 4$$

$$3) \sigma_s = \frac{F}{2tb} \leq [\sigma]; \quad 4) \tau = \frac{F}{A}$$

**70. Парчин михли бирикмани эзилишда парчин михлар сонини топинг.**

$$\text{Жавоб: } 1) n = 1, 2, 3, \dots; \quad 2) n \geq \frac{F}{td[\sigma]};$$

$$3) n \geq \frac{F}{\pi d[\tau]}; \quad 4) n \geq \frac{4F}{\pi d[\tau]}$$

**71. Парчин михли бирикмани чўзилиш ва сиқилишга мустаҳкамлик шарти.**

$$\text{Жавоб: } 1) \sigma = \frac{F \cdot 4}{\pi d^2} \leq [\sigma]; \quad 2) \sigma = \frac{F \cdot 4}{t(b - md)} \leq [\sigma];$$

$$3) \tau = \frac{F}{A} \leq [\tau]; \quad 4) \sigma = \frac{F}{td} \leq [\sigma]$$

**72. Буровчи момент деб нимага айтилади.**

Жавоб:

1) Куч моментига.

2) Вални ўрганилаётган қисмидаги ташқи кучларни кесим марказига нисбатан моментларининг алгебравик йиғиндисига.

3) Вални ўрганилаётган қисмидаги ташқи моментларни алгебравик йиғиндисига.

4)  $M_i = TR_i - t_i R_i = t_i R_i$  – моменти.

**73. Доиравий кесимли стерженнинг буралишида кучланиш формуласи?**

$$\text{Жавоб: } 1) \tau = \frac{F}{A}; \quad 2) \tau = \frac{M_s}{I_p} \rho; \quad 3) \tau = \frac{QS_y^0}{I_y d}; \quad 4) \tau = \frac{M}{W}$$

74. Буралиш бурчаги формуласини күрсатынг.

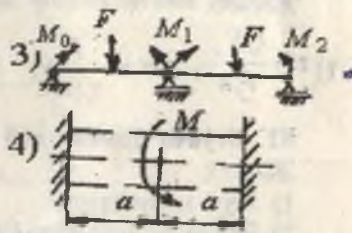
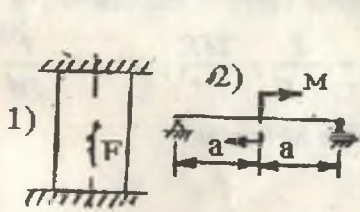
$$\text{Жавоб: 1) } \varphi = \frac{F\ell}{EA}; \quad 2) \quad \varphi = \frac{M_s \ell}{GI_p}; \quad 3) \quad \varphi = \frac{4FR^3 n}{Gr^4}; \quad 4) \quad \varphi = \frac{M_c}{EA}$$

75. Буралишда мустақамлык шартини күрсатынг.

$$\text{Жавоб: 1) } \tau = \frac{F}{A} \leq [\tau]; \quad 2) \quad \tau = \frac{M_k}{W_p} \leq [\tau];$$

$$3) \quad \tau = \frac{QS}{I_y d} \leq [\tau]; \quad 4) \quad \sigma = \frac{M}{W} \leq [\sigma]$$

76. Буралишда статик тоғызық системаны күрсатынг.



77. Буралишда мустақамлык шартидан фойдаланиб валниң диаметрини анықланг.

$$\text{Жавоб: 1) } d = \sqrt[3]{\frac{4F}{\pi[\sigma]}}, \quad 2) \quad d = \sqrt[3]{\frac{16M_k}{\pi[\tau]}},$$

$$3) \quad d = \sqrt[3]{\frac{32M}{\pi[\sigma]}}, \quad 4) \quad d = \sqrt[3]{\frac{32M_k \ell}{\pi[\varphi]G}}$$

78. Буралишда бикрлик шарти асосида валниң диаметрини анықланг.

$$\text{Жавоб: 1) } d = \sqrt[3]{\frac{4F}{\pi[\sigma]}}, \quad 2) \quad d = \sqrt[3]{\frac{16M_k}{\pi[\tau]}},$$

$$3) \quad d = \sqrt[3]{\frac{32M}{\pi[\sigma]}}, \quad 4) \quad d = \sqrt[3]{\frac{32M_k \ell}{\pi[\varphi]G}}$$

**79. Винтсимон пружинанинг деформациясини аниқланг.**

$$1) \lambda = \frac{F\ell}{EA}; \quad 2) \lambda = \frac{M_k \ell}{GI_p}; \quad 3) \lambda = \frac{4FR^3n}{G \cdot r^4}; \quad 4) \lambda = \frac{M_c}{EI}$$

**80. Буралиш деформациясининг потенциал энергиясини күрсатинг.**

Жавоб:

$$1) U = \frac{F^2 \ell}{2EA}; \quad 2) U = \frac{M_k^2 \ell}{2GI_p}; \quad 3) U = \frac{M_n^2 \ell}{2EI}; \quad 4) U = \frac{Q^2 \ell}{2GA}$$

**81. Винтсимон пружина ўрамининг кесим юзасидаги кучланиш:**

Жавоб:

$$1) \tau = \frac{QS_y}{I_y d}; \quad 2) \sigma = \frac{F}{\pi \cdot r^2}; \quad 3) \tau = \frac{F}{\pi \cdot r^2} + \frac{2FR}{\pi \cdot r^3}; \quad 4) \sigma = \frac{F}{ntd}$$

**82. Эгувчи момент деб нимага айтилади?**

Жавоб:

- 1) Куч моментига.
- 2) Балкани ўрганилаётган қисмидаги ташқи кучларни кесим марказига нисбатан моментларининг алгебравик ийғиндисига.
- 3) Кучни елкага бўлинмасига.
- 4) Балкани ўрганилаётган қисмидаги ташқи ва ички кучлар мувозанатига.

**83. Эгувчи момент ва кўндаланг куч орасидаги дифференциал боғланишни кўрсатинг.**

$$1) Q = \frac{dM}{dx}; \quad 2) Q = dM \cdot dX; \quad 3) Q = \int M_x dx; \quad 4) Q = \int M^2 dx$$

**84. Ёйилган куч интенсивлиги ва кўндаланг куч орасидаги дифференциал боғланишни кўрсатинг.**

$$\text{Жавоб: } 1) q = Q \cdot dx \quad 2) q = \frac{dQ}{dx} \quad 3) q = \int Q \cdot dx \quad 4) q = \frac{dx}{dQ}$$

**85. Ёйилган куч интенсивлиги ва эгувчи момент орасидаги дифференциал боғланишни кўрсатинг.**

Жавоб: 1)  $q = d^2 M \cdot d^2 x$     2)  $q = \frac{d^2 M}{d^2 x}$     3)  $q = \int M^2 dx$     4)  $q = \frac{dM}{dx}$

**86. Соф эгилиш деб нимага айтилади?**

1) Фақат уринма кучланиш таъсиридаги балканинг деформациясига.

2) Уринма ва нормал кучланишлар таъсиридаги балканинг деформациясига.

3) Фақат нормал кучланиш таъсиридаги балканинг деформациясига.

4) Бош кучланишлар таъсиридаги балкани деформациясига.

**87. Эгилишда нормал кучланиш формуласини кўрсатинг.**

Жавоб: 1)  $\sigma = \frac{F}{A};$     2)  $\sigma = \frac{Mz}{I_x};$

3)  $\sigma = \frac{Q \cdot S}{I \cdot b};$     4)  $\sigma = \frac{Mz}{S\rho}$

**88. Эгилишда уринма кучланиш формуласини кўрсатинг.**

Жавоб: 1)  $\sigma = \frac{Mz}{I_x};$     2)  $\tau = \frac{Mz}{I};$

3)  $\tau = \frac{Q \cdot S_y}{I_y \cdot b};$     4)  $\tau = \frac{F}{A}$

**89. Эгилишда нормал кучланиш бўйича мустаҳкамлик шартини кўрсатинг.**

Жавоб: 1)  $\sigma = \frac{F}{A} \leq [\sigma];$     2)  $\sigma = \frac{Mz_y}{S_y \rho} \leq [\sigma];$

3)  $\sigma = \frac{M}{W_x} \leq [\sigma];$     4)  $\sigma = \frac{Q \cdot S_y}{I_y \cdot d} \leq [\sigma]$

**90. Доиравий кесимнинг қаршилик моменти формуласини кўрсатинг.**

Жавоб:

$$1) W_x = \frac{\pi \cdot r^3}{16}; \quad 2) W_x = \frac{\pi \cdot d^3}{32}; \quad 3) W_x = \pi \cdot r^3; \quad 4) W_x = \frac{I_x}{A}$$

91. Эгилишда нормал күчланиш бүйича мустақамлик шартидан рухсат этилган юкни анықланы.

Жавоб:

$$1) F = W[\sigma]; \quad 2) M = W[\sigma]; \quad 3) F = W[\sigma]; \quad 4) Q = A[\tau]$$

92. Эгилишда нормал күчланиш бүйича мустақамлик шартидан фойдаланиб кесимни танланы.

Жавоб:

$$1) W \geq \frac{F}{[\sigma]}; \quad 2) A \geq \frac{F}{[\sigma]}; \quad 3) W \geq \frac{M}{[\sigma]}; \quad 4) \frac{I_y}{S_y} \geq \frac{Q}{b[\tau]}$$

93. Эгилишда уринма күчланиш бүйича мустақамлик шартни күрсатынг.

$$\text{Жавоб: } 1) \tau = \frac{F}{A} \leq [\tau]; \quad 2) \tau = \frac{Q \cdot S_y}{I_y \cdot d} \leq [\tau];$$

$$3) \tau = \frac{M}{W_x} \leq [\tau]; \quad 4) \tau = \frac{Q}{A} \leq [\tau]$$

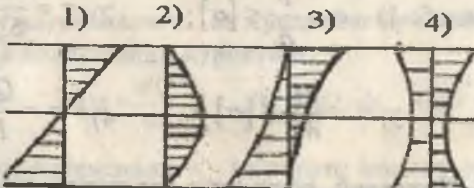
94. Эгилишда бош нормал күчланишлар формуласини күрсатынг.

$$\text{Жавоб: } 1) \sigma_\alpha = \sigma_1 \cos^2 \alpha + \sigma_3 \sin^2 \alpha;$$

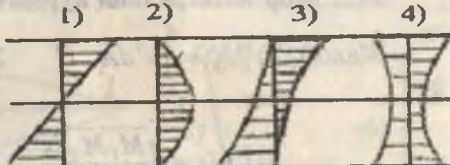
$$2) \sigma_{13} = \frac{1}{2} [\sigma \pm \sqrt{\sigma^2 + 4\tau^2}]; \quad 3) \sigma = \tau; \quad \tau = -\sigma_3;$$

$$4) \tau_{\max} = \frac{\sigma_1 - \sigma_3}{2}$$

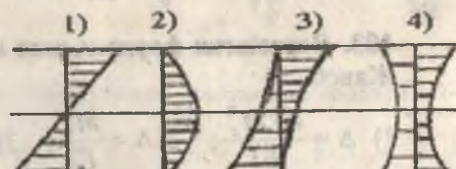
95. Эгилишда нормал күчланиш эпюрасини күрсатынг.



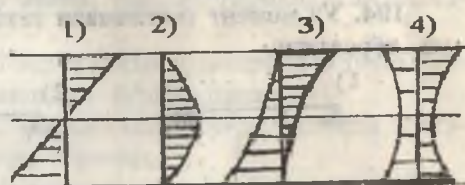
96. Эгилишда уринма күчләниш эпюрасини күрсатынг.



97. Эгилишда бош нормал күчләниш эпюрасини күрсатынг.



98. Эгилишда бош уринма күчләниш эпюрасини күрсатынг.



99. Балка эпилган үқининг тақрибий дифференциал теңламаси қани?

Жавоб: 1)  $y = \frac{M_c}{EI}$ ; 2)  $Ely^* = M_x$ ; 3)  $\theta = \frac{Q_c}{EI}$ ;

4)  $y = \int \frac{MM_1 dx}{EI}$

100. Эгилишда салқиликни графоаналитик усул билан анықланып.

Жавоб:

1)  $y = \frac{M_c}{EI}$ ; 2)  $Ely^* = M_x$ ; 3)  $y = \int \frac{MM_1 dx}{EI}$ ; 4)  $y = \frac{M \cdot \omega}{EI}$

101. Эгилиш деформациясининг потенциал энергиясини күрсатынг?

Жавоб:

1)  $U = \frac{F\Delta\ell}{2}$ ; 2)  $U = \frac{M_\delta^2 \ell}{2GI_\rho}$ ; 3)  $U = \frac{M \cdot \ell}{2EI}$ ; 4)  $U = \frac{\sigma\varepsilon}{2}$

**102. Мор интегралини күрсатинг.**

Жавоб: 1)  $I_x = \int_0^y y^2 dA$ ; 2)  $EI\theta = \int_0^x M_x dx + C$

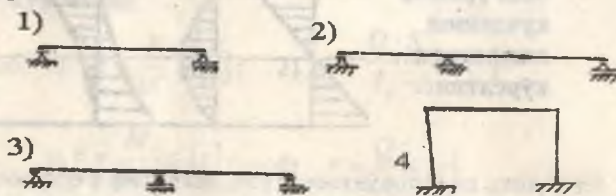
3)  $\Delta_{12} = \int_0^l \frac{M_1 M_2}{EI} dx$ ; 4)  $U = \int_0^l \frac{M^2}{2EI} dx$

**103. Верещагин формуласини күрсатинг.**

Жавоб:

1)  $\Delta = \frac{\omega \cdot M_c^2}{EI}$ ; 2)  $\Delta = \frac{M_c}{EI}$ ; 3)  $\Delta = \frac{Q_c}{EI}$ ; 4)  $\frac{1}{\rho} = \frac{M}{EI}$

**104. Уч момент тенгламаси табиқ қилинадиган балка-ни күрсатинг.**



**105. Уч момент тенгламасини күрсатинг.**

Жавоб:

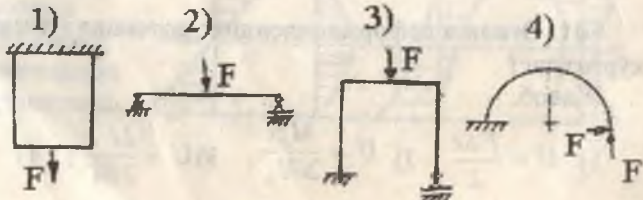
1)  $\sum M = M_1 + M_2 + M_3$ ;

2)  $M_0 \ell_n + 2M_1(\ell_n + \ell_{n+1}) + M_2 \cdot \ell_{n+1} = -6 \left( \frac{\omega_1 a_1}{\ell_n} + \frac{\omega_2 a_2}{\ell_{n+1}} \right)$

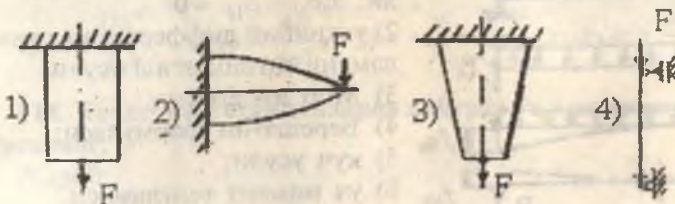
3)  $M = F_1 \ell_1 + F_2 \ell_2 + F_3 \ell_3$ ; 4)  $0 = M_1 + M_2 + M_3$

**106. Куч усули билан ечиладиган масаланинг схемасини күрсатинг.**

Жавоб:



107. Тенг қаршилик күрсатувчи балкани күрсатинг.



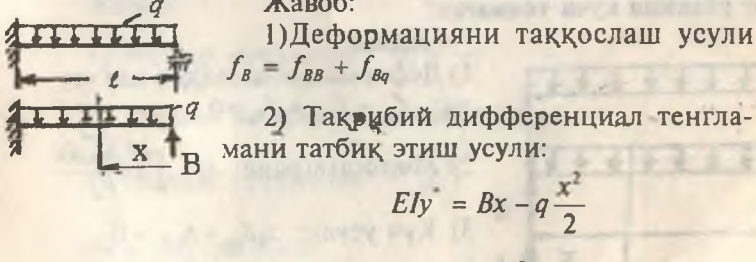
108. Тенг қаршилик күрсатувчи балка деб нимага айтилади?

Жавоб:

1. Узунлиги бүйлаб кесим юзаси үзгармайдын балкага.
2. Узунлиги бүйлаб барча кесим юзаларыда нормал кучланиш бир хил қийматтаға эга бўлган балкага.
3. Узунлиги бүйлаб кесим юзаси тўғри чизиқли қонуний асосида танланган балкага.
4. Узунлиги бўйлаб кесим юзасида нормал кучланиш бир хил қийматтаға эга бўлмаган балкага.

109. Қандай усул билан берилган статик ноаниқ балканинг реакция кучи топилган?

Жавоб:

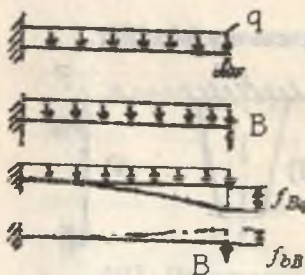


$$3) \text{ Верещагин формуласи } \Delta = \frac{\omega \cdot M^0}{EI}$$

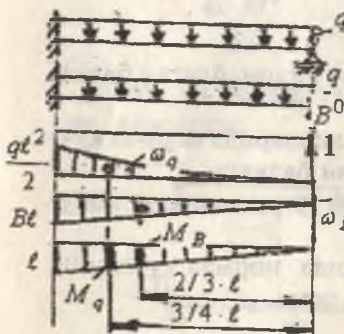
$$4) \text{ Куч усули } x_1 \delta_{11} + \Delta_{1F} = 0$$

110) Қандай усул билан берилган статик ноаниқ балканинг реакция кучи топилган

Жавоб:



- 1) деформацияни таққослаш усули;  $x_1 \delta_{11} + \Delta_{1F} = 0$
- 2) тақрибий дифференциал тенгламани татбиқ этиш усули;
- 3) Мор интегралы;
- 4) Верещагин формуласи;
- 5) күч усули;
- 6) уч момент тенгламаси.



**111. Қандай усул билан берилған статик нөаңық балканинг реакция күчи топилған?**

Жавоб:

- 1) Уч момент теоремасини тақрибий этиш.
- 2) Мор интегралини татбиқ этиш.
- 3) Күч усули:  $x_1 \delta_{11} + \Delta_{1F} = 0$ .
- 4) Верещагин формуласи.

$$\Delta = \frac{w \cdot M^0}{EI}$$

**112. Қандай усул билан берилған статик нөаңық балканынг реакция күчи топилған?**

Жавоб:

- 1) Деформацияни таққослаш усули:  $f_B = f_{BB} + f_{Bq} = 0$
- 2) Мор интегралы:  $\Delta = \int \frac{M \bar{M}_0 dx}{EI}$
- 3) Күч усули:  $x_1 \delta_{11} + \Delta_{1F} = 0$
- 4) Верещагин формуласи:  

$$\Delta = \frac{w \cdot M^0}{EI}$$

**113. Текис эгри стерженларда нормал күчләнешни анықланып?**

Жавоб:

$$1) \tau = \frac{QS_y^0}{I_y b}; \quad 2) \sigma = \frac{4F}{\pi d^3}; \quad 3) \sigma = \frac{N}{A} \pm \frac{M \cdot Z}{S_y^0 \cdot \rho}; \quad 4) \sigma = \frac{MZ}{I_z}$$

114. Текис эгри стерженларда нейтрал ўқ тенгламасини күрсатынг.

Жавоб:

$$1) \frac{x^2}{a^2} + \frac{y^2}{b^2} = 1; \quad 2) r = \frac{A}{\int_0^r dA / \rho}$$

$$3) 1 + \frac{x_0 x_p}{I_y^2} + \frac{y_0 y_p}{I_x^2} = 0; \quad 4) \frac{\cos \varphi \cdot Z_0}{I_y} + \frac{\sin \varphi \cdot y_0}{I_z} = 0$$

115. Эгри стерженларда нормал күчланишни  $\sigma = \frac{M \cdot Z_{1,2}}{S_y \cdot R_{1,2}}$  формуладан аниқлаш учун қандай эгрилик бўлиши керак?

Жавоб:

$$1) \frac{R_0}{h} = 0; \quad 2) R_0 > 5h; \quad 3) R_0 < 5h; \quad 4) R_0 = 5h$$

116. Эгилиш билан буралишни биргаликдаги таъсирида вални кесим юзасида қандай күчланишлар ҳосил бўлади?

Жавоб:

$$1) \text{нормал күчланиш: } \sigma_s = \frac{M_s}{N}$$

2) нормал ва уринма күчланишлар.

$$3) \text{уринма күчланиш: } \tau = \frac{M_\delta}{W_\rho}$$

$$4) \sigma = 0 \text{ ва } \tau = 0$$

117. Эгилиш билан буралишни биргаликдаги таъсирида вал кесимининг четки нуқтаси қандай күчланганлик ҳола - тида бўлади?

Жавоб: 1) чизиқли; 2) текис; 3) ҳажмий; 4) тўғри.

**118. Эгилиш билан буралишни биргалиқдаги таъсирида валнинг мустаҳкамлик шарти формуласини кўрсатинг.**

Жавоб:

$$\text{I назария. 1) } \frac{\sqrt{M_s^2 + M_\delta^2}}{W} \leq [\sigma];$$

$$2) \frac{1}{W} [0,35M_s + 0,65\sqrt{M_s^2 + M_\delta^2}] \leq [\sigma]$$

$$3) \frac{1}{W} \sqrt{M_s^2 + 0,75M_\delta^2} \leq [\sigma] \quad 4) \frac{1}{2W} [M_s + \sqrt{M_s^2 + M_\delta^2}] \leq [\sigma]$$

**119. Эгилиш билан буралишни биргалиқдаги таъсирида валнинг мустаҳкамлик шарти формуласини кўрсатинг.**

Жавоб:

$$\text{II назария. 1) } \frac{\sqrt{M_s^2 + M_\delta^2}}{W} \leq [\sigma];$$

$$2) \frac{1}{W} [M_s + \sqrt{M_s^2 + M_\delta^2}] \leq [\sigma]$$

$$3) \frac{1}{W} [0,35M_s + 0,65\sqrt{M_s^2 + M_\delta^2}] \leq [\sigma];$$

$$4) \frac{1}{2W} \sqrt{M_s^2 + 0,75M_\delta^2} \leq [\sigma]$$

**120. Эгилиш билан буралишни биргалиқдаги таъсирида валнинг мустаҳкамлик шарти формуласини кўрсатинг.**

$$\text{III назария 1) } \frac{1}{2} [\sigma_s + \sqrt{\sigma_s^2 + 4\tau_\delta^2}] \leq [\sigma];$$

$$2) \sqrt{\sigma_s^2 + 4\tau_\delta^2} \leq [\sigma]; \quad 3) \sqrt{\sigma_s^2 + 3\tau_\delta^2} \leq [\sigma];$$

$$4) [0,35\sigma_s + 0,65\sqrt{\sigma_s^2 + 4\tau_\delta^2}] \leq [\sigma]$$

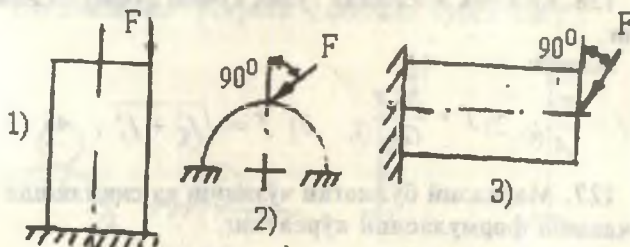
**121. Эгилиш билан буралишни биргалиқдаги таъсирида валнинг мустаҳкамлик шарти формуласини кўрсатинг.**

Жавоб:

$$\text{IV назария 1) } \sqrt{\sigma_s^2 + 4\tau_\delta^2} \leq [\sigma]; \quad 2) \sqrt{\sigma_s^2 + 3\tau_\delta^2} \leq [\sigma];$$

$$3) \frac{1}{2} \left[ \sigma_s + \sqrt{\sigma_s^2 + 4\tau_s^2} \right] \leq [\sigma]; \quad 4) \left[ 0,35\sigma_s + 0,65\sqrt{\sigma_s^2 + 4\tau_s^2} \right] \leq [\sigma]$$

122. Қийшиқ әғилиш схемасини күрсатинг.



123. Қийшиқ әғилишда нормал күчлөніш формуласини күрсатинг.

Жавоб:

$$1) \sigma = \frac{F}{A} \left( 1 + \frac{y_0 y_F}{I_y} + \frac{x_0 x_F}{I_y} \right); \quad 2) \sigma = \pm M \left( \frac{\cos \varphi}{W_y} + \frac{\sin \varphi}{W_z} \right)$$

$$3) \sigma = \frac{M_y \cdot y_c}{I_y} + \frac{M_z \cdot z_c}{I_z}; \quad 4) \sigma = \frac{F_t}{A} + \frac{F_y}{A}$$

124. Қийшиқ әғилишда нейтрал ўқ тенглемасини күрсатинг.

Жавоб:

$$1) \frac{x^2}{a^2} + \frac{y^2}{b^2} ; \quad 2) 1 + \frac{y_0 y_F}{I_y} + \frac{x_0 x_F}{I_y} = 0;$$

$$3) \frac{\cos \varphi \cdot z_0}{I_y} + \frac{\sin \varphi \cdot y_0}{I_z} = 0; \quad 4) r = \frac{A}{\int \frac{dA}{\rho}}$$

125. Қийшиқ әғилишда мустақамлык шартыні күрсатинг.

Жавоб:

$$1) \sigma = \frac{M_y \cdot y_c}{I_y} + \frac{M_z \cdot z_c}{I_z} \leq [\sigma]; \quad 2) \sigma = \frac{F_t}{A} + \frac{F_y}{A} \leq [\sigma]$$

$$3) \sigma = \frac{M}{W_y} (\cos \varphi + \frac{W_z}{W_y} \sin \varphi) \leq [\sigma]; \quad 4) \frac{F}{A} \left( 1 + \frac{y_0 y_F}{l_x^2} + \frac{x_0 x_F}{l_y^2} \right) \leq [\sigma]$$

**126. Қийшиқ әғилишда түлиқ күчиш формуласини күрсатынг.**

Жавоб:

$$1) f = \frac{F \ell}{A}; \quad 2) f = \frac{M_c \ell}{G I_p}; \quad 3) f = \sqrt{f_z^2 + f_y^2}; \quad 4) f = \frac{M_c}{E I}$$

**127. Марказий бұлмаган чүзилиш ва сиқилишда нормал күчланиш формуласини күрсатынг.**

$$\text{Жавоб: } 1) \sigma = \frac{F}{A}; \quad 2) \sigma = \frac{M_x y}{I_x}$$

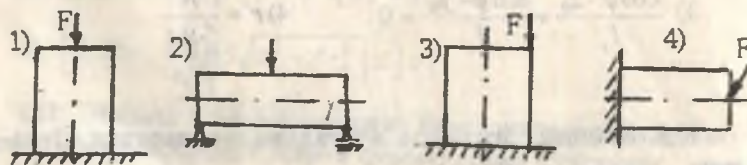
$$3) \sigma = \pm \frac{F_z x \cdot z_c}{I_y} \pm \frac{F_y x \cdot y_c}{I_z}; \quad 4) \sigma = \pm \frac{F}{A} + \frac{F \cdot y_F \cdot y}{I_x} \pm \frac{F \cdot x_F \cdot x}{I_y};$$

**128. Марказий бұлмаган чүзилиш ва сиқилишда нейтрал ўқ тенгламасы?**

$$\text{Жавоб: } 1) \frac{x^2}{a^2} + \frac{y^2}{b^2} = 1; \quad 2) 1 + \frac{y_0 y_F}{l_x^2} + \frac{x_0 x_F}{l_y^2} = 0;$$

$$3) r = \frac{A}{\int_0^r \frac{dA}{\rho}}; \quad 4) \operatorname{tg} \alpha = \operatorname{tg} \varphi \frac{l_y}{l_x}$$

**129. Марказий бұлмаган чүзилиш ва сиқилиш схемасини күрсатынг.**



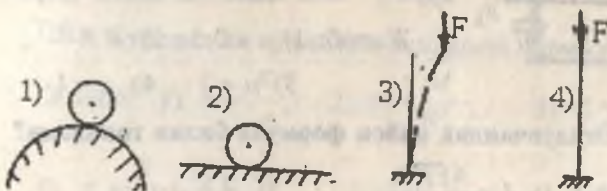
**130. Кесим ядроси нима?**

Жавоб:

- 1) Стержен кесим юзасининг оғирлик маркази.
- 2) Стерженнинг күндаланған кесим юзаси.

- 3) Кесим юзанинг маркази атрофида ҳосил бўлган эгри чизиқли соҳа.  
 4) Кесим юзанинг сиртида жойлашган элементар юза.

### 131. Стерженнинг устувор ҳолатини кўрсатинг?



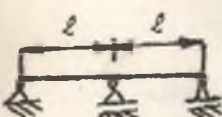
### 132. Эйлер формуласини кўрсатинг.

- 1)  $F_k = [\sigma]A$ ; 2)  $F_k = [\tau]A$ ; 3)  $F_k = a - b\lambda$ ;

$$4) F_k = \frac{n^2 \pi^2 EI_{min}}{(\mu \ell)^2}$$

### 133. Стерженини тирадиши шартига кўра $\mu$ нинг қайси қиймати тўғри?

- Жавоб: 1)  $\mu = 0,5$ ; 2)  $\mu = 0,7$ ;  
 3)  $\mu = 2$ ; 4)  $\mu = 1$



### 134. Стерженнинг тирадиши шартига кўра $\mu$ нинг қайси қиймати тўғри?

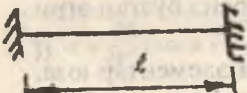
- Жавоб: 1)  $\mu = 0,5$ ; 2)  $\mu = 0,7$ ;  
 3)  $\mu = 2$ ; 4)  $\mu = 1$



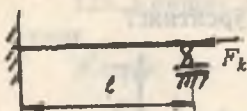
### 135. Стерженнинг тирадиши шартига кўра $\mu$ нинг қайси қиймати тўғри?

- Жавоб: 1)  $\mu = 0,5$ ; 2)  $\mu = 0,7$ ;  
 3)  $\mu = 2$ ; 4)  $\mu = 1$

### 136. Стерженнинг тирадиши шартига кўра $\mu$ нинг қайси қиймати тўғри?



Жавоб: 1)  $\mu = 0,5$ ; 2)  $\mu = 0,7$ ;  
3)  $\mu = 2$ ; 4)  $\mu = 1$



137. Стерженнинг тириалиш шартига кўра  $\mu$  нинг қайси қиймати тўғри?

Жавоб: 1)  $\mu = 0,5$ ; 2)  $\mu = 0,7$ ;  
3)  $\mu = 2$ ; 4)  $\mu = 1$

138. Эгилувчанлик қайси формула билан топилади?

$$\text{Жавоб: } 1) \lambda = \frac{4FR^3n}{Gr^4}; \quad 2) \lambda = \mu \frac{\ell}{i_{\min}};$$

$$3) \lambda = \frac{F\ell}{EI}; \quad 4) \lambda = \frac{M_c}{EI}$$

139.  $\lambda \geq 100$  стерженларда критик кучланиш қайси формула билан топилади?

$$\text{Жавоб: } 1) \sigma = \frac{F_k}{A}; \quad 2) \sigma_k = a - b\lambda;$$

$$3) \sigma_k = \frac{\pi^2 E}{\lambda^2}; \quad 4) \sigma_k = \sigma_{ok}$$

140.  $40 \leq \lambda \leq 100$  стерженларда критик кучланиш қайси формула билан топилади?

$$\text{Жавоб: } 1) \sigma = \frac{F_k}{A}; \quad 2) \sigma_k = a - b\lambda;$$

$$3) \sigma_k = \frac{\pi^2 E}{\lambda^2}; \quad 4) \sigma_k = \sigma_{ok}$$

141. Сиқилган стерженларнинг устуворлик шартини кўрсатинг.

Жавоб:

$$1) \sigma_k = \frac{F_k}{A} \leq [\sigma]; \quad 2) \sigma_k = \frac{F_k}{A \cdot \varphi} \leq [\sigma]; \quad 3) \sigma_k = \frac{\varphi \cdot F_k}{A \cdot \varphi} \leq [\sigma]$$

142. Эгилиш билан чўзилишининг биргаликдаги таъсирида кучланиш формуласи?

Жавоб: 1)  $\sigma = \frac{F}{A}$ ; 2)  $\sigma = \frac{M}{W_x}$ ; 3)  $\sigma = \frac{F}{A} + \frac{M}{W_x}$

$$4) \quad \sigma = \frac{F}{A} + \frac{M}{W} + \frac{Ft}{W}$$

143. Бүйлама ва күндаланг эгилишда нормал кучланиш?

Жавоб: 1)  $\sigma = \frac{F}{A}$ ; 2)  $\sigma = \frac{M}{W_x}$ ; 3)  $\sigma = \frac{F}{A} + \frac{M}{W_x}$

$$4) \quad \sigma = \frac{F}{A} + \frac{M}{W} + \frac{Ft}{W}$$

144. Бүйлама ва күндаланг эгилишда салқилик формуласи?

Жавоб: 1)  $f = \frac{M_c}{EI}$ ; 2)  $f = f_0 \frac{1}{1 - \frac{F}{F_k}}$ ;

$$3) \quad f = \frac{4FR^3n}{Gr^4}; \quad 4) \quad f = \frac{5q\ell^4}{384EI}$$

145. Текис тезланишли ҳаракатда динамик кучланиш?

Жавоб: 1)  $\sigma_g = \sigma_{ct} \left(1 + \frac{a}{g}\right)$ ; 2)  $\sigma_g = K_g \frac{q\ell^2}{8W}$ ;

$$3) \quad \sigma_g = \frac{\gamma \omega^2 D^2}{4g}; \quad 4) \quad \sigma_g = \frac{\gamma F \omega^2 r \ell^2}{9g\sqrt{3} \cdot W}$$

146. Труба ёки бетон плитани күтаришда ҳосил бўлган динамик кучланишни аниқланг?

Жавоб: 1)  $\sigma_g = \sigma_{ct} \left(1 + \frac{a}{g}\right)$ ; 2)  $\sigma_g = K_g \frac{q\ell^2}{8W}$ ;

$$3) \quad \sigma_g = \frac{\gamma \omega^2 D^2}{4g}; \quad 4) \quad \sigma_g = \frac{\gamma F \omega^2 r \ell^2}{9g\sqrt{3} \cdot W}$$

147. Айланувчан ҳалқасимон элементдаги динамик кучланиш?

Жавоб: 1)  $\sigma_k = \sigma_c(1 + \frac{a}{g})$ ; 2)  $\sigma_g = K_g \frac{q\ell^2}{8W}$ ;

3)  $\sigma_k = \frac{\gamma\omega^2 D^2}{4g}$ ; 4)  $\sigma_g = \frac{\gamma F\omega^2 r\ell^2}{9g\sqrt{3} \cdot W}$

148. Шатунда ҳосил бўладиган динамик кучланиш?

Жавоб: 1)  $\sigma_g = \sigma_c(1 + \frac{a}{g})$ ; 2)  $\sigma_k = K_k \frac{q\ell^2}{8W}$ ;

3)  $\sigma_k = \frac{\gamma\omega^2 D^2}{4g}$ ; 4)  $\sigma_g = \frac{\gamma F\omega^2 r\ell^2}{9g\sqrt{3} \cdot W}$

149. Тебранма ҳаракатда ҳосил бўлган динамик кучланиш?

Жавоб: 1)  $\sigma_g = \sigma_c(1 + \frac{a}{g})$ ; 2)  $\sigma_k = \sigma_c(1 + \frac{A}{\delta_c})$ ;

3)  $\sigma_k = K_g \frac{q\ell^2}{8W}$ ; 4)  $\sigma_g = \sigma_c \sqrt{\frac{T_0}{U_c}}$

150. Тебранма ҳаракатда динамик коэффициент қандай формула билан топилади?

Жавоб: 1)  $K_k = 1 + \frac{a}{g}$ ; 2)  $K_g = 1 + \frac{A}{\delta_c}$ ;

3)  $K_k = \sqrt{\frac{T_0}{U_c}}$ ; 4)  $K_k = 1 + \frac{\omega^2 r}{g}$

151. Зарб таъсирида динамик коэффициент формуласи?

Жавоб: 1)  $K_k = 1 + \frac{\delta_k}{\delta_c} \beta$ ; 2)  $K_g = 1 + \frac{\omega^2 r}{g}$ ;

3)  $K_k = 1 + \sqrt{1 + \frac{2h}{\delta_c}}$ ; 4)  $K_g = 1 + \frac{a}{g}$

152. Текис тезланишли ҳаракатда динамик коэффициент?

$$\text{Жавоб: } 1) K_g = 1 + \sqrt{1 + \frac{v^2}{g\delta_c}}; \quad 2) K_g = 1 + \frac{\delta_n}{\delta_c};$$

$$3) K_g = 1 + \frac{a}{g}; \quad 4) K_g = 1 + \frac{\omega^2 r}{\delta}$$

153. Зарб таъсирида күчланиш формуласи?

$$\text{Жавоб: } 1) \sigma_g = \frac{Q}{A} K_g; \quad 2) \sigma_g = \sigma_c \left( 1 + \frac{A}{\delta_c} \right);$$

$$3) \sigma_g = \frac{Q}{A} \left( 1 + \sqrt{1 + \frac{2h}{\delta_c}} \right); \quad 4) \sigma_g = K_g \frac{q\ell^2}{8W}$$

154. Зарб таъсирида чўзилиш ва сиқилиш. Күчланиш формуласи?

Жавоб:

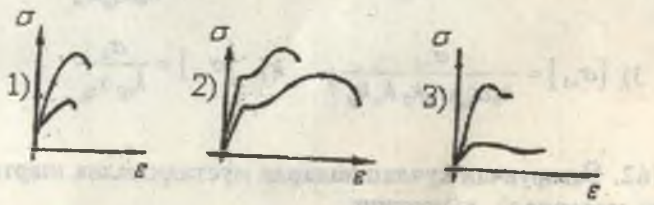
$$1) \sigma_g = \sqrt{\frac{2T_0 E}{A\ell}}; \quad 2) \sigma_g = \frac{I_{\max}}{i} \sqrt{\frac{6T_0 E}{A\ell}}; \quad 3) \tau_g = \sqrt{\frac{4T_0 E}{A\ell}}$$

155. Зарб таъсиридаги динамик узайиш?

Жавоб:

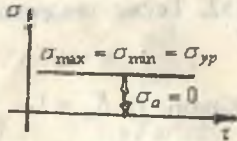
$$1) \Delta\ell_g = K_g \frac{Q\ell}{EA}; \quad 2) f_g = K_g \frac{Q\ell^3}{48EI}; \quad 3) \varphi_g = \sqrt{\frac{T_0\ell}{GI_p}}$$

156. Зарб таъсирида чўзилиш диаграммасини кўрсатинг.



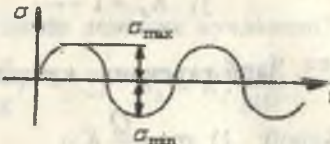
157. Ўзгарувчан күчланишнинг тўғри турини кўрсатинг.  
Жавоб: 1) симметрик

- 2) ўзгармас  
 3) носимметрик  
 4) пулсацияли



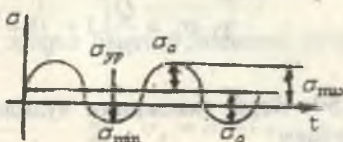
158. Ўзгарувчан күчланишнинг түгри турини кўрсатинг.

- Жавоб: 1) симметрик  
 2) ўзгармас  
 3) носимметрик  
 4) пулсацияли



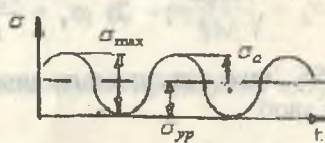
159. Ўзгарувчан күчланишнинг түгри турини кўрсатинг.

- Жавоб: 1) симметрик  
 2) ўзгармас  
 3) носимметрик  
 4) пулсацияли



160. Ўзгарувчан күчланишнинг түгри турини кўрсатинг.

- Жавоб: 1) симметрик  
 2) ўзгармас  
 3) носимметрик  
 4) пулсацияли



161. Ўзгарувчан күчланишларда мустаҳкамлик шартини (пластик материал учун) кўрсатинг.

Жавоб: 1)  $[\sigma_{+1}] = \frac{\sigma_{ok}}{k_{01}}$ ;      2)  $[\sigma_{-1}] = \frac{\sigma_{-1}}{k_0 \alpha_{kg} \alpha_m}$ ;

3)  $[\sigma_{+1}] = \frac{\sigma_{-1}}{k_0 \alpha_{kg} \alpha_m k_T k_s k_e}$ ;      4)  $[\sigma_{+1}] = \frac{\sigma_b}{k_{02} \alpha_{kg}}$

162. Ўзгарувчан күчланишларда мустаҳкамлик шартини (мўрт материал) кўрсатинг.

Жавоб: 1)  $[\sigma_{+1}] = \frac{\sigma_{ok}}{k_{01}}$ ;      2)  $[\sigma_{-1}] = \frac{\sigma_{-1}}{k_0 \alpha_{kg} \alpha_m}$

$$3) [\sigma_{+1}] = \frac{\sigma_b}{k_{02} \alpha_{kg}}; \quad 4) [\sigma_{-1}] = \frac{\sigma_{-1}}{k_0 \alpha_{kg} \alpha_m k_T k_s k_x}$$

**163. Материалы Гук қонунига бүйсунмайдыган балкаларда нормал күчланиш формуласини күрсатинг.**

Жавоб:

$$1) \sigma_{-1}^2 = 0,4 \sigma_e; \quad 2) \sigma_r = \frac{3M}{bh^2} \left( 1 + \frac{\sqrt{E_4}}{\sqrt{E_c}} \right); \quad 3) \sigma_u = \alpha_n \frac{F\ell}{W}$$

**164. Материалы Гук қонунига бүйсунмайдыган балкаларда нейтрал үк тенгламасини күрсатинг?**

Жавоб: 1)  $r = \frac{A}{\int_0^A \frac{dA}{\rho}}$ ; 2)  $h_t = \frac{h \sqrt{E_c}}{\sqrt{E_u} + \sqrt{E_c}}$

$$3) \operatorname{tg} \alpha = \operatorname{tg} \varphi \frac{I_y}{I_z}$$

**ТАЯНЧ ИБОРАЛАРНИНГ ЛУГАВИЙ МАЬНОСИ ВА ЎҚУВ  
МАҚСАДЛАРИНИНГ ТОИФАЛАРИ БЕЛГИЛАШ**

Таянч иборалар	Лугавий маъноси	Ўқув мақсадининг тоифалари		
		билиш	тушуниш	куллаш
Материал	Механик ва пластиклик хоссасига, ишлов берилеш хусусиятига эта бўлган конструкция ва иншоот қисмларини тайёрлаш мумкин бўлган нарса.	+	+	
Каршилик	Ҳар қандай ташки таъсирга ички акс таъсирини кўрсата олишлик	+		
Мустаҳкамлик	Ташки таъсирга емирилмасдан қаршилик кўрсатиш қобилияти	+		
Бикрлик	Жисмнинг ўлчами ва шаклиниң ўзгаришига қаршилик кўрсатиш қобилияти. Бикр-ўлчам ва шаклниң ўзгаришига мойилмас детани.	+		
Устуворлик	Лойиҳа асосида берилган тўғри чизиқли мувоза натлашган шаклни саклаш қобилияти.	+		
Куч	Иккита жисмнинг механик таъсири	+	+	
Тўпланма куч	Иккита жисмнинг ўзаро таъсирашуви нуқта воситасида амалга оширилади, яъни юкни қўйилиш юзасининг ўлчами конструкция эле менгларининг ўлчамларидан жуда кичик.	+		

Таянч иборалар	Лугавий маъноси	Ўқув мақсадининг тоифалари		
		билиш	тушуниш	куллаш
Таксимланган куч	Иккита жисмнинг ўзаро таъсирашуви юза ёки узунлик бўйича амалга оширилади.	+		
Кесиш методи	Жисмни $m - l$ текислик билан фикран иккни қисмага ажратиш	+	+	+
Ташки куч	Тинч - ҳаракатсиз ҳолатда бўлган жисмга иккинчи жисмнинг таъсири	+		
Ички куч	Ташки куч таъсирида жисм материали заррачаларининг ўзаро торгишиш кучларининг активлашиши	+		
Деформация	Ташки куч таъсиридан жисмда ўлчам ёки шакл ўзгариши	+	+	
Оддий деформация	Ташки куч йўналишида жисмнинг ўлчам ёки шакл ўзгариши	+		
Мураккаб деформация	Бир вақтда иккита ва ундан кўпроқ оддий деформацияларининг ҳосил бўлиши	+		
Эластик деформация	Ташки куч таъсири йўқотилгандан кейин жисмнинг бошланғич ўлчам ва шаклини тикланиши	+		

Таянч иборалар	Лугавий маъноси	Ўкув мақсадининг тоифалари		
		билиш	тушуниш	қўллаш
Инерция моменти	Кесим юза билан ўқ орасидаги масофа квадратининг кўпайтмаси	+	+	+
Ўқларга нисбатан инерция моменти	Кесим юзани бирор ўқда нисбатан инерция моменти	+	+	+
Марказдан қочма инерция моменти	Кесим юза билан иккита ўқ орасидаги масофа кўпайтмасининг интеграли	+	+	+
Кутуб инерция моменти	Кесим юза билан қутуб нуқтаси орасидаги масофа квадратининг кўпайтмаси	+	+	+
Каршилик моменти	Кесим ўлчамларининг боғланиши бўлиб, мустаҳкамликни ифодалайдиган геометрик тавсиф	+	+	+
Бош инерция ўқи	Бош инерция ўқларига нисбатан кесимнинг марказдан қочма инерция моменти нолга teng	+	+	+
Бош инерция моменти	Бош инерция ўқларига нисбатан кесимнинг инерция моменти	+	+	+
Инерция радиуси	Кесимнинг бирор ўқта нисбатан инерция моментини кесим юзасига нисбати билан топилади	+	+	+

Таянч иборалар	Лугавий маъноси	Ўкув мақсадининг тоифалари		
		билиш	тушуниш	қўллаш
Чўзилиш	Ташқи куч таъсирида бруслар узунлигининг ортиши (узайиши) ва кўндаланг ўлчамишининг қисқариши	+	+	+
Сикилиш	Ташқи куч таъсирида бруслар узунлигининг қисқариши ва кўндаланг ўлчамишининг ортиши	+	+	+
Марказий чўзилиш ва сикилиш	Ташқи куч таъсиридан брусларнинг кесим юзасидаги материал заррачалари бир хил масофага кўчади, яъни брусларнинг кесим юзаси ўқ бўйлаб чизиқли қисқаради ёки орлади	+	+	
Бўйлама деформация	Ташқи куч таъсиридан бруслар узунлигини ўқ бўйлаб чизиқли узайишининг нисбий (абсолот) миқдори	+	+	
Кўндаланг деформация	Ташқи куч таъсиридан бруслар кўндаланг кесим юзасининг ўзгаришини абсолют (нисбий) миқдори	+	+	
Эластиклик модули	Физик константа, материалнинг турига боғлик	+	+	
Пуассон коэффициенти	Бруслар кўндаланг кесим юзасининг қисқарашини тавсифлайди	+		
Хусусий оғирлилк	Жисмнинг оғирлигиги	+		

Таянч иборалар	Лугавий маъноси	Ўқув мақсадининг тоифалари		
		билиш	тушуниш	қўллаш
Теңг қаршилик кўрсатувчи бруслар	Узунлиги бўйлаб ўзгарувчан кесим юзаларида нормал кучланиши бир хил қийматта эта	+	+	
Хавфли кесим	Энг катта кучланиши таъсиридан кесим юзада емирилиши содир бўлгани мумкин	+	+	
Мустаҳкамлик шарти	Хавфли кесимдаги емирилиши чеклайдиган математик ифода	+	+	
Рухсат этилган кучланиши	Эластик деформация ва мустаҳкамликни таъминлаши учун бруслар материалыга хос бўлган чекланган кучланиши	+	+	
Температурали кучланиши	Температура (қиздириш) таъсирида ҳосил бўлган кучланиши	+	+	
Температурали деформация	Металларнинг иссиқликдан қенгайиши	+	+	
Диаграмма	Куч билан деформация боғланишини координата ўқларида графикавий усулда ифодаланиши	+	+	
Пропорционаллик чегара	Куч билан деформация боғланишининг графикаси тўғри чизиқ яъни Гук қонуниятига бўйсунади	+	+	
Эластиклик чегара	Брусларнинг эластиклик хосасида - деформация сўнувчан бўлади	+	+	

520

Таянч иборалар	Лугавий маъноси	Ўқув мақсадининг тоифалари		
		билиш	тушуниш	қўллаш
Оқувчанлик чегара	Тахминан ўзгармас кучланиши таъсирида брусларнинг узайиши тез ўсади	+	+	
Мустаҳкамлик чегара	Энг катта кучга тўғри келувчи кучланиши	+	+	
Маҳаллий узайиши	Брусларнинг мальум бир оралиқда тўпланиши ёки содир бўлиши	+	+	
Пухталаниши	Бирламчи узайиши эвазига пропорционаллик чегарани ўшиши	+	+	
Абсолют деформация	Бир бирлик узунликка тўғри келувчи узайиши	+	+	
Нисбий деформация	Бир бирлик узунликка тўғри келувчи абсолют узайиши	+	+	
Пластиклик	Брусларнинг чўзилиши (сиқилиш) га, этилишга ва ҳ.к.ларга мойиллиги, катта қолдиқ деформация ҳосил қилиш хусусияти	+	+	
Мурғлик	Материалнинг пластикликка тескари хосаси	+	+	
Гук қонуни	Куч билан деформация боғланишининг графикаси тўғри чизиқ қонуниятига бўйсунишини тавсифловчи назария	+	+	

521

Таянч иборалар	Луғавий маъноси	Ўқув маҳсадининг тоифалари		
		билиш	тушуниш	қўллаш
Статик ноаниқ масала	Номаълум кучларнинг сони мувозанат тенгламалари сонидан кўп бўлган масала	+	+	+
Статик ноаниқлик даражаси	Статик ноаниқ масала неча маротаба ноаниқ эканлигини ифодалайди	+	+	+
Деформацияларниң боғланиши	1. Брус таянч нуктасининг кучиши ташки ва реакция кучлари таъсиридан нолга тенг бўлиши	+	+	+
	2. Бикр қаттиқ жисм воситасида боғланишда бўлган стерже йиарни деформацияланишида ҳосил бўлган шакларни геометрик боғланиши	+	+	+
Кучланганлик ҳолат	Кубик томонларида ва қия кесим юзаларида кучланнишларнинг хилма-хиллиги ва ўзгаришини таҳлили	+	+	
Чизиқли кучланганлик ҳолати	Чизиқ бўйлаб кубикни кўндалант ва қия кесим юзаларида кучланнишларни таҳлили	+	+	
Ҳажмий кучланганлик ҳолат	1. Кубикнинг ҳажми бўйича кучланнишларнинг таҳлили	+	+	
	2. Кубикнинг деформацияланишида шакл ёки ҳажм ўзгаришининг таҳлили	+	+	
Бош юза	Уринма кучланнишлар таъсири нолга тенг бўлган юзалар	+	+	

Таянч иборалар	Луғавий маъноси	Ўқув маҳсадининг тоифалари		
		билиш	тушуниш	қўллаш
Бош кучланнишлар	Бош юзаларга қўйилган кучланнишлар	+	+	+
Бош кучланнишларниң йўналиши	Чўзувчи ва сиқувчи кучланнишлар йўналишини аниқлаш	+	+	+
Мор доираси	1. Кучланнишлар доираси	+	+	+
	2. Кўндалант ва қия кесимлардаги кучланнишлар ўзгаришини ифодаловчи графикавий усули	+	+	+
Ҳажмий деформация	Кубикни ўзаро перпе ндикулляр учта қирраларининг бир вақтда чўзилиш ва сиқилишишини таҳлили	+	+	
Деформацияни потенциал энергияси	Кубикни деформацияланишида бажарилтан ишни тавсифловчи сарфланга и энергия	+	+	
Ҳажм ўзариши	Кубикни деформацияланишида барча қирраларини бир хил миқдорга узайиши ёки қисқариши, яъни кубик кубиклита қолади	+	+	
Шакл ўзариши	Кубикнинг деформацияланишида унинг қирраларининг ўлчамлари бир хил ўзгармайди, кубик параллелограмм шаклини эталлайди	+	+	

Таянч иборалар	Лугавий маъноси	Ўкув мақсадининг тоифалари		
		билиш	тушуниш	қўллаш
Гук ҳажмий қонуни	Эластик ҳажмий деформацияни тасвифювчи қонуниятнинг математик ифодаси	+	+	
Ҳажмий эластиклик модул	Эластик ҳажмий деформациядаги физик константа	+		
Мустаҳкамлик назария	Конструкциялар мустаҳкамлиги тўгрисидаги турли назарий ва тажрибавий мулоҳаза ва гояларни мужассамлапган ҳолатини математик ифодаси	+		
Мурт емирилиш	Материалларни эластиклик хоссасидан ташқарида дарз ёрилиши	+		
Пластик емирилиш	Материалларни эластиклик хоссасидан ташқарида қолдик деформация ҳосил қўлиши	+		
Силжиш	Ташқи куч таъсиридан брусларни юзаларни бир-бирига нисбатан кўчиши (ҳаракати)	+		
Абсолют силжиш	Бир бирлик ўлчамга тўғри келувчи силжиш	+		
Нисбий силжиш	Бир бирлик ўлчамга тўғри келувчи абсолют силжиш	+		
Қирқилиш	Хавфли силжиш кесимида кесилишга қаршилик кўрсатиш қобилияти	+	+	

Таянч иборалар	Лугавий маъноси	Ўкув мақсадининг тоифалари		
		билиш	тушуниш	қўллаш
Эзилиш	Силжиш төкислигига перпендикуляр юзада материал заррачаларининг кўчиши	+	+	
Силжиш модули	Силжиш деформациясидаги физик константа	+	+	
Бирикма	Иккита жисмни тутаптириш юзаси ва усули	+	+	
Пайванд бирикма	Иккита элемент материалларини суюқ ҳолатда бириктириш усули	+	+	
Парчин михли бирикма	Иккита элементни парчин мих воситасида бириктириш усули	+	+	
Буралиш	Параллел жойлашган иксила доираний кесимларни бир ўқ атрофида ва бир-бирига нисбатан айланниши	+	+	
Вал	Айланма ҳаракат ва кувватни узатадиган погонали доираний кесимли бруслар	+	+	
Ўқ	Айланувчи гидравиклар билан ҳаракатни узатишида қатнашадиган доираний кесимли бруслар	+	+	
Буровчи момент	Ташқи айлангирувчи моментларнинг алгебравик йигинидисига тент бўлиб, валнинг кесим юзасидаги материал заррачаларини буралишга қаршилик кўрсатувчи кучларининг кесим марказига нисбатан куч моментларининг тент таъсир қилувчиси	+	+	

Таянч иборалар	Лугавий маъноси	Ўкув мақсадининг тоифалари		
		билиш	тушуниш	қўллаш
Буралиш бурчаги	Вал кўндалинг кесим юзасини ўқ атрофига айланниш вазиятини (бурчагини) белгилайди	+	+	
Эпюра	Ички куч факторларини бруснинг ўқи бўйлаб ўзгаришини ифодаловчи маълум қонуният асосида курилган графикаси	+	+	
Бикрлик шарти	Брус деформациясининг чекланган қийматини белгиловчи математик ифода	+	+	
Деплонация	Мажбурий буралиш	+		
Этубчи момент	Балканнинг кесим юзасидаги чўзувчи ва сикувчи ички бўйлама кучларни нейтрал ўқса нисбатан куч моментларининг тенг таъсири қўлившиси бўлиб, балканни танланган кесим марказига нисбатан бир томонда жойлашган ташки кучларнинг шу кесим марказига нисбатан куч моментларининг алгебравик йигиндиси		+	+
Нейтрал қатлам	Балканнинг эгилishiда қатнашиб чўзилмайдиган ва сиқилмайдиган материал қатлами	+	+	+
Кўчиш	Нуқсанинг ташки куч таъсирида шу куч йўналишида бир чизик бўйлаб кўчиши	+	+	+

Таянч иборалар	Лугавий маъноси	Ўкув мақсадининг тоифалари		
		билиш	тушуниш	қўллаш
Дифференциал боғланиш	Балка кесимиининг айланниш бурчаги билан салқилик орасидаги боғланиш	+	+	+
Дифференциал тенглама	Балка эгилган ўқини ташки куч ва бикрлик билан боғланишининг математик ифодаси	+	+	+
Универсиал формула	Балка ихтиёрий кесимиининг айланниш бурчаги ва салқилигини аниқлаш формуласи	+	+	+
Графоаналитик усул	Балка танланган кесимиининг айланниш бурчаги ва салқилигини аниқлашни аналитик ва графика усулиларини мужассамланган кўринишси	+	+	+
Эгилishi маркази	Балка кесимидан ташқарида жойлашган шундай нуқтаки, бу нуқтага мувозанатловчи куч кўйилиб, кесимдаги уринма кучларни кесимиининг оғирлик марказига нисбатан моменти мувозанатланади ва балка кесимиининг буралиши чекланади	+	+	+
Ишлар орасидаги боғланиш	Иккита кетма-кет қўйилган кучлар таъсирида бўлган нуқталарнинг шу кучлар йўналишидаги кўчишида бажарилган ишларнинг ўзаро тенглиги	+		
Кўчишлар орасидаги боғланиш	Иккита кетма-кет қўйилган кучлар таъсирида бўлган нуқталарнинг шу кучлар йўналишидаги кўчишларининг ўзаро тенглигини ифодалайди	+		

Таянч иборалар	Лугавий маъноси	Ўкув мақсадининг тоифалари		
		билиш	тушуниш	қўлиаш
Мор интеграли	Ташқи ва бирлик кучлар таъсирида бўлган нуқтанинг шу кучлар йўналишидаги кўчишида бажарилган ишларнинг ўзаро тенглигига асосланган тенглама бўлиб, бу тенгламадан балканинг кўчиши ҳисобланади	+	+	+
Верешагин усули	Балка нуқтасининг кўчишини аниқлашида ташқи ва бирлик куч моментлари эпюраларини куриш ва уларни ўзаро кўплайтиришга асосланган усул	+	+	+
Деформацияларни таққослаш	Нуқтанинг салқилиги ташқи ва таянч кучлари таъсиридаги салқиликларнинг йигиндиси сифатида нолга тенг бўлади	+		
Узлуксиз балка	Таянчлар сони 3 та ва ундан кўп бўлган балкалар	+	+	+
Уч момент теоремаси	Учта номаълум реактив моментларни аниқлаш учун татбиқ этилган назария	+	+	+
Статик ноаниц рама	Номаълум реакция кучларининг сони мувозанат тенгламалари сонидан кўп бўлган рама	+	+	+
Куч усули	Номаълум реакция кучларининг бирлик кучлар билан алмаштирилиши	+	+	+

Таянч иборалар	Лугавий маъноси	Ўкув мақсадининг тоифалари		
		билиш	тушуниш	қўлиаш
Каноник тенглама	Бирлик кучлар бажарган ишларининг йигиндисини ташқи кучни бирлик куч йўналишида бажарган иши билан мувозанатлашуви	+	+	+
Эгри стержень	Бўйлама ўқи тикис эгри чизик бўлган стержень	+	+	+
Мураккаб қаршилик	Конструкциянинг иккита ва ундан ортиқ оддий деформациялар таъсирида бўлиши	+	+	+
Қийшиқ эгилиш	Симметрия ўқлари жойлашган текисликлардан ташқаридан бруснинг эгилиши	+	+	+
Марказлашмаган сиқилиш	Бруснинг сиқилиш билан эгилиш деформацияларининг биргаликдаги таъсирида бўлиши	+	+	+
Буралиш ва эгилиш	Валнинг кесим юзасида буровчи ва эгувчи моментларнинг ҳосил бўлиши, яъни вални буралиш билан эгилиш деформацияларининг биргаликдаги таъсирида бўлиши	+	+	+
Келтирилган момент	Турли мустаҳкамлик назариялари асосида ҳисобланган буровчи ва эгувчи моментларнинг йигиндиси	+	+	+

Таянч иборалар	Лугавий маъноси	Ўқув мақсадининг тоифалари		
		билиш	тушуниш	қўллаш
Ноустуровлик	Сиқувчи куч таъсирида се рже ининг тўғри чизиқли шаклини сақлаб қола олмаслиги	+	+	+
Критик куч	Се рже нъ устуровлитининг йўқолишита сабаб бўлувчи куч	+	+	+
Этилувчаник	Турли узунлик ва ўлчамдаги стерженларни тўғри чизиқли шаклини эластик ўзгариши хусусиятини ифодаловчи константа	+	+	+
Динамик куч	Бир-бирлик вакт оралигида қийматини ва йўналишини ўзгарирувчи куч	+	+	
Динамик деформация	Динамик куч таъсиридаги бруснинг шакл ёки ўлчамларининг ўзгариши	+	+	
Зарб таъсири	Маълум баландликдан тушган юкнинг жисмга таъсири	+	+	
Зарбга синаш	Зарб таъсирида материал хоссалирини ўрганиш	+	+	
Ўзгарувчан кучланиш	Вакт оралигида қиймати ва ишорасини ўзгарирадиган кучланиш	+	+	
Материаллар-нинг толиқиши	Ўзгарувчан кучланиш таъсирида материални дарз ёрилиши	+	+	
Чидамлилик чегара	Материалларнинг толиқишини чеклайдиган чегара	+	+	

### ЎҚУВ ВА УСЛУБИЙ (технологик) КАРТА

T/p	Мавзулар номи	Фойдала-нила диган ўТВ ва услубий қўллан-маҳар	Ўқув дар-си ва назорат тури	Таянч иборалар ва билимни ўзлаштириш даражаси (билиш, тушуниш ва қўллаш)
1	Фанинг вазифалари. Куч турлари. Кесиш методи. Кучланиш ва деформация. Фанда қабул қилинган гепотезалар	П-10-01 П-102 Д-1 ТС	М, Т	Материал, қаршилик, мустаҳкамлик, бикрлик, устуровлик, куч, тўпламма куч, тарқалган куч, статик куч, линамик куч, кесиш методи, кучланиш, контактни кучланиш; кучланишлар концентрацияси, қаттиқлик; деформация, олдий деформация; мураккаб деформация; эластик деформация, пластик деформация; кўчиш; брус, стержень, балка, рама, қобик, конструкция; иншоот — (билиш, тушуниш)
2	Текис юзаларининг геометрик тасвифлари. Статик ва инерция моментлари. Параллел ўйларга нисбатан инерция моментлари. Олдий кесим юзаларининг инерция моментлари. Координата ўйларини айлантирганда инерция моментларининг ўзгариши. Бош инерция ўйлари ва бош инерция моментлари. Қаршилик моментлар тушунчаси.	ТС	М, МЕ Т ХГИ	Геометрик тасвиф, статик момент, оғирлик маркази, инерция моменти, кутб инерция моменти, марказдан ўочма инерция моменти, бош инерция ўйли, бош инерция моменти қаршилик моменти, инерция радиуси (билиш, тушуниш ва қўллаш)

3	Чүзилеш жа сиқилиш. Кучанниш жа деформация. Гук қонуни. Эластиллик модули. Мустаҳкамлык шарти. Кесимни таңаш. Хусусий оғырлыш таңсирда чүзилеш жа сиқилиш. Төң қаршилик күрсатувчи бруслар. Температура таңсирда күчтениш жа деформация. Статик анық жа ноанық масалалар. Материалда ринги хоссаларини таңжыбыларда үрганиш. Юниоқ шұлттык чүзилеш жа сиқилиш диаграммалари. Турли материалдарда чүзилеш жа сиқилиш диаграммалари. Пластиктік Рухсат этилдан кучланыштарын таңаш. Деформацияның потенциал энергиясы	П-19-03 П-19-13 П-19-04 П-19-05 П-19-06 П-19-07 П-19-08 П-19-09 П-19-11 П-19-13	М МЕ ТМ Т ХГИ  ТС	Марказий чүзилеш жа сиқилиш; чүзилеш; сиқилиш; бүйлама күц; абсолют үзайыш; нисбеттік үзайыш; Гук қонуни; эластиллик модули; бүйлама деформация; күнделектік деформация; Пуассон коэффициент; диаграмма; пропорционаллік چетара, эластиллик چетара, пұхталаңыш; мұрлык, кесимнің нисбеттік қысқа риши; төң қаршилик күрсатувчи брус; ҳарораттык кучланыш; ҳарораттык деформация; мустаҳкамлык шарти; рухсат этилдан кучланыш; әдістеме коэффициент; статик ноанық масала; статик ноанықтык даражасы; деформацияның бөлгөннөші (билиш, түшүнүш жа құллаш)
---	---	--	-------------------------------------	--

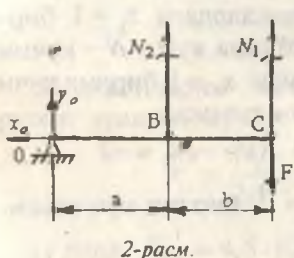
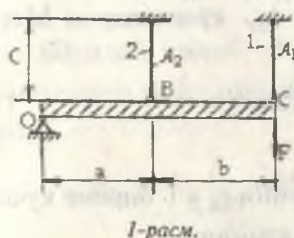
4	Кучланғанлык ҳолатлары. Чизиқта жа текис кучланғанлык ҳолатлары. Бош қозалар жа бош кучланыштар. Кучланыштар жоғарасы. Ҳажмий кучланғанлык ҳолаты. Ҳажмий деформация. Гук қонуни. Эластиллик деформацияның энергиясы	П-19-14 П-19-14 П-19-14  ТС	М МЕ ХГИ Т	Чизиқты кучланғанлык ҳолаты; қия кесимнің нормал кучланышы; тұлғык кучланыш; қия кесимнің уринма кучланышы; уринма кучланыштардың жүрғілік алматы; бош қоза; бош нормал кучланыш; текис кучланғанлык; Мор дөйрасы; ҳажмий кучланғанлык; Гукнің ҳажмий қонуни; ҳажм үзгариши; шакт үзгариши (билиш, түшүнүш)
5	Мустаҳкамлык назариялары. Мұрт жа пластик смириліш. Классик жа янғын мустаҳкамлык назариялары.	П-19-21 П-19-22	М Т	Энг катта бош нормал кучланыштар; энг катта нисбеттік деформация; энг катта уринма кучланыш, энергетика назария; Мор назариясы; мұрт смириліш; пластик смириліш; хавфли ҳолат; ҷетаралық қымат; хавфлилік даражасы (билиш, түшүнүш)
6	Силжиши. Гук қонуни. Кучланниш. Деформацияның потенциал энергиясы. Парчин мөнде жа лайванд бирикмалар ринги ҳисоблаш	Д-2 ТС	М МЕ Т МТ	Соф силжиши; силжиши модули; абсолют силжиши; нисбеттік силжиши; бирикма; қирқишиш; зәйлиши; заифлаштан ਯوزа (билиш, түшүнүш)
7	Буравчи. Буровчи моменттер анықташ. Домравий кесимнің стерженде кучланыштың анықлашы. Мустаҳкамлык жа бикрілік шарлар. Винтсімөн пружинаны ҳисоблаш. Статик ноанық масалалар.	П-19-15 П-19-16 ТС	М МЕ ТМ Т ХГИ	Тасма, шеків, тарапшылк күчи, буровчи момент, буравчи бурачғы; құжат, айланыштар соны; бикрілік шарлар; вал; үқ (билиш, түшүнүш жа құллаш)

8	<p>Эгизниш. Ички күч факторларының анықлаш. Эгувчи момент, күндалану күчі ва ёйылган күч интегралының орасындағы дифференциал бөлганишилар. Нормал күчтәнешінде анықлаш. Нормал күчтәнешінде бүйікча мұстаҳаммади шартты. Кесимниң таңдаш. Уринма күчіниң анықлаш. Мұстаҳаммади шартты. Журавский формуласының түрлі кесимдердегі тәбиғи. Эгиліш марказы. Балканы мұстаҳаммади шарттың бөш күчтәнешінде бүйікча жекешириш. Текті қаршишылк күрсатувиш балкалар.</p>	<p>П-19-18 Д-3 П-19-20 П-19-19 Д-3 ТС</p>	<p>М МЕ ТМ Т ХГИ</p>	<p>Күндалану күчі; эгувчи момент; таңынч; таңынч күчі; материал қатлами сиқылды; материал қатламиң чүзилди; не йтрагал қатлам; рационал кесим; рухасат этилган юқ; текті қаршишылк күрсатувиш балка; эгиліш марказы (билиш, тушуныш ва құлданы)</p>
9	<p>Эгри сөржелар. Күчтәнешінде деформация. Нейтрагал үк тәнгламасы.</p>	<p>ТС</p>	<p>М МЕ ТМ Т ХГИ</p>	<p>Салжылар; кесимнинг айланыш бурчагы; тақрийдік дифференциал теңгелеме; универсал формула; Мор интегралы; Ве решагин формуласы; графоаналитик формула; бирлік күч; ишилор орасындағы бөлганишилар; күчтәнешілар орасындағы бөлганишилар; уч момент тәнгламасы; күч формуласы; каноник тәнгелеме; узлуксыз балка; бирлік күч айланышындағы күчтің (билиш, тушуныш ва құлданы)</p>
10	<p>Мураккаб қаршишылар. Буралиш билан этилішінің бирталығындағы тәсілдер. Қиыншылк этиліш. Марказий бўйламан чўзилди ва сиқылди. Күчтәнешінде нейтрагал үк тәнгламасы.</p>	<p>Д-3 ТС</p>	<p>М МЕ Т ХГИ</p>	<p>Мураккаб қаршишылар; келтирилган момент; қиыншылк этиліш; марказлашмаган сиқылди; кесим ядросы; бўйлама ва күндалану этиліш (билиш, тушуныш ва құлданы)</p>
11	<p>Устуворлик. Критик күчтің анықлаш. Эйлер формуласы. Критик күчтәнеші. Эйлер формуласының көзінде тәгарақын анықлаш. Устуворлик шартты. Бўйлама ва күндалану этиліш</p>	<p>П-19-24 Д-3 П-19-25 П-19-26 ТС</p>	<p>М МЕ Т ХГИ</p>	<p>Критик күч; критик күчтәнеші; синусоид; ноустувор; этилувчанотик; устуворлик шартты; мұстаҳаммади рухасат этилган күчтәнешінде амайтириш коэффициенті; интерполяция формуласы (билиш, тушуныш ва құлданы)</p>
12	<p>Динамик күчлар. Текис тәзганишиның айланымына тәбраның қарасалындарда динамик күчтәнешілар. Зарб тәсілдер. Зарбнинг хусусий ҳолалари. Зарбда сиңаш.</p>	<p>ТС</p>	<p>М МЕ Т</p>	<p>Инерция күчі; динамик күчтәнеші; статик күчтәнеші; динамик коэффициент; динамик деформация; тәбраның амплитудасы; зарб тәсілдер; зарбда сиңаш (билиш, тушуныш)</p>

13	Үзүүрүүк күчтөөшүүлөр. Материалдын тоолуулуш. Үзүүрүүк күчтөөшүүлөр инештүүлүр. Төлөө ёш даңгызасы. Носолом төрүлүктөөдүрүлүк тоолкыштардын аныктасаш. Үзүүрүүк күчтөөшүүлөрдүрүлүк тоолкыштардын аныктасаш.	TC	M ME T	Үзүүрүүк күчтөөшүүлөр; тоолкыш, ядро бүрлиш; Үзүүрүүк күчтөөшүүлөсөн; Үзүүрүүк күчтөөшүүлөсөн;
14	Миниатюри Гүж хонунчы бүйсүн наадалдан жатырлык күчтөөшүүлөр	TC	M T	(бүрлиш)
15	Яңы жетекшүүлөр. Күчтөөшүүлөр иң деңгөрүүлүстүүк аныктасаш яныктасаш	TC	M T	Төзөмөттөөчүүлөр; ЖКЖ жөндөмдөр; Мурал полосасы (бүрлиш)

- ЭСЛАТМА:** 1. Ўкувдарсининг тури - **М** — марьза; **МЕ** — масала сөрүш; **ТМ** — тажриба маштулоти  
 2. Назорат тури - **T** — тест синооптары; **ХИ** — хисоблаш трафик ишлари  
 3. Фойдаланыладиган ўқиттиш техник воситалари за услугубий күттәнмалар.
- П** — плакат; **Д** — днафильм; **TC** — таяңч сигналлары

## Мор интеграли татбиқ этиладиган масалалар



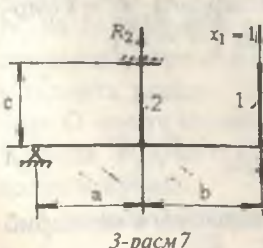
Чўзилиш ва сиқилиш: 1-масала. Берилган ОС бикр брусларни таънчига тиради ва 1 ва 2-стерженларга осилган. Стерженлардаги кучланишлар ва уларга кўйилган кучнинг рухсат этилган қиймати топилисин. Стерженларнинг материали пўлат.

Ечиш. Конструкцияни барча ўлчамлари, реакция ва ички кучлари кўрсатилган ҳисоблаш схемасини чизамиз (2-расм). Масаланинг шартига кўра  $N_1$  ва  $N_2$  ички кучлар ёрдамида  $F$  кучни рухсат этилган қиймати топилиши керак.  $N_1$  ва  $N_2$  кучларни аниқлашда шарнирдаги  $x_0$  ва  $y_0$  реакция кучларини топиш шарт эмас.

Шунинг учун учта мувозанат тенгламасидан биттасими:  $\sum M_o = 0$

$$\sum M_o = -N_2 \cdot 1 - N_1 \cdot 2 + F \cdot 2 = 0$$

Ҳосил бўлган тенгламада номаълумлар сони мувозанат тенгламасидан ортиқча. Демак, масала статик ноаниқ  $N_1$  ва  $N_2$  кучларни топиш учун масалани аниқмаслик даржасини очиш керак. Бунинг учун куч усулидан фойдаланамиз.



**Куч усули** — системани аниқмаслик даржасини очишнинг умумий усули бўлиб, қўйидаги тартибда амалга оширилади:

1) асосий системани таълаш — статик ноаниқ системадаги битта ортиқча боғланишнинг таъсирини  $x_1 = 1$  бирлик куч таъсири билан алмаштиришdir.

Системани каноник тенгламасини тузамиз. Каноник тенгламаларнинг сони системадаги йўқотилған ортиқча боғланишлар сонига тенг бўлади.  $\delta_{11}X_1 + \Delta_{1F} = 0$

Каноник тенгламадаги  $\delta_{11}$  ва  $\Delta_{1F}$  кўчишларни Мор интеграли ёрдамида топамиз:

$$\delta = \sum \int_0^L \frac{N \cdot N dx}{AE}$$

$\delta_{11} = \int \frac{\bar{N} \cdot \bar{N} dx}{2AE}$  – биринчи стерженни  $x_1 = 1$  бирлик кучи таъсиридан шу куч йўналишидаги кўчиши.

$N$  – биринчи ва иккинчи стерженлардаги  $x_1 = 1$  бирлик кучидан ҳосил бўлган ички бўйлама куч.  $\bar{N}$  – кучни аниқлаш учун, асосий системани фақат  $x_1 = 1$  бирлик кучи таъсиридан мувозанат тенгламасини тузамиз.

$$\Sigma M_o = -\bar{R}_2 \cdot 1 - x_1 \cdot 2 = 0, \text{ бу ерда } \bar{R}_2 = -2x_1 = -2$$

$\bar{R}_2$  – иккинчи стержендаги  $x_1 = 1$  бирлик куч таъсиридан ҳосил бўлган бўйлама куч.

Унда:

$$\delta_{11} = \frac{\bar{R}_2 \cdot \bar{R}_2 \cdot \ell_2}{A_2 E} + \frac{x_1 \cdot x_1 \cdot t_1}{A_1 E} = \frac{(-2)(-2) \cdot 1}{AE} + \frac{1}{2AE} = 1,125 \cdot 10^{-4} m$$

$\Delta_{1F} = \int \frac{N \cdot \bar{N} dx}{AE}$  – биринчи стерженни ташқи  $F$  куч таъсиридан  $x_1 = 1$  бирлик куч йўналишидаги кўчиши.

Бу ерда  $N$  – биринчи ва иккинчи стерженлардаги  $F$  куч таъсиридан ҳосил бўлган бўйлама куч.

$N$  – кучни топиш учун системани фақат  $F$  куч таъсиридан мувозанат тенгламасини тузамиз.

$N$  – биринчи ва иккинчи стерженлардаги  $x_1 = 1$  бирлик кучидан ҳосил бўлган бўйлама кучи ( $\bar{N} = -2$ ).

$$\Sigma M_o = -\bar{R}_2 \cdot 1 + 2F = 0 \text{ ва } \bar{R}_2 = 2F$$

$$\text{Унда: } \Delta_{1F} = \frac{\bar{R}_2 \cdot \bar{N} \cdot \ell_2}{A_2 E} = \frac{2F(-2) \cdot 1}{2 \cdot 10^{-4} \cdot 2 \cdot 10^8} = -F \cdot 10^{-4}$$

$\delta_{11}$  ва  $\Delta_{1F}$  кўчишларни каноник тенгламага келтириб қўямиз.

$$1,125 \cdot 10^{-4} \cdot x_1 - F \cdot 10^{-4} = 0 \quad \text{ва} \quad x_1 = \frac{F}{1,125} kH$$

Шундай қилиб,  $N_1 = x_1 = \frac{F}{1,125} kH$  кучни мувозанат системани тенгламасига келтириб қойиб  $N_2$  кучни топамиз.

$$-N_2 \cdot 1 - 2 \frac{F}{1,125} + 2F = 0 \quad \text{ёки} \quad N_2 \cdot 1 - 2 \frac{F}{1,125} + 2F = 0$$

$$\text{ва} \quad N_2 = \frac{0,25F}{1,125}$$

Стерженларни мустақамлиқ шартидан фойдаланиб рухсат этилган кучни топамиз:

$$\sigma' = \frac{N_1}{2A} = \frac{F}{2,25A} = \frac{F}{4,5 \cdot 10^{-4}} \leq [\sigma]$$

Бу ерда:  $F_{pux} = 4,5 \cdot 10^{-4} \cdot 160 \cdot 10^3 = 72kH$ ;

$$\sigma'' = \frac{N_2}{A} = \frac{0,25 \cdot F}{2,25 \cdot 10^{-4}} \leq [\sigma]$$

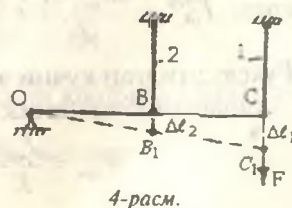
Бу ерда:

$$F_{pux} = \frac{2,25 \cdot 10^{-4} \cdot 160 \cdot 10^3}{0,25} = 144kH, \quad F_{pux} = 72kH \quad \text{кучни қабул қиласиз.}$$

Статик иоаниқликкни очишни — системани деформация тенгламасини тузиш усули. Құшимча — деформация тенгламани тузиш учун системаниң деформациясини ўрганамиз.  $F$  күч таъсирида биринчи ва иккинчи стерженларда  $N_1$  ва  $N_2$  бүйлама күчлар ҳосил бўлади.  $N_1$  ва  $N_2$  күчлар таъсирида биринчи стержень  $\Delta\ell_1$  ва иккинчи стержень  $\Delta\ell_2$  миқдорга узаяди. Натижада ОВС бруслари О нуқта атрофидаги айланади.

В нуқта  $B_1$  ҳолатга ва С нуқта  $C_1$  ҳолатга кўчади.

Схемада  $\Delta OBB_1 \approx \Delta OCC_1$  ҳосил бўлади. Унда:  $\frac{BB_1}{OB} = \frac{CC_1}{OC}$



Бу ерда:  $BB_1 = \Delta\ell_2 = \frac{N_2\ell_2}{E_2A_2}$ ;  $OB = 1\text{м}$ ;  $CC_1 = \Delta\ell_1 = \frac{N_1\ell_1}{E_1A_1}$

ва  $OC = 2\text{м}$

$$\frac{N_2\ell_2}{E_2A_2} = \frac{N_1\ell_1}{2 \cdot E_1A_1} \quad \text{ва} \quad \frac{N_2 \cdot 1}{EA} = \frac{N_1 \cdot 1}{2E2A}, \quad \text{бу ерда: } N_2 = \frac{N_1}{4}$$

Системани деформациясими ўрганиш натижасида  $N_2 = N_1/4$  тенгламани ҳосил қылдик. Бу тенгликни системани мувозанат тенгламаси билан биргаликда ечиб  $N_1$  ва  $N_2$  күчларни топамиз:

$$-N_2 - 2N_1 + 2F = 0 \quad \text{ва} \quad -\frac{N_1}{4} - 2N_1 + 2F = 0. \quad \text{Үнда } N_1 = \frac{8F}{9}$$

Стерженлардаги бүйлама күчлар ҳар хил бўлса ҳам улардаги кучланишлар бир хил ва ўзаро тенг:  $\sigma' = \sigma = 0,2 \cdot 10^4 F$ .

Стерженлардаги қўйилиши мумкин бўлган чекли юк  $F_{ok}^{cek}$  таъсирида энг аввал иккинчи стерженда оқувчанлик чегараси бошланади (пластик деформация ҳосил бўлади). Үнда иккинчи стержендаги бўйлама куч  $N_2 = \sigma_{ok} \cdot 2A$  га тенг бўлади.

Конструкцияни тўлиқ юк кутариш қобилияти йўқолиши учун биринчи стерженда ҳам оқувчанлик чегараси бошланиши ёки пластик деформация ҳосил бўлиши керак. Үнда биринчи стержендаги бўйлама куч  $N_1 = \sigma_{ok} \cdot A$  га тенг бўлади. Чекли юк  $F_{ok}^{cek}$  ни топиш учун  $\sum M_0 = 0$  мувозанат тенгламасидан фойдаланамиз:

$$\sum M_0 = -N_1 \cdot 1 - N_2 \cdot 2 + 2F_{ok} = 0$$

$$\text{Бу ерда: } F_{ok}^{cek} = \frac{5\sigma_{ok} \cdot A}{2} = \frac{5 \cdot 240 \cdot 10^3 \cdot 2 \cdot 10^{-4}}{2} = 120\text{kH}$$

Рухсат этилган кучни эҳтиётлик коэффициенти  $K = 1,5$  дан фойдаланиб топамиз:

$$F_{pyx} = \frac{F_{ok}}{K} = \frac{120}{1,5} \approx 80,0\text{kH}$$

Демак, системани мустақамлиқ шарти ва чекли күчләниши бүйіча рухсат этилган күчләри бир хил экан.

## 2 - масала.

Құзғалмас таянчга тирадувчи иккита стерженларга үрнатылған брусыннің үртасыға погонали стержень осилған. Четки стерженларни құндаланған кесим юзаси  $A = 20 \cdot 10^{-4} \text{ м}^2$ ; погонали брусы құзғалмас таянчға  $\Delta = 3 \cdot 10^{-5} \text{ м}$  масофа етишмайды. Погонали стерженнинг хусусий оғирлигини ҳисобға олмасдан,  $F$  күчни қийматыда  $\Delta$  – зазор ёпилиши топилсін. Берилған  $F$  күч таъсиридан погонали стерженни пастки асосида ва үрга погонали стержень учун бүйлау мақұм үртасы қурилсін. Берилған  $F$  күч таъсиридан погонали стерженни пастки асосида ҳосил бўлған реакция нолга тенг бўлиши учун үртада погонали стерженни неча градусга совутилиши аниқлансан.

$$\text{Берилған } E = 2 \cdot 10^8 \frac{kH}{m^2}, \quad F = 19kH$$

**Ечиш:** С ва В нүкталардаги реакция күчларини топамиз:

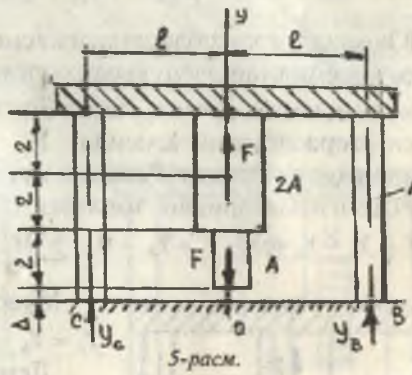
$$\sum Y = Y_A - F + F + Y_B = 0; \quad \sum M_c = F\ell - F\ell - Y_B 2\ell = 0$$

Иккита тенгламадан  $Y_A = Y_B = 0$  ҳосил бўлади. Четки стерженлар деформацияга учрамайды.  $\Delta$  – зазор фақат погонали стерженнинг деформацияси натижасида ёпилади.  $\Delta$  – зазор ёпилиш шартидан фойдаланиб  $F$  күчни топамиз:

$$\Delta = \frac{-F \cdot 2}{E2A} + \frac{F \cdot 4}{E2A} + \frac{F \cdot 2}{EA} = \frac{F}{EA}$$

Бу ерда:  $\frac{-F \cdot 2}{E2A}$  – погонали стерженни юқорига йўналған

$F$  күч таъсиридан ҳосил бўлған деформацияси.



$\frac{F \cdot 4}{E2A} + \frac{F \cdot 2}{E2A}$  — погонали стерженни пастга йўналган F куч таъсиридан ҳосил бўлган деформацияси.

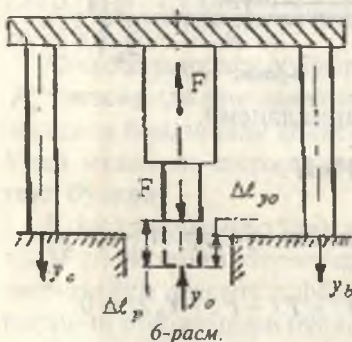
$$\text{Унда } F = \Delta EA = 3 \cdot 10^{-5} \cdot 2 \cdot 10^8 \cdot 20 \cdot 10^{-4} = 12 \text{ kN}$$

Агар, F кучлар бир томонга, масалан, пастга йўналса С ва В нуқталардаги реакциялар  $Y_c = Y_b = F$  бўлади. F кучни қуидаги тенгламадан топамиш:

$$\Delta = \frac{F \cdot 2}{E2A} + \frac{F \cdot 4}{E2A} + \frac{F \cdot 2}{EA} = \frac{5F}{EA}$$

Юқоридаги ҳисоблаш натижасига кўра берилган F куч  $\Delta$  — зазор ёпилиши учун керак бўлган F кучдан катта эканлиги аниқланди. Демак, зазор ёпилади, натижада ўрта ва четки стерженларни асосида  $Y_c$ ,  $Y_0$  ва  $Y_b$  — реакция кучлари ҳосил бўлади. Реакция кучларни системани мувозанат тенгламаларидан топамиш (6-расм).

$$\sum Y = Y_c - Y_0 + F - F + Y_b = 0; \quad \sum M_c = F\ell - F\ell + Y_0\ell - Y_b 2\ell = 0$$



Мувозанат тенгламаларидан  $Y_c = Y_b = \frac{Y_0}{2}$  ни ҳосил қиласиз.

Демак, мувозанат шартларидан реакция кучларини топиш мумкин эмас. Масала статик ноаник.

I. Статик ноаниқликни очишни — системани деформация тенгламасини тузиш усули.

Погонали стерженни берилган F куч таъсиридаги деформациясидан погонали стерженларни  $Y_0$  — реакция таъсиридаги деформациясини айирмасини  $\Delta$  — зазорга тенглаштирамиз (6-расм), яъни  $\Delta\ell_H - \Delta\ell_{y_0} = \Delta$

$$\text{Бу ерда: } \Delta\ell_H = -\frac{F \cdot 2}{EA} + \frac{F \cdot 4}{E2A} + \frac{F \cdot 2}{EA} = \frac{3F}{EA} \text{ ва}$$

$$\Delta\ell_{y_0} = \frac{Y_0 \cdot 2}{EA} + \frac{Y_0 \cdot 4}{E2A} + \frac{Y_0 \cdot 6}{EA} = \frac{7Y_0}{EA}$$

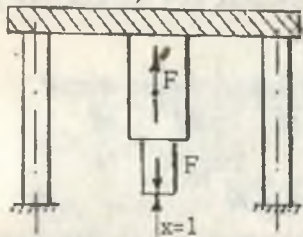
$$\text{Унда: } \frac{3F}{EA} - \frac{7Y_0}{EA} = \Delta \text{ тенгламадан } Y_0 = \frac{3F - \Delta EA}{7} = 6,43 \text{ kN}$$

$$Y_c = Y_h = \frac{Y_0}{2} = \frac{6,43}{2} = 3,215 \text{ кН} \quad \text{кН}$$

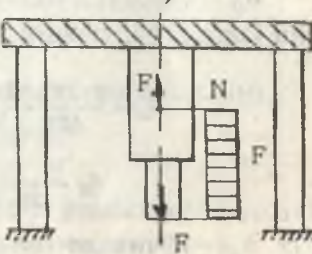
## II. Статик ноанықтык очишни — күч усули

Асосий системани ҳосил қилиш учун статик ноанық системасидан ортиқча боғланишини йүқтотамиз (7-а расм). Берилган схемада О кесимни таянчдан озод этиб, таянч таъсирини  $X=1$  бирлик күч таъсири билан алмаштирамиз. Асосий система — учун берилган күч ва бирлик күчлар таъсиридан бўйлама күч эпюраларини қурамиз (7-б расм).

а)



б)



7-расм.

Агар,  $F$  күчлар бир томонга — пастга йўналса, бўйлама күч эпюраси № четки стерженларда ҳам қурилади (7-б расм), чунки пастга йўналган  $F$  күчлар четки стерженларни сиқади. Натижада четки стерженларда ҳам ички зўришиш күчлари ҳосил бўлади.

Каноник тенгламани тузамиз:  $\delta_{11}x_1 + \Delta_{1H} = -\Delta$

Каноник тенгламанинг ўнг томонига зазор  $\Delta$  — киритилди, чунки погонали бруслни пастки кесимидағи кўчиш нолга тенг эмас, балки зазор  $\Delta$  — га тенг.

Каноник тенгламада  $\Delta$  — зазорни олдинги томонига минус ишора қўйилди,  $X_1=1$  күчни йўналиши погонали стерженни пастки қисми кўчишининг йўналишига тескари.

$\delta_{11}$  ва  $\Delta_{1F}$  кўчишларини топишда Веренцагин усулидан фойдаланамиз:

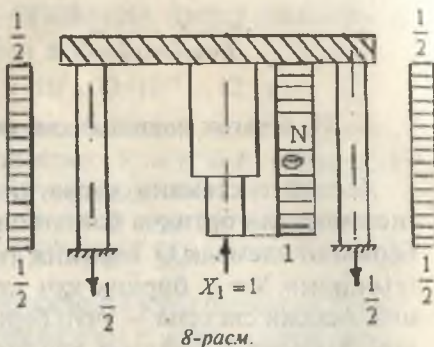
$$\delta = \sum \frac{\omega \cdot y}{AE}$$

Бу ерда:  $\omega$  – бўйлама куч эпюрасининг юзаси;

$y$  – бўйлама куч эпюрасининг юзаси-  
 $\omega$  – ни оғирлик марказига тўғри келувчи,  
 бирлик куч эпюрасининг ординатаси;

$AE$  – стерженни ўрганилаётган участкасининг бикрлиги;

$\delta_H$  – кучишни топиш учун куч эпюрасини ўзини ўзига кўпайтирамиз (8-расм).



$$\delta_H = \frac{1 \cdot 2 \cdot 1}{AE} + \frac{1 \cdot 4 \cdot 1}{2AE} + \frac{\frac{1}{2} \cdot 6 \cdot \frac{1}{2}}{AE} + \frac{\frac{1}{2} \cdot 6 \cdot \frac{1}{2}}{AE} = \frac{7}{AE}$$

$$\delta_H = \frac{7}{20 \cdot 10^4 \cdot 2 \cdot 10^8} = \frac{7}{40} \cdot 10^{-4} \text{ м}$$

$\Delta_{IF}$  – кучишни топиш учун куч юзаси  $\omega$  ни бирлик куч эпюрасига кўпайтирамиз:

$$\Delta_{IF} = \frac{F \cdot 2(-1)}{AE} + \frac{F \cdot 2(-1)}{2AE} = -\frac{3F}{AE} = -\frac{3 \cdot 19}{20 \cdot 10^4 \cdot 2 \cdot 10^8} = -\frac{57}{40} \cdot 10^{-4} \text{ м}$$

Топилган  $\delta_H$  ва  $\Delta_{IF}$  – кучишларни қийматларини каноник тенгламага келтириб қўямиз:

$$\frac{7}{40} \cdot 10^{-4} \cdot x - \frac{57}{40} \cdot 10^{-4} = -3 \cdot 10^{-5}$$

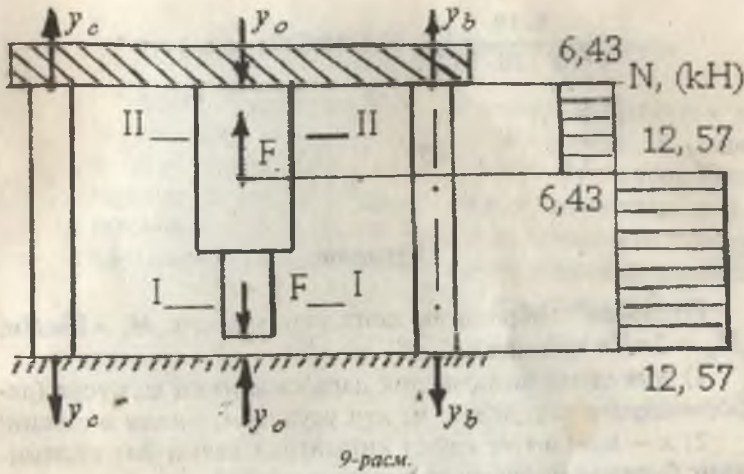
Бу ерда:  $x = 6,43kH$ ; демак,  $x = y_o = 6,43kH$

$$\text{ва } y_c = y_B = \frac{y_o}{2} = \frac{6,43}{2} = 3,215kH$$

Погонали стержендаги бўйлама кучни топамиз:

$$\text{I--I участка } N_1 = F - y_o = 19 - 6,43 = 12,57kH \text{ (чўзувчи)}$$

$$\text{II--II участка } N_2 = F - F - y_o = -6,43kH \text{ (сиқувчи)}$$



Четки стержнелардаги күчланишларни толамиз.

$$\sigma = \frac{y_e}{A} = \frac{3,215}{20 \cdot 10^{-4}} = 0,16075 \cdot 10^4 \frac{kH}{m^2}$$

Үрта погонали стерженни қанча даражага совутилганда пастки О кесимдаги реакция күчи  $y_0$  берилған  $F$  күчи таъсирида нолга teng бўлади.

$$\Delta\ell_F - \Delta\ell_t = \Delta \quad \text{ёки} \quad \frac{3F}{EA} - \alpha \cdot \Delta t \cdot \ell = \Delta$$

Бу ерда  $\Delta\ell_F = \frac{3F}{EA}$  — погонали стержнни  $F$  күчлари таъсиридан деформацияси;

$\Delta\ell_t = \alpha \cdot \Delta t \cdot \ell$  — погонали стерженни температура таъсиридан деформацияси;

$\alpha$  — стержень материалини температура таъсиридан чизикли кенгайиш коэффициенти;

$\Delta t$  — температуралар фарқи;

$\ell = 6m$ ; погонали стерженнинг узунлиги.

Погонали стержень совутилса — қисқаради (сиқилади). Шунинг учун формулада  $\Delta\ell$  — деформация минус ишора билан ёзилган:

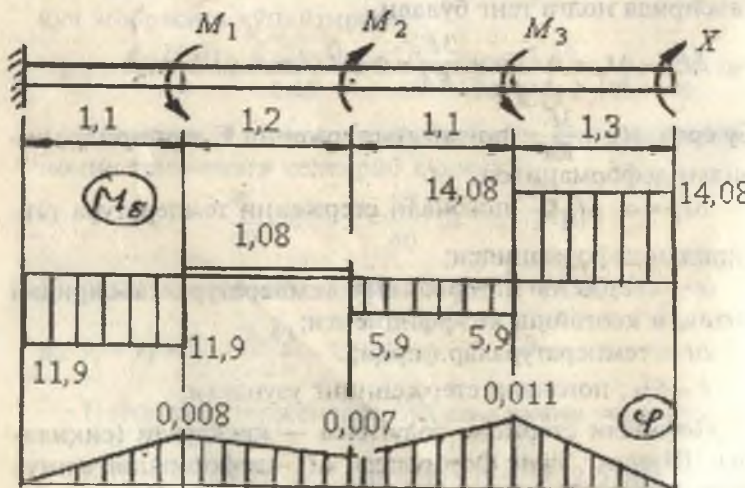
$$\frac{3 \cdot 19}{2 \cdot 10^8 \cdot 20 \cdot 10^{-4}} - 125 \cdot 10^{-7} \cdot \Delta t \cdot 6 = 3 \cdot 10^{-5}$$

$$\text{ва } \Delta t = \frac{\left( \frac{570}{40} - 3 \right)}{7,5} \cdot \frac{10^{-5}}{10^{-3}} = 1,5^\circ$$

### Буралиш

Пұлатдан тайёрланған валга учта момент  $M_1 = 13 \text{ кНм}$ ;  $M_2 = 7 \text{ кНм}$  қўйилган:

- 1) Масалани аниқмаслик даражаси икки хил усул (деформацияни таққослаш ва күч усуулари) билан очилсин;
- 2)  $x$  — моментни қайси қийматида вални ўнг кесими-нинг буралиш бурчаги нолга тенг бўлади;
- 3)  $x$  — моментни топилган қийматида буровчи моментни эпюраси қурилсин;
- 4) вал материалини буралишга мустаҳкамлик шарти-дан фойдаланиб, вални диаметрини танланг ( $[\tau] = 50 \text{ МПа}$ );
- 5) буралиш бурчаги эпюраси қурилсин.



10-расм.

## Деформацияни таққослаш усули

**Ечиш.** Масалани шартига асосан номаълум  $x$  моментни қиймати шундай танланиши керакки, К кесимни О кесимга нисбатан буралиш бурчаги нолга тенг бўлсин. Бунинг учун валга қуйилган барча моментлар ва  $x$  момент таъсиридан К кесимни О кесимга нисбатан буралиш бурчагларининг йигиндинисини нолга тенглаштирамиз:

$$\varphi_k = \varphi_{kM_1} + \varphi_{kM_2} + \varphi_{kM_3} + \varphi_{kx} = 0$$

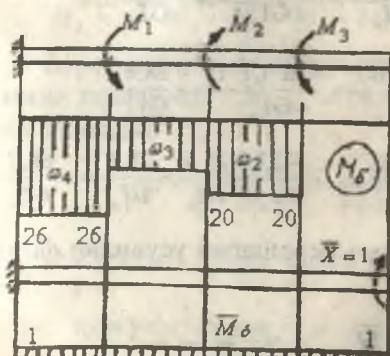
$$\text{Бу ерда: } \varphi_{kM_1} = \frac{-M_1 \cdot 1,1}{GI_\rho}, \quad \varphi_{kM_2} = \frac{M_2 \cdot 2,3}{GI_\rho}$$

$$\varphi_{kM_3} = \frac{-M_3 \cdot 3,4}{GI_\rho}, \quad \varphi_{kx} = \frac{x \cdot 4,7}{GI_\rho} \quad \text{Унда:}$$

$$\frac{-M_1 \cdot 1,1}{GI_\rho} + \frac{M_2 \cdot 2,3}{GI_\rho} - \frac{M_3 \cdot 3,4}{GI_\rho} + \frac{x \cdot 4,7}{GI_\rho} = 0 \text{ ва } x = 14,085 kNm$$

## Статик аниқмасликни очишни куч усули

Валдан ортиқча боғланишни ташлаб юборамиз ва асосий системани ҳосил қиласиз. Вални ортиқча боғланиши деб, К — кесимни буралишига ҳақиқий берадётган  $x$  моментни қабул қиласиз.



II-расм.

Масалани шартига асосан К кесимни буралиш бурчаги нолга тенг бўлишиб керак. Ана шу шартни каноник тенглама куринишида ёзамиш:

$$\delta_{II}x + \Delta_{IM} = 0.$$

Асосий системада ташқи моментлардан буровчи моментни аниқлаймиз ва эпюрасини қурамиз (11-расм).

I—I участок  $M_{I\delta} = 0$

II-II участка  $M_{2\delta} = -M_3 = -20kNm$

III-III участка  $M_{3\delta} = -M_3 + M_2 = -20 + 7 = -13kNm$

IV-IV участка  $M_{4\delta} = -M_3 + M_2 - M_1 = -26kNm$

Вални узунлиги бўйлаб  $\bar{x} = 1$  бирлик куч таъсиридан ҳосил бўлган  $\bar{M}_\delta = 1$  бирлик момент эпюрасини қурамиз (11-расм).

Каноник тенгламадаги коэффициентларни ҳар бир оралиқ учун Мор интегралини Верещагин усули билан топамиз.

$$\text{I-I участка } \varphi_I = \int_0^{1,1} \frac{M_{1\delta} \cdot \bar{M}_\delta}{GI_\rho} dx = 0$$

$$\text{II-II участка } \varphi_{II} = \int_0^{1,1} \frac{M_{2\delta} \cdot \bar{M}_\delta}{GI_\rho} = \frac{\omega_2 \cdot \bar{M}_\delta}{GI_\rho}$$

Бу ерда  $\omega_2 = 20 \cdot 1,1 = 22kNm^2$  – вални иккинчи участкасига даги куч юзаси (11-расм).

$M_\delta$  – иккинчи участка куч юзасининг оғирлик маркази остида жойлашган бирлик момент эпюрасининг ординатаси,  $\bar{M}_\delta = 1$ .

$$\text{Унда } \varphi_{II} = \frac{22 \cdot 1}{GI_\rho} = -\frac{22}{GI_\rho}$$

$$\text{III-III участка } \varphi_{III} = \frac{\omega_3 \cdot \bar{M}_\delta}{GI_\rho} = \frac{-13 \cdot 1,2 \cdot 1}{GI_\rho} = -\frac{15,6}{GI_\rho}$$

$$\text{IV-IV участка } \varphi_{IV} = \frac{\omega_4 \cdot \bar{M}_\delta}{GI_\rho} = \frac{-26 \cdot 1,1 \cdot 1}{GI_\rho} = -\frac{28,6}{GI_\rho}$$

$$\text{Унда: } \Delta_{IM} = \varphi_I + \varphi_{II} + \varphi_{III} + \varphi_{IV} = \frac{-22}{GI_\rho} - \frac{15,6}{GI_\rho} - \frac{28,6}{GI_\rho} = -\frac{66,2}{GI_\rho}$$

$\delta_{II}$  – кўчишни топиш учун Верещагин усулидан фойдаланамиз (11-расм).

$$\text{I-I участка } \varphi^I = \int_0^{1,1} \frac{\bar{M} \cdot \bar{M}}{GI_\rho} dx = \frac{\omega \cdot \bar{M}}{GI_\rho}$$

Бу ерда  $\omega$  — бирлик момент эпюрасини биринчи участка-даги юзаси:

$$\omega = 1 \cdot 1,3 = 1,3 \text{ ва } M = 1. \text{ Унда: } \varphi^I = \frac{1,3}{GI_p}$$

$$\text{II—II участка } \varphi^{II} = \frac{1,1}{GI_p}$$

$$\text{III—III участка } \varphi^{III} = \frac{1,2}{GI_p}$$

$$\text{IV—IV участка } \varphi^{IV} = \frac{1,1}{GI_p}$$

$$\text{Унда } \delta_H = \varphi^I + \varphi^{II} + \varphi^{III} + \varphi^{IV} = \frac{1,3}{GI_p} + \frac{1,1}{GJ_p} + \frac{1,2}{GJ_p} + \frac{1,1}{GJ_p} = \frac{4,7}{GJ_p}$$

Топилган коэффициентларни каноник тенгламага келтириб құямиз:

$$\frac{4,7}{GI_p} \cdot x - \frac{66,2}{GI_p} = 0, \text{ бу ердан } x = -\frac{\Delta_{IM}}{\delta_H} = \frac{66,2}{4,7} = 14,085 \text{ kNm}$$

Энди берилған система учун (10-расм) буровчи момент эпюрасини қурамиз:

$$\text{I—I участка } M_\delta = x = 14,085 \text{ kNm}$$

$$\text{II—II участка } M_\delta = x - M_3 = 14,085 - 20 = -5,915 \text{ kNm}$$

$$\text{III—III участка}$$

$$M_\delta = x - M_3 + M_2 = 14,085 - 20 + 7 = 1,085 \text{ kNm}$$

$$\text{IV—IV участка}$$

$$M_\delta = x - M_3 + M_2 - M_1 = 14,085 - 20 + 7 - 13 = -11,915 \text{ kNm}$$

Буровчи момент эпюрасидан вални энг хавфли кесимини танлаймиз:  $M_{\delta_{\max}} = 14,085 \text{ kNm}$ . Валнинг диаметри ни топамиз:

$$d = \sqrt[3]{\frac{16M_{\delta_{\max}}}{\pi[\tau]}} = \sqrt[3]{\frac{16 \cdot 14,085}{3,14 \cdot 50 \cdot 10^3}} = 0,113 \text{ м}$$

$d = 0,12 \text{ м} = 120 \text{ мм}$  қабул қиласыз. Буралиш бурчагини

Гүк қонунига ассосан топамиз.  $\varphi = \frac{M_\delta \cdot \ell}{GI_p}$ , бу ерда

$G = 8 \cdot 10^7 \frac{kH}{m^2}$  – вал материалининг силжиш модули;

$I_p = \frac{\pi d^4}{32}$  – вал кесимини кутб инерция моменти.

$$\text{Унда, } GI_p = 8 \cdot 10^7 \cdot \frac{3,14 \cdot (0,12)^4}{32} = 1627,8 kHm^2$$

$$\text{I--I участка } \varphi_1 = \frac{14,085x_1}{1627,8}; \quad 0 \leq x_1 \leq 1,3m$$

$x_1 = 0$  бўлса,  $\varphi_1 = \varphi_k = 0$ .  $x_1 = 1,3m$  бўлса,  $\varphi_1 = \varphi_B = 0,01125$  рад

$$\text{II--II участка } 0 \leq x_2 \leq 1,1m \quad \varphi_{II} = 0,01125 - \frac{5,915 \cdot x_2}{1627,8}$$

$x_2 = 0$  бўлса,  $\varphi_{II} = \varphi_B = 0,01125$  рад

$x_2 = 1,1m$  бўлса,  $\varphi_{II} = \varphi_C = 7,25 \cdot 10^{-3}$  рад

$$\text{III--III участка } 0 \leq x_3 \leq 1,2m \quad \varphi_{III} = 0,00725 + \frac{1,085 \cdot x_3}{1627,8}$$

$x_3 = 0$  бўлса,  $\varphi_{III} = \varphi_C = 0,00725$  рад

$x_3 = 1,2m$  бўлса,  $\varphi_{III} = \varphi_D = 0,00805$  рад

$$\text{IV--IV участка } 0 \leq x_4 \leq 1,1m \quad \varphi_{IV} = 0,00805 - \frac{11,915 \cdot x_4}{1627,8}$$

$x_4 = 0$  бўлса,  $\varphi_{IV} = \varphi_D = 0,00805$  рад

$x_4 = 1,1m$  бўлса,  $\varphi_{IV} = \varphi_O = 0,00805 - 0,00805 = 0$  рад

## АДАБИЁТЛАР

1. М.Т. Үрзебеев. Материаллар қаршилиги курси. Т., 1973 й.
2. К.М. Мансуров. Материаллар қаршилиги. Т., 1983 й.
3. С.А. Йўлдошбеков. Материаллар қаршилиги. Т., 1983 й.
4. С.Смирнов. Материаллар қаршилиги. Т., 1998 й.
5. Г.С. Писаренко. Сопротивление материалов. Киев, 1988 г.
6. Н.Н. Беляев. Сопротивление материалов. М., 1973 г.
7. В.К. Качурин. Материаллар қаршилигидан масалалар тұплами. Т., 1998 й.
8. Г.С. Писаренко и другие. Справочник по сопротивлению материалов, Киев, 1975 г.
9. В.А. Гастев. Краткий курс сопротивления материалов. М., 1977 г.
10. Н.К. Снитко. Сопротивление материалов. Л., 1975 г.
11. М.В. Рубинин. Руководство и практические занятия по сопротивлению материалов. М., 1957 г.
12. А.С. Вольмир. Сборник задач по сопротивлению материалов. М., 1984 г.
13. Г.М. Ицкович и другие. Руководство к решению задач по сопротивлению материалов. Р., 1963 г.
14. А.В. Дарков, Г.С. Шпиро. Сопротивление материалов. М., 1989 г.
15. В.И. Федосьев. Сопротивление материалов. М., 1989 г.
16. М.М. Фалоненко-Бородин и другие. Курс сопротивления материалов. Том-1. М., 1956 г.
17. П.А. Степин. Сопротивление материалов. М., 1988 г.
18. А.В. Александров. Сборник задач по сопротивлению материалов. М., 1977 г.

## МУНДАРИЖА

Кириш .....	5
Куч ва куч турлари .....	8
Деформация ва күчиш .....	11
Материаллар қаршилигига қабул қилинган гипотезалар .....	12
Конструкция элементлари .....	13

## I БОБ. ТЕКИС КЕСИМ ЮЗАЛАРИНИНГ ГЕОМЕТРИК ТАВСИФЛАРИ

1.1. Статик момент ва инерция моментлар .....	15
1.2. Параллел ўқларга нисбатан инерция моментлар ...	17
1.3. Оддий кесим юзаларининг ғеометрик тавсифлари	18
1.4. Оддий кесим юзаларининг қаршилик моментлари	21
1.5. Координата ўқларини айлантирганда инерция моментлари .....	22
1.6. Инерция эллипси ҳақида тушунча .....	27
Масалалар .....	29

## II БОБ. ЧЎЗИЛИШ ВА СИҚИЛИШ

2.1. Бўйлама куч. Кучланиш ва деформация .....	46
2.2. Ҳарорат таъсирида кучланиш ва деформация .....	49
2.3. Хусусий оғирлик таъсиридаги стерженнинг чўзилиш ёки сиқилишини ҳисоблаш .....	50
2.4. Чўзилиш ва сиқилишда статик ноаниқ системалар	53
2.5. Материалларни чўзилиш ва сиқилишга синаш .....	55
2.5.1. Юмшоқ пўлатнинг чўзилиш диаграммаси .....	56
2.5.2. Материалларни чўзилиш ва сиқилиш диаграммалари .....	60

2.5.3. Чўзилиш ва сиқилишда потенциал энергия .....	64
2.6. Рухсат этилган кучланишни танлаш .....	64
2.7. Кучланишлар концентрацияси .....	65
2.8. Контакт кучланишлар ҳақида тушунча .....	66
2.9. Қаттиқлик .....	67
2.10. Янги материаларнинг механик тасифлари .....	68
Масалалар .....	69

### III БОБ. КУЧЛАНГАНЛИК ҲОЛАТЛАРИ ВА МУСТАҲКАМЛИК НАЗАРИЯЛАРИ

3.1. Чизиқли кучланганлик ҳолати .....	111
3.2. Текис кучланганлик ҳолати .....	113
3.3. Кучланишларни график усулда топиш .....	115
3.4. Ҳажмий кучланганлик ҳолати .....	118
3.5. Ҳажмий деформация .....	120
3.6. Деформациянинг потенциал энергияси .....	121
Масалалар .....	122
3.7. Мустаҳкамлик назариялари .....	125

### IV БОБ. СИЛЖИШ

4.1. Соф силжишида кучланиш ва деформация .....	138
4.2. Соф силжишида рухсат этилган кучланиш .....	142
4.3. Парчин михли бирималарни ҳисоблаш .....	143
4.4. Пайванд бирималар .....	145
Масалалар .....	147

### V БОБ. БУРАЛИШ

5.1. Буровчи момент ҳақида тушунча .....	150
5.2. Доиравий кесим юзали брусларнинг буралишда кучланиш ва деформация .....	152
5.3. Буралишда мустаҳкамлик ва бирлик шартлари ....	155
5.4. Буралишда статик аниқмас масала .....	156
5.5. Буралишда кучланиш ҳолатининг таҳлили .....	157

5.6. Буралишда потенциал энергия .....	158
5.7. Винтсимон цилиндрик пружиналарни ҳисоблаш ..	159
5.8. Кесими доирвий бўлмаган стерженларнинг буралиши .....	161
Масалалар .....	163

## VI БОБ. ЭГИЛИШ

6.1. Таинч ва таинч турлари .....	181
6.2. Эгилишда ички кучларни аниқлаш .....	182
Масалалар .....	186
6.3. Эгилишда нормал кучланишни аниқлаш .....	196
6.3.1. Турли кесимлар учун нормал кучланиш эпюраси .....	201
6.4. Эгилишда уринма кучланишни аниқлаш .....	204
6.4.1. Журавский формуласини турли кесимларга татбиқ этиш .....	208
6.5. Балкалар мустаҳкамлигини бош кучланишлар бўйича текшириш .....	218

## VII БОБ. ЭГИЛИШДА БАЛКАЛАРНИНГ КЎЧИШНИ АНИҚЛАШ

7.1. Салқилик ва кессимнинг айланиш бурчаги .....	229
7.2. Балка эгилиш ўқининг дифференциал тенгламаси ..	230
7.3. Бошлангич параметрлар усули .....	232
7.4. Эгилишда кўчишни топишнинг графоаналитик усули .....	235
Масалалар .....	237
7.5. Тенг қаршилик кўрсатувчи балкалар. Ўзгарувчан кесимли балкаларда кўчишларни аниқлаш .....	262
7.6. Эгилишда кўчишларни топишнинг энергетик усуллари .....	265
7.6.1. Эгилишда деформациянинг потенциал энер- гияси .....	265

7.6.2. Ишлар орасидаги боғланишлар теоремаси.	
Күчишлар орасидаги боғланишлар теоремаси .	267
7.6.3. Эгилишда күчишларни аниқлашнинг Мор интеграли .....	270
7.6.4. Верещагин қоидаси .....	271
7.7. Статик аниқмас системалар .....	272
7.8. Узлуксиз балкалар. Уч момент теоремаси .....	276
7.9. Статик аниқмас рамаларни ҳисоблаш .....	280
Масалалар .....	282

### VIII БОБ. ЭГРИ СТЕРЖЕНЛАР

8.1. Эгувчи момент, кўндаланг ва бўйлама кучларни аниқлаш .....	308
8.2. Кўндаланг ва бўйлама кучлар билан боғлиқ бўлган кучланишлар .....	310
8.3. Эгувчи момент билан боғлиқ бўлган кучланишни аниқлаш .....	310
8.4. Эгри стерженда иситрал ўқ ҳолатини аниқлаш ...	314
8.5. Эгри стерженларда мустаҳкамлик шартлари .....	315
Масалалар .....	316
8.6. Юпқа деворли идишларни ҳисоблаш .....	322

### IX БОБ. МАТЕРИАЛИ ГУК ҚОНУНИГА БЎЙСУНМАЙДИГАН БАЛКАЛАРНИНГ ЭГИЛИШИ

Кучланиш .....	338
----------------	-----

### X БОБ. МУРАККАБ ҚАРШИЛИКЛАР

10.1. Эгилиш билан буралишнинг биргалиқдаги таъсири .....	344
10.2. Қийшиқ эгилиш .....	347
<del>10.3. Марказлашмаган сиқилиш (чузилиш) .....</del>	351
10.4. Эгилиш билан чузилишни ёки сиқилишнинг биргалиқдаги таъсири .....	356

Масалалар .....	357
-----------------	-----

## ХІ БОБ. СИҚИЛГАН СТЕРЖЕНЛАРНИ УСТУВОРЛИККА ҲИСОБЛАШ

Устуворлик ҳақида түшүнчә .....	367
11.1. Критик күчни аниқлаш. Эйлер формуласи .....	368
11.2. Эйлер формуласини ишлатиш чегарасини аниқлаш .....	371
11.3. Сиқилган стерженниң күндаланг кесимдаги рационал шакли .....	373
11.4. Сиқилган стерженларни устуворликка амалий ҳисоблаш .....	375
11.5. Бүйлама ва күндаланг эгилиш .....	377
Масалалар .....	380

## ХІІ БОБ. ДИНАМИК КУЧЛАР

Умумий түшүнчалар .....	391
12.1. Текис тезланишли ҳаракатда күчланиши аниқлаш .....	392
12.2. Тебранма ҳаракатда күчланиши аниқлаш .....	395
12.3. Зарб таъсирида күчланиш .....	397
12.4. Ўзгарувчан кесимли стерженларда зарб таъсиридаги кучланиш .....	402

## ХІІІ БОБ. ЎЗГАРУВЧАН КУЧЛАНИШЛАР

Умумий түшүнчалар .....	407
13.1. Күчланиш цикларининг турлари .....	408
13.2. Симметрик циклда чидамлилик чегарасини аниқлаш .....	410
13.3. Носимметрик циклда чидамлилик чегарасини аниқлаш .....	412
13.4. Чидамлилик чегарасига таъсир қилувчи факторлар .....	414

13.5. Ўзгарувчан кучланишларда мустаҳкамлик	
шарти .....	415
Масалалар .....	418

## XIV БОБ. ДЕФОРМАЦИЯ ВА КУЧЛАНИШЛАРНИ ЭКСПЕРИМЕНТАЛ ТЕКШИРИШ

Экспериментал текширишнинг аҳамияти ва	
принципи .....	431
Чўзилиш ва сиқилиш деформациясини электротензометр	
ёрдамида аниқлаш .....	433
Валинг буралиш деформациясини тензодатчик	
срдамида аниқлаш .....	437
Лок қопламалари усули .....	439
Кучланишларни поляризацион-оптик усулда	
аниқлаш .....	441
Материаллар қаршилиги фанини ўқитиш услубиятига	
доир .....	447
Материаллар қаршилиги фанидан тест саволлари .....	479
Таянч ибораларнинг луғавий маъноси .....	514
Адабиётлар .....	551

*Нарзулла Бибутов*

**МАТЕРИАЛЛАР ҚАРШИЛИГИ АСОСЛАРИ**

*Ўзбекистон Республикаси Олий ва ўрта маҳсус таълим  
вазирлиги томонидан олий ўқув юртлари талабалари учун  
дарслик сифатида тавсия этилган*

*Нашриёт мұхаррир **M. Йұлдошев***

*Техник мұхаррир **B. Ашурев***

*Мусаҳҳих **H. Фозилова***

*Компьютерда тайёрловчы **T. Каримов***

Босишига 20.05.03 й.да рухсат этилди. Қоғоз формати 84 x 108<sup>1/2</sup>.  
Шартли б.т. 33,6. Нашр табоги 34,3. Адади 1000 нусха.

Буюртма № 52  
Баҳоси шартнома асосида.

«Минҳож» нашриёти. Тошкент, Буюк Турон кӯчаси, 41.

Фан ва технологиялар маркази босмахонасида чоп этилди. Тошкент,  
Олмазор кӯчаси, 171.

Б 66

**Бибутов Н.С.** Материаллар қаршилиги ассоциалари: Олий ўкув юртларининг талабалари учун дарслик.—Т.: «Минҳож» нашр., 2003.— 560 б.